

Catalogue of the museum : (in English, French and German) / compiled by H.W. Armit.

Contributors

International Medical Congress 1913 : London, England)
Armit, H. W.

Publication/Creation

London : Imperial College of Science and Technology, [1913]

Persistent URL

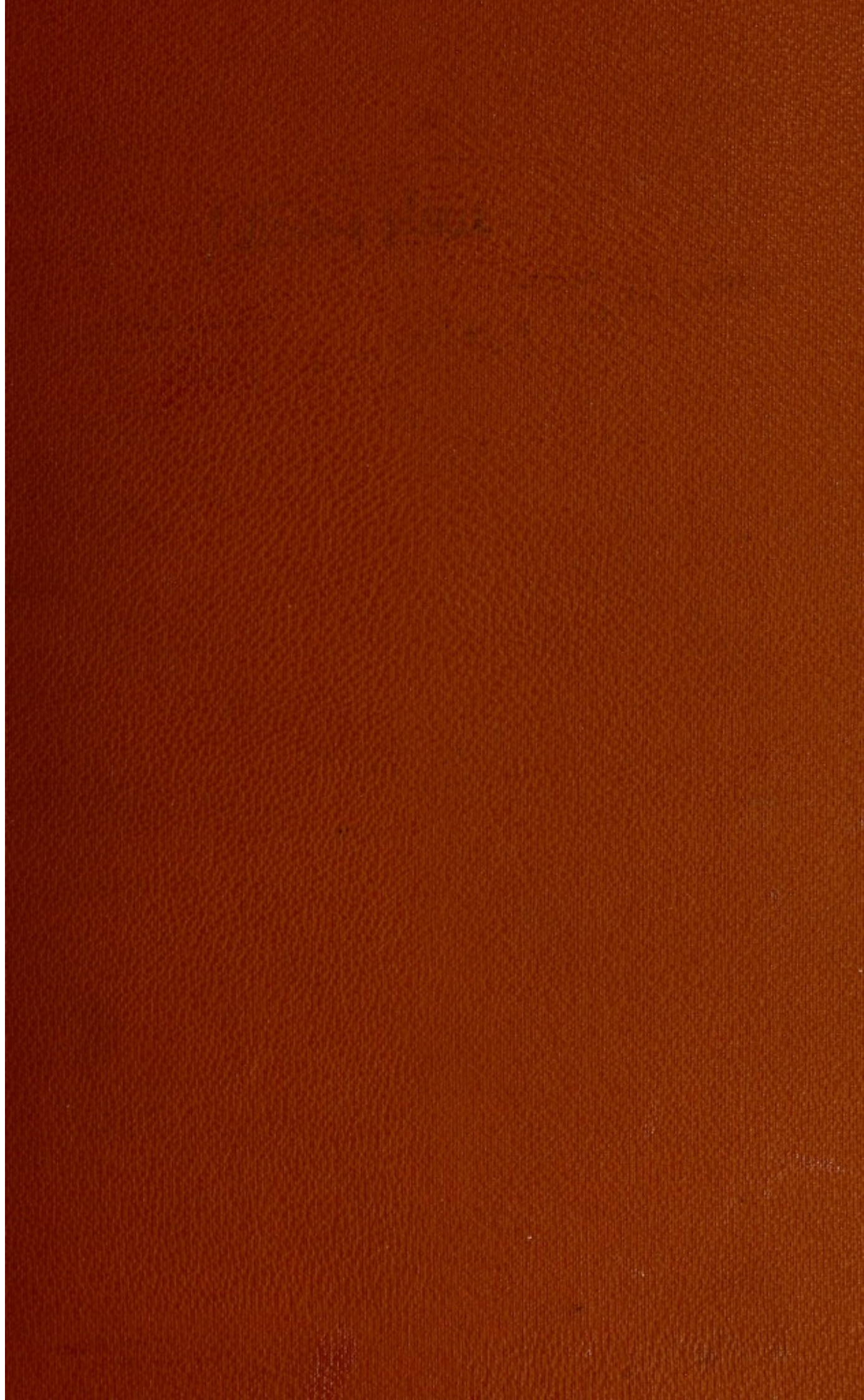
<https://wellcomecollection.org/works/h9ejuxch>

License and attribution

Conditions of use: it is possible this item is protected by copyright and/or related rights. You are free to use this item in any way that is permitted by the copyright and related rights legislation that applies to your use. For other uses you need to obtain permission from the rights-holder(s).



Wellcome Collection
183 Euston Road
London NW1 2BE UK
T +44 (0)20 7611 8722
E library@wellcomecollection.org
<https://wellcomecollection.org>



(2)

BA · AD · CA



22101528165

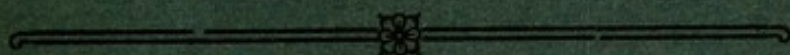


Digitized by the Internet Archive
in 2016

<https://archive.org/details/b24879927>

XVIIth International Congress of Medicine,

LONDON, 1913.



CATALOGUE

OF THE

MUSEUM

(In English, French and German.)

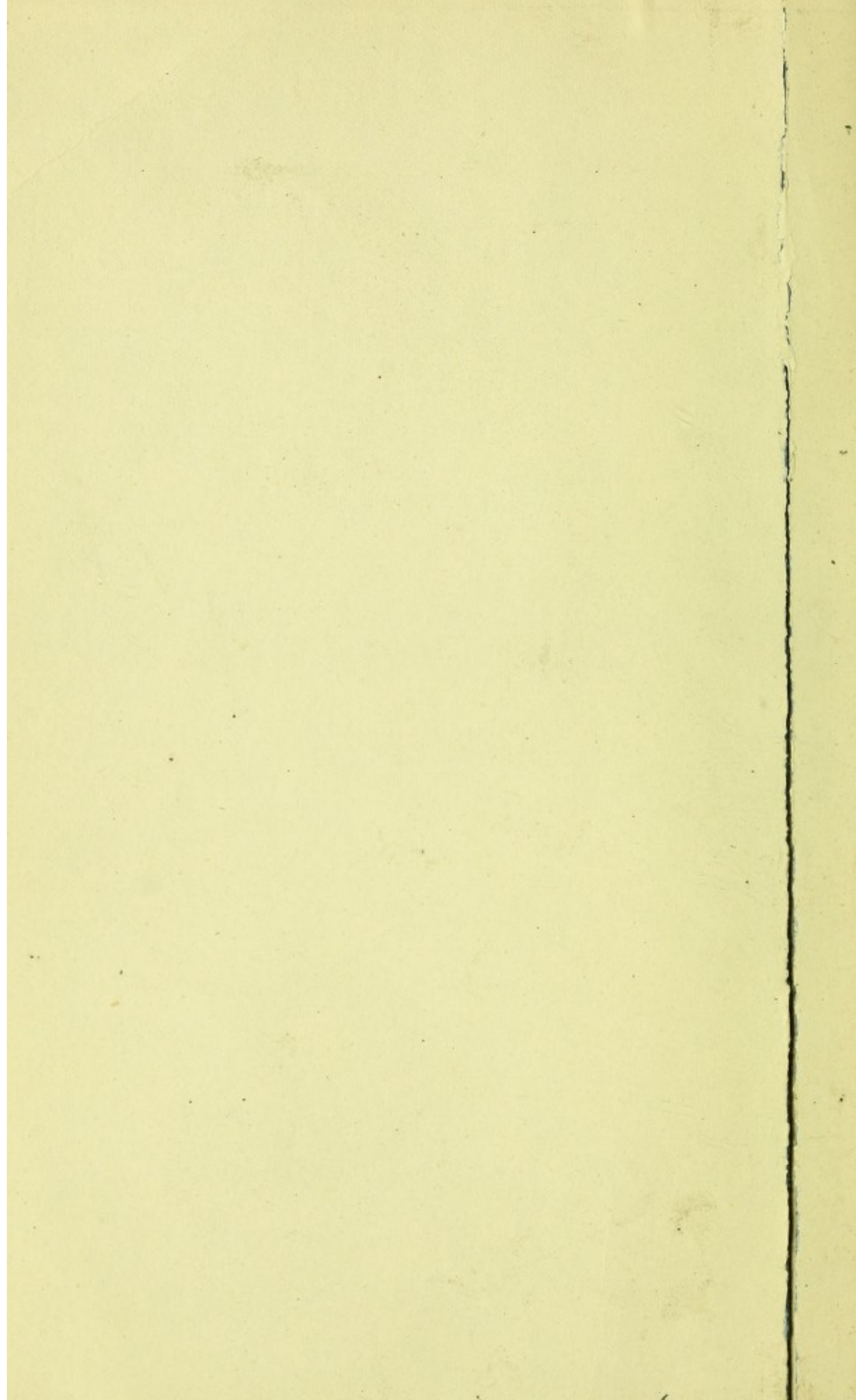
COMPILED BY

H. W. ARMIT, M.R.C.S., L.R.C.P., London.



IMPERIAL COLLEGE OF SCIENCE AND TECHNOLOGY.

South Kensington, London, S.W.



XVIIth International Congress of Medicine,

LONDON, 1913.



CATALOGUE

OF THE

MUSEUM

(In English, French and German.)

COMPILED BY

H. W. ARMIT, M.R.C.S., L.R.C.P., London.



IMPERIAL COLLEGE OF SCIENCE AND TECHNOLOGY.

South Kensington, London, S.W.

MUSEUMS, Medical 120 cent.

BA. AD. CA (2)



BRIDGE & Co.,
92, CHANCERY LANE,
LONDON, W.C.

TABLE OF CONTENTS.

	PAGE
I. Anatomy and Embryology	11
II. Physiology	22
III. Pathology	23
IIIa. Chemical Pathology and Physiology	25
IV. Bacteriology and Immunity	32
VI. Medicine	42
VII. Surgery	45
VIIa. Orthopædics	55
VIII. Obstetrics and Gynæcology	71
IX. Ophthalmology	87
X. Diseases of Children	104
XI. } Neuro-pathology and Psychiatry	107
XII. }	
XIV. Urology	111
XV. Laryngology and Rhinology	115
XVII. Stomatology	125
XVIII. Hygiene and Preventive Medicine	127
XIX. Forensic Medicine	131
XXI. Tropical Medicine	132
XXII. Radiology	143
Museum Technique	158
Appendix	191

TABLE DES MATIÈRES.

	PAGE
I. Anatomie et Embryologie	201
II. Physiologie	212
III. Pathologie générale	212
IIIa. Pathologie chimique	214
IV. Bactériologie et Immunité	221
VI. Médecine interne	233
VII. Chirurgie	236
VIIa. Orthopédie	246
VIII. Obstétrique et Gynécologie	259
IX. Ophtalmologie	267
X. Pédiatrie	280
XI. { Neuropathologie et Psychiatrie	
XII. }	283
XIV. Urologie	287
XV. Laryngologie et Rhinologie	293
XVII. Stomatologie	304
XVIII. Hygiène	306
XIX. Médecine Légale	311
XXI. Pathologie et Hygiène tropicale	312
XXII. Radiologie	322
La Technique du Musée	323

INHALTS VERZEICHNISS.

	SEITE
I. Anatomie und Embryologie	341
II. Physiologie	352
III. Allgemeine Pathologie	353
IIIa. Pathologische und Physiologische Chemie ...	355
IV. Bakteriologie und Immunität	362
VI. Innere Medizin	374
VII. Chirurgie	377
VIIa. Orthopädie	387
VIII. Geburtshilfe und Gynäkologie	404
IX. Ophthalmologie	412
X. Kinderkrankheiten	428
XI. } Nerven-und Geisteskrankheiten	431
XII. }	
XIV. Urologie	435
XV. Laryngologie und Rhinologie	442
XVII. Stomatologie	453
XVIII. Hygiene und Prophylaxe	455
XIX. Gerichtliche Medizin	460
XXI. Tropenkrankheiten	461
XXII. Radologie	471
Museum-Technik	487
Nachtrag	507

PREFACE.

The Museum of the 17th International Congress of Medicine (London, 1913), has been organised by a small Committee with the view of presenting to the Members of the Congress a series of collections dealing with each branch of medicine, illustrative of some of the more important advances in medical science during the interval since the last Congress in Buda-Pest in 1909. It has, however, been found to be impossible to carry out the original scheme of the Committee to a full extent, partly because much of the existing material could not be secured for the purpose, and partly because it was felt to be unreasonable to request members of the medical profession to expend a great deal of time, money and labour in the preparation of exhibits merely for the exhibition during the period of the Congress.

The completeness of the scheme has suffered by the fact that the Officers of the Sections of Dermatology and Syphilography (No. XIII.), and of Otology (No. XVI.) have elected to divorce their Museums from the General Museum. In the instance of the Section II., dealing with Physiology, it was recognised that as demonstrations have been organised with the use of existing apparatus at three of the chief Physiological Laboratories in London, a further exhibition of physiological apparatus would be redundant and would serve no useful purpose. Moreover, the Committee have, reluctantly, been compelled to give up the idea of organising a section dealing with Pharmacology to correspond with Section V., and one dealing with Naval and Military Medicine, to correspond with Section XXI. of the Congress, since the experts, whose assistance was solicited, found it impossible to place material of value and interest at their disposal.

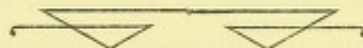
It is the hope of the Museum Committee that the exhibition will be found instructive and interesting, and that free use will be made of the series, which have been collected and set up at no small expenditure of energy.

Attention must be called to a new departure in loan museums dealing with medical matters. A special department illustrating the technique of the Museum has been arranged, largely by the International Association of Medical Museums. Dr. Maude E. Abbott

whose activity and untiring energy are well known, has spared herself no trouble to render this department a success, and the work of collaborating with her on the part of the Committee has been of intense pleasure.

The Committee have, further, the pleasant task to fulfill to thank all those members of the medical profession and others who have placed their valuable material at the disposal of the Congress, and who have spared no pains to contribute to whatever success may attend the Museum. The thanks of the Committee must also be extended to the Honorary Secretaries of the various sections of the Congress for their kindly assistance and co-operation in the work and for the advice given.

In conclusion, the Committee would wish to impress upon the members of the Congress visiting the Museum the necessity of collaborating with those in charge, in safeguarding the exhibits from damage, by conforming to the regulations which have been devised in the interests of those who have lent their objects for the benefit of the Congress.



MUSEUM COMMITTEE.



CHAIRMAN :

PROF. ARTHUR KEITH, M.D., F.R.C.S., F.R.S.

MEMBERS :

W. P. S. BRANSON, M.D., F.R.C.P.

DAVID FORSYTH, D.Sc., M.D., F.R.C.P.

J. A. BRAXTON HICKS, M.D., B.S.

T. W. P. LAWRENCE, M.B., F.R.C.S.

HON. SECRETARY :

H. W. ARMIT, M.R.C.S., L.R.C.P.

Section IIIa.

CHEMICAL PATHOLOGY.

Museum Sub-Committee.

Prof. I. WALKER HALL, M.D.,
Chairman.
Dr. W. H. GASKELL, LL.D., M.A.
Dr. F. W. GOODBODY, F.R.C.P.
Dr. KENNAWAY, Ch.B.
Dr. HUGH MACLEAN.
Dr. P. NOEL PANTON, B.C.
Dr. J. H. RYFFELL, B.C..
Prof. SCHRYVER, M.D.
Dr. R. L. MACKENZIE WALLIS, M.A.

Section XV.

RHINOLOGY AND LARYNGOLOGY.

Museum Sub-Committee.

J. W. BOND, Esq., M.D., B.S.,
Chairman.
A. LOGAN TURNER, Esq., M.D., C.M.
L. H. PEGLER, Esq., M.D., C.M.,
Curator.
DAN MACKENZIE, Esq., M.D., C.M.

CATALOGUE

SECTION I.—Anatomy and Embryology.

I.—HEART.

<i>Lent by:</i>	
Prof. David Waterston, M.A., M.D., F.R.S.E., London.	1 Heart showing the injections in the sheath of atrio-ventricular lamella.
Dr. Alfred E. Cohn, New York.	2 Ox Heart showing injection of the conduction system in the right ventricle.
„	3 Ox Heart showing injection of the conduction system in the right ventricle.
„	4 Microscopical section of the muscle of the ox heart injected with India ink.
Prof. Dr. F. Külbs, Berlin.	Wax models of the atrio-ventricular system of the
	5 Fish,
	6 Lizard,
	7 Tortoise,
	8 Bird.

II.—EARLY DEVELOPMENT OF THE HUMAN AND ANIMAL OVUM.

Prof. Thomas H. Bryce, M.D., etc., Glasgow.	9 Reconstruction model of the Bryce Teacher human embryo.
„	10 Water-colour drawing of the same specimen. (The actual specimen will be exhibited by Professor Bryce.)
Prof. Dr. Peters, Vienna.	11 Series of illustrations of a very early human embryo
Prof. Arthur Thomson, Oxford.	12 Reconstruction model of embryonic rudiment 0.23 mm. in diameter within the blastocyst (x 150).
„	13 Reconstruction model of embryonic rudiment 0.23 mm. in diameter (x 320).

Lent by:

- | | |
|--|---|
| Prof. Arthur Thomson,
Oxford. | 14 Series of photomicrographs of a very early human embryo. |
| „ | 15 Series of stereoscopic photographs of human embryos, eyes of birds, of horse, of fish, and some pathological human eyes. |
| Prof. David Waterston,
M.A., M.D., F.R.S.E.,
London. | Five reconstruction models of the human embryo prepared by Prof. Waterston's method: |
| „ | 16 Model of the external form of the human embryo of between 2 and 3 mm. in length (x 200). |
| „ | 17 Model of the nervous system, heart, blood vessels, etc., of the same embryo (x 200). |
| „ | 18 Model of the heart, alimentary canal, etc. (x 200). |
| „ | 19 The central nervous system of a 6 mm. human embryo (x 50). |
| „ | 20 Model of the pharynx and some of its pouches of a 6 mm. embryo (x 100). |
| „ | 21 Lantern slides from photographs of to 32 sections of early human embryos: |
| | (a) Showing the <i>pronephros</i> ; |
| | (b) Showing the <i>recessus pneumato-cutenuis</i> on both right and left sides; |
| | (c) Showing the formation of the sympathetic nervous system at an early stage. |
| Prof. A. d'Eternod,
Geneva. | 33 Wall diagram illustrating the segmentation and the probable gastrulation of the human ovum. |
| „ | 34 Idem. |
| „ | 35 Wall diagram illustrating the topography of the early human embryo. |
| „ | 36 Wall diagram illustrating the trophoderm and the placenta. |
| „ | 37 Wall diagram illustrating the membranes, etc. of the ovum. |
| „ | 38 Cork model.—Human embryo 1.3 mm. |
| „ | 39 Idem. |
| „ | 40 Scheme of the lecithaphoric, meroblastic and metalecithic ovum. |

Lent by :

- | | |
|--------------------------------------|--|
| Prof. A. d'Eternod,
Geneva. | 41 Wax model. Embryonic field. Human embryo 1.3 mm. |
| " | 42 Wax model. Human embryo 2.11 mm., 8 segments. |
| " | 43 Models. Human embryo 2.8 mm. 20 segments. |
| Prof. Arthur Robinson,
Edinburgh. | 44 Model of half the brain and the cranial and upper cervical nerves of a human embryo 22 mm. long, obtained at operation. |
| " | 45 Model of the heart of a human embryo 5.5 mm. long, three segments. |
| " | 46 Model of the heart of a human embryo 8.5 mm. long, three segments. |
| " | 47 Model of half a horse embryo, not more than 23 days old. |
| " | 48 Model of opposite half of horse embryo differently dissected. |
| " | 49 Model of caudal end of the same horse embryo, on larger scale, to show details of allantoic vessels. |
| " | 50 Model of the head of a pig embryo, showing relation of pharynx and brain to otic vesicle. |
| " | 51 Model of head of an older pig embryo, showing relation of pharynx to otic vesicle. |
| " | 52 Model of head and heart of a ferret embryo 2.3 mm. long, showing head and heart. Epithelial tubes of heart still separate, but muscular tubes united. |
| " | 53 Model of the heart of a ferret embryo 9 mm. long, three segments. |
| " | 54 Model of the heart of a ferret embryo 12.5 mm. long, three segments. |
| Dr. R. W. Johnstone,
Edinburgh. | 55 Series of 12 lantern slides, showing the to early stages of the development of the human ovum. |
| Dr. Wood Jones, London | 67 Specimens illustrating the development of the Genitalia of the mole (<i>Talpa europea</i>). |
| " | 68 Drawings illustrating the above. |
| " | 69 Specimens illustrating the morphology of the Genitalia of the mammals. |
| " | 70 Drawings illustrating the above. |

Lent by :

- | | |
|---|--|
| Prof. McClure, Princeton, New Jersey. | 71 Series of lantern slides, illustrating the development of the lymphatic system in fishes. |
| Dr. Peter Thompson, Birmingham. | 107 Model of the brain of foetal cat. |
| Dr. T. Yeates, M.B., M.Ch., Birmingham. | 108 Model of ferret embryo in utero x 75 removed from parent 14 days after coitus. |
| „ | 109 Model of ferret embryo in utero x 100 removed from parent 15 days after coitus. |
| | (a) The uterus with the membranes as they are reflected on the uterine wall. |
| | (b) The embryo in three sections with parts of the various membranes attached. |

 III.—CEREBRAL LOCALISATION.

- | | |
|-------------------|---|
| Dr. R. H. Clarke. | 110 Model of a cat's head, illustrating the application of the method of rectilinear topography. |
| „ | 111 Stereotaxic instruments : |
| | (a) Original pattern. |
| | (b) Second pattern consisting of frame, cage and stage carrying a needle holder with rectilinear and inclined movements, extensible spring scales for correcting variations of size in three dimensions and a two dimensioned adjustable indicator for directing the inclined needle. |
| | (c) New pattern having the same frame as (b); attached to the cage and stage is an equatorial carrying a needle holder with universal movement and a three dimensioned indicator having three adjustable gratings and a moveable index point which is set by the gratings. |
| | 112 Measuring and drilling cage. |

Lent by:
Dr. R. H. Clarke

- 113 Saw for cutting 2 millimeter sections of frozen cranium. The sections are measured and corrected for size by an adjustable grating which can be set to measure two millimetres or coördinates proportional to the dimension of the head.
- 114 Adjustable grating of crossed threads for photographing screens with proportional units of measurements.
- 115 Series of photographs of sections of cranium of the cat and monkey with corrected scales for use as charts to direct movements of the stereotaxic instrument.
- 116 Special needles, trephines, tubes, etc.
- Dr. Aubrey T. Mussen, 117 A series of photomicrographs of the brain
Munich. to stem of the *Macaccus Rhesus*, illus-
270 trating the topography of the Central
Nuclei and the method of their localisa-
tion by the stereotaxic instrument of
Dr. R. H. Clarke.
- Locus cœruleus.*
- Radix mesencephalici N. trigemini.*
- Brachium conjunctivi cerebelli.*
- Lemniscus lateralis.*
- Eminentia teres.*
- Genu radialis N. facialis.*
- Nucleus abducens.*
- Radix N. abducentis*
- Fasciculus longitudinalis dorsalis.*
- Nucleus Deiteri.*
- Nucleus Bechterewi.*
- Tractus tecto-spinalis et bulbaris.*
- Formatio reticularis.*
- Lemniscus medialis.*
- Tractus cortico-spinalis.*
- Nucleus olivaris inferioris.*
- Fibræ intra-olivares.*
- Tractus cerebello-olivares.*
- Tractus spino - cerebellaris - ventralis*
(Gowers).
- Tractus spino - cerebellaris - dorsalis*
(Flechsig).
- Corpus restiforme.*
- Pons.*
- Gyrus.*
- Spleni.*
- Fornix.*

Lent by :
Dr. Aubrey Mussen,
Munich.

„	<i>Nucleus caudatus.</i>
„	<i>Pars occipitalis capsulae internae.</i>
„	<i>Pulvinar medianus.</i>
„	<i>Pulvinar lateralis.</i>
„	<i>Pulvinar nucleus anterior superior.</i>
„	<i>Lamella externa.</i>
„	<i>Zona reticularis.</i>
„	<i>Brachium tuberculum quad. sup.</i>
„	<i>Ventriculus lateralis.</i>
„	<i>Stratum zonale.</i>
„	<i>Striae terminales.</i>
„	<i>Gyrus hippocampi.</i>
„	<i>Cornu ammonis.</i>
„	<i>Fascia dentatis.</i>
„	<i>Tuberculum quadrigeminum superius.</i>
„	<i>Tuberculum quadrigeminum inferius.</i>
„	<i>Grisea centralis.</i>
„	<i>Nucleus N. mesencephalici trigemini.</i>
„	<i>Velum medullare superius.</i>
„	<i>Nervus trochlearis.</i>
„	<i>Linguli cerebelli.</i>
„	<i>Ventriculus quartus.</i>
„	<i>Lobus cuneiformis cerebelli.</i>
„	<i>Lobus posterior inferior cerebelli.</i>
„	<i>Lobus gracilis cerebelli.</i>
„	<i>Tuberculum acusticum.</i>
„	<i>Nervus glossopharyngeus.</i>
„	<i>Decussatio nervorum trochlearium.</i>
„	<i>Area intraquadrigemina.</i>
„	<i>Nucleus sensibilis N. trigemini.</i>
„	<i>Nucleus radialis spinalis N. trigemini.</i>
„	<i>Nucleus motorius N. trigemini.</i>
„	<i>Radix sensibilis N. trigemini.</i>
„	<i>Radix motorius N. trigemini.</i>
„	<i>Radix N. facialis.</i>
„	<i>Nucleus ventralis lemnisci lateralis.</i>
„	<i>Nucleus medialis lemnisci lateralis.</i>
„	<i>Nucleus facialis.</i>
„	<i>Nucleus ventralis griseae centralis.</i>
„	<i>Nucleus lateralis aqueductus.</i>
„	<i>Glondula pinealis.</i>
„	<i>Pedunculus conarii.</i>
„	<i>Nervus acusticus.</i>
„	<i>Nucleus dorsalis tegmenti.</i>
„	<i>Nuclei pontis.</i>
„	<i>Brachium quadrigeminum inferius.</i>
„	<i>Corpus callosum.</i>
„	<i>Nucleus medialis thalami.</i>
„	<i>Fasciculus retroflexus Mynerti.</i>

Lent by:

Dr. Aubrey Mussen,
Munich.

"

"

"

"

"

"

"

"

"

"

"

"

"

"

"

"

"

"

"

"

"

"

"

"

"

"

"

"

"

"

"

*Nuclius N. vagi.**Nucleus N. hypoglossi.**Radix N. hypoglossi.**Tuber cinereum.**" Noyau paraventricularis."**Commissura anterior.**Substantia innominata.**N. vus N. trochlearis.**Nucleus N. glossopharyngei.**Hypophysis.**Nucleus gracilis.**Fibræ arcuatae internæ.**Corpus trapezoideum.**Nucleus supraopticus.**Pes pedunculi cerebri.**Nucleus mamillo-infundibularis.**Nucleus ant. pedamenti lateralis.**Pedamenti laterales.**Tractus trigemino-thalamicus.**Cerebellum.**Nucleus angularis-Bechterewa**Nucleus caudatus.**Globus pallidus.**Tractus Foreli.**Putamen.**Connection between caudate nucleus
and putamen.**Nucleus amygdalæ.**Nucleus communicans.**Nucleus dentatus.**Lamella interna.**Lamella intermediaris**Nucleus funiculi cuneati.*

Dr. Purves Stewart, 271 Teaching model of the cutaneous root
F.R.C.P., London. areas and of peripheral cutaneous
nerve-areas.

Prof. Dr. C. W. Ariëns 272 Reconstruction model of a shark (*Hex-*
Kappers and *anchus*).

Privatdoz Dr. S. J. Lange,
Amsterdam.

" 273 Reconstruction model (wax) of amphibia
(*Rana*).

Prof. Dr. C. W. Ariëns 274 Reconstruction model of a reptile
Kappers and (*Chelone Mydas*).

Privatdoz Dr. S. J. Lange, 275 Reconstruction model of a snake
Amsterdam. (*Eunectes murinos*).

" 276 Reconstruction model of a reptile
(*Varanus Salvator*).

Lent by:

- Privatdoz Dr. S. J. Lange, 277 Reconstruction model of the opossum
Amsterdam. (*Didelphys Marsap.*)
(The above illustrating the philo-
genetic development of the corpus
striatum.)
- „ 278 Reconstruction model of the cerebellum
of a reptile.
- „ 279 Idem.
- „ 280 Series of 12 coloured drawings illus-
to trating the topography of the various
291 nuclei of the medulla oblongata and
of the mesencephalon in five varieties
of vertebra.
- „ 292 Series of 10 drawings showing the
to development of the sulci and their
301 relation to certain cell arrangements

IV.—ABNORMAL DEVELOPMENT.

- Dr. Magnus Hirschfeld, 302 Wax model of true hermaphroditism
Berlin. (double sexual qualities).
- „ 303 Wax model of true or inverted her-
maphroditism (premature development
of male and female sexual qualities).
- „ 304 Wax model of inverted pseudo-her-
maphroditism (sex uncertain).
- „ 305 Wax model of masculine pseudo-her-
maphroditism (sex mistaken).
- „ 306 Wax model of masculine pseudo-her-
maphroditism (sex mistaken).
- „ 307 Wax model of masculine pseudo-her-
maphroditism (external genitals of
male simulating female sex).
- „ 308 Wax model of feminine pseudo-her-
maphroditism (external genitals of
female simulating male sex).
- „ 309 Wax model of feminine pseudo-her-
maphroditism (sex mistaken).
- „ 310 Wax model of pseudo-arrhenia (a female
whose external genitals simulated
male sexual qualities).
- „ 311 Wax model of pseudo-arrhenia (section
of the pelvis of a female whose
external genitals simulated male
sexual qualities).

Lent by:

- Dr. Magnus Hirschfeld, Berlin. 312 Wax model of kryptorchism and testicular aplasia. Azoospermia. Infantile (undeveloped testicles lying in the inguinal canal. Absence of sperm cells).
- „ 313 Wax model of a case of gynaekomastia.
- „ 314 Series of lantern slides illustrating to 388 various sexual transitional stages.
- 389 Series of photographs illustrating :
to (a) Feminine development in man.
- 403 (b) Masculine development in woman. (Androgynia, gynandria, gynaekomastia, variations of pelvic development and of growth of hair.)
- (c) Types of moral hermaphroditism (Homosexuality and perverted sexual sense).
- „ 404 Wall diagrams illustrating sexual transitional stages of the 1, 2 3, 4 degree:
1 deg. Hermaphroditism and pseudo-hermaphroditism.
2 deg. Androgynia and gynandria.
3 deg. Transverstitism.
4 deg. Homosexuality and bisexuality.
- 405 Diagram illustrating curve of conduction path.
- 405A Diagram illustrating curve of sexual "stage" reflexes.
- Dr. J. E. Gemmell and Dr. A. M. Paterson, F.R.C.S., Liverpool. 406 Three photographs illustrating a case of to duplication of the bladder, uterus, 408 vagina, and the vulva. A full-time pregnancy and labour took place successively in each uterus.
-
- Prof. J. Symington, Belfast. 409 Life-size model of a series of horizontal sections through the abdomen and pelvis of an adult male (the model is composed of a series of blocks of wood), the poker work being carried out by Miss Rea, and the stand constructed under the superintendence of Mr. J. Wylie, B.A.

Lent by:

Dr. John Elliott,
Chester.

Human remains found during the excavations for the New Infirmary at Chester, on the site of the Roman Cemetery, 1912 and 1913.

- „ 410 Skull of "Mediterranean" type of a skeleton found in domed tomb.
- „ 411 Vessel of Rhenish ware and vesicular glass found in connection with the remains of the same skeleton.
- „ 412 Series of long bones of the same skeleton.
- „ 413 Skull of "Celtic" type; brachycephalic.
- „ 414 Series of long bones of the same skeleton.
- „ 415 Skull of a male, age about 25 years; occupation during life probably a worker in bronze.
- „ 416 Objects found in the grave of the same man.
- „ 417 Series of long bones of same skeleton.
- „ 418 Skull of "Mediterranean" type; hydrocephalic; metopic; exostosis in each external auditory canal.
- „ 419 Objects found in grave.
- „ 420 Series of long bones of same skeleton.
- „ 421 Skull of "Mediterranean" type; metopic, sutures all open; healed mastoid abscess.
- 422 Objects found in grave.
- „ 423 Series of long bones of same skeleton.
- „ 424 Skull of "Neolithic" man, age about 20 years.
- „ 425 Series of long bones of same skeleton.

Human remains probably disturbed at the time of the building of the old Infirmary at Chester and re-buried indiscriminately. Their association with Roman coins, pottery, a Roman spearhead and other objects belonging to this period prove conclusively that the remains were Romano-British.

- „ 426 Skull of "Mediterranean" type, age about 20 to 25 years.
- „ 427 Skull probably of "Celtic" type; small circular perforations in skull due to the action of beetles.

<i>Lent by:</i>	
Dr. John Elliott, Chester.	428 Abnormal skull; achondroplasia.
"	429 Skull of "Mediterranean" type, age about 40 years.
"	430 Skull; microcephalic.
"	431 Skull; microcephalic.
"	432 Series of long bones probably belonging to the foregoing skeletons.
"	433 Various objects found together with the foregoing skeletons.
Dr. Douglas E. Derry, Ch.B., London.	434 Skull and bones of skeleton of an Egyptian of the Roman period, who suffered from hydrocephalus, with accompanying left hemiplegia.
"	435 Scaphocephalic skull of an Egyptian of the Twelfth Dynasty.
"	436 Skull of a young Egyptian woman showing a very large right parietal foramen with flattening in the neighbourhood.
"	437 Pelvis of a negress illustrating Nagele's obliquity.
"	438 Photograph showing the head of a foetus engaged in the pelvis, from the preceding case.
Prof. R. W. Reid, Aberdeen.	439 Skull (male) from "short cist" found at Parkhill, Aberdeenshire, 1867.
"	440 Photographs illustrating prehistoric man in the north-east of Scotland.

SECTION II.—Physiology.

Physiological apparatus will be on view at the Physiological Department of the London University, at the Physiological Department of University College and at the Physiological Department of King's College.

A number of demonstrations have been arranged and will be conducted by the Physiologists in charge.

SECTION III.—Pathology.

Lent by :

- | | |
|---|--|
| Prof. John A. Teacher,
Dr. A. W. Harrington,
Glasgow. | 441 Specimen of femur, ribs and vertebral column, showing metastases in the marrow with hyperplasia of the same from a case of carcinoma of the stomach. |
| „ | 442 Specimen of femur, ribs and vertebral column, showing metastases in the bone marrow with hyperplasia of the same from a case of carcinoma of the stomach. |
| Dr. J. A. Cairns Forsyth,
London. | 443 Gall-bladder containing 240 gall stones and quantity of pus. The specimen also shows villous carcinoma of the neck of the gall-bladder. Five stones were removed from the common duct. |
| „ | 444 Gall-bladder containing eight gall stones. The stone in the cystic duct pressed on the common duct and caused obstructive jaundice. |
| „ | 445 Gall-bladder from a case of acute cholecystitis. |
| „ | 446 Gall-bladder from a case of acute cholecystitis. |
| „ | 447 Gall-bladder excised for hydrops. Three stones are seen, two of which were impacted in the cystic duct. |
| „ | 448 Gall-bladder from a case of chronic cholecystitis due to gall stones. Marked thickening of the cystic duct is present. |
| „ | 449 Specimen showing hour-glass stricture of the gall-bladder associated with gall stones. Carcinoma has developed at the stricture and invaded the liver. |
| „ | 450 Liver showing deformity produced by cirrhosis. The patient, a woman of 30, had lived in India for some years. There was no history of alcoholism. |
| „ | 451 Pancreas from a case of acute hæmorrhagic pancreatitis. |
| „ | 452 Gall-bladder from same case, showing large gall stone. |

Lent by :

- | | | |
|---|-----|--|
| Dr. J. A. Cairns Forsyth,
London. | 453 | Pancreas from a case of acute hæmorrhagic pancreatitis |
| " | 454 | Fat-necrosis from same case. |
| " | 455 | Pancreas showing chronic interstitial pancreatitis, secondary to gallstones. |
| " | 456 | Multilocular pancreatic cyst. Enucleated at operation from the tail of the pancreas. |
| " | 457 | Kidney showing hydronephrosis from misplaced ureter. |
| " | 458 | Kidney showing single cyst which does not communicate with the pelvis. The cyst contained 20 uric acid calculi. |
| " | 459 | Hæmatocele of the canal of Nuck. Removed from the inguinal region of a woman of middle life. It had been present for 19 years. |
| " | 460 | Duodenal Ulcer invading the pancreas. Fatal hæmorrhage resulted from invasion of the gastro-duodenal artery. |
| Dr. Matthew Stewart,
Leeds. | 461 | Numerous focal hæmorrhages into the substance of the spleen following trauma. |
| Mr. Hastings Gilford,
F.R.C.S., Reading. | | Series of drawings illustrating the diseases of the ductless glands: |
| " | 462 | Progeria. |
| " | 463 | Acromegaly. |
| " | 464 | Fröhlich's disease. |
| " | 465 | Infantile gigantism. |
| " | 466 | Addison's disease. |
| " | 467 | Sexual precocity. |
| " | 468 | Sexual precocity. |
| " | 469 | Feminism. |
| " | 470 | Ateleiosis. |
| " | 471 | Ateleiosis. |
| " | 472 | Cretinism. |
| " | 473 | Graves's disease. |
| " | 474 | Microcephaly. |
| Mr. Frank W. Pettigrew,
Edinburgh. | 475 | Series of five large sections illustrating fibromatosis of the stomach. |

SECTION IIIa.—Chemical Pathology and Physiology.

Lent by :

- | | |
|----------------------------------|--|
| Dr. Hugh Maclean,
London. | Series of preparations to illustrate different lipoids obtained from tissues, with description of methods of extraction, purification, etc. |
| „ | 476 Specimens of <i>lecithin</i> . |
| „ | 477 Specimen of <i>cuorin</i> . |
| „ | 478 Specimen of <i>diamino-monophosphatide</i> . |
| „ | 479 Specimen of water soluble lipoids. |
| Dr. W. Moir, London. | 480 Lipoid substances obtained from coptic brain, A.D. 500. |
| Prof. S. B. Schryver,
London. | 481 Chemical specimens, illustrating some researches on the bile acids. |
| Dr. J. W. McNee,
Glasgow. | 482 Autenrieth-Funk Colorimeter for estimating the chlorestin content of blood serum. |
| Dr. H. M. Vernon,
Oxford. | 483 Tracing showing the action of various concentrations of ethyl alcohol on the heart of the tortoise. |
| „ | 484 Tracing showing the action of isopropyl alcohol on the heart of a tortoise. |
| „ | 485 Plotted curves showing the action of methyl, ethyl, isopropyl, isobutyl, and isoamyl alcohols on the heart of a tortoise. |
| „ | 486 <i>Collective method of estimating indophenol-oxidase in animal tissues:—</i>
5 gr. of minced kidney and 5 cc. of reagent at beginning of reaction. |
| „ | 487 5 gr. of minced kidney and 5 cc. of reagent after it has been oxidised to indophenol blue for one hour. |
| „ | 488 5 gr. of minced kidney and 5 gr. of reagent after one hour's oxidation together with 10 ccm. of alcohol to extract the indophenol. |
| „ | 489 Filtered indophenol solution. |
| „ | 490 Diluted indophenol solution of same tint as standard |
| „ | 491 Standard solution of indophenol. |

Lent by:

- | | | |
|----------------------------------|-----|---|
| Dr. H. M. Vernon,
Oxford. | 492 | Plotted curves showing the action of varying concentrations of ethyl, methyl, isopropyl, isobutyl, and isoamyl alcohols on the indophenol oxidase present in the rabbit's kidney. |
| Dr. G. Barger, London. | 493 | Specimens of putrefactive amines obtained from proteins. |
| " | 494 | Tracing illustrative of the physiological action of the above. |
| Prof. Dr. Abderhalden,
Halle. | 495 | Apparatus for the determination of ferments active to substances foreign to the blood: |
| " | 496 | Apparatus for the dialysing method for the detection of substances foreign to the blood (optic method). |
| " | 497 | Determination tubes and cooling jacket. |
| " | 498 | Vacuum distilling apparatus for the preparation of peptone from the organs. |
| " | 499 | Apparatus for the extraction of fat from fatty organs. |
| " | 500 | A case of serum tubes for the taking of blood samples. |

Chemical analysis of normal and pathological constituents of the urine, faeces and gastric content. The tests have been selected by the exhibitors as the most reliable for their purpose.

(a) *Urine.*

- | | | |
|--|-----|--|
| Dr. E. L. Kennaway and
Dr. J. H. Ryffel,
London. | 501 | Total Nitrogen. (Kjeldahl's method.) |
| " | 502 | Ammonia. (Folin's method.) |
| " | 503 | Ammonia and acidity. (The formaldehyde method.) |
| " | 504 | Creatinin. (Folin's method.) |
| " | 505 | Uric Acid. (Hopkins-Folin's method.) |
| " | 506 | Purin Bases. (Modified Camerer-Armstein's method.) |
| " | 507 | "Urea" in blood. (Yvon-Ambard's hypobromite method.) |
| Prof. S. B. Schryver,
London. | 508 | Chlorine in urine. (Volhard's method.) |
| Dr. Hugh Maclean,
London. | 509 | Protein: <i>qualitative</i> . (Salicyl-sulphonic acid test.) |
| " | 510 | Idem. (Coagulation test (heat).) |

Lent by:

Dr. Hugh Mclean,
London.

- | | |
|-----|--|
| 511 | Idem. (Cold nitric acid test.)
Methods of distinguishing between pro-
tein and interfering substances:— |
| 512 | Nucleo-protein. |
| 513 | Mucin. |
| 514 | Phosphates. |
| 515 | Urea. |
| 516 | Resins, etc. |
| 517 | Protein: <i>quantitative</i> (Esbach's albumino-
meter). |
| 518 | Proteoses in urine: Bence-Jones' protein
(Salicyl-sulphonic acid test.) |
| 519 | Idem. (Nitric acid test.) |
| 520 | Idem. (Acetic acid and sodium
chloride test.) |
| 521 | Idem. (Formation of coagulum on
heating which disappears on
further heating.) |
| 522 | Sugar: <i>qualitative</i> . (Fehling's test.) |
| 523 | Idem. (Safranin test.) |
| 524 | Idem. (Trommer's test.) |
| 525 | Idem. (Phenyl-hydrazin test.) |
| 526 | Idem. (Fermentation test.) |
| 527 | Sugar: Quantitative. (Bertrand's
method.) |
| 528 | Idem. (Pavy's method.) |
| 529 | Pentosuria. (Bial's test.) |
| 530 | Tests to show the effect of creatinin
in urine on Fehling's test and
interpretation of certain
anomalous reactions. |

Dr. Mackenzie Wallis,
London.

- | | |
|-----|----------------------------------|
| 531 | Bile pigments. (Huppert's test.) |
| 532 | Idem. (Modified Huppert's test.) |
| 533 | Idem. (Electrolysis tests.) |
| 534 | Bile salts. (Hay's tests.) |

Blood and Pigments.

Lent by:

Dr. Mackenzie
Wallis, London.

- | | |
|-----|----------------------------------|
| 535 | Hæmoglobin. (Spectroscope test.) |
| 536 | Idem. (Guaiacum test.) |
| 537 | Idem. (Tolidine test.) |

Lent by :

Dr. Mackenzie Wallis, London.	538 Methæmoglobin. (Spectroscope test.)
"	539 Hæmatoporphyrin. (Spectroscope test.)
"	540 Idem. (Separation of acid hæmatoporphyrin.)
"	541 Urobilin. (Spectroscope test.)
"	542 Idem. (Chemical test.)
"	543 Specimen of urochrome in urine.
"	544 Specimen of uro-rosein and uro-erythrin.
"	545 Specimen of methylene blue in urine.
"	546 Specimen of carboluria.
"	547 Pus in urine. (Microscopical test.)

Acetone bodies.

Dr. W. H. Hurtley.	548 Aceto-acetic acid. (Ferric chloride test.)
"	549 Idem. (Arnold's test.)
"	550 Idem. (Riegler's test and its modification.)
"	551 Idem. (Rothera's test, for acetone as a test for aceto-acetic acid.)
"	552 Idem. (A new test.)
"	553 Idem. (Colorimetric estimation by the new test.)
Dr. Mackenzie Wallis, London.	554 β -oxybutyric acid (chemical test.)
"	555 Specimen of ethyl β -oxybutyrate.
"	556 Indican (various test for comparison)
"	557 Cystinuria. Specimens showing cystine crystals.
"	558 Idem. Separation and estimation of cystine.
"	559 Idem. Microscopical preparations of crystals.
"	560 Alkaptonuria. Specimens of urine, showing the characteristic darkening on standing.
"	561 Idem. Various tests dependent upon the presence of homogentisic acid : (a) Fehling's test. (b) Ammoniacal silver nitrate test. (c) Ferric chloride test.
"	562 Idem. Specimens of homogentisic acid.
"	563 Diaminuria. Specimen of <i>putrescin</i> and <i>cadaverin</i> isolated from urine.

(b) *Fæces.**Lent by*

- | | | |
|-------------------------------------|-----|---|
| Dr. Francis H. Goodbody,
London. | 564 | Occult blood ; (benzidin test). |
| " | 565 | Idem ; (aloin test). |
| " | 566 | Urobilin ; (mercury perchloride test). |
| " | 567 | Schmidt's fermentation test. |
| " | 568 | Extraction of fat from fæces. |
| Dr. Francis H. Goodbody,
London. | 569 | Large intestine, showing sites of conversion of urobilinogen into urobilin. |
| " | 570 | Estimation of volatile acids. (Harley's method.) |
| | | Microscopical specimens of : |
| " | 571 | Muscle fibres in fæces. |
| " | 572 | Vegetable cells in fæces. |
| " | 573 | Mucus in fæces. |
| " | 574 | Starch granules in fæces (stained with iodine and potassium iodide). |
| " | 575 | Volatile acids. (Harley's method, which is also suitable for stomach contents.) |
| " | 576 | Microscopical detection of muscle fibres. |
| " | 577 | Microscopical detection of vegetable cells. |
| " | 578 | Microscopical detection of mucus. |
| " | 579 | Microscopical detection of starch granules (stained with iodine and iodide of potassium). |

Intestinal Parasites.

- | | | |
|--|-----|---|
| Dr. F. T. Bridgeman,
London. | 580 | Tænie saginata cysts in veal. |
| " | 581 | Echinococcus cyst in the liver of sheep. |
| " | 582 | Tænia cœnurus. |
| " | 583 | Tænia saginata. |
| " | 584 | Tænia solium. |
| " | 585 | Tænia expansa. |
| " | 586 | Solenophorus megaloccephalus. |
| " | 587 | Tænia cucumerina. |
| " | 588 | Bothriocephalus latus. |
| Prof. J. W. W. Stephens,
Liverpool. | 589 | Series of specimens illustrating the life to history of the common tape-worm of |
| | 616 | man, cat and dog. |

Amœba coli.

Lent by :
Dr. A. C. Stevenson,
London.

- Microscopical specimens showing :
- 617 Smear of caecal contents.
618 Section of caecum.
619 Cysts in section of caecum.

Trichomonas intestinalis.

- Microscopical specimens showing :
- 620 Section of caecum.
621 Smear of contents.

Lambliæ intestinalis.

- 622 Microscopical specimen of section of jejunum showing parasite.

Coccidiosis of intestine.

- 623 Microscopical specimen showing section of large bowel.

(c) Gastric Content.

Lent by :
Dr. P. A. Pantou and
Dr. Tidy, London.

- 624 Free hydrochloric acid. (Günsburg's and Töpfer's method.)
625 Free and total acidity.
626 Pepsin. (Fuld and Levisohn's method.)

Prof. S. B. Schryver,
London.

Pseudo-chylous fluids.

Drs. Gaskell and
Mackenzie Wallis,
London.

- 627 Specimens of pseudo-chylous ascitic fluids.
628 Various tests, illustrating the physical and chemical properties of pseudo-chylous fluids, *e.g.*, the removal of opalescence by filtration through a Pasteur candle; precipitation with ammonium sulphate, etc.

Prof. Otto Folin, M.D.,
Boston.

New rapid methods of analysis :

- 629 Determination of total nitrogen in urine
630 Determination of urea in urine.

Lent by :

- | | | |
|------------------------------------|-----|--|
| Prof. Otto Folin, M.D.,
Boston. | 631 | Determination of preformed ammonia in urine. |
| " | 632 | Determination of uric acid in urine and blood. |
| " | 633 | Determination of non-protein nitrogen in blood. |
| " | 634 | Determination of urea in blood. |
| Prof. Dr. Adolf Schmid,
Halle. | 635 | Cast showing the appearances of fæces from meat diet. |
| " | 636 | Cast showing appearances of fæces from vegetable diet. |
| " | 637 | Cast showing appearances of fæces from milk diet. |
| " | 638 | Cast showing appearances of fæces from test diet (normal fæces). |
| " | 639 | Cast showing the appearances of fæces during constipation. |
| " | 640 | Cast showing the appearances of fæces in fermentation dyspepsia. |
| " | 641 | Cast showing the appearances of fæces in tuberculosis of the mesenteric glands : |
| | | In sprue, |
| | | In pancreatitis, |
| | | In severe colitis. |
| Dr. John McCall, Glas-
gow. | 642 | Straight line recording lever for physiological work |

SECTION IV.—Bacteriology and Immunity.

I.—LEPROSY.

Lent by :
Dr. H. Bayon.

- | | |
|---|--|
| | 643 Spleen of a case of leprosy lesions simulating tubercle. |
| " | 644 Intestine from the same case. Lesions very similar to tubercle. |
| " | 645 Similar lesions of the spleen of a leper. |
| " | 646 Microscopical specimens of smear from the skin of a leper. |
| " | 647 Smear from Kedrowsky's culture. |
| " | 648 Smear from Duval's culture. |
| " | 649 Smear from Clegg's culture. |
| " | 650 Lister's and William's streptothrix from the spleen of a leper. |
| " | 651 Smear from Rost's culture. |
| " | 652 Smear from the rat leprosy culture. |
| " | 653 Liver of the rabbit injected intravenously with Kedrowsky's bacilli. |
| " | 654 Skin of a rat suffering from rat leprosy. |
| " | 655 Skin of a leper. |
| " | 656 Skin of the spleen of a rat inoculated with leprosy virus (2nd passage). |
| " | 657 Spleen of a mouse injected with Kedrowsky's bacilli. |
| " | 658 Skin of a case of "lupoid" variety of leprosy, showing giant cells. |
| " | 659 Caseation and necrosis in the liver of a leper. |
| " | 660 Series of photographs showing various clinical appearances of the lesions of leprosy. |
| " | 661 Series of photographs of the various strains of <i>Leptra</i> bacilli. |
| " | 662 Series of cultures of milk, butter, grease, dung, smegma, earth, etc., of acid-fast bacilli. |
| " | 663 Microbes from various sources including including tubercle bacilli. |

Lent by :

- | | |
|--------------------|--|
| Dr. Twort, London. | 664 Cultures of Johne's bacilli. |
| " | 665 Cultures of human tubercle bacilli. |
| " | 666 Cultures of bovine tubercle bacilli. |
| " | 667 Cultures of avian tubercle bacilli. |
| " | 668 Series of films of the above. |
| " | 669 Sections showing Johne's bacilli. |
| " | 670 Intestines and glands from Johne's diseases. |
| " | 671 Bacilli Phlei extract and powder growth of suitable bacilli. |

II.—CANCER.

- | | |
|--|---|
| Dr. E. F. Bashford, Imperial Cancer Research Fund, London. | Charts of experiments illustrating the main facts of immunity or resistance to the growth of transplanted tumours. |
| " | 672 Heterologous inoculations ; no protection from inoculation of sarcoma against carcinoma. |
| " | 673 Homologous inoculations ; immunization with skin. |
| " | 674 Idem. |
| " | 675 Idem ; extent and duration of resistance. |
| " | 676 Idem ; protection with spontaneous tumour and with skin. |
| " | 677 Idem ; immunizing effect of normal tissues. |
| " | 678 Abolition of immunizing power by exposure to radium. |
| " | 679 (a) Temporary growth of normal mouse liver in normal mice. (b) Temporary character of growth of undifferentiated tumour in normal mice. |
| " | 680 Difference in rate of growth of 1st and 19th generations of tumour. |
| " | 681 Difference in rate of growth in two strains of tumours. |
| " | 682 Progressive growth of tumours in certain strains. |
| " | 683 Suitability for the development of tumours on re-inoculation. |
| " | 684 Removal of tumours does not alter the original suitability of mice for the development of certain tumours. |

Lent by :

Dr. E. F. Bashford, Imperial Cancer Research Fund, London

- 685 Growth of a tumour, followed by removal of the same does not render mice unsuitable for subsequent inoculation.
- 686 Induction of considerable percentage of resistance to re-inoculation.
- 687 Sarcoma which renders the majority of mice unsuitable for growth on re-inoculation.
- 688 Rat sarcoma induces a high degree of immunity which renders rats unsuitable for re-inoculation. Incomplete excision does not restore their susceptibility.
- 689 Tumour producing very high degree of immunity may render mice unsuitable for re-inoculation. Persistence of resistance in spite of cessation of the growth.
- 690 Induction of resistance of certain strain in all mice.
- 691 Simultaneous inoculation of tumours of different types of growth, the progressively growing tumour is markedly affected.
- 692 Immunity induced by certain sarcomata inhibits the development of carcinoma grafts.
- 693 Immunization of animals bearing tumours against re-inoculation.

Statistics.

- 694 Recorded increase of deaths in females from cancer of all organs in England and Wales.
- 695 A corresponding chart for males.
- 696 Analysis of the recorded increase in cancer mortality according to the organ attacked (males).
- 697 Analysis of the recorded increase in cancer mortality according to the organ attacked (females).
- 698 Age and sex mortality from cancer of various parts of the body.

Heredity.

Lent by:
Dr. E. F. Bashford, Imperial Cancer Research Fund, London.

- 699 Curve showing the number of deaths from malignant new growth in 100 deaths from all causes in female mice of recent cancerous ancestry, compared with the same ratio in female mice having more remote cancerous ancestry.
- 700 Curves showing the death-rate from cancer in the same two groups of mice.
- 701 Pedigree showing cancerous and non-cancerous ancestors of mice.

Charts of Propagation.

- 702 Propagation of tumour which produced sarcoma irregularly and then lost this power.
- 703 Propagation of tumour which produced sarcoma regularly in all mice for a long time, but is now losing this property.
- 704 Propagation of squamous-celled carcinoma, showing gradual loss of keratinization.

Microscopical Specimens.

- 705 Squamous celled carcinoma of cardiac portion of the stomach of the mouse.
- 706 Alevolar carcinoma of mamma of the mouse; metastasis in aortic lymph gland.
- 707 Spontaneous carcinoma mammae of the inguinal region of the mouse; metastasis of aortic lymph gland.
- 708 Group of four axillary glands showing metastasis of mammary carcinoma.
- 709 Axillary lymph gland with metastasis of papillary cystic adeno-carcinoma of the mamma.
- 710 Spontaneous tumour showing juxtaposition of acinous and squamous epithelium.
- 711 Same tumour of 8th generation. Perfect reproduction of structure of stratified squamous epithelium in the wall of the epithelial cyst.

Lent by:

Dr. E. F. Bashford, Imperial Cancer Research Fund, London.

- | | |
|-----|---|
| 712 | Adeno-carcinoma of the kidney. |
| " | 713 Idem of the ovary. |
| " | 714 Idem of the preputial gland. |
| " | 715 Normal preputial gland from adult male mouse. |
| " | 716 Melanotic tumour. |
| " | 717 Squamous celled carcinoma from the surface of the face. |
| " | 718 Squamous celled carcinoma; typical complete keratinization. |
| " | 719 Papilliferous cystic mammary adeno-carcinoma of very slow growth and constance in structure. |
| " | 720 Healing: absortion of spontaneoustumour. |
| " | 721 Glycogen-forming mammary carcinoma; transplated tumour of the 25th generation. |
| " | 722 Six preparations showing stages in the to development of sarcoma during propa- |
| " | 727 gation of carcinoma. |
| " | 728 Sarcomadevelopmenttumour; old "mixed tumour" with halo-formation. |
| " | 729 Spindle-celled carcinomatous strain. In old tumour there is a more or less complete return to the acinous condition in this strain. |
| " | 730 Sarcoma development in a spontaneous tumour. |
| " | 731 Metastases in the lung; primary carcinoma in the liver of a cow. |
| " | 732 Formation of new stroma in "early stage" of tumour. Animal killed four days after inoculation. |
| " | 733 The whole of a graft in an immune mouse, preserved five days after inoculation. |

Macroscopic Specimens.

- | | |
|-----|--|
| 734 | Specimens illustrating malignant new to growths in the cow and spontaneous |
| 753 | and transplanted tumours of the mouse, rat, guinea-pig and rabbit. |

Lent by:

- | | |
|---|---|
| Dr. G. W. Nicholson. | 754 Transplanted carcinomata of a rat's kidney. |
| " | 755 Tumour of the third generation. |
| " | 756 Idem. |
| " | 757 Tumour of the fifth generation. |
| " | 758 Tumour of the eighth generation. |
| Dr. A. J. Gelarie,
Liverpool. | 759 Model of the mitotic figure of transplanted mouse carcinoma (Ehrlich's Stamm 11). |
| " | 760 Model of the mitotic figure of transplanted mouse carcinoma. |
| " | 761 Model of the mitotic figure of transplanted mouse carcinoma. |
| " | 762 Model of the mitotic figure of transplanted mouse carcinoma. |
| " | 763 Model of the mitotic figure of transplanted mouse carcinoma. |
| " | 764 Model of the mitotic figure of transplanted mouse carcinoma. |
| " | 765 Model of the mitotic figure of transplanted mouse carcinoma (Glasgow mouse tumour). |
| " | 766 Model of the mitotic figure of spontaneous mouse carcinoma of the neck. |
| " | 767 Model of the mitotic figure of spontaneous mouse carcinoma of the neck |
| " | 768 Model of the mitotic figure of human scirrhus gland of axilla. |
| " | 769 Model of the mitotic figure of human scirrhus gland of axilla. |
| " | 770 Model of the mitotic figure of proliferating epithelium of rabbit's ear. |
| " | 771 Series of microscopic sections illustrating the above. |
| " | 772 Series of stereoscopic photographs illustrating the above. |
| " | 773 Series of lantern slides illustrating the above. |
| Drs. E. H. and H. C. Ross,
and J. W. Cropper,
London. | 774 Microscopical specimen of artificial production of tumours by direct inoculation of chemical agents ("Jelly method"). |
| " | 775 Microscopical section of adenoma induced in goats' breasts. |

Lent by :

- Drs. E. H. and H. C. Ross, 776 Idem.
and J. W. Cropper,
London.
- „ 777 Specimen of adenoma induced in goats' breasts.
- „ 778 Idem.
- „ 779 Microscopical specimen of induced cell division and reproduction ("Jelly method").
- „ 780 Series of 20 lantern slides of induced cell division in lymphocytes.
- „ 781 Three microscopical preparations of the same.

III.—ANAPHYLAXIS.

- Prof. Friedberger, 782 An exhibit. (*See Appendix.*)
Charlottenburg.

IV.—SYPHILIS.

Leucocytozoon Syphilidis.

- Mr. G. E. R. McDonagh, 783 Photograph illustrating trophozoite in
F.R.C.S., London. connective tissue cell commencing to bud to form sexual merozoites.
- „ 784 Photograph illustrating further stage of same.
- „ 785 Photograph illustrating trophozoite in connective tissue cell.
- „ 786 Photograph illustrating binary fission of same.
- „ 787 Photograph illustrating first sub-division of trophozoite towards formation of a sexual spore cyst.
- „ 788 Photograph illustrating second sub-division of same.
- „ 789 Photograph illustrating asexual spore cyst.
- „ 790 Photograph illustrating asexual spore cyst with daughter spore cyst.
- „ 791 Photograph illustrating asexual spore cyst with daughter spore cysts.
- „ 792 Photograph illustrating extracellular male gametocyte.
- „ 793 Photograph illustrating intracellular male gametocyte.

Lent by:

- | | | |
|--|-----|---|
| Mr. G. E. R. McDonagh
F.R.C.S., London. | 794 | Photograph illustrating male gametocyte showing three nuclear bodies. |
| " | 795 | Photograph illustrating further development of the three nuclear bodies. |
| " | 796 | Photograph illustrating spirochaetal coil. |
| " | 797 | Photograph illustrating extracellular development of male gametocyte. |
| " | 798 | Photograph illustrating further stage of same. |
| " | 799 | Photograph illustrating further stage of same. |
| " | 800 | Photograph illustrating female gametocyte. |
| " | 801 | Photograph illustrating female gamete. |
| " | 802 | Photograph illustrating female gamete, just after fertilization. |
| " | 803 | Photograph illustrating zygote. |
| " | 804 | Photograph illustrating binary fission of zygote. |
| " | 805 | Photograph illustrating sporoblast formation of zygote. |
| " | 806 | Photograph illustrating further development of sporoblasts. |
| " | 807 | Photograph illustrating sexual spore cyst. |
| " | 808 | Photograph illustrating sexual spore cyst with an escaping sporoblast. |
| " | 809 | Photograph illustrating sporoblast. |
| " | 810 | Photographs illustrating a sporoblast and sporozoite. |
| " | 811 | Photograph illustrating binary fission of sporoblast. |
| " | 812 | Photograph illustrating sporozoites developed from a sporoblast. |
| " | 813 | Schematic representation of the life cycle of the <i>leucocystozoon syphilidis</i> . |
| " | 814 | Drawing showing development into spirochaetal coils from a late syphilitic skin lesion. |
| " | 815 | Drawing showing various stages from a section of a lymphatic gland. |
| " | 816 | Microscopic slide showing trophozoite in connective tissue cell. |

Lent by :

- | | |
|---|---|
| Mr. G. E. R. McDonagh,
F.R.C.S., London. | 817 Microscopic slide showing extracellular male gametocyte |
| " | 818 Microscopic slide showing intracellular male gametocyte. |
| " | 819 Microscopic slide showing spirochaetal coil. |
| " | 820 Microscopic slide showing female gametocyte. |
| " | 821 Microscopic slide showing zygote. |
| " | 822 Microscopic slide showing binary fission of zygote. |
| " | 823 Microscopic slide showing sporoblast formation of zygote. |
| " | 824 Microscopic slide showing sexual spore cyst. |
| " | 825 Microscopic slide showing sexual spore cyst. |
| " | 826 Microscopic slide showing sporoblast. |
| " | 827 Microscopic slide showing sporozoite. |
| Drs. E. H. and H. C. Ross,
and J. W. Cropper,
London. | 828 Microscopical specimen of intra-cellular parasites in syphilis and its homologues in other animals. ("Jelly method.") |
| " | 829 Syphilitic organs of guinea-pigs and rabbits. |
| " | 830 Series of microscopic specimens of syphilis parasites in guinea-pigs and rabbits. |
| " | 831 Wall diagram of the parasities in human syphilis (<i>lymphocytozoon pallidum</i>). |
| " | 832 Wall diagram of the parasite of guinea-pig syphilis (<i>lymphocytozoon cobyae</i>). |
| Madame Fuchs, M.D.,
Paris. | 833 Series of microscopic specimens of spirochaeta pallida and forms connected with it. |

V.—GENERAL.

- | | |
|---------------------------------------|--|
| Prof. Dr. Goldmann,
Freiburg-i-Br. | 834 The digestive organs of the rat, vitally stained with pyrrhol-blue. |
| " | 835 The brain and nervous system of the hare, vitally stained with pyrrhol-blue. |
| Dr. J. Braxton Hicks,
London. | 836 Series of cultures illustrating the cultural characteristics of <i>micrococcus zymogenes</i> . |

Lent by :

- | | | |
|---|-----|---|
| Dr. J. Braxton Hicks,
London. | 837 | Series of cultures illustrating the cultural characteristics of a member of the proteus group, new species which caused septicæmia and death. |
| Dr. H. M. Woodcock,
London. | 838 | Microscopic slide of <i>selenomastix ruminantium</i> , a new type of parasitical protist. |
| Dr. Alexander Paine,
London. | 839 | Metabolism cage, with a simple device for collecting the solid and fluid excreta separately. |
| " | 840 | Bacterial filter, for filtrating small quantities of fluid. |
| Mr. John Maclean,
Chiswick. | 841 | Series of Petri dishes and culture tubes illustrating a method of isolation of organisms. (Modification of Walker's method). |
| Drs. E. H. & H. C. Ross,
and J. W. Cropper,
London. | 842 | Microscopical specimen of parasites (cell inclusions) in scarlet fever and measles ("Jelly method"). |
| " | 843 | Diagram of parasites in scarlet fever. |
| " | 844 | Microscopical specimen illustrating the influence of environment on amoebæ ("Jelly method.") |
| " | 845 | Drawing of new species of amoeba (<i>amoeba ostrea</i>). |
| " | 846 | Drawing of a live slide of amoebæ. |
| " | 847 | Series of drawings of amoebæ stained by the "Jelly method." |
| " | 848 | Drawing of conjugation of amoebæ. |
| " | 849 | Series of drawings showing variation in types of amoebæ. |
| " | 850 | Drawing of preparation of pure mixed cultures of amoebæ. |
| " | 851 | Drawing showing changes in the living unstained nucleus of amoebæ. |
| Mr. F. R. Chopping,
London. | 852 | A new pattern shaking machine. |
| " | 853 | A new form of drop bottle.
<i>Specimens of solmedia bacteriological culture media :—</i> |
| " | 854 | Agar agar. |
| " | 855 | Peptone beef broth. |
| " | 856 | McConkey's bile-salt neutral-red agar. |
| " | 857 | Drigalski-Conradi litmus-lactose-agar. |
| " | 858 | Sabourand's maltose agar. |
| " | 859 | Series of cultures of various organisms grown on solmedia. |

SECTION VI.—Medicine.

I.—HEART FAILURE.

Lent by:

- | | |
|----------------------------------|--|
| Dr. J. H. Teacher,
Glasgow. | 860 Specimen showing rupture of the papillary muscle of the mitral valve, leading to sudden death. |
| Dr. W. T. Ritchie,
Edinburgh. | 861 Electrocardiogram of auricular flutter. |
| " | 862 Electrocardiogram of auricular flutter. |
| " | 863 Electrocardiogram of auricular flutter. |
| " | 864 Electrocardiogram of extrasystoles (auricular fibrillation). |
| " | 865 Electrocardiogram of the heart block. |
| " | 866 Electrocardiogram of the action of the vagus on the human heart. |
| Dr. A. M. Kennedy,
Glasgow. | 867 Photomicrographs showing the lesions in myocarditis. |
| " | 868 Photomicrographs showing the auriculo-ventricular node and bundle. |
| " | 869 Photomicrograph showing the sino-auricular node. |
| " | 870 Photomicrograph showing the mechanism of cardiac arrhythmia in valvular disease. |
| " | 871 Photomicrograph showing the acute lesions in the auriculo-ventricular bundle in a case of partial heart-block. |
| " | 872 Photomicrograph showing the acute lesions in the auriculo-ventricular node and bundle in the case of complete heart block in diphtheria. |
| " | 873 Photomicrograph showing chronic lesions in the auriculo-ventricular bundle in a case of Adams-Stokes syndrome. |
| " | 874 Photomicrograph showing acute lesions in the auriculo-ventricular node in cases of "nodal rhythm" in acute cardiac disease. |
| Prof. Dr. Küpferle,
Freiburg | 875 Cinematographic skiagrams of the heart's action. |

II.—REMOVAL OF THYROID GLAND.

Lent by:

- Prof. Gley, Paris. 876 Skeleton of rabbit; thyroid gland removed 2 months 20 days before death.
- " 877 Photograph of the same animal.
- " 878 Radiogram of the same animal.
- " 879 Skeleton of control rabbit.
- " 880 Photograph of the same animal.
- " 881 Radiogram of the same animal.
- " 882 Photograph of a rabbit after removal of the thyroid gland, showing paralysis of the extensor muscles of the right fore-leg.
- " 883 Photograph of the same animal, showing the development of myxœdematous symptoms with exophthalmos. (Compared with a normal rabbit.)
- " 884 Photograph of a rabbit after removal of the thyroid gland, showing late paralysis of the extensor muscles.

Autochrome transparencies.

- " 885 Rabbit after removal of the thyroid gland, "myxœdème fruste," typical of a rabbit with cutaneous trophic disturbances.
- " 886 Idem. showing cutaneous trophic disturbances.
- " 887 Control rabbit of the same litter.
- " 888 Photograph of a rabbit after removal of the thyroid gland.
- " 889 Photograph of the control rabbit.
- " 890 Photograph of an adult dog after removal of the thyroid and parathyroid glands, which was followed by convulsions and subsequent cachexia.
- " 891 Transparency of a puppy after the removal of the thyroid gland, which was followed by paralysis of the extensors and convulsions.
- Baron A. von Korányi, 892 Graphic representation of the course of the changes in the leucocytic count in cases of leukaemia, treated with benzol
Prof. of Medicine,
Budapest.

Lent by :

Dr. Adolf Schnée,
Schwalbach,

893 Photograph of an electric four cell bath for general and local internal application of galvanic, faradic, sinusoidal alternating, Leduc's, high frequency and other currents, for iontophoresis and kataphoresis.

894 Photograph of a "degrassator," a condenser discharge apparatus for rythmical discharges of electricity in the treatment of obesity, of heart disease, muscular weakness, muscular atrophy, chronic constipation, etc., also showing a "degrassator couch."

SECTION VII.—Surgery.

I.—MALIGNANT DISEASE OF THE LARGE INTESTINE.

Lent by :

- | | |
|--------------------------------|--|
| Prof. Dr. W. Körte,
Berlin. | 895 Diagram of the colon with its vessels
(Waldayer) |
| „ | 896 Specimens of carcinoma of the large
intestine, successfully removed by
operation. |
| „ | 897 Carcinoma of the cæcum. Patient lived
21 years without recurrence. |
| „ | 898 Carcinoma of the cæcum with invagina-
tion. The patient has lived $18\frac{1}{2}$ years
without recurrence. |
| „ | 899 Carcinoma of the pelvic colon. The
patient has lived $10\frac{3}{4}$ years without
recurrence. |
| „ | 900 Carcinoma of the ascending colon. The
patient has lived $9\frac{3}{4}$ years without
recurrence. |
| „ | 901 Carcinoma of the ascending colon. The
patient has lived $9\frac{1}{2}$ years without
recurrence. |
| „ | 902 Carcinoma of the descending colon.
The patient has lived $7\frac{1}{2}$ years without
recurrence. |
| „ | 903 Carcinoma of the ascending colon. The
patient has lived $6\frac{3}{4}$ years without
recurrence. |
| „ | 904 Carcinoma of the pelvic colon. The
patient has lived $3\frac{1}{4}$ years without
recurrence. |
| „ | 905 Carcinoma of the pelvic colon. The
patient has lived $5\frac{1}{2}$ years without
recurrence. |
| „ | 906 Carcinoma of the right side of the
transverse colon. Patient has lived
4 years 5 months without recurrence. |
| „ | 907 Carcinoma of the pelvic colon. Patient
has lived $3\frac{1}{2}$ years without recurrence. |
| „ | 908 Carcinoma of the splenic flexure and
ascending colon. The patient has lived
$3\frac{3}{4}$ years without recurrence. |

Lent by :

- | | |
|---|--|
| Prof. Dr. W. Körte,
Berlin. | 909 Carcinoma of the splenic flexure and descending colon. The patient has lived $3\frac{3}{4}$ years without recurrence. |
| | 910 Carcinoma of the pelvic colon. The patient has lived $2\frac{1}{4}$ years without recurrence. |
| " | 911 Diagram of the colon and its vascular system. |
| " | 912 General survey of all Geheimrat Körte's cases of malignant diseases of the large intestine. |
| " | 913 Results of radical operations undertaken on account of intestinal obstruction due to malignant disease. |
| " | 914 Frequency of the occurrence of intestinal obstruction in malignant diseases. |
| " | 914A Idem. (Various authors.) |
| " | 914B Idem. (Geheimrat Körte.) |
| " | 915 Comparison of the results of resection of the large intestine at one sitting and at several sittings (various surgeons). |
| " | 916 Comparison of the results of resection at one sitting (English surgeons). |
| " | 917 Results of radical operations arranged according to the seat of the tumours (Geheimrat Körte). |
| " | 918 Idem. (various surgeons). |
| " | 919 Cures of long duration by means of radical operations for malignant diseases of the large intestine (Geheimrat Körte). |
| " | 920 Idem. (various surgeons). |
| " | 921 Entero-anastomosis with colostomy for malignant diseases of the intestine. |
| Mr. Hamilton Drummond, F.R.C.S. | 922 Columnar celled carcinoma of cæcum and ascending colon. |
| Prof. Rutherford Morison,
Newcastle-on-Tyne. | 923 Carcinoma of the caput cæcum. |
| " | 924 Columnar celled carcinoma of the ascending colon. |
| " | 925 Carcinoma of the transverse colon. |
| " | 926 Columnar celled carcinoma of the pelvic colon. |
| " | 927 Columnar celled carcinoma of the rectum. |

Lent by:

- | | |
|--|---|
| Prof. Rutherford Morris-
son, Newcastle - on -
Tyne, | 928 Cancer of the rectum. |
| „ | 929 Intussusception of the pelvic colon,
caused by submucous lipoma. |
| Mr. E. W. Miles, F.R.C.S.,
London. | 930 Carcinoma of the hepatic flexure. |
| „ | 931 Multiple polypi and carcinomata of the
rectum and pelvic colon. |
| „ | 932 Adenocarcinoma of the rectum. |
| „ | 933 Adenocarcinoma of the rectum. |
| „ | 934 Papillary form of adenocarcinoma of the
anal canal. |
| „ | 935 Adenocarcinoma of the rectum. |
| „ | 936 Adenocarcinoma of the rectum. |
| „ | 937 Adenocarcinoma of the rectum. |
| „ | 938 Adenocarcinoma of the anal canal. |
| „ | 939 Adenocarcinoma of the rectum. |
| „ | 940 Adenocarcinoma of the rectum. |
| „ | 941 Peculiar adenocarcinoma of the skin of
the buttock. |

II.—THE TREATMENT OF THE TUMOURS OF THE BRAIN.

- | | |
|----------------------------------|--|
| Dr. Angelo Chiasserini,
Rome. | 942 Brains of dogs in whom the pituitary
body has been removed. |
| „ | 943 Photographs. |
| „ | 944 Microscopic preparations. |
| „ | 945 Photomicrographs. |

III.—ANEURYSMS.

The following collection has been collected and arranged by Mr. James Berry, F.R.C.S., and Dr. de Havilland Hall, F.R.C.P. (London).

Thoracic Aneurysms.

A.—Aortic.

- | | |
|--------------------------------|--|
| St. Bartholomew's
Hospital. | 946 Fusiform aneurysm of the arch of the
aorta. |
| Middlesex Hospital. | 947 Idem. |
| St. Thomas's Hospital. | 948 Idem. |
| „ | 949 Idem. |

Lent by :

London Hospital.	950 Sacculated aneurysm of the arch of the aorta.
University College Hospital.	951 Idem.
St. Thomas's Hospital.	952 Aneurysm of the descending aorta.
Guy's Hospital.	953 Aneurysm eroding ribs.
"	954 Aneurysm eroding the sternum.
St. Barthomew's Hospital	955 Idem.
Royal Free Hospital.	956 Idem.
Charing Cross Hospital	957 Aneurysm eroding vertebræ.
University College Hospital.	958 Idem.
"	959 Idem.
Westminster Hospital.	960 Idem.
St. Bartholomew's Hospital.	961 Aneurysm rupturing into the pericardium.
Guy's Hospital.	962 Idem.
Westminster Hospital.	963 Idem.
London Temperance Hospital.	964 Aneurysm rupturing the left ventricle.
St. Bartholomew's Hospital.	965 Aneurysm rupturing the pulmonary artery.
Guy's Hospital.	966 Aneurysm rupturing the pleura.
St. Bartholomew's Hospital.	967 Aneurysm rupturing into the trachea.
"	968 Idem.
"	969 Idem.
University College Hospital.	970 Idem.
"	971 Idem.
Guy's Hospital.	972 Aneurysm rupturing into the left bronchus.
"	973 Aneurysm rupturing into the lung.
"	974 Aneurysm compressing the left recurrent nerve.
St. Bartholomew's Hospital.	975 Aneurysm compressing the trachea.
"	976 Idem.
Westminster Hospital.	977 Idem.
St. Bartholomew's Hospital.	978 Aneurysm compressing the lung.
Middlesex Hospital.	979 Idem.

Lent by :

Middlesex Hospital.	980 Aneurysm treated by the introduction of wire, etc.
"	981 Idem.
"	982 Idem.
Charing Cross Hospital	983 Idem.
Westminster Hospital	984 Idem.
"	985 Idem.

B.—Innominate.

St. Thomas's Hospital :	986 Aneurysm of the innominate artery.
"	987 Idem.
Middlesex Hospital	988 Idem.
"	989 Idem.
"	990 Idem.
Guy's Hospital	991 Idem.
"	992 Aneurysm of the innominate artery, compressing the trachea.
Royal Free Hospital	993 Idem.
Westminster Hospital	994 Aneurysm of the innominate artery, rupturing into the posterior triangle of neck.
Royal Free Hospital	995 Aneurysm of the innominate artery treated by ligation and introduction of iron wire.
London Hospital	996 Aneurysm of the innominate artery cured after venesection performed 42 times.
Middlesex Hospital	997 Aneurysm of the innominate artery, with wound of the internal jugular vein.
St. Bartholomew's Hospital	998 Aneurysm of the innominate artery compressing carotid artery.
Fleet-Surgeon Bassett Smith, London	999 Aneurysm of the left ventricle, rupturing into the pericardium.

Abdominal Aneurysms.

London Hospital.	1000 Fusiform aneurysm of the abdominal aorta.
Charing Cross Hospital.	1001 Aortic aneurysm rupturing into the abdominal cavity.
Guy's Hospital.	1002 Idem.
Westminster Hospital.	1003 Idem.
Guy's Hospital.	1004 Aortic aneurysm rupturing into the mesentery.

Lent by :

St. Bartholomew's Hospital.	1005	Aortic aneurysm eroding vertebrae.
King's College Hospital.	1006	Idem.
St. Thomas's Hospital.	1007	Idem.
Middlesex Hospital	1008	Aortic aneurysm eroding vertebrae and ribs.
Guy's Hospital	1009	Splenic aneurysm.
"	1010	Idem.
London Hospital.	1011	Idem.
Guy's Hospital.	1012	Aneurysm of the superior mesenteric artery.
University College Hospital	1013	Idem.
Westminster Hospital	1014	Idem.
Guy's Hospital	1015	Aneurysm of the gastro-epiploic artery.
"	1016	Multiple abdominal aneurysms.
St. Bartholomew's Hospital	1017	Idem.
"	1018	Abdominal aneurysm treated by the introduction of wire.
Middlesex Hospital	1019	Idem.

Aneurysms of the Head and Neck.

Guy's Hospital	1020	Aneurysm of the common carotid artery.
St. Thomas's Hospital	1021	Aneurysm of the internal carotid artery.
King's College Hospital	1022	Idem, calcification and spontaneous cure.
St. Bartholomew's Hospital	1023	Idem.
St. Thomas's Hospital.	1024	Idem, rupturing into the pharynx.
Westminster Hospital	1025	Idem, " " "
University College Hospital	1026	Idem, mistaken for abscess, and opened.
"	1027	Idem, successfully treated by excision.
Guy's Hospital	1028	Idem, treated by ligation of common carotid.
University College Hospital	1029	Aneurysm of the external carotid artery.
King's College Hospital	1030	Aneurysm of the basilar artery.

Aneurysm of the Upper Limb.

St. Bartholomew's Hospital	1031	Aneurysm of the subclavian artery.
St. George's Hospital	1032	Aneurysm of the subclavian artery, treated by pressure.

Lent by :

St. George's Hospital	1033	Aneurysm of the subclavian artery, treated by excision.
Westminster Hospital	1034	Aneurysm of the subclavian artery, treated by ligation.
University College Hospital.	1035	Idem.
Guy's Hospital	1036	Aneurysm of the subclavian artery, rupturing into the cellular tissue.
St. George's Hospital	1037	Aneurysm of the axillary artery.
Guy's Hospital	1038	Idem.
Middlesex Hospital	1039	Idem.
University College Hospital	1040	Arterio-venous aneurysm of the brachial artery.
"	1041	Idem.
"	1042	Saccular venous aneurism of the brachial artery, treated by excision.
St. Thomas's Hospital	1043	Aneurysm of the brachial artery.
Charing Cross Hospital	1044	Idem.
"	1045	Idem.
"	1046	False aneurysm of the brachial artery.
"	1047	Aneurysm of the brachial and ulnar arteries.
Middlesex Hospital	1048	Aneurysm of the ulnar artery.
London Hospital	1049	Idem.
St. Thomas's Hospital	1050	Aneurysm of the radial artery.
"	1051	Idem.
Guy's Hospital	1052	Idem.

Aneurysms of the lower limb.

Guy's Hospital	1053	Varicose aneurysm of the common iliac artery.
King's College Hospital	1054	Varicose aneurysm of the iliac and femoral arteries.
St. Bartholomew's Hospital	1055	Varicose aneurysm of the gluteal artery.
Guy's Hospital	1056	Varicose aneurysm of the common femoral artery.
London Hospital	1057	Idem.
"	1058	Idem.
St. George's Hospital	1059	Idem.
"	1060	Idem.
"	1061	Idem.

Lent by :

St. Bartholomew's Hospital	1062 Varicose aneurysm of the common femoral artery.
"	1063 Idem.
University College Hospital	1064 Idem.
St. Thomas's Hospital	1065 Idem.
University College Hospital	1066 Varicose aneurysm of the common femoral and external arteries iliac.
"	1067 Aneurysm of the superficial femoral artery.
"	1068 Idem.
St. George's Hospital.	1069 Idem.
"	1070 Idem.
"	1071 Femoral artery from the preceding.
St. Thomas's Hospital.	1072 Aneurysm of the superficial femoral artery.
Guy's Hospital.	1073 Aneurysm of the deep femoral artery.

Popliteal Aneurysms.

St. Thomas's Hospital.	1074 Fusiform popliteal aneurysm.
"	1075 Idem.
King's College Hospital.	1076 Sacculated popliteal aneurysm.
St Bartholomew's Hospital.	1077 Popliteal aneurysm, cured by thrombosis.
St. Thomas's Hospital.	1078 Popliteal aneurysm.
St. George's Hospital.	1079 Popliteal aneurysm, compressing popliteal vein.
Westminster Hospital.	1080 Popliteal aneurysm, rupture of sac.
St. George's Hospital.	1081 Popliteal aneurysm, rupture of sac; amputation.
St. Mary's Hospital.	1082 Idem.
St. Bartholomew's Hospital.	1083 Popliteal aneurysm, rupture of sac.
Middlesex Hospital.	1084 Popliteal aneurysm, treated by pressure.
London Hospital.	1085 Idem.
University College Hospital.	1086 Idem.
St. George's Hospital.	1087 Idem.
"	1088 Idem.
Guy's Hospital.	1089 Popliteal aneurysm, treated by pressure and amputation.

Lent by :

St. Thomas's Hospital.	1090	Popliteal aneurysm, treated by pressure and amputation.
„	1091	Idem.
London Hospital.	1092	Idem.
St. George's Hospital.	1093	Popliteal aneurysm, treated by ligation.
St. Mary's Hospital.	1094	Idem.
St. Bartholomew's Hospital.	1095	Idem.
Guy's Hospital.	1096	Idem.
Charing Cross Hospital.	1097	Idem.
University College Hospital.	1098	Idem.
„	1099	Popliteal aneurysm treated by ligation and amputation.
Charing Cross Hospital.	1100	Idem.
University College Hospital.	1101	Popliteal aneurysm double femoral artery, ligature of one.
Guy's Hospital.	1102	Popliteal aneurysm treated by amputation.
Charing Cross Hospital.	1103	Popliteal aneurysm mistaken for sarcoma and treated by amputation.
Guy's Hospital.	1104	Popliteal aneurysm treated by introduction of horse-hair.
St. Thomas's Hospital.	1105	Popliteal aneurysm treated by needling.
Middlesex Hospital.	1106	Popliteal aneurysm treated by excision.
University College Hospital	1107	Aneurysm of the anterior tibial artery.
St. George's Hospital.	1108	Aneurysm of the posterior tibial artery.
Westminster Hospital.	1109	Idem.
St. Thomas's Hospital.	1110	Aneurysm of the dorsal artery of the foot.

Miscellaneous Aneurysm.

London Hospital.	1111	Aneurysm of the descending aorta of a foetus
St. George's Hospital.	1112	Dilated pulmonary artery, mistaken for an aortic aneurysm.
University College Hospital	1113	Aneurysm of the arch of the aorta, unsuspected during life.
Middlesex Hospital.	1114	Multiple aneurysms of the arch of the aorta.
St. Bartholomew's Hospital.	1115	Ruptured aneurysm of the pulmonary artery.

Lent by :

- King's College Hospital. 1116 Cirroid aneurysm.
 St. Thomas's Hospital. 1117 Idem.
 King's College Hospital. 1118 Dissecting aneurysm.
 St. Bartholomew's Hospital. 1119 Idem.
 Charing Cross Hospital. 1120 Arterio-venous aneurysm treated by amputation.
 Royal Free Hospital. 1121 Laminated clot from aneurysm.

III.—ANEURYSMS.

- Geh. Rat Prof. Dr. Spiess, 1122 Radiogram of aneurysm of the internal
 Frankfort. carotid artery, with destruction of the
Sella Turcica.
 „ 1123 Skiagram of the base of the skull.
 „ 1124 Idem.
 „ 1125 Idem.

IV.—MISCELLANEOUS.

- Mr. H. Morriston 1126 Specimen of half of the lower lobe of
 Davies, M.C., F.R.C.S., right lung removed by operation,
 London. showing primary squamous bronchial
 carcinoma.
 „ 1127 Mr. Morriston Davies' modification of Dr.
 Kornimann's apparatus for producing
 artificial pneumothorax.
 „ 1128 Mr. Morriston Davies' hyper-atmospheric
 apparatus for compensating pneumo-
 thorax during operations in the pleural
 cavity.
 Dr. Emil C. Beck, 1129 Series of 12 stereoscopic slides illustra-
 Chicago. ting the bismuth paste treatment of
 1140 suppurating sinuses and empyema.
 Dr. Arthur Evans. 1141 Squamous-celled carcinoma of the larynx,
 the pharynx, the upper part of the
 trachea and oesophagus.
 „ 1142 Photomicrograph of a portion of the
 growth.
 „ 1143 Photomicrograph, showing typical appear-
 ances of squamous-celled carcinoma.
 „ 1144 Photographs of the specimens.
 „ 1145 Instrument used to replace oesophagus.

SECTION VIIa.—Orthopædics.

I.—SCOLIOSIS.

Lent by :

Prof. R. W. Lovett, 1147 Types of Scoliosis.
Boston.

- „ 1148 Series of photographs showing total or false scoliosis.
 „ 1149 Series of photographs showing structural or true scoliosis.
 „ 1150 Series of photographs showing varieties of true scoliosis.
 „ 1151 Series of photographs showing methods of treatment in use at the Children's Hospital, Boston.
 „ 1152 Series of photographs showing results obtained from the treatment of total or false scoliosis.
 „ 1153 Series of photographs showing results obtained from the treatment of structural or true scoliosis.
 „ 1154 Series of photographs showing the movements of the normal spine.

Dr. E. G. Abbott,
Portland.

Series of illustrations of the five primary movements or positions of the normal spine: flexion, extension side-bending, rotation, torsion :

- „ 1155 Photograph of a model in the erect position.
 „ 1156 Diagram showing the plane of the pelvis, thorax and shoulders in the erect position.
 „ 1157 Radiogram showing the normal straight spine, pelvis and shoulders on the same antero-posterior plane.
 „ 1158 Photograph of a model in the position of complete flexion.
 „ 1159 Pattern cut to fit a model with the body in the position of complete flexion.
 „ 1160 Radiogram of the normal spine in the position of complete flexion.

Lent by :

- | | | |
|-------------------|------|---|
| Dr. E. G. Abbott, | 1161 | Photograph of a model with the spine in the position of complete hyper-extension. |
| Portland. | | |
| " | 1162 | Pattern cut to fit a model in the position of complete extension. |
| " | 1163 | Radiogram showing the normal spine in the position of complete hyper-extension. |
| " | 1164 | Photograph of a model with the body in the position of side-bending to the normal limit of motion. |
| " | 1165 | Pattern cut to fit the spine in the position of complete side-bending. |
| " | 1166 | Radiogram showing the normal spine in the position of complete side-bending. |
| " | 1167 | Photograph of a model with the body in a position of complete rotation. |
| " | 1168 | Diagram showing the difference in the pelvic and shoulder planes from the thoracic, in rotation. |
| " | 1169 | Radiogram showing a normal spine in the position of complete rotation. |
| " | 1170 | Photograph of a model with the body in a position of complete torsion. |
| " | 1171 | Diagram showing the difference in the pelvic plane from that of the thorax in torsion. |
| " | 1172 | Radiogram showing a normal spine in the position of complete torsion. |
| | | <i>Series of illustrations of the compound movements of the spine, in which movement in two directions takes place :</i> |
| " | 1173 | Photograph of a model with the body in the position of flexion plus side-bending. |
| " | 1174 | Diagram showing the shoulder, pelvis and thorax on the same antero-posterior plane in flexion plus side-bending. |
| " | 1175 | Radiogram of flexion plus side-bending. |
| " | | Photograph of a model showing the body in the position of flexion plus rotation. |
| " | 1176 | Diagram showing the difference in the plane of the pelvis and shoulders from that of the thorax in flexion plus rotation. |

Lent by :

Dr. E. G. Abbott,
Portland.

- | | |
|---|---|
| | 1177 Radiogram of flexion plus rotation. |
| " | 1178 Photograph of a model showing the body in the position of flexion plus torsion. |
| " | 1179 Diagram showing the difference in the plane of the shoulders from that of the pelvis in flexion plus torsion. |
| " | 1180 Radiogram of flexion plus torsion. |
| " | 1181 Photograph of a model showing the body in a position of extension plus side-bending. |
| " | 1182 Diagram showing the pelvis, thorax and shoulders on the same plane in extension plus side-bending. |
| " | 1183 Radiogram of extension plus side-bending. |
| " | 1184 Photograph of a model with the body in a position of hyperextension and rotation. |
| " | 1185 Diagram showing the difference in the shoulder and pelvic plane from that of the thorax in extension plus rotation. |
| " | 1186 Radiogram of extension plus rotation. |
| " | 1187 Photograph of a model with the body in the position of hyperextension plus torsion. |
| " | 1188 Diagram showing the difference between the pelvic and shoulder planes in extension plus torsion. |
| " | 1189 Radiogram of extension plus torsion. |
| " | 1190 Photograph of a model with the body in the position of side-bending plus rotation. |
| " | 1191 Diagram showing the difference of the pelvic and shoulder plane from that of the thorax in side-bending plus rotation. |
| " | 1192 Radiogram of side-bending plus rotation. |
| " | 1193 Photograph of a model with the body in the position of side-bending plus torsion. |
| " | 1194 Diagram showing the difference of the pelvic plane from that of the shoulders in side-bending plus torsion. |

Lent by :
Dr. E. G. Abbott,
Portland.

1195 Radiogram of side-bending plus rotation

Series of illustrations of the more complex movements of the spine, in which movement in three directions takes place.

- " 1196 Photograph of a model showing body in the position of flexion plus lateral bending plus rotation.
- " 1197 Diagram showing the difference in flexion, plus lateral bending plus rotation, in the thoracic plane from that of the pelvis and shoulders.
- " 1198 Radiogram of flexion plus lateral bending plus rotation.
- " 1199 Photograph of a model showing flexion, plus lateral-bending plus torsion.
- " 1200 Diagram showing the difference in the pelvic and shoulder planes in flexion plus lateral-bending.
- " 1201 Radiogram of flexion plus lateral-bending plus torsion.
- " 1202 Photograph of a model showing body in the position of extension plus lateral-bending plus rotation.
- " 1203 Diagram showing the difference in the pelvic and shoulder planes from that of the thorax in extension plus lateral-bending plus rotation.
- " 1204 Radiogram of extension plus lateral-bending plus rotation.
- " 1205 Photograph of a model in the position of extension plus lateral-bending plus torsion.
- " 1206 Diagram showing the difference between the pelvic and shoulder planes in extension plus lateral-bending plus torsion.
- " 1207 Radiogram of extension plus lateral-bending plus torsion.
- " 1208 Photograph of a typical case of fixed scoliosis.
- " 1209 Diagram showing the difference in the pelvic and shoulder plane from that of the thorax in a typical case of scoliosis.

Lent by :
Dr. E. G. Abbott,
Portland.

- 1210 Radiogram of a typical case of scoliosis.
- 1211 Photograph of a model with the body in a position of flexion plus side-bending, plus rotation towards the convexity of the lateral bend.
- 1212 Diagram showing the difference of the thoracic from the pelvic and shoulder planes in flexion plus side-bending.
- 1213 Radiogram of flexion plus side-bending, plus rotation.
- 1214 Photograph of a model with the body in a position of flexion plus side-bending, plus rotation towards the concavity of the lateral bend.
- 1215 Diagram showing the difference in the thoracic plane from that of the shoulders and pelvis in flexion plus side-bending plus rotation.
- 1216 Radiogram of flexion plus side-bending, plus rotation.
- 1217 Photograph of a model with the body in a position of flexion plus side-bending plus torsion.
- 1218 Diagram showing the difference in the thoracic plane from that of the pelvis in flexion plus side-bending plus torsion.
- 1219 Radiogram of flexion plus side-bending, plus torsion.
- 1220 Photograph of a model with the body in a position of extension plus side-bending plus rotation towards the concavity of the lateral bend.
- 1221 Diagram showing the difference in the thoracic plane from that of the pelvis and shoulders in extension plus side-bending, plus rotation.
- 1222 Radiogram of extension plus side-bending plus rotation.
- 1223 Photograph of a model with the body in the position of extension plus side-bending plus rotation towards the convexity of the lateral bend.
- 1224 Diagram showing the difference in the thoracic plane from that of the pelvis and shoulders in extension plus side-bending plus rotation.

*Lent by:*Dr. E. G. Abbott,
Portland.

"

"

"

"

"

"

"

"

"

"

"

"

1225 Radiogram of extension plus side-bending
plus rotation.1226 Photograph of a model in the position of
physiological active scoliosis.1227 Diagram showing the difference in the
thoracic plane from that of the pelvis
and shoulders in physiological active
scoliosis.1228 Radiogram of physiological active scoli-
osis.1229 Photograph of a model in the position of
physiological passive scoliosis.1230 Diagram showing the difference in the
pelvic and shoulder planes from the
thoracic and lumbar planes double
curve in physiological passive scoliosis.1231 Radiogram of physiological passive scoli-
osis.1232 Photograph of an artificial fixed scoli-
osis.1233 Diagram showing the difference of the
pelvic and shoulder planes from that of
the thorax-single curve in physiolo-
gical scoliosis, first active, then passive,
and finally fixed.1234 Diagram of physiological scoliosis first
active, then passive, and finally fixed.1235 Photograph after fixed scoliosis had been
produced.1236 Diagram showing the difference in the
pelvic and shoulder plane from the
thoracic and the lumbar planes in a
case of artificially produced scoliosis.1237 Radiogram of artificially produced fixed
scoliosis.

II.—SPASTIC PARAPLEGIA.

Dr. A. Stoffel, Mann-
heim.

"

1238 Model illustrating Dr. Stoffel's operation
on the tibial nerve in the popliteal space
in the treatment of severe spastic talipes
equinus.1239 Model of Dr. Stoffel's operation on the
median nerve in the treatment of a
severe pronation contracture of the
forearm.

Lent by:

- | | | |
|--------------------------------------|------|--|
| Dr. A. Stoffel, Mann-heim. | 1240 | Model of Dr. Stoffel's operation on the sciatic nerve in the treatment of a severe flexor contracture of the knee. |
| " | 1241 | Model of the topography of the anterior tibial nerve in the lower third of the thigh; transverse section. |
| " | 1242 | Model of the topography of the median nerve in the lower third of the forearm; transverse section. |
| " | 1243 | Model showing the internal structure of a large nerve of an extremity. |
| " | 1244 | Model showing a large nerve of an extremity, the individual nerve paths being separated from one another. |
| " | 1245 | Series of instruments employed in Dr. Stoffel's operation on the nerves. |
| " | 1246 | Series of photographs showing the results obtained by Dr. Stoffel's operation. |
| " | 1247 | Series of plaster models, illustrating the condition after operation. |
| Prof. Dr. Otfried Foerster, Breslau. | 1248 | Series of photographs illustrating the varieties of contractures in spastic paraplegia. |
| " | 1249 | Series of photographs illustrating motor disturbances (chiefly synkinetic) in spastic paraplegia. |
| " | 1250 | Series of photographs illustrating the disturbances in sitting and walking in spastic paraplegia. |
| " | 1251 | Series of photographs illustrating muscle training treatment in spastic paraplegia. |
| " | 1252 | Series of photographs illustrating the results of resection of the posterior spinal nerve roots in spastic paraplegia. |
| " | 1253 | Series of lantern slides illustrating the above. |

III.—TREATMENT OF ANKYLOSIS.

- | | | |
|--------------------------|------|--|
| Prof. V. Putti, Bologne. | 1254 | A book containing a series of photographs and radiographs, illustrating the results of the surgical treatment of tuberculosis. |
|--------------------------|------|--|

IV.—TUBERCULOUS JOINTS.

Tuberculous Disease of Bones.

- | | | |
|---|------|--|
| Drs. Harold J. Stiles and John Fraser, Edinburgh. | 1255 | Encysted tubercle of upper end of tibia: H.M., aged 6 years. |
|---|------|--|

Lent by :

- Drs. Harold J. Stiles, 1256 Encysted tubercle in lower end of
and John Fraser, Edin- humerus : A.P.H., aged 7 years.
burgh.
- „ 1257 Encysted tubercle in centre of shaft of
Ulna : J.B., aged 5 years.
- „ 1258 Encysted tubercle in shaft of tibia,
showing central sequestrum formation :
A.R., aged 4 years.
- „ 1259 Acute infiltrating tubercle of centre of
shaft of tibia, showing the varying
zones of infiltration. M.R., aged 7
years.
- „ 1260 Infiltrating tubercle of upper end of
tibia : J.V., aged 10 years.
- „ 1261 Early tuberculous focus in upper end of
tibia, sub-metaphyseal and becoming
sub-periosteal : B.W., aged 6 years.
- „ 1262 Infiltrating tubercle of centre of shaft of
femur, with central sequestrum form-
ation : M.R., aged 7 years.
- „ 1263 Infiltrating tubercle of tibia, with casing
of new sub-periosteal bone : B.K.,
aged 4 years.
- „ 1264 Infiltrating tuberculous osteomyelitis of
upper end of ulna ; H.K., aged 2½
years.
- „ 1265 Tuberculous osteomyelitis of ulna : M.B.,
aged 7 years.
- „ 1266 Tuberculous osteomyelitis of radius:
with casing of new sub-periosteal bone
B.H., aged 6 years.
- „ 1267 Tuberculous osteomyelitis lower end of
humerus : A.M., aged 7 years.
- „ 1268 Early tuberculous osteomyelitis in centre
tibia : R.W., aged 8 years.
- „ 1269 Early tuberculous osteomyelitis of tibia :
C.R., aged 8 years.
- „ 1270 Acute infiltrating tubercle of lower end
of humerus, with disease of the elbow
joint and disease of the upper end of
the ulna ; Bones removed at operation :
W.K., aged 5 years.
- „ 1271 Extensive tubercles disease of ankle
joint, astragalus and tarsal bones :
B.M., aged 3 years.

Lent by :

- Drs. Harold J. Stiles, 1272 Tuberculous disease of the body of the
and John Fraser, Edin- lower jaw: removed at operation:
burgh. A.M., aged 9 years.
- „ 1273 Tuberculous disease of under surface of
neck of femur with wedge-shaped
sequestrum: C.R., aged 6 years.
- „ 1274 Tuberculous disease of the upper end of
tibia, with central sequestrum form-
ation—hypertrophic type: B.W., aged
9 years.
- „ 1275 Tuberculous disease of shaft of tibia—
hypertrophic type: D.R., aged 7 years

Tuberculous Disease of Joints.

- „ 1276 Head of femur, showing peri-chondral
ulceration: A.S., aged 5 years.
- „ 1277 Head of femur showing sub-chondral
ulceration and separation of cartilage:
J.F., aged 10 years, R.S., aged 6 years.
Series of microscopic slides illustrating
the pathology of:—
- „ 1278 The formation of the primary
tubercle in bone tuberculosis.
- „ 1279 The secondary changes in marrow,
bone-lamellæ: periosteum and
blood vessels.
- „ 1280 Encysted bone tubercle.
- „ 1281 Infiltrating bone tubercle.
- „ 1282 Hypertrophic bone tubercle.
- „ 1283 Atrophic bone tubercle.
- „ 1284 Sequestrum formation.
- „ 1285 Synovial changes in joint tubercle.
- „ 1286 Cartilage „ „
- „ 1287 Vascular „ „
- „ 1288 Series of photo-micrographs illustrative
of the above slides.

Apparatus:—

- Dr. H. J. Gauvain, 1289 Swinging “back-door” splint for the
London. treatment and correction of
deformity of patients suffering from
tuberculous disease of the spine,
mounted on spinal board and stand
specially adapted for the nursing of
such patients.

Lent by:

- | | | |
|-------------------------------------|------|---|
| Dr. H. J. Gauvain,
London. | 1290 | Wheel-barrow splint for spinal caries complicated by psoas spasm or psoas abscess. |
| „ | 1291 | Skeleton in high plaster jacket (fillet) to illustrate bony points around which such a jacket should be moulded. |
| „ | 1292 | Completed jacket for treatment of spinal caries (convalescent cases) made of non-inflammable celluloid. |
| „ | 1293 | Unfinished celluloid hip-splint (non-inflammable) on cast. |
| „ | 1294 | Series of photographs illustrating the treatment of tuberculous disease of bones and joints. |
| „ | 1295 | Series of skiagrams illustrating the treatment of tuberculous disease of bones and joints. |
| Dr. John Ridlon,
Chicago. | 1296 | A series of lantern slides. |
| „ | 1297 | Splints. |
| „ | 1298 | A series of radiograms. |
| Dr. Jacques Calvé, Berck-
Plage. | 1299 | Apparatus for continued extension in coxalgia. |
| „ | 1300 | Celluloid jacket employed in the treatment of Pott's disease of the spine. |
| Dr. Rollier, Leysin. | 1301 | Series of photographs illustrating the application and results of the "Sun bath" treatment of tuberculosis of the bones, joints and lymphatic glands. |
| Prof. Oscar Vulpius,
Heidelberg. | 1302 | Photograph of the Solbad Rappennau Sanatorium for the treatment of diseases of bones joints and glands (surgical tuberculosis). |
| „ | 1303 | Photograph showing the therapeutic equipment of the Sanatorium. |

Coxa Vara.

- | | | |
|---|------|---|
| Dr. R. C. Elmslie,
F.R.C.S., M.S., London. | 1304 | Femur showing the general depression of the neck in rickets. |
| „ | 1305 | Femur showing <i>Coxa Vara</i> (cervical or infantile coxa vara). |
| „ | 1306 | Upper extremities of the right and left femora. The left is natural; the right shows the condition of adolescent <i>coxa vara</i> . |

Lent by:

- Dr. R. C. Elmslie, 1307 The upper extremity of the right femur of an aged woman; the condition corresponds exactly in appearance with the usual variety of infantile or cervical *coxa vara*.
- „ 1308 The upper extremity of the left femur from the same case as the preceding.
- „ 1309 Lantern slide of the upper end of the femur from a case of osteoarthritis of the hip-joint.
- „ 1310 Lantern slide of a radiograph of a case of "pseudocoxalgia."
- „ 1311 Lantern slide of a radiograph of a case in which the upper half of the head of the femur atrophied after an injury.
- „ 1312 Lantern slide of a radiograph of a case of osteitis fibrosa, involving the neck and upper part of the shaft of the femur. Severe *coxa vara* deformity.
- „ 1313 Lantern slide of diagrams of the upper epiphyseal region of the femur, showing the line of ossification.
- „ 1314 Lantern slide of a case of adolescent *coxa vara*.
- „ 1315 Lantern slide showing limitation of flexion movement in adolescent *coxa vara*.
- „ 1316 Lantern slide of the head of a normal femur in the position of slight inversion.
- „ 1317 Lantern slide of radiographs of the head of a normal femur, in mesial position, moderately everted, and much everted.
- „ 1318 Lantern slide of a radiograph of a case of separation of the epiphysis of the head of the femur.
- „ 1319 Lantern slide of a radiograph of a case of adolescent *coxa vara*, following a slight injury after an interval.
- „ 1320 Lantern slide of a radiograph of a case of adolescent *coxa vara* following repeated injuries.
- „ 1321 Lantern slide of a radiograph of a case of adolescent *coxa vara*, occurring without injury.
- „ 1322 Lantern slide of a radiograph of a case of adolescent *coxa vara* occurring without injury.

Lent by:

- | | | |
|---|------|---|
| Dr. R. C. Elmslie,
F.R.C.S., M.S., London. | 1323 | Lantern slide of a specimen of adolescent <i>coxa vara</i> , resected by Schlesinger. |
| " | 1324 | Lantern slide of a case of infantile <i>coxa vara</i> . |
| " | 1325 | Lantern slide of radiographs of infantile <i>coxa vara</i> , bilateral. |
| " | 1326 | Lantern slide of diagrams illustrating the probable mode of the production of infantile <i>coxa vara</i> . |
| " | 1327 | Lantern slide of infantile <i>coxa vara</i> . |
| " | 1328 | Lantern slide of infantile <i>coxa vara</i> , following an accident. |
| " | 1329 | Lantern slide of severe bilateral <i>coxa vara</i> in a girl aged 15½ years. |
| " | 1330 | Lantern slide of severe bilateral <i>coxa vara</i> in a girl aged 15½ years. |
| " | 1331 | Lantern slide of extreme infantile <i>coxa vara</i> in a boy of 17 years. |
| " | 1332 | Lantern slide of extreme infantile <i>coxa vara</i> in a woman aged 26 years. |
| " | 1333 | Lantern slide of a radiograph of the resected specimen of the same case. |
| " | 1334 | Lantern slide of a vertical section of the same specimen. |
| " | 1335 | Lantern slide of infantile <i>coxa vara</i> , with strong bony neck. |
| " | 1336 | Lantern slide of the upper end of a femur, showing a similar deformity. |
| " | 1337 | Lantern slide of a radiograph of bilateral rickety deformity of the femur. |
| " | 1338 | Lantern slide of a radiograph of rickety <i>coxa vara</i> . |
| " | 1339 | Lantern slide of a radiograph, showing infantile <i>coxa vara</i> of the ordinary type on the one side and general depression of the neck of the femur, probably rickety, on the other. |
| " | 1340 | Lantern slide of a case of congenital <i>coxa vara</i> , with shortening of the femur. |
| " | 1341 | Lantern slide of a radiograph of the same case. |
| " | 1342 | Lantern slide of a radiograph of congenital <i>coxa vara</i> , with shortened femur. |

Lent by :

- Dr. R. C. Elmslie, 1343 Lantern slide of a radiograph of adolescent *coxa vara*, showing the pressure of the upper margin of the acetabulum on the weakened epiphyseal region.
- „ 1344 Lantern slide of a radiograph, showing separation of the upper epiphysis of the femur, before treatment and after reduction.
- „ 1345 Lantern slide of a radiograph of the same case, showing absorption of the head of the femur and ankylosis; 3 years later.
- „ 1346 Lantern slide of a radiograph of a case of adolescent *coxa vara* before treatment.
- „ 1347 Lantern slide of the same, in position of full abduction on a rack splint.
- „ 1348 Lantern slide of a case of adolescent *coxa vara* before treatment with rack splint applied.
- „ 1349 Lantern slide of adolescent *coxa vara* showing full abduction obtained after treatment with a rack splint.
- „ 1350 Lantern slide of adolescent *coxa vara* in a calliper splint.
- „ 1351 Lantern slide of a radiograph of a specimen of adolescent *coxa vara* and normal femur.
- „ 1352 Lantern slide of a radiograph of an old-standing case of adolescent *coxa vara*, before treatment and after removal of spurs of bone from the upper and anterior part of the neck.
- „ 1353 Lantern slide of a radiograph of infantile *coxa vara* before treatment.
- „ 1354 Lantern slide of a radiograph of the same case six years after osteotomy had been performed.
- 1355 Lantern slide of a radiograph of a case of infantile *coxa vara* in which the head of the femur slipped completely off the neck.
- „ 1356 Lantern slide of a radiograph of the same case after resection of the head of the femur.

Lent by :

- Dr. R. C. Elmslie, 1357 Lantern slide of the same case showing
F.R.C.S., M.S., London. the stability of the hip joint two years
after the operation.

V.—FRACTURES, DISLOCATIONS, ETC.

- | | | |
|--|------|---|
| Dr. Ernst Fischer,
Budapest. | 1358 | Apparatus for the ambulatory treatment
by extension of patella and olecranon
fractures. |
| „ | 1359 | Apparatus for the ambulatory treatment
by extension of fractures of the upper
extremity. |
| „ | 1360 | Radiograms of united fractures of the
patella, olecranon, humerus, elbow-
joint and forearm. |
| Prof. Hackenbruch,
Wiesbaden. | 1361 | Radiograms showing the position of the
fragments and of the forcible extension
clamps in various fractures. |
| „ | 1362 | Photographs of patients with various
fractures, under treatment with
forcible extension-clamps and plaster
bandages. |
| Dr. Georg Müller (Kgl.
San-Rat.), Berlin. | 1363 | Extension apparatus, for the treatment
of irreducible, congenital dislocation
of the hip joint. |
| „ | 1364 | Leg splint, with pelvic girdle and hoop
for the trochanter. |
| „ | 1365 | Jacket, with hoop for the trochanter. |
| „ | 1366 | Spring jacket for use in the after-
treatment. |

Madelung's Deformity.

- | | | |
|-----------------------------|------|---|
| Dr. N. S. Finzi,
London. | 1367 | Radiogram of the posterior view of the
right wrist of a case of Madelung's
deformity. Union is seen at the outer
side of the lower epiphysis of the
radius, the inner side being still
ununited. |
| „ | 1368 | Radiogram of the posterior view of the
left wrist of the same patient. |
| „ | 1369 | Radiogram of the anterior view of the
right wrist of the same patient. |
| „ | 1370 | Radiogram of the anterior view of the
left wrist of the same patient. |

Lent by :

Dr. N. S. Finzi,
London.

- 1371 Radiogram of the posterior view of the right wrist of another case of Madelung's deformity, showing evidence of old osteotomy.
- 1372 Radiogram of the posterior view of the left wrist from the same patient.
- 1373 Radiogram of the posterior view of the right forearm of the same patient.
- 1374 Radiogram of the posterior view of the left forearm of the same patient.
- 1375 Radiogram of the posterior view of the right forearm of a case of commencing Madelung's deformity.
- 1376 Radiogram of the posterior view of the left forearm from the same patient.
- 1377 Radiogram of the lateral view of the right forearm of the same patient.
- 1378 Radiogram of the lateral view of the left forearm of the same patient.

VI.—GENERAL ORTHOPÆDIC METHODS.

- Dr. S. Mencièrè, Rheims. 1379 Revolving osteotome, driven by liquid carbolic acid, for dividing long bones and articular surfaces in the process of hollowing out, perforating, trephining and cutting through bones.
- 1380 Instrumentarium for performing "Carbolic acid puncture" in the treatment of tuberculosis of bones and joints.
- 1381 Instrumentarium for muscle - tendon grafting in infantile paralysis.
- 1382 Aluminium scoop and holder employed in Mencièrè's osteo-synthesis.
- 1383 Instrumentarium for the modelling of bones and articulations by means of scooping.
- 1384 Mencièrè's forceps for catching up fragments in the course of various operations, for securing tendons during the operation of tendon grafting, etc.
- 1385 Mencièrè's lever for the non-operative reduction of congenital dislocation of the hip joint, and special table for immobilising the pelvis of the patient during the application of the lever.

Lent by :

- | | | |
|-----------------------------|------|--|
| Dr. S. Mencièrè, Rheims. | 1386 | Mencièrè's apparatus for the treatment of ankylosis of the hip and knee joints. |
| " | 1387 | Mencièrè's osteoclast with circular support. |
| " | 1388 | Bar with rubber protection for modelling treatment of club foot. |
| " | 1389 | Mencièrè's apparatus for gradual modelling the thorax in the treatment of kyphosis. |
| Dr. E. G. Brackett, Boston. | 1390 | Wall diagram of the organisation of the Orthopædic Clinic at the Massachusetts General Hospital. |
| " | 1391 | Photographs of the wards. |
| " | 1392 | Plan of the Out-Patients' Department. |
| " | 1393 | Wall diagram of the appliances employed in the Hospital. |

SECTION VIII.—Obstetrics and Gynaecology.

I.—HÆMORRHAGE FROM THE PLACENTAL SITE.

Lent by :

- Prof. Couvelaire, Paris. 1394 Uterus showing hæmorrhage into the placental site.
 „ 1395 A similar specimen.

Accidental Hæmorrhage.

- Prof. E. Essen-Möller, Lund. 1396 Photograph of a section of placenta, showing destruction of tissue by the hæmorrhage.
 „ 1397 Photograph showing hæmorrhages in the muscular tissue of the uterus.
 „ 1398 Autochrome negative of the same case.
 „ 1399 Photograph showing the blood emerging from a vessel into the surrounding tissue.
 „ 1400 Photograph showing the separation of bundles of muscular fibres by the extravasated blood.
 „ 1401 Photograph of the same condition in cross section.
 Prof. W. Nagel, Berlin. 1402 Puerperal Uterus with injected arteries, showing the distribution of the arterial system in Placenta Praevia and the relation of the same to the Lower Uterine Segment.

II.—THE UTERUS IN OBSTETRICS.

- Prof. Pinard and Dr. Varnier, Paris. 1403 Premature separation of normally inserted placenta, due to the shortness of the cord.
 Prof. Fabre, Lyons. 1404 Prof. Fabre's Hysterograph. An apparatus for recording graphic tracings of the uterine contractions.
 „ 1405 Tracing of an external Hysterogram.
 „ 1406 Tracing of an external and an internal Hysterogram.
 „ 1407 Tracings of uterine contractions during labour.

Lent by :

Prof. Fabre, Lyons.	1408	Tracings of "after pains."
"	1409	Tracing of external and of internal origin of uterine contractions during labour.
Dr. Eardley Holland, London.	1410	Uterus of a woman who died during obstructed labour, with the foetus.
"	1411	Drawing of the specimen.
"	1412	Idem.
"	1413	Photograph of the specimen.
"	1414	Idem.
Dr. F. J. McCann, London.	1415	An exhibit.

III.—INJURIES TO THE VISCERA OF THE CHILD DURING BIRTH.

Dr. Herbert Spencer, F.R.C.P., London.	1416	Liver of a still-born child showing subperitoneal hæmorrhage.
"	1417	Portion of the liver of a still-born child showing a large subperitoneal hæmorrhage.
"	1418	Spleen of a child at full term showing hæmorrhage into its substance and under the capsule.
"	1419	Portion of the spleen of a child showing hæmorrhage under the capsule and into the substance of the organ.
"	1420	Sections of the right adrenal with part of the kidney, showing hæmorrhage beneath the capsule of the former.
"	1421	The right kidney and adrenal of a still-born child, showing a deep sulcus indicating the site of a large hæmorrhage.
"	1422	Hæmorrhage in the left nympha of a full term female child.
"	1423	Base of a foetal skull showing hæmorrhage on to the surface of the <i>tentorium cerebelli</i> .
"	1424	Liver showing a subcapsular hæmatoma.
"	1425	Part of a liver showing subcapsular hæmorrhage.
"	1426	Liver showing rupture of the posterior part of the right lobe.
"	1427	Liver with subcapsular hæmatoma.
"	1428	Hæmorrhage beneath <i>tunica vaginalis</i> , and in the superficial part of the cord.

Lent by :

- Dr. Herbert Spencer, 1429 Hæmorrhage into the lower lobe of the
F.R.C.P., London. left lung and beneath the pleura.
- „ 1430 Effusion of blood into the wall and
lumen of the caecum, and two small
hæmorrhages in the ileum.
- „ 1431 Scattered hæmorrhages into the body of
the testis and into the epididymus.
- „ 1432 The lower part of the trunk of a new-
born male child, showing hæmorrhage
into the *processus vaginalis* and cord.
- „ 1433 Water-colour drawings showing visceral
hæmorrhages in still-born children.

IV.—ABNORMAL PREGNANCIES.

- Dr. John H. Teacher, 1434 Pregnancy in a rudimentary Fallopian
Glasgow. tube, rupture at a very early period.
Fatal hæmorrhage.
- „ 1435 Ovarian pregnancy, with practically in-
tact ovum of third month.
- Dr. F. J. McCann, 1436 An exhibit.
London.

Cancer of the Cervix complicating Pregnancy and Labour.

- Dr. Herbert Spencer. 1437 Table of six cases of cancer of the
cervix with advanced pregnancy and
labour.
- „ 1438 Carcinoma of the cervix with advanced
pregnancy, removed by high amputa-
tion of the cervix. Patient has
remained well for over 11 years.
- „ 1439 Carcinoma of the cervix with advanced
pregnancy, removed by high amputa-
tion of the cervix. Patient has
remained well for over 11 years.
- 1440 Carcinoma of the cervix with advanced
pregnancy, removed by high amputa-
tion of the cervix. Patient has
remained well for over 11 years.
- „ 1441 Table of four cases of carcinoma of the
cervix complicating early pregnancy.
- „ 1442 Pelvis with pelvic viscera, showing
advanced carcinoma of the cervix in
a patient who was about six months
pregnant.

Lent by :

- Dr. Herbert Spencer. 1443 Drawing of a median sagittal section through the body of a woman, who died at about the sixth month of pregnancy, showing carcinoma of the os, fornix, and wall of the vagina.
- " 1444 Another drawing of the same case.

V.—CANCER OF THE UTERUS.

Sarcoma of the Uterus.

- " 1445 Right half of the uterus with sarcoma. The organ was removed by subtotal hysterectomy.
- " 1446 Part of sarcomatous uterus removed by hysterectomy.
- " 1447 A uterus removed by vaginal hysterectomy for sarcoma.
- " 1448 A uterus removed by abdominal hysterectomy for sarcoma.
- " 1449 Mixed round and spindle-cell sarcoma of the uterus.
- " 1450 The pelvic viscera with the uterus, from case of small round-cell sarcoma.
- " 1451 A uterus removed by supravaginal hysterectomy for fibro-myoma and round cell sarcoma.
- " 1452 A uterus and appendages removed by total hysterectomy. The growth proved to be fibro-myoma undergoing sarcomatous degeneration.
- " 1453 Sarcoma of the uterus from a patient who died of septic peritonitis after curetting.
- " 1454 Spindle-cell sarcoma investing the uterus, removed by vaginal hysterectomy.
- " 1455 A uterus with carcino-sarcoma.
- " 1456 Uterus with carcinoma sarcomatodes of the cervix.
- Dr. Matthew J. Stewart, M.R.C.P., Leeds. 1457 Uterus with early chorion epithelioma. Both Ovaries contain numerous lutein cysts.
- " 1458 Section of chorion epithelioma from the preceding case.
- " 1459 Section of lutein cysts from the preceding case.

Lent by:

- Dr. Matthew J. Stewart, 1460 Liver from a case of cancer of the stomach, showing secondary deposits, precisely simulating in their naked-eye characters to secondary nodules of chorion epithelioma.
- „ 1461 *Ad nomyoma diffusum benignum* and adeno-carcinoma of the endometrium.
- „ 1462 Microscopic section of the above.
- „ 1463 Tuberculosis of the uterus, with extreme fibro-caseous condition of the interior of the uterus.

Casts of:

- Prof. Krönig, Freiburg. 1464 Carcinoma metastasis following Wertheim's operation, before treatment.
- „ 1465 The same case, 5 weeks after the X-ray treatment; carcinoma no longer detectable.
- „ 1466 The same case, after X-ray and mesothorium treatment; free from recurrence for 6 months.
- „ 1467 The same case; free from recurrence for 1 year and 4 months.
- „ 1468 Carcinoma of the mamma (*cancer en cuirasse*), before treatment.
- „ 1469 The same case, free from recurrence; carcinoma no longer detectable, 6 weeks after X-ray treatment.
- „ 1470 Mammary carcinoma before treatment.
- „ 1471 The same case, X-ray treatment after panel flap incision; carcinoma no longer detectable.
- „ 1472 Carcinoma of the cervix before treatment.
- „ 1473 The same case, 5 weeks after mesothorium treatment; carcinoma no longer detectable; remained free from recurrence for 1 year and 4 months.
- „ 1474 "Cauliflower" cancer before treatment.
- „ 1475 The same case, after treatment with mesothorium; carcinoma no longer detectable.
- „ 1476 Carcinoma of the cervix before treatment.
- 1477 The same case, 5 weeks after treatment with mesothorium; carcinoma no longer detectable.

Lent by:

- Prof. Krönig, Freiburg. 1478 Carcinoma of the cervix before treatment.
 " 1479 The same case, 5 weeks after treatment; carcinoma no longer detectable; no recurrence.
 " 1480 Carcinoma of the rectum before treatment.
 " 1481 The same case, 4 weeks after treatment with mesothorium; carcinoma no longer detectable.
 " 1482 Rodent ulcer before treatment.
 " 1483 The same case, 3½ weeks after treatment no malignant growth detectable.

VI.—VARIOUS GYNÆCOLOGICAL SUBJECTS.

- Dr. R. L. Dickinson. 1484 Wall chart illustrating the application of a glass and closed hollow intra-uterine stem in the treatment of ante flexion, sterility and infantilism.
 " 1485 Idem.
 " 1486 Wall chart illustrating abdominal hysterectomy with two suture ligatures.
 " 1487 Idem.
 " 1488 Idem.
 " 1489 Wall chart illustrating a simplified method of suturing in perineorrhaphy.
 " 1490 Wall chart illustrating a simplified method of suturing for the repair and amputation of the cervix.
 " 1491 Idem.
 " 1492 Wall chart illustrating simplified appendectomy with single suture ligature.
 " 1493 Wall chart illustrating vaginal hysterectomy with two suture ligatures.
 " 1494 Model showing simplified method of suturing in trachelorrhaphy in five stages.
 " 1495 Model showing simplified method of suturing in amputation of the cervix.
 " 1496 Model showing simplified method of suturing in perineorrhaphy.
 " 1497 Model showing amputation of the umbilical cord at the level of the skin.
 " 1498 Model showing amputation of nemostasis by clip.

Lent by:

Instruments:

Dr. R. L. Dickinson.	1499	Laparotomy shield; retractor.
"	1500	Intra-uterine stems; glass; and hollow silver.
"	1501	Clip for amputation of the umbilical cord.
"	1502	Prolapse pessary.

Lumbar Anæsthesia in Gynæcology.

Dr. G. le Filliatre, Paris.	1503	Large fibroid of the uterus.
"	1504	Coloured drawing of a transverse section of the lumbar sacral canal, showing the relations of the arachnoid sac to the cauda equinæ.
"	1505	Coloured drawing of an antero-posterior section of the above.

VII.—OLD OBSTETRIC INSTRUMENTS.

*The Loan Collection of the Royal Society of Medicine.**Obstetric Forceps.*

The Royal College of Surgeons of England.	1506	Smellie's short wooden obstetric forceps.
"	1507	Smellie's long wooden obstetric forceps with pelvic curve.
"	1508	Orme's.
"	1509	Orme-Lowder's.
"	1510	Haighton's.
"	1511	Hamilton's.
"	1512	D. W. Busch's.
"	1513	Mursinna's.
"	1514	Conquest's.
"	1515	Blundell's.
"	1516	Ramsbotham-Simpson I.
"	1517	Ramsbotham-Simpson II.
"	1518	Simpson's long forceps, bronze blades.
"	1519	Nægele-Rigby's.
"	1520	T. W. Beatty's.
"	1521	Eduard Martin's.
"	1522	Radford's straight long forceps.
"	1523	Radford's asymmetrical.

Lent by:

The Royal College of Surgeons of England.	1524 Waller's I.
"	1525 Waller's II.
"	1526 Straight long forceps: designer unknown.
"	1527 Kristeller's dynamometrical.
"	1528 Gayton's.
"	1529 Lovati's modified Levret.
"	1530 Young's.
"	1531 Pajot's disarticulating-forceps.
"	1532 Levy's.
"	1533 Lazarewitch's straight long forceps.
"	1534 Robertson's.

Vectes or Levers.

"	1535 Lever's Vectis.
"	1536 Lowder's Vectis
"	1537 Vectis, uncertain designer, circ. 1866.
"	1538 Ferguson's "porte lacs."

Other Obstetrical and Gynaecological Instruments.

"	1539 Baudelocque's original Cephalotribe.
"	1540 Cohen's do.
"	1541 Lollini's do.
"	1542 Rizzoli's do.
"	1543 Hall Davis's craniotomy forceps.
"	1544 Conquest's do.
"	1545 Lever's do.
"	1546 Barnes' do.
"	1547 Barnes' craniotomy forceps with blunt prow.
"	1548 Simpson's do.
"	1549 Windler's do.
"	1550 Ramsbotham's (?) do.
"	1551 Lazarewitch's embryotome.
"	1552 Rizzoli's fetotome.
"	1553 Assalini's tire-tête.
"	1554 David Davis's osteotomist (oblong).
"	1555 Do. do. (circular).
"	1556 Do. body crotchets.

Lent by:

The Royal College of Surgeons of England.	1557	David Davis's body crotchet (lesser).
"	1558	Do. decapitating hook.
"	1559	Do. guarded embryotomy knife.
"	1560	Lazarewitch's spinal hook.
"	1561	Rigby's perforator.
"	1562	Denman's do.
"	1563	Transfusion apparatus: Fergusson's.
"	1564	Do. Blundell's.
"	1565	Do. Bellini's.
"	1566	Do. Graily Hewitt's.
"	1567	Do. Caselli's.
"	1568	Breast pump (G. Jolley's).
"	1569	Case of Obstetrical Instruments (circa 1780), once belonging to the City of London Lying-in Hospital.
"	1570	Toulman's obstetrical abdominal truss.
"	1571	Ovum forceps: French lock.
"	1572	Do. do. and rack on handle.
"	1573	Tongue forceps used as Ovum forceps.
"	1574	Bladder forceps (after Sir H. Thompson).
"	1575	Three-bladed urethral speculum.
"	1576	Volsella with scissor-joint.
"	1577	Uterine Volsella forceps (Matthews Duncan's).
"	1578	Do. do. with rack on handle.
"	1579	Charrière's uterine dressing-forceps.
"	1580	Uterine dressing-forceps: designer unknown.
"	1581	French speculum forceps.
"	1582	Speculum forceps.
"	1583	Tent-introducing forceps with spring catch.
"	1584	Uterine scissors, blunt-ended, angled on flat.
"	1585	Uvula scissors used for uterine polypi.
"	1586	Bozeman's double-curved uterine scissors.
"	1587	Speculum scissors curved on flat, cross-action shanks.

*Lent by:*The Royal College of
Surgeons of England.

- | | | |
|---|------|--|
| | 1588 | Vaginal speculum. |
| " | 1589 | Goodell's do. |
| " | 1590 | Bennett's caustic holders. |
| " | 1591 | Chassaignac's écraseur. |
| " | 1592 | Do. do. long. |
| " | 1593 | Pelvimeter: Rizzoli's (in case). |
| " | 1594 | Do. Howitz's. |
| " | 1595 | Do. Lumley Earle's. |
| " | 1596 | Do. van Huevel's. |
| " | 1597 | Do. modified Earle. |
| " | 1598 | Do. modified van Huevel. |
| " | 1599 | Do. for use on skeletons. |
| " | 1600 | Lazarovitch's Cephalotribe. |
| " | 1601 | Kidd's do. |
| " | 1602 | Blot's do. |
| " | 1603 | Martin's do. |
| " | 1604 | Baudelocque's do. |
| " | 1605 | Henning's do. |
| " | 1606 | Depaul's do. |
| " | 1607 | Assalini's do. |
| " | 1608 | Lazarovitch's Embryotome. |
| " | 1609 | Rizzoli's do. |
| " | 1610 | Dusée Palfyn's forceps, non-fenestrated
(1720). |
| " | 1611 | Assalini's forceps. |
| " | 1612 | Radford's long—symmetrical blades. |
| " | 1613 | Davis's long—blade for face lying on
right. |
| " | 1614 | Do. do. do. do. left. |
| " | 1615 | Davis's short blade for long forceps. |
| " | 1616 | Lazarovitch's short forceps. |
| " | 1617 | Short forceps in use before 1815. |
| " | 1618 | Denman's forceps. |
| " | 1619 | Murphy's do. |
| " | 1620 | Beatty's do. |
| " | 1621 | Davis's oblique forceps—unequal blades. |
| " | 1622 | Do. do. do. |
| " | 1623 | Graily Hewitt's short forceps. |
| " | 1624 | Davis's forceps with wide fenestræ. |

Lent by :

The Royal College of
Surgeons of England.

- | | |
|------|--|
| 1625 | Davis's short forceps with narrow fenestræ. |
| 1626 | Simpson's long forceps. |
| 1627 | Rizzoli's two-bladed long forceps. |
| 1628 | Rizzoli's single-blade forceps. |
| 1629 | Rizzoli's short forceps. |
| 1630 | Old French forceps without pelvic curves. |
| 1631 | Levret's forceps. |
| 1632 | Rizzoli's forceps (after Levret's). |
| 1633 | Davis's short forceps (for use in cases of prolapsed funis). |
| 1634 | Greenhalgh's short forceps. |
| 1635 | Aveling's short forceps. |
| 1636 | Churchill's forceps. |
| 1637 | Matthews Duncan's forceps. |
| 1638 | Churchill's short forceps. |
| 1639 | Denman's forceps. |
| 1640 | Rizzoli's Vectis. |
| 1641 | Fabri's do. |
| 1642 | Baudelocque's Vectis with slits for tapes. |
| 1643 | Boddaert's lever. |
| 1644 | Dubois's membrane perforator. |
| 1645 | Smellie's perforator. |
| 1646 | Simpson's do. |
| 1647 | Rizzoli's scissor perforator. |
| 1648 | Matthews' guarded perforator. |
| 1649 | Jörg's trephine perforator (invented 1811). |
| 1650 | Rizzoli's trephine do. |
| 1651 | Assalini's trephine do. |
| 1652 | Davis's craniotomy forceps (guarded head crochet). |
| 1653 | Davis's craniotomy forceps (triangular teeth). |
| 1654 | Braun's cranioclast. |
| 1655 | Heywood Smith's double-jointed uterine dressing forceps. |
| 1656 | Byrne's uterine fixator. |
| 1657 | Heywood Smith's double-jointed uterine scissors. |
| 1658 | Gronning's foot-loop forceps (1815). |

Lent by :

The Royal College of Surgeons of England.	1659	Rizzoli's foot-loop forceps.
"	1660	Bennett's combined scarifier, caustic and sponge-holder.
"	1661	Budd's guarded crochet (guard wanted).
"	1662	Portion of a guarded crochet.
"	1663	Double crochet (French).
"	1664	Double crochet (1860).
"	1665	Single do. (old pattern).
"	1666	Blunt hook and crochet.
"	1667	Matthews Duncan's double blunt-hook with tape to return funis.
"	1668	Lazarovitch's blunt hook.
"	1669	Blunt hook with keys (1860).
"	1670	Hicks' éraseur (2nd modification).
"	1671	Sims' enucleating hook.
"	1672	Whalebone fillet.
"	1673	Davis's guarded decapitator.
"	1674	Do. triple pronged body crotchet (used after decapitation).
"	1675	Do. osteotomist punch.
"	1676	Do. do. pliers.
"	1677	Rizzoli's short forceps.
"	1678	Do. ovum forceps.
"	1679	Simpson's vaginal dilator.
"	1680	Uterine dilator after Thompson's stricture dilator.
"	1681	Simpson's uterine dilator.
"	1682	Antique female urethral dilator.
"	1683	Lazarovitch's hysterotome.
"	1684	Lollini's tire-tête.
"	1685	Tire-tête à Bascule, after Levret.
"	1686	Rizzoli's perforator tire-tête.
"	1687	Greenhalgh's metrotome.
"	1688	Aveling's do.
"	1689	Simpson's do.
"	1690	Spencer Wells's ovariectomy clamp (1st variety).
"	1691	Lazarovitch's parallel clamp.
"	1692	Spencer Wells's trocar syphon.
"	1693	Spencer Wells's ovariectomy trocar.

*Lent by:*The Royal College of
Surgeons of England.

- | | |
|------|--|
| 1694 | Davis's 4-bladed speculum. |
| 1695 | Rizzoli's speculum. |
| 1696 | Do. uterine sound. |
| 1697 | Simpson's do. |
| 1698 | Aluminium uterine probe. |
| 1699 | Davis's wooden syringe for silver nitrate solution. |
| 1700 | Braun's intra-uterine syringe. |
| 1701 | Do. do. do. |
| 1702 | Lazarovitch's pelvimeter. |
| 1703 | Rizzoli's pelvimeter-hysterometer I. |
| 1704 | Do. do. do. II. |
| 1705 | Bailey's vaginal specula (in case). (Early 19th century.) |
| 1706 | Bailey's breast-pump and shield (in case). (Early 19th century.) |
| 1707 | Cooper's invalids' drinking-cup. |
| 1708 | Blood transfusion needle. |
| 1709 | Rigby's perforator. |
| 1710 | Denman's do. |
| 1711 | Simpson's forceps. |
| 1712 | Hewitt's forceps. |
| 1713 | Do. do. |
| 1714 | More Madden's forceps. |
| 1715 | Conquest's craniotomy forceps. |
| 1716 | Simpson's metrotome. |
| 1717 | Do. do. modified. |
| 1718 | Routh's metrotome. |
| 1719 | Do. do. modified. |
| 1720 | Godson's 4-bladed metrotome. |
| 1721 | Roux's needle-holder. |
| 1722 | Braxton Hicks' écraseur, curved end-piece. |
| 1723 | Blunt hook with crotchet. |
| 1724 | Double hook. |
| 1725 | Uterine enucleating hook with guard. |
| 1726 | Barnes's obstetric hook without guard. |
| 1727 | Goodell's cervix dilator. |
| 1728 | 6 specula. |

Lent by :

The Royal College of Surgeons of England.	1729 Retractor.
"	1730 Aneurysm needle.
"	1731 Lancet.
"	1732 Trephine.
"	1733 5 bistouries.
"	1734 3 scalpels.
"	1735 2 needles for ruptured perineum.
"	1736 2 suture adjusters.
"	1737 2 Marion Sims' guarded tumour hooks.
"	1738 5 syringes.
"	1739 Resection knife.
"	1740 Stethoscope.
"	1741 8 sounds.
"	1742 Case of 12 sounds.
"	1743 Catheter for application of mercurial ointment in gleet (Army).
"	1744 Catheters.
"	1745 Case of 11 catheters.
"	1746 Artery forceps.
"	1747 Wood's saw.
"	1748 Heywood Smith's double-jointed uterine scissors.
"	1749 Stomach pump.
"	1750 Reservoir enema.
"	1751 Enema (imperfect).
"	1752 Case of 3 amputation knives.
"	1753 Case of 4 do. do.
"	1754 Cupping case, 12-bladed scarificator, glass and spirit bottle.
"	1755 Case of rectum instruments for applying elastic ligature.
"	1756 2 cases of trocars and cannulas.
"	1757 1 case of artificial leeches.
"	1758 4 forceps for removing pieces of catheter from the bladder.
"	1759 Bladder forceps after Sir H. Thompson.
"	1760 Blizzard's lithotomy scoop.
"	1761 Lee's cannula for puncturing membranes.
"	1762 Tent introducer.

Lent by:

University College Hospital, London.	1763 J. Beatty's forceps.
"	1764 Levret's forceps (à axe ambulant).
"	1765 Chamberlen's forceps.
"	1766 Idem.
"	1767 David Davis's forceps.
"	1768 Idem. (Double jointed).
"	1769 Young-Johnson's forceps.
"	1770 Chamberlen's forceps.
"	1771 After Rathlouw Schlichting forceps.
"	1772 Idem, but with ring lock.
"	1773 Orme-Lowder's type of long and straight forceps.
"	1774 R. W. Johnson's forceps with perineal curve.
"	1775 Thyme's forceps.
"	1776 Assalim's forceps, non-fenestrated.
"	1777 French forceps with male and female lock, and both handles jointed and hinged. ("Forceps de Poche".)
"	1778 Idem.
"	1779 Gregoire type, with male and female lock, non-jointed handles.
"	1780 Gregoire type, English lock.
"	1781 Old lever.
"	1782 Lauret's guarded crotchet.
"	1783 David Davis's blunt hook, single-toothed, guarded crotchet, Craniotomy forceps.
Prof. T. Henry Wilson, Dublin.	1784 Aitken's forceps.
"	1785 Beatty's do.
"	1786 Gregoire's do.
"	1787 Pean's do.
"	1788 Forceps of unknown origin.
Prof. Sir J. Halliday Croom, Royal College of Physicians, Edin- burgh.	1789 Pouillet's (Lyons) forceps tractor.
"	1790 Burton's forceps.
"	1791 Dusée's do.
"	1792 Hamilton's do.
"	1793 Gregoire's do.
"	1794 Smellie's (wooden) forceps.

Lent by:

- Prof. Sir J. Halliday 1795 Ziegler's forceps.
 Croom, Royal College
 of Physicians, Edin- 1796 Aitken's do.
 burgh.
 1797 Simpson's basilyst tractor.
 " 1798 Smellie's crochet.
 " 1799 J. Y. Simpson's sucker.
 " 1800 Cast of first head delivered under
 chloroform anæsthesia by turning.
 St. Bartholomew's 1801 A collection of old obstetric instruments
 Hospital, London.
 Mr. C. J. Tabor, F.R.A.S., 1802 Old obstetric chain found in Portugal,
 M R.L., Leyton.

SECTION IX.—Ophthalmology.

Lent by :

- Prof. Dr. Ernst. Fuchs, 1803 Lantern slides illustrating the histological condition in chronic uveitis.
Vienna.
- „ 1804 Proliferation of ciliary epithelium.
- „ 1805 Idem.
- „ 1806 Formation of new connective tissue.
- „ 1807 Exudate resembling sympathetic ophthalmia.
- Dr. H. Grimsdale, B.A., 1808 Drawing of honey-comb choroiditis.
F.R.C.S., London.
- „ 1809 Drawing of neuro-retinitis in aplastic leukæmia.
- „ 1810 Drawing of massive exudation into the dilated retinal vessels.

SERIES OF COLOURED DRAWINGS.

Affections of the Tear Sac.

- Dr. George Mackay, 1811 Retention cyst of lachrymal gland—
Edinburgh. dacryops.
- „ 1812 Congenital coloboma of left upper lid with congenital dislocation of lachrymal gland :
- (a) Bilateral coloboma affecting each upper lid with dermoid thickening of conjunctiva and cornea and congenital dislocation of lachrymal gland.
- (b) The same case illustrating better the position of the lachrymal gland.
- (c) Malformations about the right and left external ears—same case.
- „ 1813 Double dacryocystitis illustrating common situation for spontaneous evacuation.
- „ 1814 Chronic tubercular dacryocystitis.

Lent by :

- Dr. George Mackay, 1815 Chronic dacryocystitis on the right side due to cicatrisation from lupus of the nose. A phlyctenule on left conjunctiva.
- „ 1816 Distension of tear sac simulating chronic dacryocystitis due to an extension of a papillomatous neoplasm from the nasal cavity.
- „ 1817 Gummatous ulceration of the tear sac.
- „ 1818 To illustrate usual seat of a spontaneous evacuation in a case of mucocele of the anterior ethmoidal cells.
- „ 1819 Bilateral sinuses following anterior ethmoiditis possibly specific.

Affections of the Lids.

- „ 1820 Tambour-like extrusion of the epidermis of the upper lid due to the inclusion of a bent resilient hair.
- „ 1821 Retention cysts probably originating in the sweat glands in each lower lid, the left discoloured by hæmorrhagic extravasation.
- „ 1822 Molluscum contagiosum of each upper lid.
- „ 1823 Molluscum contagiosum of upper and lower lids.
- „ 1824 Papillomata of the caruncle and inferior palpebral conjunctiva.
- „ 1825 Abscess of upper lid.
- „ 1826 Abscess of upper lid, probably tubercular.
- „ 1827 Accidental inoculation with calf vaccien lymph :
- (a) Two or three days after infection.
- (b) One week after infection, showing the characteristic pock formation on the right lower lid.
- „ 1828 Bilateral microphthalmus with congenital ectropium and coloboma iridis associated with a serious cyst beneath the lower lid.
- (a) Ectropium of lower lid following traumatic cicatrisation in the subcutaneous tissue after compound fracture of the malar bone.

Lent by :

- Dr. George Mackay, 1829 (b) Artificial ankyloblepharon as a preliminary to plastic operation for the ectropium.
- Edinburgh. 1830 Cicatricial ectropium of upper lid following upon lupus.
- „ 1831 Cicatricial ectropium of upper and lower lids.
- „ 1832 Chronic œdema of the eyelids secondary to lupus of the face.
- „ 1833 Solid œdema of the lids following erysipelas.
- „ 1834 Acute angio-neurotic œdema.
- „ 1835 Oedema of upper lid following excision of large part of upper jaw for disease of the antum.
- „ 1836 Hypertrophy of upper lid :
(a) Outer aspect.
(b) Inner aspect of lid.
- „ 1837 Capillary nævi of scalp, lids, cheek and lip of an infant.
- „ 1838 Nævroid papilloma near the outer canthus.
- „ 1839 Congenital nævus situated in upper lid of a child.
- „ 1840 Dermoid cyst of outer part of upper lid.
- „ 1841 Sebaceous cyst at the nasal end of eyebrow.
- „ 1842 Cancellated exostosis at left side of the root of the nose following a kick.
- „ 1843 Gummatous infiltration of upper lid and roof of orbit simulating neoplasm but absorbed under iodide of potassium.
- „ 1844 Tubercular tumour of upper lip.
- „ 1845 Epithelioma of upper lid with marked hypertrophy of the neighbouring epidermis.
- „ 1846 Rodent ulceration of lower lid before successful treatment with carbonic snow.
- „ 1847 Rodent ulcer at inner canthus.
- „ 1848 Rodent ulcer of lower lid.
- „ 1849 Idem.
- „ 1850 Idem :
(a) Severe rodent ulceration causing ectropium.

Lent by:

- | | | |
|----------------------------------|------|--|
| Dr. George Mackay,
Edinburgh. | 1851 | (b) Recurrence and further extension of ulceration. |
| " | 1852 | Rodent ulcer with deep extension at inner side of orbit. |
| " | 1853 | Rodent ulcer prior to successful radium treatment. |
| " | 1854 | Tertiary specific ulceration of lids leading to corneal ulceration and prolapse of iris (<i>leucoma adherens</i>) from exposure. |
| " | 1855 | Proptosis from traumatic arterio-venous aneurism. |
| " | 1856 | Artificial ankyloblepharon required for relief of severe exophthalmos with goitre:
(a) Eyes turned to right;
(b) Eyes turned to left. |
| " | 1857 | Mucocele of frontal sinus with downward and outward displacement of the eyeball. |
| " | 1858 | Chronic abscess of frontal sinus following incision of mucocele without sufficient evacuation. Displacement of globe downwards and outwards. |
| " | 1859 | Proptosis from orbital cellulitis with hyphæma and irregular paralysis of the sphincter. |
| " | 1860 | Proptosis with venous engorgement at temporal side of globe due to sarcoma of orbit. |
| " | 1861 | Slow growing sarcoma of the right orbit causing chiefly downward displacement of the globe. |
| " | 1862 | (a) Proptosis from carcinoma of orbit;
(b) Recurrence in the orbit six months after exenteration;
(c) Shrinkage of the new growth after treatment by X-Rays for one month. |
| " | 1863 | Superficial burn of the conjunctiva and cornea with caustic lime, three hours after injury. |
| " | 1864 | Cicatricial scarring of conjunctiva and cornea consequent upon burn with lime. |
| " | 1865 | Subconjunctival hæmorrhage from whooping-cough. |

Lent by :

- Dr. George Mackay, 1866 Subconjunctival hæmorrhage undergoing absorption.
- „ 1867 Blepharitis and conjunctivitis associated with acute staphylococcic infection.
- „ 1868 Slight angular conjunctivitis (note outer canthus) associated with Morax bacillus:
(a) Conjunctivitis from Morax-Axenfeld bacilli;
- „ 1869 (b) Bacilli seen in film from conjunctival smear.
- „ 1870 Acute purulent ophthalmia neonatorum.
- „ 1871 Right, *staphyloma corneae* } from ophthalmia
Left, *leucoma corneae* } neonatorum :
- 1872 (a) Total staphyloma corneae following ophthalmia neonatorum;
(b) Profile view of enucleated globe;
(c) Normal size of healthy cornea and iris.
- „ 1873 *Leucoma adherens* following ophthalmia neonatorum.
- „ 1874 Follicular conjunctivitis.
- „ 1875 Papillary conjunctivitis, cause unknown
- „ 1876 Illustration of drowsy appearance of lids in subacute trachoma.
- „ (a) Acute trachoma of upper lid.
(b) Lower lid.
- „ 1877 (a) Cicatricial entropium and trichiasis following granular lids.
(b) Same case—upper lid everted showing cicatrization and corneal pannus.
(c) Same case—further illustration of pannus.
- „ 1878 Spring catarrh affecting palpebral conjunctiva of upper lids.
- „ 1879 Spring catarrh affecting conjunctiva at limbus cornea.
- „ 1880 Spring catarrh.
- 1881 (a) Parenchymatous xerosis with kid-skin like extension of conjunctiva over cornea.
(b) Same case—showing small part of cornea not covered by membrane.
- „ 1882 Aggravated case of symmetrical double pinguecula.

- Lent by :*
 Dr. George Mackay, 1883 Lipoma of conjunctiva.
 Edinburgh.
- „ 1884 Dermoid growth at sclero - corneal junction.
- „ 1885 Dermoid thickening of conjunctiva and cornea showing fine hairs springing from the surface.
- „ 1886 Dermoid growth of conjunctiva associated with small coloboma of upper lip.
- „ 1887 Dermoid growth of conjunctiva and trace of coloboma of upper lid.
- „ 1888 Small congenital pigment spot in conjunctiva ciliary region, horizontal meridian.
- „ 1889 Congenital pigmentation in conjunctiva mainly in upper inner quadrant over ciliary region.
- „ 1890 Deep episcleral or scleral pigmentation of conjunctiva of lower segment.
- „ 1891 Melanosis of conjunctiva developing slowly into melanotic sarcoma.
- 1892 Argyria following prolonged use of nitrate of silver.
- „ 1893 Conjunctival cyst in ciliary region.
- „ 1894 Conjunctival cyst.
- „ 1895 Phlyctenular conjunctivitis associated lupus of the nose and upper lid.
- „ 1896 Lupus of the left upper lid associated with extensive lupus of the face and nose.
- „ 1897 Pale flabby large phlyctenulae associated with impetigo contagiosa of nose and upper lip.
- „ 1898 (a) Essential shrinkage of conjunctiva with pale thickening of epithelium.
 (b) Associated with patches of superficial ulceration about the junction of the hard and soft palate on either side.
 (c) Appearance of eye after acute attack of purulent conjunctivitis complicated by partial sloughing of the cornea and formation of staphyloma.
- „ 1899 Formation of nodules in the conjunctiva at the corneo-scleral junction in both eyes associated with formation of fragment of arcus senilis. Origin doubtful.

Lent by:

- Dr. George Mackay, 1900 Panophthalmitis with extrusion of conjunctiva obscuring lower lid from metastatic orbital thrombosis following pneumonia.
- " 1901 Hypertrophy of conjunctival fold in orbital socket after too constant wearing of an artificial eye.
-
- " 1902 Case illustrating presence of a congenital filament, apparently epithelial, in the anterior chamber.

Strumous and Specific Conjunctivitis and Keratitis.

- " 1903 Phlyctenular conjunctivitis—large single phlyctenule.
- " 1904 Phlyctenular keratitis and conjunctivitis.
- " 1905 Phlyctenular conjunctivitis proceeding to deep pustular episcleritis and keratitis:
- " 1906 (a) Appearance of eye—March 5th, 1907
(b) Appearance of eye—March 29th, 1907
(c) Appearance of eye—May 5th, 1908.
- " 1907 Deep conjunctival ulcer following pustular conjunctivitis
- " 1908 Phlyctenular conjunctivitis and vascular strumous keratitis.
- " 1909 Marginal strumous vascular keratitis.
- " 1910 Superficial vascular keratitis, strumous.
- " 1911 Strumous ulceration of cornea progressing to perforation and prolapse of iris, strumous pannus.
- " 1912 Ulceration of cornea with hypopyon, probably tubercular.
- " 1913 Phlyctenular episcleritis and phlyctenular keratitis.
- " 1914 Phlyctenular episcleritis of both eyes.
- " 1915 Phlyctenular episcleritis.
- " 1916 Phlyctenular episcleritis and keratitis.
- " 1917 Recurrent phlyctenular episcleritis and keratitis:
- (a) June 18th, 1909—prior to vaccine.
- (b) July 31st, 1909—after vaccine treatment commenced.

Lent by:

- Dr. George Mackay, 1918 Nodular episcleritis with keratitis.
Edinburgh.
- „ 1919 Corneal opacities left by strumous keratitis.
- „ 1920 Recurrent nodular episcleritis.
- „ 1921 Nodular episcleritis and keratitis.
- „ 1922 Nodular episcleritis and keratitis.
(2 plates—November 16th, 1905, and February 16th, 1906).
- „ 1923 Diffuse episcleritis of both eyes with a trace of phlyctenular infiltration.
- „ 1924 Episcleritis associated with extensive tubercular lymphatic adenitis.
- „ 1925 Episcleritis with more diffuse thickening associated with tubercular adenitis and deposit in the apex of one lung.
- „ 1926 Large tubercular granuloma at left corneo-scleral margin associated with extensive tubercular disease of scapula.
- „ 1927 Persistent ciliary injection without definite iritis associated with high opsonic index for human tubercle bacilli (1.43).
- „ 1928 Tubercular kerato-iritis, deposit of lymph at foot of anterior chamber.
- „ 1929 Tubercular kerato-iritis.
- „ 1930 Recurrent episcleritis with thinning of sclera.
- „ 1931 Recurrent episcleritis.
- „ 1932 Recurrent episcleritis.
- „ 1933 Episcleritis.
- „ 1934 Recurrent phlyctenular conjunctivitis and keratitis.
- „ 1935 Recurrent interstitial keratitis.
- „ 1936 Interstitial keratitis and notching of upper and lower incisors.
- „ 1937 Interstitial keratitis :
 (a) magnified image, early stage, showing lines of blocked lymphatics and diffuse interstitial deposit.
 (b) Same case nearly a month later.
- „ 1938 Inherited specific keratitis with marked *keratitis punctata profunda*.

Lent by:

- Dr. George Mackay, 1939 Interstitial keratitis with rachitic teeth.
Edinburgh.
- „ 1940 Interstitial keratitis with well formed teeth.
- „ 1941 Notched upper incisors, with degenerate enamel, peg-topshaped upper canines in a case of severe interstitial keratitis.
- „ 1942 Interstitial keratitis in right eye, associated with well formed teeth. Left eye keratitis subsided, but deposit of lymph at foot of anterior chamber. Synechia and opaque lens.
- „ 1943 Illustration of irregular rachitic teeth.
- „ 1944 Illustration of rachitic and Hutchinsonian teeth, associated with interstitial keratitis.
- „ 1945 Patch of deep keratitis.
- „ 1946 Iritis, with synechiae and three points of deposit in cornea.

Affections of the Cornea.

- „ 1947 Conical cornea :
(a) Full face, showing diminished size of corneal reflex ;
(b) Profile view.
- „ 1948 Arcus senilis.
- „ 1949 Appearance of cornea with fragment of steel embedded in it for 13 months, showing surrounding infiltration and siderosis.
- „ 1950 Deposit of lead salt in the corneal epithelium.
- „ 1951 Total staphyloma of cornea, with buphthalmic stretching.
- „ 1952 Total staphyloma corneae, with pronounced pannus, following injury.
- „ 1953 Accidental puncture of corneo-scleral margin, with slight prolapse of iris and displacement of pupil.
- „ 1954 *Endophthalmitis septica* in consequence of puncture wound.
- „ 1955 Subepithelial hæmorrhage into the cornea, with vascularisation at the limbus cornea below.

Lent by :

- Dr. George Mackay, 1956 Septic ulcer of the cornea, with small
Edinburgh. hypopyon, following injury.
- " 1957 Septic ulcer of the cornea with hypopyon
and fibrinous exudate on posterior
surface of cornea.
- " 1958 Deep septic ulcer of the cornea with
hypopyon.
- " 1959 Vascular keratitis.
- " 1960 *Keratitis dendritica*—appearance on 10th
day of attack prior to treatment.
- " 1961 Mooren's ulcer.
- " 1962 Mooren's ulcer affecting periphery of
cornea with grey opacity of central
islet.
- " 1963 Marginal ulcer of cornea with small iris
prolapse.
- " 1964 Subepithelial punctate deposit.
- " 1965 Earlier stage of similar case.
- " 1966 Same affection of both eyes :
(a) Normal size ;
(b) Magnified.
- " 1967 Disc-like keratitis with fine vesiculation
preceding glaucoma.
- " 1968 Disc-like keratitis with fine vesiculation
associated with increased tension.

Affections of the Iris and Ciliary Body.

- " 1969 Double congenital aniridia with peculiar
corneal opacities, the left suggestive
of coloboma. Opacities in lenses.
Myopia.
(a) External aspect of eyes.
(b) As seen with ophthalmoscopic
mirror alone.
- " 1970 Congenital polycoria.
- " 1971 Persistent capsulo-pupillary membrane.
(a) Hypertrophy of the ciliary pro-
cesses in association with
shrunken congeniality catarac-
tous lens in slightly micro-
phthalmic eye and hetero-
chromia iridum.
(b) Pupil dilated, natural size.

Lent by :
Dr. George Mackay,
Edinburgh.

(c) The same magnified about ten times.

- 1972 Hypertrophy of the ciliary processes associated with shrinkage of cataractous lens.
- 1973 Specific iritis, secondary, with gummatous nodules at the pupillary region.
- 1974 Gummatous specific iritis with hour-glass shape of pupil following mydriatic.
- 1975 Sclero-iritis, specific, associated with slight septic keratitis following injury.
- 1976 Iritis with nodular infiltration, thickening of the sphincter.
- 1977 *Keratitis punctata profunda*.
- 1978 Iridocyclitis with *keratitis punctata profunda* in albino.
- 1979 Iridocyclitis with *keratitis punctata profunda*. Numerous posterior synechiæ. Iridectomy performed upon each eye.
- 1980 Iridocyclitis with *keratitis punctata profunda*, possibly tubercular.
- 1981 *Keratitis punctata profunda* (recent) and degeneration of cornea, iris and lens following iridocyclitis, despite iridectomy.
- 1982 Iridocyclitis with deep *keratitis punctata profunda*.
- (a) Appearance when first seen.
(b) Appearance after slight relapse.
- 1983 Tubercular iridocyclitis with large plastic deposit in anterior chamber.
- 1984 Tubercular iridocyclitis with *keratitis punctata* and large tubercular nodule in anterior chamber.

Some Results of Iritis.

- 1985 Exclusion of pupil following iridocyclitis with localised formation of *iris bombé* simulating melanotic neoplasm.
- 1986 (a) Simple distension viewed by transillumination.
(b) *Iris bombé* relieved by small iridectomy revealing cataractous lens.

Lent by :

Dr. George Mackay,
Edinburgh.

- 1987 (a) Exclusion, occlusion and displacement of pupil with anterior synechiæ following upon strumous kerato-iritis. Cicatricial ectropium of lower lid relieved by van Milligen's operation
- „ 1988 (b) Appearance of eye after iridectomy, needling and linear extraction of lens.
- „ 1989 Atrophy of iris following interstitial kerato-iritis.
- „ (a) As seen by ordinary illumination.
- „ (b) By transillumination.
- „ 1990 Case in which iridectomy was performed upwards in each eye for relief of posterior synechiæ in 1870.

Injuries to the Iris.

- „ 1991 Laceration of conjunctiva with traumatic rupture of *sphincter iridis*.
- „ 1992 Wound of the ciliary region with prolapse of iris and ciliary body, hyphaema, displacement of pupil.
- „ 1993 Wound of the sclerotic with retroversion and prolapse of iris and nodule of thickened conjunctiva.
- „ 1994 Traumatic retroversion of iris and dislocation of lens.
- „ 1995 Traumatic iridoplegia with iritis and hæmorrhage into the vitreous and retina.
- „ 1996 Linear cicatrix in cornea, shrunken cataract, and cyst of iris following old perforating injury.

Cases of Glaucoma.

- „ 1997 Chronic glaucoma.
- „ 1998 Chronic glaucoma affecting both eyes.
- „ 1999 Subacute glaucoma with irregular paresis of each *sphincter iridis*.
- „ 2000 Subacute glaucoma with irregular paresis of each *sphincter iridis*.
- „ 2001 Absolute glaucoma accompanied by orbital cellulitis.

Lent by :

- Dr. George Mackay, 2002 Trephining at the sclero-corneal margin
Edinburgh. with iridectomy, showing subsequent
cystoid cicatrix, for relief of glaucoma.
- „ 2003 Idem.
- „ 2004 Double buphthalmus, left eye treated by
trephining of the corneo-scleral
margin with iridectomy, cystoid
cicatrix.

Intraocular Growths.

- „ 2005 Melanotic sarcoma.
(a) External appearance.
(b) Appearance of pupil as seen
with ophthalmoscope.
(c) Idem.
(d) Idem.
- „ 2006 Leuco-sarcoma of iris and ciliary body.
(a) Front view.
(b) Appearance with eye turned
towards the temple.
- „ 2007 Melanotic sarcoma perforating sclera and
the ciliary region.
(a) External appearance with eye
turned downwards.
(b) Upper half of eye viewed from
below.
- „ 2008 Melanotic ring sarcoma of iris and
ciliary body.
(a) Sarcoma of conjunctiva re-
current in the sclera.
(b) Sarcoma of conjunctiva between
cornea and plica semilunaris.
Conjunctival growth excised.
(c) Idem. showing recurrence of
growth on lower part of globe.
- „ 2009 *Glioma retinae.*
- „ 2010 Same case.
(a) Showing external appearance of
eye
(b) Lower half of eye after enucle-
ation and bisection.
(c) Appearance of growth under
low power.
(d) Under high power.
- 2011 Pseudoglioma of retina,

Lent by:

Dr. George Mackay,
Edinburgh.

2012 Phthisis bulbi with progressive transverse degeneration of cornea following pseudoglioma.

Cataract.

- „ 2013 Symmetrical congenital lamellar cataract:
 (a) Appearance when first seen.
 (b) Appearance of lens seen by oblique focal illumination.
 (c) The same under ophthalmoscopic examination.
 (d) Luxation of nucleus of lens into anterior chamber after needling of the anterior capsule.
- „ 2014 Traumatic cataract, with siderosis.
- „ 2015 Diffuse cataract.
- „ 2016 Congenital dislocation of both lenses inwards.
- „ 2017 Double cataract in a fox terrier, with dislocation of each lens into the anterior chamber.

Dr. A. Maitland Ramsay,
Glasgow.

Series of Lumière photographs, illustrating:

- „ 2018 Sarcoma of lachrymal gland.
- „ 2019 Blephorrhœa of lachrymal sac.
- „ 2020 Blepharitis marginalis in a late stage.
- „ 2021 Inflammation of *Meibomian* glands.
- „ 2022 Senile ectropion with ulcer of the left cornea.
- „ 2023 Spasmodic ectropion.
- „ 2024 Epithelioma at the left inner canthus.
- „ 2025 Ecchymosis of lids and conjunctiva.
- „ 2026 Keloid of the eyelids after measles.
- „ 2027 *Ophthalmia neonatorum*.
- „ 2028 Results of *ophthalmia neonatorum*.
- „ 2029 Trachoma with *Panopus*.
- „ 2030 Pneumococcal ulcer of the left cornea.
- „ 2031 *Anterior Staphyloma* of the cornea after ulceration in a strumous child.
- „ 2032 Interstitial keratitis, tuberculous.
- „ 2033 Interstitial keratitis, syphilitic.
- „ 2034 Ulceration of sclerotic, tuberculous.

Lent by:

Dr. A. Maidland Ramsay, 2035 Syphilitic iritis.
Glasgow.

- „ 2036 Penetrating wound of the cornea with
prolapse of the iris.
- „ 2037 Purulent cyclitis after a perforating
wound.
- „ 2038 Cataract in both eyes.
- „ 2039 Buphthalmos, bilateral.
- „ 2040 Filtering cicatrix after Elliot's tre-
phining operation.
- „ 2041 Exudative choroiditis; pseudo-glioma.

Prof. de Lapersonne, Autochrome photographs illustrating :
Paris.

- „ 2043 Iridocyclitis in leprosy.
- „ 2044 Nodular leprosy of the eye-lids and
the face.
- „ 2045 Scleritis and staphyloma in leprosy.
- „ 2046 Interstitial keratitis in leprosy.
- „ 2047 Keratoglobule.
- „ 2048 Hydrophthalmia.
- „ 2049 Idem.
- „ 2050 Nævus of the upper eyelid.
- „ 2051 Ulcerative hypopyon.
- „ 2052 Congenital ptosis.
- „ 2053 Epithelioma of the external angle.
- „ 2054 Epithelioma (corneous globe).
- „ 2055 Epithelioma of the internal angle.
- „ 2056 Epithelioma treated by radium.
- „ 2057 Angioma of the conjunctiva.
- „ 2058 Idem.
- „ 2059 Melanotic sarcoma of the eye.
- „ 2060 Idem.
- „ 2061 Sarcoma-teleangectases of the orbit.
- „ 2062 Cylindroma of the orbit.
- „ 2063 Optic meningitis involving the arach-
noid.
- „ 2064 Idem, involving the nerve.
- „ 2065 Meningeal lymph exudation.
- „ 2066 Papilloma of the caruncle.
- „ 2067 Traumatic emphysema.

Lent by:

- | | | |
|---|------|---|
| Prof. de Lapersonne,
Paris. | 2068 | Traumatic hæmatoma. |
| " | 2069 | Idem, resolving. |
| " | 2070 | Syphilide of the lachrymal region. |
| " | 2071 | Mixed tumour of the lachrymal gland. |
| " | 2072 | Mixed tumour. |
| " | 2073 | Mixed tumour ; cartilaginous nodule. |
| " | 2074 | Mixed tumour of the cavity (pseudo glandular) |
| " | 2075 | Sporotrichosis ; experimental interstitial keratitis. |
| " | 2076 | Idem ; infiltration of the ciliary body. |
| " | 2077 | Idem, spores. |
| " | 2078 | Idem, nodule in the eye of a rabbit. |
| Mr. J.V. Paterson, M.B.,
C.M., F.R.C.S.,
Edinburgh. | 2079 | Microscopic slide illustrative of the growth of epithelium into the anterior chamber after operation. |
| " | 2080 | Idem. |
| " | 2081 | Idem. |
| " | 2082 | Drawings of the same. |
| " | 2083 | Metastatic carcinoma of the choroid. |
| " | 2084 | Microscopic sections of the same. |
| " | 2085 | Drawings of the same. |
| Mr. Priestley Smith,
M.Sc., F.R.C.S.,
Birmingham. | 2086 | Album containing photographs of eyes lost through glaucoma of various kinds. |
| " | 2087 | Series of specimens of eyes to illustrate methods of mounting. |
| Prof. Salzer, Munich. | 2088 | Series of transparencies (autochrome and black and white), illustrating the healing of central perforating wounds in the cornea of salamanders, frogs, trout, doves, hens, and guinea pigs. |
| " | 2089 | Series of microscopical specimens of the same. |
| " | 2090 | Album of water-colour drawings and photographs illustrating the regeneration of the injured cornea in the rabbit. |
| " | 2091 | Schematic table illustrating the same. |
| " | 2092 | Idem. |
| Dr. John E. Weeks, Sc.D.,
New York. | 2093 | Human head, for the demonstration of an operation on the eyelids and orbit. |

Lent by:

- Prof. Greeff, Berlin. 2094 A new method of preserving sections of eyes for Museum purposes. (*See* Section "Museum Technique," p. 159.)

Vision Tests.

- Dr. Edridge Green, 2095 Colour perception lantern.
London.
- " 2096 Pocket test for colour blindness.
- " 2097 The pocket classification test.
- " 2098 Wool box classification test.
- Dr. N. Bishop Harman, 2099 The diaphragm test for binocular vision.
F.R.C.S., London.
- Dr. F. Schanz (Sani- 2100 Apparatus for the observation of fluores-
tätsrat), Dresden. cence in the observer's own eye.
- " 2101 Spectro-photometric observations on the
not directly visible rays contained in
light.
- " 2102 Observations on protective glasses, in
regard to their permeability by rays
which are not directly visible.
- " 2103 Amundsen's "snow" spectacles, made of
cuphos glass.
- " 2104 Protective eye glasses, protecting against
the action of rays which are not directly
visible, emanating from artificial sources
of light.
- Dr. R. Cords (Privatdo- 2105 Apparatus for the measurement of the
zent), Bonn. influence of parallax deviation on
monocular perception of depth.
- " 2106 Curve explaining the above.

Miscellaneous.

- Dr. N. Bishop Harman, 2107 Photometer for measuring the illumin-
F.R.C.S., London. ation in Schools.
- " 2108 The Education of Myopes. Photographs
of a Myope Class now in operation in
London.
- Dr. R. Colomb, Paris. 2109 Three artificial eyes worn by Gambella
during the years 1875-1876 and 1877.
- " 2110 Two artificial eyes made of flint glass
and ivory in 1908 at Jullundur (British
India). They correspond exactly to the
description given by Ambroise Paré in
1579.

SECTION X.—Diseases of Children.

I.—POLIOMYELITIS.

Lent by

- | | | |
|---------------------------------|------|---|
| Dr. S. A. K. Wilson, | 2111 | An exhibit illustrating the experimental pathology of poliomyelitis. |
| London. | | |
| „ | 2112 | An exhibit illustrating the pathology of poliomyelitis. |
| „ | 2113 | An exhibit illustrating the epidemiology of poliomyelitis. |
| Dr. Arthur Newsholme, | 2114 | Three maps showing the incidence of poliomyelitis in England and Wales since this disease became compulsorily notifiable. |
| Local Government Board, London. | | |

II.—TUBERCULOSIS IN CHILDREN.

- | | | |
|---------------------------|------|---|
| Dr. D. B. Lees, F.R.C.P., | 2115 | Diagram showing the distribution of the dull areas in the lungs in incipient pulmonary tuberculosis. |
| London. | | |
| „ | 2116 | Table showing the size of the dull areas detected by percussion, in a case of incipient pulmonary tuberculosis. |
| „ | 2117 | A similar table. |
| „ | 2118 | A similar table. |
| „ | 2119 | A similar table. |
| „ | 2120 | A similar table. |
| „ | 2121 | A similar table. |
| „ | 2122 | Table showing an enlargement of the dull areas during a slight relapse with subsequent diminution. |
| „ | 2123 | Table showing the size of the dull areas in an advanced case of pulmonary tuberculosis. |
| „ | 2124 | X-ray negative taken from a child, in whom percussion evidence of past and present tuberculosis of lungs and bronchial glands was distinct. |
| „ | 2125 | A similar negative. |
| „ | 2126 | A similar negative. |

Lent by :

- Dr. Alexander P. Mitchell, F.R.C.S.
Edinburgh. 2127 Series of water colour drawings illustrating nature and sites of tuberculous lesions of the faucial tonsils from children with tuberculous cervical glands.
- „ 2128 Series of Photomicrographs illustrating tuberculosis and other lesions of the faucial tonsils from children.

Series of photographs illustrating :

- „ 2129 Bovine type of tubercle bacillus in primary culture and sub-culture on Dorset's egg medium.
- „ 2130 Human type of tubercle bacillus in primary culture and sub-culture on Dorset's egg medium.
- „ 2131 Lesions produced in lungs of rabbit by intravenous injection (dose .01 milligramm) of bovine and human types of tubercle bacillus. Virulence test.
- „ 2132 Primary cultures and sub-cultures of bacillus tuberculosis (bovine and human types) on Dorset's egg medium.

Exhibit illustrating the various types of tuberculosis produced artificially in rabbits.

- Dr. Leonard Findlay, D.Sc., Glasgow. 2133 Lung of guinea-pig, showing spontaneous anthracosis.
- „ 2134 Lung of a rabbit, showing spontaneous anthracosis.
- „ 2135 Inhalation tuberculosis in a rabbit. Bovine bacilli sprayed 31 days previously.
- „ 2136 Inhalation tuberculosis in a rabbit. Bovine bacilli sprayed 17 days previously.
- „ 2137 Inhalation tuberculosis in a rabbit. Human bacilli.
- „ 2138 Experimental tuberculosis in a rabbit. Bovine bacilli introduced by syringe through a gastrostomy wound into the stomach.
- „ 2139 Feeding tuberculosis in a rabbit. Bovine bacilli given for 60 days.
- „ 2140 Feeding tuberculosis in a rabbit. Bovine bacilli given for 63 days.

Lent by :

- Dr. Leonard Findley, 2141 Feeding tuberculosis in a rabbit. Bovine
D. Sc., Glasgow. bacilli given on one occasion 73 days
previously.
- „ 2142 Feeding tuberculosis in a rabbit. Bovine
bacilli given for 60 days.
- „ 2143 Feeding tuberculosis in a rabbit. Human
bacilli given on one occasion, 62 days
previously.
- „ 2144 Pseudo-tuberculosis in a rabbit.
- „ 2145 Pseudo-tuberculosis in a rabbit.

Microscopical specimens :

- „ 2146 Nodule of tuberculosis in the lung of a
rabbit.
- „ 2147 Idem ; stained for tubercle bacilli.
- „ 2148 Nodule of pseudo-tuberculosis in the lung
of a guinea-pig.
- „ 2149 Smear from the spleen in pseudo-
tuberculosis, showing pseudo-tubercle
bacilli.
- „ 2150 Smear from a culture of pseudo-tubercle
bacilli.
- „ 2151 Tuberculous ulcer on valvular connivents
in a rabbit.
- „ 2152 Idem, stained to show tubercle bacilli.
- „ 2153 Nodule of pseudo-tuberculosis in the
spleen of a guinea-pig.
- „ 2154 Idem, stained to show tubercle bacilli.
- „ 2155 Coloured drawings illustrating the lesions
in experimental tuberculosis in rabbits,
induced by feeding with tubercle
bacilli.
- Dr. Siegfried Weiss, 2156 Wax model of the condition of the cheek
Vienna. in a case of infantile scurvy (Möller's
form of Barlow's disease).
- The Hospital for Sick 2157 An exhibit dealing with tuberculosis in
Children, Great Ormond children.
Street, London.

SECTIONS XI. and XII.

Neuropathology and Psychiatry.

Series of Sections of the Brains of Cases of Apraxia and Aphasia.

Lent by :

- | | |
|-------------------------------|--|
| Prof. H. Leipmann,
Berlin. | 2158 Case of one-sided apraxia. On the left side fresh lesion in the frontal lobe, and in the white substance of the 3rd and 2nd frontal convolution; entire destruction of the corpus callosum. |
| „ | 2159 Idem. On the right side a lesion in the internal capsule. |
| „ | 2160 Same case; entire destruction of the corpus callosum. |
| „ | 2161 Same case; on the left side, large lesion in the parietal lobe, entire destruction of the corpus callosum. |
| „ | 2162 Idem. |
| „ | 2163 Idem. |
| „ | 2164 Idem. |
| „ | 2165 Same case; on the left side, large lesion in the parietal lobe; splenium intact. |
| „ | 2166 Case of bilateral dyspraxia, with partially resolved sensory aphasia and difficulty in finding words. Old lesion in the left parietal lobe; recent lesion anteriorly and to the left in the corpus callosum. |
| „ | 2167 Idem. |
| „ | 2168 Idem. |
| „ | 2169 Idem. |
| „ | 2170 Case of embolism of both the posterior branches of the anterior cerebral artery giving rise to left-sided dyspraxia; softening of the left half of the corpus callosum and of the median portions of the hemispheres. |
| „ | 2171 Idem. |
| „ | 2172 Idem. |
| „ | 2173 Idem. |

*Lent by :*Prof. H. Liepmann,
Berlin.

- 2174 Case of tumour of the corpus callosum and the inner portion of the frontal lobe; giving rise to left-sided dyspraxia.
- 2175 Idem.
- 2176 Idem.
- 2177 Case of tumour of the corpus callosum, of the median portion of the frontal lobe and of the semi-oval centre of the central region, giving rise to left-sided dyspraxia.
- 2178 Idem.
- 2179 Case of abnormal thinning of the corpus callosum and dilatation of the ventricle; giving rise to left-sided dyspraxia; right-sided hemiplegia, caused by a lesion in the zone of the lenticular nucleus.
- 2180 Normal specimen for comparison with the preceding section.
- 2181 Case of right-sided hemiplegia and left-sided dyspraxia; large lesion in the central convolutions and the contiguous white matter.
- 2182 Idem.
- 2183 Idem.
- 2184 Idem.
- 2185 Same case.
- 2186 Idem; small lesion in the occipital lobe.
- 2187 Brain of a left-handed person; very extensive destruction of the whole left speech and word-perception centres; lesion in corpus callosum, complete alexia and agraphia; left-sided paralysis
- 2188 Idem.
- 2189 Idem.
- 2190 Persistent motor aphasia with disturbance of the power of writing; destruction of the third left frontal convolution, with almost intact lenticular nucleus zone. Wernicke's zone is quite intact.
- 2191 Idem.
- 2192 Idem.

Lent by:

Prof. H. Liepmann,
Berlin.

- 2193 Persistent motor *aphasia*; intact lenticular nucleus zone; the lesion has destroyed the 2nd frontal convolution and the operculum Rolandi, and has damaged Broca's convolution.
- 2194 Idem.
- 2195 Idem.
- 2196 Idem.
- 2197 Horizontal section through the left hemisphere of the brain of a patient with old-standing destruction (nearly 30 years) of a portion of Broca's convolution, of the operculum Rolandi, of the whole of island of Reil, of the capsule and of Wernicke's region. The aphasia had practically disappeared, leaving only a slight defect in speech.
- 2198 Idem.
- 2199 Idem.
- 2200 Idem.
- 2201 Case of destruction of the lenticular nucleus region; giving rise to motor aphasia and word deafness; the lesion extends upwards to the white substance of the third frontal convolution, and of the fissure of Roland, downwards in the posterior part, to the white substance of the parietal lobe, intersecting the auditory fibres.
- 2202 Idem.
- 2203 Idem.
- 2204 Idem.
- 2205 A similar case, in which the lesion does not extend so far forwards and upwards; there was impaired articulation and much difficulty in finding words; the understanding of words was only slightly affected.
- 2206 Idem.
- 2207 A similar case, in which the lesion did not extend as far either upwards, forwards or downwards; restitution of speech within 2 months.
- 2208 Idem.
- 2209 Idem.
- 2210 Idem.

Lent by :

Prof. H. Liepmann,
Berlin.

2211 Complete anarthria, aphagia and cortical deafness; the whole operculum Rolandi, on the left side, the parietal and posterior part of the frontal lobe and the island of Reil destroyed. Destruction of the deep temporal gyrus, with intact superior temporal gyrus. On the right side, considerable damage of the operculum Rolandi; destruction of the anterior part of the posterior limb of the internal capsule, of the deep and the superior temporal sulci, and severe damage of the lenticular nucleus and island of Reil.

" 2212 Idem.

" 2213 Idem.

" 2214 Moderately severe dysarthria and dysphagia; apparently caused by a lesion on the right side in the fissure of Roland and the frontal lobe; a congenital hypoplasia, however was found in the left fissure of Roland.

" 2215 Idem.

Dr. R. J. D. Holtby, 2216 Symmetrical porencephaly, affecting the
Dublin. temporal region.

Dr. William Brown, 2217 McDougall's apparatus designed for
London. measuring voluntary attention and fatigue.

" 2218 The psycho-galvanic apparatus.

" 2219 Records of the psycho-galvanic reaction.

" 2220 Records of psycho-analysis.

SECTION XIV.—Urology.

I.—DISEASES OF THE PROSTATE.

Transparencies.

Lent by :

- | | |
|----------------------------------|--|
| Mr. Freyer, F.R.C.S.,
London. | 2220 Series of specimens of pathological conditions of the prostate. |
| Dr. Henry Wade,
Edinburgh. | 2221 An exhibit (see Appendix). |

II.—TUBERCULOSIS.

- | | |
|--|---|
| Dr. David Newman,
Glasgow. | <i>Drawings illustrating the cystoscopic appearances of early tuberculosis of the bladder and kidney.</i> |
| " | 2222 Primary tuberculosis of the upper pole of the left kidney, showing the orifice of the ureter. |
| " | 2223 Cystoscopic appearances of the early tuberculosis of the left kidney and pelvis. |
| " | 2224 Primary tuberculosis of the left kidney showing the orifice of the left ureter. |
| " | 2225 Renal tuberculosis, showing the orifice of the right ureter. |
| " | 2226 Primary tuberculosis of the right kidney. |
| " | 2227 Early tuberculosis of the left kidney, showing the orifice of the left ureter. |
| " | 2228 Primary tuberculous cystitis, showing œdema of the mucosa. |
| " | 2229 Idem, showing hyperæmia. |
| " | 2230 Idem, showing minute nodules beneath the epithelium of the mucosa. |
| " | 2231 Idem, showing irregular patches of deposit. |
| " | 2232 Idem, showing ulceration. |
| " | 2233 Idem, showing a trabeculated ulcer. |
| " | 2234 Idem, showing submucous casseous deposits. |
| Mr. Thomson Walker,
F.R.C.S., London. | 2235 Series of drawings of the various stages and types of tuberculosis of the kidney. |
| " | 2236 Specimens of tuberculosis of the kidney. |
| Dr. Matthew J. Stewart,
M. R.C.P., Leeds. | 2237 Kidney from a case of chronic lymphatic leukæmia, showing extreme fatty changes and hæmorrhages into the pelvis and sinus. |

Lent by :

- Dr. Matthew J. Stewart, 2238 Kidney showing centrifugal spread of
M.R.C.P., Leeds. cancer from the pelvis.
- Dr. Rudolf Picker, Series of specimens injected with Beck's
Budapest. bismuth paste, illustrating the ducts
of the human seminal vesicles :
- " 2239 Seminal vesicle showing simple straight
ducts. (Group A).
- " 2240 Seminal vesicle showing thick tortuous
ducts. (Group B).
- " 2241 Idem.
- " 2242 Idem.
- " 2243 Idem.
- " 2244 Idem.
- " 2245 Idem.
- " 2246 Idem.
- " 2247 Idem.
- " 2248 Seminal vesicles showing thin tortuous
ducts. (Typical of group C).
- " 2249 Idem, with characteristic course).
- " 2250 Idem.
- " 2251 Idem, with U-shaped course at right side.
- " 2252 Seminal vesicle showing straight or
tortuous main ducts with diverticula.
(Typical of group D).
- " 2253 Idem, with T-shaped main duct.
- " 2254 Idem, showing difference between the
right and left sides.
- " 2255 Idem, showing dilatation.
- " 2256 Idem, showing small ducts.
- " 2257 Seminal vesicle with short main duct
and large irregular and branched
accessory ducts. (Group E.)
- " 2258 Idem.
- " 2259 Idem.
- " 2260 Idem.
- " 2261 Idem.
- " 2262 Idem.
- " 2263 Idem.
- " 2264 Idem.
- " 2265 Seminal vesicle with closed *ductus defer-*
entis. (Group F.)

Lent by :

- | | |
|--|--|
| Dr. Rudolf Picker,
Budapest. | 2266 Seminal vesicle associated with pyelitis and enlarged Cowper's gland. |
| " | 2267 Seminal vesicle with small ampullæ and general signs of rudimentary development. |
| " | 2268 Seminal vesicle associated with an abscess between the ureter and the <i>vas deferens</i> . |
| " | 2269 Seminal vesicle showing marked inflammatory adhesions. |
| " | 2270 Idem. |
| " | 2271 Idem. |
| " | 2272 Idem. |
| " | 2273 Idem. |
| " | 2274 Idem. |
| " | 2275 Idem. |
| " | 2276 Seminal vesicle showing abnormalities. |
| " | 2277 Series of radiograms illustrating the finer changes of the preceding specimens. |
| " | 2278 Series of 50 stereoscopic photographs illustrating Dr. Picker's specimens. |
| " | 2279 Tables giving statistical details. |
| Mr. Thomson Walker,
F.R.C.S., London. | 2280 Series of 21 lantern slides illustrating pyelography. |
| " | 2281 Series of 6 lantern slides, illustrating diverticulæ of the bladder. |
| " | 2282 Specimens of diverticulæ of the bladder. |
| St. Peter's Hospital,
London. | 2283 Calculi (renal). |
| " | 2284 Idem (ureteric). |
| " | 2285 Idem (vesical). |
| " | 2286 Idem (prostatic). |
| " | 2287 Idem (urethral). |
| " | 2288 Various pathological specimens. |
| Dr. Ernst R. W. Franck,
Berlin. | Diagrams illustrating the affections of the vesicle mucosa; cystoscopical appearances : |
| " | 2289 Syphilitic disease of the mucous membrane of the bladder. |
| " | 2290 Tuberculous disease of the mucous membrane of the bladder; (a) hæmatogenous (b) renal. |

Lent by :

- | | | |
|--|------|--|
| Dr. Ernst R. W. Franck,
Berlin. | 2291 | Injuries to the mucous membrane of the bladder. |
| " | 2292 | Bilharzia infection of the mucous membrane of the bladder. |
| " | 2293 | Congenital changes. |
| " | 2294 | Cystitis; (a) cystitis productiva. |
| " | 2295 | Changes of the muscular wall of the bladder. |
| " | 2296 | Affections of the ureter papilla. |
| " | 2297 | Tumours of the bladder. |
| " | 2298 | Affections of the neck of the bladder. |
| Mr. Cyril A. R. Nitch,
M.S., F.R.C.S.,
London. | 2299 | Kidney showing the lesions of tubercular disease (pyelitis and pyonephrosis). |
| " | 2300 | Microscopical section of the ureter of the same case. |
| " | 2301 | Drawings of the kidney and ureteric orifice of the same case. |
| " | 2302 | Kidney removed for extensive tubercular disease, with enlargement and ulceration of the calyces and destruction of many of the pyramids. |
| " | 2303 | Coloured drawing of a tubercular kidney and |
| " | 2304 | Coloured drawing of the ureteric orifice of the same patient. |

SECTION XV.—Laryngology and Rhinology.

Malignant Tumours of the Nose and Neighbouring Cavities.

Lent by :

Prof. Alfred Denker, Halle.	2305 Carcinoma of the nose.
"	2306 Idem.
"	2307 Idem.
"	2308 Idem.
"	2309 Idem.
"	2310 Microscopical specimen of carcinoma of the nose.
"	2311 Idem.
"	2312 Idem.
"	2313 Idem.
"	2314 Carcinoma of naso-pharynx.
"	2315 Sarcoma of the nose.
"	2316 Idem.
"	2317 Idem.
"	2318 Idem.
"	2319 Idem.
"	2320 Microscopical specimen of sarcoma of the nose.
"	2321 Idem.
"	2322 Endothelioma of the nose.
"	2323 Idem.
"	2324 Enchondroma of the nose.
"	2325 Microscopical specimen of enchondroma of the nose.
"	2326 Osteoma of the nose.
"	2327 Microscopical specimen of osteoma of the nose.
"	2328 Angio-fibroma of naso-pharynx.
"	2329 Microscopical specimen of angio-fibroma of the nose-pharynx.
Prof. R. Hoffmann, Dresden.	2330 Carcinoma of the upper third of the trachea.
"	2331 Carcinoma of the bronchi.

Lent by:

Prof. Gerber, Königs-
berg.

- | | |
|------|--|
| 2332 | Carcinoma of the <i>sinus pyriformis</i> |
| 2333 | Fibrinous bronchitis. |
| | Series of water-colour drawings and
photographs illustrating diseases of the
upper air passages. |
| | Affections of the nose: |
| 2334 | (a) Normal conditions; (b) deviated
septum. |
| 2335 | Normal fauces and its varieties. |
| 2336 | (a) Synechiæ; (b) affections of the
septum; (c) simple and fibrinous
inflammations. |
| 2337 | Fibrinous inflammations; metaplasia of
the epithelium; atrophic rhinitis. |
| 2338 | Fœtid atrophic rhinitis; fibromata. |
| 2339 | Hypertrophic rhinitis; papillary hyper-
trophies. |
| 2340 | Hypertrophy of the tonsils. |
| 2341 | Polypi. |
| 2342 | Retronasal polypi. |
| 2343 | Idem; fibromata. |
| 2344 | Cysts, lipomata, nasal calculi and foreign
bodies. |
| 2345 | Papillomata. |
| 2346 | Carcinomata. |
| 2347 | Idem. |
| 2348 | Sarcomata. |
| 2349 | Generalised melanosis following sarcoma. |
| 2350 | Affections of the neighbouring cavities,
suppuration of the antrum and com-
bined empyema. |
| 2351 | Mucocele and empyema of the frontal
sinus, with dilatation; abscess of the
frontal sinus; (b) benign tumours of
the accessory cavities; (c) malignant
tumours of the accessory cavities. |
| 2352 | Frontal sinus empyema (complicated). |
| 2353 | Idem. |
| 2354 | Anomalies of the frontal sinus. |
| 2355 | Cysts. |
| 2356 | Osteomata. |
| 2357 | Lupus and tuberculosis. |

Lent by :

Prof. Gerber, Königs- berg.	2358 Lupus and tuberculosis.
"	2359 Syphilis.
"	2360 Idem.
"	2361 Idem, atypical and typical deformities.
"	2362 Idem.
"	2363 Idem.
"	2364 Leprosy.
"	2365 Scleromata.
"	2366 Idem.
"	2367 Special affections of the skin of the nose, and of the nostrils.
"	2368 Affections of the skin of the nose.
"	2369 Injuries and congenital anomalies.
"	2370 Congenital anomalies.
	Miscellaneous :
"	2372 Paraffin protheses.
"	2373 Plastic operations.
"	2374 Idem.
"	2375 Larynx.
"	2376 Affections of the external ear.
"	2377 Tumours of the ear.
"	2378 Illustrations of operations on the tem- poral bone. (Original drawings from Prof. Gerber's Atlas.)

Neoplasms of the nose, accessory sinuses, and naso-pharynx.

St. Bartholomew's Hos- pital.	2379 Sarcoma of nose:
"	2380 Angio-fibroma of nasopharynx.
"	2381 Naso-pharyngeal growth.
Charing Cross Hospital	2382 New growth of maxillary antrum.
"	2383 Idem.
Golden Square Hospital	2384 Fibroma of naso-pharynx.
"	2385 Tumour of naso-pharynx.
"	2386 Exostosis of the ethmoid.
University College Hospital.	2387 New growth of naso-pharynx extending into the ear.

Lent by :

University College, London.	2388 Round cell sarcoma of naso-pharynx
St. Bartholomew's Hospital.	2389 Plastic operation of the nose.

Laryngeal Tumours.

St. Bartholomew's Hospital.	2390 Multiple papillomata.
"	2391 Idem.
Charing Cross Hospital.	2392 Idem.
University College Hospital.	2393 Idem.
"	2394 Idem.
"	2395 Idem.
"	2396 Cauliflower-like growth of vocal cords.
St. George's Hospital.	2397 Single polypus of vocal cord.
"	2398 Sarcomatous polypus of vocal cord.
Charing Cross Hospital.	2399 Round cell sarcoma of arytenoid.
St. Bartholomew's Hospital.	2400 Sarcoma of the larynx.
"	2401 Epithelioma "
London Hospital.	2402 Single polypus of the vocal cord.
Guy's Hospital.	2403 Polypus of larynx.
Westminster Hospital.	2404 Fibro-lipoma of the epiglottis.
Golden Square Hospital.	2405 Fungating growth of the epiglottis.
London Hospital.	2406 Epithelioma of the epiglottis.
University College Hospital.	2407 Recurrent growth of larynx, 13 years after laryngo-fissure.
Charing Cross Hospital.	2408 Epithelioma of base of tongue, involving larynx.
St. George's Hospital.	2409 Idem.
Golden Square Hospital.	2410 Enchondroma of the cricoid cartilage.
"	2411 Prolapse of the ventricle of the larynx.
St. Bartholomew's Hospital.	2412 Idem.
"	2413 Leucoplakia of larynx.
Charing Cross Hospital.	2414 Syphilis of the larynx.
Guy's Hospital.	2415 Idem, stenosis.
London Hospital.	2416 Septic laryngitis.
St. Thomas's Hospital.	2417 Specimen of partial laryngectomy (first performed in this country by Sir Felix Semon).

Lent by :

- St. Thomas's Hospital. 2418 Laryngeal papillomata extending beyond the confines of larynx.
- " 2419 Dissection of abductor paralysis (aneurysm).
- St. George's Hospital. 2420 Glanders of the larynx.
- " 2421 Leprosy of the larynx.
- " 2422 Idem.

Diseases of the Trachea.

- Charing Cross Hospital. 2423 Diphtheria of larynx and trachea.
- " 2424 Tuberculous ulceration of trachea.
- St. Bartholomew's Hospital. 2425 Carcinoma involving the bifurcation of the trachea.
- " 2426 Idem.
- " 2427 Idem.
- " 2428 Idem.
- " 2429 Nodular growths of trachea.
- " 2430 Sarcoma of the bifurcation of the trachea, secondary to sarcoma of the kidney.
- Golden Square Hospital. 2431 Mediastinal glandular growth involving the trachea.
- " 2432 Malignant growth of thyroid gland extending to the trachea.
- London Hospital. 2433 Petechiæ of trachea and larynx from a case of septicæmia.
- University College Hospital. 2434 Carcinoma of the left bronchus.
- St. Mary's Hospital. 2435 Syphilis of trachea and larynx.
- Dr. Jobson Horne 2435A Macroscopic and microscopic specimens of pachydermia laryngis.
- " 2435B Cystoma of the larynx.
- " 2435C Prolapse of the lining membrane of the ventricle of the larynx.
- Dr. R. D. Paterson, Cardiff. 2436 Sarcoma of the thyroid, perforating the trachea.

Retrocricoid, pharyngeal and œsophageal growths.

- St. Bartholomew's Hospital. 2437 Epithelioma, retro-cricoid, from a woman aged 51.
- " 2438 Idem " " " aged 36.
- " 2439 Idem " " " aged 48.
- Charing Cross Hospital. 2440 Idem.
- " 2441 Idem " " " aged 32.
- " 2442 Idem " " " aged 43.

Lent by :

St. George's Hospital	2443	Epithelioma, retro-cricoid, from a woman.
Guy's Hospital	2444	Idem.
Westminster Hospital	2445	Idem.
Golden Square Hospital	2446	Idem.
"	2447	Idem.
St. Bartholomew's Hospital.	2448	Growth of the pyriform fossa in a man.
"	2449	Idem.
Golden Square Hospital.	2450	Idem.
"	2451	Idem.
Charing Cross Hospital.	2452	Idem.
"	2453	Growth of orifice of œsophagus.
"	2454	Idem.
"	2455	Submucous fibroma of œsophagus.
St. Bartholomew's Hospital.	2456	Growth of the orifice of the œsophagus.
"	2457	Idem.
Guy's Hospital.	2458	Sarcoma of the pharynx.
St. Bartholomew's Hospital.	2459	Pedunculated sarcoma of the pharynx.
Westminster Hospital.	2460	Growth of the pyriform fossa in a man.
University College Hospital.	2461	Large pharyngeal and lingual tonsils.
"	2461A	Papillary growths of lingual tonsils.

• *Carcinoma of the Œsophagus.*

Dr. A. Logan Turner, 2462 A series of 18 drawings:
Edinburgh.

- (1) Squamous epithelioma secondarily involving the larynx; woman æt 35.
- (2) Idem, extending into the right pyriform sinus.
- (3) Idem, involving right lobe of thyroid gland.
- (4) Idem, involving right pyriform sinus and right aryepiglottic fold.
- (5) Idem, involving the larynx; woman æt 48.
- (6) Idem, showing stricture, involving right recurrent laryngeal nerve; woman æt 58.
- (7) Idem, showing stricture two inches in length and enlarged gland.
- (8) Idem, level of aortic arch, lumen nearly obliterated, trachea adherent; man æt 48.

*Lent by :*Dr. A. Logan Turner,
Edinburgh.

- 2462 (9) Idem, level of bifurcation of trachea :
3 inches in vertical extent ; enlarged
glands.
- (10) Idem, same level ; wall ulcerated
through and lung involved ; woman,
æt 43.
- (11) Idem, same level ; forming large
mass in lumen ; trachea adherent ;
man, æt 70.
- (12) Idem, same level ; tumour extends
outside and involves trachea, which is
perforated.
- (13) Idem, same level ; deep ulceration,
involving trachea and left bronchus,
which is perforated.
- (14) Idem, about same level ; several
small nodules project into trachea ;
perforation into tissues.
- (15) Idem, same level ; perforating into
adherent trachea.
- (16) Idem ; vertical ulceration, two
inches in length, near lower end of
gullet.
- (17) Idem, near lower end of gullet ;
lumen distended ; ulceration very
extensive.
- (18) Idem, involving lower end and car-
diac end of stomach ; adherent to
inflamed pericardium ; perforation
present.

*Pituitary Tumours.*St. Bartholomew's
Hospital.2463 Base of skull with disease of pituitary
body.

"

2464 Cystic tumour of pituitary body and
sphenoid.

"

2465 Adenoma, case of acromegaly in a woman
aged 32.

"

2466 Enlarged sella turcica.

"

2467 Glio-sarcoma in a man aged 62.

"

2468 Sarcoma in a boy aged 12.

"

2469 Hypertrophy.

Guy's Hospital.

2470 Pituitary tumour.

"

2471 Sarcoma.

"

2472 Idem.

St. George's Hospital.

2473 Perithelioma.

Lent by

London Hospital.	2474 Hypertrophy.
"	2475 Sarcoma.
"	2476 Tumour.
"	2477 Idem.
"	2478 Cyst.
"	2479 Endothelioma.
St. Mary's Hospital	2480 Adenoma (Dr. Hill's case).
University College Hospital.	2481 Enlarged pituitary body, from a case of acromegaly.
"	2482 Idem.
"	2483 Pituitary sarcoma from a case of acro- megaly.
Prof. Dr. Geh. Rat. Spiess, Frankfort.	2484 Radiogram of tumour of the pituitary gland.
"	2485 Idem.

-
- Dr. L. H. Pegler, London. 2486 An autograph map of the fifth cranial nerve, illustrating its anatomy, physiology and pathology, its root, origin, surface distribution and connections, with an extended nomenclature of the nasal nerves.

Microscopical Specimens.

I.—LARYNX.

- Sir Felix Semon, London. 2487 Soft fibroma, partly extra-laryngeal.
 Dr. W. Milligan. 2488 Angio-fibroma of vocal cord.
 Dr. Percy Kidd. 2489 Angio-fibroma of the larynx.
 Dr. Dundas Grant. 2490 Soft fibroma of aryteno-epiglottidean fold.
 Mr. R. Lake. 2491 Extrinsic glandular carcinoma.
 Dr. Scanes Spicer. 2492 Spheroidal cell carcinoma.
 Dr. Lambert Lack. 2493 Mixed cell sarcoma of posterior wall of the cricoid cartilage.

II.—PHARYNX.

- Dr. Pegler. 2494 Carcinoma of pharyngeal wall.
 Dr. Carson. 2495 Squamous cell carcinoma.
 Dr. Lambert Lack. 2496 Sarcoma of the tonsil.

III.—NASO-PHARYNX.

- Dr. Pegler. 2497 Soft recurring angio-fibroma.
 Mr. Tilley. 2498 Dense angio-fibroma (base of skull and ethmoid).

Lent by :

Dr. Fitzgerald Powell.	2499 Lymphoid tumour with giant cells.
Dr. Bronner.	2500 Spheroidal cell carcinoma.
Mr. E. B. Waggett.	2501 Perienthelioma.

IV.—NOSE.

"	2502 Myeloma of ethmoid and orbit.
Dr. Lambert Lack.	2503 Endothelioma of maxillary antrum.
Dr. Dundas Grant.	2504 Columnar cell carcinoma (nose and antrum).
"	2505 Rhinoscleroma.
Mr. G. Wilkinson.	2506 Melanotic sarcoma.
Dr. Logan Turner.	2507 Papilloma; cauliflower growth of septum.
Mr. P. de Santi.	2508 Small round cell sarcoma of septum.
Dr. Bond.	2509 Large round cell sarcoma of septum.
Mr. E. W. Bain.	2510 Localised sporespermosis of septal cartilage (rhinosporidium Kinealyi).
"	2511 Papilloma of inferior turbinate.
Mr. R. Lake.	2512 Small roundcell sarcoma of inferior turbinate.
Mr. G. Wilkinson.	2513 Papillary outgrowth of inferior turbinate.

V.—DISCRETE NASAL ANGIOMATA.

Dr. B. Kelly.	2514 Outer wall of vestibule; fibro-angioma.
Dr. C. Baber.	2515 Another case.
Dr. W. H. Kelson.	2516 Floor of inferior meatus anteriorly, fibro-angioma.
"	2517 Another case.
Mr. S. Hastings.	2518 Anterior extremity of inferior turbinate.

The following examples were attached to the septum.

Dr. B. Kelly.	2519 Spongy cavernoma.
Mr. H. Tilley.	2520 Granulomatous type.
Mr. G. Wilkinson.	2521 Fibromatous type.
Mr. B. Robinson.	2522 Large cavernomatous type.
Mr. H. Tilley.	2523 Sarcomatoid type.
Mr. C. A. Parker.	2524 Fibro-angioma (from case of rhinitis sicca).
"	2525 Fibro-angioma (from another case of rhinitis sicca).
Mr. F. J. Steward.	2526 Fibro-angioma perforating the septal cartilage.
Mr. H. Tod.	2527 Fibro-angioma showing base of growth from septal cartilage.
Dr. Scanes Spicer.	2528 Soft fibro angioma, a recrudescence.
Mr. H. Tilley.	2529 Fibro-angioma, connective tissue type.
Dr. Lambert Lack.	2530 Soft-textured fibro-cavernoma.
Sir St. Clair Thomson.	2531 Fibro-angioma, cellular type.
Mr. H. Tod.	2532 Fibro-angioma cavernomatous type.
Sir St. Clair Thomson.	2533 Fibro-angioma, spongy cavernoma type.

*Enucleation of Tonsil with the Guillotine. Methods of Removal.**Lent by:*

- | | | |
|-------------------------|------|--|
| Drs. S. S. Whillis and | 2534 | Series of 20 tonsils removed in one day. |
| F. C. Pybus, Newcastle. | 2535 | Series of 40 tonsils removed in one week. |
| " | 2536 | Ordinary enucleation in one piece, large size. Type 1. |
| " | 2537 | Idem, medium size. Type 1. |
| " | 2538 | Idem, small size. Type 1. |
| " | 2539 | Enucleation, but not removing the whole capsule. Type 2. |
| " | 2540 | Removal in two pieces. Type 3. |
| " | 2541 | Removal in two pieces. Type 4. |
| " | 2542 | Removal in more than two pieces. Type 5. |
| " | 2543 | Tonsil showing eversion. |
| " | 2544 | Large tonsil enucleated under cocaine anæsthesia. |

Some Varieties of Tonsils.

- | | | |
|---|------|---|
| " | 2545 | Small tonsil showing the natural deep cleft |
| " | 2546 | Hypertrophied tonsil still in the cleft stage |
| " | 2547 | Tonsil showing three ridges. |
| " | 2548 | Overhanging variety. |
| " | 2549 | Projecting variety. |
| " | 2550 | Flat tonsils. |
| " | 2551 | Large embedded tonsils. |
| " | 2552 | Small embedded tonsils. |
| " | 2553 | Recurrent enlargement. |

Illustrating Infection of the Tonsil.

- | | | |
|---|------|--|
| " | 2554 | Tonsils showing infection of the bases of the lacunæ. |
| " | 2555 | Tonsils showing depressions occupied by caseous material. |
| " | 2556 | Section of tonsils showing large caseous foci. |
| " | 2557 | Tonsils showing adhesions between the tonsils and the capsules. |
| " | 2558 | Tonsil with cut capsule, to show the projection of caseous material. |
| " | 2559 | Two embedded tonsils, to show the result of deep infection; one tonsil shows exuberant growth. |
| " | 2560 | Infected tonsil seen from in front. No special characteristics are noted. |
| " | 2561 | Tuberculous tonsils. |

Anatomical Points.

- | | | |
|---|------|--------------------------------------|
| " | 2562 | Tonsil showing the complete capsule. |
| " | 2563 | Tonsil showing the natural cleft. |
| " | 2564 | Tonsil showing the tonsillar fossa. |

SECTION XVII.—Stomatology.

Lent by :

Dr. A. Hopewell-Smith. 2565 Plaster cast of jaws in a case of acromegaly.
 L.R.C.P., M.R.C.S.,
 L.D.S. London.

- 2566 Plaster cast of an osteoma.
 2567 Sarcoma of periodontal membrane, spreading to antrum.
 2568 Epithelioma of periodontal membrane.
 2569 United fracture of a tooth.
 2570 Erosion of teeth stated to be due to the effects of gout.
 2571 Various phases of gingivitis and conditions of which *pyorrhoea alveolaris* is a symptom. Four specimens.

Hereditary absence of crowns of teeth extending through six generations.

- 2572 Twelve plaster casts of mouths of members of same family.
 2573 Epithelial odontome from molar region of right mandible.
 2574 Plaster cast, with tooth, showing a follicular odontome connected with left mandibular second premolar.
 2575 Plaster cast with odontome, showing composite odontome of incisor region.
 2576 Composite odontome of right mandibular molar region.
 2577 Plaster cast showing two composite odontomes *in situ*.
 2578 Wall of an extra-capsular odontocoele and tooth contained.

Lantern slides showing :

- 2579 Extra-capsular odontocoele (wrongly diagnosed as a myeloid sarcoma).
 2580 Sub-capsular odontocoele.

Lent by :

- | | | |
|------------------------|-------|---|
| Dr. A. Hopewell-Smith, | 2581 | Ankylosis of tooth to bone of jaw in |
| L.R.C.P., M.R.C.S., | | mouth of a man suffering from |
| L.D.S., London. | | <i>leontiasis ossæ.</i> |
| „ | 2582 | Ankylosis of teeth to jaw. |
| Dr. Ernest B. Dowsett, | 2583 | Series of teeth from cases of <i>pyorrhœa</i> |
| London. | | <i>alveolaris</i> , showing changes at the |
| | | apices, of the nature of either trans- |
| | | lucency, deposition or absorption. |
| Mr. W. W. James, | 2583A | Plaster casts illustrating deformities of |
| F.R.C.S., London. | | the alveolar processes and dental arches |
| | | due to thumb-sucking, dummy-teats, |
| | | and tongue-sucking. |
| „ | 2583B | Apparatus for the prevention of mouth |
| | | breathing. |

SECTION XVIII. Hygiene and Preventive Medicine.

THE EFFECTS OF DUST IN PRODUCING DISEASES OF THE LUNGS.

(This Exhibit has been arranged by Dr. E. Collis of the Home Office, London.)

Manufacture of Plaster of Paris:

Lent by:

- | | |
|-----------------------|-----------------------------|
| Prof. F. Heim, Paris. | 2584 Processes illustrated. |
| „ | 2585 Materials used. |

Cement manufacture:

- | | |
|-----------------|---|
| Dr. Collis | 2586 Some processes illustrated, etc. |
| Dr. F. Koelsch. | 2587 Illustration of perforation of nasal septum. |
| Dr. Collis | 2588 Analysis of cement. |
| „ | 2589 Samples of cement. |

Coal Mining:

- | | |
|---------------------------|---|
| „ | 2590 Illustrations of processes, etc. |
| Middlesex Hospital. | 2591 Coal miner's lung. |
| University of Sheffield. | 2592 Coal miner's lung. |
| „ | 2593 Coal miner's lung. |
| Guy's Hospital. | 2594 Coal miner's lung. |
| Dr. Collis | 2595 Specimens of coal. |
| The University of Oxford. | 2596 Lung of a miner in the South African gold mines. |

Slate working:

- | | |
|------------|----------------------------------|
| Dr. Collis | 2597 Processes illustrated, etc. |
| „ | 2598 Specimens of slate dust. |

Manufacture of slag wool:

- | | |
|---|------------------------------------|
| „ | 2599 Manufacture illustrated, etc. |
| „ | 2600 Specimen of material. |

Stripping cotton carding machines:

- | | |
|---------------------|-------------------------------------|
| Mr. J. H. Crabtree. | 2601 Illustration of process. |
| „ | 2602 Curve of chest expansion, etc. |
| „ | 2603 Sample of dust. |
| Dr. Rayner. | 2604 Radiographs of chest. |

*Granite cutting, Aberdeen :**Lent by :*

Dr. Collis	2605 Processes illustrated.
„	2606 Diagrams of physical measurements, etc.
„	2607 Specimens of granite.

Manufacture of pottery :

„	2608 Processes illustrated.
Mr. G. Elmhurst Duckering.	2609 Dust determinations.
Middlesex Hospital.	2610 Lung.
„	2611 Lung.
Guy's Hospital.	2612 Lung.
Dr. Shufflebotham.	2613 Photomicrographs.
Dr. Collis	2614 Materials used.

Grinding of metals :

Dr. Collis	2615 Processes illustrated.
„	2616 Processes illustrated.
„	2617 Diagrams of physical measurements, etc.
Prof. Dean, Sheffield.	2618 Lungs.
„	2619 Lungs.
„	2620 Lungs.
St. Thomas' Hospital.	2621 Lung (crocus polisher).
Dr. R. Hallam.	2622 Radiographs of chest.
Dr. Collis	2623 Samples of dust.

Metalliferous Mining :

„	2624 Welsh gold mines illustrated.
„	2625 Cornish tin mines illustrated.
Sir R. Douglas Powell.	2626 Radiograph of South African gold miner's chest.
„	2627 Specimens of materials worked.
Guy's Hospital.	2628 Lung of Cornish tin miner.

Ganister Mining :

Dr. Collis	2629 Prevalence of phthisis.
„	2630 Lung illustrated.
St. Bartholomew's Hospital.	2631 Lung.
„	2632 Lung.

Lent by:

- University of Sheffield. 2633 Lung.
 „ 2634 Lung.
 Dr. Collis 2635 Specimens of ganister.

Building and use of millstones:

- „ 2636 Processes illustrated, etc.
 St. Thomas' Hospital. 2637 Lung of millstone worker showing pneumoliths.
 Middlesex Hospital. 2638 Lung of millstone worker.
 „ 2639 Lung of millstone worker.
 Dr. Collis 2640 Specimen of French buhr stone.

Flint knapping:

- „ 2641 Processes illustrated, etc.
 „ 2642 Articles made.

Stone dressing:

- „ 2643 Processes illustrated, etc.
 „ 2644 Processes illustrated, etc.
 St. Thomas' Hospital. 2645 Lung of sandstone mason.
 „ 2646 Lung of sandstone mason.
 University of Sheffield. 2647 Lung of sandstone mason.
 Dr. Collis 2648 Radiograph of sandstone mason.
 „ 2649 Radiograph of limestone mason.
 „ 2650 Specimens of stone used.

Experimental results:

- Professor Beattie, Sheffield. 2651 Slides of the lungs of guinea pigs, exposed to various forms of dust.
 Dr. E. Francke, Frankfurt a/M. 2652 Section of an iron and calcium lung (siderosis and chalicosis).
 Prof. G. Sims Woodhead, M.A., M.D., Cambridge. 2653 Series of transparent sections of the lung, illustrating the various types of tuberculosis, including silicosis.
 „ 2654 Section of the lung of a child suffering from acute pneumonic tuberculosis.
 „ 2655 Chronic caseo-fibroid tuberculosis of the adult lung.
 „ 2656 Adult lung affected with chronic tuberculosis at the apex and upper lobe, with more acute changes nearer the base.

Lent by :

- Prof. G. Sims Woodhead, 2657 Lung of a child suffering from early
M.A., M.D., Cambridge. extensive tuberculosis : catarrhal
pneumonia.
- „ 2658 Lung of a child from a case of abdominal
tuberculosis, showing collapsed and
pneumonic areas.
- „ 2659 Acute miliary tuberculosis.
- „ 2660 Tuberculous glands and well marked
haemorrhage, together with (?) tuber-
culous catarrhal pneumonia.
- „ 2661 Tuberculous catarrhal pneumonia follow-
ing old tuberculous processes.
- „ 2662 Stone-mason's phthisis.
- „ 2663 Chronic phthisis pulmonalis.
- „ 2664 Acute miliary tuberculosis of the lung.

Infantile Mortality and Birth Rate.

- Dr. A. K. Chalmers, 2665 Model showing back lands with back-to-
Glasgow. back houses, Glasgow.
- „ 2666 Model showing an existing overbuilt
area in Glasgow.
- „ 2667 Model showing insufficient air space in
court preventing access of light and
air, Glasgow.
- „ 2668 Model showing congestion of houses and
bad arrangement of lobbies. Light
and ventilation defective.
- Diagrams showing :
- „ 2669 Glasgow, Manchester, Liverpool, infant
mortality, 1855-1905.
- „ 2670 Scotland, England and Wales, infant
mortality, 1850-1905.

Statistics :

- Sir William J. Thomp- 2671 Crude annual birth rates for Ireland,
son, Registrar-General embracing the years 1864 to 1912
of Ireland. inclusive.
- „ 2672 Legitimate fertility : proportion of legiti-
mate births per 1,000 married women
at ages from 15 to 45.
- „ 2673 Average number of children for wives
by ages of marriage and by durations
of married life.

SECTION XIX. —Forensic Medicine.

*Lent by :*St. Mary's Hospital,
London.

"

"

"

"

"

"

Dr. J. Wright Mason,
Hull.Dr. John Teacher,
Glasgow.

2674 Cut throat ; suicidal ; and penknife.

2675 Idem ; homicidal.

2676 Idem ; suicidal in trachea ; knife used.

2677 Carbolic acid poisoning in an infant,
probably infanticidal, but not proved.

2678 Zinc chloride poisoning ; stomach.

2679 Criminal abortion ; lacerated cervix.

2680 Idem ; foetus dug up from garden, and
bougie and stilette used.

2681 Experimental bullet wounds and bullets.

2682 Series of photographs illustrating medico-
legal cases, with lantern slides.2683 Syphilis of the aorta ; aneurysm forma-
tion apparently by repeated lacera-
tions ; ultimate rupture of aorta into
pericardium during effort. Liability
admitted by employers.

SECTION XXI.—Tropical Medicine.

I.—PLAGUE.

Lent by:

- Dr. A. Bacot, London. 2684 Female specimen of *ceratophyllus fasciatus* mounted in balsam, showing development of growth of *bacillus pestis* in pre-ventriculus and oesophagus ("blocked condition")
- " 2685 Sections of fleas (*ceratophyllus fasciatus* and *xenophylla cheopis*) showing same condition.
- " 2686 Stomachs of fleas (*ceratophyllus fasciatus*) showing growth of *bacillus pestis*.
- " 2687 Smears of fleas stomachs, showing *bacillus pestis*.
- Dr. Dujardin Beaumetz, Pasteur Institute, Paris. *Facsimile of surgical instruments and religious objects used in the XVIIIth Century, in the treatment of plague-stricken persons. The originals are in the "Musée du lazaret du Frioul," Marseilles.*
- " 2688 Old lined leather case, containing:—
 Bubo knife with triangular blade with a steel stem and ebony handle.
 Lancet for opening bubos, having a two-edged steel blade, in a tin sheath.
 Small screw for fixing the blade of the above.
 Grooved probe.
 Curved support, which screws on to the above.
 Forceps.
- " 2689 Bubo cautery with bent stem, with a round steel plate, and ebony handle.
- " 2690 Bubo cautery with cured stem, with an olive-shaped steel plate and ebony handle.

Lent by :

- Dr. Dujardin Beaumetz, 2691 Silver stick with silver-gilt nippers, for
 Pasteur Institute, Paris. administering the communion.
- " 2692 Forked silver stick for administering the
 last sacrament.

II.—BERI-BERI.

Lantern slides of Polyneuritis, produced experimentally by defective feeding.

- Dr. H. Schaumann, 2693 Healthy pigeon.
 Hamburg.
- " 2694 Pigeon fed on polished rice. Poly-
 neuritis, 1st stage.
- " 2695 Idem. Polyneuritis, well established.
- " 2696 Idem. Polyneuritis in an advanced
 stage.
- " 2697 Idem. Polyneuritis in the last stage,
 showing paralysis of the legs.
- " 2698 Idem. Polyneuritis in the last stage,
 showing paralysis of the neck.
- " 2699 Pigeons fed on polished rice for 7 weeks,
 to which wheat bran was added. They
 remained quite healthy.
- " 2700 Pigeons fed for 3 months on polished
 rice, to which dried yeast was added.
 They remained quite healthy.
- " 2701 Polyneuritis. Monkey fed for 74 days
 on polished rice, previously extracted
 with water.
- " 2702 Idem.
- " 2703 Goat fed for 3 months on polished rice
 and maize.

Experimental polyneuritis ; prophylaxis and treatment.

- " 2704 Polyneuritis induced in a pigeon by
 polished rice ; before treatment.
- " 2705 Same pigeon treated with 3 grams of
Phaseolus radiatus ; 24 hours later.
- " 2706 Same pigeon treated with a further dose
 of 3 grams of *Phaseolus radiatus* ;
 48 hours later.
- " 2707 Polyneuritis induced in a pigeon by
 polished rice ; before treatment.
- " 2708 Same pigeon, 24 hours later, after treat-
 ment with nucleinic acid.

Lent by :

Dr. Casimir Funk, Ph.D.,
D.Sc., London.

- 2709 Same pigeon, 48 hours later, after second dose. The improvement proved to be transitory.
- 2710 Polyneuritis induced in a pigeon by polished rice; before treatment.
- 2711 Same pigeon, 24 hours later, after one dose of 1 gram of dried yeast.
- 2712 Same pigeon, 48 hours later, after a second dose of 1 gram of dried yeast.
- 2713 Polyneuritis induced in a dog by denaturized meat.
- 2714 Dog fed for 10 weeks on denaturized meat with the addition of dried yeast. The dog remained perfectly well.
- 2715 Polyneuritis induced in a rabbit by feeding on maize. The rabbit rests on his feet instead of on his toes.
- 2716 Dried yeast, the starting material for the isolation of *vitamine*.
- 2717 Second stage. Alcoholic extract of yeast.
- 2718 Third stage. Phospho-tungstic acid precipitate, made from the extract.
- 2719 Crystalline, crude *vitamine*-fraction from yeast.
- 2720 Photographs illustrating the action of the *vitamine*-fraction on beri-beri pigeons.
- 2721 Substance: $C_{24}H_{19}O_9N_5$ isolated from the *vitamine*-fraction.
- 2722 Substance $C_{23}H_{23}O_9N_5$, ditto, ditto.
- 2723 Substance $C_6H_5O_2N$, ditto, ditto.
- 2724 *Nicotinic acid*, ditto, ditto.
- 2725 Sample of polished rice, which, when ingested without other food, produces human and avian beri-beri.
- 2726 Sample of par-boiled rice, the form which should be consumed by natives.
- 2727 Sample of rice in the natural condition (unhusked rice).
- 2728 Table illustrating the difference in structure of the three forms of rice, showing the layer which is polished away in the process of milling.
- 2729 *Vitamine*-fraction from rice.

Lent by :

Dr. Casimir Funk, Ph.D., 2730 Substance: $C_{26}H_{20}O_9N_4$, isolated from the D.Se., London. *Vitamine*-fraction of rice.

" 2731 Photographs showing the localization of *vitamine* in cereals.

" 2732 Photographs showing the chemical changes in the brains of pigeons produced by a diet of polished rice.

III.—LEISHMANIASIS, ETC.

Organs of the so-called " Vomiting Sickness " of Jamaica.

Dr. H. Seidelin, Liver- 2733 Hyperæmia of the cerebral meninges.
pool.

" 2734 Ecchymoses in the visceral pericardium.

" 2735 Ecchymoses on the surface of the liver.

" 2736 Fatty changes of the liver.

" 2737 Acute nephritis (hyperæmia).

" 2738 Acute nephritis (fatty changes).

" 2739 Acute pancreatitis.

" 2740 Hyperæmia of the suprarenal capsules.

" 2741 Acute gastro-duodenitis.

" 2742 Pleural ecchymoses; pulmonary infarcts.

" 2743 Microscopic specimen, illustrating the changes met with in the liver.

" 2744 Idem, in the liver.

" 2745 Idem, in the kidney.

" 2746 Idem, in the kidney.

" 2747 Idem, in the pancreas.

" 2748 Idem, in the pancreas.

" 2749 Idem, in the suprarenal capsule.

" 2750 Idem, in the lung.

" 2751 Idem, in the duodenum.

" 2752 Photograph of Cutaneous Leishmaniasis.

" 2753 Microscopical specimen of *Leishmania Tropica*.

" 2754 Microscopical specimen of *Leishmania Tropica*.

" 2755 Microscopical specimen of *Paraplasma Flavigenum* in the blood of Yellow Fever patients.

" 2756 Microscopical specimen of *Paraplasma Flavigenum* in the blood of Yellow Fever patients.

Lent by :

- Dr. H. Seidelin. Liver- 2757 Microscopical specimen showing cell
pool. inclusions in a case of leg ulcer.

IV.—RELAPSING FEVERS.

- Dr. Edward Hindle, 2758 Eggs, nymphs and adults of *Ornithodoros*
Cambridge. *Moubata*, the intermediate host of
Spirochaeta duttoni (Relapsing Fever of
Tropical Africa).
- „ 2759 Map showing the distribution of the tick
and the disease, and also of the *Orni-*
thodorus Lahorensis, the probable carrier
of Persian Relapsing Fever.
- „ 2760 *Pediculus Capitis*, and *Pediculus Vesti-*
menti, the intermediate hosts of *Spiro-*
chaeta recurrentis (European Relapsing
Fever).
- „ 2761 Map showing the distribution of Relapsing
Fever, probably spread by these para-
sites.
- „ 2762 Eggs, larvæ, nymphs and adults of *Argas*
Persicus, the intermediate host of *Spiro-*
chaeta gallinarum (Fowl Spirochaetosis).
- „ 2763 Map showing the distribution of the tick
and also of the disease.
- „ 2764 Microscopical section of the Malpighian
tubule of *Argas Persicus*, infected with
S. Gallinarum, showing coccoid bodies
(Leishman's granules).
- „ 2765 Microscopical specimen (smear) of the
eggs from an infected *Argas*, showing
the same bodies.
- „ 2766 Microscopical film of Malpighian tubule
of infected *Argas*, incubated for three
days at 37° C, showing elongation of
the coccoid bodies.
- 2767 Microscopical film of blood from an
infected fowl, showing numerous spiro-
chaetes (*S. Gallinarum*).

V.—TRYPANOSOMIASIS.

Books of Drawings illustrating

- Sur.-Gen. Sir David 2768 Trypanosoma causing Disease in Man in
Bruce, C.B., LL.D., F.R.S. Nyasaland.
- „ 2769 Trypanosoma causing Disease in Man,
Nyasaland. From Reedbuck.

Lent by :

- Sur.-Gen. Sir David 2770 *Trypanosoma* causing Disease in Man,
Bruce, C.B., LL.D., F.R.S. Nyasaland. From Wild *Glossina*
morsitans.
- " 2771 *Trypanosoma brucei* (Plimmer and
Bradford). Zululand, 1913.
- " 2772 *Trypanosoma gambiense* (Dutton),
Tanganyika, 1913.
- " 2773 *Trypanosoma pecorum*. Nyasaland.
- " 2774 *Trypanosoma simiae* (sp. nov.) Nyasaland.
- " 2775 *Trypanosoma caprae* (Kleine). Nyasaland.

Drawings illustrating :

- " 2776 *Trypanosoma* causing Disease in Man in
Nyasaland, Africa.
- " 2777 *Trypanosoma brucei* (Plimmer and
Bradford). Zululand, 1913.
- " 2778 *Trypanosoma gambiense* (Dutton).
Tanganyika, 1913.
- " 2779 *Trypanosoma simiae*.
- " 2780 *Trypanosoma pecorum*.
- " 2781 *Trypanosoma capre* Kleine.
- " 2782 *Trypanosoma vivax* Ziemann.
- " 2783 *Trypanosoma uniforme*.

VI.—PAPATACI FEVER (THREE DAY FEVER).

Illustrations of the Phebotomus papataci Scop. (the Papataci fly).

- Prof. Doerr, Vienna 2784 The male fly.
- " 2785 The female fly.
- " 2786 The external genitals of the male.
- " 2787 The external genitals of the female.
- " 2788 The eggs.
- " 2789 The head of the fly.
- " 2790 The larvæ.
- " 2791 The chrysalis.

Illustrations of the symptoms of Papataci Fever.

- " 2792 Typical fever curve.
- " 2793 Ophthalmic re-action.
- " 2794 Altered punctures after bites of a
Papataci fly.
- " 2795 Idem.

Lent by :

- Prof. Doerr, Vienna. 2796 Fever curve of a medical man infected with the blood of a patient.
- „ 2797 Fever curve of a medical man infected by captive Papataci fly.
- „ 2798 Map showing the geographic distribution of Dengue, Papataci Fever and similar three-day fevers.
- „ 2799 Seasonal prevalance of Papataci Fever.
- „ 2800 Table showing the diminution in morbidity after prolonged residence in an infected area.
- „ 2801 *Transparencies* : (a) Female.
- „ 2802 (b) Male.
- „ 2803 (c) Female genitals.
- „ 2804 (d) Male genitals.
- „ 2805 *Transparencies* : (a) Female, mounted in Canada Balsam.
- „ 2806 (b) Male, mounted in Canada Balsam.
- „ 2807 Microscopical specimen of male.
- „ 2808 Microscopical specimen of female.
- „ 2809 Microscopical specimen of head.
- „ 2810 Microscopical specimen of male genitals.
- „ 2811 Portfolio of photographs :
- (a) Female.
 - (b) Male.
 - (c) Abdominal end of the male.
 - (d) Wings.
 - (e) Head of a female.
 - (f) Dissected abdominal end of the male.
 - (g) Teased out eggs.
 - (h) Excessive formation of papules on the forearm of Mr. M. (artificial feeding experiment).
 - (i) Abnormal puncture re-action (vesiculation produced on the forearm of Mr. M. (artificial feeding experiment).

Schistosomiasis.

- Fleet-Surg. P.W. Bassett 2812 Bladder, showing changes in Schistosomiasis (*S. Haematobium*),
Smith, Greenwich.

- Lent by:*
 Fleet-Surg. P. W. Bassett 2813 Urethra from same disease.
 Smith, Greenwich.
- „ 2814 Descending Colon from same disease.
 „ 2815 Microscopical specimen of ova from
 urine.
 „ 2816 Microscopical specimen of embryo from
 urine (stained).
 „ 2817 Microscopical section of intestine, show-
 ing lateral spine ova.
 „ 2818 Mature specimen of *Schistosomum hæma-*
tobia worm.
 „ 2819 Lantern slide of ova (*Schistosomum*
haematobium).
 „ 2820 Mature *Schistosomum Japonicum* worms.
 „ 2821 Microscopical specimen of ovum from
 mucus of stool (case of Yangtze fever).
 „ 2822 Blood film, showing marked eosinophilia
 from same case.
 „ 2823 Microscopical section of liver, with ova.
 „ 2824 Diagram showing relative blood count.
 „ 2825 Intestine of Dog, infected with *Schisto-*
somum of Dog.
 „ 2826 Idem.
 „ 2827 Liver of same condition.
 „ 2828 Spleen of same condition.
 „ 2829 Microscopical section of intestine, show-
 ing ova.
 „ *2830 Small Liver Flukes of China (*Opisthorchis*
Sincensis), in situ in the liver.
 „ 2831 Microscopical specimen of fluke, stained
 „ 2832 Microscopical specimen of ova.
 „ 2833 Lantern slide of *Distoma* worm.
 „ 2834 Lantern slide of *Distoma* ovum.
 „ 2835 Lantern slide of *S. hæmatobia* (terminal
 spine).
 „ 2836 Lantern slide of *S. Mansoni* (lateral
 spine).

Filiariasis.

Specimens showing:

- Dr. Philip H. Bahr, 2837 Filariated lymphatic gland.
 London.
 „ 2838 Calcified filariæ from hydrocele sac.

* The liver flukes are not specimens of Schistosomiasis, though Distomes—
 belong to family *Fasciolidae*.

Lent by:

Dr. Philip H. Bahr,
London.

„

2839 *Stegomyia pseudoscutellaris*; the intermediary host of filaria in Fiji.

2840 *Filaria bancrofti* from Fiji; male and female adult.

Microscopical specimens.

Development of Fijian filaria in inter-hosts.

„

2841 Development of Fijian filaria in *stegomyia pseudoscutellaris*.

„

2842 *Idem*.

„

2843 *Idem*.

„

2844 *Idem*.

„

2845 Development of Fijian filaria in *Culex fatigans*.

Effects of adult filariæ on lymphatic tissue generally.

„

2846 Section showing female *Filaria bancrofti* in inguinal gland.

„

2847 *Idem* in epididymis.

„

2848 *Idem* in tracheal lymphatic vessel.

„

2849 Dead female *Filaria bancrofti* undergoing calcification.

„

2850 Mechanical blockage of lymphatic vessel by calcified *Filaria bancrofti*.

„

2851 Giant cell formation and fibrosis round calcified filaria in gland tissue.

„

2852 Fibrosis and lymph stagnation in affected lymphatic glands.

„

2853 Section of adult filaria in elephantiasis scroti.

„

2854 Eosinophilia in a filariated gland.

„

2855 Sheathed and unsheathed microfilaria in hydrocele fluid.

„

2856 Section of filaria in a filarial abscess.

„

2857 *Idem*, in a lymphatic vessel from a case of acute lymphangitis.

Sprue:

„

2858 Bodies found in spleen, from a case of sprue.

„

2859 Similar bodies found in intestinal mucosa.

„

2860 Pigments found in the spleen,

MALARIA.

Lumière transparencies.

<i>Lent by:</i>	
Prof. H. Ziemann, Charlottenburg.	2861 Malaria Liver (x 150) showing a quantity of brownish pigment between the cells.
"	2862 Idem; lung (x 150). The walls of an alveolus stuffed completely with malaria pigment.
"	2863 Idem; capillaries of the brain; (x 1000) filled with markedly pigmented malaria parasites.
"	2864 Idem; kidney; (x 350) urinary tubules in longitudinal and transverse section; a blood vessel is completely filled with malaria parasites.
"	2865 Idem; Spleen (x 100). Marked aggregation of dark pigment in the pulp, a little in the Malpighian tufts.
"	2866 Blackwater fever; kidney (x 200) showing distinctly dilated urinary tubules filled with débris; may lead to anuria.

Cultures of the malaria parasites.

	Development of the tertian parasites in culture.
"	2867 Young endocorpuscular tertian parasites.
"	2868 Growing tertian parasites, showing pigment.
"	2869 Sporulation of the tertian parasites.
"	2870 Idem, in the 2nd generation.
"	2871 <i>Merozoites</i> (division forms) of the tertiary parasites.
"	2872 Dying-out sporulation form of the tertian parasites.
"	2873 Young female tertian parasites (<i>makrogametocytes</i>) (2nd generation).
"	2874 Melaniferous leucocyst.
	Cultures of the pernicious parasites.
"	2875 Pernicious parasites, 16 hours old.
"	2876 Idem, 30 hours old.
"	2877 Idem, 40 hours old.
"	2878 Idem, 43 hours old.
"	2879 Idem, 48 hours old.

Lent by:

Prof. H. Ziemann,
Charlottenburg.

„

„

2880 Degenerating old forms of pernicious parasites.

2881 Pernicious crescents from a many days old culture.

2882 Sporulation (*merozoites*) from *piroplasma* *cann.*, 24 hours old.

SECTION XXII.—Radiology.

I.—BONES AND JOINTS.

Lantern Slides.

- | | |
|--------------------|---|
| <i>Lent by :</i> | |
| Dr. W. Ironside | Bruce, 2883 Phalangeal "gouty" nodes (Bruce's London. nodes). |
| " | 2884 Rheumatoid arthritis (joints of hand and wrists). |
| " | 2885 Idem (joints of hand and wrist). |
| " | 2886 Idem (knee joint). |
| " | 2887 Arthritis deformans of hip joint. |
| " | 2888 Charcot's joint (hip joint). |
| " | 2889 Idem (knee joint). |
| " | 2890 Loose bodies of the knee joint. |
| " | 2891 Tuberculous disease of the knee joint. |
| " | 2892 Idem of the hip joint. |
| " | 2893 Idem of the hip joint, associated with abscess of the neck of the femur containing sequestrum. |
| " | 2894 Pedunculated exostosis of the femur. |
| " | 2895 Endosteal sarcoma of the humerus. |
| " | 2896 Periosteal sarcoma of the humerus. |
| " | 2897 Secondary deposit of carcinoma in the bones of the hip joint. |
| " | 2898 Syphilitic osteitis of the radius. |
| Prof. Dr. Fedor | Series of lantern slides illustrating the radiography of bones and joints, and its value in Orthopædic Surgery. |
| Haenisch, Hamburg. | |
| " | 2900 Syphilitic disease of the frontal bone mistaken for empyema of the antrum. |
| " | 2901 <i>Scoliosis faciei</i> . |
| " | 2902 Normal mastoid process. |
| " | 2903 Antrum of the Highmore and the ethmoid bone. |
| " | 2904 Dislocation of the mid-tarsus. |
| " | 2905 Dislocation-fracture of the right half of the pelvis |
| " | 2906 Right-sided dislocation of the pelvis at the sacro-iliac synchondrosis. |

Lent by:

- Prof. Dr. Fedor Haenisch, 2907 Fracture of the spine, with dislocation.
Hamburg.
- „ 2908 Calcification of the *tunica media* of the abdominal aorta.
- „ 2909 Carcareous bursitis.
- „ 2910 Exostosis of the humerus bone (due to use of bayonet).
- „ 2911 Interstitial *myositis ossificans* of both legs (unknown origin).
- „ 2912 Gout.
- „ 2913 Mercury in the forearm.
- „ 2914 Cyst of the thigh.
- „ 2915 Complete dislocation of the foot below the astragalus.
- „ 2916 Marked emphysema, following fracture of the rib.
- „ 2917 Sagittal fracture of the os calcis, not visible from the side.
- „ 2918 Dislocation of the knee-cap.
- „ 2919 Dislocation of the sesamoid bone of the thumb.
- „ 2920 Series of transparencies showing detachment of the epiphysis of the humerus in children.
- „ 2930 to 2940 Series of transparencies showing bifid cuneiform bones.
- Dr. Fred. Bailey, Brighton.
- „ 2941 Stereoscopic lantern slide of ankle joint, showing the condition many years after the imperfect reduction and malunion of a fractured fibula.
- „ 2942 Lantern slide of rheumatic arthritis.
- „ 2943 Lantern slide of luxation of the first lumbar vertebra.
- „ 2944 Stereoscopic lantern slide of osteophytic deposits in and around the knee joint.
- „ 2945 Lantern slide of fracture of head of the radius.
- „ 2946 Lantern slide of fracture of the head of the radius.
- Dr. F. Redard, Paris.
- „ 2947 Series of stereoscopic radiograms illustrating various affections of bones and joints.
- „ 2948 Skiagrams illustrating various affections of bones and joints.

Lent by :

- | | |
|------------------------------------|--|
| | Malignant disease of bone. |
| Dr. S. Gilbert Scott,
London. | 2949 Myeloid sarcoma. |
| " | 2950 Idem. |
| " | 2951 Idem. |
| " | 2952 Endosteal sarcoma (fibro-sarcoma). |
| " | 2953 Endosteal sarcoma (round celled). |
| " | 2954 Secondary carcinoma. |
| " | 2955 Periosteal sarcoma, lobulated (spindle-celled). |
| " | 2956 Periosteal sarcoma. |
| " | 2957 Periosteal sarcoma (round-celled). |
| | Simple diseases of bone. |
| " | 2958 Fibro-cystic osteitis (von Recklinghausen's disease). |
| " | 2959 Idem. |
| " | 2960 Idem. |
| " | 2961 Enchondroma. |
| " | 2962 Simple bone cyst. |
| " | 2963 Idem, with spontaneous fracture. |
| " | 2964 Bone cyst of humerus. |
| " | 2965 Diseased portion resected subperiosteally from same case. |
| " | 2966 New bone formation around the rod from the same case. |
| Prof. A. Francis Dixon,
Dublin. | 2967 Radiogram illustrating <i>ossa suprasternalia</i> (taken by Dr. W. G. Harvey). |
| " | 2968 Idem. |
| | Series of radiograms, illustrating : |
| Dr. John B. Murphy,
Chicago. | 2969 Fixation of fracture in the neighbourhood of joints and their complication. |
| " | 2970 Transplants of bone and their progressive regenerations. |
| " | 2971 Formation of new bone to supplant neoplasms. |
| " | 2972 Osteomyelitis, aplasias and ununited fractures. |
| " | 2973 The results of arthroplasties for ankylosis of the jaw, elbow, wrist, hip and knee. |
| " | 2974 Lantern slides illustrating the above. |

II.—CHEST.

Lent by :

- H. Morriston Davies, Esq., 2975 Series of lantern slides of skiagrams illustrating the various pathological conditions of the lungs and other thoracic organs.
M.D., F.R.C.S., London.
- Drs. John Cowan, A. W. 2976 Series of seven lantern slides showing the gradual increase, diminution and ultimate disappearance of air in the pericardium in a case of pneumopericardium, terminating in recovery.
Harrington, and James
R. Riddell, Glasgow.
- „ 2977 Three diagrams, with notes illustrating the physical signs of the same case.
- Prof. Sauerbruch, Zurich. Series of lantern slides illustrating thoraco-plastic.
Series of lantern slides illustrating phrenicotomy.
- „ 2979 Tubercular cavity of the left lung.
- „ 2980 The same case after thoraco-plastic.
- „ 2981 Tubercular cavity of the left lung.
- „ 2982 The same case after thoraco-plastic.
- „ 2983 Tuberculosis of the left lung.
- „ 2984 The same case after plastic operation on the upper lobe, and setting out of action of the lower lobe, by artificial paralysis of the diaphragm (phrenicotomy).
- „ 2985 Mild tuberculosis of the lower lobe of the left lung.
- „ 2986 The same case after division of the phrenic.
- „ 2987 Extensive tuberculosis of the left lung.
- „ 2988 The same case after division of the phrenic.
- „ 2989 Tuberculosis of the upper lobe of the left lung.
- „ 2990 Left sided phrenicotomy, setting the lower lobe out of action, preliminary to a plastic operation on the upper lobe.
- „ 2991 Tubercular cavity of the left lung; the cavity was not influenced by the artificial pneumothorax, on account of the pleural adhesions.

Lent by :

Prof. Sauerbruch,
Zurich.

2992 Tubercular cavity of the right lung; the cavity remained uninfluenced by the pneumothorax.

„ 2993 Compression of the cavity of the same case with paraffin.

„ 2994 Tubercular cavity of the upper lobe of the left lung; the cavity could not be completely collapsed by the thoraco-plastic operation.

„ 2995 Same case; compression of the cavity with paraffin.

„ 2996 Tubercular cavity in the upper lobe of left lung.

„ 2997 Setting out of action of the lower lobe by partial thoraco-plastic (same case).

„ 2998 Compression of the cavity with paraffin (same case).

Series of lantern slides illustrating cavities remaining after empyæma.

„ 2999 Cavity of an old empyema reduced to a minimal size by thoraco-plastic. A rubber catheter filled with bismuth emulsion lies in the cavity.

Series of lantern slides of carcinoma of the œsophagus.

3000 Cardiospasm.

„ 3001 Carcinoma of the cardiac end of the stomach.

Series of lantern slides of aortic aneurysms.

„ 3002 Aneurysm of the aorta.

3003 Sacculated aneurysm of the aortic arch (traumatic).

Series of lantern slides of substernal goitres.

„ 3004 Large sub-sternal goitre.

„ 3005 The same case after thyroidectomy.

„ 3006 Large sub-sternal goitre.

„ 3007 The X-ray appearances.

„ 3008 X-ray appearances after the operation.

Prof. Dr. Haenisch,
Hamburg.

3009 Tuberculosis of the left lung with cavity formation.

„ 3010 Same case after the production of pneumothorax (adhesions of the upper lobe).

- Lent by*
 Prof. Dr. Haenisch,
 Hamburg.
- 3011 Pneumothorax of the right side; hyperdistension.
- 3012 Tuberculosis of the left lung with 2 large cavities.
- 3013 Same case after production of the pneumothorax (band-like adhesions of the pleura).
- 3014 Same case after breaking down the adhesions.
- 3015 Tumour of the lungs.
- 3016 Idem.
- 3017 Carcinoma metastases in both lungs and pneumothorax on the right side after operation; recurrent carcinoma of both breasts.
- 3018 Large mediastinal sarcoma.
- 3019 Same case after treatment with X-rays.
- 3020 Same case later.
- 3021 Enlarged bronchial lymphatic gland (child).
- 3022 Same child one year later (treatment at the seaside).
- 3023 Persistent *ductus arteriosus botalli*.
- 3024 Eventration of the diaphragm (left side).
- 3025 Diaphragmatic hernia.
- 3026 Persistent thymus gland; miliary tuberculosis.
- 3027 Aneurysm of the ascending aorta.
- 3028 Aneurysm of the descending aorta.
- 3029 Zenker's œsophageal diverticulum.
- 3030 Carcinoma of the œsophagus.
- 3031 Idem.
- Dr. Küpferle, Freiburg. 3032 Series of microscopical preparations, showing the changes induced by X-rays on artificially produced tuberculosis of the lungs in rabbits.

III.—STOMACH.

Hour-Glass contraction of the Stomach.

- Dr. C. Thurston Holland, 3033 Hour-glass stomach and adhesion.
 Liverpool.
- 3034 Hour-glass stomach.

Lent by :

- Dr. C. Thurston Holland, 3035 Idem. Upper compartment emptied into
Liverpool. lower in one hour.
- 3036 Idem. Immediately after meal.
- 3037 Idem. $2\frac{3}{4}$ hours after meal.
- 3038 Idem. Traumatic.
- 3039 Idem. Immediately after a meal.
- 3040 Idem. 40 minutes later.
- 3041 Idem. $1\frac{1}{2}$ hours after meal, no food in
lower segment.
- 3042 Idem. Immediately after a meal.
- 3043 Idem. $\frac{1}{2}$ hour after a meal.
- 3044 Idem. 3 hours after a meal.
- 3045 Idem. Immediately after a meal.
- 3046 Idem. $4\frac{1}{2}$ hours after a meal, food in
ulcer and in lower segment.
- 3047 Idem. Immediately after a meal.
- 3048 Idem. 2 hours after a meal.
- 3049 Idem. Immediately after a meal.
- 3050 Idem. 3 hours after a meal.
- 3051 An early case of hour-glass stomach.
- 3052 Hour-glass stomach masked by dilated
large bowel.
- 3053 Idem. After large bowel has been
emptied.
- 3054 Idem. $1\frac{1}{4}$ hours after a meal.
- 3055 Idem. Hour-glass stomach.
- 3056 Idem. 10 minutes after a meal.
- 3057 Idem. Immediately after a meal.
- 3058 Idem. 1 hour after a meal.
- 3059 Idem.
- 3060 Idem. Immediately after a meal.
- 3061 Idem. $\frac{1}{2}$ hour after a meal.
- 3062 Idem. 2 hours after a meal.
- 3063 Idem. After gastro-gastrostomy and
posterior gastro-enterostomy into the
lower segment.
- 3064 Idem. 6 hours after a meal.
- 3065 Idem. After gastro-gastrostomy.
- 3066 Idem. Immediately after a meal.
- 3067 Idem. 15 minutes after a meal.
- 3068 Idem. 1 hour after a meal,

Lent by :

- Dr. C. Thurston Holland, 3069 Idem. 3 hours after a meal.
 Liverpool.
- 3070 Spasmodic hour-glass stomach.
- 3071 Idem. After another meal, showing no
 hour-glass contraction.
- Dr. A. Howard Pirie, 3072 Skiagram of penetrating gastric ulcer.
 Montreal.
- 3073 Idem, showing hour-glass stomach. The
 ulcer is filled with barium sulphate.
- 3074 Idem, four hours later a barium meal.
- 3075 Penetrating gastric ulcer, with hour-
 glass stomach; the ulcer is filled with
 bismuth.
- 3076 Idem, the lower sac is full of bismuth,
 24 hours after the meal.
- 3077 Gastric ulcer.
- Prof. Dr. Fedor 3078 Perforating ulcer of the stomach with
 Haenisch, Hamburg. hour-glass stomach.
- 3079 Hour-glass stomach after barium meal.
- 3080 The same stomach after introduction of
 the barium suspension.
- 3081 The same case later, showing the filling
 of the lower sac.
- 3082 The same case later; one sac obscures
 the other.

Tumours of the stomach and pancreas.

- Dr. A. Howard Pirie, 3083 Pyloric stenosis in case of carcinoma of
 Montreal. the pancreas; 24 hours after barium
 meal.
- 3084 Pyloric carcinoma.
- 3085 Normal stomach indented by pancreatic
 cyst.
- Prof. Dr. Fedor 3086 Carcinoma in the mesial portion of the
 Haenisch, Hamburg. stomach.
- 3087 Carcinoma in the anterior wall of the
 stomach.
- 3088 Spoon in the stomach.
- Dr. C. Thurstan Holland, 3089 Malignant disease of the stomach.
 Liverpool.
- 3090 Idem.
- 3091 Idem.
- 3092 Idem.
- 3093 Idem.

Lent by :

- Dr. C. Thurston Holland, 3094 Malignant disease of the stomach.
Liverpool.
- „ 3095 Idem.
- „ 3096 Idem.
- „ 3097 Extreme case of dilated stomach.
- „ 3098 Idem.
- „ 3099 Stomach, containing three hair balls, after
administration of bismuth emulsion.
- „ 3100 Cardiospasm.
- Dr. A. E. Barclay. 3101 Series of lantern slides illustrating the
various points in the bismuth diagnosis
of affections of the stomach and
intestines.

IV.—INTESTINES.

- Dr. C. Thurston Holland, 3102 Example of proptosis of the transverse
Liverpool. colon.
- „ 3103 Idem.
- „ 3104 Idem.
- „ 3105 Idem.
- „ 3106 Ileal kink ; 13 hours after the meal.
- „ 3107 Stricture of the last 3 inches of the
transverse colon.
- „ 3108 Dilated cæcum ; ascending colon and
small bowel ; stricture in ascending
colon.
- „ 3109 Appendix coiled round ileum.
- „ 3110 To show appendix.
- Prof. Dr. Fedor 3111 Aneurysm of the abdominal aorta after
Haenisch, Hamburg. distension of the stomach with gas.
- „ 3112 Normal intestine after rectal injection.
- „ 3113 Displaced cæcum ; appendix distended.
- „ 3114 Carcinoma of the pelvic flexure.
- „ 3115 Idem.
- „ 3116 Idem.
- „ 3117 Carcinoma of the ileocaecal region.
- „ 3118 Stenosis of the intestine above the
ampulla (syphilitic).
- „ 3119 Small diverticulum of the descending
colon.
- „ 3120 Duodenal ulcer with stenosis.
- „ 3121 Perforating duodenal ulcer with stenosis.
- „ 3122 Stenosis of the duodenum.

Lent by :

- Prof. Dr. Fedor 3123 Hirschsprung's Disease (extreme dilata-
Haenisch, Hamburg. tion of the whole colon).
" 3124 Explanatory sketch.

Appendicitis.

- Dr. A. Howard Pirie, 3125 Colon and appendix filled with barium
Montreal. sulphate 12 hours after barium meal.
" 3126 Idem. Cæcum empty, appendix re-
maining filled 48 hours after the meal.
" 3127 Appendix full 5 days after the meal.
" 3128 Idem. 22 days after the meal.
" 3129 Idem. 43 days after the meal.
Dr. J. T. Case, Michigan. 3130 Series of radiograms illustrating colon
peristalsis and antiperistalsis, with
special reference to the function of the
ileo-colic valve.

V.—LIVER, GALLSTONES, ETC.

- Dr. C. Thurston Holland, 3131 Cardiospasm.
Liverpool.
" 3132 Gallstones.
" 3133 Idem.
" 3134 Suppurating hydated cysts of the liver.
Prof. Dr. Fedor 3135 Gall stone.
Haenisch, Hamburg.
" 3136 Calcareous glands.
" 3137 Hepatoptosis ; Cæcum and ascending
colon lying above the right lobe of the
liver in the standing position.
" 3138 The same case, in the lying position.

VI.—URINARY ORGANS.

Lantern Slides.

- Dr. W. Ironside Bruce, 3139 Illustrating the relationship of the
London. kidney and the upper part of the
ureter to the bones.
" 3140 Illustrating the relationship of the
lower part of the ureters to the bones
of the pelvis.
" 3141 Oxalate calculus in the kidney.
" 3142 Three renal concretions.
" 3143 Ureteric calculus with X-ray opaque
ureteric bougie in situ.

Lent by :

- Dr. W. Ironside Bruce, 3144 Ureteric calculus with X-ray opaque
London. ureteric bougie in situ.
" 3145 Appendicular concretion.
" 3146 Vesical calculus.
" 3147 Prostatic calculus.

Transparencies.

- Prof. H. Kümmell, 3148 Collargol radiogram of the bladder;
(Geheimrat) Hamburg. hypertrophy of the bladder, sacculated
bladder.
" 3149 Injection preparation; contracted kidney.
" 3150 Collargol radiogram of the bladder
Diverticula of the bladder; prostatic
calculi.
" 3151 Collargol radiogram, giving a general
survey of the uro-poetic system.
Normal conditions.
" 3152 Idem. Pyelitis of the right ureter with
dilatation.
" 3153 Idem. Hydronephrosis.
" 3154 Idem. Double renal calculi; dilated
ureter on right side.
Prof. Dr. Fedor 3155 Carcinoma of the bladder.
Haenisch, Hamburg.
" 3156 Large calculus in diverticulum of the
bladder.
" 3157 Idem.
" 3158 Calculi in the pelvis of the kidney and in
the calyx.
" 3159 Stone in the kidney.
" 3160 Stenosis of the ureter (pyelography).
" 3161 Calcification.

Pituitary Body.

- Dr. S. Gilbert Scott. 3162 Normal *Sella Turcica*.
" 3163 Idem.
" 3164 Pituitary tumour, producing ocular
symptoms.
" 3165 Acromegaly; no ocular symptoms.
" 3166 Idem.
" 3167 Idem.
" 3168 Large pituitary tumour.

Lent by :

- | | |
|------------------------------------|--|
| Dr. S. Gilbert Scott. | 3169 Sclerosis of base of skull, causing diminution in size of <i>Sella Turcica</i> , followed by blindness ; cause unknown. |
| " | 3170 Oxycephalic skull. |
| Prof. Dr. Fedor Haenisch, Hamburg. | 3171 Tumour of the pituitary body. |
| Dr. Archibald Reid, London. | 3172 Series of lantern slides of radiograms, illustrating various pathological conditions. |

VII.—TECHNIQUE.

- | | |
|----------------------------|---|
| Dr. G. Holzknecht, Vienna. | 3173 Apparatus for simple and exact dosage of X-rays. |
|----------------------------|---|

VIII.—TREATMENT BY RADIUM, X-RAYS, ETC.

Coloured Transparencies.

- | | |
|----------------------------------|--|
| Dr. F. J. Clendinnen, Melbourne. | 3174 Epithelioma of the lip, before treatment. |
| " | 3175 Idem. During treatment with radium. |
| " | 3176 Idem. After treatment with radium. |
| " | 3177 Lymphadenoma of neck, before treatment. |
| " | 3178 Idem. After treatment with X-rays. |
| " | 3179 Granuloma of face. Before treatment. |
| " | 3180 Idem. After treatment with radium. |
| " | 3181 Lupus erythematosus treated with X-rays, six years previously becoming malignant. |
| " | 3182 Idem. After treatment with radium. |
| " | 3183 Epithelioma of lobe of ear, before treatment. |
| " | 3184 Idem. During treatment with radium. |
| " | 3185 Idem. After treatment with radium. |
| " | 3186 <i>Tinea Sycosis</i> side of face, before treatment. |
| " | 3187 Idem. After treatment with X-rays and ultra violet rays. |
| " | 3188 Epithelioma of lip, before treatment. |
| " | 3189 Idem. During treatment with radium. |
| " | 3190 Idem. After treatment with radium. |
| " | 3191 Alopecia areata, before treatment. |

<i>Lent by:</i>	
Dr. F. J. Clendinnen, Melbourne.	3192 Alopecia areata. After treatment with ultra violet rays.
"	3193 Pannus (total blindness), before treat- ment.
"	3194 Idem. After treatment with radium, sight restored.
"	3195 Rodent ulcer of the nose, before treat- ment.
"	3196 Idem. After treatment with radium.
"	3197 Tubercular adenitis, before treatment.
"	3198 Idem. After treatment with X-rays.
"	3199 Rodent ulcer lower eye lid, before treat- ment.
"	3200 Idem. After treatment with radium.
"	3201 Senile keratosis (epitheliomatous— <i>Epithelioma Radiens</i>), before treatment.
"	3202 Idem. After treatment with radium.
"	3203 Senile keratosis, before treatment.
"	3204 Idem. After treatment with radium.
"	3205 Epithelioma of the face, before treatment.
"	3206 Idem. During treatment with radium.
"	3207 Idem. During treatment with radium.
"	3208 Idem. After treatment with radium.
"	3209 Recurrent epithelioma (after operation), before treatment.
"	3210 Idem. After treatment with radium.
"	3211 Rodent ulcer angle of mouth, side of lip, before treatment.
"	3212 Idem. After treatment with radium.
"	3213 Sebaceous adenoma side of nose, before treatment.
"	3214 Idem. After treatment with radium.
"	3215 Lupus, before treatment.
"	3216 Idem. After treatment with X-rays and ultra violet rays.
"	3217 Epithelioma of lip, before treatment.
"	3218 Idem. After treatment with radium.
"	3219 Rodent ulcer external canthus eye, before treatment.
"	3220 Idem. After treatment with radium.
"	3221 Sebaceous adenoma (epitheliomatous) before treatment.

Lent by :

Dr. F. J. Clendinnen, Melbourne	3222 Sebaceous adenoma (epitheliomatous) after treatment with radium.
"	3223 Lupus vulgaris, before treatment.
"	3224 Idem. During treatment with X-rays.
"	3225 Idem. During treatment with X-rays.
"	3226 Idem. After treatment with X-rays.
"	3227 Epithelioma of face, before treatment.
"	3228 Idem. After treatment with radium.
"	3229 Precancerous condition of lip, before treatment.
"	3230 Idem. After treatment with radium. (6 months after gland removed.)
"	3231 Lupus vulgaris of face, before treatment.
"	3232 Idem. After treatment with X-rays.
"	3233 Idem. Of side of face, before treatment.
"	3234 Idem. After treatment with X-rays.
"	3235 Epithelioma of nose, before treatment.
"	3236 Idem. After treatment with radium.
"	3237 Rodent ulcer of nose, before treatment.
"	3238 Idem. During treatment with radium.
"	3239 Idem. During treatment with radium.
"	3240 Idem. After treatment with radium.
"	3241 Rodent ulcer on side of temple, before treatment.
"	3242 Idem. After treatment with radium.
"	3243 Spring catarrh of upper eyelid, before treatment.

Coloured Stereoscopic Transparencies.

"	3244 Epithelioma of the lip, before treatment.
"	3245 Idem. After treatment with radium.
"	3246 Idem side of the face, before treatment.
"	3247 Idem. After treatment with radium.
"	3248 Idem of lobe of ear, before treatment.
"	3249 Idem. After treatment with radium.
"	3250 Idem of the lip, before treatment.
"	3251 Idem. After treatment with radium.
"	3252 Idem of the nose, before treatment.
"	3253 Idem. After treatment with radium.
"	3254 Rodent ulcer of the nose, before treatment.

Lent by :

Dr. F. J. Glendinnen, Melbourne.	3255	Rodent ulcer of the nose, during treatment with radium.
"	3256	Idem. During treatment with radium.
"	3257	Idem. After treatment with radium.
"	3258	Sebaceous adenoma which became epitheliomatous treated with X Rays.
"	3259	Idem. After treatment with X Rays.
"	3260	Rodent ulcer of side of face, before treatment.
"	3261	Idem. After treatment, with X Rays.
"	3262	Epithelioma of face, before treatment.
"	3263	Idem. After treatment with radium.
"	3264	Epithelioma of the tongue, before treatment.
"	3265	Idem. During treatment with radium.
"	3266	Idem side of face, before treatment.
"	3267	Idem. During treatment with radium.
"	3268	Idem. During treatment with radium.
"	3269	Idem. During treatment with radium.
"	3270	Idem. During treatment with radium.

Series of casts showing :

Mr. Robert Abbe, New York.	3271	Sarcoma of the eyelid, treated by radium.
"	3272	Parotid sarcoma.
"	3273	Mammary cancer.
"	3274	Idem.
"	3275	Tongue leucoplakia.
"	3276	Tongue papillomata.
"	3277	Epithelial cancer of the face.
"	3278	Idem.
"	3279	Idem.
"	3280	Idem.
"	3281	Idem.
"	3282	Idem.
"	3283	Sarcoma of the scalp.
"	3284	Model of myeloid tumour of the jaw, treated by radium nine years ago.
"	3285	Box of devices for the application of radium.
"	3286	Idem.

Lent by:

Series of photographs illustrating:

Mr. Robert Abbe, New York.	3287	X-ray epithelioma of the hand, treated by radium.
„	3288	Cancer of the neck.
„	3289	Uterine fibroids.
„	3290	Papilloma of the larynx.
„	3291	Epithelioma of the eyelid in a hæmophilic.
„	3292	Idem.
„	3293	Goître.
„	3294	Penetrating power of radium.
„	3295	Idem.
„	3296	Myeloid sarcoma of the humerus.
„	3297	Explosion of radium tube.

SPECIAL DEPARTMENT ON MUSEUM TECHNIQUE.

I.—PREPARATION AND PRESERVATION OF MATERIAL.

Cross sections.

Lent by :

- | | | |
|---|------|--|
| Mr. Lionel Judah,
Montreal. | 3298 | Head mounted in Kaiserling fluid, showing central ganglia and ventricles of brain. |
| ” | 3299 | Idem, showing lateral ventricle of brain. |
| Mr. Charles F. Silvester,
Princeton. | 3300 | Injection of blood and lymph vessels of young trout embryos from the time of first appearance to the time of hatching. |

A rapid method of macerating bones.

- | | | |
|------------------------------|------|---|
| Mr. F. A. Izzard, Cambridge. | 3301 | Sarcoma of femur. |
| ” | 3302 | Necrosis of tibia and fibula. |
| ” | 3303 | Idem. |
| ” | 3304 | Tuberculous caries of elbow joint. |
| ” | 3305 | Idem. |
| ” | 3306 | Idem of knee joint. |
| ” | 3307 | Idem of ankle joint. |
| ” | 3308 | Section of tibia (<i>osteitis deformans</i>). |
| ” | 3309 | Calvarium. |
| ” | 3310 | Fracture of tibia and fibula. |
| ” | 3311 | Section of spine, showing tuberculous caries. |
| ” | 3312 | Section of spine, showing curvature. |
| ” | 3313 | Foetal pelvis, macerated for 3 days and then washed in warm water and placed in spirit. |
| ” | 3314 | Normal foot. |
| ” | 3315 | Foot, macerated for 3 weeks. |
| ” | 3316 | Fracture of humerus (macerated for 3 weeks). |
| ” | 3317 | Foetal skull (macerated for 10 days). |
| ” | 3318 | Healed fracture of femur (macerated for 3 weeks). |

Lent by :

- | | | |
|------------------------------|------|--|
| Mr. F. A. Izzard, Cambridge. | 3319 | Impacted fracture of femur (macerated for 3 weeks). |
| „ | 3320 | Astragalus, showing honeycombed articular surface from tuberculous caries. |
| Prof. J. M. Flint. | 3321 | Specimens showing preservation of natural colours by Pick-Kaiserling method, with the use of Russian mineral oil as last preservative. |
| Prof. Henry Albert, Iowa. | | <i>Method of preserving the natural colour of organs by means of Kaiserling-alcohol-glycerine-Russian mineral oil.</i> |
| „ | 3323 | Multiple embolic abscesses in muscles of the rabbit. |
| „ | 3324 | <i>Actinomyces</i> of the jaw of the steer. |
| Mr. R. L. Frost, Sheffield. | | <i>An inexpensive method of mounting museum specimens.</i> (The composition of the fixing solutions and of the preservative sugar solution are attached to the exhibit.) |
| „ | 3326 | Aneurysm of the descending aorta. |
| „ | 3327 | Kidney showing chronic venous congestion. |
| „ | 3328 | Tuberculous spleen of a child. |
| „ | 3329 | Gall bladder with impacted calculus. |
| „ | 3330 | Section through the root of the lung, showing caseous tuberculous nodules. |
| „ | 3331 | Section of lung, showing chronic tuberculous cavities in the upper part and rapid spread in the lower lobe. |
| „ | 3332 | Epitheliomatous ulcer of the neck. |
| „ | 3333 | Section of the kidney with wedged shaped scar at the upper pole, replacing an old infarct. |
| „ | 3334 | Tumour of the kidney. |
| „ | 3335 | Secondary sarcomatous deposits in the lung. |
| „ | 3336 | Carcinoma of the colon. |
| „ | 3337 | Heart with vegetations on the mitral valve. |
| „ | 3338 | Intussusception of the small intestine. |
| „ | 3339 | Carcinoma of the liver. |
| „ | 3340 | Ovary with multiple lutean cysts, showing pus and blood clot well preserved. |
| „ | 3341 | Spinal cord ; neuro-fibromatosis. |

Lent by:

- | | |
|--|--|
| Mr. R. L. Frost,
Sheffield. | 3342 Dermoid of the ovary, with torsion of the pedicle, showing sebaceous material and blood clot. |
| " | 3343 Series of microscopical sections. |
| Prof. H. E. Robertson,
Minneapolis. | 3344 Photograph showing Kaiserling-bath, open. |
| " | 3345 Photograph showing Kaiserling-bath, closed. |
| " | 3346 Photograph showing Kaiserling-bath jar. |
| Prof. A. S. Warthin,
Michigan. | <i>Method of mounting museum specimens in gelatine.</i> |
| " | 3348 Hæmolymp nodes. |
| " | 3349 Museum jar for hermetically sealing specimens which must be moved about. |
| " | 3350 Series of photographs showing hæmolymp nodes. |
| Dr. J. Kaufmann,
Montreal. | <i>Method of mounting museum specimens in neutral tinted gelatine.</i> |

Preparation of neutral-tinted glycerine jelly.

- | | |
|--------------------------------|---|
| " | 3352 Raw "gold label" gelatine. |
| " | 3353 2nd step; mixture of equal quantities of saturated gelatine and glycerine. |
| " | 3354 3rd step; heating of mixture, with the addition of white of egg, prior to filtering. |
| " | 3355 The filtered glycerine-jelly, before decolorisation. |
| " | 3356 Glycerine-jelly, slightly over-decolorised, to allow for fading. A few crystals of carbolic acid have been added. |
| " | 3357 A sample of glycerine-jelly prepared and decolorised four years ago (40% formaline used as the preservative). |
| " | 3358 Petri-dish containing a specimen of hyper-nephroma of the kidney, mounted in glycerine-jelly four years ago. |
| " | 3359 Petri-dish containing a section of liver showing metastatic carcinoma, mounted in glycerine-jelly three years ago. |
| Prof. J. H. Hewitt,
Dallas. | 3360 Apparatus for mounting sections of organs and tissues in Kaiserling-gelatine. |

Lent by:

Prof. J. H. Hewitt,
Dallas.

- (a) Embedding pan, in which the thin specimen on a glass plate is embedded before the second glass plate is applied, in order to avoid the collection of air bubbles.
- (b) Glass plate with frame for embedding the specimen.
- (c) Embedding pan, showing the stage before the removal of the mount.
- (d) A mount immediately after removal from the embedding pan.
- (e) A mount with all the gelatine removed from the edges.
- (f) A mount partially sealed with paraffin.
- (g) A mount completely sealed with adhesive border partially applied.
- (h) A mount with adhesive border partially varnished.
- (i) A completed mount.
- (k) A metal frame for holding the mounted specimens.
- (l) Series of specimens mounted in Kaiserling-gelatine between plates of glass.

Mr. Charles F. Silvester,
Princeton.

Effective methods of preparing and mounting Museum specimens.

„

3361 Specimens illustrating types of preparations.

Dr. A. A. Bruère,
Montreal.

Method of exhibiting single bacterial colonies in sealed Petri dishes as Museum preparations.

„

3362 *Microsporon Audouini* (*T. tonsurans* of the scalp).

„

3363 *Trocophyton* (*T. circinata*, large spored, of the beard).

„

3364 *Achorion Schönleini* (*favus*).

Dr. E. L. Judah,
Montreal.

Museum jars graded to hold anatomical organs of varying sizes:

„

3365 Jars used for mounting hearts.

„

3366 Jars for mounting arteries and intestines.

„

3367 Jars for mounting stomachs.

„

3368 Jars for mounting kidneys.

„

3369 Placenta jar.

Lent by :

- | | | | |
|------------------------------|----------|------|--|
| Dr. E. L. | Judah, | 3370 | Jars for mounting eyes. |
| Montreal. | | | |
| " | | 3371 | General "utility" jars for irregular shaped specimens. |
| " | | 3372 | Kidney mounted on a glass frame in a square glass jar. |
| " | | 3373 | Petri dish containing a blood cast removed from the pulmonary vein, fixed and mounted in Kaiserling fluid. |
| " | | 3374 | Watch-glass containing a large nasal polypus and mounted in 2 per cent. formaline. |
| Prof. Dr. Werner Spalteholz, | Leipzig. | 3375 | Cement for sealing Museum jars.
<i>Method of rendering organs and tissues transparent, and of illustrating the vascular supply of bones, etc.</i> |
| " | | 3376 | Sole; bones stained with <i>alizarin</i> . |
| " | | 3377 | Frog; " " |
| " | | 3378 | Rat; " " |
| " | | 3379 | Rat; arteries injected with Teichmann's mass, decalcified. |
| " | | 3380 | Head of the femur, human, decalcified. |
| " | | 3381 | Vertebra of a large turtle, decalcified. |
| " | | 3382 | Base of a human skull, decalcified; the labyrinth filled with Wood's metal. |
| " | | 3383 | Bones of the human hand, arteries injected with cinnabar-gelatine, decalcified. |
| " | | 3384 | Skull of a human foetus; the bones stained with <i>alizarin</i> . |
| " | | 3385 | Idem. |
| | | | (All the preceding specimens have been rendered maximally transparent by means of a mixture of oil of winter-green and benzyl-benzoate.) |
| " | | 3386 | Sternum of a human foetus; stained with <i>alizarin</i> and preserved in glycerine. |
| | | 3387 | Bone of a young human being, stained with <i>alizarin</i> and preserved in alcohol, to demonstrate the epiphyseal lines. |
| | | 3388 | Bleaching stage (40 per cent. alcohol) in the process of rendering tissues transparent. |
| | | 3389 | The benzol stage in the process. |

Lent by :

- Prof. Dr. Werner Spalteholz, Leipzig 3390 The mixture of oil of wintergreen and benzyl benzoate in the correct proportions.
- Dr. Braxton Hicks. 3391 An inexpensive and effective way of mounting brain or other sections.
- Dr. J. Kaufmann, Montreal. 3392 A method of hardening the brain and spinal cord in situ before their removal.
- Prof. Dr. Fischer, Frankfurt. 3393 *Leontiasis ossea*.
- „ 3394 Chronic pulmonary tuberculosis with cavities; calcareous glands.
- „ 3395 Idem.
- „ 3396 Diphtheria in a case of chronic pulmonary tuberculosis.
- „ 3397 Old infarct of the lung.
- „ 3398 Vesical calculus in a child (embedded hairpin).
- „ 3399 Bladder and kidney from a similar case (diphtheroid; pseudo-membranous cysto-utero-pyelo-nephritis).
- „ 3400 The pancreas in a case of Addison's disease.
- „ 3401 Echinococcus in a case of severe cirrhosis of the liver.
- „ 3402 Extensive *encephalitis hæmorrhagica* with calcification in an infant.
- „ 3403 Total resection on account of contraction of the stomach (granulation tissue, no carcinoma).
- „ 3404 Multiple abscess of the liver with hæmochromatosis (*bacillus suipestifer*).
- „ 3405 Necrosis of the liver with severe cirrhosis hæmochromatosis (in a case of intestinal catarrh).
- „ 3406 Prostatic abscess with periprostatic phlegmon. Abscess in the vesical mucosa. Gonorrhœa. Sepsis.
- „ 3407 Healed dissecting aneurysm.
- „ 3408 Large hæmatoma of the *dura mater*.
- „ 3409 Large aneurysm of the internal carotid, with destruction of the base of the skull.
- „ 3410 Cavernoma of the *medulla oblongata* with hæmorrhage into the cord.
- „ 3411 Aneurysm of the *arteria fossæ Sylvii*.

Lent by:

Prof. Dr. Fischer.
Frankfurt.

- 3412 Lipoma of the infundibulum.
3413 Large cyst of the pedicle of the pituitary gland with calcification. Squamous epithelial cyst.
3414 Adenoma of the pituitary gland without acromegaly.
3415 Malignant sympathetic blastoma of the supra-renal gland with metastases in the liver.
3416 Malignant blastoma involving the spinal column and the liver.
3417 Primary chorion-epithelioma of the liver.

Autochrome photographs (Lumière).

- 3418 Smallpox.
3419 Purulent meningitis.
3420 Cerebral hæmorrhage in pernicious anæmia.
3421 Gouty arthritis of the knee joint.
3422 Embolus of the iliac and femoral arteries in malignant endocarditis.
3423 Malignant granuloma of the spleen.

Photomicrographs (Lumière).

- 3424 Tubercle showing giant cells.
3425 Teeth found in a small tumour of the ovary.
3426 Heart muscle showing fatty infiltration and calcareous deposits.
3427 Heart muscle with calcareous deposits.
3428 *Periarteritis nodosa*.
3429 Idem.
3430 Idem.
3431 "Anilin" carcinoma of the urinary bladder.
3432 Idem.
3433 Adamantinoma of the tibia.
3434 Malignant sympathetic neuro-blastoma of the left suprarenal gland in an infant.
3435 Malignant sympathetic blastoma with metastases in the liver.

Lent by :

- | | |
|----------------------------------|---|
| Prof. Dr. Fischer,
Frankfurt. | 3436 Adenoma of the pituitary gland without acromegaly. |
| „ | 3437 Thyroid gland in a case of tumour of the pituitary gland. |
| „ | 3438 Atrophy of the testis in a case of tumour of the pituitary gland. |
| Prof. Greeff, Berlin. | <i>A new method of preserving sections of eyes for Museum purposes.</i> |
| „ | 3439 <i>Tapetum choroideale</i> (horse). |
| „ | 3439A <i>Idem</i> (ox). |
| „ | 3439B <i>Idem</i> (sheep). |
| „ | 3439C <i>Idem</i> (calf). |
| „ | 3440 <i>Fundus oculi</i> of the pig |
| „ | 3441 <i>Idem</i> . |
| „ | 3442 <i>Fundus oculi</i> of man. |
| „ | 3443 Mussel in the eye of a crane. |
| „ | 3444 <i>Fundus oculi</i> of a dolphin. |
| „ | 3445 <i>Retinitis hæmorrhagica</i> . |
| „ | 3446 <i>Idem</i> . |
| „ | 3447 <i>Hæmophthalmos</i> . |
| „ | 3448 Sarcoma of the choroid with hæmorrhages. |
| „ | 3449 Miliary tubercles in the choroid. |
| Prof. Hauser, Erlangen. | <i>Preservation of frozen sections through the thorax by means of Kaiserling's method.</i> |
| „ | 3450 Frontal frozen section; tuberculous sero-fibrinous pleurisy, with compression of the lungs in caries of the spine. |
| „ | 3451 Frontal section; chronic pulmonary tuberculosis with complete destruction of the right upper lobe; recent tuberculous broncho-pneumonia. |
| „ | 3452 <i>Cor bovinum</i> in a case of arterio-sclerotic contracted kidney. |
| „ | 3453 <i>Idem</i> . (Horizontal section through the thorax.) |
| „ | 3454 Frontal section; caseous broncho-pneumonia with cavity formation; separation of a caseous apex and exposure of the vessels. |
| „ | 3455 Frontal section; chronic pulmonary tuberculosis with cavities on both sides. The contents of the cavities are fixed <i>in situ</i> . |

Lent by:

- Prof. Hauser, Erlangen. 3456 Frontal section; sero-fibrinous pleurisy with compression of the lung and displacement of the heart.
- " 3457 Frontal section; pneumothorax complicating pulmonary tuberculosis.
- Dr. John Teacher, Glasgow. 3458 Facetted gallstones, secured in position by Richard Muir's gelatine.
- Prof. B. Wahby, Cairo. *Specimens of fusible alloy injected into vessels, etc, to show the branchings.*
In some cases the bones are not dissolved, in order to illustrate the exact relations of the injected structures to the natural parts. In the rest the tissues are completely dissolved, leaving only the metallic injection.
- " 3459 Veins of the supra-renal body.
- " 3460 Series of 11 specimens of the renal vein.
to
3470
- " 3471 Renal vein, showing the stellate veins of the capsule.
- " 3472 Series of three specimens of the renal vein and suprarenal vein injected together.
- " 3473 Renal vein with the renal pelvis injected with wax or plaster.
- " 3474 Renal vein and renal pelvis injected (pyonephrotic kidney).
- " 3475 Renal artery injected with metal, and vein with celluloid.
- " 3476 Two specimens of renal artery injected rod, with the renal vein in metal.
- " 3477 Renal artery injected with metal.
- " 3477A Idem.
- " 3477B Idem.
- " 3478 Series of 14 specimens in which the
to renal artery has been injected with
3491 metal and the pelvis with wax or plaster, one of which was a case of pyonephrosis and one having a double ureter.
- " 3492 Veins of a horse-shoe kidney (metal).
- " 3493 Renal artery; primary divisions differently coloured (metal).
- " 3494 Anterior division of the renal artery (metal).

Lent by :

- Prof. B. Wahby, Cairo. 3495 Renal artery of the camel in metal, vein in blue wax and pelvis in brown wax.
- „ 3496 Camel's kidney; renal vein and pelvis (metal).
- „ 3497 Idem. Renal vein in metal.
- „ 3498 Idem. Renal vein in metal.
- „ 3499 Idem. Renal artery in metal.
- „ 3500 Idem. Renal artery in metal.
- „ 3501 Idem. Renal artery in metal, pelvis in plaster.
- „ 3502 Horse's kidney; renal artery in metal.
- „ 3503 Idem. Renal artery in metal.
- „ 3504 Idem. Renal vein in metal.
- „ 3505 Idem. Renal vein in metal.
- „ 3506 Idem. Renal vein in metal; artery in plaster.
- „ 3507 Idem. Renal vein in plaster; pelvis in wax.
- „ 3508 Ox kidney: artery, red; pelvis, bluewax; vein, metal.
- „ 3509 Idem. Artery and vein in metal.
- „ 3510 Pelvis of camel's kidney injected with metal after formalin injection.
- „ 3511 Idem. Injected fresh under high pressure.
- „ 3512 Portal vein of a new born child in metal.
- „ 3513 Portal vein in metal.
- „ 3514 Idem.
- „ 3515 Idem.
- „ 3516 Idem. (Cancer of the liver.)
- „ 3517 Hepatic veins, inferior vana cava and the right renal vein in metal.
- „ 3518 Portal vein in metal, hepatic artery and the bile duct in coloured wax.
- „ 3519 Bile duct in metal.
- „ 3520 The portal vein of the python in metal.
- „ 3521 Pancreatic ducts in metal.
- „ 3522 Idem.
- „ 3523 Placenta injected through the umbilical vein in metal.
- „ 3524 Idem.

Lent by :

- Prof. B. Wahby, Cairo. 3525 A fragment of the splenic vein injected with metal under high pressure, showing the capsular veins.
- " 3526 Arterial system of a child (incomplete injection in metal).
- " 3527 External, middle and internal ear in metal.
- " 3528 Vertebral and basilar arteries, with the axis vertebra (metal).
- " 3529 Venous plexus around the cervical vertebrae in metal, bones partially preserved.
- " 3530 Plexus of veins and vertebral canal, and their communication with the veins outside the canal (bones preserved).
- " 3531 Idem.
- " 3532 Trachea and bronchi of a new born infant (metal).
- " 3533 Fine metallic injection of bronchi.
- " 3534 Idem.
- " 3535 Idem.
- " 3536 Trachea and bronchi in metal.
- " 3537 Idem of the horse.
- " 3538 The pterygoid venous plexus, the cavernous sinus and emissary veins in metal (bones partially preserved).
- " 3539 Intracranial sinuses injected with metal, cranium preserved.
- " 3540 Idem.
- " 3541 Vault of cranium showing superior longitudinal sinus and the parietal emissary vein *in situ* (metal).
- " 3542 Cranium showing the pterygoid venous plexus and the inferior petrosal sinus *in situ*.
- " 3543 Cranium and the cervical vertebrae partially dissolved, showing the veins and the sinuses in metal *in situ*.
- " 3544 Incomplete injections of the carotid arteries and their branches, showing the course of the arteries in the carotid canals and partly in the cranium.
- " 3545 Idem.

Lent by :

- Prof. B. Wahby, Cairo. 3546 Incomplete injections of the arterial system of adult man, the injection having filled the large vessels and some of the small ones.
- „ 3547 Idem.
- „ 3548 Metallic injections of the arteries of the forearm.
- „ 3549 Idem.
- „ 3550 Injection of the lowest part of the aorta, the common, internal and external iliac arteries with their branches and part of the femoral arteries.

Specimens of celluloid injections.

- „ 3551 Lungs; bronchi, pulmonary veins and arteries injected with different colours.
- „ 3552 Idem.
- „ 3553 Liver; hepatic and portal veins differently coloured.
- „ 3554 Kidney: arteries and veins differently coloured.
- „ 3555 Arteries of the arm and forearm partially injected.
- „ 3556 Attempted complete injection of the arterial system of a child (a few months of age).
- „ 3557 Dorsal vertebrae; cancellous tissue and veins filled with celluloid.
- „ 3558 Left auricle and pulmonary veins.
- „ 3559 Pampiniform plexus.
- „ 3560 Superior longitudinal and lateral sinus.
- „ 3561 Pterygoid plexus of veins with the circular, cavernous and other sinuses.
- „ 3562 Pulmonary root and the *vena azygos major*, bronchi, aortic valves and a coronary artery.
- „ 3563 The arterial and venous systems of an adult body, injected through the common carotid artery.
- „ 3564 Cervical plexus of veins.
- „ 3565 Penis and *corpora cavernosa* completely, glans and *corpus spongiosum*, partially injected.

Lent by :

- | | |
|------------------------------------|--|
| Prof. B. Wahby, Cairo. | 3566 Penis of a horse injected with paraffin. |
| " | 3567 Idem. |
| " | 3568 Frozen sections of different parts of the body, mounted in gelatine, to illustrate a convenient method of keeping anatomical and pathological sections (5 specimens). |
| " | 3569 Human kidneys, mounted in gelatine; the arteries, veins and pelvis injected with differently coloured material. |
| " | 3570 Idem. |
| " | 3571 Idem. |
| " | 3572 Horse's kidney, treated as the preceding. |
| Mr. W. Waldie, Edinburgh. | 3573 An improved method of mounting permanent museum preparations with the aid of sheet-glass supports. |
| Dr. J. J. Luden van Heumen, Paris. | 3574 Collection of mounted sections of nautilus shell cut in various planes and polished by special methods. The specimens are mounted in silver, to avoid the influence of metallic oxides. |

PRESERVATION OF MICROSCOPICAL MATERIAL.

Microscopic Specimens.

- | | |
|-----------------------------|---|
| Dr. Georgine Luden, Munich. | 3575 Section of spinal marrow; <i>meningitis spin. serosa circumscripta</i> ; celloidin section, stained by Dr. Luden's modification of Weigert's method. |
| " | 3576 <i>Tabes dorsalis</i> , stained in September, 1911, by the same method. |
| " | 3577 Multiple sclerosis, stained by the same method. |

Photographs of:

- | | |
|---|--|
| " | 3578 Ganglion cells of the anterior horn of the spinal cord, stained by the same method. |
| " | 3579 Detail picture of the preceding. |
| " | 3580 Axis cylinder and myelin sheath in nerve, stained by the same method. |
| " | 3581 Myelin sheath in nerve, stained by the same method. |

Lent by :

Dr. Georgine Luden,
Munich.

3582 Ganglion cells, stained by the same method two years before the photograph was made.

„ 3583 The same as above, under higher magnification.

„ 3584 Spinal nerve, stained two years before the photograph was made.

Lantern Slides (autochromes) to show Dr. Luden's staining modification of Weigert's method :

„ 3585 *Meningitis serosa circumscripta*.

„ 3586 *Tabes Dorsalis*.

„ 3587 Idem ; higher magnification.

„ 3588 Idem.

„ 3589 Multiple sclerosis.

„ 3590 Normal ganglion cells of the anterior horn of the spinal cord.

Dr. Adolf Meyer,
Baltimore.

3591 Reconstruction model in glass of a series of sections through the brain of a patient with hemiplegia.

„ 3592 Idem.

„ 3593 Idem.

Dr. R. A. Lambert,
New York.

3594 Series of lantern slides showing the character of the growth of tissues cultivated *in vitro*.

„ 3595 Growth of rat sarcoma in rat plasma.

„ 3596 Rat sarcoma cells in culture ; higher magnification.

„ 3597 Three sarcoma cells (high power) showing pseudopods and fat granules.

„ 3598 Growth of mouse carcinoma *in vitro*.

„ 3599 Mouse carcinoma showing sheet-like extension of the cells.

„ 3600 Mouse carcinoma showing the characteristic grouping of the epithelial cells.

„ 3601 Edge of group of carcinoma cells showing pseudopods.

„ 3602 Chick embryo intestine showing the sheet-like extension of the cells, as in carcinoma (epithelial type of growth).

„ 3603 Mouse sarcoma, showing numerous mitotic figures.

Lent by :

- | | |
|---------------------------------|--|
| Dr. R. A. Lambert,
New York. | 3604 Rat connective tissue (blood vessel) showing several phases of mitosis in a secondary culture. |
| „ | 3605 Typical division figures in sarcoma cells. |
| „ | 3606 Normal mitosis and nuclear budding in connective tissue cells and sarcoma cells. |
| „ | 3607 Stages of division observed in a living connective tissue cell on the 78th day <i>in vitro</i> . |
| „ | 3608 Mitosis in a cell containing numerous fat droplets. |
| „ | 3609 Two rat sarcoma cells, stained to show cell granules (Altmann) and fat granules. |
| „ | 3610 Three pairs of embryonic chicks cells growing in undiluted plasma and diluted plasma. |
| „ | 3611 Mouse sarcoma cells showing phagocytosis of carmine particles with subsequent staining of the cell granules. |
| „ | 3612 Masses of wandering cells from chick embryo spleen aggregated about lycopodium spores. |
| „ | 3613 Idem. |
| „ | 3614 Stained sections of foreign body giant cells, developing <i>in vitro</i> about lycopodium spores and a piece of cotton fibre. |
| „ | 3615 Large giant cell in a culture of rat spleen formed on cover glass. |
| „ | 3616 Lycopodium spores in a culture of chick connective tissue. |
| „ | 3617 Rat sarcoma in normal and in immune guinea-pig plasma. |
| „ | 3618 Cultures of rat sarcoma and rat connective tissue after exposure to a temperature of 44°. |

II. —METHODS OF HOUSING AND DISPLAY.

The Medical Museum, McGill University, Montreal.	Photographs, illustrating : 3619 Ground floor of Museum, University, Montreal.
--	--

Lent by :

- | | | |
|--|------|--|
| The Medical Museum,
McGill University,
Montreal. | 3620 | First floor of same. |
| „ | 3621 | Top floor of same. |
| „ | 3622 | Back of the Medical Building, showing
the Museum in the centre. |
| „ | 3623 | Ground floor of the new Medical Building. |
| „ | 3624 | First floor of same. |
| „ | 3625 | Second floor of same. |
| „ | 3626 | Cross section and elevation of the
Museum. |
| Dr. G. Prout Girdwood,
Montreal. | 3627 | Frames to show lantern slides of
skiagrams. |
| „ | 3628 | Series of lantern slides :
Fracture of ankle.
Idem.
Fracture of maleoli.
Fracture of ankle.
Fracture of base of first phalanx and
head of metacarpal bone.
Fracture of wrist.
Fracture of left radius with impaction.
Separation and displacement of
epiphyses of radius and ulna.
Dislocation of the first and second
fingers at the metacarpo-phalangeal
joint.
Fracture of the head of the middle
metacarpal bone.
Fracture of the first phalanx.
Dislocation of the first phalanx of
thumb.
Dislocation of wrist.
Idem.
Idem.
Idem.
Fracture of maleolus.
Congenital injury to right shoulder.
Normal shoulder joint.
Fracture of knee.
Idem. |

Lent by:

Dr. G. Prout Girdwood,
Montreal.

Separation of lesser and greater
tuberosities.

Fracture of carpus.

Normal shoulder.

Malformation.

Idem.

Idem.

Idem.

Idem.

Club foot.

Absence of fibula.

Malformation.

Absence of radius.

Six fingers on both hands.

Six toes on both feet.

Prof. Thilenius,
Hamburg.

3629 Ground plan of the Exhibition Hall in
the Hamburg Museum for the study
of the different races.

„

3630 Perspective view of the arrangement of
the show-cases.

„

3631 View of one of the compartments.

„

3632 Section of one of the window cupboards.

Prof. Oberndorfer,
Munich-Schwabing.

3633 Series of 16 photographs of the labora-
tories in the new Pathological Institute
of the Munich-Schwabing Hospital.

„

3634 Ground plan of the basement.

„

3635 Ground plan of the ground floor.

„

3636 Ground plan of the Animal House.

3637 *Illustrations of Apparatus in use in the
Institute.*

„

3638 Maceration apparatus.

„

3639 Filtering apparatus.

III.—MUSEUM ADMINISTRATION.

Drs. Maude E. Abbott 3640 Methods of receiving, indexing, tagging
and J. Kaufman, and Mr. and labelling museum material.
E. L. Judah, Montreal.

„

3641 Copy of a page from "accession" book.

„

3642 Labels: (a) catalogue number, (b)
reference and (c) storage.

„

3643 Paraffined tags on cardboard and tape,
for labelling specimens in storage.

IV.—METHODS OF CATALOGUING.

- Lent by :*
- | | |
|-------------------------------------|--|
| Dr. J. A. Braxton
Hicks, London. | 3644 A complete museum catalogue in sections on a "loose-leaf" system. |
| " | 3645 Book-cover designed to fit the card shown in No. 3646, and fitted with a patent "loose leaf" clip. |
| " | 3646 Page of thin cardboard to take an 8vo. page. The edge that fits into the clip has been rendered almost indestructible by linen binding. |
| " | 3647 Samples of printed matter and cards illustrating the method of converting the printed catalogue into a "loose leaf" card catalogue. |
| " | 3648 Book complete with dust-proof cardboard case. |
| Dr. J. Lorrain Smith. | 3649 Catalogue of the Pathological Museum, University of Manchester, published in 1906. |
| Dr. Maude E. Abbott,
Montreal. | 3650 Section of the loose-leaf catalogue of the Medical Museum of the McGill University, dealing with anomalies of the heart, as illustrated by the series of specimens exhibited. |

V.—MUSEUM TEACHING.

- | | |
|---|---|
| " | 3651 Series of specimens of congenital cardiac disease, illustrating the various types of anomalies, and chart giving the synopsis of demonstration. |
| " | 3652 Large patent <i>foramen ovale</i> and multiple defects of the inter-auricular septum. |
| " | 3653 Multiple fenestrations with aneurysmal bulging of the <i>fossa ovalis</i> and patent foramen. |
| " | 3654 Defect in the lower part of the inter-auricular septum; malformation of the tricuspid and mitral valves; hypertrophy and dilatation of both auricles, and of the <i>conus arteriosus</i> , dilatation of the pulmonary artery and hypoplasia of the aorta. |
| " | 3655 Large defect of the lower part of the inter-auricular septum with patent <i>foramen ovale</i> . Anomalous formation of the tricuspid and mitral valves; fusion of the aorta and pulmonary artery; bifid apex. |

Lent by :

Dr. Maude E. Abbott,
Montreal.

- 3656 Large defect of the upper and posterior part of the inter-auricular septum; absence of the Eustachian valve and of *annulus ovalis*. Chronic sclerotic endocarditis.
- „ 3657 Large defect of the upper part of the inter-auricular septum crossed by two bands; left superior cava opening into the coronary sinus; bifid apex.
- „ 3658 Defect of interventricular septum, with perforation of the tricuspid valve segment.
- „ 3659 Defect of interventricular septum with aorta placed on the right side.
- „ 3660 Defect of interventricular septum; anomaly of aorta; patent *foramen ovale*.
- „ 3661 Defect of the interventricular septum, with aorta placed in the right side; patent *foramen ovale*; stenosis of the aorta.
- „ 3662 Defect of the interventricular septum, with anomaly of the aorta; patent *foramen ovale*; anomalous auriculo-ventricular valves and vertebral artery.
- „ 3663 Pulmonary stenosis (inflammatory) with closed interventricular septum and multiple defect of the interauricular septum.
- „ 3664 Stenosis of the pulmonary conus and orifices; hypoplasia of the pulmonary trunk and of the bicuspid pulmonary valve. Defect of the interventricular septum; aorta placed on the right side; patent *foramen ovale*.
- „ 3665 Hypoplasia of the pulmonary artery and stenosis of the pulmonary conus; defect of the interventricular septum, with aorta placed on the right side; patent *foramen ovale*.
- „ 3666 Atresia of the pulmonary artery with stenosis of the conus; defect of the interventricular septum, anomalous valve with two false *chordae tendineae*; patent *foramen ovale*, patent *ductus arteriosus*; hypertrophy and dilatation of the right ventricle and dilatation of the right auricle.

Lent by :

- Dr. Maude E. Abbott, 3667 Incomplete "double heart." Multiple
Montreal. defects of the interventricular septum,
large patent *foramen ovale* and persis-
tent *ostium primum*.
- " 3668 *Cor trilobulate biatriatum*; deviation of
the interventricular septum; ano-
malies of the ventricles, tricuspid and
mitral orifices, etc.
- " 3669 Origin of a common arterial trunk;
defect of the interventricular septum
and of the interauricular septum.
- " 3670 Chart illustrating a demonstration on
congenital cardiac disease, with dia-
grams showing the development of the
cardiac septa and references to illustra-
tive specimens of various defects.

Experimental Endocarditis.

- Dr. E. C. Rosenow, 3671 Heart of rabbit infected with *Strepto-*
Chicago. *coccus viridans*, showing sub-endocardial
hæmorrhage of the tricuspid valve.
- " 3672 A similar specimen.
- " 3673 A similar specimen.
- " 3674 A similar specimen.
- " 3675 Heart of rabbit infected with *Strepto-*
coccus viridans, showing sub-endocardial
hæmorrhages in the tricuspid valve
and papillary muscle.
- " 3676 A similar heart showing the hæmorr-
hages at the base of the pulmonary
semilunar cusp.
- " 3677 Heart of rabbit infected with *Strepto-*
coccus viridans, showing sub-endo-
cardial hæmorrhage of tricuspid valve,
and of the apex of the papillary muscle
and beginning endocarditis,
- " 3678 A similar heart, showing hæmorrhage
and beginning endocarditis.
- " 3679 Heart of rabbit infected with *Strepto-*
coccus viridans, showing endocarditis at
the apex of the papillary muscle.
- " 3680 A similar heart showing endocarditis of
tricuspid valve.
- " 3681 A similar heart, showing endocarditis.
- " 3682 A similar heart, showing endocarditis.

Lent by:

Dr. E. C. Rosenow,
Chicago.

- | | | |
|---|------|--|
| | 3683 | A similar heart, showing aortic and mitral endocarditis. |
| „ | 3684 | A similar heart, showing endocarditis of the tricuspid valve and of the apex of the papillary muscle. |
| „ | 3685 | A similar heart, showing endocarditis. |
| „ | 3686 | A similar heart, showing endocarditis. |
| „ | 3687 | Heart of rabbit infected with <i>Streptococcus rheumaticus</i> , showing subendocardial hæmorrhages of the mitral valve. |
| „ | 3688 | A similar heart, showing hæmorrhages of the tricuspid and pulmonary valves, and of the papillary muscle with beginning endocarditis. |
| „ | 3689 | A similar heart, showing hæmorrhages of the semilunar cusps (pulmonary valve). |
| „ | 3690 | A similar heart, showing hæmorrhages and beginning endocarditis. |
| „ | 3691 | A similar heart, showing hæmorrhages and beginning endocarditis. |
| „ | 3692 | A similar heart, showing hæmorrhages and endocarditis. |
| „ | 3693 | A similar heart, showing endocarditis of the tricuspid valve. |
| „ | 3694 | A similar heart, showing endocarditis of the tricuspid valve. |
| „ | 3695 | A similar heart, showing beginning endocarditis. |
| „ | 3696 | A similar heart, showing endocarditis. |
| „ | 3697 | A similar heart, showing hæmorrhages and endocarditis. |
| „ | 3698 | A similar heart, showing endocarditis. |
| „ | 3699 | A similar heart, showing endo- and myocarditis. |
| „ | 3700 | A similar heart, showing healing and vegetative endocarditis. |
| „ | 3701 | Heart of rabbit infected with streptococcal or pneumococcal strains, the character of which had been changed to resemble <i>Streptococcus viridans</i> . Sub-endocardial hæmorrhage of the tricuspid and pulmonary valves. |
| „ | 3702 | A similar heart, showing hæmorrhages of the tricuspid valve. |

Lent by :

Dr. E. C. Rosenow, Chicago.	3703	A similar heart, showing old hæmorrhage and early endocarditis.
„	3704	A similar heart, showing vegetative mitral endocarditis.
„	3705	A similar heart, showing aortic endocarditis.
„	3706	A similar heart, showing mural and tricuspid endocarditis.
„	3707	A similar heart, showing vegetative tricuspid endocarditis.
„	3708	A similar heart, showing vegetative tricuspid endocarditis and myocarditis.
„	3709	A similar heart, showing hæmorrhages of the tricuspid valve.
„	3710	A similar heart, showing mitral endocarditis.
„	3711	A similar heart, showing hæmorrhages of papillary muscle and septum.
„	3712	A similar heart, showing hæmorrhages of the papillary muscle and septum.
Mr. Richard Muir, Edinburgh.	Series of Photomicrographs, illustrating :—	
„	3713	Blood. Acute appendicitis. <i>Poly-morphonuclear leucocytosis.</i>
„	3714	Blood from rat. <i>Trypanosoma rhodesiense.</i>
„	3715	Scraping from "Bubo." Bubonic plague. <i>Bacillus pestis.</i>
„	3716	Peritoneal fluid, 48 hours after bacterial injection. Active phagocytosis.
„	3717	Liver fluke of sheep. <i>Fasciola hepatica.</i>
„	3718	Liver fluke from bile duct of man. <i>Clonorchis sinensis.</i>
„	3719	Section through lung of child. Tubercular injection.
„	3720	Tuberculosis of bone of child. Tubercular injection of marrow.
„	3721	Lung. Broncho-pneumonia. Air cells filled with "catarrhal cells."
„	3722	Sandy concretions, obtained from air cells of lung.
	Series of photomicro-lantern slides (hand coloured) :—	
„	3723	Blood, normal.
„	3724	Blood, chlorosis.

Lent by :

Mr. Richard Muir, Edinburgh.	3725	Blood, pernicious anæmia.
„	3726	Blood, pernicious anæmia; <i>poikilocytosis</i> .
„	3727	Blood, pernicious anæmia; megloblast in mitosis.
„	3728	Blood, lipaemia.
„	3729	Blood, normal.
„	3730	Blood, <i>polymorpho-nuclear leucocytosis</i> .
„	3731	Blood, <i>eosinophilia</i> ; ankylostomiasis.
„	3732	Blood, <i>chronic lymphatic leucocythemia</i> .
„	3733	Blood, <i>acute lymphatic leucocythemia</i> .
„	3734	Blood, <i>chloroma</i> .
„	3735	Blood showing intermediate stages from myelocyte to fully formed polymorph leucocytes.
„	3736	Blood, <i>myelogenic leucocythemia</i> .
„	3737	Scraping from normal bone red marrow.
„	3738	Section of erythroblastic bone marrow.
„	3739	Blood; malaria: simple tertian fever (various forms of the <i>plasmodium vivax</i>).
Series showing the asexual (schizogony) development of the malarial parasite; <i>plasmodium vivax</i> .		
„	3740	Young trophozoites in red blood corpuscles.
„	3741	The trophozoites becoming larger and pigmented.
„	3742	Pigmented trophozoites in red blood corpuscles.
„	3743	Mature schizont in red blood corpuscles.
„	3744	Schizont segmenting and forming young merozoites in red blood corpuscles.
„	3745	Dissolution of red blood corpuscles leaving cluster of merozoites round mass of malarial pigment.
„	3746	Free merozoites in plasma leaving mass of pigment.

Lent by:

Dr. Richard Muir, Edinburgh.	3747	Large mononuclear phagocyte containing malarial pigment.
„	3748	Blood, malignant malaria; small "ringed" trophozoites.
„	3749	Blood, malignant malaria; trophozoite and "crescent" or sporont.
„	3750	"Crescents" becoming spheres or gameteocytes.
„	3751	Microgametocyte formed from male sporont.
„	3752	"Flagellated body"; microgametes formed in microgametocyte.
„	3753	Microgametes becoming free from microgametocyte.
„	3754	Stomach of mosquito, showing numerous zygotes.
„	3755	Zygotes from wall of mosquito's stomach.
„	3756	Sporocytes projecting from stomach wall of mosquito.
„	3757	Sporozoites forming in sporocyte.
„	3758	Mature sporocyte containing sporozoites.
„	3759	Sporozoites found in body fluid of mosquito.
„	3760	Sporozoites in salivary gland of mosquito.
„	3761	<i>Trypanosoma brucei</i> . Nagana.
„	3762	<i>Trypanosoma gambiense</i> (sleeping sickness).
„	3763	<i>Glossina palpalis</i> .
„	3764	<i>Glossina longipennis</i> .
„	3765	<i>Trypanosoma cruzi</i> .
„	3766	<i>Trypanosoma surra</i> : developmental forms.
„	3767	Kala-azar; <i>Leishmania-donovani</i> .
„	3768	Kala-azar; <i>Leishmania-donovani</i> .
„	3769	<i>Leishmania tropica</i> , flagellated stage, 80-96 hours' development.
„	3770	<i>Entamoeba histolytica</i> , from liver abscess.

Lent by:

- Dr. C. U. Ariens Kappers, 3771 Museum jar, showing a method of mounting brain material for museum purposes in formalin, so that the lateral and medial surface of the brain are exposed on a dark background.
- „ 3772 Idem.
- „ 3773 Microscopic slide showing nerve cells and axis cylinders stained with the colouring matter of sambucus.
- „ 3774 Idem.
- „ 3775 Sagittal section through the human brain, showing a method of mounting in gelatine for macroscopic and microscopic purposes.
- „ 3776 Idem.
- Prof. Emil von Grósz, 3777 Three volumes illustrating the buildings of the Royal Hungarian Universities, as well as the clinics and institutes of the medical faculty.
- Dr. James T. Chase, 3778 Series of lantern slides illustrating various pathological conditions of the alimentary tract, including gallstones, affections of the vermiform appendix, and ileocaecal valve, calcified fibroids, malignant disease of the colon, etc.
- „ 3779 Series of stereoscopic transparencies, dealing with similar subjects.

50 PHOTOGRAPHS ILLUSTRATING SOME OF THE TYPES OF TUBERCULOUS LESIONS OBSERVED IN MAN, CATTLE, SWINE, HORSE AND BIRDS.

- Prof. S. Delépine. 3780 Tongue of cow. Tuberculous ulcer of left border of tongue (posterior 1/5). Case of generalised tuberculosis.
- „ 3781 Liver of old cow and retrohepatic lymphatic ganglia. Discrete, moderately large cheesy tubercles, distributed all through the parenchyma.
- „ 3782 Liver of pig. Chronic tuberculosis. Posterior aspect of the organ, showing numerous evenly distributed tubercles.
- „ 3783 Liver and spleen of hen (full grown). Tuberculosis.
- (a) Left half of liver, 2 antero-posterior vertical sections.

Lent by:

Prof. S. Delépine.

- (b) Right half of the liver. Transverse section.
- (c) Spleen divided in 2 lateral halves, one shows outer surface, the other the surface of section.
- 3784 Spleen of calf (two months old). Tuberculous nodules in parenchyma.
- 3785 Spleen of cow. Chronic tuberculosis. Large discrete tubercles in the parenchyma, many under the capsule.
- 3786 Spleen of pig. Chronic tuberculosis. Numerous discrete tubercles in the parenchyma.
- 3787 Spleen of horse (longitudinal section). Chronic tuberculosis.
- 3788 Small intestine and mesenteric glands of cow. Tuberculous ulcers of intestine, seen from lumen.
- 3789 Idem, seen through serous and muscular coat.
- 3790
- 3791 Small intestine of cow. Tuberculous ulcers.
 - (a) Very small beginning necrosis.
 - (b) Larger well-marked ulcer.
- 3792 Small intestine of cow. Tuberculous ulcer.
- 3793 Small intestine and mesenteric gland of child. Tuberculous ulcers of small intestine. Tuberculosis of mesenteric ganglia.
- 3794 Small intestine and mesenteric glands of child (æet 12). Several tuberculous ulcers. Enlargement and caseation of mesenteric glands.
- 3795 Pericardium, heart, aorta, pulmonary artery, trachea and some cardiac lymphatic ganglia cow. Tuberculous pericarditis.
- 3796 Larynx of cow. Tuberculosis, local hyperplastic (polypoid) form.
- 3797 Lung of infant, antero-posterior vertical section. Acute miliary tuberculosis, catarrhal pneumonic type.
- 3798 Lung of adult man, frontal section of left lung. Chronic local tuberculosis, ulcerative type (phthisis).

Lent by :
Prof. S. Delépine.

3799 Lung of child. Tuberculous pneumonia and early pleurisy.

(a) Two frontal vertical sections through left lung.

(b) External aspect of same lung.

3800 Lung of child (antero-posterior vertical section of right lung). Lung almost entirely consolidated; older lesions in a state of caseation, small apical cavities. Some compensatory emphysema.

3801 Lungs of child, frontal section. Acute tuberculous pneumonia (acute phthisis). Frontal section passing through trachea and main bronchi, arch of aorta, bronchial lymphatic ganglia, &c.

3802 Lung of cow. Transverse section through one of the upper lobes. Localised tuberculous broncho-pneumonia.

3803 Lung of cow. Transverse section through one of the upper lobes. Chronic tuberculosis.

3804 Lung of cow. Chronic tuberculosis. Portion of the lower lobe with visceral pleura adjacent to diaphragm. Chronic tuberculosis of pleura.

3805 Lung (left) of pig. Chronic tuberculosis. (a) Transverse section through lower lobe and part of upper lobe. (b) Pleural surface of basis of lower lobe.

3806 Costal pleura (over the posterior ribs, near diaphragm) of cow. Tuberculosis.

3807 Parietal pleura sternum, lower end of ribs, suprasternal lymphatic ganglion of cow. Chronic tuberculosis.

3808 Parietal pleura (costal and diaphragmatic parts.) Inferior inter-costal lymphatic ganglion of cow. Chronic tuberculosis.

3809 Popliteal lymphatic ganglion with surrounding fat and muscles of cow. Chronic tuberculosis.

3810 Submaxillary lymphatic ganglia and head of cow. Chronic tuberculosis.

3811 Cervical lymphatic ganglia (bisected); woman. Tuberculosis (scrofulous) lymphadenitis.

Lent by :

Prof. S. Delépine.

- 3812 Dorsal vertebrae and dura mater of pig. Chronic tuberculosis (tuberculous caries).
- 3813 Ribs of pig. Chronic tuberculosis.
- 3814 Metacarpo-phalangeal articulation (fetlock joint) of foot of cow. Chronic tuberculosis.
- 3815 Humero-cubital articulation (elbow joint) of cow. Chronic tuberculosis.
- 3816 Kidney of cow; transverse sections. Chronic tuberculosis.
- 3817 Kidney of cow, bisected. Chronic tuberculosis. Very large solitary tubercle (tuberculous tumour).
- 3818 Kidney of cow, bisected; surface and sectional view. Acute tuberculosis. Tuberculous nephritis affecting chiefly one lobe of the organ.
- 3819 Kidney of pig. Acute tuberculosis; miliary tubercles indicating recent infection through the blood stream.
- 3820 Testicle of man. Chronic tuberculosis. Tuberculous orchitis and epididymitis.
- 3821 Uterus and ovaries of cow. Chronic tuberculosis.
- 3822 Udder of Cow. Normal.
- 3823 Idem. Chronic tuberculosis.
- 3824 Idem.
- 3825 Udder of cow and mammary lymphatic ganglion. Chronic tuberculosis.
- 3826 Mammary glands of cow. Chronic tuberculosis. Antero-posterior vertical section through :
- (a) 3 of the posterior glands in the right side.
 - (b) 1 of the posterior glands in the left side.
- 3827 Eye of Cow. Chronic tuberculosis :
- (a) External aspect of upper half of eye much altered in shape.
 - (b) Horizontal section between upper and middle third of eye.

Lent by :

Prof. S. Delépine.

(c) Horizontal section passing through optic papilla and crystalline lens. The anterior and posterior chambers of the eye are distended with caseous matter, the crystalline lens is altered, eroded and dislocated.

- „ 3828 Guinea pig. Experimental avian tuberculosis. (20 days.)
 „ 3829 Idem. (106 days.)

COLLECTION OF 24 TUBERCULOUS GUINEAPIGS, ILLUSTRATING SOME EXPERIMENTS BEARING UPON THE ÆTIOLOGY OF TUBERCULOSIS.

SERIES I.

Virulence of selected cultures of tubercle bacilli of human, bovine and avian origin, obtained directly from tuberculous lesions without passage through any animal.

- Prof. S. Delépine. 3830 Inoculation 21 days before death.
 „ 3831 Inoculation 25 days before death.
 „ 3832 Inoculation 20 days before death.

SERIES II.

Effect of passage of selected tuberculous products or culture of avian origin through mammals.

A.—Source of avian bacilli; cock; 450 dead in 1903 of advanced tuberculosis, the result of natural infection.

- Prof. S. Delépine. 3833 Inoculation 27 days before death.
 „ 3834 Inoculation 27 days before death.
 „ 3835 Inoculation 78 days before death.
 „ 3836 Inoculation 106 days before death.

B.—Source of avian bacilli; hen; 2,548 (culture 203) dead in 1908 of advanced tuberculosis, the result of natural infection.

- „ 3837 Inoculation 12 days before death.
 „ 3838 Inoculation 2 years and 1 month (762 days) before death.
 „ 3839 Inoculation 111 days before death.
 „ 3840 Inoculation 93 days before death.
 „ 3841 Inoculation 43 days before death.
 „ 3842 Inoculation 59 days before death.
 „ 3843 Inoculation 65 days before death.

SERIES III.

Infectivity of milk of tuberculous cows with advanced tuberculosis of the udder.

Lent by:

Prof S. Delépine.	3844 Inoculation 75 days before death.
"	3845 Inoculation 58 days before death.
"	3846 Inoculation 16 days before death.
"	3847 Idem.
"	3848 Idem.
"	3849 Idem.

SERIES IV.

Residence of tubercle bacilli in cows' milk to putrefaction, drying by heat, and pasteurisation.

Prof. Delépine.	3850 Inoculation 68 days before death.
"	3851 Inoculation 90 days before death.
"	3852 Inoculation 79 days before death.
"	3853 Inoculation 78 days before death.

PATHOLOGICAL SPECIMENS MOUNTED ACCORDING TO PROF. DELÉPINE'S METHOD, TO ILLUSTRATE THE PRESERVATION OF COLOUR AND TRANSPARENCY OF VARIOUS TISSUES NORMAL AND DISEASED.

A.—Illustrating effects of method on typical lesions.

Prof. Delépine.	3854 Liver of sheep. Lymphosarcoma.
"	3855 Liver of ox. Bacterial necrosis.
"	3856 Lung of horse. Glanders.
"	3857 Muscles of calf. Symptomatic anthrax.
"	3958 Spleen of ox. Bacterial necrosis.
"	3859 Muscle and lymphatic gland of cow. Anthrax.
"	3860 Spinous process of dorsal vertebra of cow. Tuberculosis.
"	3861 Brain of calf. Coenurus cyst.
"	3862 Uterus, human. Mucous malignant adenoma.
"	3863 Kidney of sheep. Normal.

B.—Illustrating experiments made to ascertain the value of certain ingredients in the media used to prepare and mount specimens according to the method used by Prof. Delépine since 1896.

(One specimen illustrates the method used between 1886 and 1896.) All these specimens were mounted in July, 1909.

- | | |
|--------------------|---|
| Prof. S. Delépine. | 3864 Liver fixed by bichromate of potash solution (old method), thoroughly washed and mounted in arsenious acid, glycerine jelly (S.D.'s formula). |
| " | 3865 Liver (same as 3864) fixed by saline formal (Kaiserling) alcohol and mounted in arsenious acid glycerine jelly. In the same preparation the smaller specimen has been fixed by 4 % formal solution without salt. |
| " | 3866 Heart of bullock, transverse section fixed by saline formal (Kaiserling), alcohol and mounted in arsenious acid glycerine jelly. |
| " | 3867 Heart of bullock (same as 3866) fixed by sodium sulphate formal solution (sp. gr. 1024) alcohol and mounted in arsenious acid glycerine jelly. |
| " | 3868 Liver of cow, tuberculous saline formal, etc., mounted in potassium acetate glycerine jelly. |
| " | 3869 Liver of cow (same as 3868) mounted in arsenious acid glycerine jelly. |

C.—Series illustrating the stability of specimens mounted in the arsenious acid glycerine jelly medium.

- | | |
|--------------------|--|
| Prof. S. Delépine. | 3870 Dorsal muscle of cow with capillary hæmorrhages fixed with 8 per cent. watery solution of formaldehyde, mounted in 1897 (16 years old). |
| " | 3871 Human heart, pericarditis with adhesions, bichromate of potash fixing, mounted in 1890 (22 years). |
| " | 3872 Human kidney, arterio-sclerosis, bichromate method, mounted in 1890 (22 years). |
| " | 3873 Human liver from a case of leprosy, bichromate method, mounted in July, 1889 (23 years). |
| " | 3874 Human kidney, suppurative nephritis (surgical kidney) bichromate method, mounted in January, 1886 (26 years). |

Lent by :

Prof. S. Delépine.

3875 Human lung, anthracosis, bichromate method. Mounted in Dec., 1885 (27 years).

„ 3876 Photograph of table and apparatus used for mounting specimens.

„ 3877 Photographs of dishes used for mounting specimens, and of specimens in various stages of mounting.

APPENDIX.

Section IV.—Bacteriology and Immunity.

III.—ANAPHYLAXIS.

(See page 38.)

Transparencies:

Lent by :

Prof. Friedberger,
Charlottenburg.

Lumière photographs:

- | | | |
|---|------|---|
| „ | 3878 | Distended lung in anaphylatoxin poisoning (left) and active anaphylaxis (right). |
| „ | 3879 | Section of guinea-pig's lung; anaphylatoxin poisoning. |
| „ | 3880 | Section of guinea-pig's lung; primary antiserum action. |
| „ | 3881 | Idem, active anaphylaxis. |
| „ | 3882 | Behaviour of the blood pressure and respiration in anaphylactic shock in the rabbit. |
| „ | 3883 | Influence of anaphylatoxin on the isolated frog's heart. |
| „ | 3884 | Influence of dysentery extract on rabbit's intestine (Magnus' experiment). |
| „ | 3885 | Influence of normal guinea-pig's serum on rabbit's intestine. |
| „ | 3886 | Influence of anaphylatoxin prepared from dysentery bacilli with normal guinea-pig serum, on rabbit's intestine. |
| „ | 3887 | Disappearance of complement in active anaphylaxis, to horse serum in the guinea-pig. |
| „ | 3888 | The same, in anaphylaxis to egg albumin. |
| „ | 3889 | Anaphylaxis in guinea-pigs treated with anti-complement. |
| „ | 3890 | Formation of anaphylatoxin in hypertonic salt solution. |
| „ | 3891 | The same, in kaolinised serum. |
| „ | 3892 | The same, in shaken serum. |

Lent by:

Prof. Friedberger,
Charlottenburg.

- 3893 Necessity of the amboceptor for the formation of anaphylatoxin.
- 3894 Influence of reaction on anaphylatoxin.
- 3895 Anaphylatoxin experiment with cobra venom.
- 3896 Idem.
- 3897 The quantitative proportions in the formation of anaphylatoxin from tubercle bacilli.
- 3898 Idem (albumose-free bacilli).
- 3899 Active tubercle bacilli anaphylaxis.
- 3900 Passive tubercle bacilli anaphylaxis.
- 3901 Idem.
- 3902 Active anaphylaxis to Metschnikoff's vibriones.
- 3903 Idem.
- 3904 Passive anaphylaxis.
- 3905 Series of temperature curves of to anaphylaxis fever.
- 3814
- 3915 Temperature curves illustrating hypersensitivity to iodine.
- 3919
- 3920 Primary anti-serum action of a yeast anti-serum produced in a rabbit.
- 3921 Influence of the time occupied by the resistance on anaphylaxis.
- 3922 Apparatus for slow injection to avoid hypersensitivity symptoms.
- 3923 Influence of the volume of the intoxicating dose.
- 3924 Protective action of cold on anaphylaxis.
- 3925 Influence of age on anaphylaxis.
- 3926 Comparison between hypersensitivity in to new-born animals and that of older animals.
- 3931
- 3932 Tables illustrating the specificity of to anti-anaphylaxis and of general resistance.
- 3935

Section XII.—Neuro-Pathology and Psychiatry.

Lent by :

- | | | |
|------------------------|------|--|
| London County Council. | 3936 | Six photographs, Hanwell Asylum. |
| " | 3937 | Four photographs, Claybury Asylum. |
| " | 3938 | General perspective, Claybury Asylum. |
| " | 3939 | General perspective, Banstead Asylum. |
| " | 3940 | Four photographs, Bexley Asylum. |
| " | 3941 | Plan of hospital villa, Bexley Asylum. |
| " | 3942 | Plan of Horton Estate, Epsom. |
| " | 3943 | General perspective, Epileptic Colony,
Horton Estate. |
| " | 3944 | Plan of ideal villas, Epileptic Colony. |
| " | 3945 | Six photographs, Horton Asylum, Horton
Estate. |
| " | 3946 | Plan of Long Grove Asylum, Horton
Estate. |
| " | 3947 | Four photographs of Long Grove, Asylum. |
| " | 3948 | Idem. |
| " | 3949 | Idem. |

Section XIV.—Urology.

SERIES OF CELLOIDIN SECTIONS ILLUSTRATING THE SURGICAL PATHOLOGY
OF PROSTATISM—(See PAGE 111).

ANATOMICAL.

Lent by :

- | | | |
|-------------------------------|-------|--|
| Dr. Henry Wade,
Edinburgh. | 2221A | (1) Median sagittal section of pelvis of
male infant at birth. |
| " | | (2) Horizontal section of pelvis of male
infant at birth to show development
of prostatic sheath. |
| " | | (3) Idem. |
| " | | (4) Idem, at apex of prostate showing
external vesical sphincter. |
| " | | (5) Horizontal section of adult prostate
to show capsule, sheath, and re-
lationship of blood vessels. |
| " | | (6) Idem, to show Denonvillier's space
and anterior commisure. |

Lent by :

Dr. Henry Wade,
Edinburgh.

„

„

„

„

- (7) Horizontal section of the prostate of a young adult showing structure.
- (8) Median sagittal section of bladder, prostate and rectum to show external and internal vesical sphincters, rectourethralis muscle, Denonvillier's space, etc.
- (9) Vertical coronal section of adult prostate showing relationship of muscles, the dual sphincter and muscular hammock in which the prostate is slung.
- (10) Horizontal section of upper limit of adult prostate showing internal vesical sphincter and the relationship of seminal vesicles.
- (11) Section showing external vesical sphincter, recto-urethralis muscle.

PATHOLOGICAL.

(A.)—*Chronic lobular prostatitis (prostatic hypertrophy).*

„

„

„

„

„

„

- (12) Median sagittal section showing disease in middle lobe, intravesical herniation, displacement of internal sphincter and seminal vesicles and the ejaculatory ducts.
- (13) Horizontal section of prostate with chronic lobular prostatitis to show false capsule and line of cleavage.
- (14) Idem, showing relationship of blood vessels to false capsule and lobar type of disease.
- (15) Vertical coronal section, prostate, with extreme hypertrophy from chronic lobular prostatitis, showing displacement of internal sphincter and spheroidal areas of disease.
- (16) Horizontal section, prostate, with chronic lobular prostatitis showing spheroids.
- (17) Median sagittal section, prostate, showing chronic lobular prostatitis (prostatic hypertrophy) confined to anterior lobe.

Lent by :

Dr. Henry Wade,
Edinburgh.

- (18) Horizontal section of prostate with chronic lobular prostratitis, "total" enucleation by suprapubic prostatectomy, showing diffuse variety of disease and fragments of false capsule adherent.
- " (19) Idem, showing fibro-myomatous nodule.
- (20) Horizontal section, prostate, with chronic lobular prostatitis without hypertrophy causing pronounced prostratism, "total" enucleation.
- " (21) Horizontal section, prostate, with chronic lobular prostatitis with partial conservation of urethra, showing spheroids.

(B.)—*Chronic interstitial prostatitis (prostatic fibrosis).*

- " (22) Horizontal section of prostate and rectum with chronic interstitial prostatitis to show structure of gland and relationship of sheath.
- " (23) Median sagittal section, prostate, chronic interstitial prostatitis, to show median prostatic bar.

(C.)—*Carcinoma of Prostate.*

- " (24) Horizontal section, prostate with advanced carcinoma showing invasion of blood vessels and seminal vesicles.
- " (25) Idem.
- " (26) Horizontal section, prostate with carcinoma and chronic interstitial prostatitis, "total" enucleation by suprapubic prostatectomy.
- " (27 and 28) Two lobes removed by operation of suprapubic prostatectomy.
 - 27. Showing chronic lobular prostatitis.
 - 28. Showing chronic lobular prostatitis and carcinoma.
- " (29) Horizontal section, prostate scirrhous carcinoma, total enucleation.

Lent by :

Dr. Henry Wade,
Edinburgh.

- (30) Horizontal section, prostate; medullary carcinoma.
- (31) Horizontal section of lobe showing carcinoma.
- (32) Sections of fragments of carcinoma, removed by suprapubic prostatectomy.

SUPRAPUBIC PROSTATECTOMY.

(A.)—*Horizontal sections of parts removed.*

- " (33) "Total" enucleation, horizontal section showing diffuse variety of chronic lobular prostatitis.
- " (34) "Total" enucleation for chronic lobular prostatitis without hypertrophy.
- " (35) "Total" enucleation with partial conservation of urethra for chronic lobular prostatitis.
- " (36) Idem.
- " (37) "Total" enucleation with conservation of urethra for chronic lobular prostatitis.
- " (38) Idem.
- " (39) Lobar enucleation; section of lobe showing chronic lobular prostatitis.

(B.)—*Sections of prostatic bed in fatal cases after prostatectomy.*

- " (40) Horizontal sections of floor of bladder, showing internal vesical sphincter and entrance to prostatic bed.
- " (41) Horizontal sections of prostatic bed and rectum, showing false capsule torn on lateral aspect.
(Anterior excision made at post-mortem.)
- " (42) Same specimen, sectioned at lower level, showing false capsule protecting blood vessels in sheath.
- " (43) Section of same case, showing false capsule and ejaculatory ducts conserved.

Lent by:

Dr. Henry Wade,
Edinburgh.

„

„

„

„

„

„

- (44) Lateral sagittal section of lower part of prostatic bed, showing false capsule.
 - (45) Median sagittal section of lower part of prostatic bed, showing conservation of external sphincter and septic thrombosis of blood vessels in false capsule.
 - (46) Lateral sagittal section of lower part of prostatic bed and rectum, showing relationship of blood vessel and levator ani.
 - (47) Coronal section of one lateral wall showing false capsule and blood vessels.
 - (48) Median sagittal section of prostatic bed after "total" prostatectomy, showing dilated internal vesical sphincter, false capsule, posterior lobe and external vesical sphincter.
 - (49) Median sagittal section of parts removed at operation from the preceeding case.
 - (50) Lateral sagittal section of prostatic bed showing fragments of diseased tissue adherent to false capsule.
-

1871-1872
The first year of the
year of the year of the year

The second year of the
year of the year of the year

The third year of the
year of the year of the year

The fourth year of the
year of the year of the year

The fifth year of the
year of the year of the year

The sixth year of the
year of the year of the year

The seventh year of the
year of the year of the year

The eighth year of the
year of the year of the year

The ninth year of the
year of the year of the year

The tenth year of the
year of the year of the year

The eleventh year of the
year of the year of the year

The twelfth year of the
year of the year of the year

The thirteenth year of the
year of the year of the year

The fourteenth year of the
year of the year of the year

PRÉFACE.

Le Musée du XVII. Congrès International de Médecine (Londres, 1913) est organisé par un Comité spécial avec l'intention de présenter aux Membres du Congrès des collections illustratives des découvertes les plus importantes dans la science de la médecine depuis le dernier Congrès International à Buda-Pest en 1909. On a cependant trouvé qu'il était impossible de suivre entièrement l'idée du Comité, parceque beaucoup des objets d'intérêt n'ont pu être obtenus pour cet effet, et aussi parcequ'on a songé que ce n'était guère raisonnable de prier la profession médicale de dépenser du temps, d'argent et d'énergie dans la préparation des objets pour la durée courte du Congrès.

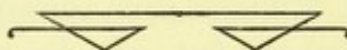
Ce projet a souffert davantage par le fait que les Officiers des Sections de Dermatologie et de Syphilographie (Nr. XIII.), d'Otologie (Nr. XVI.) ont décidés de séparer leurs musées du musée général. Quant à ce qui regarde Section II., ayant rapport à la Physiologie, on a reconnu, que comme des démonstrations ont été organisées à l'aide des appareils, que l'on a dans trois des principales laboratoires physiologiques à Londres, une autre exposition d'appareils physiologiques serait tout-à-fait superflue et inutile. Enfin le Comité a été obligé de renoncer à l'idée d'organiser une section pharmacologique, correspondant à la Section V., et une autre s'occupant des Services Sanitaires Maritimes et Militaire pour correspondre avec la Section XXI. du Congrès, en vue du fait que les experts, dont on avait demandé l'aide, l'ont trouvé impossible de placer du matériel d'intérêt à la disposition du Comité.

Il est le désir du Comité du Musée que l'exposition sera instructive et intéressante, et que les membres du Congrès s'appliqueront à la collection, qui a été recueillie et arrangée au prix de beaucoup de peine et de temps.

On voudrait attirer l'attention des membres à une innovation spéciale concernant les musées de congrès. *L'Association Internationale des Musées Médicaux* a arrangé un département spécial illustrant la technique du musée. Le Docteur Maude E. Abbott, dont l'activité et l'énergie infatigable sont bien connues, a cherché à accomplir un grand succès de ce département, et le Comité a pris plaisir à être associé avec elle dans ce travail ardu.

Le Comité désire remplir le devoir agréable, de remercier tous ceux, qui ont placé leur matériel précieux à la disposition du Congrès. Les remerciements du Comité doivent aussi s'étendre aux Secrétaires Honoraires des nombreuses Sections du Congrès pour leur bonne assistance et coopération dans le travail d'organisation.

Enfin le Comité voudrait bien prier les membres du Congrès de collaborer avec eux en sauvegardant les objets exposés et de conformer aux règlements, qui ont été formulés dans l'intérêt de ceux qui ont bien voulu prêter leur matériel précieux au Musée.



CATALOGUE.

SECTION I.—Anatomie et Embryologie.

1.—*Le Cœur.*

Exposé par :

- | | |
|---------------------------------------|--|
| M. le Prof. David Waterston, Londres. | 1 Cœur démontrant les injections dans la gaine de la lamelle atrio-ventriculaire. |
| M. le Dr. Alfred E. Cohn, New York. | 2 Cœur d'un boeuf démontrant l'injection du système de conduit dans le ventricule du côté droit. |
| " | 3 Idem. |
| " | 4 Section microscopique du muscle du cœur d'un bœuf, injecté de l'encre de Chine. |
| M. le Prof. Dr. F. Külbs, Berlin. | Modèles en cire du système atrio-ventriculaire :— |
| | 5 du poisson. |
| | 6 du lézard. |
| | 7 de la tortue. |
| | 8 de l'oiseau. |
| M. le Prof. Thomas H. Bryce, Glasgow. | 9 Réconstruction de l'embryon humain Bryce-Teacher. |
| " | 10 Aquarelle du même spécimen.
(Le spécimen actuel sera exposé par Monsieur le Professeur Bryce.) |
| M. le Prof. Peters, Vienne. | 11 Série d'illustrations démontrant un très primitif embryon humain. |
| M. le Prof. Arthur Thomson, Oxford. | 12 Réconstruction de rudiment embryonique de 0,33 mm. de diamètre dans le blastokyste (x. 150). |
| " | 13 Réconstruction de rudiment embryonique de 0,23 mm. de diamètre (x. 320). |
| " | 14 Une série de micro-photographies d'un très primitif embryon humain. |
| " | 15 Une série de photographies stéréoscopiques des embryons humains, des yeux d'oiseau, de cheval, de poisson, et de quelques yeux humains pathologiques. |

Exposé par :

M. le Prof. David
Waterston, Londres.

Cinq modèles de reconstruction de l'embryon humain, préparés par la méthode du Professeur Waterston.

- 16 Modèle de la forme extérieure de l'embryon humain, entre 2 et 3 mm. de longueur ($\times 200$).
- 17 Modèle du système nerveux, du cœur, des vaisseaux, etc., du même embryon ($\times 200$).
- 18 Modèle du cœur, du canal alimentaire, etc. ($\times 200$).
- 19 Modèle du système nerveux central d'un embryon d'une longueur de 6 mm. ($\times 50$).
- 20 Modèle du pharynx et quelques-unes de ses poches d'un embryon de 6 mm. de longueur ($\times 100$).
- 21 à 32 Projections de photographies des sections de jeunes embryons humains :—
- (a) Démontrant le *pronephros*.
- (b) Démontrant le *recessus pneumato-cuteneis*.
- (c) Démontrant la formation du système nerveux sympathétique au phase jeune.
- M. le Prof. A. d'Eternod, Genève.
- 33 Planche murale pour exotiquer la segmentation et la gastrulation probable de l'œuf humain.
- 34 Idem.
- 35 Planche murale pour exotiquer la topographie de l'embryon humain.
- 36 Planche murale pour exotiquer le trophoderme et le placenta.
- 37 Planchemurale pour exotiquer les annexes de l'œuf.
- 38 Modèle en liège ; embryon humain, 1 mm. 3.
- 39 Idem.
- 40 Schéma du lécithaphore : œuf méroblastique ; œuf métalécithique.
- 41 Modèle en cire ; champ embryonnaire ; embryon humain 1 mm. 3.
- 42 Modèle en cire ; embryon humain, 2 mm. 3.
- 43 Modèles ; embryon humain, 2 mm. 8 ; 20 sommites.

Exposé par :

- | | | |
|---|---------|---|
| M. le Prof. Arthur Robinson, Edinbourg. | 44 | Modèle de la moitié d'un cerveau et des nerfs du crâne et de la partie supérieure du cerveau d'un embryon humain de 22 mm. de longueur, obtenu à une opération. |
| „ | 45 | Modèle du cœur d'un embryon humain de 5,5 mm. de longueur, en trois segments. |
| „ | 46 | Modèle du cœur d'un embryon humain de 8,5 mm. de longueur, en trois segments. |
| „ | 47 | Modèle de la moitié d'un embryon de cheval, n'ayant plus de 23 jours. |
| „ | 48 | Modèle de la partie opposée du même, disséqué d'une manière différente. |
| „ | 49 | Modèle de l'extrémité caudale du même embryon de cheval, élargi pour donner les détails des vaisseaux allantoïque. |
| „ | 50 | Modèle de la tête de l'embryon d'un cochon, démontrant la relations du pharynx et du cerveau à la vésicule otique. |
| „ | 51 | Modèle de la tête de l'embryon d'un cochon plus âgé, démontrant la relation du pharynx à la vésicule otique. |
| „ | 52 | Modèle de la tête et du cœur de l'embryon d'une fouine 2,3 mm de longueur, démontrant la tête et le cœur. Les tubes épithélial du cœur sont toujours en état de séparation mais les tubes musculaires sont jointes. |
| „ | 53 | Modèle du cœur de l'embryon d'une fouine 9 mm. de longueur, en trois segment. |
| „ | 54 | Modèle du cœur de l'embryon d'une fouine 12,5 mm. de longueur, en trois segments. |
| M. le Dr. R. W. Johnstone, Edinbourg. | 55 à 66 | Série de 12 projections, démontrant les premières opérations du développement de l'œuf humain. |
| M. le Dr. Wood Jones, Londres. | 67 | Spécimens illustratifs du développement des <i>genitalia</i> de la taupe (<i>Talpa europea</i>). |
| „ | 68 | Dessins illustratifs des spécimens ci-dessus. |

Exposé par :

M. le Dr. Wood Jones,
Londres.

„

M. le Prof. McClure,
Princetown, New
Jersey.

M. le Dr. Peter Thomp-
son, Birmingham.

M. le Dr. T. Yeates,
Birmingham.

„

M. le Dr. R. H. Clarke.
Warlingham.

„

„

„

„

„

„

69 Spécimens démontrant la morphologie
des *genitalia* des mammifères.

70 Dessins illustratifs des spécimens ci-
dessus.

71 Série de projections, illustrant le déve-
à loppement du système lymphatique
106 des poissons.

107 Modèle du cerveau d'un embryon de
chat.

108 Modèle de l'embryon d'un furet *in utero*
× 75, éloigné de la mère 14 jours après
la copulation.

109 Modèle de l'embryon d'un furet *in utero*
× 100, éloigné de la mère 15 jours
après la copulation :—

(a) L'utérus avec les membranes sur
le mur utérin.

(b) L'embryon en trois sections,
avec quelques parties des
diverses membranes attachées.

110 Modèle de la tête du chat démontrant
l'application de la méthode de la
topographie rectiligne.

111 Les instruments stéréotaxique :—

(a) Le premier modèle.

(b) Le deuxième modèle.

(c) Le nouveau modèle ayant le
même chassis que (b); attaché
à la cage et au support se
trouve un équatorial avec une
porte-aiguille ayant le mouve-
ment universel, et avec un
indicateur à trois dimensions
ayant trois grilles ajustables
et une aiguille indexe, qui est
gouvernée par les grilles.

112 Une cage pour mesurer et percer.

113 Une scie pour couper des sections de
2 millimètres, du crâne gélé.

114 Une grille ajustable à fils croisés pour les
toile à photographie.

115 Une série de photographies du crâne du
chat et du singe avec des échelles
réglées, qui servent comme des cartes
pour diriger les mouvements de l'in-
strument stéréotaxique.

116 Aiguilles, trépons, tubes, etc.

Exposé par :

- M. le Dr. Aubrey T. 117 Une série de micro-photographies de la
Mussen, Munich. à racine du cerveau du *Macacus Rhesus*,
270 illustrant la topographie des noyaux
centraux et la méthode de les localiser
par moyen de l'instrument stéréotaxique
de Dr. R. H. Clarke.

..	<i>Locus cæruleus.</i>
..	<i>Radix mesencephalici N. trigemini.</i>
..	<i>Brachium conjunctivi cerebelli.</i>
..	<i>Lemniscus lateralis.</i>
..	<i>Eminentia teres.</i>
..	<i>Genu radialis N. facialis.</i>
..	<i>Nucleus abducens.</i>
..	<i>Radix N. abducentis</i>
..	<i>Fasciculus longitudinalis dorsalis.</i>
..	<i>Nucleus Deiteri.</i>
..	<i>Nucleus Bechterewi.</i>
..	<i>Tractus tecto-spinalis et bulbaris.</i>
..	<i>Formatio reticularis.</i>
..	<i>Lemniscus medialis.</i>
..	<i>Tractus cortico-spinalis.</i>
..	<i>Nucleus olivaris inferioris.</i>
..	<i>Fibræ intra-olivares.</i>
..	<i>Tractus cerebello-olivares.</i>
..	<i>Tractus spino - cerebellaris - ventralis</i> (Gowers).
..	<i>Tractus spino - cerebellaris - dorsalis</i> (Flechsig).
..	<i>Corpus restiforme.</i>
..	<i>Pons.</i>
..	<i>Gyrus.</i>
..	<i>Spleni.</i>
..	<i>Fornix.</i>
..	<i>Nucleus caudatus.</i>
..	<i>Pars occipitalis capsulæ internæ.</i>
..	<i>Pulvinar medianus.</i>
..	<i>Pulvinar lateralis.</i>
..	<i>Pulvinar nucleus anterior superior.</i>
..	<i>Lamella externa.</i>
..	<i>Zona reticularis.</i>
..	<i>Brachium tuberculum quad. sup.</i>
..	<i>Ventriculus lateralis.</i>
..	<i>Stratum zonale.</i>
..	<i>Striæ terminales.</i>
..	<i>Gyrus hippocampi.</i>
..	<i>Cornu ammonis.</i>
..	<i>Fascia dentatis.</i>
..	<i>Tuberculum quadrigeminum superius</i>
..	<i>Tuberculum quadrigeminum inferius.</i>
..	<i>Grisea centralis.</i>

Exposé par :

M. le Dr. Aubrey T.
Mussen, Munich.

,,

,,

,,

,,

,,

,,

,,

,,

,,

,,

M. le Dr. Purves Stewart,
F.R.C.P., Londres.

Nucleus angularis-Bechterewa

Nucleus caudatus.

Globus pallidus.

Tractus Foreli.

Putamen.

*Connection between caudate nucleus
and putamen.*

Nucleus amygdalæ.

Nucleus communicans.

Nucleus dentatus.

Lamella interna.

Lamella intermediaris

Nucleus funiculi cuneati.

271 Modèle d'instruction, démontrant les
étendues de la racine cutanée et les
diverses étendues des nerfs périphéraux
cutanés.

Réconstructions en cire démontrant :

M. le Prof. C. W. Ariëns
Kapper, and M. le Dr.
S.J. Lange, Amsterdam.

272 Un requin. (Hexanchus.)

,,

273 Des amphibies. (Rana.)

,,

274 Un reptile. (Chelone Mydas.)

,,

275 Un serpent. (Eunectes murinos.)

,,

276 Un reptile. (Varanus Salvator.)

,,

277 Un opossum. (Didelphys Marsap.) (Les
modèles ci-dessus illustrent le dé-
veloppement du *corpus striatum*.)

,,

278 Réconstruction en cire du cerebelle d'un
reptile.

,,

279 Idem.

,,

280 Une série d'12 photographies colorées
à illustrant la topographie des divers
291 noyaux moteurs de la moelle allongée
et du mésencéphale dans les cinq
classes du vertébrés.

,,

292 Une série de 10 dessins démontrant le
à développement des fissures et leur re-
301 lation avec quelques cytotechniques.

M. le Dr. Magnus Hirsch-
feld, Berlin.

Moulages en cire de :

,,

302 Vrai hermaphrodisme (doubles sexes).

,,

303 Vrai ou incertain hermaphrotisme (dé-
veloppement prématuré des attributs
de sexe masculin et féminin).

Exposé par :

- M. le Dr. Magnus Hirschfeld, Berlin.
- 304 Incertain pseudohermaphrotisme (faute de détermination de sexe).
- 305 Pseudohermaphrotisme de sexe masculin (le sexe incertain).
- 306 Idem.
- 307 Pseudohermaphrotisme de sexe masculin avec les parties génitales extérieures simulant le sexe féminin.
- 308 Pseudohermaphrotisme de sexe féminin avec les parties génitales extérieures simulant le sexe masculin.
- 309 Pseudohermaphrotisme de sexe féminin (faute de détermination de sexe).
- 310 Pseudoarrhénie (parties génitales extérieures d'une femme simulant le sexe masculin).
- 311 Pseudoarrhénie (coupe du bassin d'une femme avec des parties génitales extérieures simulant le sexe masculin).
- 312 Kryptorchisme et aplasie des testicules; azoospermie; infantilisme (les testicules non développés restent dans le canal inguinale).
- 313 Un cas de gynékomastie.
- 314 Une série de projections illustrant les divers degrés de sexes intermédiaires.
- 389 Une série de photographies illustrant :
- à (a) Développement féminin en hommes.
- 403 (b) Développement masculin en femme. (Androgynie, gynandrie, gynékomastie, variations de développement du bassin et des cheveux).
- (c) Types d'hermaphrotisme moral (homoséxualité et sexualité perversité).
- 404 Tableaux muraux illustrant les sexes intermédiaires du 1^e, 2^e, 3^e, et 4^e degrés.
- 1^e degré: hermaphrotisme et pseudohermaphrotisme.
- 2^e degré: androgynie et gynandrie.
- 3^e degré: transvestitisme.
- 4^e degré: homosexualité et bisexualité.

Exposé par :

- | | | |
|--|-----------------|---|
| M. le Dr. Magnus Hirschfeld, Berlin. | 405 | Diagramme montrant les voies de la conduction sexuelle. |
| „ | 405A | Diagramme montrant les reflets "escaliers." |
| M. le Dr. J. E. Gemmell, et M. le Dr. A. M. Paterson, Liverpool. | 406
à
408 | Trois photographies démontrant un cas de duplication de la vessie, de l'utérus, du vagin, et de la vulve. Une grossesse à terme et travail ont eu lieu successivement dans chaque utérus. |
| M. le Prof. J. Symington, Belfast. | 409 | Un modèle d'une grandeur originale d'une série de sections horizontales à travers l'abdomen et le bassin d'un adulte. |
| M. le Dr. John Elliott, Chester. | | <i>Des restes humains trouvés sur le site d'un Cimetière romain pendant les excavations faites en 1912 et 1913 pour la "New Infirmary" à Chester.</i> |
| „ | 410 | Crâne d'un squelette du type "méditerrané" trouvé dans un tombeau à dôme. |
| „ | 411 | Vaisseau et verre vésiculaire trouvés avec des restes du squelette. |
| „ | 412 | Une série d'os longs du même squelette. |
| „ | 413 | Crâne du type celtique; brachycéphalique. |
| „ | 414 | Une série d'os longs du même squelette. |
| „ | 415 | Crâne d'un homme, ayant environ 25 ans; il était occupé probablement comme travailleur de bronze pendant sa vie. |
| „ | 416 | Les objets trouvés dans le tombeau du même homme. |
| „ | 417 | Une série d'os longs du même squelette. |
| „ | 418 | Crâne du type "méditerrané"; hydrocéphalique; métopique; exostose dans chacun canal auditif extérieur. |
| „ | 419 | Des objets trouvés dans le tombeau. |
| „ | 420 | Une série d'os longs du même squelette. |
| „ | 421 | Crâne du type "méditerrané"; métopique; toutes les sutures sont ouvertes; l'abcès mastoïdien guéri. |
| „ | 422 | Les objets trouvés dans le tombeau. |
| „ | 423 | Une série d'os longs du même squelette. |
| „ | 424 | Crâne d'un homme "néolithique," qui avait environ 20 ans. |
| „ | 425 | Une série d'os longs du même squelette. |

Exposé par :

Des restes humains qui furent probablement dérangés, lorsqu'on construisait "The Old Infirmary" à Chester, et qui furent enterrés de nouveau au hasard.

- | | | |
|--------------------------------------|-----|---|
| M. le Dr. John Elliott. | 426 | Crâne du type "méditerrané", âgé de 20 à 25 ans. |
| " | | Une série d'os longs du même squelette. |
| " | 427 | Un crâne probablement du type "celtique". |
| " | | Une série d'os longs du même squelette. |
| " | 428 | Un crâne anormal; achondroplasie. |
| " | 429 | Crâne du type "méditerrané"; âgé d'environ 40 ans. |
| " | 430 | Un crâne; microcéphalique. |
| " | 431 | Idem. |
| " | 432 | Une série d'os longs, appartenant probablement aux squelettes précédents. |
| " | 433 | De divers objets trouvés avec les squelettes précédents. |
| M. le Dr. Douglas E. Derry, Londres. | 434 | Le crâne et les os du squelette d'un égyptien du temps des romains, qui a souffert d'hydrocéphalie accompagnée d'hémiplégie du côté gauche. |
| " | 435 | Le crâne scaphocéphalique d'un égyptien de la 12ième Dynastie. |
| " | 436 | Le crâne d'une jeune égyptienne, démontrant un très gros <i>foramen parietalis</i> du côté droit avec aplatissement tout autour. |
| " | 437 | Le bassin d'une négresse démontrant l'obliquité de Nægele. |
| | 418 | Photographie démontrant la tête d'un fœtus, entrant dans le bassin, du cas précédent. |
| M. le Prof. R. W. Reid, | 439 | Le crâne (mâle) de "ciste court" trouvé à Parkhill, Aberdeenshire en 1867. |
| , | 440 | Une série de photographies illustrant l'homme préhistorique du nord-est de l'Ecosse. |

SECTION II.—Physiologie.

Les appareils physiologiques sont exposés dans le Département Physiologique de la "London University," dans le Département Physiologique du "University College" et dans le Département Physiologique du "King's College."

Plusieurs démonstrations ont été arrangées et seront conduites par les Physiologistes des départements.

SECTION III.—Pathologie.

Exposé par :

- | | | |
|---|-----|---|
| M. le Professeur John A. Teacher, et M. le Docteur A. W. Harrington, Glasgow. | 441 | Fémur, côtes et colon vertébrale d'un cas de carcinome de l'estomac ; métastases et hyperplasie de la moëlle. |
| " | 442 | Idem. |
| M. le Docteur J. A. Cairns Forsyth, London. | 443 | Vésicule biliaire, avec des calculs et de pus, montrant carcinome villeux du cou. |
| " | 444 | Vésicule biliaire, avec des calculs. |
| " | 445 | Vésicule biliaire, d'un cas de cholécystite aiguë. |
| " | 446 | Idem. |
| " | 447 | Vésicule biliaire après excision pour hydropisie. |
| " | 448 | Vésicule biliaire d'un cas de cholécystite chronique. |
| " | 449 | Spécimen montrant contraction en sablier de la vésicule biliaire. |
| " | 450 | Foie montrant difformité causée par cirrhose. |
| " | 451 | Pancreas d'un cas de pancreatite hémorragique aiguë. |
| " | 452 | Vésicule biliaire du même cas. |
| " | 453 | Pancreas d'un cas de pancreatite hémorragique aiguë. |

Exposé par :

- | | |
|--|---|
| M. le Dr. J. A. Cairns,
Forsyth, Londres. | 454 Nécrose graisseuse du même cas. |
| „ | 455 Pancreatite interstitielle chronique. |
| „ | 456 Kyste multiloculaire pancréatique. |
| „ | 457 Rein montrant hydronéphrose en conséquence d'uretère mal placé. |
| „ | 458 Rein avec kyste simple. |
| „ | 459 Hématocèle du canal de Nuck. |
| „ | 460 Ulcération duodénale attaquant le pancréas. |
| M. le Docteur Matthew
Stewart, Leeds. | 461 Hémorrhagies focales nombreuses dans la rate; (traumatique). |
| M. Hastings Gilford,
F.R.C.S., Reading. | Série de dessins illustrant les maladies des glandes à sécrétion interne. |
| „ | 462 Progérie. |
| „ | 463 Acromégalie. |
| „ | 464 Maladie de Fröhlich. |
| „ | 465 Gigantisme infantile. |
| „ | 466 Maladie d'Addison. |
| „ | 467 Précocité sexuelle. |
| „ | 468 Idem. |
| „ | 469 Féminisme. |
| „ | 470 Ateleiosie. |
| „ | 471 Idem. |
| „ | 472 Crétinisme. |
| „ | 473 Goître exophtalmique. |
| „ | 474 Microcephalie. |
| M. Frank W. Pettigrew, | 475 Série de 5 sections illustrant fibromatose de l'estomac. |

SECTION IIIa.—Pathologie Chimique et Physiologie.

Exposé par :

M. le Dr. Hugh Maclean,
Londres.

*Série de préparations illustratives de
lipoides obtenues des tissus, avec
description des méthodes d'extraction,
purification, etc.*

- 476 Spécimens de *lécithine*.
 „ 477 Spécimen de *cuorin*.
 „ 478 Spécimen de *diamino-monophosphatide*.
 „ 479 Spécimen de lipoides solubles dans l'eau.

M. le Dr. W. Moir,
Londres.

480 Substances lipoides obtenues d'un cerveau
copte, A.D. 500.

M. le Prof. S. B.
Schryver, Londres.

481 Spécimens chimiques, illustrant les re-
cherches sur les acides biliaires.

M. le Dr. J. W. McNee,
Glasgow.

482 Colorimètre de Königsberger-Autenrieth-
Funk pour l'estimation du contenu
cholestérine du serum.

M. le Dr. H. M. Vernon,
Oxford.

483 Courbe montrant l'action de concentra-
tions diverses d'ethyl alcool sur le
cœur de la tortue.

„ 484 Courbe montrant l'action d'alcool
isopropyl sur le cœur d'une tortue.

„ 485 Courbes montrant l'action de d'alcool
methyl, ethyl, isopropyl, isobutyl et
isoamyl sur le cœur d'une tortue.

„ 486 *Méthode collective à estimer indophenol-
oxidase dans les tissus animals.*

Phase 1.

„ 487 Phase 2. Formation d'indophenol-bleu.

„ 488 Phase 3. Extraction de l'indophenol.

„ 489 Solution d'indophenol filtré.

„ 490 Solution d'indophenol dilué de la nuance
d'étalon.

„ 491 Solution étalon d'indophenol.

„ 492 Courbes montrant l'action des concen-
trations diverses de l'alcool. ethyl,
methyl, isopropyl, isobutyl, et isoamyl
sur l'indophenol oxidase présent dans
le rein du lapin.

Exposé par :

- | | | |
|--|-----|--|
| M. le Dr. G. Barger,
Londres. | 493 | Spécimens d'amines putréfactives obtenus des albumines. |
| „ | 494 | Courbe illustrative de l'action physiologique des ci-dessus. |
| M. le Prof. Dr.
Abderhalden, Halle. | 495 | Appareil pour la détermination des ferments vis-à-vis les substances étrangères au sang. |
| „ | 496 | Appareil pour la méthode dialysant pour la découverte de substances étrangères au sang. (Méthode optique). |
| „ | 497 | Tubes d'observation et jaquet à refroidir. |
| „ | 498 | Distillateur pour la préparation de peptone des organes. |
| „ | 499 | Appareil pour l'extraction de graisse des organes graisseuses. |
| „ | 500 | Une caisse des tubes sérum pour prendre des spécimens de sang. |

Analyse chimique des constituents normaux et pathologiques de l'urine, des matières fécales et du suc gastrique. Les expériences ont été choisies par les exposants comme les plus dépendables.

(a) *Urine.*

- | | | |
|--|-----|---|
| M. le Dr. Kennaway
et M. le Dr. J. H.
Ryffel, Londres. | 501 | Azote total. (Méthode Kjeldahl.) |
| „ | 502 | Ammoniaque. (Méthode Folin.) |
| „ | 503 | Ammoniaque et acidité. (Méthode formaline.) |
| „ | 504 | Créatinine. (Méthode Folin.) |
| „ | 505 | Acide urique. (Méthode Hopkins-Folin.) |
| „ | 506 | Bases puriques. (Méthode Camerer-Armstein modifiée.) |
| „ | 507 | “Urée” au sang. (Méthode hypobromite d'Yvon-Ambard.) |
| M. le Prof. S. B.
Schryver, Londres. | 508 | Chlore dans l'urine. (Méthode Volhard.) |
| M. le Dr. Hugh
Maclean, Londres. | 509 | Albumine : <i>qualitative</i> . (Essai d'acide salicyl-sulphonique.) |
| „ | 510 | Idem. (Essai de coagulation (chaleur).) |
| „ | 511 | Idem. (Essai nitrique acide froide.) |
| | | <i>Méthodes à distinguer entre albumine et les substances dérangeants :</i> |
| „ | 512 | Nucleo-proteine. |

Exposé par :

M. le Dr. Hugh
Maclean, Londres.

- 513 Mucin.
514 Phosphates.
515 Urée.
516 Résines, etc.
517 Albumine : *quantitative*. (Albumino-
mètre d'Esbach.)
518 Proteoses dans l'urine : corps de Bence-
Jones. (Essai acide salicyl-sulphon-
ique.)
519 Idem. (Essai acide nitrique.)
520 Idem. (Essai acide acétique et chlorure
de soude.)
521 Idem. (Formation de coagulum dans le
procès de chauffage; il disparaît quand
on chauffe davantage.)
522 Sucre : *qualitative*. (Essai Fehling.)
523 Idem. (Essai safranin).
524 Idem. (Essai Trommer.)
525 Idem. (Essai phenyl-hydrazin).
526 Idem. (Essai de fermentation).
527 Sucre : *quantitative*. (Méthode Bertrand).
528 Idem. (Méthode Pavy.)
529 Péntosurie. (Essai Bial.)
530 Essais pour montrer l'effet de créatinine
dans l'urine sur l'essai Fehling et
l'interprétation de certains réactions
anormales.

Dr. Mackenzie Wallis,
Londres.

- 531 Pigments de bile. (Essai Huppert).
532 Idem. (Essai Huppert modifiée).
533 Idem. (Essais électrolyses).
534 Sels biliaires. (Essais Hay).

Sang et Pigments :

- 535 Haémoglobine. (Essai spectroscopique).
536 Idem. (Essai gaiac).
537 Idem. (Essai tolidine).
538 Methemoglobine. (Essai spectroscopique).
539 Hématoporphyrine. (Essai spectroscopique).
540 Idem. (Séparation d'acide hématoporphyrine).

Expos par :

- Dr. Mackenzie Wallis. 541 Urobiline. (Essai spectroscopique).
Londres.
- „ 542 Idem. (Essai chimique).
„ 543 Spécimens d'urochome dans l'urine.
„ 544 Spécimen d'uro-rosein et d'uro-érythrine.
„ 545 Spécimen de bleu méthylène dans l'urine
„ 546 Spécimen d'urine contenant d'acide
carbolique
„ 547 Pus dans l'urine. (Essai microscopique).

Corps acétoniques :

- M. le Dr. W. H. Hurtley. 548 Acide aceto-acétique. (Essai chlorure
ferrique).
„ 549 Idem. (Essai Arnold).
„ 550 Idem. (Essai Riegler et modification).
„ 551 Idem. (Essai Rothera d'acétone, comme
essai pour acide aceto-acétique).
„ 552 Idem. (Un nouveau essai).
„ 553 Idem. (Estimation colorimétrique par
le nouveau essai).
- M. le Dr. Mackenzie 554 Acide β -oxybutyrique (essai chimique).
Wallis, Londres.
„ 555 Spécimen d'ethyl β -oxybutyrique.
„ 556 Indican (essais divers pour comparaison).
„ 557 Cystinurie. (Spécimens montrant cris-
taux cystines).
„ 558 Idem. Séparation et estimation de cys-
tine.
„ 559 Idem. Préparations microscopiques de
cristaux.
„ 560 Alkaptonurie. Spécimens d'urine mon-
trant l'assourdissement caractéristique
en repose.
„ 561 Idem. Essais divers qui dépendent de
la présence d'acide homogéntisique.
(a) Essai Fehling.
(b) Essai azotate d'argent ammoniacal.
(c) Essai chlorure ferrique
„ 562 Idem. Spécimens d'acide homogéntisique.
„ 563 Diaminurie. Spécimen de *putrescin* et
de *cadaverin* isolé de l'urine.

(b) *Féces.**Exposé par :*

- M. le Dr. Francis H. 564 Sang occulte : (essai benzidine).
 Goodbody, Londres.
 „ 565 Idem ; (essai aloïne).
 „ 566 Urobiline (essai chlorure mercurique).
 „ 567 Essai Schmidt—fermentation.
 „ 568 Extraction de graisse des féces.
 „ 569 Gros intestin, montrant les places de la
 conversion de urobilinogène à urobi-
 line.
 „ 570 Estimation d'acides volatiles. (Méthode
 Harley.)

Spécimens microscopiques de :

- „ 571 Fibres musculaires en féces.
 „ 572 Cellules végétales en féces.
 „ 573 Mucus en féces.
 „ 574 Granules d'amidon en féces (tachées
 de iode et de iodure de potassium).
 „ 575 Acides volatiles. (Méthode Harley, aussi
 convenu à contenu d'estomac.)
 „ 576 Découverte microscopique des fibres
 musculaires.
 „ 577 Découverte microscopique des cellules
 végétales.
 „ 578 Découverte microscopique de mucus.
 „ 579 Découverte microscopique de granules
 d'amidon (tachées de iode et de iodure
 de potassium).

Parasites intestinaux.

- M. le Dr. F.T. Bridgeman, 580 Kystes *tænia saginata* en veau.
 Londres.
 „ 581 Kyste echinococcus dans la foie d'un
 mouton.
 „ 582 *Tænia cænurus*.
 „ 583 *Tænia saginata*.
 „ 584 *Tænia solium*.
 „ 585 *Tænia expansa*.
 „ 586 *Solenophorus megaloccephalus*.
 „ 587 *Tænia cucumerina*.
 „ 588 *Bothriocephalus latus*.

Exposé par :

- M. le Prof. J. W. W. 589 Série de spécimens illustrant la vie
 Stephens, Liverpool. à du vers solitaire commun de l'homme,
 616 du chat et du chien.

Amœba coli.

- M. le Dr. A. C. Stevenson, *Spécimens microscopiques montrant :*
 Londres. 617 Préparation des contenus du cæcum.
 „ 618 Section du cæcum.
 „ 619 Kystes en section du cæcum.

Trichomonas intestinalis.

- Spécimens microscopiques montrant :*
 „ 620 Section du cæcum.
 „ 621 Préparation du contenu.

Lambliæ intestinalis.

- „ 622 Spécimen microscopique d'une section de
 jéjunum montrant parasite.

Coccidiosis de l'intestin.

- „ 623 Spécimen microscopique montrant section
 du gros intestin.

(c) Contenu gastrique.

- M. le Dr. P. A. Panton 624 Acide chlorhydrique libre. (Méthode
 et M. le Dr. Tidy, Günsburg et Töpfer).
 Londres.
 „ 625 Acidité libre et totale.
 M. le Prof. S. B. Schryver, 626 Pepsine. (Méthode Fuld et Levisohn).
 Londres.

Fluides pseudo-chyleux.

- MM. Les Drs. Gaskell 627 Spécimens de fluides pseudo-chyleux
 et Mackenzie Wallis, ascitiques.
 Londres.
 „ 628 Essais divers, illustrant les propriétés
 physiques et chimiques [des fluides
 pseudo-chyleux.

Exposé par :

M. le Prof. Otto Folin,
M.D., Boston.

„

„

„

„

„

M. le Prof. Dr. Adolf
Schmid, Halle.

„

„

„

„

„

„

M. John McCall,
Glasgow.

Méthodes nouvelles et rapides d'analyse :

629 Détermination de l'azote totale en urine.

630 Détermination de l'urée en urine.

631 Détermination d'ammoniaque préformée
en urine.

632 Détermination de l'acide urique dans
l'urine et sang.

633 Détermination de l'azote non-albumin-
euse dans le sang.

634 Détermination l'urée dans le sang.

635 Modèle montrant les apparences de fèces
d'une diète à viande.

636 Modèle montrant les apparences de fèces
d'une diète à végétales.

637 Modèle montrant les apparences de fèces
d'une diète à lait.

638 Modèle montrant les apparences de fèces
d'une diète d'essai (fèces normales).

639 Modèle montrant les apparences de fèces
de constipation.

640 Modèle montrant les apparences de fèces
en dyspepsie de fermentation.

641 Modèle montrant les apparences de
fèces en tuberculose des glandes
mésentériques :

En psilosis.

En pancréatite.

En cölite sévère.

642 Basculer pour l'enregistrement des lignes
droites dans le travail physiologique.

SECTION IV.—Bactériologie et Immunité.

I.—LA LÈPRE.

Exposé par :

M. le Dr. Bayon.

- 643 La rate d'un cas de la lèpre, les lésions
simulant celles du tubercule.
- 644 L'intestin du même cas.
- 645 Les lésions de la rate d'un lépreux.
Spécimens microscopiques :
- 646 Préparation de la peau d'un lépreux.
- 647 Préparation de la culture Kedrowsky.
- 648 Préparation de la culture Duval.
- 649 Préparation de la culture Clegg.
- 650 *Streptothrix* Lister et William, de la rate
d'un lépreux.
- 651 Préparation de la culture Rost.
- 652 Préparation de la culture de la lèpre de
rat.
- 653 Injection intra-veineuse avec les bacilles
Kedrowsky dans le foie d'un lapin.
- 654 La peau d'un rat, souffrant de la lèpre de
rat.
- 655 La peau d'un lépreux.
- 656 La peau de la rate d'un rat, qui a été
inoculé du virus de la lèpre (2^{ème}
passage).
- 657 La rate d'une souris, qui a été injecté
avec des bacilles Kedrowsky.
- 658 La peau d'une variété "lupoïde" de la
lèpre, montrant des cellules géantes.
- 659 L'inflammation caséuse et nécrose dans
le foie d'un lépreux.
- 660 Une série de photographies illustrant
des apparences cliniques diverses des
lésions de la lèpre.
- 661 Une série de photographies illustrant
les variétés des bacilles de lèpre.
- 662 Une série de cultures des "säure-feste"
bacilles sur du lait, de la beurre, de la
graisse, de la fiente, de smegme, de la
terre, etc.

Exposé par :

M. le Dr. Bayon.

M. le Dr Twort,
Londres.

„

„

„

„

„

„

„

663 Microbes de source diverses, les bacilles de tubercule comprises.

Une série de cultures :

664 Les bacilles de Johne.

665 Les bacilles de tubercule humain.

666 Les bacilles de tubercule bovine.

667 Les bacilles de tubercule des oiseaux.

668 Une série de préparations microscopiques des cultures ci-dessus.

669 Des sections démontrant les bacilles de Johne.

670 Les intestins et les glandes des maladies de Johne.

671 L'extrait de "bacillus phlei" et de bacilles poudrés employés dans la culture.

II.—LE CANCER.

M. le Dr. E. F. Bashford,
Londres.

Des cartes d'expériences illustrant les faits principaux de l'immunité ou de la résistance à la croissance des tumeurs transplantées.

„

672 Inoculations hétérologues; pas de protection par l'inoculation de sarcome contre carcinome.

„

673 Inoculations homologues; immunisation par de la peau.

„

674 Idem.

„

675 Idem; l'étendue et la duration de la résistance.

„

676 Idem; protection par tumeur spontanée et par de la peau.

„

677 Idem; l'effet immunisant des tissus normaux.

„

678 L'effet immunisant est détruit en étant exposé au radium.

„

679 (a) Croissance temporaire du foie normal de souris dans des souris normales.
(b) Caractère temporaire de la croissance de la tumeur indifférenciée dans les souris normales.

„

680 Différence entre la vitesse de la croissance des tumeurs de la 1ère et de la 19ème générations.

Exposé par :

- M. le Dr. E. F. Bashford, 681 La différence entre la vitesse de la croissance de deux variétés de tumeurs.
Londres.
- „ 682 La croissance progressive des tumeurs de certaines variétés..
- „ 683 La disposition de développer des tumeurs après la ré-inoculation.
- „ 684 L'enlèvement des tumeurs ne change rien à la disposition originale du développement de certaines tumeurs dans les souris.
- „ 685 La croissance d'une tumeur, et l'enlèvement subséquent de la même ne rendent pas les souris incapable d'être inoculé de nouveau.
- „ 686 L'induction d'une considérable résistance relative contre ré-inoculation.
- „ 687 Sarcome, qui rend la majorité de souris indifférentes quand ré-inoculées.
- „ 688 Sarcome de rat, produisant un haut degré d'immunité, qui rend les rats indifférentes contre la ré-inoculation. L'excision incomplète ne rétablit pas leur susceptibilité.
- „ 689 Tumeurs, qui produisent un très haut degré d'immunité, peuvent rendre les souris indifférentes contre ré-inoculation. La résistance continue malgré la cessation de la croissance de la tumeur.
- „ 690 Induction de résistance de certaines variétés dans toutes les souris.
- „ 691 Inoculation simultanée de tumeurs de types différents de croissance ; la tumeur, qui croît progressi vement, est affectée visiblement.
- „ 692 Immunité de certaines espèces de sarcome empêche le développement des greffes de carcinome.
- „ 693 Immunisation des animaux, qui ont des tumeurs, contre ré-inoculation.

Statistiques.

- , 694 L'augmentation de morts du cancer de tous les organes en Angleterre et le Pays de Galle (du sexe féminin).

Exposé par :

- M. le Dr. E. F. Bashford, 695 Une carte correspondante (du sex masculin).
Londres.
- „ 696 L'analyse de l'augmentation des morts du cancer suivant l'organe attaqué (du sexe masculin).
- „ 697 L'analyse de l'augmentation des morts du cancer suivant, l'organe attaqué (du sexe féminin).
- „ 698 Mortalité causée par le cancer des différentes parties du corps: arrangé d'après âge et sexe.

Hérédité.

- „ 699 Une courbe démontrant le nombre de morts causées par le néoplasme malin en 100 morts, de toutes causes, de souris femelles provenant des ancêtres cancéreux récents, comparé avec la même proportion de souris femelles ayant des ancêtres cancéreux plus lointains.
- „ 700 Les courbes démontrant le nombre de morts du cancer dans ces deux groupes de souris.
- „ 701 Généalogie démontrant des ancêtres cancéreux et non cancéreux de souris.

Cartes de propagation.

- „ 702 La propagation de tumeur, qui a produit le sarcome irrégulièrement et ensuite a perdu cette puissance.
- „ 703 La propagation d'une tumeur, qui a produit le sarcome régulièrement dans toutes souris pendant long temps, mais qui à présent perd cette propriété.
- „ 704 La propagation du carcinome squameux, démontrant la perte graduelle de la kératinisation.

Spécimens microscopiques.

- „ 705 Carcinome squameux du cardia de la souris.
- „ 706 Carcinome alvéolaire des mamelles de la souris; métastase dans la glande lymphatique de l'aorte.

Exposé par :

- M. le Dr. E. F. Bashford, 707 Carcinome mammaire spontané dans la
Londres. région inguinale d'une souris; meta-
stase de la glande lymphatique de
l'aorte.
- 708 Un groupe des quatre glands axillaires
démontrant la métastase du carcinome
mammaire.
- 709 La glande lymphatique axillaire avec
métastase de l'adéno-carcinome kysti-
que papillaire des mamelles.
- 710 Tumeur spontanée démontrant la juxta-
position de l'épithéliome granulaire et
squameux.
- 711 La même tumeur de la 8ème génération.
Réproduction parfaite de la structure
du épithéliome stratifié dans le mur du
kyste épithélial.
- 712 Adéno-carcinome du rein.
- 713 Adéno-carcinome de l'ovaire.
- 714 Idem. de la glande préputiale.
- 715 La glande préputiale normale d'une
souris adulte (mâle).
- 716 Une tumeur mélanique.
- 717 Carcinome squameux de la surface de
la figure.
- 718 Carcinome squameux; la kératinisa-
tion complète typique.
- 719 Adéno carcinome papillifère kystique
des mamelles d'une croissance très
lente et d'une structure constante.
- 720 Guérison: absorption d'une tumeur
spontané.
- 721 Carcinome mammaire, qui forme
glycogène; une tumeur transplantée
de la 25ème génération.
- 722 Six préparations démontrant les phases
à dans le développement du sarcome
727 pendant la propagation de carcinome.
- 728 La tumeur de développement sar-
come; ancienne "tumeur mixte" avec
formation circulaire.
- 729 Une variété du carcinome à cellules
fusiformes. Dans l'ancienne tumeur
il y a un retour plus ou moins
complet à l'état acineux de cette
variété.

Exposé par :

- M. le Dr. E. F. Bashford, 730 Développement du sarcome dans une
Londres. tumeur spontanée.
- „ 731 Métastase dans le poumon; carcinome
primaire dans le foie d'une vache.
- „ 732 Formation d'un nouveau stroma dans la
"première phase" d'une tumeur.
L'animal fut tué quatre jours après
l'inoculation.
- „ 733 Une greffe entière dans une souris
immune, conservée cinq jours après
l'inoculation.

Des Spécimens Macroscopiques.

- „ 734 Les spécimens démontrant les néoplasmes
à malins dans la vache, et les tumeurs
753 spontanées et transplantées de la souris,
du rat, du cobaye et du lapin.
- M. le Dr. G. W. Nicholson. 754 Carcinome transplanté du rein d'un rat.
- „ 755 Une tumeur de la troisième génération.
- „ 756 Idem.
- „ 757 Une tumeur de la cinquième génération.
- „ 758 Une tumeur de la huitième génération.
- M. le Dr. A. J. Gelarie, Une série de modèles de figures mito-
Liverpool. tiques :—
- „ 759 Carcinome transplanté de souris (Stamm
11 d Ehrlich). ()
- „ 760 Carcinome transplanté de souris.
- „ 761 Idem.
- „ 762 Idem.
- „ 763 Idem.
- „ 764 Idem.
- „ 765 Idem. (La tumeur de souris, "Glasgow.")
- „ 766 Carcinome spontané du cou d'une souris.
- „ 767 Idem.
- „ 768 Glande squirrheuse d'homme (de l'aisselle).
- „ 769 Idem.
- „ 770 La prolifération d'épithélioma de l'oreille
d'un lapin.
- „ 771 Une série de sections microscopiques
illustrant les modèles ci-dessus.
- „ 772 Une série de photographies stéréo-
scopiques illustrant les modèles ci-
dessus.

Exposé par :

- M. le Dr. A. J. Gelarie, 773 Une série de projections illustrant les
Liverpool. modèles ci-dessus.
- MM. les Drs. E. H. et 774 Un spécimen microscopique montrant la
H. C. Ross et J. W. production artificielle de tumeurs par
Cropper, Londres. l'inoculation directe des agents chimiques (méthode de gélée).
- „ 775 Une section microscopique de l'adénome
induit dans la poitrine de la chèvre.
- „ 776 Idem.
- „ 777 Spécimen de l'adénome induit dans la
poitrine de la chèvre.
- „ 778 Idem.
- „ 779 Spécimen microscopie de la division
induite des cellules et de leur reproduction (méthode de gélée).
- „ 780 Une série de 20 projections de la division
induite des cellules (lymphocytes).
- „ 781 Trois préparations microscopiques de la
même.
- M. le Prof. Friedberger, 782 Une série de photographies de lumière
Charlottenburg. en verre :
- „ (3878) Poumon gonflé d'empoisonnement avec
anaphylatoxine (à gauche) et d'anaphylaxie active (à droite).
- „ (3879) La section du poumon d'un cobaye, mort
d'anaphylatoxine.
- „ (3880) Section du poumon du cobaye; action
primitive d'antisérum.
- „ (3881) Idem, anaphylaxie active.
- „ (3882) Le cours de la pression sanguine et la
respiration dans le choc anaphylactique
du lapin.
- „ (3883) L'influence de l'anaphylatoxine sur le
cœur isolé d'une grenouille.
- „ (3884) L'influence de l'extrait dysentérique sur
l'intestin du lapin. (L'expérience de
Magnus.)
- „ (3885) L'influence de sérum du cobaye normal
sur l'intestin du lapin.
- „ (3886) L'influence sur l'intestin du lapin d'ana-
phylatoxine préparée des bacilles
dysentériques avec le sérum du
cobaye normal.
- „ (3887) La disparition du complément dans l'ana-
phylaxie active vis à vis le sérum du
cheval dans le cobaye.

Exposé par :

- M.le Prof. Friedberger, Charlottenburg. (3888) Idem. dans l'anaphylaxie vis-à-vis l'albumine d'oeuf.
- „ (3889) Anaphylaxie dans les cobayes, qui ont été traités avec l'anti-complément.
- „ (3890) Formation d'anaphylatoxine dans la solution de sel hypertonique.
- „ (3891) Idem, dans le sérum kaolinisé.
- „ (3892) Idem, dans le sérum agité.
- „ (3893) La nécessité de l'amboceptor pour la formation d'anaphylatoxine.
- „ (3894) L'influence de réaction sur l'anaphylatoxine.
- „ (3895) Expériences d'anaphylatoxine avec le venin de cobra.
- „ (3896) Idem.
- „ (3897) Les proportions quantitatives dans la formation d'anaphylatoxine de bacilles tuberculeuses.
- „ (3898) Idem (bacilles dégagées d'albumose).
- „ (3899) Anaphylaxie actives de bacilles de Koch.
- „ (3900) Anaphylaxie passives de bacilles de Koch.
- „ (3901) Idem.
- „ (3902) Anaphylaxie active vis-à-vis les vibrions Metschnikoff.
- „ (3903) Idem.
- „ (3904) Anaphylaxie passive.
- „ (3905) Une série de courbes de température de
à la fièvre anaphylatique.
- „ (3914)
- „ (3915) Courbes de température illustrant
à l'hypersensibilité vis-à-vis l'iode.
- „ (3919)
- „ (3920) L'action d'un antisérum vis-à-vis la levure sur un lapin.
- „ (3921) L'influence du temps occupé dans l'injection sur anaphylaxie.
- „ (3922) Appareil pour l'injection lente pour éviter les symptômes d'hypersensibilité.
- „ (3923) Influence du volume de la dose suivante.
- „ (3924) Action inhibitoire du froid sur l'anaphylaxie.
- „ (3925) Influence de l'âge sur l'anaphylaxie.

Exposé par :

- M. le Prof. Friedberger, (3926) Comparaison de l'hypersensibilité dans
 Charlottenburg. à les animaux nouveaux-nés et celle des
 (3931) animaux plus âgés.
 „ (3932) Une série de tables illustrant la spécifi-
 à cité d'anti-anaphylaxie et de la résis-
 (3935) tance générale.

IV.—SYPHILIS.

Leucocytozoon Syphilidis.

- M. G. E. R. McDonagh, Une série de photographies illustrant :
 Londres.
 „ 783 Trophozoite dans les cellules conjonctives
 commençant à pousser pour former
 les merozoites sexuels.
 „ 784 Un développement plus avancé.
 „ 785 Trophozoite dans les cellules conjonctives.
 „ 786 Scission binaire du même.
 „ 787 La première sub-division de trophozoite
 au moment de la formation d'un
 sporocyste sexuelle.
 „ 788 La deuxième sub-division du même.
 „ 789 Sporocyste asexuelle.
 „ 790 Sporocyste asexuelle avec sporocyste
 secondaire.
 „ 791 Idem.
 „ 792 Micro-gametocyte extracellulaire.
 „ 793 Micro-gametocyte intracellulaire.
 „ 794 Micro-gametocyte montrant trois corps
 nucléaires.
 „ 795 Un développement plus avancé des trois
 corps nucléaires.
 „ 796 Repli de spirochaetes.
 „ 797 Le développement extracellulaire du
 micro-gametocyte.
 „ 798 Un développement plus avancé du même.
 „ 799 Idem.
 „ 800 Macro-gametocyte.
 „ 801 Macro-gamete.
 „ 802 Macro-gamete juste après la fertilisation.
 „ 803 Zygote.
 „ 804 Scission binaire de zygote.
 „ 805 Formation sporoblastique de zygote.

Exposé par :

- | | |
|---|---|
| M. G. E. R. McDonagh,
Londres. | 806 Développement plus avancé des sporoblasts. |
| " | 807 Sporocyste sexuel. |
| " | 808 Sporocyste sexuel avec un sporoblaste s'en dégageant. |
| " | 809 Sporoblaste. |
| " | 810 Sporoblaste et sporozoite. |
| " | 811 Scission binaire de sporoblaste. |
| " | 812 Des sporozoites développés d'un sporoblaste. |
| " | 813 Schéma du cycle de la vie du <i>leucocystozoon syphilidis</i> . |
| " | 814 Dessin démontrant le développement des replis de spirochètes (d'une lésion syphilitique de peau). |
| " | 815 Dessin démontrant les degrés de développement (section d'une glande lymphatique). |
| <i>Une série de préparations microscopiques démontrant :</i> | |
| " | 816 Trophozoite dans la cellule conjonctive. |
| " | 817 Micro-gametocyte extracellulaire. |
| " | 818 Micro-gametocyte intracellulaire. |
| " | 819 Repli de spirochètes. |
| " | 820 Macro-gametocyte. |
| " | 821 Zygote. |
| " | 822 Scission binaire de zygote. |
| " | 823 Formation sporoblaste de zygote. |
| " | 824 Sporocyste sexuelle. |
| " | 825 Idem. |
| " | 826 Sporoblaste. |
| " | 827 Sporozoite. |
| MM. les Drs. E. H. et
H. C. Ross et
J. W. Cropper, Londres. | 828 Spécimen microscopique des parasites intracellulaires de la syphilis et ses homologues dans autres animaux. ("méthode de gelée"). |
| " | 829 Des organes syphilitiques des cobayes et des lapins. |
| " | 830 Une série de spécimens microscopiques des parasites syphilitiques dans les cobayes et les lapins. |

Exposé par :

- MM. les Drs. E. H. et H. C. Ross et J. W. Cropper, Londres. 831 Diagramme démontrant les parasites dans la syphilis humaine; (*lymphocytozoon pallidum*).
- „ 832 Diagramme démontrant la parasite de la syphilis de cobaye (*lymphocytozoon cobaye*).
- Mme. Fuchs (Docteur), Paris. 833 Une série de spécimens microscopiques de *spirochete pallida* et des formes y appartenant.

V.—GÉNÉRAL.

- M. le Prof. Goldmann, Freiburg. 834 Les organes alimentaires du rat, coloré vitale avec pyrrhol-bleu.
- „ 835 Le cerveau et le système nerveux du lièvre, coloré vitale avec pyrrhol-bleu.
- M. le Dr. J Braxton Hicks, Londres. 836 Une série de cultures du *micrococcus zymogenes*.
- „ 837 Une série de cultures illustrant les caractéristiques d'un membre du groupe proteus.
- M. le Dr. H. M. Woodcock, Londres. 838 Préparation microscopique de *selenomastix rumimantium*, un nouveau type de protiste.
- M. le Dr. Alexander Paine, Londres. 839 Cage, avec un arrangement simple à recueillir les excretions solides et liquides séparément.
- „ 840 Un filtre bactérien, pour filtrer des petites quantités de liquide.
- M. John Maclean, Chiswick. 841 Une série de bassins de Petri et de tubes à culture, illustrant une méthode d'isolation des organismes (Modification de la méthode de Walker).
- MM. les Drs. E. H. et H. C. Ross et J. W. Cropper, Londres. 842 Spécimen microscopique de parasites (inclusions de cellule) de la scarlatine et de la rougeole ("méthode de gelée").
- „ 843 Diagramme de parasites de la scarlatine.
- „ 844 Spécimen microscopique, illustrant l'influence de l'environ sur les amibes ("méthode de gelée").
- „ 845 Dessin d'une nouvelle espèce d'amibe (*amoeba ostrea*).
- „ 846 Dessin d'une préparation d'amibes.
- „ 847 Une série de dessins d'amibes, coloré par la "méthode de gelée".

Exposé par :

- | | |
|---|---|
| MM. les Drs. E. H. et
H. C. Ross et J. W.
Cropper, Londres. | 848 Dessin de la conjugaison de l'amibe. |
| " | 849 Une série de dessins démontrant la variation dans les types d'amibes. |
| " | 850 Dessin de la préparation des pures cultures mixtes de l'amibe. |
| " | 851 Dessin démontrant les changements dans le noyau vivant de l'amibe. |
| M. F. R. Chopping,
Londres. | 852 Un nouveau modèle de machine à agiter. |
| " | 853 Une nouvelle forme de bouteille à goutte. Specimens de "solmédia"; pour la préparation du milieu de cultures bactériologiques : |
| " | 854 Agar-agar. |
| " | 855 Bouillon-peptone. |
| " | 856 "MacConkey." |
| " | 857 "Drigalski-Conradi." |
| " | 858 "Sabouraud." |
| " | 859 Une série de cultures d'organismes divers, cultivées sur "solmédia." |

SECTION VI.—Médecin.

I.—LE CŒUR.

Exposé par :

- | | | |
|---|-----|--|
| M. le Dr. J. H. Teacher,
Glasgow. | 860 | Spécimen montrant rupture du muscle papillaire de la valvule mitrale: mort subite. |
| M. le Dr. W. T. Ritchie,
Edinbourg. | 861 | Electrocardiogramme d'ondulation auriculaire. |
| " | 862 | Idem. |
| " | 863 | Idem. |
| " | 864 | Electrocardiogramme des extrasystolies (fibrillatoin auriculaire.) |
| " | 865 | Electrocardiogramme du " heart block." |
| " | 866 | Electrocardiogramme de l'action du vagus sur le cœur humain. |
| M. le Dr. A. M. Kennedy,
Glasgow. | 867 | Micro-photographies montrant les lésions en myocardite. |
| " | 868 | Micro-photographies montrant le nœud et le faisceau auriculo-ventriculaires |
| " | 869 | Micro - photographie montrant le nœud sino-auriculaire. |
| " | 870 | Micro - photographie montrant le mécanisme d'arrhythmie cardiaque en lésions valvulaires. |
| " | 871 | Micro-photographie montrant les lesions aiguës dans le faisceau auriculo-ventriculaire d'un cas de " heart block " partiel. |
| " | 872 | Micro-photographie montrant les lésions aiguës dans le nœud et le faisceau auriculo-ventriculaire dans un cas de " heart-block " complet en diphtérie. |
| " | 873 | Micro-photographies montrant des lésions chroniques dans le faisceau auriculo-ventriculaire dans un cas de " Adam Stokes " syndrome. |
| " | 874 | Micro-photographie montrant des lésions aiguës dans le nœud auriculo-ventriculaire dans des cas de " rythme nodulaire " en maladie cardiaque aiguë. |
| M. le Prof. Dr. Küpferle,
Freibourg. | 875 | Radiogrammes cinematographiques de l'action du cœur. |

II.—EXCISION DU THYROÏDE.

Exposé par :

- M. le Prof. Gley, Paris. 876 Squelette de lapin, éthyroïdé—2 mois 20 jours avant la mort.
- „ 877 Photographie du même animal.
- „ 878 Radiographie du même animal.
- „ 879 Squelette du lapin témoin.
- „ 880 Photographie du même animal.
- „ 881 Radiographie du même animal.
- „ 882 Photographie d'un lapin, éthyroïdé, montrant la paralysie des muscles extenseurs de la patte antérieure droite.
- „ 883 Photographie du même animal, montrant le développement des symptômes myxoedémateux avec exophthalmie. (A côté, un lapin normal.)
- „ 884 Photographie d'un lapin, éthyroïdé, montrant paralysie tardive des muscles extenseurs.

Autochromes : positif sur verre.

- M. le Prof. Gley, Paris. 885 Lapin éthyroïdé : “myxoedème fruste,” typique d'un lapin; troubles trophiques cutanés.
- „ 886 Idem, montrant troubles trophiques cutanés.
- „ 887 Lapin témoin de même race.
- „ 888 Photographie d'un lapin, éthyroïdé.
- „ 889 Photographie du lapin témoin.
- „ 890 Photographie d'un chien adulte après l'excision du thyroïde et du parathyroïde, suivi par les accidents convulsives et cachexia.
- „ 891 Positifs en verre d'un jeune chien après l'excision du thyroïde, suivi par paralysie des muscles extenseurs et les accidents convulsives.
- M. le Baron A. de Korányi, Prof. de Médecine, Buda-Pest. 892 Représentation graphique du cours des changements dans l'énumération des leucocytes dans les cas de leucémie, traité par benzol.
- M. le Dr. Adolf Schnee, Schwalbach. 893 Photographie d'un bain électrique à quatre cellules pour l'application interne générale et locale de courants diverse.

Exposé par :

M. le Dr. Adolf Schnee, 894 Photographie d'un "degrassateur," un appareil condenseur pour les décharges rythmiques d'électricité dans le traitement d'obésité, de maladie de cœur, de faiblesse musculaire, d'atrophie musculaire, de constipation chronique, etc.; montrant aussi une "chaise longue dégrassateur."

SECTION VII.—Chirurgie.

I.—LES AFFECTIONS MALIGNES DU GROS INTESTIN.

- Exposé par :*
M. le Prof. Dr. W. Körte, Berlin.
- | | |
|-----|--|
| 895 | Diagramme du colon avec ses vaisseaux (Waldeyer). |
| 896 | Carcinome du grand intestin, enlevé avec succès par opération. |
| 897 | Carcinome du caecum. Le malade a vécu 21 ans sans récurrence de la maladie. |
| 898 | Carcinome du caecum avec invagination. Le malade a vécu $18\frac{1}{2}$ ans sans récurrences de la maladie. |
| 899 | Carcinome de la sigmoïde. Le malade a vécu $10\frac{3}{4}$ ans sans récurrence. |
| 900 | Carcinome du colon ascendant. Le malade a vécu $9\frac{3}{4}$ ans sans récurrence de la maladie. |
| 901 | Idem. |
| 902 | Carcinome du colon descendant. Le malade a vécu $7\frac{1}{2}$ ans sans récurrence de la maladie. |
| 903 | Carcinome du colon ascendant. Le malade a vécu $6\frac{3}{4}$ ans sans récurrence de la maladie. |
| 904 | Carcinome de la sigmoïde. Le malade a vécu $3\frac{1}{4}$ an sans récurrence de la maladie. |
| 905 | Carcinome de la sigmoïde. Le malade a vécu $5\frac{1}{2}$ ans sans récurrence de la maladie. |
| 906 | Carcinome du côté droit du colon transverse. Le malade a vécu 4 ans 5 mois sans récurrence de la maladie. |
| 907 | Carcinome de la sigmoïde. Le malade a vécu $3\frac{1}{2}$ ans sans récurrence de la maladie. |
| 908 | Carcinome de la flexion splénique et du colon ascendant. |
| 909 | Carcinome de la flexion splénique et du colon descendant. Le malade a vécu $3\frac{3}{4}$ ans sans récurrence de la maladie. |

Exposé par :

M. le Prof. Dr. W.
Körte, Berlin.

- | | |
|--|---|
| | 910 Carcinome de la sigmoïde. Le malade a vécu 2½ ans sans récurrence de la maladie. |
| " | 911 Diagramme du colon et son système vasculaire. |
| " | 912 Table de tous les cas des maladies malignes du gros intestin de Prof. Körte. |
| " | 913 Résultats des opérations radicales entreprises sur le compte de l'obstruction intestinale due aux tumeurs malignes. |
| " | 914 Fréquence de l'occurrence de l'obstruction intestinale dans les cas de tumeurs malignes. |
| " | 914A Idem. (Auteurs divers). |
| " | 914B Idem. (Prof. Körte). |
| " | 915 Comparaison des résultats de résection du gros intestin à une séance et à plusieurs séances. (Chirurgiens divers). |
| " | 916 Comparaison des résultats de résection à une séance. (Chirurgiens anglais). |
| " | 917 Résultats d'opérations radicales arrangées d'après la situation des tumeurs. (Prof. Körte). |
| " | 918 Idem. (Chirurgiens divers.) |
| " | 919 Guérison étendue par opérations de maladies malignes du gros intestin. (Prof. Körte). |
| " | 920 Idem. (Chirurgiens divers). |
| " | 921 Entéro-anastomose et colostomie pour les tumeurs malignes du intestin. |
| M. le Dr. Hamilton Drummond et M. le Prof. Rutherford Morrison, Newcastle-on-Tyne. | 922 Carcinome à cellules cylindriques du caecum et du colon ascendant. |
| " | 923 Carcinome du caput caeci. |
| " | 924 Carcinome à cellules cylindriques du colon ascendant. |
| " | 925 Carcinome du colon transverse. |
| " | 926 Carcinome à cellules cylindriques de la sigmoïde. |
| " | 927 Carcinome à cellules cylindriques du rectum. |
| " | 928 Cancer du rectum. |

Exposé par :

- | | | |
|--|-----|--|
| M le Dr. Hamilton
Drummond et M. le
Prof. Rutherford
Morrison, Newcastle-
on-Tyne. | 929 | Invagination de la sigmoïde occasionné
par lipome sous-muqueux. |
| „ | 930 | Carcinome de la flexion hépatique. |
| „ | 931 | Polypes multiples et carcinome du rectum
et de la sigmoïde. |
| „ | 932 | Adenocarcinome du rectum. |
| „ | 933 | Idem. |
| „ | 934 | Type papillaire d'adenocarcinome de
l'anus. |
| „ | 935 | Adenocarcinome du rectum. |
| „ | 936 | Idem. |
| „ | 937 | Idem. |
| „ | 938 | Adenocarcinome de l'anus. |
| „ | 939 | Adenocarcinome du rectum. |
| „ | 940 | Idem. |
| „ | 941 | Adenocarcinome du peau de la fesse. |

II.—LES TUMEURS DU CERVEAU.

- | | | |
|--|-----|---|
| M. le Dr. Angelo
Chiasserini, Rome. | 942 | Cerveau de chiens dont le corps pituitaire
a été enlevé. |
| „ | 943 | Photographies. |
| „ | 944 | Préparations microscopiques. |
| „ | 945 | Microphotographies. |

III.—ANÉVRISMES.

La collection suivante a été rassemblée et arrangée par M. James Berry,
F.R.C.S., et M. Le Dr. de Havilland Hall, F.R.C.P., London.

Anévrismes thoraciques.

A.—Aortiques.

- | | | |
|--|-----|---|
| Les hôpitaux
métropolitains à
Londres. | 946 | Anévrisme fusiforme de l'arc de l'aorte. |
| „ | 947 | Idem. |
| „ | 948 | Idem. |
| „ | 949 | Idem. |
| „ | 950 | Anévrisme sacculaire de l'arc de l'aorte. |
| „ | 951 | Idem. |

Exposé par :
 Les hôpitaux
 métropolitains
 à Londres.

- 952 Anévrisme de l'aorta descendante.
- 953 Anévrisme rongant les côtes.
- 954 Anévrisme rongant le sternum.
- 955 Idem.
- 956 Idem.
- 957 Anévrisme rongant les vertèbres.
- 958 Idem.
- 959 Idem.
- 960 Idem.
- 961 Rupture d'un anévrisme dans le pericarde.
- 962 Idem.
- 963 Idem.
- 964 Rupture d'un anévrisme dans la ventricule gauche.
- 965 Rupture d'un anévrisme dans l'artère pulmonaire.
- 966 Rupture d'un anévrisme dans la plèvre.
- 967 Rupture d'un anévrisme dans la trachée.
- 968 Idem.
- 969 Idem.
- 970 Idem.
- 971 Idem.
- 972 Rupture d'un anévrisme dans la bronche gauche.
- 973 Rupture d'un anévrisme dans le poumon.
- 974 Compression du nerf récurrent (gauche) par un anévrisme.
- 975 Compression de la trachée par un anévrisme.
- 976 Idem.
- 977 Idem.
- 978 Compression du poumon par un anévrisme.
- 979 Idem.
- 980 Anévrisme traitée par l'introduction de fil de métal, etc.
- 981 Idem.
- 982 Idem.
- 983 Idem.
- 984 Idem.
- 985 Idem.

B.—*Innominés.**Exposé par :*

Les hôpitaux
métropolitains à
Londres.

- 986 Anévrisme de l'artère innominée.
987 Idem.
988 Idem.
989 Idem.
990 Idem.
991 Idem.
992 Anévrisme de l'artère innominée.
993 Idem.
994 Rupture d'un anévrisme de l'artère innominée dans le triangle postérieur du cou.
995 Anévrisme de l'artère innominée traitée par ligation et introduction de fil de fer.
996 Anévrisme de l'artère innominée guérie après venesection, performée 42 fois.
997 Anévrisme de l'artère innominée, avec blessure de la veine interne jugulaire.
998 Anévrisme de l'artère innominée causant compression de l'artère carotide.
999 Rupture d'un anévrisme de la ventricule gauche, dans le péricarde.

M. le Dr. Bassett-
Smith, Londres.

Anévrismes abdominales.

Les hôpitaux
métropolitains à
Londres.

- 1000 Anévrisme fusiforme de l'aorte abdominale.
1001 Rupture d'un anévrisme aortique dans la cavité abdominale.
1002 Idem.
1003 Idem.
1004 Rupture d'un anévrisme aortique dans le mésentère.
1005 Anévrisme aortique rongant les vertèbres
1006 Idem.
1007 Idem.
1008 Anévrisme aortique rongant les vertèbres et les côtes.
1009 Anévrisme splénique.
1010 Idem.
1011 Idem.

Exposé par :

Les hôpitaux
métropolitains à
Londres.

1012 Anévrisme de l'artère mésentérique
supérieure.

1013 Idem.

1014 Idem.

1015 Anévrisme de l'artère gastro-épiploïque.

1016 Anévrismes multiples abdominales.

1017 Idem.

1018 Anévrisme abdominale traitée par l'introduction de fil de métal.

1019 Idem.

Anévrismes de la tête et du cou.

1020 Anévrisme de l'artère carotide commune.

1021 Anévrisme de l'artère carotide interne.

1022 Idem, calcification et guérison spontanée.

1023 Idem.

1024 Idem, rupture dans le pharynx.

1025 Idem.

1026 Idem, pris pour abcès et ouverte.

1027 Idem, traitée avec succès par excision.

1028 Idem, traitée par ligation de la carotide commune.

1029 Anévrisme de l'artère carotide externe.

1030 Anévrisme de l'artère basilaire.

Anévrisme des membres supérieurs.

1031 Anévrisme de l'artère sous-clavière.

1032 Anévrisme de l'artère sous-clavière,
traitée par pression.

1033 Anévrisme de l'artère sous-clavière,
traité par excision.

1034 Anévrisme de l'artère sous-clavière,
traitée par ligation.

1035 Idem.

1036 Rupture d'un anévrisme de l'artère sous-clavière dans le tissu cellulaire.

1037 Anévrisme de l'artère axillaire.

1038 Idem.

1039 Idem.

Exposé par :

Les hôpitaux
métropolitains à
Londres.

- 1040 Anévrisme artério-veineuse de l'artère
brachiale.
1041 Idem.
1042 Anévrisme sacculaire veineuse de l'artère
brachiale, traitée par excision.
1043 Anévrisme de l'artère brachiale.
1044 Idem.
1045 Idem.
1046 Anévrisme fausse de l'artère brachiale.
1047 Anévrisme des artères brachiale et
ulnaire.
1048 Anévrisme de l'artère ulnaire.
1049 Idem.
1050 Anévrisme de l'artère radiale.
1051 Idem.
1052 Idem.

Anévrisme des membres inférieurs.

- 1053 Anévrisme varicose de *l'arteria iliaci communis*.
1054 Anévrisme varicose des *arteriæ iliaci et femoralis*.
1055 Anévrisme varicose de *l'arteria glutealis*.
1056 Anévrisme de *l'arteria femoralis communis*.
1057 Idem.
1058 Idem.
1059 Idem.
1060 Idem.
1061 Idem.
1062 Anévrisme varicose de *l'arteria femoralis communis*.
1063 Idem.
1064 Idem.
1065 Idem.
1066 Anévrisme varicose des *arteria femoralis communis* et *arteria iliaci externa*.
1067 Anévrisme de *l'arteria superficialis femoralis*.
1068 Idem.
1069 Idem.
1070 Idem.

Exposé par :

Les hôpitaux
métropolitains à
Londres.

- 1071 *Arteria femoralis* du précédent.
1072 Anévrisme de l'*arteria superficialis femoralis*.
1073 Anévrisme de l'*arteria femoralis profunda*.

Anévrismes poplités.

- , 1074 Anévrisme poplité fusiforme.
,, 1075 Idem.
,, 1076 Anévrisme poplité sacculaire.
,, 1077 Anévrisme poplité, guéri par thrombose.
,, 1078 Anévrisme poplité,
,, 1079 Anévrisme poplité, compressant la veine
poplitée.
,, 1080 Anévrisme poplité, rupture du sac.
,, 1081 Anévrisme poplité, rupture du sac ;
amputation.
,, 1082 Idem.
,, 1083 Anévrisme poplité, rupture du sac.
,, 1084 Anévrisme poplité, traité par pression.
,, 1085 Idem.
,, 1086 Idem.
,, 1087 Idem.
,, 1088 Idem.
,, 1089 Anévrisme poplité, traité par pression et
amputation.
,, 1090 Idem.
,, 1091 Idem.
,, 1092 Idem.
,, 1093 Anévrisme poplité, traité par ligature.
,, 1094 Idem.
,, 1095 Idem.
,, 1096 Idem.
,, 1097 Idem.
,, 1098 Idem.
,, 1099 Anévrisme poplité traité par ligature et
amputation.
,, 1100 Idem.
,, 1101 Anévrisme poplité, deux *arteriae*
femorales, ligature d'une.
,, 1102 Anévrisme poplité traité par amputation.

Expose par :

Les hôpitaux
métropolitains
à Londres.

1103 Anévrisme poplité pris pour sarcome, et traité par amputation.

1104 Anévrisme poplité traité par introduction de crin de cheval.

1105 Anévrisme poplité traité par discission.

1106 Anévrisme poplité traité par excision.

1107 Anévrisme de l'artère tibiale antérieure.

1108 Idem. „ „ postérieure.

1109 Idem.

1110 Anévrisme de l'artère dorsale du pied.

Anévrismes divers.

1111 Anévrisme de l'aorte descendante d'un fœtus.

1112 Artère pulmonaire dilatée, pris pour un anévrisme aortique.

1113 Anévrisme de l'arc de l'aorte non soupçonné pendant la vie.

1114 Anévrismes multiples de l'arc de l'aorte.

1115 Rupture d'un anévrisme de l'artère pulmonaire.

1116 Anévrisme cirsoïde.

1117 Idem.

1118 Anévrisme disséquant.

1119 Idem.

1120 Anévrisme artério-veineux traité par amputation.

1121 Caillot laminaire d'un anévrisme.

M. le Prof. Dr. Spiess,
Frankfort.

1122 Radiographie d'un anévrisme de l'artère carotiden, avec destruction de la *Sella Turcica*.

1123 Radiographie de la base du crâne.

1124 Idem.

1125 Idem.

IV.—DIVERS SUJETS.

M. H. Morriston Davies,
Londres.

1126 Spécimen d'une moitié du lobe inférieur du poumon droit, éloigné par opération, montrant carcinome primairesquameux des bronches.

Exposé par :

- M. H. Morrision Davies, 1127 Modification de M. Morrision Davies de
Londres. l'appareil de Dr. Kornmann pour la
production de pneumothorax artificiel.
- „ 1128 Appareil hyper-atmosphérique de M. Mor-
riston Davies pour la compensation de
pneumothorax pendant les opérations
dans la cavité pleurale.
- M. le Dr. Emil C. Beck, 1129 Série de 12 photographies stéréoscopiques
Chicago. à illustrant le traitement bismuth des
1140 sinus purulents et d'empyème.
- M. le Dr. Arthur Evans, 1141 Carcinome à cellules - squameuses du
Londres. larynx, du pharynx, de la partie supé-
rieure de la trachée et de l'œsophage.
- „ 1142 Microphotographie d'une partie du
tumeur.
- „ 1143 Microphotographie montrant les appar-
ence typiques de carcinome à cellules
squameuses.
- „ 1144 Photographies des spécimens.
- „ 1145 Instrument employée pour remplacer
l'œsophage.

SECTION VIIa.—Orthopédie.

I. LA SCOLIOSE.

- | | |
|---|--|
| <p><i>Exposé par :</i>
 M. le Prof. R. W
 Lovett, Boston.</p> | <p>1147 Types de scoliose.</p> <p>1148 Une série de photographies démontrant la complète ou la fausse scoliose.</p> <p>1149 Une série de photographies démontrant la scoliose structurale ou véritable.</p> <p>1150 Une série de photographies démontrant les variétés de scoliose véritable.</p> <p>1151 Une série de photographies démontrant les méthodes de traitement, dont on se sert à l'Hôpital d'Enfants à Boston.</p> <p>1152 Une série de photographies démontrant les résultats obtenus par le traitement de la scoliose complète ou fausse.</p> <p>1153 Une série de photographies démontrant les résultats obtenus par le traitement de la scoliose structurale ou véritable.</p> <p>1154 Une série de photographies démontrant les mouvements de la colonne vertébrale.</p> |
| <p>M. le Dr. E. G. Abbott,
 Portland.</p> | <p><i>Une série d'illustrations des cinq premiers mouvements ou positions de la colonne vertébrale normale ; flexion, extension, courbure à côté, rotation, torsion :</i></p> <p>1155 La position droite ; photographie d'un modèle.</p> <p>1156 Idem ; diagramme.</p> <p>1157 Idem ; radiographie.</p> <p>1158 La position de flexion complète ; photographie d'un modèle.</p> <p>1159 Idem ; une caisse pour aller au modèle.</p> <p>1160 Idem ; radiographie.</p> <p>1161 La position d'hyper-extension complète ; photographie d'un modèle.</p> <p>1162 Idem ; caisse pour aller au modèle.</p> <p>1163 Idem ; radiographie.</p> |

Exposé par :

- M. le Dr. E. G. Abbott. 1164 La position de courbure à côté jusqu'à la limite normale de mouvement; photographie d'un modèle.
- „ 1165 Idem; caisse pour aller au modèle.
- „ 1166 Idem; radiographie.
- „ 1167 La position de complète rotation; photographie d'un modèle.
- „ 1168 Idem; diagramme.
- „ 1169 Idem; radiographie.
- „ 1170 La position de complète torsion; photographie d'un modèle.
- „ 1171 Idem; diagramme.
- „ 1172 Idem; radiographie.

Une série d'illustrations des mouvements composés de la colonne vertébrale; les mouvements ont lieu dans en directions:

- „ 1173 La position de flexion et de courbure à côté; photographie d'un modèle.
- „ 1174 Idem; diagramme.
- „ 1175 Idem; radiographie.
- „ 1175A La position de flexion et de rotation; photographie d'un modèle.
- „ 1176 Idem; diagramme;
- „ 1177 Idem; radiographie.
- „ 1178 La position de flexion et de torsion; photographie d'un modèle.
- „ 1179 Idem; diagramme.
- „ 1180 Idem; radiographie.
- „ 1181 La position d'extension et de courbure à côté; photographie d'un modèle.
- „ 1182 Idem; diagramme.
- „ 1183 Idem; radiographie.
- „ 1184 La position d'hyper-extension et de rotation; photographie d'un modèle.
- „ 1185 Idem; diagramme.
- „ 1186 Idem; radiographie.
- „ 1187 La position d'hyper-extension et de torsion; photographie d'un modèle.
- „ 1188 Idem; diagramme.
- „ 1189 Idem; radiographie.

Exposé par :

- M. le Dr. E. G. Abbott, 1190 La position de courbure à côté et de rotation ; photographie d'un modèle.
 Portland.
 „ 1191 Idem ; diagramme.
 „ 1192 Idem ; radiographie.
 „ 1193 La position de courbure à côté et de torsion ; photographie d'un modèle.
 „ 1194 Idem ; diagramme.
 „ 1195 Idem ; radiographie.
- Une série d'illustrations des mouvements plus compliqués de la colonne vertébrale ; les mouvements ont lieu en trois directions :*
- „ 1196 La position de flexion, de courbure latérale et de rotation ; photographie d'un modèle.
 „ 1197 Idem ; diagramme.
 „ 1198 Idem ; radiographie.
 „ 1199 Flexion, courbure latérale et torsion ; photographie d'un modèle.
 „ 1200 Idem ; diagramme.
 „ 1201 Idem ; radiographie.
 „ 1202 La position d'extension de courbure latérale et de rotation ; photographie d'un modèle.
 „ 1203 Idem ; diagramme.
 „ 1204 Idem ; radiographie.
 „ 1205 La position d'extension, de courbure latérale et de torsion ; photographie d'un modèle.
 „ 1206 Idem ; diagramme.
 „ 1207 Idem ; radiographie.
 „ 1208 Un cas typique de scoliose fixe ; photographie.
 „ 1209 Idem ; diagramme.
 „ 1210 Idem ; radiographie.
 „ 1211 La position de flexion, de courbure à côté et de rotation dans la direction de la convexité de la courbure latérale ; photographie d'un modèle.
 „ 1212 Idem ; diagramme.
 „ 1213 Idem ; radiographie.

Exposé par :

- M. le Dr. E. G. Abbott. 1214 La position de flexion, de courbure à côté et de rotation dans la direction de la concavité de la courbure latérale; photographie d'un modèle.
- „ 1215 Idem; diagramme.
- „ 1216 Idem; radiographie.
- „ 1217 La position de flexion, de courbure à côté et de torsion; photographie d'un modèle.
- „ 1218 Idem; diagramme.
- „ 1219 Idem; radiographie.
- „ 1220 La position d'extension, de courbure à côté et de rotation dans la direction de la concavité de la courbure latérale.
- „ 1221 Idem; diagramme.
- „ 1222 Idem; radiographie.
- „ 1223 La position d'extension, de courbure à côté et de rotation dans la direction de la convexité de la courbure latérale; photographie d'un modèle.
- „ 1224 Idem; diagramme.
- „ 1225 Idem; radiographie.
- „ 1226 La position de la scoliose active physiologique; photographie d'un modèle.
- „ 1227 Idem; diagramme.
- „ 1228 Idem; radiographie.
- „ 1229 La position de la scoliose passive physiologique; photographie d'un modèle.
- „ 1230 Idem; diagramme.
- „ 1231 Idem; radiographie.
- „ 1232 Une scoliose fixe artificielle; photographie.
- „ 1233 La différence entre la plane du bassin et de l'épaule à celle de la courbe simple du thorax en scoliose physiologique; au commencement active, ensuite passive et finalement fixe; diagramme.
- „ 1234 La scoliose physiologique au commencement active, ensuite passive et finalement fixe; diagramme.
- „ 1235 La scoliose fixe; photographie.
- „ 1236 La scoliose produite d'une manière artificielle; diagramme.
- „ 1237 Idem; radiographie.

II.—LA PARAPLÉGIE SPASTIQUE.

*Exposé par :*M. le Dr. A. Stoffel,
Mannheim.1238 Modèle démontrant l'opération de Dr. Stoffel sur le *n. tibialis* dans l'étendue poplitée dans le traitement de l'équin spastique.

„

1239 Modèle de l'opération de Dr. Stoffel sur le *n. medianus* dans le traitement d'une pronation-contracture de l'avant-bras.

„

1240 Modèle de l'opération de Dr. Stoffel sur le *n. ischiadicus* dans le traitement d'une fléchisseur-contracture du genou.

„

1241 Modèle de la topographie du *n. tibialis anterior*, dans la partie inférieure de la cuisse.

„

1242 Modèle de la topographie du *n. medianus* dans la partie inférieure de l'avant-bras.

„

1243 Modèle démontrant l'anatomie intérieure d'un grand nerf d'une extrémité.

„

1244 Modèle démontrant le grand nerf d'une extrémité ; les voies individuelles des nerfs sont séparées les unes des autres.

„

1245 Une série d'instruments, dont Dr. Stoffel s'est servi pour les opérations sur les nerfs.

„

1246 Une série de photographies démontrant les résultats obtenus par l'opération de Dr. Stoffel.

„

1247 Une série de modèles en plâtre démontrant la condition après l'opération.

M. le Prof. Otfried
Foerster, Breslau.

1248 Une série de photographies démontrant les variétés de contractures dans la paraplégie spastique.

„

1249 Une série de photographies illustrant les dérangements moteurs (principalement synkinétique) dans la paraplégie spastique.

„

1250 Une série de photographies illustrant les dérangements dans la paraplégie spastique lorsqu'on est assis et lorsqu'on marche.

„

1251 Une série de photographies illustrant le traitement de dresser les muscles dans la paraplégie spastique.

Exposé par :

M. le Prof. Otfried,
Foerster, Berslau.

1252 Une série de photographies démontrant les résultats obtenus par la résection des racine postérieures de la moëlle dans la paraplégie spastique.

1253 Une série de clichés démontrant les photographies ci-dessus.

III.—LE TRAITEMENT DE L'ANKYLOSE.

M. le Prof. V. Putti, 1254 Un livre contenant une série de photographies et de radiographies, qui illustrent les résultats obtenus par le traitement chirurgical des ankyloses.

Lésions tuberculeuses des os.

MM. les Drs. Harold J. Stiles et John Fraser,
Edinbourg.

1256 Un tubercule enkysté de l'humerus.

1257 Un tubercule enkysté de l'ulna.

1258 Un tubercule enkysté du tibia, avec séquestre central.

1259 Un tubercule infiltrant aigu du tibia.

1260 Un tubercule infiltrant du tibia.

1261 Le foyer tuberculeux précocose du tibia.

1262 Un tubercule infiltrant du fémur, avec séquestre central.

1263 Tubercule infiltrant du tibia, avec nouvel os sous-periosté.

1264 L'ostéo-myélite tuberculeuse infiltrante de l'ulna.

1265 Idem.

1266 L'ostéo-myélite tuberculeuse du radius, avec nouvel os sous-periosté.

1267 L'ostéo-myélite tuberculeuse du l'humérus.

1268 L'ostéo-myélite tuberculeuse précocose du tibia.

1269 Idem.

1270 Un tubercule infiltrant aigu de l'humérus, la jointure du coude et d'ulna affecté.

1271 Le tubercule étendu de la jointure de la cheville et des os de l'astragale et du tarse.

Exposé par :

MM. les Drs. Harold J. 1272 Le tubercule de la mâchoire inférieure.
Stiles et John Fraser,
Edinbourg.

- „ 1273 Le tubercule du fémur avec séquestre.
„ 1274 Le tubercule du tibia avec séquestre
central.
„ 1275 Le tubercule du tibia.

La maladie tuberculeuse des jointures.

- „ 1276 La tête du fémur démontrant d'ulcération
périchondrale.
„ 1277 La tête du fémur démontrant l'ulcération
périchondrale et la luxation du carti-
lage.
„ Une série de clichés microscopiques
démontrant la pathologie de :
„ 1278 La formation du premier tubercule dans
la tuberculose de l'os.
„ 1279 Les changements secondaires de la moëlle,
des lamelles de l'os : du périoste et des
vaisseaux sanguins.
„ 1280 Le tubercule enkysté de l'os.
„ 1281 Le tubercule infiltrant de l'os.
„ 1282 Le tubercule hypertrophique de l'os.
„ 1283 Le tubercule atrophique de l'os.
„ 1284 La formation du séquestre.
„ 1285 Le tubercule de la jointure ; les change-
ments synoviaux.
„ 1286 Idem ; les changements dans le cartilage.
„ 1287 Idem ; les changements vasculaires.
„ 1288 Une série de micro-photographies illus-
trant les clichés ci-dessus.

Appareils.

- M. le Dr. H. J. Gauvain, 1289 Une éclipse balancante ("back door")
pour le traitement et la correction de
la difformité des malades, qui souffrent
du tubercule du rachis ; elle est arrangée
sur une planche spinale et un support.
Elle est spécialement adaptée pour les
soins de tels malades.
„ 1290 Une éclipse "brouette" pour la carie du
rachis, compliquée par le spasme du
psoas ou l'abcès du psoas.

Exposé par :

- M. le Dr. H. J. Gauvain. 1291 Un squelette dans un corset de plâtre, pour démontrer les pointes osseuses, autour desquelles on devrait former un tel corset.
- „ 1292 Un corset complet pour le traitement de la carie du rachis (reconvalescence).
- „ 1293 Une éclisse en celluloid pour la hanche, incomplète.
- „ 1294 Une série de photographies illustrant le traitement du tubercule des os et des jointures.
- „ 1295 Une série de radiographies illustrants le traitement du tubercule des os et des jointures.
- M. le Dr. Ridlon, Chicago. 1296
- „ 1297
- „ 1298 Une série des radiographies
- M. le Dr. Jacques Calvé, 1299 Une botte à extension continue pour
Berck-Plage.
coxalgie.
- „ 1300 Un corset en celluloid pour Mal de Pott.
- M. le Dr. Rollier, Leysin. 1301 Une série de photographies illustrant le traitement héliothérapiques des tuberculoses externes.
- M. le Prof. Oscar Vulpius, Heidelberg. 1302 Une photographie du Sanatorium de Solbad Rappennau pour le traitement des maladies des os, des jointures et des glandes (la tuberculose chirurgique)
- „ 1303 Une photographie montrant l'équipement thérapeutique du Sanatorium.

Coxa Vara.

- M. le Dr. R. C. Elmslie, 1304 Le fémur démontrant la dépression
Londres.
générale du cou en rachitis.
- „ 1305 Le fémur démontrant *coxa vara* (*coxa vara* cervicale et infantile).
- „ 1306 Les parties supérieures du fémur droit (*coxa vara* adolescente) et du fémur gauche (normal)
- „ 1307 Le fémur droit d'une femme âgée ; simulant *coxa vara*.
- „ 1308 Le fémur gauche du même cas.
- „ Une série de projections démontrant :
- „ 1309 Le fémur d'un cas d'ostéo-arthrite de la hanche.

Exposé par :

M. le Dr. R. C. Elmslie, 1310 Pseudo-coxalgie.
Londres.

- | | | | |
|---|------|---|------------------------------|
| " | 1311 | La partie supérieure du fémur atrophiée traumatique. | |
| " | 1312 | L'osteitis fibrosa du cou et de la partie supérieure du fémur. | |
| " | 1313 | L'épiphyse du fémur. | |
| " | 1314 | <i>Coxa vara</i> adolescente. | |
| " | 1315 | La limitation du mouvement de flexion dans <i>coxa vara</i> adolescente. | |
| " | 1316 | La tête fémorale normale dans une position d'inversion minimale. | |
| " | 1317 | La tête fémorale normale, dans une position médiane, un peu renversée, et beaucoup renversée. | |
| " | 1318 | Luxation de l'épiphyse de la tête fémorale. | |
| " | 1319 | <i>Coxa vara</i> adolescente, traumatique. | |
| " | 1320 | Idem. | " |
| " | 1321 | Idem | non-traumatique. |
| " | 1322 | Idem | " |
| " | 1323 | Idem | réséquée par
Schlesinger. |
| " | 1324 | <i>Coxa vara</i> infantile. | |
| " | 1325 | Idem | bilatérale. |
| " | 1326 | La mode probable de la production de <i>coxa vara</i> infantile. | |
| " | 1327 | <i>Coxa vara</i> infantile. | |
| " | 1328 | Idem. | suivant un accident. |
| " | 1329 | Idem | bilatérale sévère. |
| " | 1330 | Idem. | |
| " | 1331 | Idem | infantile extrême. |
| " | 1332 | Idem. | |
| " | 1333 | Un spécimen réséquée du cas précédent. | |
| " | 1334 | Une section verticale du même spécimen. | |
| " | 1335 | <i>Coxa vara</i> infantile, avec le cou du fémur fort osseux. | |
| " | 1336 | La partie supérieure du fémur, démontrant une difformité semblable. | |
| " | 1337 | La difformité bilatérale rachitique du fémur. | |
| " | 1338 | <i>Coxa vara</i> rachitique. | |

Exposé par :

M. le Dr. R. C. Elmslie,
Londres.

- 1339 *Coxa vara* infantile sur un côté, et dépression générale du cou du fémur sur l'autre.
- 1340 *Coxa vara* congénitale, avec raccourcissement du fémur.
- 1341 Le même cas.
- 1342 *Coxa vara* congénitale avec le fémur raccourci.
- 1343 *Coxa vara* adolescente, montrant la pression de la marge supérieure de la cavité cotyloïde sur l'épiphyse.
- 1344 La séparation de l'épiphyse supérieure du fémur, avant le traitement et après la réduction.
- 1345 Absorption de la tête fémorale et de l'ankylose.
- 1346 *Coxa vara* adolescente, avant le traitement.
- 1347 Abduction complète obtenue par le traitement d'une roue-éclisse.
- 1348 *Coxa vara* adolescente avant le traitement avec une roue-éclisse.
- 1349 *Coxa vara* adolescente montrant abduction complète obtenue par le traitement d'une roue-éclisse.
- 1350 *Coxa vara* adolescente dans une calliper-éclisse.
- 1351 Spécimen de *coxa vara* adolescente et du fémur normal.
- 1352 *Coxa vara* adolescente avancée, avant le traitement et après l'enlèvement des pointes d'os de la partie supérieure et antérieure du cou.
- 1353 *Coxa vara* infantile avant le traitement.
- 1354 Le même cas ; ostéotomie ; six ans plus tard.
- 1355 *Coxa vara* infantile, la tête fémorale a glissé complètement du cou.
- 1356 Le même cas, après résection de la tête fémorale.
- 1357 Le même cas, montrant la stabilité de la hanche deux ans après l'opération.

V.—LES FRACTURES, DISLOCATIONS, ETC.

Exposé par :

- M. le Dr. Ernst Fischer, 1358 Appareil pour le traitement ambulatoire, par extension, des fractures de la rotule et de l'olécranon.
Buda-Pest.
- „ 1359 Appareil pour le traitement ambulatoire, par extension, des fractures de l'extrémité supérieure.
- „ 1360 Radiographies des fractures de la rotule, de l'olécranon, de l'humérus, du coude et de l'avant-bras.
- M. le Prof. Hackenbruch, Wiesbaden. 1361 Radiographies démontrant la position des fragments et des clamps d'extension forcible, dans des fractures diverses.
- „ 1362 Une série de photographies de malades avec des fractures diverses, sous traitement avec des clamps d'extension forcible et des bandages de plâtre.
- M. le Dr. George Müller, Berlin. 1363 Appareil d'extension, pour le traitement de la luxation irréductible et congénitale de la hanche.
- „ 1364 Éclisse pour la jambe avec ceinture pelvienne et cercle pour le trochanter.
- „ 1365 Un corset, avec le cercle pour le trochanter.
- „ 1366 Un corset à ressort pour l'emploi dans le traitement ultérieur.

La Difformité de Madelung.

- M. le Dr. N. S. Finzi, Radiographies démontrant :
Londres.
- „ 1367 Le côté postérieur du poignet droit dans un cas de la difformité de Madelung. Le côté extérieur de l'épiphyse inférieure du radius est uni; le côté intérieur n'est pas encore uni.
- „ 1368 Le côté postérieur du poignet gauche du même malade.
- „ 1369 Le côté antérieur du poignet droit du même malade.
- „ 1370 Le côté antérieur du poignet gauche du même malade.
- „ 1371 Le côté postérieur du poignet droit d'un autre cas de la difformité de Madelung. Ostéotomie ancienne.

Exposé par :

- | | |
|------------------------------------|--|
| M. le Dr. N. S. Finzi,
Londres. | 1372 Le côté postérieur du poignet gauche du même malade. |
| „ | 1373 Le côté postérieur de l'avant-bras droit du même malade. |
| „ | 1374 Le côté postérieur de l'avant-bras gauche du même malade. |
| „ | 1375 Le côté postérieur de l'avant-bras droit au commencement de la difformité de Madelung. |
| „ | 1376 Le côté postérieur de l'avant-bras gauche du même malade. |
| „ | 1377 Le côté latéral de l'avant-bras droit du même malade. |
| „ | 1378 Le côté latéral de l'avant-bras gauche du même malade. |
| M. le Dr. Mencièrre,
Reims. | 1379 Ostéotome-révolver, mû par l'acide carbonique liquide, destiné à sculpter les extrémités osseuses et les surfaces articulaires, à pratiquer l'évidement, la perforation, la trépanation et la section des os. |
| „ | 1380 Outillage pour la Phéno-puncture ; traitement des tuberculoses osseuses et articulaires. |
| „ | 1381 Outillage pour pratiquer les greffes musculo-tendineuses (paralysie infantile). |
| „ | 1382 Agrafe en aluminium et porte-agrafe de Mencièrre pour l'ostéo-synthèse. |
| „ | 1383 Outillage pour le modelage par évidement des os et des articulations. |
| „ | 1384 Pinces de Mencièrre pour ériger les lambeaux au cours d'opérations diverses, soulever les tendons pendant les opérations de greffes tendineuses, etc. |
| „ | 1385 Levier de Mencièrre pour la réduction non sanglante et extemporanée de la luxation congénitale de la hanche et table spéciale pour immobiliser le bassin du sujet pendant l'application du levier. |
| „ | 1386 Appareil de Mencièrre pour le redressement méthodique et extemporané des ankyloses de la hanche et du genou. |
| „ | 1387 Ostéoclaste de Mencièrre à point d'appui circulaire. |

Exposé par :

M. le Dr. Mencièrè,
Reims.

1388 Barre caoutchoutée de Mencièrè, pour le modelage extemporané de pieds-bots.

„

1389 Appareil de Mencièrè pour le modelage méthodique et progressif du thorax dans la scapiose, au moment du modelage du thorax et de la pose de l'appareil plâtré.

M. le Dr. E. G. Brackett,
Boston.

1390 Un diagramme illustrant l'organisation de la Clinique Orthopédique à l'Hôpital Général de Massachusetts.

„

1391 Des photographies des salles.

„

1392 Un plan du Département des externes.

„

1393 Un diagramme démontrant des appareils employés dans l'Hôpital.

SECTION VIII.—Obstetrique et Gynécologie.

I.—HÉMORRHAGIE PLACENTAIRE.

Exposé par :

- M. le Prof. Couvelaire, 1394 Apoplexie utéro-placentaire.
 „ 1395 Idem.

Hémorrhagie accidentale :

- M. le Prof. E. Essen- 1396 Photographie d'une section de placenta,
 Möller, Lund. montrant destruction de tissu par
 hémorrhagie.
 „ 1397 Photographie montrant hémorrhagies
 dans le tissu musculaire de l'utérus.
 „ 1398 Idem. (Autochrome).
 „ 1399 Photographie montrant le sang sortant
 d'un vaisseau dans le tissu environnant.
 „ 1400 Photographie montrant la séparation de
 faisceaux de fibres musculaires par
 le sang extravasé.
 „ 1401 Photographie de la même condition en
 section transversale.
 M. le Prof. W. Nagel, 1402 Utérus puerpéral avec les artères injectées,
 Berlin. montrant la distribution du système
 artériel de Placenta Prævia, en rapport
 du segment utérin inférieur.
 MM. les Prof. Pinard, 1403 Décollement prémature par brièveté du
 et Varnier, Paris. cordon du placenta normalement inséré.
 M. le Prof. Fabre, 1404 Hystérographe du Prof. Fabre. Un
 Lyon. appareil, qui donne par la méthode
 graphique un tracé de la contraction
 utérine.

Tableaux démontrant :

- „ 1405 Hystérographie externe.
 „ 1406 Idem. „ et interne.
 „ 1407 Contractions du travail.
 „ 1408 Idem. des suites de couches.
 „ 1409 Idem. du travail; tracé d'origine
 externe et d'origine interne.

II.—L'UTÉRUS DANS L'OBSTÉTRIQUE.

Exposé par :

M. le Dr. Eardley Holland, Londres.	1410	Utérus avec le fœtus, d'une femme qui mourait pendant travail obstrué.
„	1411	Dessin du spécimen.
„	1412	Idem.
„	1413	Photographie du spécimen.
„	1414	Idem.
M. le Dr. F. J. McCann, Londres.	1415	Des spécimens.

III.—LÉSIONS AUX VISCÈRES DE L'ENFANT PENDANT LA COUCHE.

M. le Dr. Herbert Spencer, Londres.	1416	Foie d'un enfant mort-né, montrant l'hémorrhagie sous-péritonéale.
„	1417	Partie du foie d'un enfant mort-né, montrant considérable hémorrhagie sous-péritonéale.
„	1418	Rate d'un enfant à terme, montrant d'hémorrhagie dans sa substance et sous la capsule.
„	1419	Partie de rate d'un enfant, montrant d'hémorrhagie sous la capsule et dans la substance de l'organe.
„	1420	Sections de la capsule surrénale droite et partie du rein, montrant hémorrhagie sous la capsule.
„	1421	Le rein droit et la capsule surrénale d'un enfant mort-né, montrant un sillon profond, indiquant la place d'une grande hémorrhagie.
„	1422	Hémorrhagie dans la nymphe gauche d'un enfant femelle à terme.
„	1423	Base d'un crâne fœtal, montrant hémorrhagie sur la surface du <i>tentorium cerebelli</i> .
„	1424	Foie montrant hématome sous la capsule.
„	1425	Partie d'une foie, montrant hématome sous la capsule.
„	1426	Foie montrant rupture de la partie postérieure du lobe droit.
„	1427	Foie avec hématome sous la capsule.
„	1428	Hémorrhagie sous la <i>tunica vaginalis</i> , de la partie superficielle de la corde.

Exposé par :

- | | |
|--|--|
| M. le Dr. Herbert
Spencer, Londres. | 1429 Hémorrhagie dans le lobe inférieur du
poumon gauche et sous la plèvre. |
| „ | 1430 Effusion de sang dans la mur et le lumen
du caecum, et deux petits hémor-
rhagies dans l'iléon. |
| „ | 1431 Hémorrhagies éparpillés dans le corps du
testicule et dans l'epididyme. |
| „ | 1432 La partie inférieure du tronc d'un enfant
mâle morte-né, montrant hémorrhagie
dans le <i>processus vaginalis</i> et la corde. |
| „ | 1433 Dessins en aquarelle, démontrant
hémorrhagies viscérales dans des
enfants morts-né. |

IV.—GROSSESSES ANORMALES.

- | | |
|--|---|
| M. le Dr. John H.
Teacher, Glasgow. | 1434 Grossesse tubaire (trompe rudimentaire) ;
rupture très tôt. Hémorrhagie fatale. |
| „ | 1435 Grossesse ovarienne (troisième mois),
l'oeuf presque entier. |
| M. le Dr. F. J.
McCann, Londres. | 1436 Des spécimes. |

Cancer au Cervix compliquant la Grossesse et le Travail.

- | | |
|--|--|
| M. le Dr. Herbert
Spencer, Londres. | 1437 Table de six cas de carcinome du cervix
avec grossesse avancée et travail. |
| „ | 1438 Carcinome du cervix avec grossesse
avancée, éloignée par amputation du
cervix. Le malade se portait bien
pendant plus de 11 ans. |
| „ | 1439 Carcinome du cervix avec grossesse
avancée, éloigné par amputation du
cervix. La malade allait bien pendant
plus de 11 ans. |
| „ | 1440 Carcinome du cervix avec grossesse
avancée, éloigné par amputation du
cervix. La malade allait bien pendant
plus de 11 ans. |
| „ | 1441 Table de quatre cas de carcinome du
cervix, compliquant la grossesse moins
avancée. |
| „ | 1442 Bassin et viscère pelvique, montrant
carcinome avancée du cervix dans le
cas d'une malade qui était enceinte
environ six mois. |

Exposé par :

M. le Dr. Herbert
Spencer, Londres.

1443 Dessin d'une section médiane sagittale à travers le corps d'une femme, qui mourait environ le sixième mois de grossesse, montrant carcinome de l'os, du fornix, et du mur du vagin.

„ 1444 Un autre dessin du même cas.

V.—CANCER DE L'UTÉRUS.

Sarcome de l'Utérus

„ 1445 Moitié droite de l'utérus avec sarcome. L'organe fut éloignée par hystérectomie.

„ 1446 Partie d'un utérus sarcomateux, éloigné par hystérectomie.

„ 1447 Utérus éloigné pour sarcome par hystérectomie vaginale.

„ 1448 Utérus éloigné pour sarcome par hystérectomie abdominale.

„ 1449 Sarcome de l'utérus à cellules rondes et fusiformes mixtes.

„ 1450 Viscère pelvique et l'utérus, d'un cas de sarcome à cellules rondes.

„ 1451 Utérus éloigné pour fibromyome et sarcome à cellules rondes par hystérectomie supra-vaginale.

„ 1452 Utérus et annexe éloigné par hystérectomie totale. Le tumeur se montrait être fibromyome avec dégénération sarcomateuse.

„ 1453 Sarcome de l'utérus d'une malade morte suivant curettage.

„ 1454 Sarcome à cellules fusiformes encaissant l'utérus, éloigné par hystérectomie vaginale.

„ 1455 Utérus avec carcino-sarcome.

„ 1456 Utérus avec *carcinoma sarcomatodes* du cervix.

M. le Dr. Mathew J. Stewart, Leeds. 1457 Utérus avec chorion épithéliome. Les deux ovaires contiennent de nombreuses kystes luteines.

„ 1458 Section du chorion épithéliome du cas précédent.

„ 1459 Section des kystes lutéines du cas précédent.

Exposé par :

M. le Dr. Mathew J.
Stewart, Leeds.

- 1460 Foie d'un cas de cancer de l'estomac, montrant métastases, simulant à l'œil nu précisément les nodules secondaires du chorion épithéliome.
- 1461 *Adenomyoma diffusum benignum* et adénocarcinome de l'endometrium.
- 1462 Section microscopique du ci-dessus.
- 1463 Tuberculose de l'utérus, et condition fibro-caséuse de l'intérieur de l'utérus.

Modèles de :

M. le Prof. Krönig,
Freiburg.

- 1464 Carcinome métastase suivant l'opération Wertheim, avant traitement.
- 1465 Même cas, 5 semaines après le traitement avec rayon-X ; carcinome n'est plus à découvrir.
- 1466 Même cas, après traitement avec rayon-X et mésothor ; sans récurrence pendant 6 mois.
- 1467 Même cas ; sans récurrence pendant 1 an, 4 mois.
- 1468 Carcinome de la mamelle (cancer en cuirasse), avant traitement.
- 1469 Même cas, sans récurrence ; carcinome n'est plus à découvrir, 6 semaines après traitement avec rayon-X.
- 1470 Carcinome de la mamelle avant traitement.
- 1471 Même cas, traitement avec rayon-X après incision lambeau ; carcinome n'est plus à découvrir.
- 1472 Carcinome du cervix avant traitement.
- 1473 Même cas, 5 semaines après traitement avec mésothor ; carcinome n'est plus à découvrir ; la malade est restée sans récurrence pendant 1 an, 4 mois.
- 1474 Cancer "chouffleur" avant traitement.
- 1475 Même cas, après traitement avec mésothor ; carcinome n'est plus à découvrir.
- 1476 Carcinome du cervix avant traitement.
- 1477 Même cas, 5 semaines après traitement avec mésothor ; carcinome n'est plus à découvrir.

Exposé par :

M. le Prof. Krönig,
Freiburg.

1478 Carcinome du cervix avant traitement.

1479 Même cas, 5 semaines après traitement ;
carcinome n'est plus à découvrir ; pas
de récurrence.

1480 Carcinome du rectum avant traitement.

1481 Même cas, 4 semaines après traitement
avec mésothor ; carcinome n'est plus
à découvrir.

1482 Ulcère rongé avant traitement.

1483 Même cas, 3½ semaines après traitement ;
pas de tumeur maligne à découvrir.

VI.—SUJETS GYNÉCOLOGIQUES DIVERS.

M. le Dr. R. L.
Dickinson.

1484 Carte illustrant l'application d'une verre
et tige intra-utérine vide et fermé, dans
le traitement d'antéflexion, de stérilité
et d'infantilisme.

1485 Idem.

1486 Carte illustrant hystérectomie abdom-
inale avec deux ligatures.

1487 Idem.

1488 Idem.

1489 Carte illustrant méthode simplifiée de
suture dans la périnéorrhaphie.

1490 Carte illustrant méthode simplifiée de
suture pour la réparation et l'ampu-
tation du cervix.

1491 Idem.

1492 Carte illustrant appendectomie simplifiée
avec ligature simple.

1493 Carte illustrant hystérectomie vaginale
avec deux ligatures.

1494 Modèle démontrant en 5 phases méthode
simplifiée de suture dans la traché-
lorrhaphie.

1495 Modèle démontrant méthode simplifiée
de suture dans l'amputation du cervix.

1496 Modèle démontrant méthode simplifiée
de suture dans la périnéorrhaphie.

1497 Modèle démontrant l'amputation de la
corde ombilicale au niveau de la peau.

1498 Modèle démontrant l'amputation de
"nemostasis" par compresseur.

*Instruments.**Exposé par :*

M. le Dr. R. L. Dickinson.	1499	Bouclier à laparotomie ; rétracteur.
„	1500	Tiges intra-utérines ; verre et argent, vide.
„	1501	Compresseur à l'amputation de la corde ombilicale.
„	1502	Pessaire.

Anæsthésie lombaire dans la gynécologie.

M. le Dr. G. le Filliatre, Paris.	1503	Gros fibrome utérin.
„	1504	Tableau colorié d'une section transversale du canal lombo-sacré, afin de mettre en rapport le sac arachnoidien avec la terminaison de la queue de cheval.
„	1505	Tableau colorié d'une section antero- postérieure du ci-dessus.

VII.—INSTRUMENTS OBSTETRIQUES : ANCIENS.

*Collection de la Royal Society of Medicine.**Forceps obstetriques.*

The Royal College of Surgeons, England.	1506 (v. page 77). à 1534
--	---------------------------------

Vectis, Leviers.

„	1535 (v. page 78). à 1538
---	---------------------------------

Autres Instruments Obstetriques et Gynécologiques.

„	1539 (v. pages 78-80). à 1609
---	-------------------------------------

Forceps.

„	1610 (v. pages 80-81). à 1639
---	-------------------------------------

Vectis, Leviers, etc.

„	1640 (v. pages 81-82). à 1783
---	-------------------------------------

*Forceps.**Exposé par :*

M. le Prof. T. Henry	1784	(v. page 85).
Wilson, Dublin.	à	
	1788	

Forceps, etc.

M. le Prof. Sir J.	1789	(v. pages 85-86).
Halliday Croom, Royal	à	
College of Physicians,	1799	
Edinburgh.		

„	1800	Moulage de la première tête délivrée par version à l'aide de choroforme.
St. Bartholomew's	1801	Une collection d'anciens instruments obstetriques.
Hospital, Londres.		
M. C. J. Tabor, Leyton.	1802	Ancienne chaise obstetrique découverte en Portugal.

SECTION IX.—Ophthalmologie.

Exposé par :

- | | | |
|--------------------------------------|------|---|
| M. le Prof. Dr. Ernst Fuchs, Vienne. | 1803 | Projections illustrant la condition histologique en uveite chronique. |
| " | 1804 | Prolifération d'épithélium ciliaire. |
| " | 1805 | Idem. |
| " | 1806 | Formation de nouveau tissu conjonctif. |
| " | 1807 | Exsudat ressemblant ophthalmie sympathique. |
| " | 1808 | Dessin de choroïde pointillé. |
| " | 1809 | Dessin de neuro-retinitis en leukaemie aplastique. |
| " | 1810 | Dessin d'une exsudation dans les vaisseaux réiniens. |

SÉRIE DE DESSINS COLORIÉS.

Affections du Canal Lachrymal.

- | | | |
|-------------------------------------|------|---|
| M. le Dr. George Mackay, Edinbourg. | 1811 | Dacryops. |
| " | 1812 | Coloboma congénital de la paupière supérieure et dislocation congénitale du glande lachrymal. |
| " | 1813 | Dacryocystitis. |
| " | 1814 | Idem. (tuberculose). |
| " | 1815 | Idem. |
| " | 1816 | Idem. |
| " | 1817 | Ulcération syphilitique du canal lachrymal. |
| " | 1818 | Illustrant la situation ordinaire de l'évacuation spontanée de mucocèle des cellules ethmoidales antérieures. |
| " | 1819 | Sinus bilatéraux suivant ethmoiditis, possiblement syphilitiques. |

Affections des Paupières.

- | | | |
|---|------|--|
| " | 1820 | Extrusion tambour de l'épiderme de la paupière supérieure. |
| " | 1821 | Kystes. |

Exposé par :

M. le Dr. George
Mackay, Edinbourg.

"

"

"

"

"

"

"

"

"

"

"

"

"

"

"

"

"

"

"

"

"

"

"

"

"

"

1822 *Molluscum contagiosum.*

1823 Idem.

1824 Pappillomes du caruncle et de la conjonctive palpebrale inférieure.

1825 Abscess de la paupière supérieure.

1826 Idem.

1827 Inoculation accidentale avec de lymph vaccine :—

(a) Deux ou trois jours après l'infection.

(b) Une semaine après l'infection.

1828 Microphthalmie bilatérale et ectropion congenital et *coloboma iridis.*

1829 (a) Ectropion de la paupière inférieure.

(b) Ankyloblépharon artificiel comme préliminaire à l'opération plastique de l'ectropion.

1830 Ectropion cicatricielle.

1831 Idem.

1832 Œdème chronique des paupières.

1833 Œdème solide des paupières.

1834 Œdème angio-neurotique aigu.

1835 Œdème de la paupière supérieure.

1836 Hypertrophie de la paupière supérieure.

1837 Nævus capillaires de la tête, des paupières, de la joue et de la lèvre d'un enfant.

1838 Nævus papilloïde.

1839 Nævus congenital.

1840 Kyste dermoïde de la paupière supérieure.

1841 Kyste sébacé.

1842 Exostose cancellée.

1843 Infiltration gommeuse de la paupière supérieure.

1844 Tumeur tuberculeuse de la paupière supérieure.

1845 Epithéliome de la paupière supérieure.

1846 Ulcère rongeur.

1847 Idem.

1848 Idem.

1849 Idem.

1850 Idem.

Exposé par :

M. le Dr. George
Mackay, Edinbourg.

- 1851 Ulcère rongeur :
 (a) occasionnant ectropion.
 (b) récurrence et augmentation de l'ulcération.
- 1852 Idem.
- 1853 Idem.
- 1854 Ulcère syphilitique tertiaire et *prolapsus iris (leucoma adherens)*.
- 1855 Proptose suivant d'anévrisme artérioveineux traumatique.
- 1856 Ankyloblépharon artificiel nécessaire pour le soulagement d'exophtalmie sévère avec goître :
 (a) Les yeux tourné vers le droit :
 (b) " " " vers la gauche.
- 1857 Mucèle du sinus frontal.
- 1858 Abscès chronique du sinus frontal.
- 1859 Cellulite orbitale et hyphémie et proptose.
- 1860 Proptose suivant sarcome.
- 1861 Sarcome.
- 1862 (a) Proptose suivant carcinome de l'orbite.
 (b) Récurrence.
 (c) Après traitement avec rayons-X pendant un mois.
- 1863 Brûlure de la conjonctive et cornea avec de la chaux caustique.
- 1864 Cicatrice de la conjunctiva et de la cornée.
- 1865 Hémorragie sub-conjonctivale occasionnée par le coqueluche.
- 1866 Hémorragie sub-conjonctivale subissant l'absorption.
- 1867 Blépharite et conjonctivite ; infection staphylococcique.
- 1868 Légère conjonctivite angulaire, associée avec des bacilles de Morax.
- 1869 (a) Conjonctivite causée par les bacilles Morax-Axenfeld.
 (b) Bacilles Morax-Axenfeld.
- 1870 *Ophthalmia neonatorum* purulente aiguë
- 1871 à droite, *staphyloma corneae* } d'*ophthalmia*
 à gauche, *leucoma corneae* } *neonatorum*.

Exposé par :

M. le Dr. George
Mackay, Etlinbourg.

- 1872 (a) Staphylome de la cornée totale
suivant *ophthalmia neonatorum*;
(b) Vue en profile du globe enlevé;
(c) Grandeur normal de la cornée et de
l'iris saines.
- 1873 *Leucoma adherens* suivant *ophthalmia
neonatorum*.
- 1874 Conjonctivite folliculaire.
- 1875 Conjonctivite papillaire, cause inconnue.
- 1876 Apparence lourde en trachome subaigu.
- 1876a. (1) Trachome aigu de la paupière
supérieure.
(2) Paupière inférieure.
- 1877 (a) Entropion cicatricielle et trichiasis.
(b) Idem.
(c) Idem.
- 1878 Conjonctivite printanière.
- 1879 Idem.
- 1880 Idem.
- 1881 (a) Xérosis parenchyme.
(b) Idem.
- 1882 Pinguicula symétrique double.
- 1883 Lipome de la conjonctive.
- 1884 Tumeur dermoïde de la sclérotique et de
la cornée.
- 1885 Epaississement dermoïde de la conjonctive
et de la cornée.
- 1886 Tumeur dermoïde de la conjonctive et
coloboma.
- 1887 Idem.
- 1888 Pigmentation congénitale à la région
ciliaire.
- 1889 Pigmentation congénitale de la con-
jonctive.
- 1890 Pigmentation profonde de la conjonctive.
- 1891 Mélanose de la conjonctive.
- 1892 Argyriasis.
- 1893 Kyste conjonctival dans la région ciliaire.
- 1894 Kyste conjonctival.
- 1895 Conjonctive phlycténulaire (lupus).
- 1896 Lupus.
- 1897 Grandes phlycténules.

Exposé par :

M. le Dr. George
Mackay, Edinbourg.

1898 (a) Contraction de la conjonctive.

(b) Idem.

(c) Idem.

„ 1899 Nodules dans la conjonctive.

„ 1900 Panophthalmie.

„ 1901 Hypertrophie du pli conjonctivale dans l'orbite en conséquence d'une usage trop longue d'un oeil artificiel.

„ 1902 Un filamant congénital apparemment épithélial, dans la chambre antérieure.

Conjonctivite strumense et syphilitique et Kératite.

„ 1903 Conjonctivite phlycténulaire.

„ 1904 Kératite et conjonctivite phlycténulaire.

„ 1905 Conjonctivite phlycténulaire et kératite.

„ 1906 (a) Apparence de l'œil—le 5 mars, 1907.

(b) Idem—le 29 mars, 1907.

(c) Idem—le 5 mai, 1908.

„ 1907 Ulcère conjonctival profond suivant conjonctivite pustuleuse.

„ 1908 Conjonctivite phlycténulaire et kératite tuberculeuse vasculaire.

„ 1909 Kératite tuberculeuse vasculaire.

„ 1910 Kératite vasculaire et superficielle. (tuberculeuse).

„ 1911 Ulcération tuberculeuse de la cornée.

„ 1912 Ulcération de la cornée avec hypopyon.

„ 1913 Episclérite phlycténulaire et kératite.

„ 1914 Episclérite phlycténulaire.

„ 1915 Idem.

„ 1916 Idem.

„ 1917 Episclérite phlycténulaire récurrente et kératite :

(a) Le 18 juin, 1909—avant vaccine.

(b) Le 31 juillet, 1909—après le commencement du traitement vaccine.

„ 1918 Episclérite nodulaire et kératite.

„ 1919 Opacités cornéales causées par kératite strumense.

„ 1920 Episclérite nodulaire récurrente.

Exposé par :

M. le Dr. George
Mackay, Edinbourg.

- 1921 Episléríte nodulaire et kératite.
- 1922 Idem.
(2 négatifs—le 16 novembre, 1905, et le 16 février, 1906).
- 1923 Episléríte diffuse des deux yeux.
- 1924 Episléríte avec l'adenite lymphatique, tuberculeuse.
- 1925 Episléríte.
- 1926 Granulome tuberculeuse.
- 1927 Injection ciliaire persistente sans irite définitive; l'index opsonique vis-à-vis les bacilles de Koch, élève (1, 43).
- 1928 Kératite-irite tuberculeuse.
- 1929 Idem.
- 1930 Episléríte récurrente.
- 1931 Idem.
- 1932 Idem.
- 1933 Episléríte.
- 1934 Conjonctivite et kératite phlycténulaire récurrente.
- 1935 Kératite interstitiale récurrente.
- 1936 Kératite interstitiale.
- 1937 Idem.
(a) Magnifiée.
(b) Même cas presque un mois plus tard.
- 1938 Kératite syphilitique héritée avec *kera-
titis punctata profunda*.
- 1939 Kératite interstitiale et dents rachitiques.
- 1940 Idem, dents normals.
- 1941 Echancrure des dents incisifs, d'un cas de kératite interstitiale.
- 1942 Kératite interstitiale de l'oeil droit; la kératite de l'oeil gauche s'est résolue mais il y a de lymphé dans la chambre antérieure.
- 1943 Dents rachitiques irréguliers.
- 1944 Dents rachitiques et dents d'Hutchinson, avec kératite interstitiale.
- 1945 Kératite profonde.

Exposé par :
M. le Dr. George
Mackay, Edinbourg.

1946 Irite, avec synéchie et dépôt dans la cornée.

Affections de la Cornée.

- 1947 Cornée conique.
1948 *Arcus senilis*.
1949 Fragment d'acier encrusté dans la cornée.
1950 Dépôt de sel de plomb dans la cornée.
1951 Staphylome totale de la cornée.
1952 Idem.
1953 Déplacement de la pupille, suivant piqure accidentelle.
1954 *Endophthalmitis septica*, suivant piqure.
1955 Hémorragie sousépithéliale dans la cornée.
1956 Ulcère septique de la cornée avec hypopyon.
1957 Idem.
1958 Idem.
1959 Kératite vasculaire.
1960 *Keratitis dendritica*.
1961 Ulcère de Mooren.
1962 Idem.
1963 Ulcère marginale de la cornée.
1964 Dépôt sous épithélial de la cornée.
1965 Phase plus tôt du ci-dessus.
1966 Même affection des deux yeux.
 (a) Grandeur normal;
 (b) Magnifiée, 10 fois.
1967 Kératite a forme de disque.
1968 Idem.

Affections de l'iris et du Corps Ciliaire.

- 1969 Aniridie congénitale des deux yeux.
1970 Polycorie congénitale.
1971 *Membrum capsilo-pupillaris perstans*
1972 Hypertrophie des procès ciliaires.
1973 Iritis syphilitique, secondaire.
1974 Iritis syphilitique, gummeuse.
1975 Scléro-irite syphilitique.

Exposé par :

M. le Dr. George,
Mackay, Edinbourg.

- 1976 Irite.
1977 *Keratitis punctata profunda*.
1978 Iridocyclite et *keratitis punctata profunda*
d'un albinos.
1979 Iridocyclite avec *keratitis punctata*
profunda.
1980 Idem.
1981 Idem.
1982 Idem.
1983 Iridocyclite tuberculeuse.
1984 Iridocyclite avec *keratitis punctata*.

Quelques résultats d'Irite.

- 1985 Exclusion de la pupille suivant iridocyclite avec *iris bombé*.
1986 (a) Distension simple regardée par illumination transversale.
(b) *Iris bombé*.
1987 (a) Exclusion, occlusion et déplacement de la pupille avec synéchies antérieures suivant kératite-irite strumeuse.
1988 (b) Apparence de l'oeil après iridectomie, dissection et extraction linéaire de la loupe.
1989 Atrophie de l'iris suivant kératite-irite.
1990 Cas où l'on a performé l'iridectomie au-dessus de la pupille dans chaque oeil pour le soulagement de synéchie postérieure en 1870.

Injures de l'Iris.

- 1991 Rupture traumatique du *sphincter iridis*.
1992 Cicatrice de la région ciliaire avec prolapsus de l'iris.
1993 Cicatrice de la sclérotique avec rétroversion et prolapsus de l'iris.
1994 Réversion traumatique de l'iris.
1995 Iridoplégie traumatique et irite avec hémorragie.
1996 Cicatrice linéaire dans la cornée.

*Glaucome.**Exposé par :*

M. le Dr. George
Mackay, Edinbourg.

1997 Glaucome chronique.

1998 Idem.

1999 Glaucome sous-aigue avec parésie irrégulière de chaque *sphincter iridis*.

2000 Idem.

2001 Glaucome absolue.

2002 Trépanation à la margine scléro-cornéale avec iridectomie.

2003 Idem.

2004 Buphthalmie double.

Tumeurs Intraoculaires.

2005 Sarcome mélanotique.

(a) Apparence externe.

(b) Apparence de la pupille comme vue avec ophthalmoscope.

(c) Idem.

(d) Idem.

2006 Leuko-sarcome de l'iris et du corps ciliaire.

(a) Vue frontale.

(b) Apparence avec l'oeil tourné vers la tempe.

2007 Sarcome mélanotique.

(a) Apparence externe avec l'oeil tourné vers le bas.

(b) Partie supérieure de l'oeil vue du bas.

2008 Sarcome mélanotique de l'iris et du corps ciliaire.

(a) Sarcome de la conjonctive; métastase dans la sclérotique.

(b) Sarcome de la conjonctive.

(c) Idem.

2009 *Gliome rétina*.

2010 Même cas.

(a) Montrant apparence externe de l'oeil.

(b) Partie inférieure de l'oeil après énucléation et bissection.

(c) Apparence de la tumeur à faible grossissement.

(d) à haut grossissement.

Exposé par :

M. le George
Mackay, Edinbourg.

2011 Pseudo-gliome de la rétine.

2012 *Phthisis bulbi* suivant pseudo-gliome.

Cataracte.

2013 Cataracte lamélaire symétrique congénitale :—

(a) Apparence à première vue.

(b) Apparence du cristallin vu par illumination oblique focale.

2014 Cataracte traumatique, avec sidérose.

2015 Cataracte diffuse.

2016 Dislocation congénitale des deux cristallins vers l'intérieur.

2017 Cataracte double dans un *fox-terrier*.

Série de Photographies Lumières, illustrant.

M. le Dr. A.
Maitland Ramsay,
Glasgow.

2018 Sarcome de la glande lachrymale.

2019 Blennorrhagie du sac lachrymal.

2020 *Blepharitis marginalis* à une phase avancée.

2021 Inflammation des glandes *Meibomian*.

2022 Ectropion sénile avec ulcère de la cornée.

2023 Ectropion spasmodique.

2024 Epithéliome du canthus intérieur gauche.

2025 Échymose des paupières et de la conjonctive.

2026 Chéloïde des paupières suivant la rougeole.

2027 *Ophthalmia neonatorum*.

2028 Résultats de l'*ophthalmia neonatorum*.

2029 Trachome avec *pannus*.

2030 Ulcère pneumococque de la cornée gauche.

2031 *Anterior staphyloma* de la cornée.

2032 Kératite interstitiale, tuberculeuse.

2033 Kératite interstitiale, syphilitique.

2034 Ulcération de la sclérotique, tuberculeuse.

2035 Irite syphilitique.

2036 Blessure pénétrante dans la cornée avec prolapsus de l'iris.

Exposé par :

M. le Dr. A.
Maitland Ramsay,
Glasgow.

2037 Cyclite purulente après une blessure perforante.

2038 Cataracte des deux yeux.

2039 Buphthalmie, bilatérale.

2040 Cicatrice filtrante après trépanation (opération d'Elliot).

2041 Choroïdite exudative; pseudo-gliome.

M. le Prof. de Lapersonne,
Paris.

Photographies autochromes :

2043 Lèpre iridocyclite.

2044 Lèpre nodulaire des paupières et de la face.

2045 Sclerite et staphylomes lepreux.

2046 Lèpre—Keratite interstielle.

2047 Keratoglobé.

2048 Hydrophthalmie.

2049 Idem.

2050 Nævus de la paupière supérieure.

2051 Ulcère à hypopyon.

2052 Ptosis congénital familial.

2053 Epithélioma de l'angle externe.

2054 Epithélioma (globe corné).

2055 Epithélioma de l'angle interne.

2056 Epithélioma traité par le radium.

2057 Angiome de la conjonctive.

2058 Idem.

2059 Sarcome mélanique de l'oeil.

2060 Idem.

2061 Sarcome teleangiectasique de l'orbite.

2062 Cylindrome de l'orbite.

2063 Méningite optique, phase de l'arachnoïdite du nerf.

2064 Idem.

2065 Lymphyte méningée.

2066 Papillome de la caroncule.

2067 Emphysème traumatique.

2068 Hématome traumatique.

2069 Le même, en vue de résolution.

2070 Syphilide de la région lacrymale.

2071 Tumeur mixte de la glande lacrymale.

Exposé par :

- M. le Prof. de Lapersonne, 2072 Tumeur mixte.
Paris.
- „ 2073 Idem, nodule cartilagineux.
- „ 2074 Idem, cavité, pseudo-glandulaire.
- „ 2075 Sporotrichose keratite interstielle.
- „ 2076 Idem, infiltration du corps ciliaire.
- „ 2077 Idem, spores.
- „ 2078 Idem, nodule dans l'oeil du lapin.
- M. le Dr. J. V. Paterson, 2079 Projection microscopique illustrant la
Edinbourg. croissance de épithélium.
- „ 2080 Idem.
- „ 2081 Idem.
- „ 2082 Dessins du même.
- „ 2083 Carcinome métastatique.
- „ 2084 Sections microscopiques du même.
- „ 2085 Dessins du même.
- M. le Dr. Priestly Smith, 2086 Album contenant photographies des yeux
Birmingham. perdus à cause de glaucome de sortes
diverses.
- „ 2087 Série de spécimens des yeux pour illus-
trer les méthodes de montage.
- M. le Prof. Salzer, 2088 Série de projections illustrant la guérison
Munich. de blessures perforantes centrales dans
les cornées des salamandres, des gren-
ouilles, de la truite, des colombes, des
poules, et des cobayes.
- „ 2089 Série de spécimens microscopiques du
même.
- „ 2090 Album de dessins en aquarelle et photo-
graphies illustrant la régénération de
la cornée blessée du lapin.
- „ 2091 Table schématique illustrant le précédent.
- „ 2092 Idem.
- M. le Dr. John E. Weeks, 2093 Tête humaine, pour la démonstration
New York. d'une opération des paupières et de
l'orbite.
- M. le Prof. Greeff, Berlin. 2094 Méthode pour préserver sections des
yeux : v. "Musée Technique."
Vision.
- M. le Dr. Edridge Green, 2095 Lanterne à la perception de couleur.
Londres.
- „ 2096 Méthode commode pour l'estimation de
la daltonisme.

Expose par :

- | | | |
|---|------|--|
| M. le Dr. Edridge Green,
Londres. | 2097 | Méthode commode pour la classification des cas de daltonisme. |
| " | 2098 | " Boîte à laine " pour la classification. |
| M. le Dr. N. Bishop
Harman, Londres. | 2099 | Epreuve à diaphragme de la vision binoculaire. |
| M. le Dr. F. Schanz,
Dresden. | 2100 | Appareil pour l'observation de la fluorescence dans l'oeil de l'observateur. |
| " | 2101 | Observations spectrophotométriques des rayons indirectement visibles contenus dans la lumière. |
| " | 2102 | Observations concernant les lunettes protectives, en relation à leur perméabilité par rayons indirectement visibles. |
| " | 2103 | Lunettes "neige" d'Amundsen, fabriquées de verre <i>euphos</i> . |
| " | 2104 | Pince-nez protectif contre l'action des rayons indirectement visibles, venant de sources artificielles de lumière. |
| M. le Dr. R. Cords,
Bonn. | 2105 | Appareil pour la mesure de l'influence de déviation parallactique sur la perception monoculaire de profondeur. |
| " | 2106 | Courbe expliquant le ci-dessus. |

Miscellané.

- | | | |
|---|------|---|
| M. le Dr. N. Bishop
Harman, Londres. | 2107 | Photomètre pour la mesure de l'illumination dans les écoles. |
| " | 2108 | L'éducation des Myopes. Photographies d'une classe myope actuellement en opération à Londres. |
| M. le Dr. R. Coulomb,
Paris. | 2109 | Trois yeux artificiels portés par Gambetta pendant les années 1875-1876 et 1877. |
| " | 2110 | Deux yeux artificiels en silex et en ivoire, fabriqués en 1908 à Jullundur (Indes Anglaises) et répondant exactement à la description donnée par Ambroise Paré en 1579. |

SECTION X.—Les Maladies d'Enfants.

I.—POLIOMYÉLITE.

Exposé par :

- | | | |
|--|------|---|
| M. le Dr. S. A. K. Wilson, Londres. | 2111 | Des pièces démontrant la pathologie expérimentale de la poliomyélite. |
| „ | 2112 | Des pièces démontrant la pathologie de la poliomyélite. |
| „ | 2113 | Des pièces illustrant l'épidémiologie de la poliomyélite. |
| M. le Dr. Arthur Newsholme, Local Government Board, Londres. | 2114 | Trois cartes démontrant l'incidence de la poliomyélite en Angleterre et dans le Pays de Galle, depuis qu'il est devenu obligatoire de notifier cette maladie. |

II.—LA TUBERCULOSE DANS L'ENFANCE.

- | | | |
|--------------------------------|------|---|
| M. le Dr. D. B. Lees, Londres. | 2115 | Diagramme démontrant la distribution des parties sourdes dans les poumons au commencement de la tuberculose pulmonaire. |
| „ | 2116 | Une table démontrant la grandeur des parties sourdes, découvertes par percussion au commencement de la tuberculose pulmonaire. |
| „ | 2117 | Une table semblable. |
| „ | 2118 | Idem. |
| „ | 2119 | Idem. |
| „ | 2120 | Idem. |
| „ | 2121 | Idem. |
| „ | 2122 | Une table démontrant une augmentation des parties sourdes pendant une légère rechute et une diminution subséquente. |
| „ | 2123 | Une table démontrant la dimension des parties sourdes dans un cas de tuberculose pulmonaire avancée. |
| „ | 2124 | Radiographie négative d'un enfant, dans lequel on a découvert par percussion la tuberculose passée et présente des poumons et des glands bronchiales. |
| „ | 2125 | Une négative semblable. |
| „ | 2126 | Idem. |

Exposé par :

- M. le Dr. Alexander P. Mitchell, Edinbourg. 2127 Une série d'aquarelles illustrant la nature et les sites de lésions tuberculeuses des tonsilles d'enfants ayant tubercule des glandes cervicales.
- „ 2128 Une série de microphotographies illustrant la tuberculose et autre lésions des tonsilles d'enfants.
- „ Une série de photographies illustrant:
- „ 2129 Le type bovin des bacilles de Koch dans la culture originale et dans la sub-culture sur le milieu d'œuf, de Dorset.
- „ 2130 Le type humain des bacilles de Koch dans la culture original et dans la sub-culture sur le milieu d'œuf, de Dorset.
- „ 2131 Lésions produites dans les poumons du lapin par l'injection intraveineuse (dose 0.01 millegramme) de bacilles de Koch du type bovin et du type humain. Epreuve de virulence.
- „ 2132 Cultures originales et sub-culture des bacilles de Koch (du type bovin et du type humain) sur le médium d'œuf de Dorset.
- M. le Dr. Leonard Findlay, Glasgow. 2133 Le poumon d'un cobaye avec anthracosis spontanée.
- „ 2134 Poumon d'un lapin avec anthracosis spontanée.
- „ 2135 Inhalation de tuberculose dans un lapin. Les bacilles bovines étaient diffuées 31 jours auparavant.
- „ 2136 Idem. Les bacilles bovines étaient dif-fluées 17 jours auparant.
- „ 2137 Inhalation de bacilles de Koch d'homme (lapin).
- „ 2138 Tuberculose expérimentele dans un lapin; les bacilles bovines introduites dans l'estomac à travers une plaie de la gastrostomie par seringue.
- „ 2139 Tuberculose alimentaire dans un lapin; les bacilles bovines données pendant 60 jours.
- „ 2140 Idem; les bacilles bovines données pen-dent 63 jours.
- „ 2141 Idem; les bacilles bovines données à une occasion 73 jours auparavant.

Exposé par :

M. le Dr. Leonard
Findlay, Glasgow.

„

„

„

2142 Idem ; les bacilles bovines données pendant 60 jours.

2143 Idem ; les bacilles d'homme données à une occasion 62 jours auparavant.

2144 Pseudo-tuberculose dans un lapin.

2145 Idem.

Spécimens microscopiques :

„

„

„

„

„

„

„

„

„

„

2146 Nodule de tuberculose dans le poumon d'un lapin.

2147 Idem ; coloré pour montrer des bacilles de Koch.

2148 Nodule de pseudo-tuberculose dans le poumon d'un cobaye.

2149 Préparation de la rate dans pseudo-tuberculose, montrant des bacilles de pseudo-tuberculose.

2150 Préparation d'une culture de bacilles de pseudo-tuberculose.

2151 Ulcère tuberculeux des *valv. conniv.* dans un lapin.

2152 Idem ; coloré pour montrer les bacilles de Koch.

2153 Nodule de pseudo-tuberculose dans la rate d'un cobaye.

2154 Idem ; coloré pour montrer les bacilles de Koch.

2155 Dessins colorés, illustrant les lésions de la tuberculose expérimentelle dans des lapins ; les animaux étaient alimentés avec des bacilles de Koch.

M. le Dr. Siegfried Weiss,
Vienne.

2156 Modèle en cire démontrant l'état de la joue dans un cas de scorbut infantile, maladie de Barlow (forme de Möller).

L'Hôpital des Enfants
malades, Londres.

2157 La tuberculose dans l'enfance.

SECTIONS XI et XII.—Neuropathologie et Psychiatrie.

Séries de sections de cerveau d'apraxie et d'aphasie.

Exposé par :

M. le Prof. H. Liepmann, Berlin.

- | | | |
|---|------|--|
| | 2158 | Cas d'apraxie d'un côté. Sur le côté gauche une nouvelle lésion dans le lobe frontal, et dans la substance blanche de la 3ème et 2ème circonvolution frontale; destruction entière du corps calleux. |
| „ | 2159 | Idem. Sur le côté droit une lésion dans la capsule interne. |
| „ | 2160 | Le même cas; destruction entière du corpus callosum. |
| „ | 2161 | Le même cas; sur le côté gauche, une grande lésion dans le lobe pariétal, destruction entière du corps calleux. |
| „ | 2162 | Idem. |
| „ | 2163 | Idem. |
| „ | 2164 | Idem. |
| „ | 2165 | Le même cas; sur le côté gauche une grande lésion dans le lobe pariétal; le splénium entier. |
| „ | 2166 | Dyspraxie bilatérale, avec aphasie sensoriel partiellement disparue, et de difficulté de trouver les mots. Une vieille lésion dans le lobe pariétal gauche; une lésion récente antérieurement et au côté gauche dans le corps calleux. |
| „ | 2167 | Idem. |
| „ | 2168 | Idem. |
| „ | 2169 | Idem. |
| „ | 2170 | Embolie des deux branches postérieures de l'artère cérébrale antérieure, causant dyspraxie du côté gauche; ramollissement du côté gauche du corps calleux et des parties médianes des hémisphères. |
| „ | 2171 | Idem. |
| „ | 2172 | Idem. |
| „ | 2173 | Idem. |

Exposé par :

M. le Prof. H. Liepmann, Berlin.

- 2174 Tumeur du corps calleux et de la partie intérieure du lobe frontal; causant dyspraxie du côté gauche.
- 2175 Idem.
- 2176 Idem.
- 2177 Tumeur du corps calleux de la partie médiane du lobe frontal et du *centrum semiovale* de la région centrale, causant dyspraxie du côté gauche.
- 2178 Idem.
- 2179 Amincissement abnormal du corps calleux et dilatation du ventricule; causant dyspraxie du côté gauche; hémiplégie du côté droit, causée par une lésion dans la zone du noyau lenticulaire.
- 2180 Spécimen normal pour comparaison de la section précédente.
- 2181 Hémiplégie du côté droit et dyspraxie du côté gauche; une grande lésion dans les circonvolutions centrales et dans la substance blanche contigue.
- 2182 Idem.
- 2183 Idem.
- 2184 Idem.
- 2185 Le même cas.
- 2186 Idem; une petite lésion dans le lobe occipital.
- 2187 Cerveau d'une personne gauchère; destruction très étendue du centre de langage et du centre de la perception des mots, lésion dans le corps calleux; alexie et agraphie complète; paralysie du côté gauche.
- 2188 Idem.
- 2189 Idem.
- 2190 Aphasie motrice persistante avec agraphie; destruction de la troisième circonvolution frontale gauche, avec le zone du noyau lenticulaire presque entier. Le zone de Wernicke est dans son entier.
- 2191 Idem.
- 2192 Idem.

Exposé par :

M. le Prof. H. Liepmann, Berlin.

- 2193 Aphasie motrice persistante : le zone du noyau lenticulaire entier ; la lésion a détruit la deuxième circonvolution frontale et l'opercule Rolandi, et a endommagé la circonvolution de Broca.
- 2194 Idem.
- 2195 Idem.
- 2196 Idem.
- 2197 Section horizontale à travers l'hémisphère gauche du cerveau d'un malade ayant une destruction ancienne (d'une 30 d'années) d'une partie de la circonvolution de Broca, de l'opercule Rolandi, de l'entière île de Reil, de la capsule et de la région de Wernicke. L'aphasie avait pour ainsi dire disparue, ne laissant qu'un petit défaut de parole.
- 2198 Idem.
- 2199 Idem.
- 2200 Idem.
- 2201 Destruction de la région du noyau lenticulaire ; causant aphasie motrice et surdité des mots ; la lésion s'étend en haut vers la substance blanche de la troisième circonvolution frontale et de la fissure de Roland ; en bas dans la partie postérieure, vers la substance blanche du lobe pariétal, entrecoupant les fibres auditives.
- 2202 Idem.
- 2203 Idem.
- 2204 Idem.
- 2205 Un cas semblable, dans lequel la lésion ne s'étend pas autant en avant et en haut ; il y avait une articulation fautive et beaucoup de difficulté de trouver les mots ; la compréhension de mots n'était que légèrement affectée.
- 2206 Idem.
- 2207 Un cas semblable, dans lequel la lésion ne s'étend pas autant en haut, en avant ou en bas ; restitution de la parole au cours de deux mois.
- 2208 Idem.
- 2209 Idem.
- 2210 Idem.

Exposé par :

M. le Prof. H. Liep-
mann, Berlin.

- 2211 Anarthrie complète, ainsi qu'aphagie et surdité corticale complètes ; l'opercule Rolandi entier, sur le côté gauche, la partie pariétale et la partie postérieure du lobe frontal et l'île de Reil sont détruites. Destruction de la circonvolution profonde temporale, avec la circonvolution supérieure temporale entier. Sur le côté droit, dommage considérable de l'opercule Rolandi ; destruction de la partie antérieure du membre postérieur de la capsule interne, du sillon profond et du sillon supérieur temporal, et dommage sérieux du noyau lenticulaire et de l'île de Reil.
- „ 2212 Idem.
- „ 2213 Idem.
- „ 2214 Dysarthrie assez sévère et dysphagie ; causées apparemment par une lésion du côté droit dans la fissure de Roland et le lobe frontal ; on a trouvé cependant une hypoplasie congénitale dans la fissure gauche de Roland.
- „ 2215 Idem.
- M. le Dr. R. J. D. Holtby, 2216 Porencephalie symétrique, affectant la
Dublin. région temporale.
- M. le Dr. William 2217 Appareil de McDougall construit pour
Brown, Londres. mesurer l'attention volontaire et la
fatigue.
- „ 2218 L'appareil psycho-galvanique.
- „ 2219 Registres de la réaction psycho-galvanique.
- „ 2220 Registres de psycho-analyse.

SECTION XIV.—Urologie.

I.—LES AFFECTIONS DE LA PROSTATE.

Projections

- Exposé par :*
 Monsieur Freyer, 2220 Une série de spécimens démontrant les
 Londres. conditions pathologiques de la prostate.

SECTIONS DE LA GLANDE PROSTATE.

ANATOMIQUE.

- M. le Dr. Henry Wade, 2221 (1) Section sagittale du bassin, d'un
 Edinbourg. enfant nouveau-né.
 „ (2) Section horizontale du bassin, d'un
 „ enfant nouveau-né.
 „ (3) Idem.
 „ (4) Idem.
 „ (5) Idem, d'un adulte.
 „ (6) Idem.
 „ (7) Idem.
 „ (8) Section sagittale de la vessie, de la
 „ prostate et du rectum.
 „ (9) Section coronale verticale de la
 „ prostate.
 „ (10) Section horizontale de la partie
 „ supérieure de la prostate.
 „ (11) Section montrant le sphincter
 „ vésical extérieur et le muscle *recto-
 urethralis*.

PATHOLOGIQUE.

(A.)—*Hypertrophie prostatique.*

- Sections de la prostate, démontrant :
 „ (12) Affection du lobe médian.
 „ (13) Prostatite lobulaire chronique.
 „ (14) Idem.
 „ (15) Hypertrophie suivant prostatite
 „ lobulaire chronique.

Exposé par :

M. le Dr. Henry Wade,
Edinbourg.

„

„

„

„

„

(16) Prostatite lobulaire chronique.

(17) Idem.

(18) Prostatite lobulaire chronique ;
enucléation "totale" par pros-
tatectomie sous-pubienne.

(19) Idem.

(20) Prostatite lobulaire chronique sans
hypertrophie.

(21) Prostatite lobulaire chronique.

(B.)—*Fibrose prostatique.*

Sections illustrant :

„

„

(22) Prostatite intersttielle chronique.

(23) Idem.

(C.)—*Carcinome de la Prostate.*

Sections illustrant :

„

„

„

„

„

„

„

„

(24) Carcinome avancé.

(25) Idem.

(26) Carcinome et prostatite intersttielle
chronique.

(27 et 28) Deux lobes enlevés par prosta-
tectomy sous-pubienne.

(27) Prostatite lobulaire chro-
nique.

(28) Prostatite lobulaire chro-
nique et carcinome.

(29) Carcinome squirrheux de la prostate.

(30) Carcinome medulaire.

(31) Carcinome.

(32) Idem.

PROSTATECTOMIE SOUS-PUBIENNE.

(A.)—*Sections horizontales des parties enlevées.*

„

(33) Enucléation "totale ;" prostatite
lobulaire chronique.

(34) Enucléation "totale ;" prostatite
lobulaire chronique sans hyper-
trophie.

Exposé par :

M. le Dr. Henry Wade,
Edinbourg.

„

„

„

„

(35) Enucléation "totale" avec conservation partielle de l'urètre; prostatite lobulaire chronique.

(36) Idem.

(37) Enucléation "totale" avec conservation de l'urètre; prostatite lobulaire chronique.

(38) Idem.

(39) Enucléation du lobé.

(B.)—*Sections du "lit" prostatique dans des cas fatals après prostatectomie.*

„

„

„

„

„

„

„

„

„

„

„

(40) Le fond de la vessie.

(41) "Lit" prostatique et le rectum.

(42) Le même spécimen, montrant la partie inférieure.

(43) Le même cas, montrant capsule fausse.

(44) La partie latérale du "lit" prostatique.

(45) Partie médiane du "lit" prostatique.

(46) Partie latérale du "lit" prostatique et du rectum.

(47) Un parois latéral.

(48) Partie médiane du "lit" prostatique après prostatectomie "totale."

(49) Des parties médianes enlevées du cas précédent par opération.

(50) Partie latérale du "lit" prostatique.

H.—LA TUBERCULOSE.

M. le Dr. David
Newman, Glasgow.

Une série de dessins illustrant les aspects cystoscopiques de la tuberculose initiale de la vessie et du rein.

„

„

„

„

„

„

2222 Tuberculose primaire.

2223 Les aspects cystoscopiques de la tuberculose primaire du rein et du bassinet.

2224 Tuberculose primaire du rein gauche.

2225 Tuberculose rénale.

2226 Tuberculose primaire du rein droit.

2227 Tuberculose initiale du rein gauche.

Exposé par :

M. le Dr. David
Newman, Glasgow.

2228 Cystite tuberculeuse primaire.

2229 Idem, montrant hyperémie.

2230 Idem, montrant des nodules minutieux
sous l'épithélium de la muqueuse.

2231 Idem, montrant des taches irrégulières

2232 Idem, montrant ulcération.

2233 Idem, montrant un ulcère avec
trabécule.

2234 Idem, montrant des dépôts sous-
muqueux caséux.

2235 Une série de dessins démontrant les
phases diverses et les types divers de
la tuberculose du rein.

2236 Des reins tuberculeux.

M. le Dr. Matthew
J. Stewart, Leeds

2237 Rein d'un cas de leucémie lymphatique
chronique, montrant changements
graisseux extrêmes et hémorrhagie
dans le bassin et le sinus.

2238 Rein, montrant l'étendue centrifuge du
cancer partant du bassin.

M. le Dr. Rudolf
Picker, Buda-Pest.

*Une série de préparations, injectées de la
pâte de bismuth de Beck, illustrant les
tubes des vésicules séminales d'homme :*

2239 Vésicule séminale, montrant des tubes
droits simples. (Groupe A.)

2240 Vésicule séminale, montrant des tubes
tortueux et épais. (Groupe B.)

2241 Idem.

2242 Idem.

2243 Idem.

2244 Idem.

2245 Idem.

2246 Idem.

2247 Idem.

2248 Vésicules séminales, montrant des tubes
tortueux et minces (typique du groupe
C.)

2249 Idem, avec cours caractéristique.

2250 Idem.

2251 Idem, avec cours ayant la forme "U"
sur le côté droit.

Exposé par :

M. le Dr. Rudolf
Picker, Buda-Pest.

- 2252 Vésicule séminale montrant les tubes principaux, droits ou tortueux, avec diverticules (typique du groupe D).
- 2253 Idem, le tube principal ayant la forme "T."
- 2254 Idem, montrant la différence entre le côté droit et le côté gauche.
- 2255 Idem, montrant dilatation.
- 2256 Idem, montrant des tubes petits.
- 2257 Vésicule séminale avec le tube principal court, et les tubes accessoires grands, irréguliers et embranchés (groupe E).
- 2258 Idem.
- 2259 Idem.
- 2260 Idem.
- 2261 Idem.
- 2262 Idem.
- 2263 Idem.
- 2264 Idem.
- 2265 Vésicule séminale, avec *ductus deferentis* ferme (groupe F).
- 2266 Vésicule séminale associée avec la pyélite et la glande accrue de Cowper.
- 2267 Vésicule séminale avec ampoules petites et de développement rudimentaire générale.
- 2268 Vésicule séminale, associée avec un abcès entre l'uretère et le *vas deferens*.
- 2269 Vésicule séminale, montrant des adhérences inflammatoires prononcées.
- 2270 Idem.
- 2271 Idem.
- 2272 Idem.
- 2273 Idem.
- 2274 Idem.
- 2275 Idem.
- 2276 Vésicule séminale anormale.
- 2277 Une série de radiographies, illustrant les changements plus fins des préparations précédentes.
- 2278 Une série de 50 photographies stéréoscopiques, illustrant les préparations de M. le Dr. Picker.
- 2279 Tables donnant des détails statistiques.

Exposé par :

- | | |
|--|---|
| M. le Dr. Thomson
Walker, Londres. | 2280 Une série de 21 projections illustrant la
pyélographie. |
| „ | 2281 Une série de 6 projections, illustrant les
diverticules de la vessie. |
| „ | 2282 Préparations des diverticules de la
vessie. |
| St. Peter's Hôpital,
Londres. | 2283 Calculs (rénals). |
| „ | 2284 Idem (uratiques). |
| „ | 2285 Idem (vésicaux). |
| „ | 2286 Idem (prostatiques). |
| „ | 2287 Idem (urétériques). |
| „ | 2288 Préparations pathologiques diverses. |
| M. le Dr. Ernst R. W.
Franck, Berlin. | Diagrammes, illustrant des affections de
la muqueuse de la vessie; les apparences
cystoscopiques :— |
| „ | 2289 Maladie syphilitique de la membrane
muqueuse de la vessie. |
| „ | 2290 Tuberculose de la membrane muqueuse
de la vessie; (a) hémotogène; (b)
rénale. |
| „ | 2291 Lésions de la membrane muqueuse de la
vessie. |
| „ | 2292 Infection <i>bilharzia</i> de la membrane
muqueuse de la vessie. |
| „ | 2293 Les changements congénitaux. |
| „ | 2294 Cystite; (a) <i>cystitis productiva</i> . |
| „ | 2295 Changements du parois de la vessie. |
| „ | 2296 Affections de la papille de l'urètre. |
| „ | 2297 Tumeurs de la vessie. |
| „ | 2298 Affections du cou de la vessie. |
| M. Cyril A. R. Nitch,
Londres. | 2299 Rein, montrant des lésions tuberculeuses
(pyélite et pyonéphrose). |
| „ | 2300 Section microscopique de l'urètre du
même cas. |
| „ | 2301 Dessins démontrant le rein et l'orifice
d'urètre du même cas. |
| „ | 2302 Tuberculose étendue du rein. |
| „ | 2303 Dessin colorié, démontrant un rein tuber-
culeux. |
| „ | 2304 Idem, démontrant l'orifice urètre. |

SECTION XV.—Laryngologie and Rhinologie.

*Exposé par :*M. le Prof. Alfred
Denker, Halle.*Les tumeurs malignes du nez et des
cavités voisines.*

- 2305 Carcinome du nez.
 „ 2306 Idem.
 „ 2307 Idem.
 „ 2308 Idem.
 „ 2309 Idem.
 „ 2310 Préparation microscopique de carcinome
du nez.
 „ 2311 Idem.
 „ 2312 Idem.
 „ 2313 Idem.
 „ 2314 Carcinome pharyngo-nasal.
 „ 2315 Sarcome du nez.
 „ 2316 Idem.
 „ 2317 Idem.
 „ 2318 Idem.
 „ 2319 Idem.
 „ 2320 Préparation microscopique de sarcome
du nez.
 „ 2321 Idem.
 „ 2322 Endothéliome du nez.
 „ 2323 Idem.
 „ 2324 Enchondrome du nez.
 „ 2325 Préparation microscopique d'enchon-
drome du nez.
 „ 2326 Ostéome du nez.
 „ 2327 Préparation microscopique d'ostéome du
nez.
 „ 2328 Angio-fibrome pharyngo-nasal.
 „ 2329 Préparation microscopique d'angio-
fibrome pharyngo-nasal.
 M. le Prof. R. 2330 Carcinome de la partie supérieure de la
Hoffmann, Dresden. trachée.
 „ 2331 Carcinome des bronches.
 „ 2332 Carcinome du *sinus pyriformis*.
 „ 2333 Bronchite fibrineux.

Exposé par :

M. le Prof. Gerber,
Königsberg.

*Une série d'aquarelles et de photographies,
illustrant les maladies des voies respira-
toires supérieures. Affections du nez :*

- „ 2334 (a) Conditions normales ; (b) Déviation du septum.
- „ 2335 Gosier normal et ses variétés.
- „ 2336 Synéchies : (b) affections du septum ; (c) inflammations simples et fibrineuses.
- „ 2337 Inflammations fibrineuses, métaplasie de l'épithélium ; rhinite atrophique.
- „ 2338 Angistibrome du naso-pharynx.
- „ 2339 Rhinite fétide hypertrophie que hypertrophies papillaires.
- „ 2340 Hypertrophie amygdales.
- „ 2341 Des polypes.
- „ 2342 Polypes retro-nasals.
- „ 2343 Idem ; fibromes.
- „ 2344 Cystes, lipomes ; calculs nasals et corps étrangers.
- „ 2345 Papillomes.
- „ 2346 Carcinomes.
- „ 2347 Idem.
- „ 2348 Sarcomes.
- „ 2349 Mélanose généralisé suivant sarcome.
- „ 2350 Affections des cavités voisines ; suppuration de l'antre et empyème combiné.
- „ 2351 (a) Mucocèle et empyème du sinus frontal avec dilatation ; abcès du sinus frontal ; (b) tumeurs bénignes des cavités accessoires ; (c) Tumeurs malignes des cavités accessoires.
- „ 2352 Empyème du sinus frontal (compliqué).
- „ 2353 Idem.
- „ 2354 Anomalies du sinus frontal.
- „ 2355 Kystes.
- „ 2356 Ostéomes.
- „ 2357 Lupus et tuberculose.
- „ 2358 Idem.
- „ 2359 Syphilis.
- „ 2360 Idem.
- „ 2361 Idem ; difformités typiques et atypiques.

*Exposé par :*M. le Prof. Gerber,
Königsberg.

„

„

„

„

„

„

„

„

2362 Idem ; difformités typiques et atypiques.

2363 Idem.

2364 Lèpte.

2365 Scléromes.

2366 Idem.

2367 Des affections spéciales de la peau du nez
et des narines.

2368 Des affections de la peau du nez.

2369 Traumatismes et anomalies congénitales.

2370 Anomalies congénitales.

Miscellanées :

„

2372 Prothèses de paraffine.

„

2373 Opérations plastiques.

„

2374 Idem.

„

2375 Larynx.

„

2376 Des affections de l'oreille extérieure.

„

2377 Tumeurs de l'oreille.

„

2378 Illustrations des opérations sur l'os tem-
poral.*Néoplasmes du nez, des sinus accessoires, et du naso-pharynx.*Les Hôpitaux métropo-
litains de Londres.

„

2379 Sarcome du nez.

„

2380 Angio-fibrome naso-pharyngien.

„

2381 Tumeur naso-pharyngienne.

„

2382 Néoplasme de l'antre maxillaire.

„

2383 Idem.

„

2384 Fibrome naso-pharyngien.

„

2385 Tumeur naso-pharyngienne.

„

2386 Exostose de l'éthmoïde.

„

2387 Néoplasme naso-pharyngien s'étendant
jusqu'à l'oreille.

„

2388 Sarcome à cellule ronde du naso-pharynx.

„

2389 L'opération plastique du nez.

Tumeurs laryngiennes.

„

2390 Papillomes multiples.

„

2391 Idem.

Exposé par :

- | | | |
|-----------------------|------|---|
| Les Hôpitaux metro- | 2392 | Papillomes multiples. |
| politains de Londres. | | |
| ” | 2393 | Idem. |
| ” | 2394 | Idem. |
| ” | 2395 | Idem. |
| ” | 2396 | Tumeur “chouffleur” de la corde vocale. |
| ” | 2397 | Polype simple de la corde vocale. |
| ” | 2398 | Polype sarcomateux de la corde vocale. |
| ” | 2399 | Sarcome à petites cellules de l’aryténoïde. |
| ” | 2400 | Sarcome du larynx. |
| ” | 2401 | Epithéliome du larynx. |
| ” | 2402 | Polype simple de la corde vocale. |
| ” | 2403 | Polype du larynx. |
| ” | 2404 | Fibro-lipome de l’épiglotte. |
| ” | 2405 | Tumeur spongieuse de l’épiglotte. |
| ” | 2406 | Epithéliome de l’épiglotte. |
| ” | 2407 | Tumeur récurrente du larynx, 13 ans
après laryngo-fissure. |
| ” | 2408 | Epithéliome de la langue, attaquant le
larynx. |
| ” | 2409 | Idem. |
| ” | 2410 | Enchondrome du cartilage cricoïde. |
| ” | 2411 | Prolapsus du ventricule du larynx. |
| ” | 2412 | Idem. |
| ” | 2413 | Leucoplasie du larynx. |
| ” | 2414 | Syphilis du larynx. |
| ” | 2415 | Idem, sténose. |
| ” | 2416 | Laryngite septique. |
| ” | 2417 | Spécimen de laryngectomie partielle. |
| ” | 2418 | Papillomes laryngiens s’étendant jusqu’
aux limites du larynx. |
| ” | 2419 | Disséction d’une pièce anatomique
(paralysie d’abducteur.) |
| ” | 2420 | Morve du larynx. |
| ” | 2421 | Lèpre du larynx. |
| ” | 2422 | Idem. |
| ” | 2423 | Diphthérie du larynx et de la trachée. |
| ” | 2424 | Ulcération tuberculeuse de la trachée. |
| ” | 2425 | Carcinome attaquant la bifurcation de la
trachée. |

Exposé par :

- | | | |
|---|-------|--|
| Les Hôpitaux métropolitains de Londres. | 2426 | Carcinome attaquant la bifurcation de la trachée. |
| " | 2427 | Idem. |
| " | 2428 | Idem. |
| " | 2429 | Tumeurs nodulaires de la trachée. |
| " | 2430 | Sarcome de la bifurcation de la trachée, la tumeur primaire dans le rein. |
| " | 2431 | Tumeur glandulaire du médiastnum, s'étendant jusqu'à la trachée. |
| " | 2432 | Tumeur maligne de la glande thyroïde, s'étendant jusqu'à la trachée. |
| " | 2433 | Pétechie de la trachée et du larynx d'un cas de septicémie. |
| " | 2434 | Carcinome de la bronche gauche. |
| " | 2435 | Syphilis de la trachée et du larynx. |
| M. le Docteur Jobson Horne. | 2435A | Spécimens macroscopiques et microscopiques de la <i>pachydermia laryngis</i> . |
| " | 2435B | Cystome du larynx. |
| " | 2435C | Prolapsus de la membrane muqueuse du ventricule du larynx. |
| " | 2435D | Sarcome du thyroïde. |
| M. le Dr. R. D. Paterson, Cardiff. | 2436 | Sarcome de la thyroïde, percant la trachée. |

Tumeurs retro-cricoïdes, pharyngiennes et œsophagiennes.

- | | | |
|---|------|---|
| Les Hôpitaux métropolitains de Londres. | 2437 | Epithéliome rétro-cricoïde. |
| " | 2438 | Idem. |
| " | 2439 | Idem. |
| " | 2440 | Idem. |
| " | 2441 | Idem. |
| " | 2442 | Idem. |
| " | 2443 | Idem. |
| " | 2444 | Idem. |
| " | 2445 | Idem. |
| " | 2446 | Idem. |
| " | 2447 | Idem. |
| " | 2448 | Tumeur de la fosse pyriforme dans un homme. |
| " | 2449 | Idem. |
| " | 2450 | Idem. |
| " | 2451 | Idem. |
| " | 2452 | Idem. |

Exposé par :

Les Hôpitaux métropolitains de Londres.	2453	Tumeur de l'orifice de l'œsophage.
"	2454	Idem.
"	2455	Fibrome sous-muqueux de l'œsophage.
"	2456	Tumeur de l'orifice de l'œsophage.
"	2457	Idem.
"	2458	Sarcome du pharynx.
"	2459	Sarcome pédonculé du pharynx.
"	2460	Tumeur de la fosse pyriforme dans un homme.
"	2461	Grandes tonsilles pharygiennes et linguales.
"	2462	Tumeurs papillaires des tonsilles linguales.

Carcinome de l'œsophage.

M. le Dr. Logan Turner, 2462A Une série de 18 dessins :
Edinbourg.

- (1) Epithéliome squameux du larynx.
- (2) Idem, s'étendant jusqu'au sinus pyriforme droit.
- (3) Idem, s'étendant jusqu'au lobe droit de la glands thyroïde.
- (4) Idem, s'étendant au sinus pyriforme droit et jusqu'au repli aryépiglotique droit.
- (5) Idem, s'étendant jusqu'au larynx.
- (6) Idem, montrant stricture, s'étendant jusqu'au nerf laryngien récurrent (droit).
- (7) Idem, montrant une stricture deux pouces de longueur et glande dilatée.
- (8) Idem, au niveau de l'arc aortique, presque oblitéré trachée adhérente.
- (9) Idem, au niveau de la bifurcation de la trachée ; glande dilatée.
- (10) Idem, le parois ulcéré et le poumon atteint.
- (11) Idem, formant une grande masse ; trachée adhérente.
- (12) Idem, tumeur s'étendant jusqu'à la trachée.
- (13) Idem, ulcération profonde, s'étendant jusqu'à la trachée et jusqu'au bronche.

Exposé par :

M. le Dr. A. Logan
Turner, Edinbourg.

- (14) Idem, plusieurs petites nodules dans la trachée.
(15) Idem, perçant la trachée adhérente.
(16) Idem, ulcération verticale, près de la partie inférieure du gosier.
(17) Idem, près de la partie inférieure du gosier ; dilaté ; ulcération très étendue.
(18) Idem, s'étendant jusqu'à la partie inférieure et la partie cardiaque de l'estomac ; adhérent au péricarde enflammé.

Tumeurs pituitaires.

Les Hôpitaux Métro-
politains de Londres.

- 2463 La base du crâne avec maladie du corps pituitaire.
2464 Tumeur cystique du corps pituitaire et sphénoïde.
2465 Adénome.
2466 Selle turcique dilatée.
2467 Glio-sarcome.
2468 Sarcome.
2469 Hypertrophie.
2470 Tumeur pituitaire.
2471 Sarcome.
2472 Idem.
2473 Périthéliome.
2474 Hypertrophie.
2475 Sarcome.
2476 Tumeur.
2477 Idem.
2478 Cyste.
2479 Endothéliome.
2480 Adénome.
2481 Corps pituitaire dilaté ; acromégalie.
2482 Idem.
2483 Sarcome pituitaire ; acromégalie.

M. le Prof. Spiess,
Francfort.

- 2484 Radiographie d'une tumeur de la grande pituitaire.
2485 Idem.

Exposé par :

- M. le Dr. L. H. Pegler, 2486 Une carte d'autographe du cinquième
Londres. nerf cranial, illustrant l'anatomie, la
physiologie et la pathologie, ainsi que
la racine, l'origine, la distribution de
la surface et des connections, du même
avec une nomenclature étendue des
nerfs nasals.

Préparations microscopiques.

I.—LARYNX.

- Sir Felix Semon, 2487 Fibrome mou, extra-laryngien en partie.
Londres.
M. le Dr. W. Milligan. 2488 Angio-fibrome de la corde vocale.
M. le Dr. Percy Kidd. 2489 Angio-fibrome du larynx.
M. le Dr. Dundas 2490 Fibrome mou du repli aryténo-épiglottien.
Grant.
Mons. R. Lake. 2491 Carcinome glandulaire extrinsèque.
M. le Dr. Scanes 2492 Carcinome à cellules sphéroïdales.
Spicer.
M. le Dr. Lambert 2493 Sarcome à cellules mixtes du parois
Lack. postérieur du cartilage cricoïde.

II.—PHARYNX.

- M. le Dr. Pegler. 2494 Carcinome à du parois pharyngien.
M. le Dr. Carcon. 2495 Carcinome à cellules squameuses.
M. le Dr. Lambert 2496 Sarcome de la tonsille.
Lack.

III.—SARCOME.

- M. le Dr. Pegler. 2497 Angio-fibrome mou récurrent.
Mons. Tilley. 2498 Angio-fibrome épais.
M. le Dr. Fitzgerald 2499 Tumeur lymphoïde à cellules géantes.
Powell.
M. le Dr. Bronner. 2500 Carcinome à cellules sphéroïdales.
Mons. E. B. Waggett. 2501 Périenthéliome.

IV.—LE NEZ.

- „ 2502 Myélome de l'éthmoïde et de l'orbite.
M. le Dr. Lambert 2503 Endothéliome de l'autre maxillaire.
Lack.

Exposé par :

- | | | |
|-------------------------|------|---|
| M. le Dr. Dundas Grant. | 2504 | Carcinome à cellules cylindriques (le nez et l'antre). |
| " | 2505 | Rhinosclérome. |
| M. le G. Wilkinson. | 2506 | Sarcome mélanotique. |
| M. le Dr. Logan Turner. | 2507 | Papillome ; tumeur "chouffleur" du septum. |
| M. le P. de Santi. | 2508 | Sarcome à petites cellules rondes du septum. |
| M. le Dr. Bond. | 2509 | Sarcome à grandes cellules rondes du septum. |
| M. E. W. Bain. | 2510 | Sporospermose localisé du cartilage septal (rhinosporidium Kinealyi). |
| " | 2511 | Papillome de l'os turbiné inférieur. |
| M. R. Lake. | 2512 | Sarcome à petites cellules rondes de l'os turbiné inférieur. |
| M. G. Wilkinson. | 2513 | Tumeur papillaire de l'os turbiné inférieur. |

V.—ANGIOME NASAL DISCRET.

- | | | |
|-------------------------|------|---|
| M. le Dr. B. Kelly. | 2514 | Parois extérieur du vestibule ; fibro-angiome. |
| M. le Dr. C. Baber. | 2515 | Un autre cas. |
| M. le Dr. W. H. Kelson. | 2516 | La base du conduit inférieur, antérieurement ; fibro-angiome. |
| " | 2517 | Un autre cas. |
| M. S. Hastings. | 2518 | Extrémité antérieure de l'os inférieur. |

Les exemples suivant étaient attachés au septum.

- | | | |
|--------------------------|------|--|
| M. le Dr. B. Kelly. | 2519 | Cavernose spongieux. |
| M. H. Tilley. | 2520 | Type granulomateux. |
| M. G. Wilkinson. | 2521 | Type fibromateux. |
| M. B. Robinson. | 2522 | Grand type caverneux. |
| M. H. Tilley. | 2523 | Type sarcomatoïde. |
| M. C. A. Parker. | 2524 | Fibro-angiome (<i>rhinitis sicca</i>). |
| " | 2525 | Idem. (<i>rhinitis sicca</i>). |
| M. F. J. Steward. | 2526 | Fibro-angiome, perçant le cartilage du septum. |
| M. H. Tod. | 2527 | Fibro-angiome, montrant tumeur du cartilage du septum. |
| M. le Dr. Scanes Spicer. | 2528 | Fibro-angiome mou, une recrudescence. |

Exposé par :

- | | | |
|-------------------------|------|---|
| M. H. Tilley. | 2529 | Fibro-angiome, du type de tissu conjonctif. |
| M, le Dr. Lambert Lack. | 2530 | Fibro-cavernome à texture molle. |
| Sir St. Clair Thomson. | 2531 | Fibro-angiome, type cellulaire. |
| M. le Dr. H. Tod | 2532 | Fibro-angiome, type caverneux. |
| Sir St. Clair Thomson. | 2533 | Fibro-angiome, type de cavernome spongieux. |

*Enucléation de la tonsille avec la guillotine.
Les méthodes d'enlèvement.*

- | | | |
|---|------|---|
| MM. les Drs. S. S. Whillis et F. C. Pybus, Newcastle. | 2534 | Une série de 20 tonsilles. |
| " | 2535 | Une série de 40 tonsilles. |
| " | 2536 | Enucléation ordinaire dans une pièce, grande. Type 1. |
| " | 2537 | Idem, moyenne. Type 1. |
| " | 2538 | Idem, petite. Type 1. |
| " | 2539 | Enucléation, mais sans enlever la capsule entière. Type 2. |
| " | 2540 | Enlèvement en deux pièces. Type 3. |
| " | 2541 | Idem. Type 4. |
| " | 2542 | Enlèvement en plus de deux pièces. Type 5. |
| " | 2543 | Tonsille montrant éversion. |
| " | 2544 | Grande tonsille énuclée sous anaesthésie locale avec cocaïne. |

Des Variétés de Tonsilles.

- | | | |
|---|------|---|
| " | 2545 | Petite tonsille montrant la fente naturelle profonde. |
| " | 2546 | Tonsille hypertrophiée. |
| " | 2547 | Tonsille montrant trois élévations. |
| " | 2548 | Variété penchante. |
| " | 2549 | Variété saillante. |
| " | 2550 | Tonsilles plates. |
| " | 2551 | Grandes tonsilles emboîtées. |
| " | 2552 | Petites tonsilles emboîtées. |
| " | 2553 | Accroissement récurrente. |

Illustratant l'Infection de la Tonsille.

- | | | |
|---|------|---|
| " | 2554 | Tonsilles, montrant infection des lacunes. |
| " | 2555 | Tonsilles, montrant des dépressions remplies de la matière caséuse. |

Exposé par :

MM. les Drs. S. S. 2556 Section de tonsilles, montrant des grands
 Whillis et F. C. Pybus, foyers caséux.
 Newcastle.

„ 2557 Tonsilles, montrant des adhérences
 entre les tonsilles et les capsules.

„ 2558 Tonsille avec la capsule coupée pour
 montrer la projection de la matière
 caséuse.

„ 2559 Deux tonsilles enfoncées, pour montrer
 le résultat de l'infection profonde;
 une tonsille montre une tumeur
 exubérante.

„ 2560 Tonsille infectée, vue de face.

„ 2561 Tonsilles tuberculeuses.

Points Anatomiques.

„ 2562 Tonsille, montrant la capsule complète.

„ 2563 Idem, montrant la fente naturelle.

2564 Idem, montrant la fosse tonsillaire.

SECTION XVII.—Stomatologie.

Exposé par :

M. le Dr. Hopewell-Smith, Londres.

”

”

”

”

”

”

2565 Moulage en plâtre des mâchoires ; acromégalie.

2566 Moulage en plâtre d'un ostéome.

2567 Sarcome de la membrane périodontale, s'étendant jusqu'à l'antre.

2568 Épithéliome de la membrane périodontale.

2569 Fracture unie de la dent.

2570 Érosion de dents, causée par l'effets de la goutte.

2571 Phases diverses de gingivite les conditions, dont *pyorrhoea alveolaris* est un symptôme. Quatre spécimens.*L'absence héréditaire des couronnes de dents, pendant six générations.*

M. le Dr. Hopewell-Smith.

”

”

”

”

”

”

2572 Douze moulages en plâtre des bouches de membres de la même famille.

2573 Odontome épithélial de la région molaire de la mandibule droite.

2574 Moulage en plâtre, avec dent, démontrant odontome folliculaire.

2575 Moulage en plâtre avec odontome, démontrant odontome composite de la région incisive.

2576 Odontome composite de la région droit molaire.

2577 Moulage en plâtre démontrant deux odontomes composites ; *en situ*.

2578 Mur d'un odontocèle extra-capsulaire contenant une dent.

Projections démontrant :

”

”

”

”

2579 Odontocèle extra-capsulaire.

2580 Odontocèle sous-capsulaire.

2581 Ankylose de la dent à l'os maxillaire.

2582 Ankylose des dents à la mâchoire.

Exposé par :

M. le Dr. Ernest B.
Dowsett, Londres.

M. W. W. James,
Londres.

„

2583 Série de dents des cas de *pyorrhoea alveolaris*.

2583A Moulages en plâtre illustrant des déformités des procès alvéolaires et des arcs dentals.

2583B Appareil pour la prévention d'aspiration par la bouche.

SECTION XVIII.—L'Hygiène.

LES MALADIES DU POU MON ENGENDRÉES PAR LA POUSSIÈRE.

(M. le Docteur E. Collis du "Home Office," Londres, a arrangé cette exposition).

La fabrication du plâtre de Paris.

Exposé par :

- | | |
|----------------------|----------------------------------|
| M. le Prof. F. Heim, | 2584 Illustrations des procédés. |
| Paris. | |
| „ | 2585 Les matériaux employés. |

La fabrication du ciment.

- | | |
|-----------------------|--|
| M. le Dr. E. Collis. | 2586 Illustrations des procédés. |
| M. le Dr. F. Koelsch. | 2587 Illustration de la perforation du septum nasal. |
| M. le Dr. Collis. | 2588 Analyse du ciment. |
| „ | 2589 Echantillons de ciment. |

Le travail dans les mines de houille.

- | | |
|----------------------------|---|
| „ | 2590 Illustrations des procédés, etc. |
| Middlesex Hospital. | 2591 Le poumon d'un houilleur. |
| L'Université de Sheffield. | 2592 Idem. |
| „ | 2593 Idem. |
| Guy's Hospital. | 2594 Idem. |
| M. le Dr. Collis. | 2595 Echantillons de houille. |
| L'Université d'Oxford. | 2596 Le poumon d'un mineur des mines d'or de Sud Afrique. |

Le travail de l'ardoise.

- | | |
|-------------------|---|
| M. le Dr. Collis. | 2597 Procédés illustrés, etc. |
| „ | 2598 Echantillons de la poussière de l'ardoise. |

Le travail de la scorie.

- | | |
|---|---------------------------------|
| „ | 2599 La fabrication, etc. |
| „ | 2600 Echantillon de la matière. |

*Machines à carder pour teiller le coton.**Exposé par :*

- | | | |
|-----------------------|------|--|
| M. le J. H. Crabtree. | 2601 | Illustration du procédé. |
| „ | 2602 | Courbe de l'expansion de la poitrine, etc. |
| „ | 2603 | Echantillon de la poussière. |
| M. le Dr. Rayner. | 2604 | Radiographies de la poitrine. |

La coupe du granit, Aberdeen.

- | | | |
|-------------------|------|--|
| M. le Dr. Collis. | 2605 | Procédés illustrés. |
| „ | 2606 | Diagrammes des mesures physiques, etc. |
| „ | 2607 | Echantillons du granit. |

La fabrication de la poterie.

- | | | |
|---------------------------------|------|---------------------------|
| „ | 2608 | Procédés illustrés. |
| M. le G. Elmhurst
Duckering. | 2609 | Analyses de la poussière. |
| Middlesex Hospital. | 2610 | Poumon. |
| „ | 2611 | Idem. |
| Guy's Hospital. | 2612 | Idem. |
| M. le Dr. Shufflebotham. | 2613 | Des microphotographies. |
| M. le Dr. Collis. | 2614 | Les matériaux employés. |

Le polissage des métaux :

- | | | |
|---------------------------------|------|--|
| M. le Dr. Collis | 2615 | Procédés illustrés. |
| „ | 2616 | Idem. |
| „ | 2617 | Diagrammes des mesures physiques, etc. |
| M. le Prof. Dean,
Sheffield. | 2618 | Poumons. |
| „ | 2619 | Idem. |
| „ | 2620 | Idem. |
| St. Thomas' Hospital. | 2621 | Idem. |
| M. le Dr. Hallam. | 2622 | Radiographies de la poitrine. |
| M. le Dr. Collis. | 2623 | Echantillons de la poussière. |

Travail dans les mines métallifères :

- | | | |
|------------------------|------|---|
| „ | 2624 | Les mines d'or de la pays de Galle
illustrées. |
| „ | 2625 | Les mines d'étain de Cornouailles
illustrées. |
| Sir R. Douglas Powell. | 2626 | Radiographie de la poitrine d'un mineur
d'or de Sud-Afrique. |
| „ | 2627 | Echantillons des matières. |

Exposé par :

- Guy's Hospital. 2628 Le poumon d'un mineur d'étain de Cornouailles.

Travail dans les mines de ganister :

- M. le Dr. Collis. 2629 La durée de la phtisie.
 „ 2630 Un poumon.
 St Bartholomew's Hospital. 2631 Idem.
 „ 2632 Idem.
 L'Université de Sheffield. 2633 Idem.
 „ 2634 Idem.
 M. le Dr. Collis. 2635 Echantillons de ganister.

La construction et l'emploi des pierres meulières :

- „ 2636 Procédés illustrés, etc.
 St. Thomas' Hospital. 2637 Le poumon d'un travailleur sur la pierre meulière, montrant pneumolithes.
 Middlesex Hospital. 2638 Le poumon d'un travailleur sur la pierre meulière.
 „ 2639 Idem.
 M. le Dr. Collis. 2640 Echantillon de la pierre buhr française.

Travail de caillou :

- „ 2641 Procédés illustrés, etc.
 „ 2642 Objets construits.

L'apprêtage de pierre :

- „ 2643 Procédés illustrés, etc.
 „ 2644 Idem.
 St. Thomas Hospital. 2645 Le poumon d'un maçon du grès,
 „ 2646 Idem.
 L'Université de Sheffield. 2647 Idem.
 M. le Dr. Collis 2648 Radiographie d'un maçon du grès.
 „ 2649 Radiographie d'un maçon de la pierre calcaire.
 „ 2650 Echantillons des pierres employés.

Des résultats des expériences.

- M. le Prof. Beattie, Sheffield. 2651 Projections des poumons de cobayes, exposés aux espèces diverses de poussière.

Exposé par :

- | | | |
|---|------|---|
| M. le Dr. E. Francke,
Francfort. | 2652 | Section d'un poumon (sidérose et chalicose). |
| M. le Prof. G. Sims
Woodhead, Cambridge. | 2653 | Une série de sections transparentes, illustrant les types divers de la tuberculose, la silicose comprise. |
| „ | 2654 | Section du poumon d'un enfant, souffrant de la tuberculose pneumonique aiguë. |
| „ | 2655 | Tuberculose caseo-fibroïde chronique du poumon d'un adulte. |
| „ | 2656 | Poumon d'un adulte, affecté de la tuberculose chronique au apex et au lobe supérieur, avec des changements plus aigus près de la partie inférieure. |
| „ | 2657 | Poumon d'un enfant souffrant de la tuberculose initiale étendue; broncho-pneumonie. |
| „ | 2658 | Poumon d'un enfant souffrant de la tuberculose abdominale. |
| „ | 2659 | Tuberculose miliaire aiguë. |
| „ | 2660 | Glandes tuberculeuses et hémorragie bien marquée. |
| „ | 2661 | Broncho-pneumonie tuberculeuse. |
| „ | 2662 | Phthisie de maçon. |
| „ | 2663 | Phthisie chronique. |
| „ | 2664 | Ulcère tuberculeux miliaire du poumon. |

LA MORTALITÉ INFANTILE.

Modèles démontrant :

- | | | |
|---------------------------------------|------|---|
| M. le Dr. A. K.
Chalmers, Glasgow. | 2665 | Quartier pauvre avec les maisons dos à dos, Glasgow. |
| „ | 2666 | Quartier encombrée à l'excès avec des bâtiments, à Glasgow. |
| „ | 2667 | Cour, n'ayant pas assez d'accès de lumière et d'air, Glasgow. |
| „ | 2668 | Encombrement excessif de maisons et mauvaise arrangement des couloirs. Lumière et ventilation défectives. |

Diagrammes démontrant :

- | | | |
|---|------|---|
| „ | 2669 | La mortalité infantile à Glasgow, Manchester et Liverpool, 1855-1905. |
| „ | 2670 | La mortalité infantile en Ecosse, en Angleterre et dans la Pays de Galles, 1850-1905. |

*Statistique.**Exposé par :*

Sir William J.
Thompson.

2671 Les naissances en Irlande, comprenant
les années de 1864 à 1912.

„ 2672 Fertilité légitime.

„ 2673 Le nombre moyen d'enfants de femmes,
suivant l'âge à mariage et la durée
de la vie mariée.

SECTION XIX.—La medecine legale.

Exposé par :

- | | |
|-------------------------------------|---|
| St. Mary's Hospital,
Londres. | 2674 Coupe-jarret ; de suicide : le canif. |
| „ | 2675 Idem ; homicide. |
| „ | 2676 Idem ; suicide : la trachée coupée par le
couteau. |
| „ | 2677 Empoisonnement par l'acide carbolique
d'un enfant. |
| „ | 2678 Empoisonnement par la chlorure de zinc :
l'estomac. |
| „ | 2679 Avorton criminel ; cervix lacéré. |
| „ | 2680 Idem ; fœtus déterré du jardin ; bougie
et stilette employées. |
| „ | 2681 Blessures expérimentales par des balles ;
les balles. |
| M. le Dr. J. Wright
Mason, Hull. | 2682 Une série de photographies illustrant les
points d'intêret de la médecine légale,
avec projections. |
| M. le Dr. John Teacher, | 2683 Syphilis de l'aorte ; formation d'ané-
urysme, causée apparemment par des
lacérations répétées ; rupture finale de
l'aorte dans le péricarde resultat d'un
effort. |

SECTION XXI.—Pathologie and Hygiene Tropicale.

I.—LA PESTE.

*Exposé par :*M. le Dr. A. Bacot,
Londres.2684 Spécimen de *ceratophyllus fasciatus* (femelle); les bacilles de la peste dans la préventricule et l'oesophage (condition bloquée).

„

2685 Sections de puces (*ceratophyllus fasciatus* et *xenophylla cheopis*) montrant la même condition.

„

2686 Des estomacs de puces (*ceratophyllus fasciatus*) démontrant la multiplication des bacilles de peste.

„

2687 Préparations des estomacs de puces démontrant des bacilles de peste.

M. le Dr. Dujardin
Beaumetz, Paris.*Facsimilé des instruments de chirurgie, et objets religieux du XVIII. siècle destinés aux pestiférés et conservés au Musée du lazaret du Frioul à Marseille.*

„

2688 Ecrin genre ancien en cuir noir, intérieur en peau de chamois, contenant :—

Couteau à bubons à lame triangulaire sur tige d'acier, manche ebène.

Lancette perce-bubons à lame d'acier, à deux tranchants, dans un fourreau en étain.

Petite vis pour fixer la lame de la lancette.

Sonde cannelée.

Support en arc se vissant sur la pièce précédente.

Pince.

„

2689 Cautère à bubons à tige recourbée et terminée par une plaque ronde d'acier, manche ebène.

„

2690 Cautère à bubons à tige recourbée et terminée par une olive d'acier, manche ebène.

„

2691 Baguette en argent avec pince en vermeil pour donner la Communion.

„

2692 Baguette fourchue en argent pour donner l'extrême-onction.

II.—LE BÉRI-BÉRI.

Projections: Polynevríte, produite par nourriture défective.

Exposé par :

M. le Dr. H. Schau-	2693 Pigeons sains.
mann, Hambourg.	
„	2694 Pigeon nourrit de riz poli ; première phase.
„	2695 Idem ; polynévríte bien reconnue.
„	2696 Idem ; polynévríte avancée.
„	2697 Idem ; dernière phase de polynévríte ; montrant paralysie des jambes.
„	2698 Idem ; dernière phase de polynévríte, montrant paralysie du cou.
„	2699 Pigeons nourris de riz poli pendant 7 semaines, auquel on avait ajouté du son de blé. Ils restèrent en bonne santé.
„	2700 Pigeons nourris de riz poli pendant 3 mois, auquel on avait ajouté du levain sec. Ils restèrent en bonne santé.
„	2701 Singe nourri de riz poli, qui a été estrait auparavant, par de l'eau, pendant 74 jours.
„	2702 Idem.
„	2703 Chèvre, nourrie pendant 3 mois de riz poli et de maïs.

La polynévríte expérimentale ; prophylaxie et traitement.

„	2704 Polynévríte induite dans un pigeon par de riz poli ; avant le traitement.
„	2705 Le même pigeon traité avec 3 gramme de <i>phaseolus radiatus</i> ; 24 heures plus tard.
„	2706 Le même pigeon traité avec une autre dose de 3 grammes de <i>phaseolus radiatus</i> ; 48 heures plus tard.
„	2707 Polynévríte induite dans un pigeon par de riz poli ; avant le traitement.
„	2708 Le même pigeon, 24 heures plus tard, après le traitement avec d'acide nucléinique.
„	2709 Le même pigeon, 48 heures plus tard, après une deuxième dose ; l'amélioration n'était que transitoire.

Exposé par :

M. le Dr. H. Schau-
mann, Hambourg.

„

„

„

„

„

2710 Polynévrite, induite dans un pigeon par de riz poli; avant le traitement.

2711 Le même pigeon, 48 heures plus tard, après une dose d'un gramme de levure sèche.

2712 Le même pigeon, 48 heures plus tard, après une deuxième dose de levure sèche.

2713 Polynévrite induite dans un chien par de la viande dénaturisée.

2714 Chien, nourri pendant 10 semaines de la viande dénaturisée, à laquelle on avait ajouté de la levure sèche, le chien continuait à se porter bien.

2715 Polynévrite, induite dans un lapin par la nourriture de maïs.

M. le Dr. Casimir Funk,
Londres.

„

„

„

„

„

„

„

„

„

„

„

„

„

2716 Levure sèche; la matière pour commencer l'isolation de *vitamin*.

2717 Deuxième phase; extrait alcoolique de levure.

2718 Troisième phase; précipité acide photungstique, fait de l'extrait.

2719 *Vitamin* cristallin cru de la levure.

2720 Une série de photographies illustrant l'action de *vitamin* sur les pigeons souffrant de béri-béri.

2721 Substance: $C_{29}H_{19}O_9N_5$ isolé de *vitamin*.

2722 Substance: $C_{29}H_{23}O_9N_5$ ditto, ditto.

2723 Substance: $C_6H_5O_2N$, ditto, ditto.

2724 Acide nicotinique, ditto, ditto.

2725 Un échantillon du riz poli, qui produit le béri-béri humain et le béri-béri d'oiseaux, lorsqu'il est ingéré sans autre nourriture.

2726 Un échantillon du riz bouilli à demi; qui ne fait pas de mal à ceux qui le mangent.

2727 Un échantillon du riz dans l'état nature (riz, pas vanné).

2728 Table illustrant la différence de la structure des trois formes de riz, et montrant la couche qui est enlevée lorsque le riz est moulu.

2729 *Vitamin* de riz.

Exposé par :

- M. le Dr. Casimir Funk, 2730 Substance: $C_{26}H_{29}O_9N_4$, isolée de *vitamin* de riz.
Londres.
- „ 2731 Une série de photographies démontrant la localisation de *vitamin* dans les céréales.
- „ 2732 Une série de photographies, démontrant les changements chimiques dans les cerveaux de pigeons, produits par une diète de riz poli.

III.—LEISHMANIASIS, ETC.

Les organes de Leishmaniasis de la Jamaïque.

- M. le Dr. H. Seidelin, 2733 Hyperémie des méninges cérébrales.
Liverpool.
- „ 2734 Ecchymoses dans le péricard viscéral.
- „ 2735 Ecchymoses sur la surface du foie.
- „ 2736 Les changements graisseux du foie.
- „ 2737 Néphrite aiguë (hyperémie).
- „ 2738 Néphrite aiguë (les changements graisseux).
- „ 2739 Pancréatite aiguë.
- „ 2740 Hyperémie des capsules rénales.
- „ 2741 Gastro-duodénite aiguë.
- „ 2742 Ecchymoses pleurales ; des infarctus pulmonaires.

Préparations microscopiques, démontrant les changements qu'on trouve.

- „ 2743 Dans le foie.
- „ 2744 Idem.
- „ 2745 Dans le rein.
- „ 2746 Idem.
- „ 2747 Dans le pancréas.
- „ 2748 Idem.
- „ 2749 Dans la capsule sur-rénale.
- „ 2750 Dans le poumon.
- „ 2751 Dans le duodénum.
- „ 2752 Photographie de Leishmaniasis de la peau.

Préparations microscopiques démontrant :

- „ 2753 *Leishmania Tropica*.
- 2754 Idem.

Exposé par :

- M. le Dr. H. Seidelin, 2755 *Paraplasma flavigenum* dans le sang des
Liverpool. malades souffrant de la fièvre jaune.
- „ 2756 Idem.
- „ 2757 Les inclusions de cellules dans un cas
d'ulcère de la jambe.

IV.—LES FIÈVRES RÉCURRENTES.

- M. le Dr. Edward Hindle, 2758 Des œufs, des nymphes et des adultes de
Cambridge. *l'ornithodoros moubata*, l'intermédiaire
de *spirochaeta duttoni* (la fièvre ré-
currente de l'Afrique tropicale).
- „ 2759 Une carte démontrant la distribution de
la tique et de la maladie et aussi de
l'ornithodoros lahorensis, qui porte pro-
bablement la fièvre récurrente de la
Perse.
- „ 2760 *Pediculus sapitis*, et *pediculus vestimenti*,
les intermédiaires de *spirochaeta re-
currentis* (la fièvre récurrente de
l'Europe).
- „ 2761 Une carte démontrant la distribution de
la fièvre récurrente, propagée pro-
bablement par ces parasites.
- „ 2762 Des œufs, des larves, des nymphes et des
adultes de *argas persicus*, l'inter-
médiaire de *spirochaeta gallinarum*
(spirochætosis de volaille).
- „ 2763 Une carte démontrant de la tique et
aussi de la maladie.
- „ 2764 Section microscopique du tubule mal-
pighian de *argas persicus*, infecté par
s. gallinarum, montrant les corps
coccoides (granules de Leishman).
- 2765 Préparation microscopique de l'œuf d'un
argas infecté, montrant les mêmes
corps.
- „ 2766 Préparation microscopique du tube
malpighian de *argas* infecté, couvé
pendant trois jours à 37°C., montrant
l'élongation des corps coccoides.
- 2767 Préparation microscopique du sang d'une
volaille, montrant des spirochètes
nombreux (*s. gallinarum*).

V.—TRYPANOSOMIASE.

*Exposé par :*M. le Dr. Sir David Bruce
Surgeon-General.*Livres de dessins illustrant :*

- 2768 *Trypanosoma* causant maladie en homme en Nyasaland.
- 2769 Idem. (Reedbuck).
- 2770 Idem. De *Glossina morsitans*, libre.
- 2771 *Trypanosoma brucei*. (Plimmer et Bradford) Zululand, 1913.
- 2772 *Trypanosoma gambiense*. (Dutton) Tanganyika, 1913.
- 2773 *Trypanosoma pecorum*. Nyasaland.
- 2774 *Trypanosoma simiae*. Nyasaland.
- 2775 *Trypanosoma caprae*. (Kleine) Nyasaland.

Dessins illustrant :

- 2776 *Trypanosoma* causant maladie en homme en Nyasaland, l'Afrique.
- 2777 *Trypanosoma brucei*. (Plimmer et Bradford) Zululand, 1913.
- 2778 *Trypanosoma gambiense*. (Dutton) Tanganyika, 1913.
- 2779 *Trypanosoma simiae*.
- 2780 *Trypanosoma pecorum*.
- 2781 *Trypanosoma capre*. (Kleine).
- 2782 *Trypanosoma vivax*. (Zieman).
- 2783 *Trypanosoma uniforme*.

VI.—LIÈVRE PAPPATACI.

M. le Prof. Doerr,
Vienne.*Illustrations démontrant Phlebotomus papat-
taci Scop.*

- 2784 Mouche (mâle).
- 2785 Idem (femelle).
- 2786 Les parties génitales extérieures (mâle).
- 2787 Idem (femelle).
- 2788 Les oeufs.
- 2789 La tête de la mouche.
- 2790 La larve.
- 2791 Le chrysalide.

M. le Prof. Doerr,
Vienne.

- 2792 Courbe de la fièvre typique.
- 2793 La réaction ophtalmique.
- 2794 Changements dans les piqures d'une mouche pappataci.
- 2795 Idem.
- 2796 Courbe de la fièvre d'un médecin, infecté par le sang d'un malade.
- 2797 Idem, infecté par une mouche pappataci captive.
- 2798 Carte, démontrant la distribution de la dengue, de la fièvre pappataci, et des fièvres semblables durant trois jours.
- 2799 L'influence de saison sur la fièvre pappataci.
- 2800 Table montrant l'abaissement de la morbidité, après un séjour prolongé dans le district infecté.
- 2801 Projection : (a) Femelle.
- 2802 (b) Mâle.
- 2803 (c) Les parties génitales des femelles.
- 2804 (d) Idem. Mâles.
- 2805 Projections : (a) Femelle.
- 2806 (b) Mâle.
- 2807 Préparation microscopique (mâle).
- 2808 Idem (femelle).
- 2809 Idem, d'une tête.
- 2810 Idem, des parties génitales des mâles.
- 2811 Un portefeuille de photographies .
- (a) Femelle.
- (b) Mâle.
- (c) La partie abdominale d'un mâle.
- (d) Les ailes.
- (e) Tête d'une femelle.
- (f) La partie abdominale d'un mâle disséqué.
- (g) Des oeufs.
- (h) Formation excessive des papules de l'avant-bras.
- (i) Réaction d'une piqure anormale.

*Schistosomiase.**Exposé par :*

M. le Dr. P. W.
Bassett - Smith,
Greenwich.

- | | |
|---|--|
| | 2812 Vessie, montrant des changements de schistosomiase (<i>S. Hæmatobium</i>). |
| „ | 2813 Urètre de la même maladies. |
| „ | 2814 Colon descendant de la même maladie. |
| „ | 2815 Préparation microscopique des ovules trouvés dans l'urine. |
| „ | 2816 Préparation microscopique de l'embryon trouvé dans l'urine (colorié). |
| „ | 2817 Préparation microscopique de l'intestin. |
| „ | 2818 Préparation des vers mûrs de <i>S. hæmatobia</i> . |
| „ | 2819 Projection des ovules (<i>S. hæmatobia</i>). |
| „ | 2820 Les vers mûrs (<i>Schistosomum japonicum</i>). |
| „ | 2821 Préparation microscopique de l'oeuf trouvé dans le mucus des fèces (la fièvre Yangtze). |
| „ | 2822 Préparation de sang, montrant eosinophilie du même cas. |
| „ | 2823 Section microscopique du foie avec des ovules. |
| „ | 2824 Diagramme, démontrant l'énumération des corpuscules du sang. |
| „ | 2825 Intestin d'un chien, infecté de <i>Schistosomum</i> de chien. |
| „ | 2826 Idem. |
| „ | 2827 Foie de la même condition. |
| „ | 2828 Rate de la même condition. |
| „ | 2829 Section microscopique de l'intestin montrant les ovules. |
| „ | 2830 Des petits trématodes de Chine du foie (<i>Opisthorchis Sinensis</i>). |
| „ | 2831 Préparation microscopique des trématodes (colorié). |
| „ | 2832 Idem, des ovules. |

Projections :—

- | | |
|---|---|
| „ | 2833 Ver (<i>distoma</i>). |
| „ | 2834 L'oeuf (<i>distoma</i>). |
| „ | 2835 Rachis terminal (<i>S. hæmatobia</i>). |
| „ | 2836 Rachis lateral (<i>S. mansoni</i>). |

*Filariase.**Exposé par :*M. le Dr. Philip H.
Bahr, Londres.*Spécimens démontrant :*

- 2837 Filaire de la glande lymphatique.
- 2838 Filaire calcifié du sac hydrocèle.
- 2839 *Stegomyia pseudoscutellaris*; l'intermédiaire du filaire en Fiji.
- 2840 *Filaire bancrofti* de Fiji; les adultes mâles et femelles.

*Préparations microscopiques.**Le développement du filaire de Fiji dans les intermédiaires :*

- 2841 *Stegomyia pseudoscutellaris*
- 2842 Idem.
- 2843 Idem.
- 2844 Idem.
- 2845 *Culex fatigans*.

L'effet des filaires adultes sur le tissu lymphatique.

- 2846 Section montrant les filaires *bancrofti* (femelle) dans la glande inguinale.
- 2847 Idem, dans l'épididyme.
- 2848 Idem, dans le vaisseau lymphatique de la trachée.
- 2849 Filaires *bancrofti* (femelle) mortes subissant la calcification.
- 2850 Obstruction mécanique du vaisseau lymphatique par les filaires *bancrofti* calcifiés.
- 2851 Formation de grandes cellules et de sclérose autour des filaires calcifiés dans le tissu de la glande.
- 2852 Sclérose et stagnation de la lymphe dans les glandes lymphatiques attaquées.
- 2853 Section de filaires adultes dans *elephantiasis scroti*.
- 2854 Eosinophilie dans la filariase de la glande.
- 2855 Micro-filariase, avec et sans la gaine, dans le fluide hydrocèle.
- 2856 Section des filaires dans un abcès.
- 2857 Idem, dans un vaisseau lymphatique; lymphangite aiguë.

*Psilosis.**Exposé par :*

- | | |
|------------------------------------|--|
| M. le Dr. Philip H. Bahr, Londres. | 2858 Corps trouvés dans la vessie. |
| " | 2859 Corps semblable trouvés dans la muqueuse de l'intestin. |
| " | 2860 Pigments, trouvés dans la vessie. |

*Paludisme.**Projections lumières.*

- | | |
|--|--|
| M. le Prof. H. Ziemann, Charlottenbourg. | 2861 Foie, montrant pigment. |
| | 2862 Poumon, avec pigment de malaria. |
| | 2863 Capillaires du cerveau avec les parasites pigmentés de malaria. |
| " | 2864 Rein, avec des parasites de malaria. |
| " | 2865 Vessie, avec pigment. |
| " | 2866 "Blackwater Fever," avec débris dans les tubes rénales. |

Cultures des parasites de paludisme.

Développement des parasites tiers dans la culture.

- | | |
|---|---|
| " | 2867 Jeunes parasites tiers endocorpulaires. |
| " | 2868 Des parasites tiers croissant, montrant pigment. |
| " | 2869 Sporulation des parasites tiers. |
| " | 2870 Idem, dans la deuxième génération. |
| " | 2871 Merozoites (formes de division) des parasites tiers. |
| " | 2872 Parasites tiers mourants dans la condition de sporulation. |
| " | 2873 Les jeunes parasites tiers (femelle), (makrogametes) (deuxième génération) |
| " | 2874 Leucocyste melanifère. |

Cultures des parasites perniciox.

- | | |
|---|--|
| " | 2875 Parasites perniciox, ayant 16 heures. |
| " | 2876 Idem, ayant 30 heures. |
| " | 2877 Idem, ayant 40 heures. |
| " | 2878 Idem, ayant 43 heures. |

Exposé par :

- | | | |
|--|------|---|
| M. le Prof. H.
Ziemann, Charlotten-
bourg. | 2879 | Idem, ayant 48 heures. |
| „ | 2880 | Des vieilles formes de parasites pern-
cieux, dégénérés. |
| „ | 2881 | Croissants pern-
cieux d'une culture de
plusieurs jours. |
| „ | 2882 | Sporulation (<i>merozoites</i>) de <i>piroplasma</i>
<i>cann.</i> , ayant 24 heures. |
-

SECTION XXII. —Radiologie.

(2883) à (3297) V. pages 143 à 158 du Catalogue Anglaise.

(N.B.—Traduction omise par inadvertence.)

DÉPARTEMENTE SPECIAL DE LA TECHNIQUE DU MUSÉE.

I.—PRÉPARATION ET PRÉSERVATION DES PIÈCES.

Exposé par :

Sections transverses :

- | | | |
|--|------|---|
| M. le Dr. Lionel Judah,
Montreal. | 3298 | Tête montée en fluide Kaiserling, montrant les ganglions centraux et les ventricules du cerveau. |
| „ | 3299 | Idem, montrant le ventricule latérale du cerveau. |
| M. Charles F. Silvester,
Princeton. | 3300 | Injection des vaisseaux sanguinés et lymphes des embryons de jeunes truites, dès leur première apparence jusqu'à la période d'éclosion. |

Méthode rapide de macération des os.

- | | | |
|-----------------------------|------|--|
| M. F. A. Izzard, Cambridge. | 3301 | Sarcome du fémur. |
| „ | 3302 | Nécrose du tibia et du péroné. |
| „ | 3303 | Idem. |
| „ | 3304 | Carie tuberculeuse du coude. |
| „ | 3305 | Idem. |
| „ | 3306 | Idem du genou. |
| „ | 3307 | Idem du cou-de-pied. |
| „ | 3308 | Section du tibia (<i>osteitis deformans</i>). |
| „ | 3309 | Calvarium. |
| „ | 3310 | Fracture du tibia et du péroné. |
| „ | 3311 | Section de la colonne vertébrale, montrant carie tuberculeuse. |
| „ | 3312 | Section de la colonne vertébrale, montrant courbure. |
| „ | 3313 | Bassin fœtal macéré pendant trois jours, et puis lavé en eau chaude et placé en alcool méthylique. |
| „ | 3314 | Pied normal. |
| „ | 3315 | Pied macéré pendant trois semaines. |

Exposé par :

- | | | |
|---|------|--|
| M. F. A. Izzard, Cambridge. | 3316 | Fracture d'humérus (macéré pendant trois semaines). |
| „ | 3317 | Crâne fœtal (macéré pendant 10 jours). |
| „ | 3318 | Fracture guérie du fémur (macéré pendant trois semaines). |
| „ | 3319 | Fracture avec fixation des fragments du fémur (macéré pendant trois semaines) |
| „ | 3320 | Astragale, montrant surface articulaire pointillée de la carie tuberculeuse. |
| M. le Prof. J. M. Flint. | 3321 | Spécimens montrant la préservation des couleurs naturelles par méthode Pick-Kaiserling, avec l'usage d'huile minérale russe comme dernière préservative. |
| M. le Prof. Henry Albert, Iowa. | 3322 | <i>Méthode pour la préservation de la couleur naturelle des organes par l'huile minérale russe Kaiserling-alcool-glycérine.</i> |
| „ | 3323 | Abscès emboliques multiples des muscles d'un lapin |
| „ | 3324 | Actinomycose du mâchoire du bouvillon. |
| M. R. L. Frost, Sheffield. | 3325 | <i>Méthode bon marché pour monter à spécimens musées.</i> Pour les détails |
| | 3343 | Voyez p. 160. |
| M. le Prof. H. E. Robertson, Minneapolis. | 3344 | Photographie montrant le bassin Kaiserling, ouvert. |
| „ | 3345 | Photographie montrant le bassin Kaiserling, couvert. |
| „ | 3346 | Photographie montrant le pot du bassin Kaiserling. |
| M. le Prof. A. S. Warthin, Michigan. | 3347 | <i>Méthode de monter les pièces en gelatine.</i> |
| „ | 3348 | Nodes hæmolymphes. |
| „ | 3349 | Pot de musée pour fermer hermétiquement les spécimens remuables. |
| „ | 3350 | Série de photographies montrant des nodes hæmolymphes. |
| M. J. Kaufmann, Montreal. | 3351 | <i>Méthode de monter spécimens pour musées en gelatine colorée neutrale.</i> |

Préparation de Glycerine Gelée Colorée Neutrale.

- | | | |
|---|------|---|
| „ | 3352 | Gelatine. |
| „ | 3353 | Deuxième phase : mélange de quantités égales de gelatine saturée et de glycerine. |

Exposé par :

- | | | |
|---|------|---|
| M. J. Kaufmann,
Montreal. | 3354 | Troisième phase : chauffage du mélange, avec l'addition de blanc d'oeuf, avant filtration. |
| „ | 3355 | Glycérine-gelée filtrée, avant décolorisation. |
| „ | 3356 | Glycérine gelée, décolorée légèrement de trop. |
| „ | 3357 | Spécimen de glycérine-gelée. |
| „ | 3358 | Hyper-nephrome du rein, monté en glycérine-gelée quatre ans auparavant. |
| „ | 3359 | Metastase de carcinome du foie, montée en glycérine gelée trois ans auparavant. |
| M. le Prof. J. H. Hewitt,
Dallas. | 3360 | Appareil pour monter des sections, organes et de tissus en gelatine-Kaiserling. |
| M. le Charles F. Silvester,
Princeton. | | <i>Méthodes effectives pour la préparation et le montage des pièces de musée.</i> |
| „ | 3361 | Spécimens illustrant des types de préparation. |
| M. le Dr. A. A. Bruère,
Princeton. | | <i>Méthode pour l'exposition des colonies bactériens simples en bassins Petri cacheté.</i> |
| „ | 3362 | <i>Microsporon Audoini</i> (<i>T. tonsurans</i> de la tête). |
| „ | 3363 | <i>Trocophyton</i> (<i>T. circinata</i> , grandes spores, de la barbe). |
| „ | 3364 | <i>Achorion Schonleinii</i> (<i>favus</i>). |
| M. le E. L. Judah,
Montreal. | 3365 | Pots gradués à contenir des pièces anatomiques de dimensions diverses. |
| | 3375 | |
| M. le Prof. Dr. Werner,
Spalteholz, Leipzig. | | <i>Méthode à rendre transparent les organes et les tissus et à démontrer les vaisseaux des os, etc.</i> |
| „ | 3376 | Pour détails voyer page 163. |
| | à | |
| | 3390 | |
| M. le Dr. Braxton Hicks. | 3391 | Méthode bon marché et effective pour le montage de cerveau ou d'autres sections. |
| M. le Dr. J. Kauffman,
Montreal. | 3392 | Méthode pour l'endurcissement du cerveau et de la moëlle in situ. |
| M. le Prof. Dr. Fischer,
Frankfort. | 3393 | <i>Leontiasis ossca.</i> |
| „ | 3394 | Tuberculose chronique des poumons avec des cavités. |
| „ | 3395 | Idem. |

Exposé par :

- M. le Prof. Dr. Fischer, 3396 Diphtérie dans un cas de tuberculose chronique des poumons.
 „ 3397 Vieux infarctus du poumon.
 „ 3398 Calcul vésiculaire d'un enfant.
 „ 3399 Vessie et rein d'un cas similaire.
 „ 3400 Le pancréas dans un cas de maladie d'Addison.
 „ 3401 Echinocoque dans un cas de cirrhose.
 „ 3402 *Encephalitis haemorrhagica* extensive et calcification dans un enfant.
 „ 3403 Résection totale à cause de contraction de l'estomac.
 „ 3404 Abscès multiple du foie et hémochromatose (*bacillus suipestifer.*).
 „ 3405 Nécrose du foie, et cirrhosis avec hémochromatose.
 „ 3406 Abscès prostatique et phlegmon périprostatique.
 „ 3407 Anévrisme disséquant guéri.
 „ 3408 Grand hématome de la *dura mater*.
 „ 3409 Grand anévrisme de la carotide interne, et destruction de la base du crâne.
 „ 3410 Cavernome de la *moëlle allongée* et hémorrhagie dans la moëlle épiniée.
 „ 3411 Anévrisme de *l'arteria fossae Sylvii*.
 „ 3412 Lipome de *l'infundibulum*.
 „ 3413 Grand kyste du pédoncule de la glande pituitaire, avec calcification.
 „ 3414 Adénome de la glande pituitaire sans acromégalie.
 „ 3415 Blastome sympathétique malin de la glande surrénale et métastase dans le foie.
 „ 3416 Blastome malin entraînant la colonne vertébral et le foie.
 „ 3417 Chorion-épithéliome primaire du foie.

Photographies (autochromes).

- „ 3418 Petite vérole.
 „ 3419 Méningite purulente.
 „ 3420 Hémorrhagie cérébrale dans l'anémie pernicieuse.

Exposé par :

- M. le Prof. D. Fischer, 3421 Arthrite goutteuse du genou.
Frankfort.
„ 3422 Caillot du muscle iliaque et des artères
fémorales dans l'endocardite maligne.
„ 3423 Granulome malin de la rate.

Micro-Photographies (Lumières).

- „ 3424 Tubercule montrant cellules géantes.
„ 3425 Dents trouvés dans un petit tumeur de
l'ovaire.
„ 3426 Muscle du coeur montrant infiltration
graisseuse et dépôts calcaires.
„ 3427 Muscle du coeur avec des dépôts calcaires.
„ 3428 *Periarteritis nodosa*.
„ 3429 Idem.
„ 3430 Idem.
„ 3431 Carcinome "anilin" de la vessie urinaire.
„ 3432 Idem.
„ 3433 Adamantinome du tibia.
„ 3434 Neuro-blastome malin de la glande gauche
surrénale d'un enfant.
„ 3435 Blastome sympathétique malin avec
métastase dans le foie.
„ 3436 Adénome de la glande pituitaire sans
acromégalie.
„ 3437 Glande thyroïde dans un cas de tumeur
de la glande pituitaire.
„ 3438 Atrophie de la testicule dans un cas de
tumeur de la glande pituitaire.
- M. le Prof. Greeff, *Nouvelle méthode pour la préservation de*
Berlin. *sections des yeux.*
- „ 3439 *Tapetum choroïdeale* (cheval).
„ 3439A Idem (bœuf).
„ 3439B Idem (mouton).
„ 3439C Idem (veau).
„ 3440 *Fundus oculi* du cochon.
„ 3441 Idem.
„ 3442 *Fundus oculi* d'homme.
„ 3443 Moule dans l'œil d'une grue.
„ 3444 *Fundus oculi* d'un dauphin.

*Exposé par :*M. le Prof. Greeff,
Berlin.3445 *Retinitis hæmorrhagica.*

3446 Idem.

3447 *Hæmophthalmos.*

3448 Sarcome du choride avec hémorrhagies.

3449 Tubercules miliaires dans le choroïde.

M. le Prof. Hauser,
Erlangen.*Préservation de sections du thorax par la
méthode Kaiserling.*3450 Pleurésie tuberculeuse sero-fibrineuse
(section frontale).3451 Tuberculose pulmonaire chronique : des-
truction entière du lobe droit supé-
rieure.3452 *Cor bovinum*—cas du rein granuleux
arterio-sclérotique.

3453 Idem (section horizontale).

3454 Broncho - pneumonie caséuse (section
frontale).

3455 Tuberculose pulmonaire (section frontale).

3456 Pleurésie sero - fibrineuse (section
frontale).3457 Pneumothorax compliqué par tuberculose
pulmonaire (section frontale).M. le Dr. John Teacher,
Glasgow.

3458 Calculs biliaires à facettes.

M. le Prof. B. Wahby,
Caire.*Spécimens d'alliage fusible injecté dans les
vaisseaux, etc., pour démontrer leur
distribution.*3459 Série de spécimens du vaisseaux du rein
à et du corps surrénal, injectés d'alliage
3477B fusible.3478 Série de 14 spécimens dans lesquels
à l'artère rénale a été injectée de métal et
3491 le bassin de cire ou de plâtre.

3492 Veines du rein "fer de cheval."

3493 Artère rénale; divisions primaires
différemment colorées.3494 Division antérieure de l'artère rénale,
métal.3495 Série de spécimens montrant le veine
à et l'artère rénale en métal.

3511

Exposé par :

M. le Prof. B. Wahby,
Caire.

- | | | |
|---|------|---|
| | 3512 | Veines portales et hépatiques en métal. |
| | à | |
| | 3518 | |
| " | 3519 | Canal biliaire en métal. |
| " | 3520 | Veine porte du python en métal. |
| " | 3521 | Canals pancréatiques en métal. |
| " | 3522 | Idem. |
| " | 3523 | Placenta injecté à travers la veine ombilicale en métal. |
| " | 3524 | Idem. |
| " | 3525 | Injection de la veine splénique. |
| " | 3526 | Système artériel d'un enfant. |
| " | 3527 | Oreille (auricule, cavité du tympan et cochlée) en métal. |
| " | 3528 | Artères vertébrales et basilaires en métal. |
| " | 3529 | Plexus veineux de la vertèbre cervicale, les os partialement préservés. |
| " | 3530 | Idem. |
| " | 3531 | Idem. |
| " | 3532 | Modèles en métal de trachée et des à bronches. |
| " | 3537 | |
| " | 3538 | Plexus veineux pterygoïde, sinus caverneux et veines émissaires. |
| " | 3539 | Sinus intracrâniels. |
| " | 3540 | Idem. |
| " | 3541 | Idem. |
| " | 3542 | Idem. |
| " | 3543 | Idem. |
| " | 3544 | Artères carotides (injection incomplète). |
| " | 3545 | Idem. |
| " | 3546 | Système artériel de l'homme adulte (injection incomplète). |
| " | 3547 | Idem. |
| " | 3548 | Les artères de l'avant bras. |
| " | 3549 | Idem. |
| " | 3550 | Partie inférieure de l'aorte, avec les artères iliaques communes, internes et externes. |

*Spécimens d'injections celluloides.**Exposé par :*

- | | | |
|---|------|---|
| M. le Prof. B. Wahby,
Caire. | 3551 | Poumons; bronches veines pulmonaires
et artères. |
| „ | 3552 | Idem. |
| „ | 3553 | Foie et vaisseaux. |
| „ | 3554 | Rein „ „ |
| „ | 3555 | Artères du bras et de l'avant-bras. |
| „ | 3556 | Système artériel d'un enfant. |
| „ | 3557 | Vertèbre dorsal. |
| „ | 3558 | Auricule gauche et veines pulmonaires. |
| „ | 3559 | <i>Plexus parapiniforme.</i> |
| „ | 3560 | Sinus supérieur, longitudinal et latéral. |
| „ | 3561 | Plexus pterygoïde des veines avec les
sinus circulaires, les cavernes, etc. |
| „ | 3562 | Racine pulmonaire et <i>vena azygos major</i> ,
bronches, valves aortiques et artère
coronaire. |
| „ | 3563 | Systèmes artériels et veineux d'un
corps adulte. |
| „ | 3564 | <i>Plexus venosus cervicalis.</i> |
| „ | 3565 | Pénis et <i>corpora cavernosa</i> complètement
injectés, gland et <i>corpus spongiosum</i> ,
partialement injectés. |
| „ | 3566 | Pénis d'un cheval injecté de paraffine. |
| „ | 3567 | Idem. |
| „ | 3568 | Sections glacées de différentes parties du
corps, montées en gelatine. |
| „ | 3569 | Reins humains, montés en gelatine. |
| „ | 3570 | Idem. |
| „ | 3571 | Idem. |
| „ | 3572 | Rein d'un cheval. |
| M. le W. Waldie,
Edinbourg. | 3573 | Méthode perfectionnée pour monter les
préparations permanentes de musée à
l'aide de supports de verre à vitre. |
| M. le Dr. J. J. Luden
von Heumen, Paris. | 3574 | Collection de sections montées d'écailles
coupées en plans divers et polis par
méthodes spéciales. |

PRESERVATION DE MATERIEL MICROSCOPIQUE.

*Spécimens microscopiques.**Exposé par :*

M. le Dr. Georgine
Luden, Munich

3575 Section de la moëlle spinale; *meningitis spin. serosa circumscripta*; section celloidin, colorée par méthode Weigert (modification de Dr. Luden).

„ 3576 *Tabes dorsalis*, coloré en Septembre, 1911, par la même méthode.

„ 3577 Sclérose multiple, colorée par la même méthode.

Photographies de :

„ 3578 Cellules ganglionnes de la corne antérieure de la moëlle, colorées par la même méthode.

„ 3579 Idem; grossissement plus haute.

„ 3580 Cylindre de l'axis et gaine myéline d'un nerf, colorées par la même méthode.

„ 3581 Gaine myéline d'un nerf, colorée par la même méthode.

„ 3582 Cellules ganglionnes, colorées par la même méthode deux ans avant être photographies.

„ 3583 Le même; grossissement haute.

„ 3584 Nerf spinal, coloré deux ans avant être photographié.

„ 3585 *Projections* (autochrome) pour démontrer à la modification de colorisation d'après

3590 la méthode Weigert (voyez page 172).

M. le Dr. Adolf Meyer, 3591 Modèle reconstructive en verre d'un
Baltimore. série de sections du cerveau d'uné
malade souffrant d'hémiplégie.

„ 3592 Idem.

„ 3593 Idem.

M. le Dr. R. A. Lambert, 3594 Série de projections démontrant le
New York. à caractère de la croissance de tissus

3618 cultivés *in vitro* (voyez pages 172-173).

II.—MÉTHODES DE LOGEMENT ET D'EXPOSITION.

The Medical Museum, 3619 Série de photographies, du musée
McGill University, à médical, de l'Université McGill, Mont-
Montreal. 3626 real.

Exposé par :

- | | | |
|---|------|---|
| M. le Dr. G. Prout
Girdwood, Montreal. | 3627 | Cadres pour l'exposition des positifs en
à verre (voyez pages 174-175). |
| | 3628 | |
| M. le Prof. Thilenius,
Hambourg. | 3629 | Plan de la salle à expositions du musée
pour l'étude des races différentes à
Hambourg. |
| " | 3630 | Vue perspective de l'arrangement des
caisses d'exposition. |
| " | 3631 | Vue d'une des compartiments. |
| " | 3632 | Section d'une armoire. |
| M. le Prof. Oberndorfer,
Munich-Schwabing. | 3633 | Série de photographies des laboratoires
du nouveau Institut Pathologique de
l'hôpital à Munich-Schwabing. |
| " | 3634 | Plan du sous-sol. |
| " | 3635 | Plan du parterre. |
| " | 3636 | Plan de la maison d'animaux. |
| " | 3637 | Illustrations d'Appareils en usage dans
l'Institut. |
| " | 3638 | Appareil à macération. |
| " | 3639 | Appareil à filtration. |

III.—L'ADMINISTRATION DES MUSÉES.

- | | | |
|--|------|--|
| Mme. le Dr. Maude E.
Abbott, M. le Dr. J.
Kaufman, et M. E. L.
Judah, Montreal. | 3640 | Méthodes de recevoir, d'indexer, et de
mettre les étiquettes sur les objets de musée. |
| " | 3641 | Copie d'une page du livre de reception. |
| " | 3642 | Etiquettes: (a) Numéro du catalogue;
(b) De référence; et (c) De magasin. |
| " | 3643 | Méthode pour marker les spécimens au
magasin. |

IV.—MÉTHODE DE FAIRE LES CATALOGUES.

- | | | |
|--|------|--|
| M. le Dr. J. A. Braxton
Hicks, Londres. | 3644 | Catalogue de musée en feuilles volantes. |
| " | 3645 | Couverture de livre construite de la
grandeur de la carte montrée en No.
3646. |
| " | 3646 | Page de carton mince pour page octavo. |
| " | 3647 | Spécimens d'imprimerie et cartes illus-
trant la méthode de convertir le
catalogue imprimé à un catalogues
à feuilles volantes. |

Exposé par :

- M. le Dr. J. A. Braxton 3648 Livre complet avec caisse en carton à
Hicks, Londres. l'épreuve de la poussière.
- M. le Dr. J. Lorrain 3649 Catalogue du Musée Pathologique de
Smith. L'Université de Manchester. publié
1906.
- M. le Dr. Maude E. 3650 Section du catalogue à feuilles volantes
Abbott, Montreal. du Musée Médical de la McGill
University traitant des anomalies du
cœur, comme illustré par les spécimens
exposés.

V.—ENSEIGNEMENT EN MUSÉE.

- „ 3651 Série de spécimens des maladies cardiaques
congénitales illustrant les types divers
des anomalies, et carte du sommaire
d'une démonstration.
- „ 3652 Les spécimens employés dans la démon-
à stration voyer, pages 176-178.
- 3669
- „ 3670 Carte illustrant une démonstration sur
les maladies cardiaques congénitales et
des diagrammes, démontrant le dévelop-
pement des septa cardiaques; réfé-
rences aux pièces illustrant les défauts
divers.

Endocardite expérimentale

- M. le Dr. E. C. 3671 Série de coeurs montrant les lésions
Rosenow, Chicago. à divers et des infections de *Streptococcus*.
3712 *viridans, streptococcus rheumaticus, etc.*,
voyer, pages 178-180.

M. Richard Muir,
Edinbourg.

Série de Microphotographies illustrant :

- „ 3713 Sang. *Polymorphonuclear leucocytosis*.
- „ 3714 Sang d'un rat. *Trypanosoma rhodesiense*.
- „ 3715 Peste bubonique. *Bacillus pestis*.
- „ 3716 Fluide péritonéal, 48 heures après injec-
tions bactériales. *Phagocytose active*.
- „ 3717 *Fasciola hepatica*
- „ 3718 *Clonorchis sinensis*.
- 3719 Poumon tuberculeux.
- „ 3720 Os tuberculeux d'un enfant.

*Exposé par :*M. Richard Muir,
Edinbourg.

3721 Broncho-pneumonie.

„

3722 Concrétions sables, du poumon.

Série de projections micro-photographiques.

„

3723 Sang ; normal et des anémies.

à

3739

(voyez page 181).

„

3740 Série démontrant le développement
à sexuel de la parasite paludéenne ; *plas-*3760 *modium vivax* (voyez pages 181-182).3761 *Trypanosoma brucei*.3762 *Trypanosoma gambiense*.3763 *Glossina palpalis*.3764 *Glossina longipennis*.3765 *Trypanosoma cruzi*.

„

3766 *Trypanosoma surra* ; formes prématurées.

„

3767 *Kala-azar* ; *Leishmania-donovani*.

à

3768

„

3769 *Leishmania tropica*.

„

3770 *Entamoeba histolytica*, d'un abcès de la
foie.M. le Dr. C. U. Ariens
Kappers, Amsterdam.3771 Pot de musée, montrant une méthode de
monter le matériel du cerveau,

„

3772 Idem.

„

3773 Préparation microscopique des cellules
des nerfs et des cylindres d'axis.

„

3774 Idem.

„

3775 Section sagittale du cerveau humain, en
gelatine.

„

3776 Idem.

M. le Prof. Emil von
Grósz, Budapest.3777 Trois volumes illustrant les édifices des
Universités Hongroises, les cliniques, et
les institutes de la Faculté de Médecine.M. le Dr. James T.
Chase, Michigan.3778 Série de projections illustrant les condi-
tions pathologiques du canal aliment-
aire, etc.

„

3779 Série de projections stéréoscopiques de
sujets similaires.

Exposé par :

M. le Prof. S. Delépine,
Manchester.

Une série de photographies illustrant quelques types de lésions tuberculeuses, d'homme, de bœuf, de cochon, de cheval, et d'oiseau.

- „ 3780 Langue de vache.
- „ 3781 Foie d'une vieille vache et ganglion rétrohépatique lymphatique.
- „ 3782 Foie d'un cochon; tuberculose chronique.
- „ 3783 Le foie et la rate d'une poule; tuberculose.
 - (a) La partie gauche du foie.
 - (b) La partie droite du foie.
 - (c) La rate divisée en deux parties latérales.
- „ 3784 Rate d'un veau.
- „ 3785 Rate d'une vache.
- „ 3786 Rate d'un cochon.
- „ 3787 Rate d'un cheval.
- „ 3788 Intestin grêle et glandes mésentériques d'une vache.
- „ 3789 Idem.
- „ 3790 Idem.
- „ 3791 Intestin grêle d'une vache.
- „ 3792 Idem.
- „ 3793 Intestin grêle et glande mésentérique d'un enfant.
- „ 3794 Idem.
- „ 3795 Le péricarde, le cœur, l'aorte, l'artère pulmonaire, la trachée et les ganglions cardiaque lymphatique d'une vache.
- „ 3796 Le larynx d'une vache.
- „ 3797 Le poumon d'un enfant.
- „ 3798 Poumon d'un adulte.
- „ 3799 Poumon d'un enfant.
- „ 3800 Idem.
- „ 3801 Poumons d'un enfant.
- „ 3802 Poumon d'une vache.
- „ 3803 Idem.
- „ 3804 Idem.
- „ 3805 Poumon (gauche) d'un cochon.
- „ 3806 Plèvre costale d'une vache.

Exposé par :

- M. le Prof. S. Delépine, 3807 Sternum de la plèvre pariétale ; la partie
Manchester. inférieure des côtes d'une vache.
- „ 3808 Plèvre pariétale d'une vache.
- „ 3809 Ganglion lymphatique poplité d'une vache.
- „ 3810 Ganglions lymphatiques sous-maxillaires.
et la tête d'une vache.
- „ 3811 Ganglions lymphatiques cervicaux d'une
femme.
- „ 3812 Vertèbre dorsale et la dure-mère d'un
cochon.
- „ 3813 Côtes d'un cochon.
- „ 3814 Articulation métacarpo-phalangienne du
pied d'une vache.
- „ 3815 Articulation huméro-cubitale d'une vache.
- „ 3816 Rein d'une vache.
- „ 3817 Idem.
- „ 3818 Idem.
- „ 3819 Rein d'un cochon.
- „ 3820 Testicule d'un homme.
- „ 3821 L'utère et les ovaires d'une vache.
- „ 3822 Tetine d'une vache ; normal.
- „ 3823 Idem ; tuberculose chronique.
- „ 3824 Idem.
- „ 3825 Tetine d'une vache et le ganglion lymphatique
mammaire.
- „ 3826 Glandes mammaires d'une vache.
- „ 3827 L'œil d'une vache.
- „ 3828 Cobaye ; expériences avec des bacilles
d'oiseau.
- „ 3829 Idem.

COLLECTION DE 24 COBAYES TUBERCULEUSES, ILLUSTRANT DES
EXPÉRIENCES EN RELATION A L'AETIOLOGIE DE LA TUBERCULOSE.

SÉRIE I.

*Virulence des cultures choisies de bacilles de Koch d'homme, de bœuf, de
d'oiseaux, obtenues directement des lésions tuberculeuses sans passage.*

M. le Prof. Delépine. 3830
à
3832

SÉRIE II.

Effet du passage de produits des bacilles de Koch choisis, ou des cultures d'origine d'oiseaux à travers les mammelles.

A.—Source de bacilles d'oiseaux : coq ; 450 morts en 1903 de la tuberculose avancée (infection naturelle).

Exposé par :

M. le Prof. Delépine. 3833
à
3836

B.—Source des bacilles d'oiseaux : poule ; 2548 (culture 203) mortes en 1908 de la tuberculose avancée (infection naturelle).

M. le Prof. Delépine. 3837
à
3843

SÉRIE III.

Infection du lait des vaches tuberculeuses ayant tuberculose avancée de la tétine.

M. le Prof. Delépine. 3844
à
3849

Résistance des bacilles de Koch dans le lait des vaches à putrèfaction à dessèchement par chaleur et pasteurization.

M. le Prof. Delépine. 3850
à
3853

SPÉCIMENS PATHOLOGIQUES D'APRÈS LA MÉTHODE DE PROF. DELÉPINE
POUR L'ILLUSTRATION DE LA PRÉSERVATION DE LA COULEUR ET DE LA
TRANSPARENCE DES TISSUS DIVERS NORMAUX ET ANORMAUX.

A.—Illustrant les effets de la méthode sur les lésions typiques.

M. le Prof. Delépine. 3854
à
3863

B.—Illustrant les expériences faites pour déterminer la valeur de certains ingrédients du média employé pour la préparation et le montage d'après la méthode employée par M. le Professeur Delépine depuis 1896.

M. le Prof. Delépine. 3864
à
3869

C.—Illustrant la stabilité des spécimens conservés par la méthode d'acide arsénieux-glycérine-gelée.

M. le Prof. Delépine. 3870
à
3877

[Faint, illegible text, likely bleed-through from the reverse side of the page]

VORWORT.

Das Museum des XVII. Internationalen Medizinischen Kongresses (London, 1913) ist von einem speziellen Komitee organisiert worden. Das Komitee stellte sich die Aufgabe den Kongressmitgliedern eine Sammlung von wissenschaftlichen, medizinischen Ausstellungsgegenständen, die einige der bedeutendsten Fortschritte seit dem letzten Kongress in Budapest in 1909 veranschaulichen, zu bieten. Leider ist es unmöglich gewesen diesen ursprünglichen Plan vollständig zur Ausführung zu bringen, teilweise weil viel des existierenden Materials für diesen Zweck nicht zu erlangen war, und teilweise weil man einsehen musste, dass es unberechtigt sein würde, die Aerzte aufzufordern viel Zeit, Geld und Mühe anzuwenden, um Objekte für die kurzdauernde Ausstellung herzustellen.

Die Vollständigkeit des Plans hat weiterhin dadurch gelitten, dass die Vorstände der Sektionen XIII. und XVI. (Dermatologie, und Otologie) vorzogen, ihre Ausstellungsgegenstände in einem eigenen Museum aufzustellen. Was die Sektion Nr. II. (Physiologie) anbetrifft, so lag es auf der Hand, dass eine Ausstellung physiologischer Apparate überflüssig und unnutz sein würde, in Anbetracht der Tatsache, dass Demonstrationen in drei der bedeutensten Laboratorien Londons geplant waren, mit Benutzung der dort vorhandenen Apparate. Ferner hat das Komitee sich gezwungen gesehen eine Abteilung des Museums, die der Pharmakologischen Sektion (Nr. V.) und eine, die der Militär-und Marine-Sektion (Nr. XXI.) entsprechen würde, fallen zu lassen, da die Sachverständigen, die aufgefordert wurden, Gegenstände zu dem Museum beizutragen, nicht in der Lage waren, geeignetes Material zur Verfügung zu stellen.

Das Komitee hegt die Hoffnung, dass die Kongressmitglieder die Ausstellung lehrreich und interessant finden, und die Sammlung, die mit viel Mühe zusammengestellt worden ist, einem eingehenden Studium unterworfen werden.

Die Aufmerksamkeit des Kongresses wird besonders auf eine neue Richtung in Verbindung mit Kongressmuseen gelenkt. Eine Sonderabteilung für Museumstechnik ist zum grossen Teil von der "Internationalen Association der Medizinischen Museen" arrangiert worden. Fräulein Dr. Maude E. Abbott, deren unermüdliche Energie auf diesem

Gebiete wolbekannt ist, hat keine Mühe gescheut, den Erfolg dieser Abteilung zu sichern; das Zusammenarbeiten mit ihr hat dem Museumskomitee besondere Freude bereitet.

Das Museumskomitee möchte an dieser Stelle allen denen, die ihr kostbares Material zur Verfügung gestellt, und zu dem Erfolg des Museums beigetragen haben, seinen besten Dank aussprechen. Auch den Herren Sekretaren der verschiedenen Sektionen des Kongresses gebührt für ihre freundliche Hilfe und Mitarbeit, bester Dank.

Zum Schluss möchte das Museumskomitee an die Herren Kongressmitglieder die Bitte richten, dem Vorstand in seinen Bemühungen beizustehen, dadurch, dass sie den Bestimmungen, die im Interesse derjenigen aufgestellt worden sind, die die Güte gehabt haben, Ausstellungsgegenstände dem Museum zur Verfügung zu stellen, folgeleisten.

SEKTION I.—Anatomie und Embryologie.

I.—HERZ.

- Ausgestellt von :*
- | | |
|--|--|
| Herrn Prof. Dr. David Waterston, M.A., F.R.S.E., London. | 1 Injiziertes Herz die Scheide der atrio-ventricularen Lamella zeigend. |
| „ | 2 Injiziertes Ochsenherz das Leitungssystem des rechten Ventrikels zeigend. |
| „ | 3 Idem. |
| „ | 4 Mikroskopische Schnitte durch die Muskeln eines mit chinesischer Tusche injizierten Ochsenherzens. |
| Herrn. Prof. Dr. F. Külbs, Berlin. | Wachsmodele des atrio-ventriculären Systems bei : |
| | 5 Fisch, |
| | 6 Eidechse, |
| | 7 Schildkröte, |
| | 8 Vogel. |

II —FRÜHE ENTWICKELUNG DES MENSCHLICHEN UND TIERISCHEN EIES.

- Ausgestellt von :*
- | | |
|--------------------------------------|---|
| Herrn. Prof. H. Bryce, Glasgow. | 9 Model des "Bryce-Teacher" Embryos. |
| „ | 10 Aquarell des selben Präparates.
(Aussteller wird das Originalpräparat selbst vorführen). |
| Herrn. Prof. Dr. Peters, Wien. | 11 Tafel zur Illustration eines sehr frühen Embryos. |
| Herrn. Prof. Arthur Thomson, Oxford. | 12 Modell eines Embryos 0,23 mm. im Durchschnitt in der Blastocyst (x 150). |
| „ | 13 Modell eines Embryos 0,23 mm. im Durchschnitt (x 320). |
| „ | 14 Serie von Mikrophotographien eines sehr frühen menschlichen Embryos. |
| „ | 15 Serie von stereoskopischen Photographien menschlicher Embryonen, Vogel-Pferde-und Fisch-Augen und einiger pathologischer menschlicher Augen. |

Ausgestellt von:

Herrn. Prof. Dr. David,
Waterson, M.A.,
F.R.S.E., London.

*Fünf Rekonstruktionen menschlicher Em-
bryonen, zubereitet nach der Methode
von Herrn. Prof. Waterston:*

- „ 16 Aeussere Form eines 2 bis 3 mm.
langen menschlichen Embryos (x 200).
„ 17 Nervensystem, Herz, Blutgefässe, u.s.w.
desselben Embryos (x 200).
„ 18 Herz, Verdauungstractus, u.s.w. (x 200).
„ 19 Zentrales Nervensystem eines 6 mm.
langen menschlichen Embryos (x 50).
„ 20 Rachen und einige der Taschen eines
6 mm. langen Embryos (x 100).
„ 21 Diapositive nach Photographieen von
bis Schnitten von frühen menschlichen
32 Embryonen:—

(a) *Pronephros* zeigend;

(b) *Recussus pneumato-cutaneus* auf
beiden Seiten zeigend;

(c) Die Bildung des sympathetischen Nervensystems in einen
frühen Stadium zeigend.

Herrn. Prof. Dr. A.
d'Eternod, Genf.

- 33 Wandtafel zur Illustration der Segmen-
tation und der wahrscheinlichen
Gastrulation des menschlichen Eies.
„ 34 Idem.
„ 35 Wandtafel die Topographie des frühen
Embryos illustrierend.
„ 36 Wandtafel die Trophoderm und die
Plazenta illustrierend.
„ 37
„ 38 Korkmodell eines menschlichen Embryos,
1,3 mm.
„ 39 Idem.
„ 40 Schema des lecithaphorischen, meroblas-
tischen und metalecitischen Ovums.
„ 41 Wachsmo-
dell; Embryonen gebiet; men-
schlicher Embryo; 1,3 mm.
„ 42 Wachsmo-
dell eines menschlichen
Embryos, 2,11 mm.; 8 Schnitte.
„ 43 Plattenmodelle eines menschlichen
Embryos, 2,8 mm.; 20 Schnitte.

Ausgestellt von :

Herrn. Prof. Arthur
Robinson, Edinburgh.

„

„

„

„

Herrn. Prof. Arthur
Robinson, Edinburgh.

„

„

„

„

„

Herrn Dr. R. W. John-
stone, Edinburgh.

Herrn Dr. Wood Jones,

„

„

„

Herrn Prof. Dr. McClure,
Princetown, N. Jersey.

Rekonstruktionen :

44 Gehirnhälfte mit Kopf-und oberen Hals-
nerven eines 20 mm. langen mensch-
lichen Embryos (bei einer Operation
gewonnen).

45 Herz eines 5,5 mm. langen menschlichen
Embryos, drei Teile.

46 Herz eines 8,5 mm. langen menschlichen
Embryos, drei Teile.

47 Hälfte eines ungefähr 23 Tage alten
Pferdeembryos.

48 Hälfte eines Pferdeembryos (die beiden
Hälften sind auf verschiedene Weise
präpariert).

49 Schwanzteil des selben Pferdeembryos,
vergrößert, die Einzelheiten der
allantoischen Gefäße veranschau-
lichend.

50 Kopf eines Schweineembryos, die Bezie-
hung des Rachens und des Gehirns
zu dem otischen Bläschen zeigend.

51 Kopf eines älteren Schweineembryos
die Beziehung des Rachens zu dem
otischen Bläschen zeigend.

52 Kopf und Herz eines 2,3 mm. langen
Frettchenembryos. Die Epithelkanäl-
chen des Herzens sind noch auseinander
gehalten, die Muskelkanälchen dagegen
schon zusammen geschmolzen.

53 Herz eines 9 mm. langen Frettchen-
embryos, drei Teile.

54 Herz eines 12,5 mm. langen Frettchen-
embryos, drei Teile.

55 Serie von 12 Diapositiven, die die frühen
bis Stadien der Entwicklung des mensch-
lichen Eies zeigen.

67 Präparate, die die Entwicklung der
Genitalien des Maulwurfs (*Talpa
europea*) zeigen.

68 Zeichnungen derselben.

69 Präparate, die die Morphologie der Geni-
talien der Säugetiere zeigen.

70 Zeichnungen derselben.

71 Serie von Diapositiven, die die Entwick-
lung des lymphatischen Systems bei
106 Fischen illustrieren.

Ausgestellt von:

- | | | |
|---------------------------------------|-----|---|
| Herrn Dr. Peter Thompson, Birmingham. | 107 | Rekonstruktion des Gehirns eines fötalen Kätzchens. |
| Herrn T. Yeates, Birmingham. | 108 | Rekonstruktion eines Frettchenembryos <i>in Utero</i> , 14 Tage post coitus von der Mutter entfernt. |
| „ | 109 | Rekonstruktion eines Frettchenembryos, 15 Tage post coitus von der Mutter entfernt:
(a) Gebärmutter mit den Häuten, ihre Beziehung zur Uteruswand zeigend.
(b) Embryo in drei Teilen mit Resten der verschiedenen Häute. |
| Herrn Dr. R. H. Clarke, London. | 110 | Modell des Kopfes einer Katze, zur Illustration der Anwendung der Methode von gradeliniger Topographie. |
| „ | 111 | Stereotaktische Instrumente:
(a) Ursprüngliches Modell.
(b) Zweites Modell.
(c) Neues Modell, mit dem selben Rahmen wie b; an dem Käfig und der Platte ist ein equatorischer Stift, mit einem Nadelhalter mit universeller Bewegung, und einem Indikator von drei Dimensionen mit drei verstellbaren Netzen und einem durch die Netze einzustellenden bewegbaren Zeiger, angebracht. |
| „ | 112 | Messungs- und Bohrer-Käfig. |
| „ | 113 | Säge vermittlels welcher 2 mm. dicke Schnitte von gefrorenen Schädeln geschnitten werden können. Die Schnitte werden gemessen, und vermittlels des verstellbaren Netzes kann man die Korrektur machen, indem man die Spalten auf 2 mm. setzt oder sie im Verhältniss zum Kopf bringt. |
| „ | 114 | Verstellbares Netz aus Zwirn, zur Benutzung als photographischer Schirm für die vergleichende Messung. |
| „ | 115 | Serie von Photographieen von Schädel-schnitten der Katze und des Affen, mit korrigierten Skalen zur Benutzung als Tabellen der direkten Bewegungen des stereotaktischen Instrumentes. |
| „ | 116 | Spezielle Nadeln, Bohrer, Röhren u.s.w. |

Ausgestellt von :
Herrn Dr. Aubrey T.
Mussen, München.

117 Serie von Mikrophotographien des
bis Gehirns des *Macacus Rhesus*, worauf
270 die Topographie der Zentral-Nucle-
und die Methode ihrer Lokalisation
durch das stereotaktische Instrument
von Herrn Dr. R. H. Clarke zu sehen
sind.

- „ *Locus cæruleus.*
- „ *Radix mesencephalici N. trigemini.*
- „ *Brachium conjunctivi cerebelli.*
- „ *Lemniscus lateralis.*
- „ *Eminentia teres.*
- „ *Genu radialis N. facialis.*
- „ *Nucleus abducens.*
- „ *Radix N. abducentis*
- „ *Fasciculus longitudinalis dorsalis.*
- „ *Nucleus Deiteri.*
- „ *Nucleus Bechterewi.*
- „ *Tractus tecto-spinalis et bulbaris.*
- „ *Formatio reticularis.*
- „ *Lemniscus medialis.*
- „ *Tractus cortico-spinalis.*
- „ *Nucleus olivaris inferioris.*
- „ *Fibræ intra-olivares.*
- „ *Tractus cerebello-olivares.*
- „ *Tractus spino - cerebellaris - ventralis*
(Gowers).
- „ *Tractus spino - cerebellaris - dorsalis*
(Flechsig).
- „ *Corpus restiforme.*
- „ *Pons.*
- „ *Gyrus.*
- „ *Spleni.*
- „ *Fornix.*
- „ *Nucleus caudatus.*
- „ *Part. occipitalis capsulae internæ.*
- „ *Pulvinar medianus.*
- „ *Pulvinar lateralis.*
- „ *Pulvinar nucleus anterior superior.*
- „ *Lamella externa.*
- „ *Zona reticularis.*
- „ *Brachium tuberculum quad. sup.*
- „ *Ventriculus lateralis.*
- „ *Stratum zonale.*
- „ *Striæ terminales.*
- „ *Gyrus hippocampi.*
- „ *Cornu ammonis.*
- „ *Fascia dentatis.*
- „ *Tuberculum quadrigeminum superius*
- „ *Tuberculum quadrigeminum inferius.*

Ausgestellt von :
Herrn Dr. Aubrey T.
Mussen, München.

„	<i>Noyau semilunaire.</i>
„	<i>Tania thalami.</i>
„	<i>Capsula interna.</i>
„	<i>Noyau central (centre median de Luys).</i>
„	<i>Nucleus fasciculus longitudinalis dorsalis.</i>
„	<i>Substantia nigra.</i>
„	<i>Zona incerta.</i>
„	<i>Radix N. oculomotorii.</i>
„	<i>Nervus oculomotorius.</i>
„	<i>Nucleus interpeduncularis.</i>
„	<i>Nucleus lenticularis.</i>
„	<i>Substantia grisea prae geniculata.</i>
„	<i>Corpus Luysi.</i>
„	<i>Nucleus anterior thalami (principalis).</i>
„	<i>Nucleus anterior thalami (accessorius).</i>
„	<i>Nucleus medialis paratæniae.</i>
„	<i>Tractus Vicq d'Azyr.</i>
„	<i>Ventriculus tertius.</i>
„	<i>Columna fornicis.</i>
„	<i>Corpus mamillare.</i>
„	<i>Forel'sches Feld.</i>
„	<i>Forel'sche h. Feld.</i>
„	<i>Nervus opticus.</i>
„	<i>Nucleus lentiformis globi pallidi int.</i>
„	<i>Nucleus lentiformis globi pallidi ext.</i>
„	<i>Nucleus lentiformis putaminis int.</i>
„	<i>Nucleus lentiformis putaminis ext.</i>
„	<i>Noyau sous medial.</i>
„	<i>Noyau paralamellaire.</i>
„	<i>Aqueductus Sylvii.</i>
„	<i>Nucleus N. vagi.</i>
„	<i>Nucleus N. hypoglossi.</i>
„	<i>Radix N. hypoglossi.</i>
„	<i>Tuber cinereum.</i>
„	<i>Noyau paraventricularis.</i>
„	<i>Commissura anterior.</i>
„	<i>Substantia innominata.</i>
„	<i>Nervus N. trochlearis.</i>
„	<i>Nucleus N. glossopharyngei.</i>
„	<i>Hypophysis.</i>
„	<i>Nucleus gracilis.</i>
„	<i>Fibrae arcuatae internæ.</i>
„	<i>Corpus trapezoideum.</i>
„	<i>Nucleus supraopticus.</i>
„	<i>Pes pedunculi cerebri.</i>
„	<i>Nucleus mammillo-infundibularis.</i>
„	<i>Nucleus ant. pedamenti lateralis.</i>
„	<i>Pedamenti laterales.</i>
„	<i>Tractus trigemino-thalamicus.</i>
„	<i>Cerebellum.</i>

Ausgestellt von:
Herrn Dr. Aubrey T.
Mussen, München.

„
„
„
„
„
„
„
„
„
„

Nucleus angularis-Bechterewa
Nucleus caudatus.
Globus pallidus.
Tractus Foreli.
Putamen.
Connection between caudate nucleus
and putamen.
Nucleus amygdalæ.
Nucleus communicans.
Nucleus dentatus.
Lamella interna.
Lamella intermediaris
Nucleus funiculi cuneati.

Herrn Dr. Purves
Stewart, F.R.C.P.,
London.

Herrn Prof. Dr. C. W.
Ariens Kappers and
Herrn Privatdozent
S. J. Lange,
Amsterdam.

„
„

271 Unterrichtsmodell der Hautwurzel-und
der periphären Hautnerven-Zonen.

Rekonstruktionen (Wachsmoulagen).

- 272 Haifisch (*Hexanchus*).
273 Amphibie (*Rana*).
274 Reptil (*Chelone Mydas*).
275 Schlange (*Eunectes murinos*).
276 Reptil (*Varanus Salvator*).
277 Beutelratte (*Didelphys Marsap*).
(Die Obigen illustrieren die philogene-
tische Entwicklung des *corpus*
striatum).
278 Kleinhirn eines Reptils.
279 Idem.
280 Serie von 12 Farbenzeichnungen zur
bis Illustration der Topographie der
291 verschiedenen Kerne der Medulla
oblongata und des Mesencephalon in
fünf verschiedenen Arten von Wirbel-
tieren.
292 Serie von 10 Zeichnungen zur Illustra-
bis tion der Entwicklung der Gehirn-
301 gruben und ihre Beziehungen zu ver-
schiedenen Zellenanordnungen.

MISSBILDUNGEN.

Herrn Dr. Magnus
Hirschfeld, Berlin.

„

Wachs-Moulagen.

- 302 *Hermaphroditismus verus. Sexus duplex.*
(Wahres Zwittertum. Beiderlei Ge-
schlecht.)

Ausgestellt von :
Herrn Dr. Magnus
Hirschfeld, Berlin.

- 303 *Hermaphroditismus verus, sive invertus?*
Praematuritas masculina et feminina.
(Wahres oder ungewisses Zwittertum.
Vorzeitige Entwicklung der männlichen und weiblichen Geschlechtsattribute.)
- „ 304 *Pseudohermaphroditismus invertus.*
(Scheinzwitter unbestimmten Geschlechts.)
- „ 305 *Pseudohermaphroditismus masculinus.*
Error in sexu. (Männliches Scheinzwittertum. Irrtümliche Geschlechtsbestimmung.)
- „ 306 *Pseudohermaphroditismus masculinus*
Error in sexu. (Männliches Scheinzwittertum. Irrtümliche Geschlechtsbestimmung.)
- „ 307 *Pseudohermaphroditismus masculinus*
Error in sexu. (Männliches Scheinzwittertum. Irrtümliche Geschlechtsbestimmung.)
- „ 308 *Pseudohermaphroditismus. Sexus masculinus.* (Scheinzwittertum. Äussere Geschlechtsteile einer Mannes, weibliches Geschlecht vortäuschend.)
- „ 309 *Pseudohermaphroditismus femininus*
Error in sexu. (Weibliches Scheinzwittertum. Irrtümliche Geschlechtsbestimmung.)
- „ 310 *Pseudarrhenie. Sexus femininus.* (Eine Frau, deren äussere Genitalien männliches Geschlecht vortäuschen.)
- „ 311 *Pseudarrhenie.* (Beckendurchschnitt einer Frau, deren äusseres Genitale männliches Geschlecht vortäuscht.)
- „ 312 *Kryptorchismus et Aplasia testicularis, Azoospermie. Infantilismus sexualis.*
(Im Leistenkanal verborgen unentwickelte Hoden. Fehlen der Samenzellen. Geschlechtlicher Infantilismus.)
- „ 313 Ein Fall von Gynäkomastie.
- „ 314 Serie von Lichtbildern, die die Einzel-
388 darstellungen der verschiedensten sexuellen Übergangserscheinungen veranschaulichen.

Ausgestellt von:
Herrn Dr. Magnus
Hirschfeld, Berlin

389 *Serie von Photographieen:*

bis Weibliche Körperbildungen bei Männern.

403 Männliche Körperbildungen bei Frauen.
(Androgynie, Gynandrie, Gynäkomastie, Varianten der Beckenbildung und der Behaarung.)

Typen seelischen Zwittertums (Homosexualität und Transvertitismus.)

404 *Wandtafeln*, die die Geschlechtsübergänge I., II., III. und IV. Grades illustrieren:

I. Hermaphroditismus und Pseudohermaphroditismus.

II. Androgynie und Gynandrie.

III. Transvertitismus.

IV. Homosexualität und Bisexualität.

„

405 *Tafeln:*

Kurve der sexuellen Leitungsbahnen.

Kurve des sexuellen Treppenreflexes.

Herrn Dr. J. E. Gemmell and Herrn Dr. A. M. Paterson, Liverpool.

406 Drei Photographieen zur Illustration
bis eines Falles von Verdoppelung
408 der Blase, der Gebärmutter, der Scheide, und der Vulva, mit aufeinanderfolgenden normalen Schwangerschaften und Entbindung von beiden Gebärmüttern.

Herrn Prof. Dr. J. Symington, Belfast.

409 Modelle in Lebensgrösse, bestehend aus einer Serie horizontaler Schnitte durch den Unterleib und das Becken eines erwachsenen Mannes. (Das Model besteht aus einer Serie von Holzplatten. Die Brennarbeit ist von Fräulein Rea ausgeführt und das Gestell unter der Aufsicht von Herrn J. Wylie, B.A. angefertigt worden.)

Herrn Dr. John Elliott, Chester.

Menschliche Skelette, 1912-1913, während der Ausgrabungen für den Neubau der "Chester Infirmary" auf einem römischen Friedhofes gefunden.

„

410 Schädel "mittelländischen" Typus; eines Skelets, in einem gewölbten Grab gefunden.

„

411 Gefäss und vesikuläres Glas, mit den Resten des selben Skelets gefunden.

„

412 Röhrenknochen des selben Skelets.

Ausgestellt von:
Herrn Dr. John Elliott,
Chester.

- 413 Schädel "keltischen" Typus'; brachykephalisch.
- " 414 Serie von Röhrenknochen des selben Skelets.
- " 415 Schädel eines Mannes, ungefähr 25 Jahr alt; wahrscheinlich Bronzearbeiter von Beruf.
- " 416 Gegenstände im Grab bei dem Skelet gefunden.
- " 417 Röhrenknochen des selben Skelets.
- " 418 Schädel "mittelländischen" Typus'; hydrokephalisch; metopisch; Exostose in beiden äusseren Gehörgägen.
- " 419 Gegenstände im Grab gefunden.
- " 420 Röhrenknochen des selben Skelets.
- " 421 Schädel "mittelländischen" Typus'; metopisch; Nähte noch offen; geheilte Mastoiditis.
- " 422 Gegenstände im Grab gefunden.
- " 423 Röhrenknochen des selben Skelets.
- " 424 Schädel eines "neolitischen" Mannes, ungefähr 20 Jahre alt.
- " 425 Röhrenknoche des selben Skelets.
- " *Menschliche Skelette, wahrscheinlich zur Zeit des Errichtens der alten "Infirmary" zu Chester gestört und unterschiedslos wieder begraben.*
- " 426 Schädel "mittelländischen" Typus', ungefähr 20 bis 25 Jahre alt.
- " 427 Schädel "keltischen" Typus'; kleine runde Oeffnungen im Knochen sind von Käfern gebohrt.
- " 428 Anormaler Schädel; Achondroplasie.
- " 429 Schädel "mittelländischen" Typus'; ungefähr 40 Jahre alt.
- " 430 Schädel; mikrokephalisch.
- " 431 Idem.
- " 432 Röhrenknochen, wahrscheinlich zu den oben angeführten Schädeln gehörend.
- " 433 Verschiedene Objekte bei Skeleten, gefunden.

Die römischen Münzen, Tongefässe, Lanzen spitzen und andere Objekte der betreffenden Periode, die bei den Knochen gefunden wurden, beweisen, dass letztere römisch-englisch sind.

Ausgestellt von :

- | | |
|--|--|
| Herrn Dr. Douglas E. Derry, Ch.B., London. | 434 Schädel und Skeletknochen eines Ägypters aus der Römerzeit mit Hydrocephalus und linker Haemiplegie. |
| „ | 435 Skaphocephalus-Schädel eines Ägypters der zwölften Dynastie. |
| „ | 436 Schädel einer jungen ägyptischen Frau, worauf rechts ein sehr grosses Foramen parietalis mit Abflachung des Schädels zu sehen ist. |
| „ | 437 Becken einer Negerin mit Nägelescher Obliquität. |
| „ | 438 Photographie des selben Falles, worauf der Kopf eines Foetus am Eingang des Beckens zu sehen ist. |
| Herrn Prof. R. W. Reid, Aberdeen. | 439 Schädel (männlicher) 1867 in Parkhill, Aberdeenshire, gefunden. |
| „ | 440 Photographien zur Illustration des vorgeschichtlichen Mannes des nord-östlichen Bezirke Scottlands. |

SEKTION II.—Physiologie.

Physiologische Apparate werden in der Physiologischen Abteilung der Londoner Universität, in der Physiologischen Abteilung des "University College" und in der Physiologischen Abteilung des "King's College" ausgestellt.

Eine Anzahl Demonstrationen sind vorgesehen, und werden von den Herren Physiologen zu angegebenen Zeiten gegeben.

SEKTION III.—Allgemeine Pathologie.

Ausgestellt von :

- | | |
|--|--|
| Herren Prof. John A. Teacher u. Dr. A. W. Harrington, Glasgow. | 441 Schenkelknochen, Rippen und Wirbelsäule mit Metastasen im Mark, und Hyperplasie des letzteren, bei einem Falle von Magencarcinom. |
| „ | 442 Ein gleicher Fall. |
| Herrn Dr. J. A. Cairns Forsyth, London. | 443 Gallenblase, 240 Gallensteine und viel Eiter enthaltend. Das Präparat zeigt auch Zottencarcinom des Gallenblasenhalses. |
| „ | 444 Gallenblase, 8 Gallensteine enthaltend. Der Stein in dem Zisticus hat auf den Choledochus gedrückt und Stauungsikterus verursacht. |
| „ | 445 Gallenblase eines Falles von akuter Cholezystitis. |
| „ | 446 Ein gleiches Präparat. |
| „ | 447 Gallenblase, wegen Hydrops entfernt. Drei Steine wurden gefunden, wovon 2 in dem Zisticus eingeklemmt sind. |
| „ | 448 Gallenblase bei einem Falle von chronischer Cholezystitis, verursacht durch Gallensteine. Deutliche Verdickung des Zisticus. |
| „ | 449 Sanduhr-Verengung der Gallenblase, verbunden mit Gallensteinen Carcinom an der verengt Stelle, auf die Leber übergreifend. |
| „ | 450 Leber einer Frau, die einige Jahre in Indien gelebt hat. Abusus von Alkohol wurde negiert. Zirrhose. |
| „ | 451 Bauchspeicheldrüse bei einem Falle von akuter <i>pancreatitis hæmorrhagica</i> . |
| „ | 452 Gallenblase des selben Falles, mit grossem Stein. |
| „ | 453 Bauchspeicheldrüse eines Falles von akuter <i>pancreatitis hæmorrhagica</i> . |
| „ | 454 Fett-nekrose bei dem selben Falle. |
| „ | 455 Bauchspeicheldrüse eines Falles von chronischer <i>pancreatitis hæmorrhagica</i> . |

Ausgestellt von :
Herrn Dr. Cairns
Forsyth, London.

„

„

„

„

Herrn Dr. Matthew
Stewart, Leeds.

Herrn Dr. Hastings
Gilford, Reading.

„

„

„

„

„

„

„

„

„

„

„

„

„

Herrn Dr. Frank
Pettigrew, Edinburg.

456 Multilokuläre Zyste des Pankreas: bei der Operation aus dem Schwanzteil herausgeschält.

457 Niere: Hydronephrose, verursacht durch anormale Stellung des Harnleiters.

458 Niere mit einer einzelnen Zyste, 20 Harnsäure-Steine enthaltend.

459 Hæmatocele des Nuck'schen Kanals; entfernt aus der Leistengegend.

460 *Ulcus duodeni* auf dem Pankreas übergreifend; tödtliche Blutung durch Zerstörung der *arteria gastro-duodenalis*.

461 Zahlreiche herdförmige Blutungen in der Milzsubstanz nach Trauma.

Serie von Zeichnungen zur Illustration der Erkrankungen der Blutdrüsen.

462 Progerie.

463 Akromegalie.

464 Fröhlich'sche Krankheit

465 Infantiler Gigantismus.

466 Addison'sche Krankheit.

467 Sexuelle Präkosität.

468 Idem.

469 Feminismus.

470 Ateleiosis.

471 Idem.

472 kretinismus.

473 Basedow'sche Krankheit.

474 Mikro Kephale.

475 Serie von 5 grossen Schnitten zur Illustration von Fibromatose des Magens.

SEKTION IIIa.—Pathologische und physiologische Chemie.

Lipoiden.

<i>Ausgestellt von :</i>	
Herrn Dr. Hugh Maclean, London.	Serie von Präparaten der verschiedenen Gewebs-Lipoiden mit Beschreibung der Extraktionsmethode, chemischen Reinigung u.s.w.
„	476 Lezithin.
„	477 Cuorin.
„	478 Diamino-monophosphatid.
„	479 Wasserlösliche Lipoide.
Herrn Dr. W. Moir, London.	480 Lipoidsubstanzen, gewonnen aus einem koptischen Gehirn (A.D. 500)
Herrn Prof. S. B. Schryver, London.	481 Chemische Darstellung zur Illustration einer Forschung über die Gallensäure.
Herrn Dr. J. W. McNee, Glasgow.	482 Kolorimetrische Methode der Cholesterinbestimmung im Blutserum, in der Galle u.s.w., mittels des Königsberger-Autenriethschen Kolorimeters.
Herrn Dr. H. M. Vernon, Oxford.	483 Kurven zur Illustration der Wirkung von verschiedenen Konzentrationen von Ethylalkohol auf das Herz einer Schildkröte.
„	484 Kurve zur Illustration der Wirkung von Isopropylalkohol auf das Herz einer Schildkröte.
„	485 Vergleichende Kurven zur Illustration der Wirkung von Methyl-, Ethyl-, Isopropyl-, Isobutyl-, und Isoamylalkohol auf das Herz einer Schildkröte.
„	486 Methode zur quantitativen Schätzung von Indophenoloxydase in tierischen Geweben :—0.5 g. gehackter Niere und 5 c.cm des Reagens zu Anfang der Reaktion.
„	487 Dieselbe Mischung nach einer Stunde; Oxydierung zu Indophenolblau.
„	488 Dieselbe Mischung, mit Zusatz von 10 ccm. Alkohol, um das Indophenol zu extrahieren.
„	489 Filtrierte Indophenollösung.

Ausgestellt von:

- | | |
|--|---|
| Herrn Dr. H. M. Vernon, Oxford. | 490 Verdünnte Indophenollösung der selben Farbe, wie die der Standardlösung. |
| „ | 491 Standardlösung von Indophenol. |
| „ | 492 Vergleichende Kurven zur Illustration der Wirkung von verschiedenen Konzentrationen von Ethyl-, Methyl-, Isopropyl-, Isobutyl-, und Isoamylalkohol auf in Kanninchenniere vorhandene Indophenoloxydase. |
| Herrn Dr. Barger, London. | 493 Proben von Aminen aus zersetzte Proteine gewonnen. |
| „ | 494 Kurve zur Illustration der physiologischen Wirkung derselben. |
| Herrn Prof. Dr. E. Abderhalden, Halle a.S. | 495 Apparate und Utensilien zum Nachweis von auf blutfremde Stoffe eingestellten Fermenten. |
| „ | 496 Ausrüstung für das Dialysierverfahren, zum Nachweis blutfremder Stoffe nach der optischen Methode. |
| „ | 497 Beobachtungsröhren mit Mantel zur Wasserumspülung. |
| „ | 498 Vakuum-Destillier-Apparat. zur Herstellung des Organpeptons. |
| „ | 499 Extraktionsapparat zur Entfettung fettreicher Organs. |
| „ | 500 Besteck mit Serumgläsern für direkte Blutentnahme. |

Chemische Analyse von normalen und pathologischen Bestandteilen von Harn, Fäces, und Mageninhalt.

(Die Reaktionen sind als die zuverlässigsten von den Herren Ausstellern gewählt).

Harn.

- | | |
|--|---|
| Herren Dr. E. L. Ken-
naway und Dr. J. H.
Ryffell, London. | 501 Gesamtstickstoff (Kjeldahlsche Methode). |
| „ | 502 Ammoniak (Folinsche). |
| „ | 503 Ammoniak und Azidität (Formaldehyd-Reaktion). |
| „ | 504 Kreatinin (Folinsche Methode). |
| „ | 505 Harnsäure (Hopkins-Folinsche Methode). |
| „ | 506 Purinbasen (Modifizierte Camerer-Arnsteinsche Methode). |
| „ | 507 Harnstoff im Blut (Yvon-Ambardsche (hypobromit) Methode). |

Ausgestellt von :

- Herrn Prof. S. B. 508 Chlor. (Volhardsche Methode).
Schryver, London.
- Herrn Dr. Hugh Mac- 509 Protein: *qualitativ* (Salicylsulphonsäure-
lean, London. Reaktion).
- „ 510 Idem (Gerinnungs-Reaktion, in des
Wärme).
- „ 511 Idem (Salpetersäure, Kalt Reaktion).
- Methoden zur Differenzierung zwischen
den Proteinen, und eventuell störenden
Substanzen.*
- „ 512 Nukleoprotein.
- „ 513 Muzin.
- „ 514 Phosphorsaure Salze.
- „ 515 Harnstoff.
- „ 516 Harzsubstanzen.
- „ 517 Protein; *quantitativ*. (Esbachsche
Methode.)
- „ 518 Proteosen im Harn; Bence Jones-Körper.
(Salizylsulphonsäure-Reaktion.)
- „ 519 Idem. (Salpetersaure Reaktion.)
- „ 520 Idem. (Essigsäure und Chlornatron
Reaktion.)
- Herrn Dr. Hugh Mac- 521 Idem. (Gerrinnung durch Hitze, die
lean, London. bei fortgesetztem Erhitzen ver-
schwindet.)
- „ 522 Harnzucker; *qualitativ*. (Fehlingsche
Probe.)
- „ 523 Idem. (Safranin Probe.)
- „ 524 Idem. (Trommersche Probe.)
- „ 525 Idem. (Phenylhydrazin Probe.)
- „ 526 Idem. (Gährungsprobe.)
- „ 527 Harnzucker; *quantitativ*. (Bertrandsche
Reaktion.)
- „ 528 Idem. (Pavysche Reaktion).
- „ 529 Pentosurie. (Bialsche Probe.)
- „ 530 Reaktionen, die die störende Wirkung
von Kreatinin im Harn bei der
Fehlingschen Probe und die Bedeutung
einiger abweichenden Reaktionen
veranschaulichen.

Ausgestellt von:
Herrn Dr. Mackenzie
Wallis, London.

- 531 Gallenfarbstoff. (Huppertsche Probe.)
532 Idem. (Modifizierte Huppertsche Probe.)
533 Idem. (Elektrolytische Probe.)
534 Gallensäure. (Haysche Probe.)

Blut und Blutfarbstoffe.

- 535 Haemoglobin. (Spektroskop.)
536 Idem. (Guaiakeprobe.)
537 Idem. (Tolidinprobe.)
538 Methaemoglobin. (Spektroskop.)
539 Haematoporphyrin. (Spektroskop.)
540 Idem. (Ausscheidung von saurem
Haematoporphyrin.)
541 Urobilin. (Spektroskop.)
542 Idem (chemische Probe.)
543 Urochrom im Harn.
544 Urorosein und Uroerythrin.
545 Methylenblau im Harn.
546 Karbolurie.
547 Eiter im Harn. (Mikroskopischer
Nachweis.)

Azetonkörper.

Herrn Dr. W. H.
Hurtley, London.

- 548 Azetoessigsäure. (Chloreisen Probe.)
549 Idem. (Arnoldsche Probe.)
550 Idem. (Riegler'sche Probe und Modifi-
kationen.)
551 Idem. (Rothersche Azetonprobe, zum
Nachweis von Azetoessigsäure.)
552 Idem. (Eine neue Probe.)
553 Kolorimetrische Bestimmung vermittle
der neuen Probe.

Herrn Dr. Mackenzie
Wallis, London.

- 554 β -Oxybuttersäure (chemische Probe).
555 Ethyl β -Oxybuttersäure.
556 Indican (verschiedene Reaktionen zum
Vergleich).

Ausgestellt von :
Herrn Dr. Mackenzie
Wallis, London.

,,

,,

,,

,,

,,

,,

,,

,,

,,

557 Zystinurie (Ausscheidung von Zystin-
kristallen).

558 Idem. (Ausscheidung und Bestimmung
von Zystin).

559 Idem; mikroskopische Präparation von
Zystinkristallen.

560 Alkaptonurie; Harnproben, zur Illu-
stration des charakteristischen Dunkel-
werdens beim Stehen.

561 Idem; verschiedene Proben, die auf das
Vorhandensein von Homogentissäure
beruhen.

(a) Fehlingsche Probe.

(b) Ammoniak-Salpetersaures-Silber
Probe.

(c) Chloreisen Probe.

562 Idem. Proben von Homogentissäure.

563 Diaminurie; Proben von *putrescin* und
cadaverin, aus Harn gewonnen.

Fäces.

Herrn Dr. Francis H.
Goodbody, London.

,,

,,

,,

,,

,,

,,

,,

,,

,,

,,

,,

,,

,,

564 Okkultblut. (Benzidin Probe.)

565 Idem. (Aloin Probe.)

566 Urobilin. (Sublimat-Probe.)

567 Schmidtsche Gährungsprobe.

568 Fettextraktion aus Fäces.

569 Dickdarm zur Illustration der Stellen wo
Urobilinogen in Urobilin verwandelt
wird.

570 Flüchtige Säure (Harleysche Methode;
die auch bei Mageninhalt verwendet
werden ann.)

571 Mikroskopischer Nachweis von Muskel-
fasern.

572 Mikroskopischer Nachweis von Pflanzen-
zellen.

573 Mikroskopischer Nachweis von Schleim.

574 Mikroskopischer Nachweis von Stärke-
körnern, (mit Jod und Jodkali gefärbt).

575 Flüchtige Säure.

576 Muskelfasern in Fäces.

577 Pflanzenzellen „

Ausgestellt von :

- Herrn Dr. Francis H. 578 Schleim in Fäces.
 Goodbody, London. 579 Stärke „

Darmparasiten.

- ? Herrn Dr. F. T. Bridge- 580 *Tænia saginata* Zysten in Kälbern.
 man, London.
 „ 581 *Echinococcus* Zysten in der Leber vom
 Schaf.
 „ 582 *Tænia cænurus*.
 „ 583 *Tænia saginata*. P
 „ 584 *Tænia solium*.
 „ 585 *Tænia expansa*.
 „ 586 *Solenophorus megaloccephalus*.
 „ 587 *Tænia cucumerina*.
 „ 588 *Bothriocephalus latus*.
 Herrn Prof. Dr. J. W. W. 589 Serie von Präparaten zur Illustration
 Stephens, Liverpool. bis des Lebenszyklus des gewöhnlichen
 616 Bandwurmes im Mensch, im Hund
 und in der Katze.
 Herrn Dr. A. C. Mikroskopische Präparate von :—
 Stevenson.

Amoeba coli.

- „ 617 Inhalt des Cöcums.
 „ 618 Cöcumschnitt.
 „ 619 Zysten im Cöcumschnitt.

Trichomonas intestinalis.

- „ 620 Cöcumschnitt.
 „ 621 Inhalt des Cöcums.

Lambliæ intestinalis.

- „ 622 Jejunumschnitt mit dem Parasiten.

Coccidiose des Darmes.

- „ 623 Dickdarmschnitt.

Mageninhalt.

- Herren Dr. P. A. Panton 624 Freie Salzsäure (Günsburg-und Töpfersche
 und Dr. Tidy, London. Methode).
 „ 625 Freie-und Gesamt-Azidität.

Ausgestellt von :

Herrn Prof. Dr. S. B. 626 Pepsin (Fuld und Levisohnsche Methode)
Schryver, London.

Pseudochylose Flüssigkeiten.

Herren Dr. Gaskell und 627 Proben dieser Flüssigkeiten (Ascites-
Dr. Mackenzie Wallis, Flüssigkeiten).
London.

„ 628 Verschiedene Proben zur Illustration der
physikalischen und chemischen Eigen-
schaften der pseudo-chylösen Flüssig-
keiten, z. B. das Aufhellen nach
Filtrirung durch eine Pasteursche
Kerze, die Fällung mit Schwefelam-
moniak, u. s. w.

Herrn Prof. Dr. Otto 629 Neue, schnell ausgeführte Analysen.
Folin, Boston.

„ 629 Bestimmung des Gesamtstickstoffes im
Harn.

„ 630 Bestimmung von Harnstoff im Harn.

„ 631 Bestimmung von im Harn vorhandenen
Ammoniak.

„ 632 Bestimmung von Harnsäure im Harn
und im Blut.

„ 633 Bestimmung von nicht im Protein
enthaltenen Stickstoff im Blut.

„ 634 Bestimmung von Harnstoff im Blut.

Herrn Prof. Dr. Ad. Moulagen :—
Schmidt, Halle, a-S.

„ 635 Fäces von Fleischkost.

„ 636 „ Pflanzenkost.

„ 637 „ Milchkost.

„ 638 „ Probekost. (Normalkot.)

„ 639 „ Obstipation.

„ 640 „ Gährungs dyspepsie.

„ 641 „ Mesenterialdrüsentuber-
kulose.

„ Pankreatitis.

„ Colitis gravis.

Herrn John McCall, 642 Gradlieniger Schreibhebel, zur Benutzung
Glasgow. bei physiologischer Arbeit.

SEKTION IV.—Bakteriologie und Immunität.

1.—AUSSATZ.

Ausgestellt von :

- | | |
|---------------------|--|
| Herrn Dr. H. Bayon. | 643 Milz von einem Fall von Aussatz;
tuberkelähnliche Herde. |
| „ | 644 Darm des selben Falles. |
| „ | 645 Aehnliche Herde im der Milz eines
Aussätzigen. |
| „ | 646 Mikroskopisches Strichpräparat von der
Haut eines Aussätzigen. |
| „ | 647 Strichpräparat von Kedrowsky'scher
Kultur. |
| „ | 648 Idem von Duvalscher Kultur. |
| „ | 649 Idem von Cleggscher Kultur. |
| „ | 650 Lister und Williamsche Streptothrix von
der Haut eines Aussätzigen. |
| „ | 651 Rostsche Kultur. |
| „ | 652 Strichpräparat von Rattenlepra-Kultur. |
| „ | 653 Leber eines mit Kedrowskyschen
Bazillen intravenös eingespritzten
Kanninchens. |
| „ | 654 Haut einer Ratte mit Rattenlepra. |
| „ | 655 Haut eines Aussätzigen. |
| „ | 656 Milz einer Ratte; künstliche Infektion;
2te Passage. |
| „ | 657 Milz einer mit Kedrowskyschen Bazillen
infizierten Maus. |
| „ | 658 Lupöse Abart des Aussatzes; Haut mit
Riesenzellen. |
| „ | 659 Käsigc Entartung und Nekrose der
Leber eines Aussätzigen. |
| „ | 660 Serie von Photographieen, die die
klinischen Erscheinungen bei Aussatz
illustrieren. |
| „ | 661 Serie von Photographieen der verschie-
denen Leprabazillenstämme. |
| „ | 662- Serie von Kulturen von Milch-, Butter-,
663 Fett-, Dünger-, Smegma-, Erde-, u.a.m.
Säurefest-bazillen, einschliesslich
Tuberkelbazillen. |

Ausgestellt von :

- Herrn Dr. Twort, 664 Kulturen von Johneschen Bazillen.
London.
- „ 665 „ „ Tuberkelbazillen.
- „ 666 „ „ Perlsuchtbazillen.
- „ 667 „ „ Bazillen von Vogeltuber-
kulose.
- „ 668 Serie von mikroskopischen Präparaten
der oben erwähnten Bazillen.
- „ 669 Gewebsschnitte mit Johneschen Bazillen.
- „ 670 Darm und Drüsen bei Johnescher
Krankheit.
- „ 671 Bazillus Phlei-Extrakt und zermahlene
Kulturen von geeigneten Bazillen.
- Herrn Dr. E. F. Bashford, Tafel zur Illustration der wichtigsten
Imperial Cancer Re- Tatsachen der Immunität oder des
search Fund, London. Widerstands dem Wachstums trans-
plantierter Geschwulste gegenüber.
- „ 672 Heterologe Einimpfungen; kein Schutz
gegen Carcinom durch Einimpfung von
Sarcom.
- „ 673 Homologe Einimpfungen; Immunisation
durch Einbringung von Haut.
- „ 674 Idem.
- „ 675 Idem; Umfang und Dauer des Wider-
standes.
- „ 676 Idem; Schutz durch Spontantumor und
durch Haut.
- „ 677 Idem; immunisierende Wirkung nor-
maler Gowebe.
- „ 678 Vernichtung der immunisierenden Kraft
durch Bestrahlung mit Radium.
- „ 679 (a) Vorübergehendes Wachstum von nor-
maler Mäuseleber in normalen Mäusen;
(b) Zeitweilige Art des Wachstums
nicht-differenzierter Geschwulste in
normalen Mäusen.
- „ 680 Verschiedenheit der Wachstumsge-
schwindigkeit in der 1sten und der
19ten Tumor generation.
- „ 681 Verschiedenheit der Wachstumsge-
schwindigkeit von zwei Tumor-
stämmen.
- „ 682 Fortschreitendes Wachstum von gewissen
Tumorstämmen.

Ausgestellt von :

- Herrn Dr. E. F. Bashford. 683 Gewisse Geschwulste eignen sich zur Entwicklung von Geschwulsten bei der zweiten Impfung.
- „ 684 Entfernung der Geschwulste ändert die Empfänglichkeit der Mäuse für die Entwicklung gewisser Geschwulste nicht.
- „ 685 Wachstum einer Geschwulste mit nachträglicher Entfernung schützt Mäuse nicht gegen wiederholte Impfung.
- „ 686 Hervorrufung eines bedeutenden Prozentsatzes von Widerstandsfähigkeit gegen eine zweite Impfung.
- 687 Sarcom verleiht in gewissen Fällen eine Immunität in der Mehrzahl der Mäuse gegen eine zweite Einimpfung.
- „ 688 Rattensarcom verleiht eine bedeutende Immunität gegen eine erneute Einimpfung. Unvollständige Entfernung stellt ihre Empfänglichkeit nicht wieder her.
- „ 689 Geschwulste die eine bedeutende Immunität verleihen, können Mäuse empfänglich gegen eine erneute Einimpfung machen. Selbst bei Aufhören des Wachstums, besteht der Widerstand fort.
- „ 690 Gewisse Stämme verleihen einen Widerstand bei sämtlichen Mäusen.
- „ 691 Bei der gleichzeitigen Einimpfung von Geschwulsten verschiedener Typen wird die fortschreitende Geschwulst merklich beeinflusst.
- „ 692 Immunität durch gewisse Sarcome verliehen, hemmt die Entwicklung von Carcinomgewebe.
- „ 693 Immunität von Tumor behafteten Tieren gegen wiederholte Einimpfung.

Statistische Analyse.

- „ 694 Zunahme von Todesfällen an Krebs der verschiedenen Organe in England und Wales (weibliche Personen).
- „ 695 Eine ähnliche Tabelle (männliche Personen).

Ausgestellt von:
Herrn Dr. E. F. Bashford.

- 696 Analyse der angemeldeten Zunahme der Krebssterblichkeit, nach den angegriffenen Organen geordnet (männliche Personen).
 „ 697 Idem (weibliche Personen).
 „ 698 Alter- und Geschlechts-Sterblichkeit an Krebs der verschiedenen Teile des Körpers.

Heredität.

- „ 699 Kurve zur Illustration der Zahl der Todesfälle an bösartigen Neubildungen pro 100 Todesfälle bei weiblichen Mäusen, bei deren Vorfahren Krebs in den frühesten Generationen vorgekommen ist, verglichen mit einer Kurve betreffend Mäuse, bei deren Vorfahren Krebs in den späteren Generationen bestand.
 „ 700 Kurven zur Illustration der Krebssterblichkeit in den selben zwei Gruppen von Mäusen.
 „ 701 Musterstammbaum von Mäusen, worauf die von Krebs befallenen und die gesunden Vorfahren zu sehen sind.

Fortpflanzungstabellen.

- „ 702 Fortpflanzung von Geschwulsten, die Sarcom unregelmässig hervorgerufen haben, um später diese Fähigkeit zu verlieren.
 „ 703 Fortpflanzung von Geschwulsten, die Sarcom regelmässig in allen Mäusen für eine lange Zeit enzeugten, die aber jetzt diese Fähigkeit eingebüsst haben.
 „ 704 Fortpflanzung eines Plattencellen Carcinoms, das allmähliche Verschwinden der Verhornung zeigend.

Mikroskopische Präparate.

- „ 705 Plattenzellen Carcinom der Cardia bei einer Maus.
 „ 706 Alveolar-Carcinom der Brust einer Maus.
 „ 707 Spontan Brustkrebs in der Leisten Gegend einer Maus; Metastase in den Lymphdrüsen der Aorta.

Ausgestellt von :

Herrn Dr. E. F. Bashford.

- | | |
|-----|--|
| 708 | Gruppen von vier Achseldrüsen, Metastasen eines Mammacarcinoms zeigend. |
| 709 | Achseldrüse mit Metastase eines cystischen Papillar-Adeno-Carcinoms der Brustdrüse. |
| 710 | Spontantumour das Nebeneinanderbestehen von azinösem- und Platten-Epithel zeigend. |
| 711 | Die selbe Geschwulst in der 8ten Generation ; vollkommene Reproduktion von schichtförmigem Platten Epithel in der Zystwand. |
| 712 | Adeno-Carcinom der Niere. |
| 713 | Idem, des Eierstocks. |
| 714 | Idem, der Drüsen in der Vorhaut. |
| 715 | Normale Drüsen in der Vorhaut der erwachsenen männlichen Maus. |
| 716 | Melanotische Geschwulst. |
| 717 | Plattenzellen Carcinom des Gesichtes. |
| 718 | Idem, vollständige Verhornung. |
| 719 | Cystisches Adeno-Carcinom mit Papillen der Brustdrüse; sehr langsames Wachstum und Ständigkeit der Struktur. |
| 720 | Heilung ; Resorption von Spontantumour. |
| 721 | Glycogen-bildender Brustkrebs; transplantierte Geschwulst der 25 ten Generation. |
| 722 | Sechs Präparate zur Illustration der bis Entwicklungsstufen von Sarcom während der Fortpflanzung von Carcinom. |
| 727 | |
| 728 | Sarcomentwicklungstumor; alte "Mischgeschwulst" mit Ringbildung. |
| 729 | Spindelzellen Carcinom Stamm; in den alten Geschwulsten besteht eine mehr oder weniger vollständige Wiederkehr zu den Azinösen Typen dieses Stammes. |
| 730 | Sarcomentwicklung in einem Spontantumour. |
| 731 | Metastasen der Lunge; Primärgeschwulst der Leber einer Kuh. |
| 732 | Bildung von neuem Stroma in dem "frühen Stadium" der Geschwulst. Das Tier wurde 4 Tage nach der Einimpfung getötet. |

Ausgestellt von :

- Herrn Dr. E. F. Bashford. 733 Der ganze Propf von einer Immunmaus, 5 Tage nach der Einimpfung konserviert.

Makroskopische Präparate.

- „ 734 Präparate zur Illustration von bösartigen Neubildungen in der Kuh und
753 Spontan- und Impf-Tumoren bei der Maus, der Ratte, dem Meerschweinchen, und dem Känninchen.

2.—KREBS.

- „ 754 Transplantierte Carcinomata der Rattenniere.
Herrn Dr. G. W. Nicholson, London. 755 Geschwulst bei der dritten Passage.
„ 756 Idem.
„ 757 Geschwulst bei der fünften Passage.
„ 758 Geschwulst bei der achten Passage.

Modelle :

- Herrn Dr. A. J. Gelarie, Liverpool. 759 Eine Mitosen-Figur bei transplantiertem Mäusecarcinom. (Ehrlich'scher Stamm 11).
„ 760 Idem.
„ 761 Idem.
„ 762 Idem.
„ 763 Idem.
„ 764 Idem.
„ 765 Idem ("Glasgow " Mäusecarcinom).
„ 766 Idem bei spontanem Carcinom des Halses einer Maus.
„ 767 Idem.
„ 768 Idem bei Scirrhus-Carcinom der menschlichen Achseldrüsen.
„ 769 Idem.
„ 770 Idem bei wuchendem Epithelium des Känninchenohres.
„ 771 Serie mikroskopischer Schnitte zur Illustration obiger Mitosen-Figuren.
„ 772 Serie stereoskopischer Photographieen zur Illustration obiger Mitosen-Figuren.

Ausgestellt von:

- Herrn Dr. A. J. Gelarie. 773 Serie von Diapositiven zur Illustration obiger Mitssen Figuren.
- Herren Dr. E. H. Ross, 774 Künstlich durch unmittelbare Einsprit-
Dr. H. C. Ross und zung chemischer Agentien erzeugte
Dr. J. W. Cropper, Geschwulst ("Gallert-Methode Prä-
London. parat").
- " 775 Mikroskopische Schnitte von in Ziegen-
mamma erzeugtem Adenom.
- " 776 Idem.
- " 777 Adenom erzeugt in Ziegenmamma.
- " 778 Idem.
- " 779 Mikroskopisches Präparat von künstlich
erzeugter Zellenteilung und Repro-
duktion ("Gallert-Methode").
- " 780 Serie von 20 Diapositiven zur Illustration
von künstlich erzeugter Zellenteilung
in Lymphozyten.
- " 781 Drei mikroskopische Präparate der
selben.

Herrn Prof. Dr.
Friedberger,

III.—*Anaphylaxie:**Lumièrephotographien.*

- Charlottenburg. 782 (3878) Lungenblähung links bei Anaphyla-
toxinvergiftung, rechts bei aktiver
Anaphylaxie.
- " (3879) Lungenschnitt eines an Anaphylatoxin-
vergiftung eingegangenen Meer-
schweinchens.
- " (3880) Desgleichen bei primärer Antiserum-
wirkung.
- " (3881) Desgleichen bei aktiver Anaphylaxie.
- " (3882) Verhalten von Blutdruck und Atmung
im Shock beim Kaninchen.
- " (3883) Einfluss des Anaphylatoxins auf das
isolierte Froschherz.
- " (3884) Einfluss von Dysenterieextrakt auf den
Kaninchendarm (Versuchsanordnung
nach Magnus).
- " (3885) Einfluss von normalem Meerschweinchen-
serum auf den Kaninchendarm.
- " (3886) Einfluss von Anaphylatoxin aus Dysen-
teriebazillen hergestellt mit normalem
Meerschweinchen serum auf den Ka-
ninchendarm.

Ausgestellt von :
Herrn Prof. Dr.
Friedberger.

- (3887) Komplementschwund bei aktiver Anaphylaxie für Pferdeserum beim Meerschweinchen.
- „ (3888) Desgleichen für Eiereiweiss.
- „ (3889) Anaphylaxie bei mit Antikomplement behandelten Meerschweinchen.
- „ (3890) Anaphylatoxinbildung in hypertotonischer Kochsalzlösung.
- „ (3891) Desgleichen durch kaolinisiertes Serum.
- „ (3892) Desgleichen durch geschütteltes Serum.
- „ (3893) Notwendigkeit des Ambozeptors zur Anaphylatoxinbildung.
- „ (3894) Einfluss der Reaktion auf das Anaphylatoxin.
- „ (3895) Anaphylatoxinversuch mit Cobragift.
- „ (3896) Desgleichen.
- „ (3897) Die quantitativen Verhältnisse bei der Anaphylatoxinbildung aus Tuberkelbazillen.
- „ (3898) Desgleichen mit albumosefreien Bazillen.
- „ (3899) Aktive Tuberkelbazillenanaphylaxie.
- „ (3900) Desgleichen passive.
- „ (3901) Desgleichen.
- „ (3902) Aktive Anaphylaxie gegen *Vibrio Metschnikoff*.
- „ (3903) Desgleichen.
- „ (3904) Desgleichen passive Anaphylaxie.
- „ (3905) Kurven von Anaphylaxiefieber.
bis
- „ (3814)
- „ (3915) Temperaturkurven zur Demonstration
bis der Jodüberempfindlichkeit.
- „ (3919)
- „ (3920) Primäre Antiserumwirkung eines Hefantiserum vom Kaninchen.
- „ (3921) Einfluss der Injektionszeit auf die Anaphylaxie.
- „ (3922) Apparat für langsame Injektion zur Vermeidung der Ueberempfindlichkeit.
- „ (3923) Einfluss des Volums der Reinjektionsdosis.
- „ (3924) Schützender Einfluss der Kälte bei der Anaphylaxie.

Ausgestellt von:

Herrn Prof. Dr.
Friedberger.

(3925) Einfluss des Alters auf die Ueberempfindlichkeit.

„

(3926) Vergleich der Ueberempfindlichkeit zwischen neugeborenen und älteren Tieren.
(3931)

„

(3932) Tabellen zur Demonstration der Spezifität der Antianaphylaxie und zur
(3935) Demonstration der allgemeinen Resistenz.

Herrn G. E. R. Mc-
Donagh, F.R.C.S.,
London.

783 Trophozoit in Bindegewebszellen im Stadium des Sprossens, sexuelle Merozoiten bildend.

„

784 Eine weiteres Stadium des selben.

„

785 Trophozoit in Bindegewebezellen.

„

786 Zweiteilung des selben.

„

787 Erste Unterteilung des Trophozoiten in der Bildung einer sexuellen Sporozyste.

„

788 Zweite Unterteilung, desselben.

„

789 Asexuelle Sporozyste.

„

790 Asexuelle Sporozyste mit junger Sporozyste.

„

791 Idem.

„

792 Extrazellulärer, männlicher Gametozyt.

„

793 Intrazelluläre, männlicher Gametozyt.

„

794 Männlicher Gametozyt mit drei Kernkörper.

„

795 Weitere Entwicklung der drei Kernkörper.

„

796 Spirochaeten-Knäuel.

„

797 Extrazelluläre Entwicklung des männlichen Gametozyten.

„

798 Weiteres Stadium des selben.

„

799 Idem.

„

800 Weiblicher Gametozyt.

„

801 Weiblicher Gamet.

„

802 Idem, kurz nach der Befruchtung.

„

803 Zygote.

„

804 Zweiteilung der Zygote.

„

805 Sporoblastenbildung der Zygote.

„

806 Weitere Entwicklung der Sporoblasten.

„

807 Sexueller Sporozyst.

„

808 Sexueller Sporozyst mit austretendem Sporoblast.

Ausgestellt von :

- | | |
|--------------------|---|
| Herrn G. E. R. Mc- | 809 Sporoblast. |
| Donagh, F.R.C.S., | 810 Sporoblast und Sporozoit. |
| London. | 811 Zweiteilung des des Sporoblasten. |
| „ | 812 Aus einem Sporoblaste, entwickelte Sporozoiten. |
| „ | 813 Schematische Darstellung des Lebenszyklus des Leucocytozoon syphilidis. |
| „ | 814 Zeichnung der Entwicklung des Spirochaetenknäuels von einer späten syphilitischen Hauteffloreszenz. |
| „ | 815 Idem. |

Mikroskopische Präparate :

- | | |
|--|--|
| „ | 816 Trophozoit in Bindegewebszelle. |
| „ | 817 Extrazellulärer, männlicher Gametozyt. |
| „ | 818 Intrazellulärer, männlicher Gametozyt. |
| „ | 819 Spirochaetenknäuel. |
| „ | 820 Weiblicher Gametozyt. |
| „ | 821 Zygote. |
| „ | 822 Zweiteilung der Zygote. |
| „ | 823 Sporoblastenbildung der Zygote. |
| „ | 824 Sexuelle Sporozyste. |
| „ | 825 Idem. |
| „ | 826 Sporoblast. |
| „ | 827 Sporozoit. |
| Herren Dr. E. H. Ross,
Dr. H. C. Ross, und
Dr. J. W. Cropper,
London. | 828 "Gallert-Methode"—Präparat zur Illustration von intrazellulären Parasiten bei Syphilis und bei den entsprechenden Krankheiten anderer Tiere. |
| „ | 829 Syphilitische Organe von Meerschweinchen und Kanninchen. |
| „ | 830 Serie von mikroskopischen Präparaten von Syphilis - Parasiten bei Meerschweinchen und Kanninchen. |
| „ | 831 Wandtafel, zur schematischen Darstellung des menschlichen Syphilisparasiten (<i>lymphocytozoon pallidum</i>). |
| „ | 832 Wandtafel zur schematischen Darstellung des Syphilisparasiten bei Meerschweinchen. |

*Leucocytozoon syphilitidis.**Photographien:**Ausgestellt von:*

- | | |
|---|--|
| Frau Dr. Fuchs,
Paris. | 833 Serie von mikroskopischen Präparaten von <i>spirochaeta pallida</i> und zugehörigen Formen. |
| Herrn Prof. Dr.
Goldmann, Freiburg, | 834 Die Verdauungsorgane einer Ratte, vital mit Pyrrhol-Blau gefärbt. |
| „ | 835 Gehirn und Nervensystem eines Hasen, vital mit Pyrrhol-Blau gefärbt. |
| Herrn Dr. J. A. Braxton
Hicks, London. | 836 Serie von Kulturen zur Illustration der Eigenschaften des <i>Micrococcuszymogenes</i> . |
| „ | 837 Serie von Kulturen zur Illustration der Eigenschaften eines Vertreters der Protistengruppe. |
| „ | Neue Gattung, die Septikaemi und Tcd im Gefolge hat. |
| Herrn Dr. H. M. Wood-
cock, London. | 838 Mikroskopisches Präparat von <i>Selenomastix ruminantium</i> , ein neuer Typus der parasitären Protisten. |
| Herrn Dr. Alexander
Paine, London. | 839 Metabolismus-Käfig mit einfacher Vorrichtung zum getrennten Auffangen von festen und flüssigen Exkrementen. |
| „ | 840 Bakterienfilter, zur Filtration kleiner Flüssigkeits-Quantitäten. |
| Herr John Maclean,
Greenwich. | 841 Serie von Petrischalen und Kulturröhren, zur Illustration einer Methode Bakterien rein zu züchten (Modifizierte Walkersche Methode). |
| Herrn Dr. E. H. und
H. C. Ross und J. W.
Cropper, London. | 842 Mikroskopisches Präparat von Scharlach- und Masern-Parasiten mit Zelleneinschlüssen (Gallert-Methode). |
| „ | 843 Diagramm von Scharlach-Parasiten. |
| „ | 844 Mikroskopisches Präparat zur Illustration des Einflusses der Umgebung auf die Amöben (Gallert Methode). |
| „ | 845 Zeichnung einer neuen Spezie, von Amöben. |
| „ | 846 Zeichnung derselben. |
| „ | 847 Serie von Zeichnungen von Amöben nach der Gallert-Methode angefertigt. |
| „ | 848 Zeichnung der Kopulation der Amöben. |
| „ | 849 Serie von Zeichnungen zur Illustration der verschiedenen Typen der Amöben. |

- Ausgestellt von :*
- | | |
|---|---|
| Herrn Dr. E. H. und
H. C. Ross und J. W.
Cropper. | 850 Zeichnung eines Präparates von reinen
Mischkulturen, von Amöben. |
| „ | 851 Zeichnung zur Illustration der Verände-
rungen in dem lebenden Kern der
Amöben. |
| Herrn. M. F. R.
Chopping, London. | 852 Eine neue Schüttelmaschine. |
| „ | 853 Eine neue Tropf-flasche. |
| | Präparate von "Solmedia" zur die
Zubereitung von bakteriologischen
Nährböden : |
| „ | 854 Agar-agar. |
| „ | 855 Bouillon-pepton. |
| „ | 856 "MacConkey." |
| „ | 857 "Drigalski-Conradi." |
| „ | 858 "Sabourand." |
| „ | 859 Serie von Kulturen von verschiedenen
Micro-organismen auf Solmedie gezo-
gen. |

SEKTION VI.—Medizin.

- Ausgestellt von :*
- | | |
|--|--|
| Herrn Dr. John Teacher,
Glasgow. | 860 Präparate, Ruptur des Papillarmuskels
der Mitralklappe zeigend, plötzlicher
Tod. |
| Herrn Dr. W. T. Ritchie,
Edinburg. | 861 Elektrokardiogramm der aurikulären
Vibrationen. |
| „ | 862 Idem. |
| „ | 863 Idem. |
| „ | 864 Elektrokardiogramm der Extrasystole
(aurikuläre Fibrillation). |
| „ | 865 Elektrokardiogramm von "Herzbloc". |
| „ | 866 Elektrokardiogramm den Einfluss des
Vagus auf das menschliche Herz. |
| Herrn Dr. A. M. Kennedy,
Glasgow. | 867 Mikrophotographie, die Lesionen bei
Myokoditis zeigend. |
| „ | 868 Mikrophotographie aurikulo - ventriku-
lären Nodus und Bündel zeigend. |
| „ | 869 Mikrophotographie des sino-aurikulären
Nodus. |
| „ | 870 Mikrophotographie den Mechanismus der
kardialen Arrhythmie bei Herzfehler
illustrierend. |
| „ | 871 Mikrophotographie von akuten Lesionen
in dem aurikulo-ventrikulären Bündel
bei einem Falle von "Herzblock". |
| „ | 872 Mikrophotographien der akuten Lesionen
in dem aurikulo-ventrikulären Nodu-
und Bündel bei einem Falle von volls-
tändigem "Herzblock" bei Diphtherie. |
| „ | 873 Mikrophotographie der chronischen
Lesionen in dem aurikulo-ventrikulären
Bündel in ei einem Falle von Adam-
Stokes' schem Syndrom. |
| „ | 874 Mikrophotographie der akuten Lesionen
in dem aurikulo-ventrikulärem Nodus
in Fällen von "Nodal-Rhythmus" bei
akuter Herz Erkrankung. |
| Herrn Prof. Dr. Küpferle,
Freiburg. | 875 Kinematographische Röntgographien
zur Illustration der Bewegungen des
Herzens. |

II.—ENTFERNUNG DER SCHILDDRÜSE.

Ausgestellt von :
Herrn Prof. Dr. Gley,
Paris.

- 876 Skelett eines Kanninchens; die Schilddrüse ist 2 Monate 20 Tage vor dem Tod entfernt worden.
- „ 877 Photographie des selben Tieres.
- „ 878 Röntgogramm des selben Tieres.
- „ 879 Skelett des Kontrolltieres.
- „ 880 Photographie des selben Tieres.
- „ 881 Röntogramm des selben Tieres.
- „ 882 Photographie eines Kanninchens nach der Entfernung der Schilddrüse; Paralyse der Streckmuskel des rechten Vorderbeins.
- „ 883 Photographie des selben Tieres, zur Illustration der Entwicklung von myxödematösen Symptomen mit Exophthalmos. (Verglichen mit einem normalen Tier.)
- „ 884 Photographie eines Kanninchens nach der Entfernung der Schilddrüse, zur Illustration von später Paralyse der Streckmuskeln.

Autochrom-Diapositive.

- „ 885 Kanninchen nach der Entfernung der Schilddrüse „ Myxödème fruste ” typische trophische Hautstörung bei Kanninchen.
- „ 886 Idem, zur Illustration der trophischen Hauterkrankungen.
- „ 887 Kontrollkanninchen des selben Wurfes.
- „ 888 Photographie eines Kanninchens nach der Entfernung der Schilddrüse.
- „ 889 Photographie des Kontrolltieres.
- „ 890 Photographie eines erwachsenen Hundes nach der Entfernung der Schilddrüse und des Parathyroid; es stellten sich Krämpfe mit nachfolgender Kachexie ein.
- „ 891 Photographie eines jungen Hundes nach der Entfernung der Schilddrüse; es stellten sich Streckparalyse und Krämpfe ein.

Ausgestellt von :

Herrn Baron A. von 892 Kurven zur Illustration der Veränderungen in der Zahl der Leucozyten bei Leukämie mit Benzol behandelt.

Herrn Dr. Adolf Schnée, 893 Photographie.—Elektrisches Vierzellenbad (Original Vierzellenbad nach Dr. Schnée) zur allgemeinen und lokalen inneren Elektrisation mit galvanischen, faradischen, sinusoidalen Wechselströmen, Hack-Strömen, Leducsen-Strömen, Kondensatorentladungen, hochfrequenten Quantitäts- und Spannungsströmen, etc., etc.

Zur Iontophorese und Kataphorese.

894 Photographie.—Degrassator nach Dr. Schnée. Kondensatorentladungsgapparat für rhythmische Entladungen von Kondensatoren zwecks Vornahme von Entfettungskuren. Behandlung von Herzerkrankungen, Muskelschwäche, Muskelatrophien, chronischen Obstipationen, etc., etc., mit Degrassator Liegestuhl.

SEKTION VII.—Chirurgie.

I.—BÖSARTIGE GESCHWULSTE DES DICKDARMES.

Ausgestellt von:
Herrn Geh. San. Rat.
Prof. Dr. W. Körte,
Berlin.

- 895 Wandtafel: Colon mit Gefäßen (nach Waldeyer).
Tabelle:
- 896 Gesamt Uebersicht des Materials von Herrn Geheimrat Körte von malignen Dickdarmgeschwülsten.
- 897 Carcinom des Coecums: Lebte ohne Rezidiv, 21 Jahre.
- 898 Carcinom des Coecums mit Invagination: lebt seitdem ohne Rezidiv, 18½ Jahre.
- 899 Carcinom des Flexura sigmoideacoli; lebt seitdem ohne Rezidiv, 10¾ Jahre.
- 900 *Carcinoma coli ascendens*: lebt seitdem ohne Rezidiv, 9½ Jahre.
- 901 *Carcinoma ascendens*; lebt seitdem ohne Rezidiv, 9½ Jahre.
- 902 *Carcinoma coli descendens*; lebt seitdem ohne Rezidiv, 6¾ Jahre.
- 903 *Carcinoma coli ascendens*; lebt seitdem ohne Rezidiv, 7½ Jahre.
- 904 *Carcinoma flexurae sigmoideae*; lebt seitdem ohne Rezidiv, 4¾ Jahre.
- 905 Carcinom der *Flexura coli sigmoideae*; lebt seitdem ohne Rezidiv, 5½ Jahre.
- 906 *Carcinoma coli transversus dextri*; lebt seitdem ohne Rezidiv, 4½ Jahre, 5 Monate.
- 907 *Carcinoma flexurae sigmoideae*; lebt seitdem ohne Rezidiv, 3½ Jahre.
- 908 *Carcinoma flexurae lienalis et coli descendens*; lebt seitdem ohne Rezidiv, 3¾ Jahre.
- 909 *Carcinoma flexurae lienalis et coli descendens*; lebt seitdem ohne Rezidiv, 2¾ Jahre.
- 910 *Carcinoma flexurae sigmoideae*; lebt ohne Rezidiv, 2¾ Jahre.
- 911 Colon mit Gefäßen.

- Ausgestellt von :*
Herrn Gen. San. Rat.
Prof. Dr. W. Körte,
Berlin.
- 912 Gesamt Uebersicht des Materials von
Geheimrat Körte von malignen Dick-
darmgeschwülsten.
- 913 Resultate der Radikaloperationen malign-
ner Dickdarmgeschwülste im Zustand
des Darm-Verschlusses.
- 914 Häufigkeit des Eintretens von Darm-
verschluss bei malignen Dickdarm-
geschwülsten
- 914A Idem (nach verschiedenen Autoren).
- 914B Idem (Geheimrat Körte).
- 915 Vergleich der Resultate der einzeitigen
und der mehrzeitigen Dickdarm-
Resectionen bei denselben Chirurgen.
- 916 Resultate der einzeitigen Resection bei
einzelnen Chirurgen.
- 917 Resultate der Radical-Operation, nach
dem Sitze des Tumors; Material von
Herrn Geheimrat Körte.
- 918 Idem; (nach verschiedenen Chirurgen).
- 919 Langdauernde Heilungen nach der
Radical-Operation maligner Dickdarm-
tumoren (Material von Herrn Geheimrat
Körte.)
- 920 Idem (nach dem Material anderen
Chirurgen.)
- 921 Entero-anastomose wegen malignen
Dickdarmtumoren (Colostomy).
- Herrn Dr. Hamilton 922 Cylinderzellencarcinom des Coecums und
Drummond und Prof.
Dr. Rutherford Mori-
son, Newcastle.
- 923 Carcinom des *caput coeci*.
- 924 Cylinderzellencarcinom *coli ascendens*.
- 925 Carcinom des Querdarms.
- 926 Cylinderzellencarcinom der *flexurae sig-
moideae*.
- 927 Idem, des Rektums.
- 928 Rektumkrebs.
- 929 Intussusception der *flexurae coli*, verur-
sacht durch submucöses Lipom.
- Herrn Dr. E. W. Miles, 930 Carcinom der hepatischen Flexur.
London.
- 931 Multiple Polypen und Carcinom des
Rektums und *flexurae coli*.

Ausgestellt von :

- | | |
|------------------------|---|
| Herrn Dr. E. W. Miles, | 932 Adenocarcinom des Rektums. |
| London. | 933 Idem. |
| „ | 934 Papilläre Form des Adenocarcinoms des Afters. |
| „ | 935 Adenocarcinom des Rektums. |
| „ | 936 Idem. |
| „ | 937 Idem. |
| „ | 938 Idem des Afters. |
| „ | 939 Adenocarcinom des Rektums. |
| „ | 940 Idem. |
| „ | 941 Eiegnartiges Adenocarcinom der Gesäss-haut. |

II.—DIE BEHANDLUNG VON GEHIRNGESCHWULSTEN.

- | | |
|-------------------|--|
| Herrn Dr. Angelo | 942 Gehirne von Hunden, nach der Entfer- |
| Chiasserini, Rom. | nung der Hypophyse. |
| „ | 943 Photographieen. |
| „ | 944 Mikroskopische Präparata. |
| „ | 945 Mikrophotographieen. |

III.—ANEURYSMEN.

Folgende Sammlung ist von Herren Dr. Berry und Dr. de Havilland Hall zusammen-
gestellt und arrangiert worden.

Thorakale Aneurysmen.

(a) Aorta.

- | | |
|------------------------|--|
| der verschiedenen Lon- | 946 Spindelförmiges Aneurysma des Aorta- |
| doner Krankenhäusern. | bogens. |
| „ | 947 Idem. |
| „ | 948 Idem. |
| „ | 949 Idem. |
| „ | 950 Sackförmiges Aneurysma des Aorten- |
| „ | bogens. |
| „ | 951 Idem. |
| „ | 952 Aneurysma der Aorta desc. |
| „ | 953 Aneurysma die Rippen erodierend. |
| „ | 954 Aneurysma das Brustbein erodierend. |
| „ | 955 Idem. |
| „ | 956 Idem. |
| „ | 957 Aneurysma die Wirbel erodierend. |
| „ | 958 Idem. |

Ausgestellt von :
der verschiedenen Lon-
doner Krankenhäusern.

- | | |
|-----|--|
| 959 | Idem. |
| 960 | Idem. |
| 961 | Ruptur eines Aneurysmas in den Herzbeutel. |
| 962 | Idem. |
| 963 | Idem. |
| 964 | Ruptur eines Aneurysmas in die linke Herzkammer. |
| 965 | Ruptur eines Aneurysmas in die Pulmonararterie. |
| 966 | Ruptur eines Aneurysmas in das Rippenfell. |
| 967 | Ruptur eines Aneurysmas in die Trachea. |
| 968 | Idem. |
| 969 | Idem. |
| 970 | Idem. |
| 971 | Idem. |
| 972 | Ruptur eines Aneurysmas in den rechten Bronchus. |
| 973 | Ruptur eines Aneurysmas in die Lunge. |
| 974 | Aneurysma den linken Recurrens comprimierend. |
| 975 | Aneurysma die Luftröhre comprimierend. |
| 976 | Idem. |
| 977 | Idem. |
| 978 | Aneurysma die Lunge comprimierend. |
| 979 | Idem. |
| 980 | Aneurysma mittels Eisendraht behandelt. |
| 981 | Idem. |
| 982 | Idem. |
| 983 | Idem. |
| 984 | Idem. |
| 985 | Idem. |

(b) *Arteria innominata.*

- | | |
|-----|---------------------------------------|
| 986 | Aneurysma der <i>art. innominata.</i> |
| 987 | Idem. |
| 988 | Idem. |
| 989 | Idem. |

- Ausgestellt von:*
 der verschiedenen Londoner Krankenhäusern.
- 990 Idem.
 991 Idem.
 992 Aneurysma der *art. innominata*, das Luftrohr komprimierend.
 993 Idem.
 994 Aneurysma der *art. innominata*, in das hintere Dreieck des Nackens durchbrechend.
 995 Aneurysma der *art. innominata* vermittels Unterbindens und Einführung von Eisendraht behandelt.
 996 Aneurysma der *art. innominata* nach 42 mal wiederholter Venesektion geheilt.
 997 Aneurysma der *art. innominata* mit Wunde in der *vena jugularis interna*.
 998 Aneurysma der *art. innominata* die Carotis komprimierend.
 Herrn. Marine-Stabsarzt Dr. Bassett-Smith. 999 Aneurysma der linken Herzkammer, in den Herzbeutel durchbrechend.

Abdominale Aneurysmen.

- den verschiedenen Londoner Krankenhäusern.
- 1000 Spindelförmiges Aneurysma der *aorta abdominalis*.
 1001 Aortenaneurysma in das Bauchfell durchbrechend.
 1002 Idem.
 1003 Idem.
 1004 Aortenaneurysma in das Mesenterium durchbrechend.
 1005 Aneurysma den Wirbel erodierend.
 1006 Idem.
 1007 Idem.
 1008 Aortenaneurysma den Wirbel und die Rippen erodierend.
 1009 Aneurysma der *art. splenica*.
 1010 Idem.
 1011 Idem.
 1012 Aneurysma der *art. mesenterica superior*.
 1013 Idem.
 1014 Idem.
 1015 Aneurysma der *art. gastro-epiploica*.
 1016 Multiples Aneurysma des Abdomens.

- Ausgestellt von:*
 der verschiedenen Lon- 1017 Idem.
 doner Krankenhäusern. 1018 Abdominal-Aneurysma durch Einfüh-
 rung von Eisendraht behandelt.
 „ 1019 Idem.

Aneurysmen des Kopfes und des Nackens.

- „ 1020 Aneurysma der *art. carotid. comm.*
 „ 1021 Aneurysma der *art. carotid. intern.*
 „ 1022 Idem, Verkalkung und spontane Heilung.
 „ 1023 Idem.
 „ 1024 Idem, in den Rachen durch brechend.
 „ 1025 Idem.
 „ 1026 Idem, für ein Geschwür gehalten und
 incidiert.
 „ 1027 Idem, mit Erfolg durch Entfernung
 behandelt.
 „ 1028 Idem, durch Unterbinden der Carotis
 behandelt.
 „ 1029 Aneurysma der *art. carotid. extern.*
 „ 1030 Aneurysma der *art. basil.*

Aneurysmen der oberen Extremitäten.

- „ 1031 Aneurysma der *art. subclav.*
 „ 1032 Idem, durch Kompression behandelt.
 „ 1033 Idem, durch Exzision behandelt.
 „ 1034 Idem, durch Unterbinden behandelt.
 „ 1035 Idem.
 „ 1036 Idem, in das Zellulargewebe durchbre-
 chend.
 „ 1037 Aneurysma der *art. axillaris.*
 „ 1038 Idem.
 „ 1039 Idem.
 „ 1040 Arterio - venöses Aneurysma der *art.*
brachial.
 „ 1041 Idem.
 „ 1042 Sackförmiges venöses Aneurysma der *art.*
brachialis, durch Exzision behandelt.
 „ 1043 Aneurysma der *art. brachialis.*
 „ 1044 Idem.
 „ 1045 Idem.

Ausgestellt von :

- der verschiedenen Londoner Krankenhäusern. 1046 Falsches Aneurysma der *art. brachialis*.
 1047 Aneurysma der *art ulnaris et brachialis*.
 „ 1048 Aneurysma der *art ulnaris*.
 „ 1049 Idem.
 „ 1050 Aneurysma der *art radialis*.
 „ 1051 Idem.
 „ 1052 Idem.

Aneurysmen der unteren Extremitäten.

- „ 1053 Varicöses Aneurysma der *art iliaci commun.*
 „ 1054 Idem der *art. iliaci et femoralis*.
 „ 1055 Varicöses Aneurysma per *art. glutealis*.
 „ 1056 Varicöses Aneurysma der *art femoralis comm.*
 „ 1057 Idem.
 „ 1058 Idem.
 „ 1059 Idem.
 „ 1060 Idem.
 „ 1061 Idem.
 „ 1062 Idem.
 „ 1063 Idem.
 „ 1064 Idem.
 „ 1065 Idem.
 „ 1066 Varicöses Aneurysma der *art. femoralis comm et iliaci externa*.
 „ 1067 Aneurysma der *art. femoralis superficialis*.
 „ 1068 Idem.
 „ 1069 Idem.
 „ 1070 Idem.
 „ 1071 *Arteria femoralis* vom letzten Fall.
 „ 1072 Aneurysma der *art. femoralis superficialis*.
 „ 1073 Aneurysma der *art. femoralis profundis*.

Aneurysmen der art. poplitea.

- „ 1074 Spindelförmiges der *art. poplitea*.
 „ 1075 Idem.
 „ 1076 Sackförmiges Aneurysma der *art. poplitea*.
 „ 1077 Aneurysma der *art. poplitea*, durch Thrombose geheilt.
 „ 1078 Aneurysma der *art. poplitea*.

Ausgestellt von :

- der verschiedenen Londoner Krankenhäusern.
- | | |
|------|--|
| 1079 | Idem, die <i>Vena poplitea</i> komprimierend. |
| 1080 | Aneurysma der <i>art. poplitea</i> ; Ruptur desselben. |
| 1081 | Aneurysma der <i>art. poplitea</i> ; Ruptur desselben; Amputation. |
| 1082 | Idem. |
| 1083 | Aneurysma der <i>art. poplitea</i> ; Ruptur desselben. |
| 1084 | Aneurysma der <i>art. poplitea</i> , durch Kompression behandelt. |
| 1085 | Idem. |
| 1086 | Idem. |
| 1087 | Idem. |
| 1088 | Idem. |
| 1089 | Idem; Amputation. |
| 1090 | Idem. |
| 1091 | Idem. |
| 1092 | Idem. |
| 1093 | Aneurysma der <i>art. poplitea</i> , durch Unterbinden behandelt. |
| 1094 | Idem. |
| 1095 | Idem. |
| 1096 | Idem. |
| 1097 | Idem. |
| 1098 | Idem. |
| 1099 | Aneurysma der <i>art. poplitea</i> , durch Unterbinden und Amputation behandelt. |
| 1100 | Idem. |
| 1101 | Doppeltes Aneurysma der <i>art. poplitea</i> ; doppelte <i>art. femoralis</i> ; Unterbinden der einen. |
| 1102 | Aneurysma der <i>art. poplitea</i> , durch Amputation behandelt. |
| 1103 | Aneurysma der <i>art. poplitea</i> , für Sarcom gehalten und vermittels Amputation behandelt. |
| 1104 | Aneurysma der <i>art. poplitea</i> durch Einführung von Pferdehaar behandelt. |
| 1105 | Aneurysma der <i>art. poplitea</i> durch Dissection behandelt. |
| 1106 | Aneurysma der <i>art. poplitea</i> durch Exzision behandelt. |

Ausgestellt von:

- der verschiedenen Londoner Krankenhäusern.
- | | |
|------|--|
| 1107 | Aneurysma der <i>art. tibialis anterior</i> . |
| 1108 | Aneurysma der <i>art. tibialis posterior</i> . |
| 1109 | Idem. |
| 1110 | Aneurysma der <i>art. dorsalis pedis</i> . |

Verschiedene Aneurysmen.

- | | |
|------|---|
| 1111 | Aneurysma der <i>aorta descend.</i> in einem Fötus. |
| 1112 | Erweiterte Pulmonararterie, für ein Aneurysma der Aorta gehalten. |
| 1113 | Aneurysma des Aortenbogens, während Lebzeiten nicht vermutet. |
| 1114 | Multiples Aneurysma des Aortenbogens. |
| 1115 | Geplatztes Aneurysma der <i>art. pulmonaris</i> . |
| 1116 | Aneurysma <i>cirsoidéum</i> . |
| 1117 | Idem. |
| 1118 | Aneurysma <i>dissecans</i> . |
| 1119 | Idem. |
| 1120 | Arteriovenöses Aneurysma mittels Amputation behandelt. |
| 1121 | Geschichtetes Gerinsel aus einem Aneurysma. |
- Herrn Geh. Rat. Prof. Dr. Spiess, Frankfurt a-M.
- | | |
|------|---|
| 1122 | Röntgogramm von Aneurysma der Carotis interna mit Zerstörung der <i>Sella Turcica</i> . |
| 1123 | Röntogramm der Schädelbasis. |
| 1124 | Idem. |
| 1125 | Idem. |

IV.—*Varia.*

- | | |
|------|---|
| 1126 | Preparat der Hälfte des unteren Lappens der rechten Lunge, operativ entfernt, zur Illustration von primärem Plattenzellencarcinom der Bronchen. |
| 1127 | Dr. Morrison Davies'sche Modification des Kornmanischen Apparates für die Herstellung künstlicher Pneumothorax. |
| 1128 | Dr. Morrison Davies'scher Überdruckapparat für den Ausgleich der Pneumothorax während Brustfelloperationen. |
- Herrn H. Morrison Davies, London.

Ausgestellt von :

- | | | |
|-------------------------------------|------|---|
| Herrn Dr. Emil C. Beck,
Chicago. | 1129 | Serie von 12 Stereographien zur Illus-
tration der Wismuthbehandlung von |
| | bis | 1140 Sinus-Eiterung von Empyem. |
| Herrn Dr. Arthur
Evans | 1141 | Plattenzellen Carcinom des Kehlkopfes,
des Rachens, des oberen Endes der
Trachea und des Schlundes. |
| „ | 1142 | Mikrophotographie, eines Theiles des
Tumors. |
| „ | 1143 | Mikrophotographie, des typischen Plat-
tenzellen-Carcinoms. |
| „ | 1144 | Photographie der Präparate. |
| | bis | 1148 |
| „ | 1147 | Instrument als Oesophagus Ersatz. |

SEKTION VIIa.—Orthopädie.

I.—SKOLIOSE.

*Formen von Skoliose.**Ausgestellt von :*

- | | | |
|------------------------------------|------|--|
| Herrn. Prof. R. W. Lovett, Boston. | 1148 | Serie von Photographieen von Totalskoliose. |
| „ | 1149 | Serie von Photographieen von „echter oder organischer Skoliose. |
| „ | 1150 | Serie von Photographieen die Unterarten von echter Skoliose veranschaulichend. |
| „ | 1151 | Serie von Photographieen die, in dem Kinderkrankenhaus (Boston) benutzte Behandlungsmethode, veranschaulichend. |
| „ | 1152 | Serie von Photographieen des die Endresultate, die durch die Behandlung von Totalskoliose erzielt worden sind, veranschaulichend. |
| „ | 1153 | Serie von Photographieen die Endresultate, die durch die Behandlung von echter Skoliose erzielt worden sind, veranschaulichend. |
| „ | 1154 | Serie von Photographieen die Bewegungen der normalen Wirbelsäule veranschaulichend. |
| Herrn Dr. E. G. Abbott, Portland. | | <i>Serie von Illustrationen der fünf primären Bewegungen oder Stellungen der normalen Wirbelsäule: Flexion, Extension, seitliche Biegung, Rotation, Torsion.</i> |
| „ | 1155 | Photographie eines Model in der aufrechten Stellung. |
| „ | 1156 | Figur zur Illustration der Ebene des Beckens, des Brustkorbes und der Schultern in der aufrechten Stellung |
| „ | 1157 | Röntgogramm, welches zeigt, dass die normale grade Wirbelsäule, das Becken und die Schultern in den selben Ebenen liegen. |
| „ | 1158 | Photographie eines Modells in der Stellung von maximaler Flexion. |

Ausgestellt von :

- Herrn Dr. E. G. Abbott, 1159 Hülle auf ein Modell passend, in der
Portland. Stellung maximaler Flexion.
- „ 1160 Röntgogramm der normalen Wirbelsäule
in der Stellung maximaler Flexion.
- „ 1161 Photographie eines Modells in der
Stellung von maximaler Hyper-
extension.
- „ 1162 Hülle auf ein Modell passend, in der
Stellung von vollständiger Extension.
- „ 1163 Röntgogramm worauf die normale Wir-
belsäule in der Stellung maximaler
Hyperextension zu sehen ist.
- „ 1164 Photographie eines Modells in der
Stellung von maximaler seitlicher
Biegung.
- „ 1165 Hülle auf ein Modell passend in der
Stellung maximaler seitlicher Biegung.
- „ 1166 Röntgogramm auf welchem die normale
Wirbelsäule in der Stellung maximaler
seitlicher Biegung zu sehen ist.
- „ 1167 Photographie eines Modells in der
Stellung maximaler Rotation.
- „ 1168 Figur zur Illustration der Verschieden-
heit der Ebenen des Beckens und der
Schultern von der des Brustkorbes
während Rotation.
- „ 1169 Röntgogramm einer normalen Wirbel-
säule in der Stellung maximaler
Rotation.
- „ 1170 Photographie eines Modells in der
Stellung maximaler Torsion.
- „ 1171 Figur zur Illustration der Verschieden-
heit zwischen der Beckenebene und
der Thoraxebene während Torsion.
- „ 1172 Röntgogramm einer normalen Wirbel-
säule in der Stellung maximaler Torsion.
- Serie von Illustrationen der kombinierten
Bewegungen der Wirbelsäule, worin die
Bewegung nach zwei Richtungen hin
stattfindet.*
- „ 1173 Photographie eines Modells in der
Stellung von Flexion mit seitlicher
Biegung.
- „ 1174 Figur worauf zu sehen ist, dass die
Schultern, das Becken und der Brust-
korb in den selben Ebenen liegen,
während Flexion mit seitlicher Biegung

Ansgestellt von :

- Herrn Dr. E. G. Abbott, 1175 Röntgogramm von Flexion mit seitlicher Biegung. Portland.
- „ 1175A Photographie eines Modells in der Stellung von Flexion mit Rotation.
- „ 1176 Figur zur Illustration der Verschiedenheit der Becken- und Schulter-Ebenen von der des Brustkorbes während Flexion mit Rotation.
- „ 1177 Röntgogramm von Flexion mit Rotation.
- „ 1178 Photographie eines Modells in der Stellung von Flexion mit Torsion.
- „ 1179 Figur zur Illustration der Verschiedenheit der Schulterebene von der des Beckens während Flexion mit Torsion.
- „ 1180 Röntgogramm von Flexion mit Torsion.
- „ 1181 Photographie eines Modells in der Stellung von Extension mit seitlicher Biegung.
- „ 1182 Figur worauf zu sehen ist, dass des Beckender Brustkorb und die Schultern, in der selben Ebene liegen während Extension mit seitlicher Biegung.
- „ 1183 Röntgogramm von Extension mit seitlicher Biegung.
- „ 1184 Photographie eines Modells in der Stellung von Hyperextension mit Rotation.
- „ 1185 Figur zur Illustration der Verschiedenheit der Becken- und der Schulterebenen während Extension mit Rotation.
- „ 1186 Röntgogramm von Extension mit Rotation.
- „ 1187 Photographie eines Modells in der Stellung von seitlicher Biegung mit Torsion.
- „ 1188 Figur zur Illustration der Verschiedenheit der Becken und Schulter-Ebenen von der des Brustkorbes während seitlicher Biegung mit Torsion.
- „ 1189 Röntgogramm von seitlicher Biegung mit Torsion.
- „ 1190 Photographie eines Modells in der Stellung von seitlicher Biegung mit Rotation.

Ausgestellt von:

- Herrn Dr. E. G. Abbott, 1191 Figur zur Illustration der Verschiedenheit der Beckenebene von der der Schultern während seitlicher Biegung mit Rotation.
- „ 1192 Röntgogramm von seitlicher Biegung mit Rotation.
- „ 1193 Photographie eines Modells in der Stellung von seitlicher Biegung mit Torsion.
- „ 1194 Figur zur Illustration der Verschiedenheit der Beckenebene von der der Schultern während seitlicher Biegung mit Torsion.
- „ 1195 Röntgogramm von seitlicher Biegung mit Torsion.
- Serie von Illustrationen der complizierteren Bewegungen der Wirbelsäule, worin die Bewegung nach drei Richtungen hin statt findet.*
- 1196 Photographie eines Modells in der Stellung von Flexion mit seitlicher Biegung und Rotation.
- „ 1197 Figur zur Illustration der Verschiedenheit der Brüstkorbebene von der des Beckens und der Schultern während Flexion mit seitlicher Biegung, und Rotation.
- „ 1198 Röntgogramm von Flexion mit seitlicher Biegung und Rotation.
- „ 1199 Photographie eines Modells in der Stellung von Flexion mit seitlicher Biegung und Torsion.
- „ 1200 Figur zur Illustration der Verschiedenheit der Becken und Schulter-Ebenen während Flexion mit seitlicher Biegung und Torsion.
- „ 1201 Röntgogramm von Flexion mit seitlicher Biegung und Torsion.
- „ 1202 Photographie eines Modells in der Stellung von Extension mit seitlicher Biegung und Rotation.
- „ 1203 Figur zur Illustration der Verschiedenheit der Becken- und Schulterebenen von der des Brustkorbes während Extension mit seitlicher Biegung und Rotation.

Ausgestellt von :

- Herrn Dr. E. G. Abbott, 1204 Röntgogramm von Extension mit seitlicher Biegung und Rotation.
Portland.
- „ 1205 Photographie eines Modells in der Stellung von Extension mit seitlicher Biegung und Torsion.
- „ 1206 Figur zur Illustration der Verschiedenheit der Beckenebene von der Schulterebene während Extension mit seitlicher Biegung und Torsion.
- „ 1207 Röntgogramm von Extension mit seitlicher Biegung und Torsion.
- „ 1208 Photographie eines typischen Falles von Skoliose.
- „ 1209 Figur zur Illustration der Verschiedenheit der Becken- und Schulter-Ebenen von der des Brustkorbes in einem typischen Falle von Skoliose.
- „ 1210 Röntgogramm eines typischen Falles von Skoliose.
- „ 1211 Photographie eines Modells in der Stellung von Flexion mit seitlicher Biegung und Rotation in der Richtung nach der Konvexität der seitlichen Biegung.
- „ 1212 Figur zur Illustration der Verschiedenheit der Brustkorbebene von der des Beckens und der Schultern während Flexion mit seitlicher Biegung.
- „ 1213 Röntgogramm von Flexion mit seitlicher Biegung und Rotation.
- „ 1214 Photographie eines Modells in der Stellung von Flexion mit seitlicher Biegung und Rotation in der Richtung nach der Konkavität der seitlichen Biegung.
- „ 1215 Figur zur Illustration der Verschiedenheit der Brustkorbebene von der der Schultern und des Beckens während Flexion mit seitlicher Biegung und Rotation.
- „ 1216 Röntgogramm von Flexion mit seitlicher Biegung und Rotation.
- „ 1217 Photographie eines Modells in der Stellung von Flexion mit seitlicher Biegung und Torsion.

Ausgestellt von :

- Herrn Dr. E. G. Abbott, 1218 Figur zur Illustration der Verschiedenheit der Brustkorbebene von der des Beckens während Flexion mit seitlicher Biegung und Torsion.
- „ 1219 Röntgogramm von Flexion mit seitlicher Biegung und Torsion.
- „ 1220 Photographie eines Modells in der Stellung von Extension mit seitlicher Biegung und Rotation in der Richtung nach der Konkavität der seitlichen Biegung.
- „ 1221 Figur zur Illustration der Verschiedenheit der Brustkorbebene von der des Beckens und der Schultern während Extension mit seitlich Biegung und Rotation.
- „ 1222 Röntgogramm von Extension mit seitlicher Biegung und Rotation.
- „ 1223 Photographie eines Modells in der Stellung von Extension mit seitlicher Biegung und Rotation in der Richtung nach der Konvexität der seitlichen Biegung.
- „ 1224 Figur zur Illustration der Verschiedenheit der Brustkorbebene von der des Beckens und der Schultern während Extension mit seitlicher Biegung und Rotation.
- „ 1225 Röntgogramm von Extension mit seitlicher Biegung und Rotation.
- „ 1226 Photographie eines Modells in der Stellung von physiologischer activer Skoliose.
- „ 1227 Figur zur Illustration der Verschiedenheit der Brustkorbebene von der des Beckens und der Schultern während physiologischer activer Skoliose.
- „ 1228 Röntgogramm von physiologischer activer Skoliose.
- „ 1229 Photographie eines Modells in der Stellung von physiologischer passiver Skoliose.
- „ 1230 Figur zur Illustration der Verschiedenheit der Becken- und Schulter-Ebenen von der des Brustkorbes und der Lenden während physiologischer passiver Skoliose.

Ausgestellt von:

- Herrn Dr. E. G. Abbott, 1231 Röntgogramm von physiologischer passiver Skoliose.
 „ 1232 Photographie einer künstlich fixierten Skoliose.
 „ 1233 Figur zur Illustration der Verschiedenheit der Becken- und Schulter-Ebenen von der des einfach gebogenen Brustkorbes.
 „ 1234 Figur von physiologischer Skoliose zuerst aktiv, dann passiv und schliesslich fixiert.
 „ 1235 Photographie, nachdem eine fixierte Skoliose erzielt worden ist.
 „ 1236 Figur zur Illustration der Verschiedenheit der Becken- und Schulter-Ebenen von der des Brustkorbes und der Lenden bei einem Falle von künstlich erzeugter Skoliose.
 „ 1237 Röntgogramm von künstlich erzeugter Skoliose.

II.—SPASTISCHE LÄHMUNGEN.

- Herrn Dr. A. Stoffel, 1238 Modell, die Stoffelsche Operation am N. tibialis in der Kniekehle zur Beseitigung eines schweren Spitzfusses veranschaulichend.
 „ 1239 Modell, die Stoffelsche Operation am N. medianus zur Beseitigung eines schweren Pronationskontraktur des Vorderarmes veranschaulichen.
 „ 1240 Modell, die Stoffelsche Operation am N. ischiadicus zur Beseitigung einer schweren Flexionskontraktur des Knies veranschaulichend.
 „ 1241 Modell, die Topographie des Querschnittes des N. tibialis im distalen Drittel des Oberschenkels veranschaulichend.
 „ 1242 Modell, die Topographie des Querschnittes des N. medianus im distalen Drittel des Oberarmes veranschaulichend.
 „ 1243 Modell, den inneren Bau eines grossen Extremitätsnerven veranschaulichend.

Ausgestellt von :

- | | | |
|---|------|---|
| Herrn Dr. A. Stoffel,
Mannheim. | 1244 | Modell eines grossen Extremitätsnerven; der Nerv ist in seine einzelnen Bahnen aufgesplittert. |
| „ | 1245 | Einzelne Operationsinstrumente zur Ausführung von den Stoffelschen Nervenoperationen. |
| „ | 1246 | Serie von Photographieen die, mit der Stoffelschen Operationen erzielten Resultate, veranschaulichend. |
| „ | 1247 | Gipsmodelle von operierten Patienten, die Dauerresultate veranschaulichend. |
| Herrn Prof. Dr. Otfried
Foerster, Breslau. | 1248 | Serie von 10 Tafeln zur Illustration der verschiedenen Kontrakturen bei spastischen Lähmungen. |
| „ | 1249 | Serie von 5 Tafeln zur Illustration der Bewegungsstörungen, hauptsächlich der Synkinesien bei spastischen Lähmungen. |
| „ | 1250 | Serie von 4 Tafeln zur Illustration der Störungen beim Sitzen und Gehen bei spastischen Lähmungen. |
| „ | 1251 | Serie von 5 Tafeln zur Illustration der Muskeldressierungsbehandlung von spastischen Lähmungen. |
| „ | 1252 | Serie von 5 Tafeln zur Illustration der Resultate der Resektion der hinteren Spinalnervenzwurzel bei spastischen Lähmungen. |
| „ | 1253 | Serie von Diapositiven. |

III.—ANKYLOSE.

- | | | |
|---------------------------------------|-------|---|
| Herrn Prof. Dr. V.
Putti, Bologna. | 1254 | Serie von Photographien zur Illustration der Resultate der chirurgischen Behandlung von Ankylose. |
| „ | 1254A | Serie von Röntgramme zur Illustration der Resultate der chirurgischen Behandlung von Ankylose (eigenes Material). |

IV.—TUBERKULÖSE GELENKE.

- | | | |
|---|------|---|
| Herrn Dr. Harold J.
Stiles und Dr. John
Fraser, Edinburg. | 1255 | Eingekapselte Tuberkulose des oberen Endes der Tibia. |
| „ | 1256 | Idem des unteren Endes des Humerus. |

Ausgestellt von :

Herrn Dr. Harold J.
Stiles und Dr. John
Fraser, Edinburg.

- 1257 Idem der Mitte des Ulnaschaftes.
- 1258 Idem des Tibiaschaftes, mit Bildung eines zentralen Sequestrums.
- 1259 Akute tuberkulöse Infiltration des mittleren Teiles des Tibiaschaftes.
- 1260 Tuberkulöse Infiltration des oberen Endes der Tibia.
- 1261 Frischer tuberkulöser Herd des oberen Endes der Tibia; zuerst submetaphyseal, und später subperiosteal.
- 1262 Tuberkulöse Infiltration des mittleren Teiles des Femurs, mit Bildung eines zentralen Sequestrums.
- 1263 Tuberkulöse Infiltration der Tibia, umgeben von neuem subperiostealem Knochengewebe.
- 1264 Infiltrierende tuberkulöse Osteomyelitis des oberen Endes der Ulna.
- 1265 Tuberkulöse Osteomyelitis der Ulna.
- 1266 Idem des Radius, umgeben von neuem subperiostealem Knochengewebe.
- 1267 Tuberkulöse Osteomyelitis des unteren Endes des Humerus.
- 1268 Frische tuberkulöse Osteomyelitis des mittleren Teiles der Tibia.
- 1269 Idem.
- 1270 Akute infiltrierende Tuberkulöse unteren Endes des Humerus, und Erkrankung des Ellbogens und des oberen Teiles der Ulna.
- 1271 Ausgedehnte Tuberkulose des Sprunggelenks, des Astragalus, und der Fussknochen.
- 1272 Tuberkulose des Unterkiefers; operativ entfernt.
- 1273 Tuberkulose der unteren Fläche des Femurhalses mit keilförmigem Sequester.
- 1274 Tuberkulose des oberen Endes der Tibia, mit zentralem Sequester; hypertrophischer Typus.
- 1275 Tuberkulose des Tibiaschaftes; hypertrophischer Typus.

Ausgestellt von :

Herrn Dr. Harold J.
Stiles und Dr. John
Fraser, Edinburg.

„

- 1276 Perichondrale Ulceration des Femur-
1277 Subchondrale Ulceration und Knorpel-
abtrennung des Femurkopfes.

*Mikroskopische Präparate zur Illustration der
Pathologie der folgenden Zustände :*

„

- 1278 Primäre Tuberkel bei Knochentuber-
kulose.

„

- 1279 Sekundäre Veränderungen in Knochen-
mark, Lamellen, Periosteum und
Blutgefäßen.

„

- 1280 Eingekapselte Knochentuberkulose.

„

- 1281 Infiltrierende Knochentuberkulose.

„

- 1282 Hypertrophische Knochentuberkulose.

„

- 1283 Atrophische Knochentuberkulose.

„

- 1284 Bildung von Sequestra.

„

- 1285 Veränderungen in der Gelenkhaut bei
Gelenktuberkulose.

„

- 1286 Veränderungen im Knorpel bei Gelenk-
tuberkulose.

„

- 1287 Veränderungen in den Blutgefäßen bei
Gelenktuberkulose.

„

- 1288 Serie von Photographien-mikroskopischen

Herrn Dr. H.J. Gauvain,
London.

Apparate :

„

- 1289 Schwingende "back-door" (Hinter-tür)—
Schiene zur Behandlung und Korrektur
der difformität von an Rückgratt-
tuberkulose leidenden Patienten, auf
einem speziellen Brett und Gestell
montiert, um die Pflege derartigen
Patienten, zu erleichtern.

„

- 1290 Schubkarrenschiene für die Behandlung
von Rückenwirbelkaries durch
krampfartige Zustände des Psoas-
Muskels oder des Psoas-Geschwürs
kompliziert.

„

- 1291 Skelet in höher Gipskorsett zur Illu-
stration der Knochenvorsprünge, um
welche herum eine derartige Korsett
angepasst werden sollte.

- 1292 Fertige aus unverbrennbarem Celluloid
hergestellte Korsett für die weitere
Behandlung von Rückenwirbelkaries.

Ausgestellt von :

- Herrn Dr. H.J. Gauvain, 1293 Unverbrennbare Celluloidhüftenschiene
London. einem Model angepasst.
- „ 1294 Serie von Photographien zur Illustration
der Behandlung von Knochen- und
Gelenketuberkulose.
- „ 1295 Serie von Röntgogrammen zur Illustration
der Behandlung von Knochen-
und Gelenktuberkulose.
- Herrn Dr. J. Ridlon, 1296 Serie von Diapositiven.
Chicago. 1297
- „ 1298 Serie von Röntgogrammen.
- Herrn Dr. Jacques Calvé 1299 Apparat zur dauernden Extension in
Berck-Plage. Fällen von schmerzhafter Hüftge-
lenkentzündung.
- „ 1300 Korsett aus Zelluloid, für die Behandlung
von Pottscher Krankheit der Wirbel-
säule.
- Herrn Dr. Rollier, 1301 Serie von Photographieen, die die An-
Laysin. wendung und Resultate der Sonnen-
badbehandlung bei Knochen-, Gelenk-
und Drüsentuberkulose verbildlichen.
- Herrn Prof. Dr. Oscar 1302 Photographie des Sanatoriums Solbad
Vulpius, Heidelberg. Rappennau für die Behandlung von
Knochen-, Gelenk- und Drüsenleiden
(Chirurgische Tuberkulose).
- „ 1303 Photographie der therapeutischen
Einrichtungen des Sanatoriums.

Coxa Vara.

- Herrn Dr. R. C. Elmslie, 1304 Rachitischer Femur, die allgemeine
London. Senkung des Schenkelhalses zeigend.
- „ 1305 Femur bei Coxa Vara (zervikale oder
infantile Coxa Vara).
- „ 1306 Obere Enden der rechten und linken
Femora. Der linke Femur ist normal,
der rechte zeigt die Veränderungen
von Coxa Vara adolescentiae.
- „ 1307 Das obere Ende des rechten Femurs
einer alten Frau. Der Zustand ent-
spricht genau der üblichen Form von
infantiler Coxa Vara.
- „ 1308 Das obere Ende des linken Femurs des-
selben Falles.

Ausgestellt von :

- Herrn Dr. R. C. Elmslie, 1309 Diapositiv des oberen Endes des Femurs eines Falles von Osteo-arthritis des Hüftgelenkes.
- „ 1310 Diapositiv eines Röntgogramms von einem Fall von "Pseudocoxitis."
- „ 1311 Diapositiv eines Röntgogramms von einem Fall, in welchem die obere Hälfte des Schenkelkopfes nach einem Unfall atrophisch wurde.
- „ 1312 Diapositiv eines Röntgogramms von einem Fall von Osteitis Fibrosa des Halses und des oberen Teils des Schenkelknochens. Schwere Coxa Vara Deformität.
- „ 1313 Diapositiv von Diagrammen des oberen Epiphysengebietes des Femurs, die Begrenzungslinie der Verknöcherung zeigend.
- „ 1314 Diapositiv eines Falles von Coxa Vara adolescentiae.
- „ 1315 Diapositiv, die Begrenzung der Biegunsmöglichkeit in Coxa Vara adolescentiae zeigend.
- „ 1316 Diapositiv des Kopfes eines normalen Femurs in der Stellung leichter Inversion.
- Herrn Dr. R. C. Elmslie. 1317 Diapositiv von Röntgogrammen des Kopfes eines normalen Femurs in mittlerer Stellung, mässig evertiert, und stark evertiert.
- „ 1318 Diapositiv eines Röntgogramms von einem Fall von Epiphysentrennung des Schenkelkopfes.
- „ 1319 Diapositiv eines Röntgogramms von einem Fall von Coxa Vara adolescentiae, die nach kurzem Zwischenraum auf einen geringen Unfall folgte.
- „ 1320 Diapositiv eines Röntgogramms von einem Fall von Coxa Vara adolescentiae, die auf wiederholte Unfälle folgte.
- „ 1321 Diapositiv eines Röntgogramms von einem Fall von Coxa Vara adolescentiae ohne vorhergegangenes Trauma.
- „ 1322 Diapositiv eines Röntgogramms von einem Fall von Coxa Vara adolescentiae ohne vorhergegangenes Trauma.

Ausgestellt von :

- Herrn Dr. R. C. Elmslie, 1323 Diapositiv eines Präparates von Coxa Vara adolescentiae, von Schlesinger reseziert.
 London.
- „ 1324 Diapositiv eines Falles von infantiler Coxa Vara.
- „ 1325 Diapositiv von Röntgogrammen von zweiseitiger infantiler Coxa Vara.
- „ 1326 Diapositiv von Diagrammen, die wahrscheinliche Entstehungsweise der infantilen Coxa Vara zeigend.
- „ 1327 Diapositiv von infantiler Coxa Vara.
- „ 1328 Diapositiv von infantiler Coxa Vara, die auf einen Unfall folgte.
- „ 1329 Diapositiv von schwerer zweiseitiger Coxa Vara bei einem 15½ jährigen Mädchen.
- „ 1330 Diapositiv von schwerer zweiseitiger Coxa Vara bei einem 15½ jährigen Mädchen.
- „ 1331 Diapositiv von schwerster infantiler Coxa Vara bei einem 17 jährigen Knaben.
- „ 1332 Diapositiv von schwerster infantiler Coxa Vara bei einer 26 jährigen Frau.
- „ 1333 Diapositiv eines Röntgogramms des von derselben Patientin resezierten Präparates.
- „ 1334 Diapositiv eines vertikalen Schnittes desselben Präparates.
- „ 1335 Diapositiv von infantiler Coxa Vara mit stark verknöchertem Schenkelhalse.
- „ 1336 Diapositiv des oberen Endes eines Femurs, eine ähnliche Deformität zeigend.
- „ 1337 Diapositiv eines Röntgogramms von zweiseitiger rachitischer Deformität des Femurs.
- „ 1338 Diapositiv eines Röntgogramms von rachitischer Coxa Vara.
- „ 1339 Diapositiv eines Röntgogramms, welches auf der einen Seite die übliche Form von infantiler Coxa Vara und auf der anderen, allgemeine Senkung des Schenkelhalses, wahrscheinlich rachitischen Ursprunges, zeigt.

Ausgestellt von:

- Herrn Dr. R. C. Elmslie, 1340 Diapositiv eines Falles angeborener Coxa Vara mit Verkürzung des Schenkelknochens.
London.
- „ 1341 Diapositiv eines Röntgogramms desselben Falles.
- „ 1342 Diapositiv eines Röntgogramms von angeborener Coxa Vara mit verkürztem Femur.
- „ 1343 Diapositiv eines Röntgogramms von Coxa Vara adolescentiae auf welchem der Druck, den die obere Kante des Azetabulums auf das geschwächte Epiphysengebiet ausübt, ersichtlich ist.
- „ 1344 Diapositiv eines Röntgogramms, auf welchem Epiphysentrennung am oberen Ende des Femurs, vor der Behandlung und nach Redressement, ersichtlich ist.
- „ 1345 Diapositiv eines Röntgogramms des selben Falles, 3 Jahre später, auf welchem die Resorption des Femurkopfes zu erkennen ist.
- „ 1346 Diapositiveines Röntgogramms von einem Fall von Coxa Vara adolescentiae vor der Behandlung.
- „ 2347 Diapositiv desselben in der Stellung maximaler Abduktion, erzielt durch Reckschiene.
- „ 1348 Diapositiv eines Falles von Coxa Vara adolescentiae vor der Behandlung mit Reckschiene.
- „ 1349 Diapositiv von Coxa Vara adolescentiae, auf welchem normale Abduktion, erzielt durch Reckschiene, ersichtlich ist.
- „ 1350 Diapositiv von Coxa Vara adolescentiae, behandelt durch "Kalliper"-Schiene.
- „ 1351 Diapositiveines Röntgogramms von einem Präparat von Coxa Vara adolescentiae und normalem Femur.
- „ 1352 Diapositiveines Röntgogramms von einem verschleppten Fall von Coxa Vara adolescentiae vor der Behandlung, und nach der Entfernung von Knochenvorsprüngen von dem oberen vorderen Teile des Halses.

Ausgestellt von :

- Herrn Dr. R. C. Elmslie, 1353 Diapositiv eines Röntgogramms von
London. infantiler Coxa Vara vor der Behandlung.
- „ 1354 Diapositiv eines Röntgogramms desselben
Falles 6 Jahre nach der Osteotomie.
- „ 1355 Diapositiv eines Röntgogramms von einem
Fall von infantiler Coxa Vara, auf
welchem der ganze Femurkopf von
dem Halse abgerutscht ist.
- „ 1356 Diapositiv eines Röntgogramms des sel-
ben Falles nach Resektion des Femur-
kopfes.
- „ 1357 Diapositiv des selben Falles, worin die
Stabilität des Hüftgelenkes, zwei Jahre
nach der Operation, zu erkennen ist.

V.—KNOCHENBRÜCHE.

- Herrn Dr. Ernst Fischer, 1358 Apparat zur ambulanten Extensionsbe-
Budapest. handlung der Patella- und Olecranon-
frakturen.
- „ 1359 Apparat zur ambulanten Extensions-
behandlung der Frakturen der oberen
Extremität.
- „ 1360 Röntgogramme geheilter Patella-, Ole-
cranon-, Humerus-, Ellbogen- und
Vorderarmfrakturen.
- Herrn Prof. Dr. Hacken- 1361 Röntgogramme bei welchen die Lage der
bruch, Wiesbaden. Knochenbrüche und Distraktions-
klammern erkennbar ist.
- „ 1362 Photographieen von Patienten, welche
wegen verschiedener Frakturen, Dis-
traktionsklammer-Gypsverbände tra-
gen.
- Herrn Sanitätsrat Dr. 1363 Streckapparat zur Behandlung irre-
Georg Müller, Berlin. ponibler angeborener Hüftverrenkung.
- „ 1364 Beinapparat mit Beckengurt und Trochan-
terbügel.
- „ 1365 Korsett mit Trochanterbügel.
- „ 1366 Federkorsett zur Nachbehandlung.

MADELUNGSCHE DEFORMITÄT.

Ausgestellt von :
Herrn Dr. N. S. Finzi,
London.

Röntgogramme.

- | | |
|---|---|
| „ | 1367 Ansicht der Streckseite des rechten Handgelenkes von einem Falle von Madelungscher Krankheit. An der aussen Seite der unteren Epiphyse des Radius ist Heilung eingetreten, an der inneren Seite nicht. |
| „ | 1368 Streckseite des linken Handgelenks des selben Patienten. |
| „ | 1369 Vorderansicht des rechten Handgelenks des selben Patienten. |
| „ | 1370 Vorderansicht des linken Handgelenks des selben Patienten. |
| „ | 1371 Ansicht der Streckseite des rechten Handgelenks eines zweiten Falles von Madelungscher Deformität; Spuren einer alten Osteotomie. |
| „ | 1372 Streckseite des linken Handgelenks des selben Patienten. |
| „ | 1373 Streckseite des rechten Armes des selben Patienten. |
| „ | 1374 Streckseite des linken Armes des selben Patienten. |
| „ | 1375 Ansicht der Streckseite des rechten Armes von einem frühem Falle von Madelungscher Deformität. |
| „ | 1376 Streckseite des linken Armes des selben Patienten. |
| „ | 1377 Seitenansicht des rechten Armes des selben Patienten. |
| „ | 1378 Seitenansicht des linken Armes des selben Patienten. |

VI.—ALLGEMEINE ORTHOPÄDISCHEN METHODEN.

- Herrn Dr. S. Mencièrè, 1379 „Osteotom-Revolver,” durch flüssige Rheims. Karbolsäure getrieben, zum Aufmeisseln der Extremitätsknochen, und der Gelenkflächen, und zur Benutzung bei der Aushöhlung, Durchbohrung, Trepanation und Durchsägung der Knochen.

Ausgestellt von :

- | | |
|--------------------------------------|--|
| Herrn Dr. S. Mencièrè,
Rheims. | 1380 Besteck für den "Phenol-Stich" in der
Behandlung der Knochen- und Gelenk-
tuberkulose. |
| " | 1381 Besteck zur Ausführung von Muskel-
Sehnen - Ueberpflanzung in spinaler
Kinderlähmung. |
| " | 1382 Löffel aus Aluminium mit Halter, zur
Ausführung der Mencièrèschen Osteo-
Synthese. |
| " | 1383 Besteck zur Modellierung von Knochen
und Artikulationen vermittels Aushöh-
lung. |
| " | 1384 Pincette von Mencièrè zur Fassung von
Gewebs teilen während verschiedener
Operationen, zur Hebung von Sehnen,
während der Sehnenüberpflan-
zungsoperationen, u. s. w. |
| " | 1385 Hebel von Mencièrè für das unblutige
Redressement angeborener Hüftver-
renkungen, und zweckmässiger Tisch
zur Fixierung des Beckens während
der Anwendung des Hebels. |
| " | 1386 Mencièrèscher Apparat zur Behandlung
der Hüft- und Knie-Ankylose. |
| " | 1387 Osteoklast von Mencièrè mit runder
Stütze. |
| " | 1388 Stange, mit Kautschuck überzogen, zur
Modellierung des Klumpfusses. |
| " | 1389 Mencièrèscher Apparat zur Modellierung
des schiff-förmigen Brustkastens. |
| Herrn Dr. E. G.
Brackett, Boston. | 1390 Tafel : zur Veranschaulichung der
Organisation der Orthopädischen
Klinik des Allgemeinen Kranken-
hauses Massachusetts. |
| " | 1391 Photographieen der Krankensäle. |
| " | 1392 Grundriss der Poliklinik. |
| " | 1393 Tafel zur Illustration der therapeutischen
Hilfsmittel die in dem Krankenhause
benutzt werden. |

SEKTION VIII.—Geburtshilfe und Gynäkologie.

I.—BLUTUNGEN AUS DER PLAZENTASTELLE.

Ausgestellt von :

- | | | |
|--|------|---|
| Herrn Prof. Dr. Couve-
laire, Paris. | 1394 | Uterus durch "Porro" gewonnen. Schwere retroplazentaire Blutung. |
| " | 1395 | Uterus einer eklamptischen Frau, bei der Sektion gewonnen; grosses retroplazentäres Haematom. |
| Herrn Prof. Dr. Essen
Möller, Lund. | 1396 | Photographien: Plazentaschnitt, Gewebsstörung zeigend. |
| " | 1397 | Blutungen in die Uterusmuskulatur. |
| " | 1398 | Lumièresches Lichtbild des selben Falles. |
| " | 1399 | Blutaustritt aus einem Gefäss in das umgebende Gewebe. |
| " | 1400 | Auseinanderreissung der Bündel der Muskelfasern durch ausgetretenes Blut. |
| " | 1401 | Der selbe Zustand im Querschnitt. |
| Herrn Prof. Dr. W. Nagel,
Berlin. | 1402 | Puerperaler Uterus mit injicierten Arterien, die Verzweigung der Arterien bei Placenta-prævia und ihre Beziehungen zum unteren Uterinsegment zeigend. |
| Herrn Prof. Dr. Pinard
und Prof. Dr. Varnier,
Paris. | 1403 | Vorzeitige Ablösung des normal situirten Mutterkuchens, verursacht durch zu kurze Nabelschnur. |
| Herrn Prof. Dr. Fabre,
Lyon. | 1404 | Prof. Fabre's Hysterograph; ein Apparat zur Registrierung der Uteruskontraktionen vermittels graphischer Kurven. |
| " | 1405 | Kurve eines aussen angebrachten Hysterogramms. |
| " | 1406 | Kurve eines aussen und eines innen angebrachten Hysterogramms. |
| " | 1407 | Kurven von Geburtswehen. |
| " | 1408 | Kurven von "Nachwehen." |
| | 1409 | Kurven von Uteruskontraktionen während der Geburt, von aussen und von innen registriert. |

Ausgestellt von:

- Herrn Dr. Eardly Hol- 1419 Gebärmutter einer Frau die während der
land. Empfängdung gestorben ist: mit dem
Foetus.
- „ 1411 Zeichnung desselben Preparates.
- „ 1412 Idem.
- „ 1413 Photographie desselben Preparates,
- „ 1414 Idem.
- Herrn Dr. F. J. McCann 1415 Pathologische Preparate.

III.—VERLETZUNGEN DER ORGANE DES KINDES WÄHREND DER GEBURT.

- Herrn Dr. Herbert 1416 Leber eines totgeborenen Kindes, sub-
Spencer, London. peritoneale Blutungen zeigend.
- „ 1417 Teil der Leber eines totgeborenen Kindes,
eine grosse subperitoneale Blutung
zeigend.
- „ 1418 Milz eines ausgetragener Kindes, Blu-
tungen in der Substanz und unter der
Kapsel zeigend.
- „ 1419 Teil der Milz eines Kindes, Blutungen
unter der Kapsel und in der Substanz
zeigend.
- „ 1420 Schnitt einer Nebenniere mit Teil der
Niere, Blutung unter der Kapsel der
ersteren zeigend.
- „ 1421 Rechte Niere und Nebenniere eines
totgeborenen Kindes; die tiefe Furche
zeigt die Stelle einer grossen Blutung
an.
- „ 1422 Blutung in die linken Nympha eines
ausgetragenen weiblichen Kindes.
- „ 1423 Fötale Schädelbasis; Blutung an der
Oberfläche des *tentorium cerebelli*.
- „ 1424 Hæmatom unter der Kapsel der Leber.
- „ 1425 Blutung unter die Kapsel der Leber.
- „ 1426 Ruptur des hinteren Teiles des rechten
Lappens der Leber.
- „ 1427 Leber mit subkapsulärem Hæmatom.
- „ 1428 Blutung unter die *tunica vaginalis* und in
den oberflächlichen Teil des Samen-
stranges.
- „ 1429 Blutung in den unteren Lappen der
linken Lunge und unter die Pleura.
- „ 1430 Blutaustritt in die Cœcumwand und in
das Lumen, und zwei kleine Blutungen
in das Ileum.

Ausgestellt von :

- | | |
|----------------------------|--|
| Herrn Dr. Herbert Spencer. | 1431 Zerstreute Blutungen in dem Hoden und Nebenhoden. |
| „ | 1432 Der untere Teil des Rumpfes eines neugeborenen, männlichen Kindes, zur Illustration von Blutungen in den <i>processus vaginalis</i> und in den Samenstrang. |
| „ | 1433 Aquarelle von Blutungen in die Organen togeborener Kinder. |

IV.—ANORMALE SCHWANGERSCHAFTEN.

- | | |
|-------------------------------------|---|
| Herrn Dr. John H. Teacher, Glasgow. | 1434 Schwangerschaft in einem rudimentären Eileiter; sehr frühes Platzen; Verblutungstod. |
| „ | 1435 Ovarialgravidität; fast intaktes Ovum im dritten Monat. |
| Herrn Dr. F. J. McCann, London. | 1436 Präparata. |

Krebs des Cervix compliziert durch Schwangerschaft und Geburt.

- | | |
|------------------------------------|---|
| Herrn Dr. Herbert Spencer, London. | 1437 Schema von 6 Krebsfällen mit vorgerückter Schwangerschaft und Geburt. |
| „ | 1438 Carcinom des Cervix mit vorgerückter Schwangerschaft, entfernt vermittels hoher Amputation des Mutterhalses. Patientin blieb 11 Jahre lang rezidivfrei. |
| „ | 1439 Carcinom des Cervix mit vergerückter Schwangerschaft, entfernt vermittels hoher Amputation des Cervix Pat. ist mehr als 11 Jahre lang rezidivfrei geblieben. |
| „ | 1440 Ein ähnlicher Fall; Pat. ist mehr als 11 Jahre lang rezidivfrei geblieben. |
| „ | 1441 Schema von 4 Fällen von Carcinom des Cervix, Schwangerschaft vor dem 7 Monat komplizierend. |
| „ | 1442 Becken und Beckenorgane, zur Illustration eines vorgerückten Falles von Cervixcarcinom bei einer Frau im 6. Monat schwager. |

Ausgestellt von :

Herrn Dr. Herbert
Spencer.

1443 Zeichnung eines medialen Sagittalschnittes durch den Körper einer im 6ten Monat der Schwangerschaft gestorbenen Frau; Carcinom des Muttermundes, der Gewölbe und der Scheidenwand.

„ 1444 Eine zweite Zeichnung, des selben Falles.

V.—GEBÄRMUTTERKREBS.

Sarcom des Uterus.

„ 1445 Rechte Hälfte eines Uterus mit Sarcom; „subtotale“ Hysterektomie.

„ 1446 Teil eines Uterus mit Sarcom, durch Hysterektomie entfernt.

„ 1447 Gebärmutter durch vaginale Hysterektomie entfernt.

„ 1448 Gebärmutter durch abdominale Hysterektomie entfernt.

„ 1449 Rundzellen- und spindelzellen- Sarcom des Uterus.

„ 1450 Beckenorgane sammt Uterus eines Falles von kleinrundzelligem Sarcom.

„ 1451 Uterus durch supravaginale Hysterektomie wegen Fibromyom und Rundzellensarcom entfernt.

„ 1452 Uterus mit Adnexen durch totale Hysterektomie entfernt. Die Geschwulst bestand aus einem Fibromyom mit sarcomatöser Entartung.

„ 1453 Uterus-sarcom; die Patientin ist an Sepsis nach Curettage gestorben.

„ 1454 Spindelzellensarcom den Uterus umgebend, durch vaginale Hysterektomie entfernt.

„ 1455 Uterus mit Carcino-Sarcom.

„ 1456 Uterus mit *carcinoma sarcomatoides* des Cervix.

Herrn Dr. Matthew J. Stewart, Leeds. 1457 Uterus mit frühem Chorioepitheliom. Beide Eierstöcke enthalten zahlreiche Luteinzysten.

„ 1458 Schnitt der Geschwulst des selben Falles.

„ 1459 Schnitt der Luteinzysten des selben Falles.

Ausgestellt von :

- Herrn Dr. Matthew J. Stewart, Leeds. 1460 Leber mit Metastasen von einem Falle von Magenkrebs, die makroskopisch genau so aussahen wie Metastasen von Chorioepitheliom.
- „ 1461 *Adenomyoma diffusum benignum* und Adenocarcinom des Endometriums.
- „ 1462 Mikroskopisches Präparat des obigen.
- „ 1463 Tuberkulose des Uterus mit schweren fibrokäsigen Veränderungen des Uterus-cavums.

Moulagen.

- Herrn Geh. Hofrat Prof. Dr. Krönig, Freiburg, i.Br. 1464 Carzinom-Rezidiv nach Wertheim, vor der Bestrahlung; mikr. Carzinom.
- „ 1465 Dasselbe; 5 Wochen nach Röntgenbestrahlung kein Carzinom mehr nachweisbar.
- „ 1466 Dasselbe; nach Röntgen-und Mesothoriumbehandlung, 6 Monate später rezidivfrei.
- „ 1467 Dasselbe; rezidivfrei nach 1 Jahr 4 Monaten.
- „ 1468 Mammacarcinom (Cancer en cuirasse) vor der Behandlung.
- „ 1469 Dasselbe; rezidivfrei, 6 Wochen nach Bestrahlung kein Carzinom mehr nachweisbar.
- „ 1470 Mammacarcinom von der Bestrahlung.
- „ 1471 Dasselbe; Röntgenbehandlung nach Türflügelschnitt; Carzinom nicht mehr nachweisbar.
- „ 1472 Uterushalscarcinom vor der Bestrahlung.
- „ 1473 Dasselbe: 5 Wochen nach Mesothoriumbestrahlung; kein Carzinom mehr nachweisbar; rezidivfrei nach 1 Jahr 4 Monaten.
- „ 1474 Blumenkohlcarcinom vorder Bestrahlung.
- „ 1475 Dasselbe Carcinom nach der Bestrahlung mit Mesothorium. Kein Carzinom mehr nachweisbar.
- „ 1476 Cervixcarcinom vor der Bestrahlung.

Ausgestellt von :

Herrn Geo. Hofrat
Prof. Dr. Krönig,
Freiburg, i.Br.

"

"

"

"

"

"

1477 Dasselbe : 5 Wochen nach Mesothorium-
bestrahlung kein Carzinom mehr nach-
weisbar.

1478 Cervixcarzinom vor der Bestrahlung.

1479 Dasselbe : 5 Wochen nach der Bestrah-
lung; kein Carzinom mehr nachweisbar :
rezidivfrei.

1480 Rektumcarzinom vor der Behandlung
mit Mesothorium.

1481 Dasselbe : 4 Wochen nach der Mesotho-
rium bestrahlung; kein Carzinom
mehr nachweisbar.

1482 Ulcus rodens vor der Behandlung.

1483 Dasselbe : nach 3½ Wochen kein Carzi-
nom mehr nachweisbar.

VI.—VARIA.

Herrn Dr. R. L.
Dickinson.

"

"

"

"

"

"

"

"

"

"

"

"

1484 Tafel zur Illustration der Anwendung
eines geschlossenen, hohlen Pessars
aus Glas, für die Behandlung von
Anteflexion, Sterilität und Infan-
tilismus.

1485 Idem.

1486 Tafel zur Illustration von abdominaler
Hysterektomie mit doppelter Naht.

1487 Idem.

1488 Idem.

1489 Tafel zur Illustration einer vereinfachter
Naht-Methode bei Perineorrhaphie.

1490 Tafel zur Illustration einer vereinfachten
Nahtmethode für Cervixoperationen.

1491 Idem.

1492 Tafel zur Illustration von vereinfachten
Wurmfortsatzentfernung mit einfacher
Naht.

1493 Tafel zur Illustration von vaginaler
Hysterektomie mit zweifacher Naht.

1494 Modell zur Illustration der vereinfachten
Nahtmethode bei Trachelorrhaphie in
fünf Stufen.

1495 Modell zur Illustration einer verein-
fachten Nahtmethode bei Amputation
des Cervix.

1496 Idem, bei Perineorrhaphie.

Ausgestellt von :

- | | | |
|----------------------------|------|--|
| Herrn Dr. R. I. Dickinson. | 1497 | Modell zur Illustration der Abtrennung der Nabelschnur direkt an der Haut. |
| „ | 1498 | Modell zur Illustration der Abtrennung der Nemostase vermittels Klammer. |

Instrumente :

- | | | |
|---|------|---|
| „ | 1499 | Laparotomieschild ; Retraktor. |
| „ | 1500 | Stielpessar ; aus Glas ; und hohlem Silber. |
| „ | 1501 | Klammer für die Abtrennung der Nabelschnur. |
| „ | 1502 | Prolapspessar. |

Spinalanästhesie in der Gynäkologie.

- | | | |
|-----------------------------------|------|---|
| Herrn Dr. G. le Filliatre, Paris. | 1503 | Grosses Uterusfibrom. |
| „ | 1504 | Zeichnung eines Querschnittes durch den Lumbo-Sakral-Kanal zur Illustration der Beziehungen der <i>arachnoidea</i> zur <i>Cauda equinae</i> . |
| „ | 1505 | Zeichnung eines Horizontalschnittes. |

VII.—ALTE OBSTETRISCHE INSTRUMENTE.

Sammlung der "Royal Society of Medicine."

Geburtszangen.

- | | |
|---|---------------------------|
| The Royal College of Surgeons of England. | 1506 (siehe Seite 77—78). |
| „ | bis |
| „ | 1534 |

Vektis und Hebel.

- | | |
|---|------------------------|
| „ | 1535 (siehe Seite 78). |
| „ | bis |
| „ | 1538 |

Andere obstetrische und gynäkologische Instrumente.

- | | |
|---|----------------------------|
| „ | 1539 (siehe Seiten 78—80). |
| „ | bis |
| „ | 1609 |

Zangen.

- | | |
|---|----------------------------|
| „ | 1610 (siehe Seiten 80—81). |
| „ | bis |
| „ | 1639 |

*Vektis, Hebel u.s.w.**Ausgestellt von:*

- | | |
|---|----------------------------|
| The Royal College of Surgeons of England. | 1640 (siehe Seiten 81—82). |
| | bis |
| | 1783 |

Zangen.

- | | |
|--|------------------------|
| Herrn Prof. Dr. T. Henry Wilson, Dublin. | 1784 (siehe Seite 85). |
| | bis |
| | 1788 |

Zangen u.s.w.

- | | |
|--|--|
| Herrn Prof. Dr. Sir J. Halliday Croom, Royal College of Physicians, Edinburgh. | 1789 (siehe Seiten 85—86). |
| | bis |
| | 1799 |
| „ | 1800 Moulage des ersten Kopfes, der mit Hilfe von Chloroformnarkose und Wendung entbunden wurde. |
| St. Bartholomew's Hospital, London. | 1801 Eine Sammlung von alten obstetrischen Instrumenten. |
| Herrn C. J. Tabor. | 1802 Alter obstetrischer Stuhl, in Portugal gefunden. |

SEKTION IX.—Ophthalmologie.

Ausgestellt von :

- | | | |
|-------------------------------------|------|---|
| Herrn Prof. Dr. Ernest Fuchs, Wien. | 1803 | <i>Diapositive zur Illustration der histologischen Befunde bei chronischer Uveitis.</i> |
| „ | 1804 | Prolieferation des Ciliarepithels. |
| „ | 1805 | Idem. |
| „ | 1806 | Bildung von neuem Bindegewebe. |
| „ | 1807 | Exudat, sympathischer, Entzündung ähnelnd. <i>Zeichnungen.</i> |
| Herrn Dr. H. Grimsdale, London. | 1808 | Bienenzellige Choroiditis. |
| „ | 1809 | Neuroretinitis bei aplastischer Leukämie. |
| „ | 1810 | Exudat in die erweiterten Netzhautgefäße. |

FARBEN-ZEICHNUNGEN.

Erkrankungen des Tränensackes.

- | | | |
|------------------------------------|------|---|
| Herrn Dr. George Mackay, Edinburg. | 1811 | Retentionszyste der Tränendrüse; Dakryops. |
| „ | 1812 | Angeborenes Koloboma und angeborene Verschiebung der Tränendrüse.
(a) Beiderseitiges Koloboma, mit Verdichtung der Hornhaut und Bindehaut, und Verschiebung der Drüse.
(b) Der selbe Fall, die Lage der Drüse zeigend.
(c) Missbildungen der Ohrmuschel, bei dem selben Falle. |
| „ | 1813 | Beiderseitige Tränensackentzündung, die übliche Stelle der spontanen Evakuation, zeigend. |
| „ | 1814 | Chronische tuberkulöse Dakryozystitis. |
| „ | 1815 | Chronische Dakryozystitis, verursacht durch die Vernarbung von Nasenlupus. Links besteht eine Phlyktäne der Bindehaut. |
| „ | 1816 | Erweiterung der Ausführungsgänge, chronischer Dakryozystitis ähnelnd, verursacht durch die Extension eines papillomatösen Geschwulstes der Nasenhöhle. |
| „ | 1817 | Luetisches Geschwür des Tränensackes. |

Ausgestellt von :

Herrn. Dr. George
Mackay, Edinburg.

- 1818 Die Stelle wo die vordere Siebbeinzellen-
eiterung gewöhnlich durchbricht.
1819 Beiderseitige Fistel auf Entzündung der
vorderen Siebbeinzellen folgend.

Erkrankungen der Augenlider.

- „ 1820 Trommelähnlicher Vorsprung der Epider-
mis verursacht durch ein gebogenes
Wimper-Härchen.
„ 1821 Retentionszysten von den Schweissdrüsen
ausgehend.
„ 1822 *Molluscum contagiosum* der Lider.
„ 1823 Idem.
„ 1824 Papilloma der Karunkel und der untern
Bindehautfalte.
„ 1825 Geschwür des oberen Lides.
„ 1826 Idem, wahrscheinlich tuberkulösen
Ursprungs.
„ 1827 Zufällige Impfung mit Impfstoff:
(a) 2 oder 3 Tage nach der Infection.
(b) Eine Woche nach der Infection ;
am rechten unteren Lid ist
charakteristische Pockenbildung
zu sehen.
Zweiseitiger Mikrophthalmus mit ange-
borenem Ektropium und Koloboma
iris, und seröser Zyste des Augenlids.
„ 1828 (a) Ektropium verursacht durch Vernar-
bung des Unterhautzellgewebes
nach einer komplizierten Fraktur
des Jochbeines.
„ 1829 (b) Künstliches Ankyloblepharon als
Vorstadium zur plastischen Opera-
tion für Ektropium.
„ 1830 Narbiges Ektropium auf Lupus folgend.
„ 1831 Idem.
„ 1832 Chronisches Oedem der Lider, bei Gesichts-
lupus.
„ 1833 Oedem der Lider bei Rotlauf.
„ 1834 Akutes angioneurotisches Oedem.
„ 1835 Oedem des oberen Lides, nach der Entfer-
nung eines grossen Theiles der Maxilla
wegen Erkrankung der Kieferhöhle.

Ausgestellt von:

Herrn Dr. George
Mackay, Edinburg.

„

„

„

„

„

„

„

„

„

„

„

„

„

„

„

„

„

„

„

„

„

„

1836 Hypertrophie des oberen Lids:

(a) von aussen; (b) von innen.

1837 Kapillare Muttermale der Kopfhaut, der Lider, der Wangen und der Lippe eines Säuglings.

1838 Nävus-ähnliches Papillom.

1839 Angeborener Nävus des oberen Lids.

1840 Dermoidzyste.

1841 *Cystis sebacea* an dem Nasenende der Augenbraue.

1842 Spongiöse Exostose, verursacht durch einen Füsstritt.

1843 Luetische Infiltration des oberen Lids und des Augenhöhlendaches, eine Neubildung vortäuschend.

1844 Tuberkulöse Geschwulst des oberen Lides.

1845 Epitheliom des oberen Lides mit Wucherung der benachbarten Epidermis.

1846 *Ulcus rodens* mit Erfolg durch Karbolschnee behandelt.

1847 *Ulcus rodens*.

1848 Idem.

1849 Idem.

1850 (a) Ektropium verursachend.

1851 (b) Rezidiv und Verbreitung des Geschwür-Prozesses.

1852 *Ulcus rodens* mit Ausdehnung nach der Nasenwurzel.

1853 *Ulcus rodens* vor der Behandlung mit Radium.

1854 Tertiäreluetische Ulceration der Lider, Geschwürsprozesse an der Hornhaut und Vorfall der Iris (*leucoma adherens*) nach sich ziehend.

1855 Proptose verursacht durch traumatisches arterio-venöses Aneurysma.

1856 Künstliches Ankyloblepharon zur Erleichterung bei schwerem Exophthalmus mit Kropf.

1857 Augen nach rechts (a) und nach Links, (b) Eiterung der Stirnhöhle, die Augen nach unten und nach aussen verschiebend.

1858 Chronische Eiterung der Stirnbeinhöhle.

Ausgestellt von :

Herrn Dr. George
Mackay, Edinburg.

„

„

„

„

„

„

„

„

„

„

„

„

„

„

„

„

1859 Proptose verursacht durch Entzündung
des orbitalen Zellgewebes.1860 Proptose mit venöser Stauung, verursacht
durch Sarkom der Augenhöhle.

1861 Langsam wachsendes Sarkom.

1862 (a) Proptose verursacht durch Carcinom.
(b) Rezidiv 6 Monate nach der Ausschä-
lung.(c) Zurückbildung des Neubildung durch
einmonatliche Behandlung mit Rönt-
gen Strahlen.1863 Oberflächliche Verbrennung der Binde-
haut und Hornhaut mit gebranntem
Kalk.1864 Vernarbung der Bindehaut und Hornhaut-
nach Kalkverbrennungen.

1865 Bindehautblutungen bei Keuchhusten.

1866 Bindehautblutung in Resorption be-
griffen.1867 Lidentzündung und Conjunctivitis in
Verbindung mit Staphylokokkeninfek-
tion.1868 Milde Bindehautentzündung verursacht
durch Moraxsche Bazillen.(a) Conjunctivitis verursacht durch
Morax-Axenfeldsche Bazillen.

1869 (b) Die Bazillen in einem Strichpräparat.

1870 Blennorrhöa neonatorum.

1871 Blennorrhöa neonatorum; rechts *Staphy-*
loma corneae; links *leucoma corneae*.1872 (a) Totales *Staphyloma corneae* auf Blen-
norrhöa neonatorum folgend.

(b) Profilansicht des enuklierten Auges.

(c) Normale Grösse der gesunden Horn-
haut und Regenbogenhaut.1873 Leucoma adherens auf Blennorrhöa neo-
natorum folgend.

1874 Follikuläre Bindehautentzündung.

1875 Papilläre Bindehautentzündung, unbe-
kannten Ursprunges.Schläfriges Aussehens verursacht durch
Subakutes Trachom.

Ausgestellt von:

Herrn Dr. George
Mackay, Edinburg.

„

„

„

„

„

„

„

„

„

„

„

„

„

„

„

„

„

„

„

„

„

1876 (a) Akutes Trachom des oberen Lids.

(b) Idem des unteren Lids.

1877 (a) Narbiges Entropium und Trichiasis.

(b) Vernarbung und Pannus der Hornhaut bei dem selben Falle.

(c) Pannus bei dem selben Falle.

1878 Frühjahrskatarrh der Bindehaut der oberen Lider.

1879 Frühjahrskatarrh der Bindehaut des Limbus.

1880 Frühjahrskatarrh.

1881 (a) Parenchym-Xerose mit ziegenledeartiger Ausbreitung über die Hornhaut.

(b) Kleiner Teil der Hornhaut nicht von Membran bedeckt bei dem selben Falle.

1882 Symmetrische beiderseitige Pinguecula.

1883 Lipom der Hornhaut.

1884 Dermoidgeschwulst in dem Sklera-Corneal-Winkel.

1885 Dermoid-Wucherung der Bindehaut.

1886 Koloboma des oberen Lides.

1887 Dermoidgeschwulst der Bindehaut und Spuren von Koloboma des oberen Lides.

1888 Kleines angeborenes Pigmentpünckchen in der Ziliargegend der Hornhaut.

1889 Angeborene Verfärbung der Hornhaut, hauptsächlich oben und nach innen, über der Ziliargegend.

1890 Episklerale Verfärbung der Hornhaut.

1891 Melanose der Hornhaut als Vorstadium von melanotischem Sarkom.

1892 Argyrie, verursacht durch fortgesetzte Anwendung von Höllenstein.

1893 Bindehautzyste in der Ziliargegend.

1894 Hornhautzyste.

1895 Phlyctänuläre Conjunctivitis, mit Lupus der Nase und des oberen Lides.

1896 Lupus des oberen Lides und ausgedehnter Gesichts- und Nasenlupus.

1897 Blasse grosse Phlyctäne und *impetigo contagiosum* der Nase und des oberen Lides.

Ausgestellt von:

Herrn Dr. George
Mackay, Edinburg.

- 1898 (a) Zusammenschrumpung der Bindehaut; blasses verdicktes Epithel.
(b) Oberflächliche Ulceration des Gaumens.
(c) Aussehen des Auges nach einem akuten Anfall von purulenter Bindehautentzündung, kompliziert durch Hornhautbrand und Bildung eines Staphyloms.
- „ 1899 Bildung von Knötchen in der Bindehaut, mit gleichzeitiger, teilweiser Bildung des Arcus senilis,
- „ 1900 Panophthalmitis mit Vorsprung der Bindehaut, verursacht durch metastatische orbitale Thrombose pneumonischen Ursprunges.
- „ 1901 Wucherung der Bindehautfalte, verursacht durch fortgesetztes Tragen eines künstlichen Auges.
- „ 1902 Angeborenes Fädchen in der Vorderkammer wahrscheinlich epithelial.

Tuberkulöse undluetische Bindehaut- und Hornhautentzündung:

- „ 1903 Phlyctänuläre Conjunctivitis; grosse, einzelne Phlyctäne.
- „ 1904 Phlyctänuläre Keratitis und Conjunctivitis.
- „ 1905 Phlyctänuläre Conjunctivitis in eitrige Episkleritis und Keratitis übergehend.
- „ 1906 (a) Das Auge am 5. März, 1907, (b) am 29. März, 1907, und (c) am 5. Mai, 1908.
- „ 1907 Tiefes Geschwür verursacht durch eitrige Bindehautentzündung.
- „ 1908 Phlyctänuläre Conjunctivitis und tuberkulöse Keratitis.
- „ 1909 Tuberkulöse Rand-Keratitis mit Gefässbildung.
- „ 1910 Oberflächliche, tuberkulöse Keratitis mit Gefässbildung.
- „ 1911 Oberflächliches Hornhautgeschwür, zum Durchbruch und Vorfall der Regenbogenhaut führend; tuberkulöser Pannus.
- „ 1912 Hornhautgeschwür mit Hypopyon, wahrscheinlich tuberkulösen Ursprunges.

Ausgestellt von :

Herrn Dr. George
Mackay, Edinburg.

„

„

„

„

„

„

„

„

„

„

„

„

„

„

„

„

„

„

„

„

1913 Phlyctänuläre Episkleritis und Keratitis.

1914 Phlyctänuläre Episkleritis beider Augen.

1915 Phlyctänuläre Episkleritis.

1916 Phlyctänuläre Episkleritis und Keratitis.

1917 Rezidivierende phlyctänuläre Episkle-
ritis und Keratitis;

(a) am 18. Juni 1909, vor der Vac-
einbehandlung;

(b) am 31. Juli 1909, nach Einführung
der Behandlung.

1918 Episkleritis mit Knötchenbildung und
Keratitis.

1919 Hornhauttrübungen als Ueberbleibsel
von tuberkuläser Keratitis.

1920 Rezidivierende Episkleritis mit Knöt-
chenbildung.

1921 Episkleritis mit Knotchenbildung und
Keratitis.

1922 Idem (2 Bilder, vom 16. Nov. 1905, und
16. Feb. 1906).

1923 Diffuse Episkleritis beider Augen mit
Spuren von phlyctänulärer Infiltration.

1924 Episkleritis mit ausgedehnter lympha-
tischer Adenitis.

1925 Episkleritis mit ziemlich diffuser Ver-
dickung in Verbindung mit tuber-
kulöser Adenitis und mit Tuberkulose
der einen Lungenspitze.

1926 Grosses tuberkulöses Granulom, in Ver-
bindung mit ausgedehnter Tuberkulose
des Schulterblattes.

1927 Hartnäckige Ziliar - Gefässerweiterung,
ohne ausgesprochene Iritis; die
Opsoninbestimmung ergab einen hohen
Titer gegen Tuberkelbazillen (1,43).

1928 Tuberkulöse Kerato-Iritis mit Lym-
phablagerung in der Vorderkammer.

1929 Tuberkulöse Kerato-Iritis.

1930 Rezidivierende Episkleritis.

1931 Idem.

1932 Idem.

1933 Episkleritis.

Ausgestellt von:

Herrn Dr. George
Mackay, Edinburg.

- 1934 Rezidivierende phlyctänuläre Conjunctivitis und Keratitis.
- 1935 Rezidivierende interstitielle Keratitis.
- 1936 Interstitielle Keratitis mit gekerbten oberen und unteren Schneidezähnen.
- 1937 Interstitielle Keratitis :
(a) vergrössertes Bild, zur Illustration der verstopften Lymphbahnen und der diffusen interstitiellen Ablagerung ;
(b) Der selbe Fall, etwa einen Monat später.
- 1938 Ererbte luetische Keratitis, mit ausgesprochener *keratitis punctata profunda*.
- 1939 Interstitielle Keratitis mit rachitischen Zähnen.
- 1940 Idem mit gesunden Zähnen.
- 1941 Gekerbte obere Schneidezähne, mit entarteter Glasur, und kreiselförmigen oberen Eckzähnen bei einem Falle von schwerer interstitieller Keratitis.
- 1942 Interstitielle Keratitis rechts ; normale Zähne ; links hat sich die Keratitis zurückgebildet bis auf eine Lymphablagerung in der Vorderkammer, Synechieen und Linsentrübung.
- 1943 Unregelmässigerachitische Zähne.
- 1944 Rachitische und Hutchinsonsche Zähne, in Verbindung mit interstitieller Keratitis.
- 1945 Tiefe Keratitis.
- 1946 Iritis mit Synechieen, und drei Ablagerungsstellen in der Hornhaut.

Erkrankungen der Hornhaut.

- 1947 Keratoconus (a) en face (b) en profile.
- 1948 *Arcus senilis*.
- 1949 Stahlstückchen in der Hornhaut während 13 Monaten ; Infiltration und Siderose der Gewebe.
- 1950 Bleiablagerung in dem Hornhautepithel.
- 1951 Totales Staphylom, mit Buphthalmus.
- 1952 Totales Staphylom mit ausgesprochenem Pannus (traumatisch).

Ausgestellt von :

Herrn Dr. George
Mackay, Edinburg.

- | | |
|---|--|
| | 1953 Stich in den Hornhaut-Lederhaut-Rand, mit geringem Vorfall der Regenbogenhaut und Verschiebung der Pupille. |
| „ | 1954 <i>Endophthalmitis septica</i> auf eine Stichwunde folgend. |
| „ | 1955 Subepitheliale Blutung in die Hornhaut, mit Gefässreichtum des Limbus. |
| „ | 1956 Septisches traumatisches Geschwür der Hornhaut mit kleinem Hypopyon. |
| „ | 1957 Septisches Geschwür der Hornhaut mit Hypopyon und fibrinösem Exudat an der hinteren Fläche der Hornhaut. |
| „ | 1958 Tiefes septisches Geschwür der Hornhaut mit Hypopyon. |
| „ | 1959 Keratitis mit Gefässbildung. |
| „ | 1960 <i>Keratitis dendritica</i> ; nach 10 tägigem Bestehen, vor Einführung der Behandlung. |
| „ | 1961 Mooren'sches Geschwür. |
| „ | 1962 Idem, graue Trübung der zentralen Insel am Rand der Hornhaut. |
| „ | 1963 Geschwür am Rand der Hornhaut mit kleinem Regenbogenhautvorfall. |
| „ | 1964 Subepitheliale puncktförmige Ablagerung. |
| „ | 1965 Früheres Stadium eines ähnlichen Falles. |
| „ | 1966 Idem (a) normale Grösse (b) vergrössert. |
| „ | 1967 Scheibenartige Keratitis mit Bildung kleiner Bläschen, als Vorstadium zum Glaucom. |
| „ | 1968 Idem; erhöhter Druck. |

Erkrankungen der Regenbogenhaut und des Ziliarkörpers.

- | | |
|---|---|
| „ | 1969 Beiderseitige angeborene Aniridie mit eigenartigen Hornhauttrübungen (a) von ausser gesehen (b) ophthalmoskopisches Bild. |
| „ | 1970 Angeborene Polykorie. |
| „ | 1971 Persistierendes Capsulo-Pupillarmembran (a) Hypertrophie des Ziliarprozesses, mit geschrumpfter Staarlinse und <i>heterochromia iridium</i> (b) Erweiterte Pupille (c) vergrössertes Bild. |

Ausgestellt von :

Herrn Dr. George
Mackay, Edinburg.

1972 Hypertropie des Ziliarprozesses mit Schrumpfung der trüben Linse.

„ 1973 Luetische Iritis, mit gummösen Knötchen in der Pupillen Gegend.

„ 1974 Gummöse luetische Iritis mit sanduhrförmiger Pupille während der Mydriase.

„ 1975 Sklero-Iritis, luetischen Ursprunges, in Verbindung mit einer leichten traumatischen Keratitis.

„ 1976 Iritis mit knotenförmiger Infiltration und Verdickung des Sphinkters.

„ 1977 *Keratitis punctata profunda*.

„ 1978 Iridocyclitis mit *keratitis punctata profunda* bei einem Albino.

„ 1979 Iridocyclitis mit *keratitis punctata profunda*; zahlreiche hintere Synechieen; Iredektome an beiden Augen.

„ 1980 Iridocyclitis mit *keratitis punctata profunda*, wahrscheinlich tuberkulösen Ursprungs.

„ 1981 Frische *keratitis punctata profunda* und Entartung der Hornhaut, Iris und Linse, trotz auf Iridocyclitis folgender Iredektomie.

„ 1982 Iridocyclitis mit *keratitis punctata profunda*, (a) bei der Aufnahme, (b) nach einem leichten Rezidiv.

„ 1983 Tuberkulöse Iridocyclitis mit grosser plastischer Ablagerung in der Vorderkammer.

„ 1984 Tuberkulöse Iridocyclitis und Keratitis punktata, mit grossem tuberkulösen Knötchen in der Vorderkammer.

Einige Folgen von Iritis.

„ 1985 Exklusion der Pupille nach Iridocyclitis mit begrenzter Bildung von *iris bombé*, eine melanotische Neubildung vor-täuschend.

„ 1986 (a) Einfache Erweiterung, vermittels Trans-illumination gesehen, (b) *iris bombé*, durch Iredektomie erleichtert.

Ausgestellt von :

Herrn Dr. George
Mackay, Edinburg.

- 1987 (a) Exklusion, Okklusion und Verschiebung der Pupille mit vorderen Synechieen, auf tuberkulöse Kerato Iritis folgend. Narbiges Ektropium des unteren Lides, vermittels van Milligen'scher Operation beseitigt.
- 1988 (b) Aussehen des Auges nach Iridektomie, Discission und linealer Extraktion der Linse.
- „ 1989 Atrophie der Iris verursacht durch interstitielle Kerato-Iritis; (a) mit gewöhnlicher Beleuchtung und, (b) mit Transillumination.
- „ 1990 Beide Augen wurden 1870 für hintere Synechieen durch Iridektomie nach oben behandelt.

Beschädigungen der Iris.

- „ 1991 Zerrissene Wunde der Bindehaut und traumatische Zerreiſung des *sphincter iridis*.
- „ 1992 Wunde in der Ziliargegend mit Vorfall der Iris und Ziliarkörper, Hyphäma und Verschiebung der Pupille.
- „ 1993 Wunde in der Lederhaut mit Retroversion und Vorfall der Iris; Knötchen in der verdickten Bindehaut.
- „ 1994 Traumatische Retroversion der Iris und Luxation der Linse.
- „ 1995 Traumatische Iridoplegie mit Iritis und Blutung in den Glaskörper und in die Netzhaut.
- „ 1996 Lineale Narbe in der Hornhaut, geschrumpfter Cataract und Iris-zyste, verursacht durch perforierende Wunde.

Glaucomfälle.

- „ 1997 Chronisches Glaucom.
- „ 1998 Idem beider Augen.
- „ 1999 Subakutes Glaucom mit unregelmässiger Lähmung beider *sphincter iridis*.
- „ 2000 Idem.
- „ 2001 Totales Glaucom mit orbitaler Entzündung.

Ausgestellt von :

Herrn Dr. George
Mackay, Edinburg.

2002 Trepanation an dem Corneo-Sklerar and verbunden mit Iridektomie zur Behandlung von Glaucom; cystenartige Narbe.

2003 Idem.

2004 Beiderseitiger Buphthalmus, das linke Auge vermittels Trepanation an dem Corneo-Sklerarand und Iridektomie behandelt.

Intraokuläre Geschwulste.

2005 Melanotisches Sarkom (a) äusseres Bild (b) Pupille mit Ophthalmoskop besichtigt; (c) und (d) Idem.

2006 Leukosarkom der Iris und Ziliarkörper (a) Vorderansicht; (b) Auge nach aussen gerichtet.

2007 Melanotisches Sarkom, die Sklera und die Ziliargegend perforierend (a) äusseres Bild mit Auge nach unten gerichtet; (b) obere Hälfte des Auges von unten besichtigt.

2008 Melanotisches Ringsarkom der Iris und des Ziliarkörpers (a) Sarkom der Bindehaut, in der Sklera rezidivierend; (b) Sarkom der Bindehaut zwischen der Hornhaut und der *plicae semilunaris*; Bindehautgeschwulst exzidiert; (c) Idem; Rezidiv im unteren Teil des Auges.

2009 *Gliom retinae*.

2010 Der selbe Fall (a) äusseres Bild; (b) untere Hälfte des Auges nach der Enukleation und Bisektion; (c) vergrössert.

2011 Pseudogliom der Netzhaut.

2012 *Phthisis bulbi* mit fortschreitender Entartung der Hornhaut verursacht durch Pseudogliom.

Staar.

2013 Symmetrischer angeborener Schichtstaar (a) bei der Aufnahme; (b) Ansicht der Linse mit schräger fokaler Beleuchtung; (c) ophthalmoskopisches Bild; (d) Luxation des Linsenkernes in der Vorderkammer, nach der Nadeloperation.

Ausgestellt von :

Herrn Dr. George
Mackay, Edinburg

,,

,,

,,

2014 Traumatischer Staar mit Siderose.

2015 Diffuser Staar.

2016 Angeborene Luxation nach innen beider Linsen.

2017 Doppelter Staar bei einem Terrier, mit Luxation beider Linsen in den Vorderkammern.

Serie von Lumière Photographieen von :

Herrn Dr. A. Maitland
Ramsay, Glasgow.

,,

,,

,,

,,

,,

,,

,,

,,

,,

,,

,,

,,

,,

,,

,,

,,

,,

,,

,,

,,

,,

,,

,,

,,

,,

,,

,,

,,

,,

2018 Sarcom der Tranendrüse.

2019 Blenorrhoea des Tranensackes.

2020 Ranblepharitis (vorgeschritten).

2021 Chalazion.

2022 Seniles Ektropion mit Geschwür der Hornhaut.

2023 Spasmodisches Ektropion.

2024 Epitheliom des linken inneren Canthus.

2025 Ekkymose der Lider und der Bindehaut.

2026 Keloid der Augenlider, auf Masern folgend.

2027 *Ophthalmia neonatorum*.

2028 Folgen von *Ophthalmia neonatorum*.

2029 Trachom mit Pannus.

2030 Pneumokokken-Geschwür der Hornhaut

2031 Vordere Staphylom der Hornhaut, nach Ulzeration bei einem tuberkulösen Kind.

2032 Tuberkulöse interstitielle Keratitis.

2033 Syphilitische interstitielle Keratitis.

2034 Tuberkulöse Ulceration der Lederhaut.

2035 Luetische Iritis.

2036 Penetrierende Wunde der Hornhaut, mit Vorfall der Regenbogenhaut

2037 Eiterende Zyklitis, auf eine Wunde folgend.

2038 Staar an beiden Augen.

2039 Zweiseitige, Buphthalmus.

2040 Filtrierende Narbe nach Elliotscher Trepanation.

2041 Exsudative *choroiditis*; Pseudo-gliom.

2042

Ausgestellt von :

Herrn Prof. Dr.
Lapersonne, Paris.

Autochrom-Photographien von :

- | | |
|------|---|
| 2043 | Iridozyklitis bei Lepra. |
| 2044 | Lepra der Augenlider und des Gesichtes. |
| 2045 | Skleritis und Staphylom bei Lepra |
| 2046 | Interstitielle Keratitis bei Lepra. |
| 2047 | Keratoglobus. |
| 2048 | Hydrophthamie. |
| 2049 | Idem. |
| 2050 | Naevus des Lides. |
| 2051 | Hypopyon mit Geschwärbildung. |
| 2052 | Angeborene Ptosis. |
| 2053 | Epitheliom des äußeren Winkels. |
| 2054 | Epitheliom (Keratoglobus). |
| 2055 | Idem, des inneren Winkels. |
| 2056 | Idem, mit Radium bestrahlt. |
| 2057 | Angiom der Bindehaut. |
| 2058 | Idem. |
| 2059 | Melanotisches Sarcom des Auges. |
| 2060 | Idem. |
| 2061 | Sarcom-Teleangektasen des Auges. |
| 2062 | Cylindrom des Auges. |
| 2063 | Meningitis optica, auf den Arachnoid
übergehend. |
| 2064 | Idem, den Nerv angreifend. |
| 2065 | Meningeale Lymphabsonderung. |
| 2066 | Papillon des Karunkels. |
| 2067 | Traumatisches Emphysem. |
| 2068 | Traumatisches Hämatom. |
| 2069 | Idem, bei der Resorption. |
| 2070 | Syphilid der Tränendrüsen region. |
| 2071 | Mischtumor der Tränendrüse. |
| 2072 | Mischtumor. |
| 2073 | Idem, Knoten in dem Knorpel. |
| 2074 | Idem, der Höhle. |
| 2075 | Sporotrichose. |
| 2076 | Idem Infiltration des Ziliarkörpers. |
| 2077 | Idem, Sporen. |
| 2078 | Idem ; Knoten im Kanninchenauge. |

Ausgestellt von :

- | | |
|---|--|
| Herrn Dr. J. V.
Paterson, Edinburg. | 2079 Mikroskopisches Präparat zur Illustration des Wachstums von Epithel in den Vorderkammer nach Operation. |
| „ | 2080 Idem. |
| „ | 2081 Idem. |
| „ | 2082 Zeichnung des selben. |
| „ | 2083 Carcinom-metastase der Aberhaut. |
| „ | 2084 Mikroskopische Präparate der selben. |
| „ | 2085 Zeichnungen der selben. |
| Herrn Dr. Priestley
Smith, Birmingham. | 2086 Album von Photographieen von Augen die in folge von Glaukom verschiedener Formen, verloren gegangen sind. |
| „ | 2087 Serie von Augen-präparaten, zur Illustration von Montierungsmethoden. |
| Herrn Prof. Dr. Salzer. | 2088 Serie von Lichtbildern (unretuschierte Mikrophotographien) die Heilung von zentralen perforierenden Schnittwunden Hornhaut bei Salamander, Frosch, Forelle, Taube, Huhn, und Meerschweinchen darstellend. |
| „ | 2089 Serie von mikroskopischen Präparaten derselben. |
| „ | 2090 Mappe mit Aquarellen und Photographien, die den Regenerations-process an der Hornhaut des Kaninchens darstellen. |
| „ | 2091 Schematische Tafel den Regenerations-process darstellend. |
| „ | 2092 Idem. |
| Herrn Dr. John E.
Weeks, Neuyork. | 2093 Menschlicher Koof, für die Demonstration von Augen und Augenlider Operationen. |
| Herrn von Dr. Greeff, | 2094 Eine neue Methode Augenschnitte zu konservieren (siehe Seite). |

Farbenwahrnehmung u.s.w.

- | | |
|--|--|
| Herrn Dr. Edridge
Green, London. | 2095 Laterne zur Prüfung des Farbensinnes. |
| „ | 2096 Taschenprobe für Farbenblindheit. |
| „ | 2097 Taschen - Klassifikations - Prüfungsmethode. |
| „ | 2098 Woll-Klassifikations-Prüfungsmethode. |
| Herrn Dr. N. Bishop
Harman, London. | 2099 Diaphragma-Prüfung des binoculären Gesichtes. |

Ausgestellt von :

- | | | |
|--|------|---|
| Herrn Dr. A. Schanz,
Dresden. | 2100 | Hpparat zur Beobachtung der Fluores-
cenz am eigenen Auge. |
| „ | 2101 | Spektrophotometrische Untersuchungen
über den Gehalt des Lichtes an nicht
direkt sichtbaren strahlen. |
| „ | 2102 | Untersuchungen über Augenschutzglaser
gegenüber ihes Durchlässigkeit für
nicht direkt sichtbare Strahlen. |
| Herrn Sanitätsrat Dr. A.
Schanz, Dresden. | 2103 | Amundsen's Schneebrille aus Euphos-
glas. |
| „ | 2104 | Augenschutzgläser gegen die Wirkung
der nicht direkt sichtbaren Strahlen
der künstlichen Lichtquellen. |
| Herrn Privatdozent Dr.
B. Cords, Bonn. | 2105 | Apparat zur Messung des Einflusses der
parallaktischen Verschiebung auf die
monokuläre Tiefwahrnehmung. |
| „ | 2106 | Kurve zur Erläuterung des Apparates.
<i>Varia.</i> |
| Herrn Dr. N. Bishop
Harman, London. | 2107 | Photometer für die Bestimmung der
Beluechtung in Schulen. |
| „ | 2108 | Photographieen einer Klasse für kurz-
sichtige Kinder. |
| Herrn Dr. R. Colomb, | 2109 | Drei künstliche Augen von Gambella,
1875-76 und 77 getragen. |
| „ | 2110 | Zwei 1908 zu Jullundur (Indien) aus
Kieselglas und Elfenbein angefertigte,
künstliche Augen. Sie stimmen
vollkommen mit der Beschreibung die
die 1579 von Ambroise Paréugegen ist |

SEKTION X.—Kinderkrankheiten.

I.—POLIOMYELITIS.

Ausgestellt von :

- | | | |
|-------------------------------------|---------|--|
| Herrn Dr. S. A. Wilson, London. | K. 2111 | Objekte zur Illustration der experimentellen Pathologie der Poliomyelitis. |
| „ | 2112 | Objekte zur Illustration der Pathologie der Poliomyelitis. |
| „ | 2113 | Objekte zur Illustration der Epidemiologie der Poliomyelitis. |
| Herrn Dr. Arthur Newsholme, London. | 2114 | Drei Karten zur Illustration der Häufigkeit der Poliomyelitis in England und Wales seit der Einführung der Anmeldepflicht. |

2.—TUBERKULOSE BEI KINDERN.

- | | | |
|-------------------------------|------|--|
| Herrn Dr. D. B. Lees, London. | 2115 | Diagramm, die Verteilung der gedämpften Stellen der Lungen bei beginnender Lungentuberkulose zeigend. |
| „ | 2116 | Tafel, die Grösse der gedämpften durch Perkussion entdeckten Stellen bei beginnender Lungentuberkulose zeigend. |
| „ | 2117 | Eine gleiche Tabelle. |
| „ | 2118 | Eine gleiche Tabelle. |
| „ | 2119 | Eine gleiche Tabelle. |
| „ | 2120 | Eine gleiche Tabelle. |
| „ | 2121 | Eine gleiche Tabelle. |
| „ | 2122 | Tafel die Vergrösserung der gedämpften Bezirke während eines leichten Rezidivs, mit nachfolgender Verkleinerung zeigend. |
| „ | 2123 | Tafel die Grösse der gedämpften Stellen bei einem vorgeschrittenen Falle von Lungentuberkulose zeigend. |
| „ | 2124 | Röntgenaufnahme eines Kindes; vermittels Perkussion stellte man das Vorhandensein von abgeheilten und noch bestehender Tuberkulose der Bronchialdrüsen fest. |
| „ | 2125 | Eine gleiche Aufnahme. |
| „ | 2126 | Eine weitere Aufnahme. |

Ausgestellt von:

Herrn Dr. D. B. Lees, 2127 Serie von Aquarellen zur Illustration der Art und Lage der tuberkulösen Herde in den Rachenmandeln bei Tuberkulose der Zervikaldrüsen der Kinder.
London.

„ 2128 Serie von Mikrophotographien zur Illustration der tuberkulösen und anderartiger Läsionen der Rachenmandel bei Kindern.

Serie von Photographien zur Illustration von:

„ 2129 Perlsuchtbazillen in primärer Kultur und Subkultur auf Dorsetschem Eiernährboden.

„ 2130 Tuberkelbazillen, *typus humanus*, in primärer und Sub-Kultur auf Dorsetschem Eiernährboden.

„ 2131 Läsionen in den Lungen von Kanninchen hervorgerufen durch intravenöse Einspritzung von Perlsucht—und menschlichen Tuberkelbazillen; Virulenz-Prüfung.

„ 2132 Primäre und Sub-Kulturen der Perlsucht und Tuberkelbazillen auf Dorsetschem Eiernährboden.

Zur Illustration der verschiedenen Typen der künstlich bei Kanninchen hervorgerufenen Tuberkulose.

Herrn Dr. Leonard 2133 Meerschweinchenlunge mit spontaner Anthrakose.
Findlay, Glasgow.

„ 2134 Kanninchenlunge mit spontaner Anthrakose.

„ 2135 Inhalationstuberkulose bei einem Kanninchen, Zerstäubung von Perlsucht-bazillen 31 Tage vorher.

„ 2136 Idem; Zerstäubung 17 Tage vorher.

„ 2137 Idem; Zerstäubung von menschlichen Tuberkelbazillen.

„ 2138 Experimentelle Tuberkulose bei einem Kanninchen; Einführung von Perlsucht-bazillen mittels Spritze durch eine Gastrostomiewunde in den Magen.

„ 2139 Fütterungstuberkulose bei einem Kanninchen. Perlsucht-bazillen 60 Tage lang gegeben.

Ausgestellt von :

- | | | |
|--|------|--|
| Herrn. Dr. Leonard Findlay, Glasgow. | 2140 | Idem. 63 Tage lang mit Perlsucht-bazillen gefüttert. |
| „ | 2141 | Idem; einmalige Fütterung mit Perlsuchtbazillen 73 Tage vorher. |
| „ | 2142 | Idem; 60 Tage lang mit Perlsuchtbazillen gefüttert. |
| „ | 2143 | Idem; einmalige Fütterung mit menschlichen Tuberkelbazillen. |
| „ | 2144 | Pseudotuberkulose, bei einem Känninchen. |
| „ | 2145 | Idem. |
| | | <i>Mikroskopische-Präparate :</i> |
| „ | 2146 | Tuberkulöses Knötchen in der Lunge eines Känninchen. |
| „ | 2147 | Idem; (Bazillen-Färbung). |
| „ | 2148 | Pseudotuberkulöses Knötchen in der Lunge eines Meerschweinchens. |
| „ | 2149 | Strich der Milz bei Pseudotuberkulose, Bazillen zeigend. |
| „ | 2150 | Strichpräparat von einer Pseudotuberkulose-Kultur. |
| „ | 2151 | Tuberkulöses Geschwür der <i>conniventis valv.</i> bei einem Känninchen. |
| „ | 2152 | Idem, gefärbt um die Bazillen sichtbar zu machen. |
| „ | 2153 | Aquarelle zur Illustration der Läsionen der experimentellen Tuberkulose bei Känninchen hervorgerufen durch Fütterung mit Tuberkelbazillen. |
| Herrn Dr. Siegfried Weiss, Wien. | 2156 | Wachsmo-
dell des Wangenphänomen bei
infantilem Skorbut (Möller-Bar-
lowsche Krankheit). |
| “Hospital for Sick Child-
dren.”
(Kinderkrankenhaus),
London. | 2157 | Tuberkulose bei Kindern. |

SEKTION XI. und XII.—Neuropathologie und Psychologie.

Serie von Uebersichtsschnitten (Markscheidenfärbung) durch die Gehirn Apraktischer und Aphasischer.

(Hergestellt im Laboratorium der Dalldorfer Irrenanstalt und des Neurobiologischen Institutes der Universität.)

Ausgestellt von:

- | | | | |
|-----------------|----|------|---|
| Herrn Prof. Dr. | H. | 2158 | Frontalschnitt durch das Gehirn von einseitig Apraktischen; links, frischer Herd im Stirnhirn, Mark von F2 und F3; völlige Zerstörung des Balkens. |
| „ | „ | 2159 | Idem; rechts Herd in der inneren Kapsel. |
| „ | „ | 2160 | Der selbe Fall; völlige Zerstörung des Balkens. |
| „ | „ | 2161 | Der selbe Fall; links grosser Herd im Scheitellappen, völlige Zerstörung des Balkens. |
| „ | „ | 2162 | Idem. |
| „ | „ | 2163 | Idem. |
| „ | „ | 2164 | Idem. |
| „ | „ | 2165 | Der selbe Fall; links, grosser Herd im Scheitellappen; erhaltenes Splenium. |
| „ | „ | 2166 | Horizontalschnitt durch das Gehirn eines beiderseits Dyspraktischen, mit partiell zurückgebildeter sensorischer Aphasie und Erschwerung der Wortfindung. Alter Herd im linken Scheitelschläfenlappen; frischer Herd vorn links im Balken. |
| „ | „ | 2167 | Idem. |
| „ | „ | 2168 | Idem. |
| „ | „ | 2169 | Idem. |
| „ | „ | 2170 | Verstopfung beider hinterer Zweige der <i>arteria cerebri anterior</i> (links); Erweichung der linken Balkenhälfte und medialster Hemisphärenpartien. Linkseitige Dyspraxie. |
| „ | „ | 2171 | Idem. |
| „ | „ | 2172 | Idem. |
| „ | „ | 2173 | Idem. |

Ausgestellt von :

- Herrn. Prof. Dr. H. 2174 Tumor des Balkens und medialster
Liepmann, Berlin. Stirnhirnpartien ; zu linkseitiger
Dyspraxie führend.
- „ 2175 Idem.
- „ 2176 Idem.
- „ 2177 Tumor des Balkens, der medialen Stirn-
partien und des *Centrums semiovale*
der Centralregion, zu linkseitiger
Dyspraxie führend.
- „ 2178 Idem.
- „ 2179 Abnorm verdünnter Balken und Ventri-
kelerweiterung, zu linkseitiger Dys-
praxie führend; rechtseitige Hemiplegie
durch einen Herd der „Linsenkern-
zone.“
- „ 2180 Normales Präparat zum Vergleich.
- „ 2181 Horizontalschnitt; grosser Herd in den
Centralwindungen und anliegendem
Mark; rechtseitige Hemiplegie und
und linkseitige Dyspraxie.
- „ 2182 Idem.
- „ 2183 Idem.
- „ 2184 Idem.
- „ 2185 Der selbe Fall.
- „ 2186 Idem ; kleines Herdchen im Hinter-
hauptlappen.
- „ 2187 Hirn einer Linkserin; ausgedehnte
Zerstörung der ganzen Sprach- und
Praxie-region; vorn Balkenherd; voll-
kommene Alexie und Agraphie; erhe-
bliche Störung der Expressivsprache,
besonders der Wortfindung; schwere
Apraxie links, rechts Lähmung.
- „ 2188 Idem.
- „ 2189 Idem.
- „ 2190 Frontalschnitt durch das Gehirn Aphasi-
scher; persistente motorische Aphasie
mit Störungen der Schriftsprache;
Zerstörung der dritten linken Stirn-
windung; Linsenkernzone fast ganz
intakt; Wernicke'sche Zone ganz
intakt.
- „ 2191 Idem.
- „ 2192 Idem.

Ausgestellt von :

- Herrn Prof. Dr. H. 2193 Persistente motorische Aphasie bei Intaktheit der Linsenkernzone. Der Herd zerstört 2. Stirnwindung und *operculum Rolandi*, lädiert die Broca'sche Stelle.
- „ 2194 Idem.
- „ 2195 Idem.
- „ 2196 Idem.
- „ 2197 Horizontalschnitt durch die linke Hemisphäre, schwere sehr alte (fast 30 Jahre alte) Zerstörung eines Teiles der Broca'schen Windung, des *operculum Rolandi*, der ganzen Inselrinde, der *capsula extrema* und der Wernicke'schen Gegend; die anfänglich schwere Aphasie hat sich zurückgebildet bis auf einen leichten Sprach defekt.
- „ 2198 Idem.
- „ 2199 Idem.
- „ 2200 Idem.
- „ 2201 Frontalschnitt durch das Gehirn mit Herden der Linsenkernregion; Ausläufer nach oben in das Mark von F_3 und von *operculum Rolandi* und auf hinteren Ebenen nach unten in das Mark des Schläferlappens, die Hörstrahlung durchschneidend; motorische Aphasie und Worttaubheit.
- „ 2202 Idem.
- „ 2203 Idem.
- „ 2204 Idem.
- „ 2205 Ein ähnlicher Fall; Herd in der Linsenkernzone nicht ganz so weit nach vorn und nach oben; erschwerte Artikulation und sehr erschwerte Wortfindung; Wortverständniss nur leicht gestört.
- „ 2206 Idem.
- „ 2207 Ein ähnlicher Fall; Herd der Linsenkernzone nicht so weit nach oben in das Mark, noch so weit hinten unten; nach zwei Monaten restituierte Sprache.
- „ 2208 Idem.
- „ 2209 Idem.
- „ 2210 Idem.

Ausgestellt von:

- | | | |
|---------------------------------------|------|--|
| Herrn. Prof. Dr. H. Liepmann, Berlin. | 2211 | Völlige Anarthrie, Aphagie und corticale Taubheit; links das ganze <i>operculum Rolandi parietale</i> und hinterer Teil des <i>operculum frontale</i> , nebst Inselrinde zerstört; <i>gyri temporalis profundi</i> zerstört; <i>temporalis superior</i> , zum grössten Teil erhalten. Rechts <i>operculum Rolandi</i> erheblich lädiert; Linsenkern und Insel schwer lädiert; vorderster Teil des hinteren Schenkels und vordere Schenkel der inneren Kapsel, <i>gyri temporalis profundi</i> und <i>temporalis superior</i> zerstört. |
| „ | 2212 | Idem. |
| „ | 2213 | Idem. |
| „ | 2214 | Mittelschwere Dysarthrie und Dysphagie, scheinbar nur durch rechtsseitigen Herd im <i>operculum Rolandi</i> und <i>frontale</i> ; die Einseitigkeit des Herdes war nur scheinbar; angeborene Hypoplasie des linken <i>operculum Rolandi</i> . |
| „ | 2215 | Idem. |
| Herrn Dr. Holtby, Dublin. | 2216 | Symmetrische Porencephalie der Schläfenregion. |
| Herrn Dr. William Brown, London. | 2217 | McDougall'scher Apparat zur Messung der Merkfähigkeit und der Ermüdung. |
| „ | 2218 | Psychogalvanischer Apparat. |
| „ | 2219 | Psychogalvanische Reaktion. |
| „ | 2220 | Ergebnisse der Psychoanalyse. |

SEKTION XIV.—Urologie.

I.—ERKRANKUNGEN DER PROSTATA.

*Ausgestellt von :*Herrn Dr. Freyer.
London.2220A Serie von Präparaten von pathologischen
Veränderungen der Prostata.

ANATOMISCHES.

Herrn Dr. Henry
Wade, Edinburg.

- 2221 (1) Median-sagital Schnitt durch das Becken eines neugeborenen Kindes; männlich.
- „ (2) Horizontaler Schnitt durch das Becken eines neugeborenen Kindes zur Illustration der Scheide der Prostata.
- „ (3) Idem.
- „ (4) Idem, denn *sphincter vesiculae externa* zeigend.
- „ (5) Horizontaler Schnitt der Prostata eines Erwachsenen. Die Kapsel, die Scheide und die Beziehung der Blutgefäße zueinander zeigend.
- „ (6) Idem, Denonvillier'schen Raum und vordere Kommissur zeigend.
- „ (7) Horizontal Schnitt der Prostata eines jungen Mannes.
- „ (8) Medial-sagittal-schnitt durch die Blase, die Prostata und das Rektum, die anatomischen Verhältnisse zeigend.
- „ (9) Vertikalschnitt der Prostata eines ausgewachsenen Mannes die Muskeln der Prostata U.S.W. zeigend.
- „ (10) Horizontalschnitt des oberen Endes der Prostata eines ausgewachsenen Mannes.
- „ (11) Schnitt durch die Rekto-uretral-muskel.

PATHOLOGISCHES.

A.—*Chronische lobulare Prostatitis.*

- „ (12) Medialschnitt, die Erkrankung des mittleren Lappens zeigend.

Ausgestellt von:
Herrn Dr. Henry
Wade, Edinburg.

- „ (13) Horizontalschnitt der Prostata; chronische Veränderungen; falsche Kapsel und Begrenzungslinie zeigend
- „ (14) Idem, die Beziehungen der Blutgefäße zu der falschen Kapsel zeigend.
- „ (15) Vertikalschnitt; ausgesprochene Hypertrophie und Verschiebung des Sphinkters.
- „ (16) Horizontalschnitt.
- „ (17) Medianschnitt; Hypertrophie des vorderen Lappens.
- „ (18) Horizontalschnitt; totale Enukleation vermittelt suprapubischer Prostatektomie.
- „ (19) Idem; Fibro-myom Knoten.
- „ (20) Horizontalschnitt; totale Enukleation.
- „ (21) Idem.

B.—Chronische interstitielle Prostatitis. (Fibrosis).

- „ (22) Horizontalschnitt durch die Prostata und das Rektum, die Struktur der Drüse und Scheide zeigend.
- „ (23) Medianschnitt; den mittleren Teil zeigend.

C.—Carcinom der Prostata.

- „ (24) Horizontalschnitt der Prostata mit vorgeschrittenem Carcinom.
- „ (25) Idem.
- „ (26) Horizontalschnitt der Prostata; Carcinom und chronische interstitielle Prostatitis; totale suprapubische Prostatektomie.
- „ (27) Zwei Lappen operativ entfernt bis wegen chronischer interstitieller
- (28) Prostatitis des einen und chronischer Prostatitis und Carcinom des anderen Lappens.
- „ (29) Horizontalschnitt: Scirrhuscarcinom der Prostata; totale Enukleatin.
- „ (30) Horizontalschnitt: Medullärcarcinom der Prostata.

Ausgestellt von :
Herrn Dr. Henry
Wade, Edinburg.

- (31) Horizontalschnitt des Lappens :
Carcinom.
(32) Schnitte von Carcinomteilen operativ entfernt.

PROSTATECTOMIA SUPRAPUBICA

A.—*Horizontalschnitte.*

- „ (33) Totale Enukleation; die diffuse Varietät von chronischer lobulärer Prostatitis zeigend.
„ (34) Idem, ohne Hypertrophie.
„ (35) Idem, mit partieller Konservierung des Harnrohres.
„ (36) Idem.
„ (37) Idem, mit Konservierung des Harnrohres.
„ (38) Idem.
„ (39) Lobuläre Enukleation.

B. — *Schnitte des Prostatenbettes, bei tödlich verlaufenen Fällen von der Prostatektomie.*

- „ (40) Horizontalschnitt des Blasengrundes.
„ (41) Horizontalschnitt des Prostatabettes und Rektums, die falsche Kapsel an der Seite zerrissen.
(42) Schnitt des selbe Präparates weiter nach unten.
„ (43) Schnitt des selben Präparates, die falsche Kapsel und der *ductus ejaculatoris* erhalten.
(44) Sagittalschnitt des unteren Endes des Prostatabettes.
„ (45) Medianschnitt des unteren Teiles des Prostatabettes, mit Erhaltung des Spinkters; septische Thrombose.
„ (46) Sagittalschnitt des unteren Teiles des Prostatabettes und des Rektums.
„ (47) Schnitt der einen Wand, die falsche Kapsel und die Blutgefäße zeigend.
(48) Sagittalschnitt des Prostatabettes nach totaler Prostektomie.
(49) Medianschnitt der bei der Operation entfernten Teile (des selben Falles).

Ausgestellt von :
Herrn Dr. Henry
Wade, Edinburg.

(50) Sagittalschnitt des Prostatabettes;
Überbleibsel von erkranktem Gewebe
an der falschen Kapsel anhaftend.

II.—TUBERCULOSE.

Herrn Dr. David
Newman, Glasgow.

Zeichnungen zur Illustration des kystoskopischen Bildes bei früher Tuberkulose der Blase und Niere.

„ 2222 Primärtuberkulose des oberen Pols der linken Niere, die Ureteröffnung zeigend.

2223 Kystoskopisches Bild von früher Tuberkulose der linken Niere und des Nierenbeckens.

2224 Primärtuberkulose der linken Niere, die Harnleitermündung zeigend.

2225 Nierentuberkulose; die Harnleiter-
mündung zeigend.

2226 Primärtuberkulose der rechten Niere.

2227 Frühe tuberkulose der linken Niere.

2228 Primäre tuberkulose Cystitis; Oedem der Mukosa.

2229 Idem, Hyperämie.

2230 Idem, minimale Knötchen unter dem Epithel der Mukosa zeigend

„ 2231 Idem, unregelmässige Herde zeigend.

2232 Idem, Geschwürbildung zeigend.

2233 Idem, Geschwür mit Trabekeln.

2234 Idem, mit submukösen Ablagerungen.

Herrn Dr. Thomson
Walker, London.

2235 Serie von Zeichnungen zur Illustration
der verschiedenen Stadien und Typen
der Nierentuberkulose.

2236 Nierentuberkulose.

Herrn Dr. Matthew J.
Stewart, Leeds.

2237 Niere eines Falles von chronischer lymphatischer Leukämie; ausgesprochene fettige Veränderungen und Blutungen in dem Becken und dem Sinus.

2238 Niere die von dem Becken abstrebende
Ausbreitung von Krebs zeigend.

Ausgestellt von :

Serie von Präparaten mit Beck'scher Bismuthpasta prall gefüllt, zur Illustration des Gangsystems der menschlichen Samenblase.

- | | |
|---------------------------------------|--|
| Herrn Dr. Rudolf
Picker, Budapest. | 2239 Samenblase mit einfachen geraden
Röhren ; Gruppe A. |
| „ | 2240 Samenblase mit dicken, gewundenen
Schläuchen ; (Gruppe B). |
| „ | 2241 Idem. |
| „ | 2242 Idem. |
| „ | 2243 Idem. |
| „ | 2244 Idem. |
| „ | 2245 Idem. |
| „ | 2246 Idem. |
| „ | 2247 Idem. |
| „ | 2248 Samenblase mit dünnen gewundenen
Röhren ; (Gruppe B). |
| „ | 2249 Idem, mit typische Gangen. |
| „ | 2250 Idem. |
| „ | 2251 Idem, mit U-förmigem Verlauf rechts. |
| „ | 2252 Samenblase mit geradem oder gewun-
denem Hauptgang und grösseren
aufsitzenden Divertikeln ; (Gruppe D). |
| „ | 2253 Samenblase mit T-förmigem Hauptgang. |
| „ | 2254 Idem ; zur Illustration der Differenz
zwischen der rechten und der linken
Seite. |
| „ | 2255 Idem ; stark gewundene Röhren. |
| „ | 2256 Idem ; geringe Länge des Hauptganges
und verhältnissmässig geringes Volu-
men. |
| „ | 2257 Samenblase mit kurzem Hauptgang und
grossen, verästeten Nebengängen.
Gruppe E. |
| „ | 2258 Idem. |
| „ | 2259 Idem. |
| „ | 2260 Idem. |
| „ | 2261 Idem. |
| „ | 2262 Idem. |
| „ | 2263 Idem. |
| „ | 2264 Idem. |

Ausgestellt von :
Herrn Dr. Picker,
Budapest.

- | | |
|---------------------------------------|---|
| | 2265 Samenblase mit verschlossmen <i>Duktus deferentes</i> . |
| „ | 2266 Samenblase; das Präparat zeigt Pyelitis, Narben in Nebenhoden und vergrößerte Cowperdrüse. |
| „ | 2267 Rudimentäre Samenblase mit dünnen schmalen Ampullen. |
| „ | 2268 Samenblase mit Abscess zwischen Ureter und <i>Vas deferens</i> (rechts). |
| „ | 2269 Samenblase mit starken, entzündlichen Verwachsungen. |
| „ | 2270 Idem. |
| „ | 2271 Idem. |
| „ | 2272 Idem. |
| „ | 2273 Idem. |
| „ | 2274 Idem. |
| „ | 2275 Idem. |
| „ | 2276 Samenblase mit Abnormalitäten. |
| „ | 2277 Serie von Röntgogrammen zur Illustration der feineren Einrichtungen der Samenblasen. |
| „ | 2278 Series von 50 Stereophotogrammen zur Illustration der Falle von Dr. Picker. |
| „ | 2279 Statistische Tabellen. |
| Herrn Dr. Thomson Walker, London. | 2280 Serie von 21 Diapositiven zur Illustration von Pyelographie. |
| „ | 2281 Serie von 6 Diapositiven zur Illustration von Blasendivertikeln. |
| „ | 2282 Präparate von Blasendivertikeln. |
| St. Peter's Hospital, London. | 2283 Nierensteine. |
| „ | 2284 Uretersteine. |
| „ | 2285 Blasensteine. |
| „ | 2286 Prostatasteine. |
| „ | 2287 Harnröhrensteine. |
| „ | 2288 Pathologische Präparate. |
| Herrn Dr. Ernst R. W. Franck, Berlin. | Wandtafeln, die Erkrankungen der Blasenschleimhaut in kystoskopischen Bilde darstellend : |
| „ | 2289 Syphilitische Erkrankung der Blasenschleimhaut. |
| „ | 2290 Tuberkulöse Erkrankung der Blasenschleimhaut: (a) Hæmatogener Weg, (b) Renaler Weg. |

Ausgestellt von:

- | | |
|-----------------------|---|
| Herrn Dr. Ernst R. W. | 2291 Die Verletzung der Blasen Schleimhaut. |
| Franck, Berlin. | 2292 Bilkarsiaerkrankung der Blasen Schleimhaut. |
| „ | 2293 Congenitale Veränderungen. |
| „ | 2294 Cystitis: Cystitis productiva. |
| „ | 2295 Veränderungen der Blasenmuskulatur. |
| „ | 2296 Erkrankungen der Harnleiter-Papille. |
| „ | 2297 Blasentumoren. |
| „ | 2298 Veränderungen des Blasenhalsses. |
| Herrn Dr. Cyril A. R. | 2299 Niere zur Illustration der Veränderungen bei Nierentuberkulose (Pyelitis und Pyonephrosis). |
| Nitch, London. | |
| „ | 2300 Mikroskopischer Schnitt des Harnleiters des selben Falles. |
| „ | 2301 Zeichnungen der Niere und Mündung des Ureters des selben Falles. |
| „ | 2302 Niere wegen ausgedehnter Tuberkulose entfernt; Vergrößerung und Ulzeration der Kelche und Zerstörung von vielen der Pyramiden. |
| „ | 2303 Zeichnung einer tuberkulösen Niere. |
| „ | 2304 Zeichnung der Mündung des Ureters bei dem selben Falle. |

SEKTION XV.—Laryngologie und Rhinologie.

Bösartige Geschwulste der Nase und Nasenhöhlen.

Ausgestellt von:

- | | |
|--|---|
| Herrn Prof. Dr. G. M.
R. Alfred Denker,
Halle. | 2305 Carcinom der Nase. |
| „ | 2306 Idem. |
| „ | 2307 Idem. |
| „ | 2308 Idem. |
| „ | 2309 Idem. |
| „ | 2310 Histologisches Präparat von Carcinom
der Nase. |
| „ | 2311 Idem. |
| „ | 2312 Idem. |
| „ | 2313 Idem. |
| „ | 2314 Carcinom des Nasenrachenraums. |
| „ | 2315 Sarkom der Nase. |
| „ | 2316 Idem. |
| „ | 2317 Idem. |
| „ | 2318 Idem. |
| „ | 2319 Idem. |
| „ | 2320 Histologisches Präparat von Sarkom der
Nase. |
| „ | 2321 Idem. |
| „ | 2322 Endotheliom der Nase. |
| „ | 2323 Idem. |
| „ | 2324 Enchondrom der Nase. |
| „ | 2325 Histologisches Präparat von Enchon-
drom der Nase. |
| „ | 2326 Osteom der Nase. |
| „ | 2327 Histologisches Präparat von Osteom der
Nase. |
| „ | 2328 Angiofibrom des Nasenrachenraums. |
| „ | 2329 Histologisches Präparat von Angiofibrom
des Nasenrachenraums. |
| Herrn Prof. Dr. R. Hoff-
mann, Dresden. | 2330 Carcinom des oberen Drittels der Trachea. |
| „ | 2331 Carcinom der Bronchien. |
| „ | 2332 Carcinom des <i>sinus pyriformis</i> . |
| „ | 2333 Fibrinöse Bronchitis. |

Ausgestellt von:

Herrn Prof. Dr. Gerber,
Königsberg.

Serie von Aquarellen und Photographieen
zur Illustration der Krankheiten der
oberen Luftwege.

- „ 2334 (a) Normale Verhältnisse. (b) Deviation des Septums.
- „ 2335 Normaler Nasen-Rachenraum und seine Varietäten.
- „ 2336 (a) Synechien; (b) Affektionen des Septums; (c) einfache und fibrinöse Entzündungen.
- „ 2337 Fibrinöse Entzündungen: Metaplasie des Epithels; atrophische Rhinitis.
- „ 2338 *Rhinitis atrophica fœtida*; Fibrome.
- „ 2339 *Rhinitis hypertrophica*; papilläre Hypertrophieen.
- „ 2340 Hypertrophie der Rachenmandel.
- „ 2341 Polypen.
- „ 2342 Retronasale Polypen.
- „ 2343 Idem; Fibrom.
- „ 2344 Cyste, Lipom, Nasenstein und Fremdkörper.
- „ 2345 Papilloen.
- „ 2346 Carcinom.
- „ 2347 Idem.
- „ 2348 Sarcom.
- „ 2349 Melanosis generalis nach Nasensarcom.
- „ 2350 Affektionen der Nebenhöhlen; Eiterung der Kieferhöhle und kombinierte Empyeme.
- „ 2351 Mucocoele und Empyem der Stirnhöhle, mit Erweiterung; Abscess der Stirnhöhle; (b) gutartige Geschwulste der Nebenhöhlen; (c) bösartige Geschwulste der Kieferhöhlen.
- „ 2352 Stirnhöhlenempyem (kompliziert).
- „ 2353 Idem.
- „ 2354 Stirnhöhlen.
- „ 2355 Cysten.
- „ 2356 Osteom.
- „ 2357 Lupus und Tuberkulose.
- „ 2358 Idem.
- „ 2359 Syphilis.

Ausgestellt von:

Herrn. Prof. Dr. Gerber, 2360 Syphilis.
Königsberg.

- „ 2361 Idem; atypische und typische Difformitäten.
 „ 2362 Idem.
 „ 2363 Idem.
 „ 2364 Lepra.
 „ 2365 Sclerom.
 „ 2366 Idem.
 „ 2367 Spezielle Affektionen der äusseren Nase und des Naseneingangs.
 „ 2368 Affektionen der äusseren Nase.
 „ 2369 Trauma und angeborene Anomalien.
 „ 2370 Angeborene Anomalien.

Varia.

- „ 2372 Paraffin Prothesen.
 „ 2373 Kosmetische Operationen.
 „ 2374 Idem.
 „ 2375 Larynx.
 2376 Affektionen des äusseren Ohres.
 2377 Tumoren des Ohres.
 2378 Illustrations von Operationen am Schläfenbein (Originale aus Prof. Gerber's Atlas).

Neubildungen der Nase, der Nebenhöhlen und des Nasen-Rachenraums

- St. Bartholomew's Hospital. 2379 Sarcom der Nase.
 „ 2380 Angio fibrom des Nasenrachenraumes.
 „ 2381 Rachengeschwulst.
 Charing Cross Hospital. 2382 Neubildung des Antrums.
 „ 2383 Idem.
 Golden Square Hospital. 2384 Fibrom des Nasenrachenraumes.
 „ 2385 Geschwulst des Nasenrachenraumes.
 „ 2386 Exostose des Ethmoid.
 University College Hospital. 2387 Neubildung des Nasenrachenraumes sich nach dem Ohr Ausdehrend.
 „ 2388 Rundzell Sarcom des Nasenrachenraumes.
 St Bartholomew's Hospital. 2389 Plastische Operation der Nase.

*Kehlkopfgeschwulste.**Ausgestellt von:*

St. Bartholomew's Hospital.	2390 Multiple Papillomata.
„	2391 Idem.
Charing Cross Hospital.	2392 Idem.
University College Hospital.	2393 Idem.
„	2394 Idem.
„	2395 Idem.
„	2396 Blumenkohl Geschwulst der Stimmbänder.
St. George's Hospital.	2397 Einfacher Polyp der Stimmbänder.
„	2398 Sarcomatöser Polyp der Stimmbänder.
Charing Cross Hospital.	2399 Rundzell Sarcom des Arytenoids.
St. Bartholomew's Hospital.	2400 Sarcom des Kehlkopfes.
„	2401 Epitheliom des Kehlkopfes.
London Hospital.	2402 Einfacher Polyp der Stimmbänder.
Guy's Hospital.	2403 Kehlkopfpolyp.
Westminster Hospital.	2404 Fibrolipom des Kehldeckels.
Golden Square Hospital.	2405 Fungöses Geschwulst des Kehldeckels.
London Hospital.	2406 Epitheliom des Kehldeckels.
University College Hospital.	2407 Rezidivierendes Geschwulst des Kehlkopfes 13 Jahre nach der Laryngofissur.
Charing Cross Hospital.	2408 Epitheliom der Zungenwurzel, sich nach dem Kehlkopf ausdehnend.
St. George's Hospital.	2409 Idem.
Golden Square Hospital.	2410 Enchondrom des Ringknorpels.
„	2411 Prolapsus des Ventrikels des Larynx.
St. Bartholomew's Hospital.	2412 Idem.
„	2413 Leukoplakie des Larynx.
Charing Cross Hospital.	2414 Syphilis des Larynx.
Guy's Hospital.	2415 Idem. Stenose.
London Hospital.	2416 Septische Laryngitis.
St. Thomas Hospital.	2417 Präparat von partieller Laryngektomie (Sir Felix Semon's Fall).
„	2418 <i>Papillome laryngis</i> über die Grenzen des Kehlkopfes hinaus.
„	2419 Präparation des Larynx bei einem Falle von Abduktorparalyse (Aneurysma).

Ausgestellt von :

St. George's Hospital.	2420	Rotz des Kehlkopfes.
„	2421	Lepra des Kehlkopfes.
„	2422	Idem.

Krankheiten der Trachea.

Charing Cross Hospital.	2423	Diphtherie des Larynx und der Trachea.
„	2424	Tuberkulöse Ulceration der Trachea.
St. Bartholomew's Hospital.	2425	Carcinom die Bifurkation der Trachea einschliessend.
„	2426	Idem.
„	2427	Idem.
„	2428	Idem.
„	2429	Knotige Geschwulste der Trachea.
„	2430	Sarcom an der Bifurkation der Trachea primäres Sarcom in der Niere.
Golden Square Hospital.	2431	Tumour der mediastinalen Drüsen sich auf die Luftröhre ausbreitend.
„	2432	Bösartige Geschwulst der Schilddrüse an die Luftröhre überspringend.
London Hospital.	2433	Petechien an der Trachea und dem Larynx bei einem Falle von Septicämie.
University College Hospital.	2434	Carcinom des linken Bronchus.
St. Mary's Hospital.	2435	Syphilis der Trachea und des Larynx.
Herrn Dr. Jobson Horne, London.	2435A	Makroskopische und Mikroskopische Präparate von <i>pachydermia laryngis</i> .
„	2435B	Cystom des Kehlkopfes.
„	2435C	Vorfall der Mucosa des Ventrikels des Larynx.
Herrn Dr. R. D. Paterson, Cardiff.	2436	Sarcom der Schilddrüse, die Trachea durchbrechend.

Retrocricoidale, pharyngeale und oesophageale Geschwulste.

St. Bartholomew's Hospital.	2437	Epitheliom ; <i>retrocricoid</i> .
„	2438	Idem.
„	2439	Idem.
Charing Cross Hospital.	2440	Idem.
„	2441	Idem.
„	2442	Idem.
St. George's Hospital.	2443	Idem.
Guy's Hospital.	2444	Idem.

Ausgestellt von :

Westminster Hospital.	2445	Epitheliom ; <i>retrocricoid</i> .
Golden Square Hospital.	2446	Idem.
„	2447	Idem.
St. Bartholomew's Hospital.	2448	Geschwulst der <i>fossa pyramidalis</i> .
St. Bartholomew's Hospital.	2449	Idem.
Golden Square Hospital.	2450	Idem.
„	2451	Idem.
Charing Cross Hospital.	2452	Idem.
„	2453	Geschwulst des Oesophagus.
„	2454	Idem.
„	2455	Submuköses Fibrom des Oesophagus.
St. Bartholomew's Hospital.	2456	Geschwulst des Oesophagus.
„	2457	Idem.
Guy's Hospital	2458	Sarcom des Rachens.
St. Bartholomew's Hospital.	2459	Gestieltes Sarcom des Rachens.
Westminster Hospital.	2460	Geschwulst der <i>fossa pyriformis</i> .
University College Hospital.	2461	Grosse Rachen- und Zungentonsillen.
„	2461A	Papilläre Geschwulste der Zungentonsille.

Carcinom des Oesophagus.

Herrn A. Logan Turner, 2462 Serie von Zeichnungen :
London.

- (1) Plattenzellepithelion den Larynx mitangreifen.
- (2) Idem, sich nach *sinus pyriformis* ausdehnd.
- (3) Idem, den rechten Lappen der Schilddrüse einschliessend.
- (4) Idem, den rechten *sinus pyriformis* und die rechte *plica aryepiglottica* einschliessend.
- (5) Idem ; den Larynx einschliessend.
- (6) Idem, mit Stenose ; den rechten Recurrenz einschliessend.
- (7) Idem : mit Stenose und vergrösserter Drüse.

Ausgestellt von :

Herrn, A. Logan Turner,
London.

- (8) Idem; an dem Niveau des Aorten bogens; das Lumen fast schliessend; adherente Trachea.
- (9) Idem, an dem Niveau der Bifurkation der Trachea; vergrösserte Drüse.
- (10) Idem.
- (11) Idem.
- (12) Idem.
- (13) Idem, tiefe Ulceration an der Trachea und dem linken Bronchus.
- (14) Idem, mehrere kleine Knoten in die Trachea vorspringend.
- (15) Idem, in die Trachea durchbrechend.
- (16) Idem, Ulceration.
- (17) Idem, an dem unteren Ende des Oesophagus.
- (18) Idem, das untere Ende des Schlundes, und die Cardia angreifend.

Hypophysentumoren.

St. Bartholomew's
Hospital.

2463 Schädelbase mit Erkrankung der Hypophyse.

„

2464 Cystentumor der Hypophyse und des Keilbeines.

„

2465 Adenom, bei einem Fall von Akromegalie.

„

2466 Vergrösserte *sella turcica*.

„

2467 Gliosarcom.

„

2468 Sarcom.

„

2469 Hypertrophie.

Guy's Hospital.

2470 Hypophysentumor.

„

2471 Sarcom.

„

2472 Idem.

St. George's Hospital.

2473 Peritheliom.

London Hospital.

2474 Hypertrophie.

„

2475 Sarcom.

„

2476 Geschwulst.

„

2477 Idem.

„

2478 Cyste.

„

2479 Endotheliom.

St. Mary's Hospital.

2480 Adenom (Dr. Hill's Fall).

University College
Hospital.

2481 Vergrösserte Hypophyse, bei einem Falle von Akromegalie.

- Ausgestellt von :*
- | | |
|---|---|
| University College Hospital. | 2482 Idem. |
| „ | 2483 Hypophysen-Sarcom bei einem Falle von Akromegalie. |
| Herrn Geh-Rat. Prof. Dr. Spiess, Frankfurt. | 2484 Röntgogramm eines Hypophysentumors. |
| „ | 2485 Idem. |
| Herrn Dr. L. H. Pegler, London. | 2486 Karte, die Anatomie, Physiologie, und Pathologie des fünften Hirnnerven, seine Wurzel seine Ursprungsstelle, Verteilung und seine anatomische Beziehungen zeigend; mit einer Erweiterung der Nomenklatur der Nasal-
verven. |

Mikroskopische Präparate.

I.—LARYNX.

- | | |
|--------------------------|--|
| Sir Felix Semon. | 2487 Weiches Fibrom, zum Teil ausserhalb des Larynx. |
| Herrn Dr. W. Milligan. | 2488 Angio-Fibrom der Stimmbänder. |
| Herrn Dr. Percy Kidd. | 2489 Angio-Fibrom des Larynx. |
| Herrn Dr. Dundas Grant. | 2490 Weiches Fibrom der <i>plica arytenepiglottis</i> . |
| Herrn Dr. R. Lake. | 2491 Drüsenkrebs. |
| Herrn Dr. Scanes Spicer. | 2492 Drüsenkrebs. |
| Herrn Dr. Lambert Lack. | 2493 Rund- und Spindelzellsarcom der hinteren Wand des Ringknorpels. |

II.—RACHEN.

- | | |
|-------------------------|-------------------------------|
| Herrn Dr. Pegler. | 2494 Carcinom der Rachenwand. |
| Herrn Dr. Carson. | 2495 Pflasterzellcarcinom. |
| Herrn Dr. Lambert Lack. | 2496 Sarcom der Mandeln. |

III.—NASENRACHENRAUM.

- | | |
|------------------------------|---|
| Herrn Dr. Pegler. | 2497 Weiches rezidivierendes Angiofibrom. |
| Herrn Dr. Tillay. | 2498 Hartes Angiofibrom (Schädelbasis und Ethmoid). |
| Herrn Dr. Fitzgerald Powell. | 2499 Lymphoid-Geschwulst mit Riesenzellen. |
| Herrn Dr. Bronner. | 2500 Drüsenkrebs. |
| Herrn Dr. Waggett. | 2501 Perientheliom. |

IV.—NASE.

Ausgestellt von :

- | | | |
|-------------------------|------|--|
| Herrn Dr. Waggett. | 2502 | Myelom des Ethmoid und der Augenhöhle. |
| Herrn Dr. Lambert Lack. | 2503 | Endotheliom des Antrums. |
| Herrn Dr. Dundas Grant. | 2504 | Cylinderzellencarcinom (Nase und Antrum). |
| „ | 2505 | Rhinosklerom. |
| Herrn Dr. Wilkinson. | 2506 | Melanotisches Sarcom. |
| Herrn Dr. Logan Turner | 2507 | Papillom ; Blumenkohlgeschwulst des Septums. |
| Herrn Dr. P. de Santi. | 2508 | Kleines Rundzellen-Sarcom des Septums. |
| Herrn Dr. Bond. | 2509 | Grosses Rundzellen-Sarcom des Septums. |
| Herrn Dr. E. W. Bain. | 2510 | Localisierte Sporospermiosis des Scheideknorpels (<i>rhinosporidium kinealyi</i>). |
| „ | 2511 | Papillom der unteren Muschel. |
| Herrn Dr. R. Lake. | 2512 | Kleines Rundzellen-Sarcom der unteren Muschel. |
| Herrn Dr. G. Wilkinson. | 2513 | Papilläre Geschwulst der unteren Muschel. |

V.—ANGIOME DER NASE.

- | | | |
|------------------------|------|---|
| Herrn Dr. B. Kelly. | 2514 | Aussenwand des Vestibuls ; Fibroangiom. |
| Herrn Dr. C. Baber. | 2515 | Ein gleicher Fall. |
| Herrn Dr. W. W. Kelson | 2516 | Boden der unteren Oeffnung (vorderer Teil) Angiofibrom. |
| „ | 2517 | Ein gleicher Fall. |
| Herrn Dr. Hastings. | 2518 | Vorderes Ende der unteren Muschel. |

Nachstehende Angiofibrome liegen an dem Septuman.

- | | | |
|--------------------------|------|---|
| Herrn Dr. B. Kelly. | 2519 | Schwammiges Cavernom. |
| Herrn Dr. H. Tilley. | 2520 | Granulomatöse Form. |
| Herrn Dr. G. Wilkinson. | 2521 | Fibromatöse Form. |
| Herrn Dr. B. Robinson. | 2522 | Grosse cavernomatöse Form. |
| Herrn Dr. H. Tilley. | 2523 | Sarcomatoide Form. |
| Herrn Dr. C. A. Parker. | 2524 | Fibroangion (<i>rhinitis sicca</i>). |
| „ | 2525 | Idem (<i>rhinitis sicca</i>). |
| Herrn Dr. F. J. Stewart. | 2526 | Idem ; Perforation des Scheideknorpels. |
| Herrn Dr. H. Tod. | 2527 | Idem ; Stiel an dem Septum. |
| Herrn Dr. Sacnes Spicer | 2528 | Weiches Angiofibrom. |
| Herrn Dr. H. Toille. | 2529 | Angiofibrom, Bindegewebetypus. |
| Herrn Dr. Lambert Lack | 2530 | Weiches Fibrocavernom. |

Ausgestellt von:

- Sir St. Clair Thomson. 2531 Fibroangiom ; zellulärer Typus.
 Herrn Dr. H. Tod. 2532 Idem ; cavernomatöser Typus.
 Sir St. Clair Thomson. 2533 Idem ; schwammiger cavernöser Typus.

Enukleation der Tonsillen vermittle der Guillotine.

- Herren Dr. S. S. Whillis 2534 Serie von 20 Mandeln an einen Tag
und Dr. F. C. Pybus, entfernt.
Newcastle.
- „ 2535 Serie von 40 Mandeln in einer Woche
entfernt.
- „ 2536 Gewöhnliche Enukleation in einen
grossen Stück, Typus 1.
- „ 2537 Idem (mittelgross).
- „ 2538 Idem (klein).
- „ 2539 Enukleation ; die Kapsel wird aber
nicht ganz, entfernt Typus 2.
- „ 2540 Entfernung in zwei Stücken, Typus 3.
- „ 2541 Entfernung in zwei Stücken, Typus 4.
- „ 2542 Entfernung in mehr als zwei Stücken,
Typus 5.
- „ 2543 Mandel mit Eversion.
- „ 2544 Grosse Mandel mit Kokainanästhesie
enukleiert.

Verschiedene Arten von Mandeln.

- „ 2545 Kleine Mandeln, die natürliche tiefe
Spalte zeigend.
- „ 2546 Hypertrophische Mandeln, noch in der
Spalte.
- „ 2547 Mandeln, drei Erhöhungen zeigend.
- „ 2548 Ueberhängender Typus.
- „ 2549 Vorspringender Typus.
- „ 2550 Flacher Typus.
- „ 2551 Grosse eingebettete Mandeln.
- „ 2552 Kleine eingebettete Mandeln.
- „ 2553 Rezidivierende Hypertrophie.

Infektion der Tonsillen.

- Herren Dr. S. S. Whillis 2554 Mandeln Infektion des Lakunenbodens
und Dr. F. C. Pybus, zeigend.
Newcastle.

Ausgestellt von:

- Herren Dr. S. S. Whillis 2555 Mandeln, mit käsigem Material ausge-
und Dr. F. C. Pybus, füllte Aushöhlungen zeigend.
Newcastle.
- „ 2556 Mandelschnitte, grosse käsige Herde
zeigend.
- „ 2557 Mandeln, Adhersionen zwischen den
Tonsillen und der Kapsel zeigend.
- „ 2558 Mandel, mit aufgespalteter Kapsel, das
Vorspringen des käsigen Materials
zeigend.
- „ 2559 Zwei eingebettete Mandeln, das Resultat
von tiefer Infektion zeigend; die
eine zeigt sehr üppige Wucherung.
- „ 2560 Ifizierte Mandel, von vorne gesehen
Atypisch.
- „ 2561 Tuberkulöse Mandeln.

Anatomische Merkmale.

- „ 2562 Mandel mit vollständiger Kapsel.
- „ 2563 Mandel zur Illustration der natürlichen
Spalte.
- „ 2564 Mandel die Fossa tonsillaris zeigend.

SEKTION XVII.—Stomatologie.

Ausgestellt von:
Herrn Dr. Hopewell-
Smith, London.

- 2565 Gipsmodell des Kiefers eines Falles von Akromegalie.
- 2566 Gipsmodell eines Osteoms.
- 2567 Sarcom der periodontalen Membran, auf die Kieferhöhle überspringend.
- 2568 Epitheliom der periodontalen Membran.
- 2569 Geheilte Fraktur eines Zahns.
- 2570 Erosion der Zähne, Gicht zugeschrieben.
- 2571 Verschiedene Phasen von Gingivitis und Affektionen, die *Pyorrhoe alveolaris* als Symptom haben; vier Präparate.

Ererbtes Fehlen der Zahnkronen, durch sechs Generationen bestehend.

- 2572 12 Gipsmodelle der Kiefer von Personen einer Familie.
- 2573 Epithel-Odontom der Molarregion des rechten Kiefers.
- 2574 Gipsmodell nebst Zahn, ein Follikel-odontom des zweiten linken Prämolazahns zeigend.
- 2575 Gipsmodell mit Odontom, das Geschwulst in der Schneidezahnregion zeigend.
- 2576 Odontom der rechten Molargegend.
- 2577 Gipsmodell, zwei Odontome *in situ* zeigend.
- 2578 Wand einer extrakapsulären Odontocele sammt Zahn.

Diapositive:

- 2579 Extrakapsuläre Odontocele (irrtümlich für Myelom gehalten).
- 2580 Subkapsuläre Odontocele.
- 2581 Ankylose eines Zahnes zum Kieferknochen, bei einem an *leontiasis ossea* leidenden Manne.
- 2582 Ankylose der Zähne an den Kiefer.

Ausgestellt von:

- Herrn Dr. B. Dowsett, 2583 Serie von Zähnen von Fällen von *pyorrhoe*
London. *alveolaris*, Veränderungen an den
Zahnspitzen in bezug auf Durch-
sichtigkeit; Ablagerung oder Resorp-
tion, zeigend.
- Herrn W. W. James, 2583A Gipsmodell von Deformitäten des
F.R.C.S., London. *processus alveolaris* und des Zahn-
bogens, auf Daumenlutschen, "Lut-
scher," und Zungenlutschen, zurück-
zuführen.
- " 2583B Apparat zur Verhütung von Atmen
durch den Mund.

SEKTION XVIII.—Hygiene und Prophylaxe.

DIE KRANKHEITEN DER LUNGE DIE AUF STAUBEINATMEN ZURÜCKZUFÜHREN SIND.

(Die Sammlung ist von Herrn Dr. E. Collis, Medizinalbeamte des "Home Office" London, aufgestellt worden.)

Die Fabrikation von Gips.

Ausgestellt von :
Herrn Prof. Dr. F.
Heim, Paris.

2584 Fabrikationsprozesse, illustriert.

„ 2585 Verwendetes Material.

Die Fabrikation von Zement.

Herrn Dr. Collis.	2586 Einige der Prozesse illustriert.
Herrn Dr. F. Koelsch.	2587 Illustrationen der Perforation des Nasenseptums.
Herrn Dr. Collis.	2588 Analyse des Zements.
„	2589 Zementproben.

Kohlenbergwerk.

„	2590 Illustrationen der Prozesse u. s. w.
Middlesex Hospital, London.	2591 Lunge eines Kohlenbergmannes.
Universität von Sheffield.	2592 Idem.
„	2593 Idem.
Guy's Hospital, London.	2594 Idem.
Herrn Dr. Collis.	2595 Kohlenproben.
Universität von Oxford.	2596 Lunge eines Bergmannes aus den Süd- afrikanischen Goldgruben.

Schiefer Arbeit.

Herrn Dr. Collis.	2597 Fabrikationsprozesse illustriert.
„	2598 Schieferstaub Proben.

Bearbeiten von Schlackenwolle.

„	2599 Prozedur illustriert.
„	2600 Proben des Materials.

*Krempelmaschine.**Ausgestellt von :*

Herrn J. H. Crabtree.	2601 Illustrationen des Prozesses.
„	2602 Kurven der Brusterweiterung, u. s. w.
„	2603 Staubproben.
Herrn Dr. Rayner.	2604 Radiogramme des Brustkastens.

Die Granit-Zerschneidungs-Industrie, Aberdeen.

Herrn Dr. Collis.	2605 Illustrationen des Prozesses.
„	2606 Diagramme der physischen Messungen.
„	2607 Granitproben.

Steingutfabrikation.

„	2608 Illustration der Fabrikationsprozesse.
Herrn G. Elmhurst Duckering.	2609 Staubbestimmungen.
Middlesex Hospital, London.	2610 Lunge
„	2611 Idem.
Guy's Hospital.	2612 Idem.
Herrn Dr. Shuffle- botham.	2613 Mikrophotographien.
Herrn Dr. Collis.	2614 Verwendetes Material.

Metallschleifen.

„	2615 Illustrationen der Prozesse.
„	2616 Idem.
„	2617 Diagramme der physikalischen Messungen.
Herrn Prof. Dr. Dean, Sheffield.	2618 Lunge.
„	2619 Lunge.
„	2620 Lunge.
St. Thomas's Hospital.	2621 Lunge (Polierer).
Herrn Dr. R. Hallam.	2622 Radiogramme des Brustkorbes.
Herrn Dr. Collis	2623 Straubproben.

Metallhaltige Bergwerke.

„	2624 Illustrationen der Goldgruben in Wales.
„	2625 Illustrationen der Zinngruben in Cornwall.

Ausgestellt von:

- Herrn Dr. Collis. 2626 Radiogramm des Brustkastens eines Arbeiters in den südafrikanischen Goldgruben.
- Sir R. Douglas Powell. 2627 Proben des bearbeiteten Materials.
- Guy's Hospital. 2628 Lunge eines Zinngruben Arbeiters in Cornwall.

Ganister-Bergwerke.

- Herrn Dr. Collis 2629 Tabelle der Schwindsuchtfrequenz.
- „ 2630 Lunge.
- St. Bartholomew's Hospital. 2631 Lunge.
- „ 2632 Lunge.
- Universität, Sheffield. 2633 Lunge.
- „ 2634 Lunge.
- Herrn Dr. Collis 2635 Ganisterproben.

Bauarbeit und Benutzung von Mühlsteinen.

- „ 2636 Illustrationen der Prozesse, u.s.w.
- St. Thomas's Hospital. 2637 Lunge eines Mühlsteinarbeiters, Pneumoliten (Lungensteine) zeigend.
- Middlesex Hospital. 2638 Lunge eines Mühlsteinarbeiters.
- „ 2639 Idem.
- Herrn Dr. Collis 2640 Proben von "Franzosen" (franz. Süßwasserquartz).

Feuerstein Bearbeitung.

- „ 2641 Illustrationen der Prozesse, u.s.w.
- „ 2642 Angefertigte Sachen aus Feuerstein.

Steinhauerei.

- „ 2643 Illustrationen der Prozesse, u.s.w.
- „ 2644 Idem.
- St. Thomas's Hospital. 2645 Lunge eines Steinmetz.
- „ 2646 Idem.
- Universität, Sheffield. 2647 Idem.
- Herrn Dr. Collis 2648 Radiogramm eines Steinmetz.
- „ 2649 Idem.
- „ 2650 Proben der benutzten Steine.

Ergebnisse der Versuche.

- Herrn Prof. Dr. Beattie, Sheffield. 2651 Diapositive von Lungen von Meer-schweinchen, die verschiedenen Staubarten ausgesetzt wurden
- Herrn Dr. E. Francke, Frankfurt a.M. 2652 Schnitt einer Eisen und Kalklunge (Siderose und Chalikose).

Ausgestellt von :

- Herrn Prof. Dr. Sims 2653 Serie von durchsichtigen Lungen-Schnitten zur Illustration der verschiedenen Typen der Tuberkulose inklusive Silikose.
Woodhead, Cambridge.
- „ 2654 Lungenschnitt (Kind) akute pneumonische Tuberkulose.
- „ 2655 Chronische käsige-fibröse Tuberkulose der Lunge (Mann).
- „ 2656 Lunge: chronische Tuberkulose an der Spitze und dem oberem Lappen; die Veränderungen im unteren Lappen sind akuter.
- „ 2657 Lunge: eines Kindes: frühe ausgedehnte Tuberkulose; catarrhalische Pneumonie.
- „ 2658 Lunge: eines Kindes: Abdominal tuberkulose.
- „ 2659 Akute Miliartuberkulose.
- „ 2660 Tuberkulöse Drüsen mit Blutungen; Pneumonie.
- „ 2661 Tuberkulöse katarrhalische Pneumonie, nach alter tuberkulöser Infektion.
- „ 2662 Steinmetz-Tuberkulose.
- „ 2663 Chronische Lungentuberkulose.
- „ 2664 Akute Miliartuberkulose der Lunge.

Säuglingssterblichkeit.

- Herrn Dr. A. K. 2665 Modell zur Illustration von einem
Chalmers, Glasgow. Glasgower Viertel mit Hof an Hof stehenden Häusern.
- „ 2666 Modell zur Illustration von einem in Glasgow existierenden dicht bebauten Viertel.
- „ 2667 Modell zur Illustration von ungenügendem Zutritt von Luft und Licht in einem Glasgower Hinterhof.
- „ 2668 Modell von zusammengedrängten Häusern und von schlechter Anlage der Hausflure; defekte Beleuchtung und Ventilation.

Diagramme:

- „ 2669 Säuglingssterblichkeit in Glasgow, Manchester und Liverpool, 1855 bis 1905.
- „ 2670 Säuglingssterblichkeit in Schottland, England und Wales, 1850—1905.

*Statistik.**Ausgestellt von :*Sir William J. Thompson,
son, Dublin, Irland.

2671 Geburstfrequenz in Irland, 1864 bis 1912.

„

2672 Ehehche Fruchtbarkeit ; Zahl der
ehelichen Geburten pro 1,000 von
verheirateten Frauen, im Alter von
15 und 45 Jahren.

„

2673 Durchschnittszahl der Kindern von
Frauen nach der Dauer der Ehen und
dem Alter der Frauen bei der Heirat
geordnet.

SEKTION XIX.—Gerichtliche Medizin.

- | | |
|-------------------------------------|--|
| <i>Ausgestellt von:</i> | |
| St. Mary's Hospital,
London. | 2674 Durchschnittene Hals: Selbstmord: ver-
wendetes Taschenmesser. |
| " | 2675 Idem; Mord. |
| " | 2676 Idem; Selbstmord; Schnitt in die
Trachea; verwendetes Messer. |
| " | 2677 Karbolvergiftung bei einen neugeborenen
Kind; wahrscheinlich Mord, aber nicht
bewiesen |
| " | 2678 Chlorzin-Vergiftung; Magen. |
| " | 2679 Krimineller Abortus: Fötus aus der
Erde im Garter ten ausgegraten;
verwendeter Katheter und Stift. |
| " | 2680 |
| " | 2681 Experimentelle Schusswunde und Kugeln. |
| Herrn Dr. J. Wright
Mason, Hull. | 2682 Serie von Photographieen zur Illustration
von Fällen von gerichtlichem Interesse,
nebst Lichtbildern. |
| Herrn John Teacher,
Glasgow. | 2683 Syphilis der Aorta; Aneurysmabildung,
anscheinend infolge von wiederholten
Rissen; schliessliche Ruptur der Aorta
in das Perikard, während Anstrang-
ung; Haftbarkeit der Ardeitgeber
zugestanden. |

SEKTION XXI.—Tropenkrankheiten.

I.—PEST.

- Ausgestellt von :*
- | | |
|--|---|
| Herrn Dr. A. Bacot,
London. | 2684 <i>Ceratophyllus fasciatus</i> (weibliches Tier)
Pestbazillen in dem Präventriculus
und Schlund ("verstopfter Zustand"). |
| „ | 2685 Schnitte von Flöhen (<i>ceratophyllus fasciatus</i> und <i>xenophylla cheopsis</i>), den
gleichen Zustand zeigend. |
| „ | 2686 Magen von Flöhen (<i>ceratophyllus fasciatus</i>)
das Wachstum der Pestbazillen
zeigend. |
| „ | 2687 Strichpräparat aus dem Magen von
Flöhen, Pestbazillen zeigend. |
| Herrn Dr. Dujardin
Beaumetz, Pasteur-
sches Institut, Paris. | Faksimile von chirurgischen Instrumen-
ten und religiösen Obketen, im 18ten
Jahrhundert bei der Behandlung von
Pestkranken gebraucht. Die Originale
befinden sich in dem "Musée du
lazaret du Frioul" Marseille. |
| „ | 2688 Altes ledernes Etui mit :
Bubomesser,
Lanzette,
Sonde,
Halter für Obige.
Pincette. |
| „ | 2689 Bubobrenneisen. |
| „ | 2690 Idem, mit gebogenem Griff. |
| „ | 2691 Siberner Stab mit vergoldeten Pincetten
zur Benutzung bei der Kommunion. |
| „ | 2692 Gegabelter silberner Stab zur Benutzung
bei den Sterbe Sakramenten. |

II.—BERI-BERI.

Diapositive :

- Experimentelle Polyneuritis verursacht durch verkehrte Nahrung.*
- | | |
|---------------------------------------|--|
| Herrn Dr. H. Schau-
mann, Hamburg. | 2693 Gesunde Taube. |
| „ | 2694 Taube mit poliertem Reis gefüttert ;
erstes Stadium. |
| „ | 2695 Idem ; deutliche <i>polyneuritis</i> . |
| „ | 2696 Idem ; vorgeschrittene <i>polyneuritis</i> . |

Ausgestellt von:

- Herrn Dr. H. Schaumann, 2697 Idem; letztes Stadium der polyneuritis;
Hamburg. Lähmung der Beine.
- „ 2698 Idem; letztes Stadium Lähmung des
Nackens.
- „ 2699 Tauben 7 Wochen lang mit poliertem
Reis mit Zusatz von Weizenkleie
gefüttert. Sie blieben ganz gesund.
- „ 2770 Tauben 3 Monate lang mit poliertem
Reis mit Zusatz von getrockneter
Gerste gefüttert. Sie blieben ganz
gesund.
- „ 2701 Affe 74 Tage lang mit vorher in Wasser
ausgezogenem, poliertem Reis gefüt-
tert.
- „ 2702 Idem.
- „ 2703 Ziege 3 Monate lang mit poliertem Reis
und mit Mais gefüttert.

Experimentelle Polyneuritis; Prophylaxe und Behandlung.

- „ 2704 Polyneuritis in einer Taube durch
poliertem Reis hervorgerufen.
- „ 2705 Die selbe Taube mit 3,00 g. *phaseolus*
radiatus behandelt; nach 24 Stunden.
- „ 2706 Die selbe Taube mit einer zweiten Dosis
von 3,00 g. *phaseolus radiatus* be-
handelt; nach 48 Stunden.
- „ 2707 Polyneuritis in einer Taube durch
polierten Reis hervorgerufen.
- „ 2708 Die selbe Taube nach 24 Stunden nach
der Behandlung mit Nukleinsäure.
- „ 2709 Die selbe Taube, 48 Stunden später, nach
einer zweiten Dosis. Die Besserung
war nur vorübergehend.
- „ 2710 Polyneuritis in einer Taube durch
polierten Reis hervorgerufen.
- „ 2711 Die selbe Taube, 24 Stunden später, nach
einer Fütterung mit 1,00 g. Gerste.
- „ 2712 Die selbe Taube, 48 Stunden später, nach
einer zweiten Fütterung, mit 1,00 g.
Gerste.
- „ 2713 Polyneuritis in einem Hund durch
denaturiertes Fleisch hervorgerufen.

Ausgestellt von:

- Herrn Dr. H. Schaumann, 2714 Polyneuritis in einem Kanneinchen durch
Hamburg. Fütterung mit Mais hervorgerufen.
Das Kanneinchen steht auf den Pfoten
anstatt auf den Zehen.
- „ 2715 Hund 10 Wochen lang mit denatu-
riertem Fleisch mit Zusatz von
getrockneter Gerste gefüttert. Er
blieb ganz gesund.
- Herrn Dr. Casimir 2716 Getrocknete Gerste, das Ausgangsmate-
Fund, London. rial bei der Isolierung von *vitamin*.
- „ 2717 Zweites Stadium, alkoholischer Gersten-
extrakt.
- „ 2718 Drittes Stadium; Fällun v on Phospho-
Wolframsäure aus dem Extrakt.
- „ 2719 Kristallisierter roher *vitamin*-aus Gerste.
- „ 2720 Photographien zur Illustration der
Wirkung des *vitamins* bei an Beri-
Beri leidenden Tauben.
- „ 2721 Substanz $C_{24} H O_9 N$, aus *vitamin*
isoliert.
- „ 2722 Substanz $C_{29} H O_9 N_5$, aus *vitamin*
isoliert.
- „ 2723 Substanz $C_6 H_5 O_2 N$, aus *vitamin* isoliert.
- „ 2724 Nicotinsäure, aus *vitamin* isoliert.
- „ 2725 Muster von poliertem Reis, welcher als
alleinige Fütterung Beri-Beri bei
Menschen und Vögeln verursacht.
- „ 2726 Muster von halb-gekochtem Reis, wie
die Eingeborenen ihn essen sollten.
- „ 2727 Muster von natürlichem Reis.
- „ 2728 Schematische Darstellung der drei
verschiedenen Formen von Reis, um
die bei dem Mahlen verlorengelende
Schicht zu zeigen.
- „ 2729 Vitamin aus Reis.
- „ 2730 Substanz $C_{26} H_{20} O_9 N_4$ aus Reisvitamin
gewonnen.
- „ 2731 Photographieen die Verteilung des *vita-*
mins in dem Getreiden zeigend.
- „ 2732 Photographieen, die chemischen Verände-
rungen in den Gehirnen von mit
poliertem Reis gefütterten Tauben,
zeigend.

III.—LEISHMANIASIS, U.S.W.

*Organe der Leishmaniakrankheit von Jamaica.**Ausgestellt von:*

Herrn Dr. H. Seodelin, 2733 Stauung der Gehirnhäute.
Liverpool.

- „ 2734 Blutungen in dem Herzbeutel.
- „ 2735 Blutungen an der Oberfläche der Leber.
- „ 2736 Fettige Veränderungen der Leber.
- „ 2737 Akute Nephritis (Stauung).
- „ 2738 Idem (fettige Veränderungen).
- „ 2739 Akute Pankreatitis.
- „ 2740 Stauung der Nebennieren.
- „ 2741 Akute Gastro-duodenitis.
- „ 2742 Pleurale Blutungen: Lungenembolie.
- „ 2743 Mikroskopisches Präparat zur Illustration
der Veränderungen in der Leber.
- „ 2744 Idem.
- „ 2745 Idem der Niere.
- „ 2746 Idem.
- „ 2747 Idem der Bauchspeicheldrüse.
- „ 2748 Idem.
- „ 2749 Idem, der Nebenniere.
- „ 2750 Idem, der Lunge.
- „ 2751 Idem, des Duodenums.
- „ 2752 Photographie von Leishmaniasis der Haut.
- „ 2753 Mikroskopisches Präparat von *Leishmania*
tropica.
- „ 2754 Idem.
- „ 2755 Mikroskopisches Präparat von *para-*
plasma flavigenum aus dem Blut von
"Gelbem Fieber" Patienten.
- „ 2756 Idem.
- „ 2757 Mikroskopisches Präparat zur Illustration
der Zelleneinschlüsse in einem Falle
von Beingeschwür.

IV.—RÜCKFALLFIEBER.

Herrn Dr. Edward
Hindle, Cambridge.

- 2758 Eier, Nymphen und erwachsene Exemp-
lare von *ornithodoros moubata*, dem
Wirt der *spirochaeta duttoni*. (Rück-
fallfieber des tropischen Afrikas).

Ausgestellt von :

Herrn Dr. Edward
Hindle, Cambridge.

- | | |
|---|--|
| | 2759 Karte die Verbreitung der Zecke und der Krankheit, und der <i>ornithorodus lahorensis</i> zeigend. |
| „ | 2760 <i>Pediculus capitis</i> , und <i>peduculus vestimenti</i> , der übertragende Wirt von <i>spirochaeta recurrens</i> (europäisches Rückfallfieber). |
| „ | 2761 Karte die Verbreitung der Rückfallfieber zeigend. |
| „ | 2762 Eier, Larven, Nymphen und erwachsene Exemplare von <i>argas persicus</i> , der übertragende Wirt von <i>spirochaeta gallinarum</i> . |
| „ | 2763 Karte die Verbreitung der Zecke und der Krankheit zeigend. |
| „ | 2764 Mikroskopisches Präparat eines Malpighischen Kanälchens des <i>argus persicus</i> , die kokkenartigen Gebilde des <i>s. gallinarum</i> zeigend. |
| „ | 2765 Mikroskopisches Präparat der Eier eines infizierten <i>argus</i> , die selben Gebilde zeigend. |
| „ | 2766 Mikroskopisches Präparat eines Malpighischen Kanälchens eines infizierten <i>argus</i> , nach 3tägiger Bebrütung, die Verlängerung der kokkenartigen Gebilde zeigend. |
| „ | 2767 Mikroskopisches Blut-Präparat eines infizierten Huhnes, zahlreiche Spirochaeten zeigend. |

V.—TRYPANOSOMIASE.

Zusammengebundene Zeichnungen zur
Illustration von :

- | | |
|--|---|
| General Oberstabsarzt,
Sir David Bruce. | 2768 Trypanosoma der Menschen (Nyasaland). |
| „ | 2769 Idem. (Nach Reedbuck.) |
| „ | 2770 Idem, Durch wilde <i>glossinae morsitans</i> übertragen. |
| „ | 2771 <i>Trypanosoma brucei</i> . |
| „ | 2772 <i>Trypanosoma gambiense</i> (Dutton). |
| „ | 2773 <i>Trypanosoma pectorum</i> . |
| „ | 2774 <i>Trypanosoma simiae</i> (neue Spezies). |
| „ | 2775 <i>Trypanosoma caprae</i> (Kleine). |

Ausgestellt von :

Zeichnungen zur Illustration von :

- | | | |
|------------------------|------|---|
| General Oberstabsarzt, | 2776 | <i>Trypanosoma</i> der Menschen (Nyasaland). |
| Sir David Bruce. | 2777 | <i>Trypanosoma brucei</i> (Plimmer und Bradford). |
| „ | 2778 | <i>Trypanosoma gambiense</i> (Dutton). |
| „ | 2779 | <i>Trypanosoma simiae</i> . |
| „ | 2780 | <i>Trypanosoma pecorum</i> . |
| „ | 2781 | <i>Trypanosoma capre</i> (Kleine). |
| „ | 2782 | <i>Trypanosoma vivax</i> (Ziemann). |
| „ | 2783 | <i>Trypanosoma uniforme</i> . |

VI.—PAPPATACIFIEBER (DREITAGSFIEBER).

Zur Illustration der Pappatacifliege.

- | | | |
|-----------------|------|-------------------------------------|
| Herrn Prof. Dr. | 2784 | Das Männchen. |
| Doerr, Wien. | 2785 | Das Weibchen. |
| „ | 2786 | Das äussere Genitale des Männchens. |
| „ | 2787 | Das äussere Genitale des Weibchens. |
| „ | 2788 | Das Ei. |
| „ | 2789 | Der Kopf der Mücke. |
| „ | 2790 | Die Larve. |
| „ | 2791 | Die Puppe. |

Zur Illustration der Symptome des Pappataciefiebers.

- | | | |
|---|------|--|
| „ | 2792 | Typische Fieber Kurve eines Kranken. |
| „ | 2793 | Augenreaktion eines Kranken. |
| „ | 2794 | Entartete Stichstellen nach Pappataci- |
| | | bissen. |
| „ | 2795 | Idem. |
| „ | 2796 | Fieberkurve eines mit Krankenblut |
| | | infizierten Aerztes. |
| „ | 2797 | Fieberkurve eines durch gefangene Phle- |
| | | botomen infizierten Arztes. |
| „ | 2798 | Die geographische Verbreitung der |
| | | Dengue, des Pappataciefiebers und |
| | | ähnlicher Dreitagefieber. |
| „ | 2799 | Häufigkeit des Pappataciefiebers je nach |
| | | der Jahreszeit. |
| „ | 2800 | Abnahme der Morbidität bei längerem |
| | | Aufenthalt im verseuchten Gebiet. |

Ausgestellt von:

Herrn Prof. Dr.	2801	Diapositive: (a) Weibchen.
Doerr, Wien.	2802	(b) Männchen.
„	2803	(c) Weibliches Genitale.
„	2804	(d) Männliches Penitale.
„	2805	Diapositive: (a) Weibchen in Kanada- balsam.
„	2806	(b) Männchen in Kanada- balsam.
„	2807	Mikroskopisches Präparat: Männchen.
„	2808	„ „ Weibchen.
„	2809	„ „ Kopf.
„	2810	„ „ Männliches Genitale.
„	2811	Photographien in Passepartouts:
		(a) Weibchen.
		(b) Männchen.
		(c) Abdominalende eines männlichen Pappataci.
		(d) Flügel.
		(e) Kopf eines Weibchens.
		(f) Abdominalende eines Männchen Präpariert.
		(g) Ausgespresste Eier.
		(h) Exzessive Papelbildung, erzeugt an Mag.pharm.M. durch mitge- brachte Pappatacis; Vorderarm.
		(i) Abnorme Stichreaktion (Bläschen) erzeugt an Mag.pharm.M. durch mitgebrachte Pappatacis; Vorderarm.

SCHISTOSOMIASE.

Herrn MarineStabsarzt,	2812	Blase durch <i>schistosomum haematobium</i> erzeugten Veränderungen.
Dr. Bassett-Smith.		
„	2813	Harnrohr der selben Krankheit.
„	2814	Colon desc. der selben Krankheit.
„	2815	Mikroskopisches Präparat von Eiern aus dem Harn.
„	2816	Mikroskopisches Präparat von Embryo- nen aus dem Harn, gefärbt.
„	2817	Mikroskopisches Präparat des Dick- darmes, mit Eiern.

Ausgestellt von :

- Herrn Marine Stabsarzt, 2818 Mikroskopisches Präparat von Schistosomumwürmern.
 Dr. Bassett-Smith.
- „ 2819 Diapositiv von Eiern (*s. haematobium*).
 „ 2820 Reife *sch. japonicum* Würmer.
 „ 2821 Mikroskopisches Präparat von Eiern aus Darm Schleim (Fall von Yangzefieber.)
 „ 2822 Strichpräparat des Blutes des selben Falles; ausgesprochene Eosinophilie zeigend.
 „ 2823 Mikroskopischer Schnitt der Leber mit Eiern.
 „ 2824 Diagramm, die relative Blutkörperchen-zählung illustrierend.
 „ 2825 Darm eines Hundes, mit Hund-Schistosomum infiziert.
 „ 2826 Idem.
 „ 2827 Leber des selben Zustandes.
 „ 2828 Milz des selben Zustandes.
 „ 2829 Mikroskopisches Präparat des Darmes, mit Eiern.
 „ 2830 *Opisthorchis sinensis* in der Leber.
 „ 2831 Mikroskopisches Präparat des selben, gefärbt.
 „ 2832 „ „ der Eier.
 „ 2833 Diapositiv „ „ der distoma.
 „ 2834 „ „ der Distomaeier
 „ 2835 „ von *S. haematobia* (Endteil).
 „ 2836 „ von *S. Mansoni* (Seitenteil).

FILARIASE.

- Herrn Dr Philip H. 2837 Lymphdrüse mit Filarien.
 Bahr, London.
- „ 2838 Verkalkte Filarien aus einem Hydrocele gewonnen.
 „ 2839 *Stegomyia pseudoscutellaris*; der übertragende Wirt der Filarien in Fiji.
 „ 2840 *Filaria bancrofti* aus Fiji; Männchen und Weibchen.
 Entwicklung der Fiji Filarien in den übertragenden Wirten.

*Mikroskopische Präparate.**Ausgestellt von:*

- | | | |
|---|---------|--|
| Herrn Dr. Philip
Bahr, London. | H. 2841 | Entwicklung der Filarien in <i>stegomyia pseudoscutellaris</i> . |
| „ | 2842 | Idem. |
| „ | 2843 | Idem |
| „ | 2844 | Idem |
| „ | 2845 | Entwicklung der Filarien in <i>culex fatigans</i> . |
| | | Einfluss der erwachsenen Filarien auf das Lymphgewebe. |
| „ | 2846 | Schnitt einer Leistendrüse, weibliche <i>filaria bancrofti</i> zeigend. |
| „ | 2847 | Idem in den Nebenhoden. |
| | 2848 | Idem in der Lymphdrüse der Trachea. |
| | 2849 | Tote weibliche <i>filariae bancrofti</i> am Verkalken. |
| „ | 2850 | Mechanische Verstopfung eines Lymphgefäßes durch verkalkte <i>filariae bancrofti</i> . |
| | 2851 | Riesenzellen Bildung und Fibrose um die verkalkten Filarien in den Drüsengeweben. |
| „ | 2852 | Fibrose und Lymphstauung der angegriffenen Lymphdrüse. |
| „ | 2853 | Schnitt der erwachsenen Filarie bei <i>elephantiasis scroti</i> . |
| „ | 2854 | Eosinophilie bei einer mit Filarien infizierten Drüse. |
| „ | 2855 | Mikrofilaria in Hydrocele-Flüssigkeit, mit und ohne Scheide. |
| „ | 2856 | Schnitt von Filarien von einem Filariageschwür. |
| „ | 2857 | Idem von einem Lymphgefäß eines Falle von akuter Lymphangitis. |
| | | <i>Psilosis.</i> |
| „ | 2858 | Körper in der Milz gefunden bei einem Fall von Psilosis. |
| „ | 2859 | Ähnliche Gebilde in der Darmschleimhaut gefunden. |
| „ | 2860 | Pigment aus der Milz. |
| Herrn Prof. Dr. N.
Ziemann,
Charlottenburg. | 2861 | Malaria: Leber ($\times 150$); zur Illustration des bräunlichen Pigments zwischen den Leberzellen. |

Ausgestellt von:

Herrn Prof. Dr. N.
Ziemann,
Charlottenburg.

- 2862 Malaria: Lunge ($\times 150$); Wände des Lungen Alveolus vollgestopft mit Malaria Pigment.
- 2863 Malaria; Gehirnkapillare: ($\times 1,000$); erfüllt mit stark pigmentierten Malaria Parasiten.
- 2864 Malaria; Niere ($\times 350$); Harnkanälchen längs und quer gerotfen. Eine Blutgefäß strotzend mit pigmentierten Malaria-Parasiten erfüllt.
- 2865 Malaria; Milz ($\times 100$); stärke Anhäufung von dunkeln Pigment in der Milzpulpa, weniger im Malpighischen Körper.
- 2866 Schwarzwasserfieber (Blackwater fever); Niere ($\times 200$); die deutlich dilatierten Harnkanälchen erfüllt mit Detritus. Kann zu Anurie führen.

Kultur der Malariaparasiten in vitro.

- Entwicklung des Tertian-Parasiten in der Aultur.
- 2867 Junger endoglobulärer Tertian-Parasit in Aultur.
- 2868 Wachsender, schon pigmentierter Parasit in Kultur.
- 2869 Sporulation des Tertian-Parasiten in Kultur.
- 2870 Idem: zweite Generation.
- 2871 Teilungsformen (Merozoiten) des Tertian-Parasiten in Kultur.
- 2872 Abgestorbene Sporulationsform des Tertian-Parasiten in Kultur.
- 2873 Junger weiblicher Tertian Parasit (Makrogamet) in Kultur (zweite Generation.)
- 2874 Melaniferer Leucocyt aus Kultur.

Kultur der Perniciosa-Parasiten in vitro.

- 2875 Perniciösa Parasiten aus Kultur *in vitro*, 16 Stunden alt.
- 2876 Idem, 30 Stunden alt.
- 2877 Idem, 40 Stunden alt.
- 2878 Idem, 43 Stunden alt.
- 2879 Idem, 48 Stunden alt.
- 2880 Degenirierende überalterte Perniciösa Parasiten aus Kultur.
- 2881 (Perniciösa) Halbmonde aus mehrtägiger Kultur.
- 2882 Sporulation (16 Merozoiten) von *piroplasma canis* aus Kultur; 24 Stunden alt.

SEKTION XXII.—Radiologie.

I.—KNOCHEN UND GELENKE.

Ausgestellt von :

Diapositive.

- | | |
|---------------------|--|
| Herrn Dr. W. Iron- | 2883 Bruce'sche Knoten (Gichtknoten der |
| side Bruce, London. | Fingerknochen. |
| „ | 2884 <i>Osteitis deformans</i> . (Hand). |
| „ | 2885 Idem. (Hand und Handgelenk). |
| „ | 2886 Idem. (Kniegelenk). |
| „ | 2887 <i>Arthritis defcrmans</i> (Hüftgelenk). |
| „ | 2888 Charcotsches Gelenk. (Hüftgelenk). |
| „ | 2889 Idem (Kniegelenk). |
| „ | 2890 Gelenkmaus des Kniegelenks. |
| „ | 2891 Tuberkulose des Kniegelenks. |
| „ | 2892 Idem des Hüftgelenks. |
| „ | 2893 Idem „ mit Geschwür- |
| | bildung am Femurhalse und Sequestern. |
| „ | 2894 Exostose des Femurs. |
| „ | 2895 Endosteales Sarcom des Humerus. |
| „ | 2896 Periosteales Sarcom des Humerus. |
| „ | 2897 Carcinom Metastase in den Knochen des |
| | Hüftgelenks. |
| „ | 2898 Syphilitische Osteitis des Radius. |
| Herrn Prof. Dr. | 2899 Serie von Diapositiven zur Illustration |
| Fedor Haemisch, | der Radiologie der Knochen und Gelen- |
| Hamburg. | ke, und ihr Wert in der Orthopädie. |
| „ | 2900 <i>Lues ossis frontis</i> , andernorts als Stirn- |
| | höhlen-Empyem gedeutet. |
| „ | 2901 <i>Skoliosis faciei</i> . |
| „ | 2902 Normaler <i>processus mastoideus</i> . |
| „ | 2903 <i>Antrum Highmori</i> und Siebbein rechts. |
| „ | 2904 Luxation im Lisfranc. |
| „ | 2905 Luxationsfraktur der rechten Becken- |
| | hälfte. |
| „ | 2906 Beckenluxation rechts in der <i>Syndchon-</i> |
| | <i>drosis sacro-iliaca</i> . |
| „ | 2907 Wirbelsäulefraktur mit Luxation. |
| „ | 2908 Mediaverkalkung der <i>aorta abdominalis</i> . |

Ausgestellt von :

- | | |
|--|--|
| Herrn Prof. Dr.
Fedor Haemisch,
Hamburg. | 2909 <i>Bursitis-calcarea.</i> |
| | 2910 Exercierknochen am Humerus (Bajonetstoss). |
| „ | 2911 Verknöcherung im Muskel <i>interstitium</i> , unbekannter Aetiologie, beiderseits an der Tibia. |
| „ | 2912 Gicht. |
| „ | 2913 Quecksilber im Unterarm. |
| „ | 2914 Cyste im Oberschenkel, |
| „ | 2915 Totale <i>luxato sub talc.</i> |
| „ | 2916 Starkes Emphysem mit Rippenfraktur. |
| „ | 2917 Calcaneusfraktur <i>sagittal</i> ; seitlich nicht sichtbar. |
| „ | 2918 <i>Luxatio patellae.</i> |
| „ | 2919 Luxation des Sesambeins am Daumen. |
| „ | 2920 Serie von Diapositiven zur Illustration bis der kindlichen Epiphysenlösung am |
| | 2930 Humerus. |
| „ | 2931 Serie von Diapositiven zur Illustration bis des <i>suneiforme bipartitum.</i> |
| | 2940 |

Stereoskopische Diapositive :

- | | |
|-----------------------------------|---|
| Herrn Dr. F. Bailey,
Brighton. | 2941 Fraktur der Fibula (alt, schlechte Heilung). |
| „ | 2942 <i>Osteitis deformans.</i> |
| „ | 2943 Luxation des 1sten Lendenwirbels. |
| „ | 2944 Osteophiten in und um das Kniegelenk. |
| „ | 2945 Fraktur des Radiuskopfes. |
| „ | 2946 Idem. |
| Herr Dr. Redard, Paris. | 2947 Serie von stereoskopischen Radiographien zur Illustration der verschiedenen Knochen- und Gelenk-Affektionen. |
| „ | 2948 Radiographien zur Illustration der verschiedenen Knochen - und Gelenk-Affektionen. |

Bösartige Knochengeschwulste.

- | | |
|--|----------------------|
| Herrn Dr. S. Gilbert
Scott, London. | 2949 Myeloid Sarcom. |
| „ | 2950 Idem. |
| „ | 2951 Idem. |

Ausgestellt von:

- | | |
|--|--|
| Herrn Dr. S. Gilbert
Scott, London. | 2952 Endosteales Sarcom. (Fibrosarcom). |
| „ | 2953 Idem. (Aus runden Zellen bestehen). |
| „ | 2954 Sarcom. |
| „ | 2955 Periosteales Sarcom. (Spindelzellen). |
| „ | 2956 Idem. |
| „ | 2957 Idem. (Rundzellen). |
| „ | 2958 Gutartige Knochenaffektionen von Reck-
linghausenscher-Krankheit. |
| „ | 2959 Idem. |
| „ | 2960 Idem. |
| „ | 2961 Enchondrom. |
| „ | 2962 Einfache Knochencyste. |
| „ | 2963 Idem, mit spontaner Fraktur. |
| „ | 2964 Knochencyste des Humerus. |
| „ | 2965 Der selbe Fall; subperiosteale Exzission
des knanken Knochens. |
| „ | 2966 Der selbe Fall; Neue Knochenbildung. |
| Herrn Prof. A. F. Dixon,
Dublin. | 2667 <i>Ossa suprasternalia</i> . (Angefertigt von
Herrn Dr. W. G. Harvey). |
| „ | 2968 Idem. |
| Herrn John B. Murphy,
Chicago. | 2969 Fixation von Frakturen in der Nähe der
Gelenke und Komplikationen. |
| „ | 2970 Knochentransplantation und fortschrei-
tende Regeneration. |
| „ | 2971 Knochenneubildung als Ersatz für auf
rezidierte Knochentumore zurückzu-
führende Defekte. |
| „ | 2972 Osteomyelitis, Aplasie und nicht-geheilte
Frakturen. |
| „ | 2973 Die Resultate von Arthroplastik bei
Ankylose des Kiefers, des Ellbogens,
des Handgelenks, des Hüft- und
Kniegelenks. |
| „ | 2974 Serie von Diapositive zur Illustration
von den oben angeführten Themata. |

II.—THORAX.

- | | |
|--|---|
| Herrn Dr. H. Morrison
Davies, London. | 2975 Serie von Diapositiven zur Illustration
der verschiedenen pathologischen
Zuständen der Lungen und anderer
Brustorganen. |
|--|---|

Ausgestellt von :

- | | |
|---|---|
| Herren Dr. Cowan Dr.
Harrington und J. R.
Riddell, Glasgow. | 2976 Serie von 7 Diapositiven zur Illustration der allmählichen Zunahme und Abnahme und des schliesslichen Verschwindens von Luft in dem Herzbeutel bei einem Falle von später geheiltem Pneumoperikardium. |
| „ | 2977 Drei Diagramme mit Bemerkungen über den physikalischen Befund des selben Falles. |
| Herrn Prof. Dr.
Sauerbruch, Zurich. | Serie von Diapositiven zur Illustration der Thorakoplastik.
Serie von Diapositiven zur Illustration der Phrenikotomie : |
| „ | 2979 Linkseitige kavernöse Phthise. |
| „ | 2980 Der gleiche Fall nach Thorakoplastik. |
| „ | 2981 Linkseitige kavernöse Phthise. |
| „ | 2982 Der gleiche Fall nach Thorakoplastik. |
| „ | 2983 Tuberkulose der linken Lunge. |
| „ | 2984 Der gleiche Fall nach Oberlappenplastik; Ruhigstellung des Unterlappens durch künstliche Lähmung des Zwerchfells (Phrenikotomie). |
| „ | 2985 Leichee linkseitige Unterlappentuberkulose. |
| „ | 2986 Der gleicher Fall nach Durchschneidung des linken Phrenikus. |
| „ | 2987 Ausgedehnte linkseitige Tuberkulose. |
| „ | 2988 Der gleiche Fall nach Durchschneidung des linken Phrenikus. |
| „ | 2989 Tuberkulose des linken Oberlappen. |
| „ | 2990 Linkseitige Phrenikotomie zur Ruhigstellung des Unterlappens (Vorperation zur Oberlappenplastik). |
| „ | 2991 Linkseitige kavernöse Phthise; wegen Pleuraverwachsungen wird die Kaverne durch den künstlichen Pneumothorax nicht beeinflusst. |
| „ | 2992 Rechtsseitige kavernöse Phthise; die grosse Kaverne im Oberlappen vom Pneumothorax unbeeinflusst. |
| „ | 2993 Kompression der Kaverne durch Paraffinplombe. |

Ausgestellt von :

- Herrn Prof. Dr. Sauerbruch, Zurich.
- 2994 Kavernöse Phthise des Linken Oberlappens; Kaverne durch Thorakoplastik nicht vollständig zum Kollaps gebracht.
- „ 2995 Kompression der Kaverne durch Paraffinplombe.
- „ 2996 Kavernöse Phthise des linken Oberlappens.
- „ 2997 Ruhigstellung des Unterlappens durch partielle Thorakoplastik.
- „ 2998 Kompression der Kaverne durch Paraffinplombe; Empyemresthöhle.
- „ 2999 Empyemresthöhle durch Thorakoplastik auf ein Minimum verkleinert; in der Höhle ein mit Bismuthbrei gefüllter Gummikatheter.

Oesophaguskarzinom.

- „ 3000 Karidospasmus.
- „ 3001 Kardiakarzinom.

Aortenaneurysma.

- „ 3002 Aneurysma der Aorta.
- 3003 Sackförmiges Aneurysma des *arcus aortae* (traumatisch).

Struma substernalis.

- „ 3004 Grosses substernales Struma.
- „ 3005 Der gleicher Fall nach der Strumektomie.
- „ 3006 Patienten mit grossem substernalem Struma.
- „ 3007 Röntgenbefund.
- „ 3008 Röntgenbefund nach der Strumektomie.
- Herrn Prof. Dr. Fedor Haenisch, Hamburg.
- 3009 Tuberkulose der linken Lunge mit Kaverne.
- „ 3010 Der selbe Fall nach Anlage des Pneumothorax.
- „ 3011 Pneumothorax; überbläht.
- „ 3012 Tuberkulose der linken Lunge mit zwei grossen Kavernen.
- „ 3013 Der selbe Fall nach Anlage des Pneumothorax (flächenhafte Adhäsionen der Pleurablätter).

Ausgestellt von :

- | | |
|---|---|
| Herrn Prof. Dr. Fedor
Haenisch, Hamburg. | 3014 Der selbe Fall nach Sprengung der
Adhäsionen. |
| „ | 3015 Lungentumor. |
| „ | 3016 Idem. |
| „ | 3017 Carcinom-Metastasen in beiden Lungen;
Pneumothorax rechts, nach operiertem
und rezidiertem <i>carcinoma mammae</i>
beiderseits. |
| „ | 3018 Grosses Mediastinal-Sarcom. |
| „ | 3019 Der selbe Fall nach Röntgenbehandlung. |
| „ | 3020 Der selbe Fall später. |
| „ | 3021 Bronchiopulmonale Drüsenpakete (Kind). |
| „ | 3022 Das selbe Kind nach einem Jahr
(Seeaufenthal). |
| „ | 3023 Persistenz des <i>ductus arteriosus</i> B. talli. |
| „ | 3024 <i>Eventratio diaphragmatica sin.</i> |
| „ | 3025 Echte Zwerchfellhernie. |
| „ | 3026 Persistierender Thymus und Miliartuber-
kulose. |
| „ | 3027 Aneurysma der <i>aorta ascendens</i> im 1.
schrägen Durchmesser. |
| „ | 3028 Idem, der <i>aorta descendens</i> . |
| „ | 3029 Zenker'sches Divertikel im Oesophagus. |
| „ | 3030 Karzinom des Oesophagus. |
| „ | 3031 Idem. |
| „ | 3032 Serie mikroskopischer Präparate zur
Illustration der, durch X Strahlen,
auf künstlich erzeugte Tuberkulose in
Kanninchenlungen, hervorgerufenen
Veränderungen. |

III.—MAGEN.

- | | |
|--|--|
| Herrn Dr. C. Thurstan
Holland, Liverpool. | Sanduhrmagen. |
| „ | 3033 Sanduhrmagen, mit adhesionen. |
| „ | 3034 Sanduhrmagen. |
| „ | 3035 Idem. |
| „ | 3036 Idem; nach der Probemahlzeit. |
| „ | 3037 Idem; 2¼ Stunden später. |
| „ | 3038 Idem; traumatisch. |
| „ | 3039 Idem; gleich nach der Probemahlzeit |
| „ | 3040 Idem; 40 Minuten später. |

Ausgestellt von :

- Herrn Dr. C. Thurstan 3041 Sanduhrmagen: $1\frac{1}{2}$ Stunden nach der
Holland, Liverpool. Probemahlzeit.
- „ 3042 Idem; gleich nach dem Probefrühstück.
- „ 3043 Idem; $\frac{1}{2}$ Stunde nach dem Probefrüh-
stück.
- „ 3044 Idem; 3 Stunden nach dem Probefrüh-
stück.
- „ 3045 Idem; gleich nach dem Probefrühstück.
- „ 3046 Idem; $4\frac{1}{2}$ Stunden nach dem Probefrüh-
stück.
- „ 3047 Idem; gleich nach dem Probefrühstück.
- „ 3048 Idem; 2 Stunden nach dem Probefrüh-
stück.
- „ 3049 Idem; gleich nach dem Probefrühstück.
- „ 3050 Idem; 3 Stunden nach dem Probefrüh-
stück.
- „ 3051 Idem; in einem frühen Stadium.
- „ 3052 Idem; durch aufgeblähten Dickdarm
gedeckt.
- „ 3053 Idem; nach der Entleerung des Dick-
darms.
- „ 3054 Idem; $1\frac{1}{4}$ Stunden nach dem Probefrüh-
stück.
- „ 3055 Idem.
- „ 3056 Idem; 10 Minuten nach dem Probefrüh-
stück.
- „ 3057 Idem; gleich nach dem Probefrühstück.
- „ 3058 Idem; 1 Stunden nach dem Probefrüh-
stück.
- „ 3059 Idem.
- „ 3060 Idem; gleich nach dem Probefrühstück.
- „ 3061 Idem; $\frac{1}{2}$ Stunde nach dem Probefrüh-
stück.
- „ 3062 Idem; 2 Stunden nach dem Probefrüh-
stück.
- „ 3063 Idem.
- „ 3064 Idem; 6 Stunden nach dem Probefrüh-
stück.
- „ 3065 Idem; nach der Gastro-gastrostomie.
- „ 3066 Idem; gleich nach dem Probefrühstück.
- „ 3067 Idem; 15 Minuten nach dem Probefrüh-
stück.

Ausgestellt von :

- | | |
|--|--|
| Herrn Dr. C. Thurstan
Holland, Liverpool. | 3068 Sanduhrmagen; 1 Stunde nach dem
Probefrühstück. |
| „ | 3069 Idem; 3 Stunden nach dem Probefrüh-
stück. |
| „ | 3070 Idem krampfartig. |
| „ | 3071 Idem nach der Mahlzeit, Verschwinden
der Konstriktion. |
| Herrn Dr. A. Howard
Pirie, Montreal. | 3072 Röntgogramm zur Illustration eines
<i>ulcus ventriculi</i> . |
| „ | 3073 Idem; verbunden mit sanduhrförmiger
Kontraktion. |
| „ | 3074 Idem; 4 Stunden später, nach einem
Baryum-Mahl. |
| „ | 3075 Perforierendes Magengeschwür; San-
duhrmagen. |
| „ | 3076 Idem; 24 Stunden nach dem Probemahl. |
| „ | 3077 Magengeschwür. |
| Herrn Dr. Fedor
Haenisch, Hamburg. | 3078 Penetrierender <i>ulcus ventriculi</i> und
Sanduhrmagen. |
| „ | 3079 Sanduhrmagen nach rectaler Füllung. |
| „ | 3080 Der selbe Magen nach Einnahme des
Baryumbreis. |
| „ | 3081 Der selbe Fall später nach Füllung des
unteren Sackes. |
| „ | 3082 Der selbe Fall später; die beiden Säcke
decken sich. |

Geschwulste des Magens und der Bauchspeicheldrüse.

- | | |
|--|--|
| Herrn Dr. A. Howard
Pirie, Montreal. | 3083 Stenose des Pylorus; Carcinom der
Bauchspeicheldrüse. |
| „ | 3084 Carzinom des Pylorus. |
| „ | 3085 Normaler Magen, durch die Bauch-
speicheldrüse eingekerbt. |
| Herrn Dr. Fedor
Haenisch, Hamburg. | 3086 Carcinom im mittleren Magenteil. |
| „ | 3087 Carcinom in der vorderen Magenwand
durch Druck zur Darsetzung gebracht |
| „ | 3088 Löffel im Magen. |
| Herrn Dr. C. Thurstan
Holland, Liverpool. | 3089 Magenkrebs. |
| „ | 3090 Idem. |
| „ | 3091 Idem. |
| „ | 3092 Idem. |

Ausgestellt von:

- | | |
|--|---|
| Herrn Dr. C. Thurstan
Holland, Liverpool. | 3093 Magenkrebs. |
| „ | 3094 Idem. |
| „ | 3095 Idem. |
| „ | 3096 Idem. |
| „ | 3097 Schwerster Fall von Magenerweiterung. |
| „ | 3098 Idem. |
| „ | 3099 Magen drei Haarbälle enthalten; nach
Einnahme des Wismuthbreis. |
| „ | 3100 Kardiospasmus. |
| Herrn Dr. A. E.
Barclay, London. | 3101 Serie von Diapositiven zur Illustration
der verschiedenen Angriffspunkte bei
der Wismuthdiagnose der Magen und
Darmaffektionen. |

IV.—DARM.

- | | |
|--|--|
| Herrn Dr. C. Thurstan
Holland, Liverpool. | 3102 Proptose des Querdarms. |
| „ | 3103 Idem. |
| „ | 3104 Idem. |
| „ | 3105 Idem. |
| „ | 3106 Abknickung des Ileums; 13 Stunden
nach dem Mahl. |
| „ | 3107 Striktur der letzten 8 cm des Querdarms. |
| „ | 3108 Erweiterung des Caecums; des <i>colon</i>
<i>ascendens</i> und des Dünndarms; Strik-
tur des <i>colon ascendens</i> . |
| „ | 3109 Wurmfortsatz um das Ileum geschlungen. |
| „ | 3110 Wurmfortsatz. |
| Herrn Dr. Fedor
Haenisch, Hamburg. | 3111 Aneurysma der <i>aorta abdominalis</i> nach
Gasfüllung des Magens dargestellt. |
| „ | 3112 Normaler Darm nach rektaler Füllung. |
| „ | 3113 Verlagertes Coecum; Appendix gefüllt. |
| „ | 3114 Carcinom in <i>S. Romanum</i> . |
| „ | 3115 Idem. |
| „ | 3116 Idem. |
| „ | 3117 Karcinom der Ileocoecalgegend. |
| „ | 3118 Stenose des Darms oberhalb der Ampulla
(Lues) |
| „ | 3119 Klien's Divertikel im <i>colon descendens</i> . |
| „ | 3120 <i>Ulcus duodeni</i> mit Stenose. |
| „ | 3121 <i>Ulcus penetrans duodeni</i> mit Stenose. |

Ausgestellt von

- | | |
|---|---|
| Herrn Dr. Fedor
Haenisch, Hamburg. | 3122 Duodenalstenose. |
| „ | 3123 Hirschsprung'sche Krankheit (maximalste Erweiterung des ganzen Colons). |
| „ | 3124 Skizze dazu. |
| <i>Blinddarmrentzündung.</i> | |
| Herrn Dr. A. Howard,
Pirie, Monstreal. | 3125 Colon und Wurmfortsatz mit Baryam-
salphat gefüllt, 12 Stunden nach der
Einführung. |
| „ | 3126 Idem; Coecum leer, Wurmfortsatz noch
nach 48 Stunden gefüllt. |
| „ | 3127 Idem; Wurmfortsatz 5 Tage nach dem
Mahl noch gefüllt. |
| „ | 3128 Idem; 22 Tage nach dem Mahl. |
| „ | 3129 Idem; 43 Tage nach dem Mahl. |
| Herrn Dr. J. T. Case,
Michigan. | 3130 Serie von Röntgogrammen zur Illustration
von Colonperistalsis und Anti-
peristalsis; mit besonderer Beziehung
zu der Funktion der Ileocoecalklappe. |

V.—LEBER, GALLENSTEINE u. s. w.

- | | |
|--|---|
| Herrn Dr. C. Thurstan
Holland, Liverpool. | 3131 Kardiospasm. |
| „ | 3132 Gallensteine. |
| „ | 3133 Idem |
| „ | 3134 Echinococcus der Leber, vereitert. |
| Herrn Dr. Fedor
Haenisch, Hamburg. | 3135 Gallensteine. |
| „ | 3136 Verkalkte Drüsen. |
| „ | 3137 Hepatoptose; Coecum und Ascendens
oberhalb der rechten Leberkuppe
(stehend). |
| „ | 3138 Idem (liegend). |

VI.—HARNSYSTEM.

- | | |
|--------------------------------------|--|
| Herrn Dr. Ironside
Bruce, London. | 3139 Anatomische Diapositive; Beziehungen
der Niere, des oberen Teils des
Harnleiters und des Knochens zu
einander. |
| „ | 3140 Anatomische Beziehungen des unteren
Teiles des Harnleiters zu den Becken-
knochen. |

Ausgestellt von:
Herrn Dr. Ironside
Bruce, London.

3141 Oxalcalculus in der Niere.

3142 Drei Nierenkonkretionen.

3143 Calculus des Harnleiters; eine gegen
Röntgen strahlen dichte Sonde liegt
im Ureter.

3144 Idem.

3145 Ablagerungen im Wurmforstsatz.

3146 Blasenstein.

3147 Prostatastein,

Herrn Geheimrat Prof.
Dr. H. Kümmell,
Hamburg.

3148 Collargol - Blasenaufnahme; Prostata-
hypertrophie; Balkenblase.

3149 Injektionspräparat; Schrumpfniere.

3149A Idem.

3150 Collargol-Blasenaufnahme; Blasendiver-
tikel; Prostatasteine.

3151 Collargol - Blasenaufnahme: normale
Verhältnisse.

3152 Idem; *Pyelitis chron. dext.*; Ureterer-
weiterung.

3153 Idem; Hydronephrose.

3154 Idem; doppelseitiger Nierenstein; recht-
seitige Uretererkrankung.

3154 (A) Multiple Myelome einer 24 jährigen
Pat. Keine "Bence-Jones'schen"
Eiweiskörper.

(B) Idem.

(C) Idem.

(D) Aufnahme mit Eppendorfer Halskas-
sette.

(E) Geheilte Fraktur des 1.—5 Halswir-
bels; Aufnahme mit der Eppen-
dorfer Halskassette.

Herrn Pro. Fedor
Haenisch, Hamburg.

3155 Carcinom der Blase mit Kontrast-
füllung.

3156 Grosser Stein in einem Blasendivertikel.

3157 Idem.

3158 Nierenbeckenstein und Steine in den
Kelchen.

3159 Steinniere.

3160 Pyelographie (Ureterstenose).

3161 Verkalkung.

Ausgestellt von :

Hypophysentumore u. s. w.

- | | |
|--|---|
| Herrn Dr. S. Gilbert
Scott, London. | 3162 Normale <i>Sella turcica</i> . |
| „ | 3163 Idem. |
| „ | 3164 Hypophysentumor mit Augensymptomen |
| „ | 3165 Akromegalie; keine Augensymptome. |
| „ | 3166 Idem. |
| „ | 3167 Idem. |
| „ | 3168 Grosser Hypophysentumor. |
| „ | 3169 Sklerose der chädelfase, eine Verkleinerung der <i>sella turcica</i> nach sich ziehend; Erblindung; Ursache unermittelt. |
| „ | 3170 Oxyzephalischer Schädel. |
| Herrn Dr. Fedor
Haenisch, Hamburg. | 3171 Hypophysentumor. |
| | (A) Idem. |
| | (B) Idem. |
| Herrn Dr. Archibald
Reid, London. | 3172 Serie von Diapositiven (Röntgogrammen) verschiedener pathologischer Zustände. |

VII.—RÖNTGOTECHNIK.

Privatdozent

- | | |
|-----------------------------------|--|
| Herrn Dr. G.
Holzknecht, Wien. | 3173 Skala zum Radiometer nach Sabourand und Noire, von Herrn Dozenten Dr. G. Holzknecht's Apparat zur einfachen und genauen Dosierung des Röntgenlichtes. |
|-----------------------------------|--|

VIII.—RADIUM-RÖNTGENBEHANDLUNG U. S. W.

Diapositive :

- | | |
|---|--|
| Herrn Dr. F. J.
Clendinnen, Melbourne. | 3174 Epitheliom der Lippe, vor der Behandlung. |
| „ | 3175 Idem; während der Radiumbehandlung. |
| „ | 3176 Idem; nach der Radiumbehandlung. |
| „ | 3177 Lymphadenom des Nackens vor der Behandlung. |
| „ | 3178 Idem; nach der Röntgenbehandlung. |
| „ | 3179 Granulom des Gesichts; vor der Behandlung. |
| „ | 3180 Idem; nach der Radiumbehandlung. |

Ausgestellt von :

- Herrn Dr. F. J. Clendinnen, Melbourne.
- 3181 *Lupus erythematosus* mit X Strahlen behandelt vor 6 Jahre wurde derselbe bösartig.
- 3182 Idem; nach der Radiumbehandlung.
- 3183 Epitheliom der Ohrmuschel; vor der Behandlung.
- 3184 Idem; während der Radiumbehandlung.
- 3185 Idem; nach der Radiumbehandlung.
- 3186 *Tinea sycosis* des Gesichts; vor der Behandlung.
- 3187 Idem; nach der Behandlung mit X Strahlen und Ultraviolettlicht.
- 3188 Epitheliom der Lippe; vor der Behandlung.
- 3189 Idem; während der Behandlung.
- 3190 Idem; nach der Radiumbehandlung.
- 3191 *Alopecia areata*; vor der Behandlung.
- 3192 Idem; nach der Behandlung mit Ultraviolettlicht.
- 3193 Pannus (absolute Blindheit); vor der Behandlung.
- 3194 Idem; nach der Radiumbehandlung; Schöermogen wieder herstellt.
- 3195 *Ulcus rodens* der Nase; vor der Behandlung.
- 3196 Idem; nach der Radiumbehandlung.
- 3197 Tuberkulöse Adenitis; vor der Behandlung.
- 3198 Idem; nach der Röntgenbehandlung.
- 3199 *Ulcus rodens* des unteren Augenlides; vor der Behandlung.
- 3200 Idem; nach der Radiumbehandlung.
- 3201 *Keratoses senilis (Epithelioma radiens)*; vor der Behandlung.
- 3202 Idem; nach der Radiumbehandlung.
- 3203 Idem; vor der Behandlung.
- 3204 Idem; nach der Radiumbehandlung.
- 3205 Epitheliom des Gesichts; vor der Behandlung.
- 3206 Idem; während der Radiumbehandlung.
- 3207 Idem; während der Radiumbehandlung.
- 3208 Idem; nach der Behandlung.

Ausgestellt von :

- Herrn Dr. F. J. Clendinnen, Melbourne.
- | | |
|------|---|
| 3209 | Rezidiertes Epitheliom (post op.); vor-
den Behandlung. |
| 3210 | Idem; nach der Radiumbehandlung, |
| 3211 | <i>Ulcus rodens</i> am Mundwinkel, und ein
der Lippe; vor der Behandlung. |
| 3212 | Idem; nach der Radiumbehandlung. |
| 3213 | Adenom der Nase; vor der Behandlung. |
| 3214 | Idem; nach der Radiumbehandlung. |
| 3215 | Lupus; vor der Behandlung. |
| 3216 | Idem; nach der Behandlung mit X
Strahlen und Ultraviolettlicht. |
| 3217 | Epitheliom der Lippe; vor der Behand-
lung. |
| 3218 | Idem; nach der Radiumbehandlung. |
| 3219 | <i>Ulcus rodens</i> des Canthus; vor der
Behandlung. |
| 3220 | Idem; nach der Radiumbehandlung. |
| 3221 | Adenom (Epitheliom); vor der Behand-
lung. |
| 3222 | Idem; nach der Radiumbehandlung. |
| 3223 | <i>Lupus vulgaris</i> ; vor der Behandlung. |
| 3224 | Idem; während der Röntgenbehandlung |
| 3225 | Idem; während der Röntgenbehandlung. |
| 3226 | Idem; nach der Röntgenbehandlung. |
| 3227 | Epitheliom des Gesichts; vor der Be-
handlung. |
| 3228 | Idem; nach der Behandlung. |
| 3229 | Vorstadium des Krebses (Lippe); vor
der Behandlung. |
| 3230 | Idem; nach der Radiumbehandlung; 6
Monate nach der operativen Entfer-
nung der Drüse. |
| 3231 | Gesichtslupus; vor der Behandlung. |
| 3232 | Idem; nach der Radiumbehandlung. |
| 3233 | Idem; (Wange); vor der Behandlung. |
| 3234 | Idem; nach der Radiumbehandlung. |
| 3235 | Idem: Epitheliom der Nase; vor der
Behandlung. |
| 3236 | Idem; nach der Radiumbehandlung. |
| 3237 | <i>Ulcus rodens</i> der Nase; vor der Be-
handlung. |
| 3238 | Idem; während der Radiumbehandlung. |

Ausgestellt von:

- Herrn Dr. F. J. Glendinnen, Melbourne. 3239 *Ulcus rodens* der nase; während der Radiumbehandlung.
- „ 3240 Idem; nach der Radiumbehandlung.
- „ 3241 *Ulcus rodens* der Schläfe; vor der Behandlung.
- „ 3242 Idem; nach der Radiumbehandlung.
- „ 3243 Frühlingskatarrh des oberen Lides; vor der Behandlung.

Stereoskopische Diapositive.

- Herrn Dr. F. J. Glendinnen, Melbourne. 3244 Epitheliom der Lippe; vor der Behandlung.
- „ 3245 Idem; nach der Radiumbehandlung.
- „ 3246 Idem des Gesichtes; vor der Behandlung.
- „ 3247 Idem; nach der Radiumbehandlung.
- „ 3248 Idem der Ohrmuschel; vor der Behandlung.
- „ 3249 Idem; nach der Radiumbehandlung.
- „ 3250 Idem der Lippe; vor der Behandlung.
- „ 3251 Idem; nach der Radiumbehandlung.
- „ 3252 Idem der Nase; vor der Behandlung.
- „ 3253 Idem; nach der Radiumbehandlung.
- „ 3254 *Ulcus rodens*; vor der Behandlung.
- „ 3255 Idem; während der Radiumbehandlung.
- „ 3256 Idem; während der Radiumbehandlung.
- „ 3257 Idem; nach der Radiumbehandlung.
- „ 3258 Bösartig gewordenes Adenom; vor der Behandlung.
- „ 3259 Idem; nach der Röntgenbehandlung.
- „ 3260 *Ulcus rodens* des Gesichtes; vor der Behandlung.
- „ 3261 Idem; nach der Röntgenbehandlung.
- „ 3262 Epitheliom des Gesichtes; vor der Behandlung.
- „ 3263 Idem; nach der Radiumbehandlung.
- „ 3264 Zungenepitheliom; vor der Behandlung.
- „ 3265 Idem; während der Radiumbehandlung.
- „ 3266 Idem des Gesichtes; vor der Behandlung.
- „ 3267 Idem; während der Radiumbehandlung.
- „ 3268 Idem; während der Radiumbehandlung.
- „ 3269 Idem; während der Radiumbehandlung.
- „ 3270 Idem; während der Radiumbehandlung.

Ausgestellt von :

Serie von Moulagen zur Illustration von :

Herrn Dr. Robert Abbe, 3271 Sarcom des Augenlids mit Radiumbe-
New York. handelt.

- „ 3272 Parotissarcom.
- „ 3273 Brustkrebs.
- „ 3274 Idem.
- „ 3275 Leukoplakia der Zunge.
- „ 3276 Papillom der Zunge.
- „ 3277 Gesicht-sepitheliom.
- „ 3278 Idem.
- „ 3279 Idem.
- „ 3280 Idem.
- „ 3281 Idem.
- „ 3282 Idem.
- „ 3283 Sarcom der Kopfhaut.
- „ 3284 Modell eines myeloiden Tumors des
Kiefers; vor 9 Jahren mit Radium
behandelt.
- „ 3285 Kasten mit Vorrichtungen zur An-
wendung des Radiums.
- „ 3286 Idem.

Serie von Photographien zur Illustration von :

- „ 3287 X Strahlen-Epitheliom der Hand, mit
Radiumbehandelt.
- „ 3288 Nackenkrebs.
- „ 3289 Fibromyome des Uterus.
- „ 3290 Papillom des Kehlkopfes.
- „ 3291 Epitheliom des Augenlides bei einem
Bluter.
- „ 3292 Idem.
- „ 3293 Kropf.
- „ 3294 Durchdringvermögen des Radiums.
- „ 3295 Idem.
- „ 3296 Myeloid Sarcom des Humerus.
- „ 3297 Zersprengung der Radiumröhre.

SONDER-ABTEILUNG FÜR MUSEUMS-TECHNIK.

I.—ZUBEREITUNG UND KONSERVIERUNG DES MATERIALS.

Querschnitte:

- Ausgestellt von:*
- | | | |
|--|------|---|
| Herrn Lionel Judah,
Montreal. | 3298 | Kopf in Kaiserling montiert, die Zentralganglien und Ventrikeln des Gehirns zeigend. |
| „ | 3299 | Idem, die lateralen Hirnventrikeln zeigend. |
| Herrn Dr. C. F. Silvester,
Princeton. | 3300 | Injektionspräparat; Blut- und Lymphgefäße junger Forellenembryonen von der Zeit des ersten Erscheinens bis zur Zeit des Ausbrütens. |

Schnelle Methode trockene Knochenpräparate zuzubereiten.

- | | | |
|-----------------------------------|------|--|
| Herrn F. A. Izzard,
Cambridge. | 3301 | Sarcom des Femurs. |
| „ | 3302 | Nekrose der Tibia und der Fibula. |
| „ | 3303 | Idem. |
| „ | 3304 | Tuberkulöse Karies des Ellbogengelenks, |
| „ | 3305 | Idem. |
| „ | 3306 | Idem, des Kniegelenks. |
| „ | 3307 | Idem, des Fussgelenks. |
| „ | 3308 | Tibiaschnitt (<i>osteitis deformans</i>). |
| „ | 3309 | Calvarium. |
| „ | 3310 | Fraktur der Tibia und der Fibula. |
| „ | 3311 | Wirbelsäule; tuberkulöse. Karies. |
| „ | 3312 | Wirbelsäule mit Kyphose. |
| „ | 3313 | Fötales Becken, 3 Tage lang mazeriert, dann in warmem Wasser gespült und in Spiritus aufbewahrt. |
| „ | 3314 | Normaler Fuss. |
| „ | 3315 | Fuss, 3 Wochen lang mazeriert. |
| „ | 3316 | Humerusfraktur (3 Wochen lang mazeriert). |
| „ | 3317 | Fötaler Schädel (10 Tage lang mazeriert). |
| „ | 3318 | Geheilte Femurfraktur (3 Wochen lang mazeriert). |
| „ | 3319 | Fraktur des Femurs mit Impaktion (3 Wochen lang mazeriert). |
| „ | 3320 | Calcaneus; die wabenartige Gelenkflächen bei tuberkulöser Karies zeigend. |

Ausgestellt von:

- | | | |
|---|------|---|
| Herrn Prof. J. M. Flint. | 3321 | Präparate zur Illustration der Konservierung der natürlichen Farben vermittels der Pick-Kaiserling Methode, mit Zusatz von russischem Mineralöl als letztes Konservierungsmittel. |
| Herrn Prof. Henry Albert Iowa. | 3322 | Methode zur Konservierung der natürlichen Farben der verschiedenen Präparationen vermittels Kaiserling-Alkohol-Glyzerin und russischem Mineralöl. |
| „ | 3323 | Multiple embolische Aszesse in Kanninchenmuskeln. |
| „ | 3324 | Aktinomykose des Kiefers bei einem jungen Ochsen. |
| Herrn R. L. Frost, Sheffield. | 3325 | Billige Methode der Zubereitung von Museums-präparaten. |
| „ | 3326 | Serie verschiedener Präparate auf diese bis Weise zubereitet. (siehe Seite 160). |
| | 3343 | |
| Herrn Prof. H. E. Robertson, Minneapolis. | 3344 | Photographie des Kaiserling-Bades; offen. |
| „ | 3345 | „ „ geschlossen. |
| „ | 3346 | „ „ eines Gefäßes, für das Kaiserling-Bad. |
| Herrn Prof. A. S. Warthin, Michigan. | 3347 | Methode zur Zubereitung von Museums-präparaten in Gelatin. |
| „ | 3348 | Hämolymph-knoten. |
| „ | 3349 | Gefäß, hermetisch geschlossen, zum Gebrauch bei Präparaten die herumgereicht werden. |
| „ | 3350 | Serie von Photographien von Hämolymph-knoten. |
| Herrn Dr. Kaufmann, Montreal. | 3351 | Methode zur Zubereitung von Museums-präparaten in neutral gefärbter Gelatin. |
| „ | 3352 | Rohe Gelatin. |
| „ | 3353 | 2tes Stadium; Mischung gleicher Quantitäten mit Wasser gesättigter Gelatin und Glyzerin. |
| „ | 3354 | 3tes Stadium; Erhitzung der Mischung mit Zusatz von Eiweis, vor der Filtration. |
| „ | 3355 | Das filtrierte Glyzerin-Gelee vor der Entfärbung. |
| „ | 3356 | Glyzerin-Gelee (die Entfärbung wird nicht zu weit getrieben, da es mit der Zeit etwas abblast) Zusatz von Karbolsäure. |

Ausgestellt von:

- Herrn Dr. Kaufmann, 3357 Muster von Glyzerin-Gellee vor 4 Jahren
Montreal. zubereitet.
- „ 3358 Petrischale enthaltend Nierengeschwulst,
vor 4 Jahren in Glyzerin-Gellee mon-
tiert.
- „ 3359 Petrischale mit Carcinommetastase, vor
3 Jahren in Glyzerin-Gellee zubereitet.
- „ 3360 Apparat zur Zubereitung von Museums-
präparaten in Kaiserling-Gelatin. (Ein-
gehende Beschreibung befindet sich
auf S. 152.
- Herrn Dr. C. F. Sil- 3361 Empfehlenswerte Methode zur Zuberei-
vester, Princeton. tung und Konservierung von Museums-
präparaten.
- „ 3362 *Microsporon audouini* (*T. tonsurans* der
Kopfhaut.)
- „ 3363 *Trichophyton* (*T. circinata*, mit grossen
Sporen der Barthaar).
- „ 3364 *Achorion schönleinii* (*favus*).
- Herrn E. L. Judah, 3365 Graduierte Museumsgefässe für Organo-
Montreal. bis verschiedener Grösse (siehe S. 162-163).
3374
- „ 3375 Zement zur Abschliessung der Gefässe.
- Herrn Prof. Dr. Werner 3376 Scholle, Knochen mit Alizarin gefärbt.
Spalteholz, Leipzig.
- „ 3377 Frosch, „ „ „
- „ 3378 Ratte, „ „ „
- „ 3379 Ratte, Arterien mit Teichmann'scher
Masse injiziert, entkalkt.
- „ 3380 Kopf eines menschlichen Oberschenkel-
beines, entkalkt.
- „ 3381 Wirbel einer grossen Schildkröte, ent-
kalkt.
- „ 3382 Basis eines menschlichen Schädels; die
Labyrinthe sind mit Wood'schem
Metall injiziert; entkalkt.
- „ 3383 Knochen einer menschlichen Hand; die
Arterien sind mit Zinnober-Leim-
Masse injiziert; entkalkt.
- „ 3384 Schädel von einem menschlichen Fetus,
Knochen mit Alizarin gefärbt.
- „ 3385 Idem.
- Die vorangehenden Präparate sind sämtlich
maximal durchsichtig gemacht mit einem
Gemisch von Wintergrünöl und Benzylben-
zoat.

Ausgestellt von :

- Herrn Prof. Dr. Werner 3386 Brustbein eines menschlichen Fetus
Spalteholz, Leipzig. Knochen mit Alizarin gefärbt, aufge-
hellt in Glycerin.
- „ 3387 Jugendlicher menschlicher Knochen, mit
Alizarin gefärbt, eingelegt in Alkohol;
zur Demonstration der Epiphysenlinie.
- „ 3388 Bleichungs stadium in 40%igem Alkohol
zum Dursichtigmachen von Knochen.
- „ 3389 Das Benzolstadium des Prozesses.
- „ 3390 Richtiges Gemisch von Wintergrünöl und
Benzylbenzoat.
- Herrn Braxton Hicks, 3391 Billige und empfehlenwerte Methode zur
London. Zubereitung von Gehirn und anderen
Schnitten für das Museum.
- Herrn Dr. J. Kaufmann. 3392 Methode das Gehirn und Rückenmark
vor der Herausnahme zu härten.
- Herrn Prof. Dr. Fischer, 3393 *Leontiasis ossea*.
Frankfurt a.-M.
- „ 3394 Chronische Lungentuberkulose mit
Kavernen verkreideter Lymphdrüsen.
- „ 3895 Idem.
- „ 3396 Diphtherie bei Lungenphthise.
- „ 3397 Alte Lungeninfarkte.
- „ 3398 Blasenstein beim Kind (inkrustierte
Haarnadel).
- 3399 Blase und Niere vom gleischen Fall
(diphtheoride, pseudomenbranöse
Cysto-Uretero-Pyelo-Nephritis).
- 3400 Pankreas bei Broncediabetes.
- 3401 Echinococcus bei schwerster Leber-
cirrhose.
- 3402 Ausgedehnte Encephalitis hæmorrhagica
mit Verkalkung beim Säugling.
- 3403 Total resezierter Magen wegen Magen-
schrumpfung (Granulationsgewebe,
kein Carcinom).
- 3404 Multiple Leberabscesse mit Haemo-
chromatose (Bazillen der Schweine-
pest).
- 3405 Lebernekrosen mit schwerster Cirrhose
und Haemochromatose (bei chroni-
schem Darmkatarrh).
- 3406 Prostataabscess mit periprostatischer
Phlegmone. Abscess in der Blasen-
schleimhaut. Gonorrhoe. Sepsis.

Ausgestellt von:

- Herrn Prof. Dr. Fischer, 3407 Abgeheiltes *aneurysma dissecans*.
 Frankfurt a.-M. 3408 Grosses Haematon der *dura mater*.
 „ 3409 Grosses Aneurysma der *carotis interna* mit Zerstörung der Schädelbasis.
 „ 3410 Cavernom der *medulla oblongata* mit stiftförmiger Durchblutung des Rückenmark.
 „ 3411 Aneurysma der *arteria fossae sylvii*.
 „ 3412 Lipom am Infundibulum.
 „ 3413 Grosse Cyste des Hypophysenstieles mit Verkalkung, Plattenepithelcyste.
 „ 3414 Adenom der Hypophyses ohne Akromegalie.
 „ 3415 Malignes Sympathoblastom der Nebenniere, Lebermetastasen.
 „ 3416 *Sympathoblastoma malignum* vor der Wirbelsäule und in der Leber.
 „ 3417 Primäres Chorionepitheliom der Leber.
 Makroskopische Bilder. (*Lumière-Aufnahmen*).
 „ 3418 *Vairola vera*.
 „ 3419 Eitrige Meningitis.
 „ 3420 Hirnblutung bei perniziöser Anaemie.
 „ 3421 *Arthritis urica* (Kniegelenk.)
 „ 3422 Embolie der *arteria iliaca femoralis* bei maligner Endocarditis.
 „ 3423 Malignes Granulom der Milz; mikroskopische Bilder. (*Lumière-Aufnahmen*).
 „ 3424 Tuberkel mit Riesenzellen bei starker Vergrösserung.
 „ 3425 Zahnanlage in einer kleinen Geschwulst des Eierstocks.
 „ 3426 Herzmuskel mit Verfettung und Kalkablagerung.
 „ 3427 Herzmuskel mit Kalkablagerung.
 „ 3428 *Periarteriitis nodosa*.
 „ 3429 Idem.
 „ 3430 Idem.
 „ 3431 Anilin-Carcinom der Harnblase.
 „ 3432 Idem.
 „ 3433 Adamantinom der Tibia.

Ausgestellt von :

- Herrn Prof. Dr. Fischer, 3434 Malignes sympathisches Neuroblastom
Frankfurt a.-M. der linken Nebenniere von Neugebo-
renen.
- „ 3435 Maligner Sympathoblastentumor. Leber-
metastasen.
- „ 3436 Adenom der Hypophyse ohne Akrome-
galie.
- „ 3437 Schilddrüse bei Hypophysentumor.
- „ 3438 Hodenatrophie bei Hypophysentumor.
- Herrn Prof. Dr. Greeff, Eine neue Methode Augendurchschnitte
Berlin. zu Museumszwecken zu konservieren ;
mit Erhaltung der natürlichen Farben.
- „ 3439 *Tapetum choroideale* beim Pferd.
- „ 3439A Idem beim Ochs.
- „ 3439B Idem Schaf.
- „ 3439D Idem beim Kalb.
- „ 3440 *Fundus oculi* vom Schwein.
- „ 3441 Idem.
- „ 3442 *Fundus oculi* vom Menschen.
- „ 3443 Pekten im Auge eines Kranichs.
- „ 3444 *Fundus oculi* des Delphins.
- „ 3445 *Retinitis hæmorrhagica*.
- „ 3446 Idem.
- „ 3447 Haemophthalmos.
- „ 3448 *Sarcoma choroidea* mit Blutungen.
- „ 3449 Miliartuberkel in dem Choroid.
- Herrn Prof. Dr. G. Konservierung von Gefrierschnitten
Hauser, Erlangen. durch den Thorax mittels der
Kaiserlingschen Methode.
- „ 3450 Tuberkulöse sero-fibrinöse Pleuritis mit
Kompression der Lunge bei Wirbel-
karies ; frontaler Gefrierschnitt durch
den Thorax.
- „ 3451 Chronische Lungentuberkulose mit to-
taler Zerstörung des rechten Ober-
lappens ; frische tuberkulöse Broncho-
pneumonie ; frontaler Schnitt.
- „ 3452 *Cor bovinum* bei arteriosklerotischer
Schrumpfniere.
- „ 3453 Idem ; horizontaler Schnitt.
- „ 3454 Käsiges Bronchopneumonie mit Kaver-
nenbildung, Sequestrierung einer ver-
kästeten Lungenspitze und Freilegung
von Gefäßen (frontaler Schnitt).

- Ausgestellt von :*
Herrn Prof. Dr. G. Hauser, Erlangen.
- 3455 Chronische Lungentuberkulose mit beiderseitigen Kavernen; Fixierung des Kaverneninhaltes (frontaler Schnitt).
- 3456 Sero-fibrinöse Pleuritis mit Kompression der Lunge und Verlagerung des Herzens; das Herz ist durch ein Fenster freigelegt; (frontaler Schnitt)
- 3457 Pneumothorax bei Lungentuberkulose (frontaler Schnitt).
- Herrn Dr. John Teacher, Glasgow.
- 3458 Gallensteine, vermittelt Muir'scher Gelatin in der richtigen Lage fixiert.
- Herrn Dr. B. Wahby, Kairo.
- Abgüsse aus schmelzbarer Legierung der verschiedenen Gefäße u. s. w. ihre Verteilung zeigend.
- 3459 Die Nierenvenen und Arterien.
bis
3477
- 3478 Serie von Präparaten bei denen die
bis Nierenarterien mit Metall und das
3491 Becken mit Wachs oder Gips injiziert worden sind.
- 2492 Venen einer Hufeisenniere (Metall).
- 3493 *Arteria renalis*; die primären Verzweigungen in verschiedenen Farben (Metall).
- 3494 Vorderer Zweig der *art. renalis* (Metall).
- 3495 Nierenarterie aus Metall, Nierenvene aus blauem und das Nierenbecken aus braunem Wachs (Kamel).
- 3496 Kamelnieren; Vene und Becken aus Metall.
- 3497 Idem, Vene aus Metall.
- 3498 Idem.
- 3499 Idem, Arterie aus Metall.
- 3500 Idem.
- 3501 Idem, Arterie aus Metall; Becken aus Gips.
- 3502 Pferdenieren; Arterie aus Metall.
- 3503 Idem.
- 3504 Idem, Vene aus Metall.
- 3505 Idem.
- 3506 Idem, Vene aus Metall; Arterie aus Gips.

Ausgestellt von:
Herrn Dr. B. Wahby,
Kairo.

- 3507 Pfredeniere; Vene aus Gips; Becken aus Wachs.
- 3508 Ochseniere; Arterie, rotes Wachs; Becken, blaues Wachs; Vene aus Metall.
- 3509 Idem, Arterie und Vene aus Metall.
- 3510 Nierenbecken eines Kamels, nach Formalininjektion mit Metall gefüllt.
- 3511 Idem, in frischem Zustand mit Metall unter Druck eingespritzt.
- 3512 Pfortader; und *Vena hepatica* in Metall bis abgegossen.
- 3515
- 3519 Gallengang aus Metall.
- 3520 Pfortader des Pythons aus Metall.
- 3521 *Ductus pancreaticus* aus Metall.
- 3522 Idem.
- 3523 Placenta aus Metall (Einspritzung durch die Nabelschnurvene).
- 3524 Idem.
- 3525 *Vena splenica* unter Druck eingespritzt aus Metall.
- 3526 Arteriensystem eines Kindes; unvollständige Einspritzung.
- 3527 Ohrmuschel, Tympanhöhle und Schnecke unvollständig aus Metall.
- 3528 Verzweigung der *arteriae vertebrali et basilaris*, sammt dem Axiswirbel.
- 3529 Venenplexus um dem Halswirbel (Metall).
- 3530 Venenplexus und Wirbelkanal.
- 3531 Idem.
- 3532 Metallabgüsse der Luftröhre und der bis Bronchien.
- 3537
- 3538 *Plexus ven. pterygoid. Sinus cavernosus* und abführende Vene aus Metall.
- 3539 Sinus des Schädels aus Metall.
- 3540 Idem.
- 3541 *Sinus long. super* und Vene aus Metall.
- 3542 Schädel mit *plexus venosus pteryg.* und *sinus inferior petrosalis* aus Metall.

Ausgestellt von :
Herrn Dr. B. Wahby.
Kairo.

- 3543 Schädel und Halswirbel teilweise zerstört, um die Abgüsse der Venen und des Sinus in situ zu zeigen.
- 3544 Unvollständige Einspritzung der Karotiden und deren Verzweigungen aus Metall.
- 3545 Idem.
- 3546 Unvollständige Einspritzung des Arteriensystem eines ausgewachsenen Mannes.
- 3547 Idem.
- 3548 Arterien des Unterarms.
- 3549 Idem.
- 3550 Unterster Teil der Aorta und die *arteriae iliaci communis, interna et externa*, mit deren Zweigen, und mit einem Teil der Femoralarterien.

Zelluloide Abgüsse.

- 3551 Lungen, Bronchien, Pulmonar-Venen und Arterien in verschiedenen Farben.
- 3552 Idem.
- 3553 Leber; *arteria hepatica* und Pfortader verschieden gefärbt.
- 3554 Niere; Arterien und Venen verschieden gefärbt.
- 3555 Arterien des Armes und Unterarmes, teilweise injiziert.
- 3556 Teilweise gelungene Einspritzung des Arteriensystems eines Kindes (einige Monate alt.)
- 3557 Brustwirbel.
- 3558 Linkes Herzrohr und Pulmonarvene.
- 3559 *Plexus pampiniformis*.
- 3560 *Sinus superior long. et sinus lateralis*.
- 3561 *Plexus venosus pteryg. et sinus circularis, sinus cavernosus, etc.*
- 3562 Pulmonar Gefäße, *vena azygos major*, Bronchien Aortenklappen und eine Coronararterie.
- 3563 Die Arterien und Venen-Systeme eines erwachsenden Körpers, durch die Carotis injiziert.
- 3564 Venen des Halses.

Ausgestellt von:

- | | |
|--|---|
| Herrn Dr. B. Wahby,
Kairo. | 3565 Penis und <i>corpora cavernosa</i> , völlig und Eichel, und <i>cospus spongiosum</i> zum Teil injiziert. |
| „ | 3566 Penis eines Pferdes, mit Paraffin injiziert. |
| „ | 3567 Idem. |
| „ | 3568 Gefrierschnitte der verschiedenen Körperteile in Gelatin zubereitet, zur Illustration einer bequemen Method anatomische und pathologische Präparate zu konservieren (5 Präparate). |
| „ | 3569 Menschliche Niere; in Gelatin zubereitet; die Arterien die Venen und das Becken sind mit verschieden gebärbtem Material injiziert. |
| „ | 3570 Idem. |
| „ | 3571 Idem. |
| „ | 3572 Pferdeniere, wie die oben angeführten Präparate behandelt. |
| Herrn W. Waldie,
Edinburg. | 3573 Eine verbesserte Methode zur Zubereitung von Museumspräparate mit Hilfe von Glassplatten Unterlagen. |
| Herrn Dr. J. J. Luden,
van Heumen, Paris. | 3574 Sammlung montierter Schnitten von Nautulus Muscheln, in verschiedenen Ebenen geschnitten und vermittels verschiedener Methoden poliert. |

Konservierung von mikroskopischen Präparaten.

- | | |
|--|---|
| Fräulein Dr. Georgine
Luden van Heumen.
München. | 3575 Schnitt des Rückenmarks; <i>meningitis spin. serosa circumscripta</i> ; in Celliodin eingebettet; nach der Luden'schen Modification der Weigert'schen Methode gefärbt. |
| „ | 3576 <i>Tabes dorsalis</i> ; September 1911 nach derselben Methode gefärbt. |
| „ | 3577 Multiple Sklerose; nach derselben Method gefärbt. |
| | Photographieen: |
| „ | 3578 Ganglienzellen der vorderen Wurzel des Rückenmarkes nach derselben Methode gefärbt. |
| „ | 3579 Idem; stärkere Vergrößerung. |
| „ | 3580 Axenzylinder und Myelinscheide eines Nerven; nach der selben Methode gefärbt. |

Ausgestellt von :

- | | | |
|--|------|---|
| Fräulein Dr. Georgine
Luden van Heumen,
München. | 3581 | Myelinscheide eines Nerven, nach derselben Methode gefärbt. |
| „ | 3582 | Ganglienzellen, nach derselben Methode zwei Jahre vor der photographischen Aufnahme, gefärbt. |
| „ | 3583 | Idem ; stärkere Vergrößerung. |
| „ | 3584 | Spinalnerv ; zwei Jahre vor der photographischen Aufnahme gefärbt. |

Diapositive (*autochromes*) zur Illustration der Luden'schen Modification der Weigert'schen Färbungsmethode.

- | | | |
|--------------------------------------|------|---|
| „ | 3585 | <i>Meningitis spin. serosa circumscripta.</i> |
| „ | 3586 | Tabes Dorsalis. |
| „ | 3587 | Idem ; stärkere Vergrößerung. |
| „ | 3588 | Idem. |
| „ | 3589 | Multiple Sklerose. |
| „ | 3590 | Normale Ganglienzelle der vorderen Wurzel des Markes. |
| Herrn Dr. Adolf Meyer,
Baltimore. | 3591 | Rekonstruktion aus Glas von einer Serie von Schnitten durch das Gehirn eines Hemiplegiepatienten. |
| „ | 3592 | Idem. |
| „ | 3593 | Idem. |
| Herrn Dr. R. A.
Lambert, Neuyork. | 3594 | Serie von Diapositiven zur Illustration der Wachstumseigenschaften von Geweben, <i>in vitro</i> kultiviert. |
| „ | 3595 | Rattensarcom in Rattenplasma wachsend. |
| „ | 3596 | Rattensarcomzellen, wachsend. |
| „ | 3597 | Drei Sarcomzellen, Psuedopodien und Fettkörne zeigend. |
| „ | 3598 | Mäusecarcinom <i>in vitro</i> wachsend. |
| „ | 3599 | Mäusecarcinom mit flacher Ausdehnung der Zellen. |
| „ | 3600 | Mäusecarcinom, die charakteristische Anordnung der Epithelzellen zeigend. |
| „ | 3601 | Kante einer Gruppe von Carcinomzellen, Pseudopodien zeigend. |
| „ | 3602 | Darm eines Hühnchen - Embryos zur Illustration der flachen Ausdehnung der Zellen wie bei Carcinom. |
| „ | 3603 | Mäusecarcinom, zahlreiche Mitosenfiguren zeigend. |

Ausgestellt von:
Herrn Dr. R. A.
Lambert, Newyork.

- 3604 Rattenbindegewebe, mehrere Phasen der Mitose bei der Subkultur zeigend.
- 3605 Typische Teilungsfiguren in Sarcomzellen.
- 3606 Normale Mitose und Kernsprossung, in Bindegewebezellen und Sarcomzellen.
- 3607 Stadium der Teilung in einer lebenden Bindegewebezelle, am 78ten Tag der Kultur beobachtet.
- 3608 Mitosen in einer Zelle, zahlreiche Fettkügelchen enthaltend.
- 3609 Zwei Rattensarcomzellen, zur Demonstration der Altmann'schen Granulis und Fettkügelchen gefärbt.
- 3610 Hühnchen Embryonenzellen in unverdünntem und in verdünntem Plasma wachsend.
- 3611 Mäusesarcomzellen zur Illustration der Karminphagocytose; nachträgliche Färbung der Zellen.
- 3612 Wanderzellen der Hühnchen Embryonemilz, um die Lycopodium Sporen zusammengedrängt.
- 3613 Idem.
- 3614 Gefärbte Schnitte von Fremdkörper Riesenzellen, die sich *in vitro* um Lycopodium Zellen und um ein Stück Baumwollfaser herum entwickeln.
- 3615 Grosse Riesenzelle in einer Kultur von Rattenmilz.
- 3616 Lycopodium Sporen in einer Kultur von Hühnchen Bindegewebe.
- 3617 Rattensarcom in normalem und in immunem Meerschweinchen-Plasma.
- 3618 Kulturen von Rattensarcom und Rattenbindegewebe einer Temperatur von 44° C. ausgesetzt.

II.—METHODE DER AUFBEWAHRUNG UND AUFSTELLUNG.

- The Medical Museum, 3619 Parterre des Museums. (Photographie).
- McGill Universität,
Montreal. 3620 Erste Etage.
- 3621 Oberste Etage.
- 3622 Rückansicht des "Medical Building," mit dem Museum in der Mitte.

Ausgestellt von :

- | | |
|---|---|
| The Medical Museum,
McGill Universität,
Montreal. | 3623 Parterre des neuen "Medical Building." |
| " | 3624 Erste Etage desselben. |
| " | 3625 Zweite Etage desselben. |
| " | 3626 Durchschnitt und Vorderansicht des Museums. |
| Herrn Dr. G. Prout
Girdwood, Montreal. | 3627 Rahmen zur Ausstellung von Lichtbildern. |
| " | 3628 Röntgogramme (Die Liste der Diapositive befindet sich auf Seite 174-175). |
| Herrn Prof. Dr.
Thilenius, Hamburg. | 3629 Grundriss des Ausstellungssaales im Hamburger Museum für Völkerkunde. |
| " | 3630 Perspektive der Anordnung der Schränke. |
| " | 3631 Blick in eine Koje. |
| " | 3632 Durchschnitt eines Fensterpultes. |
| Herrn Prof. Obern-
dorfer, München-
Schwabing. | 3633 Serie von 16 Photographieen der Institutsräume (Neues pathologisches Institut des städt. Krankenhauses, München-Schwabing. |
| " | 3634 Grundriss des Kellergeschosses. |
| " | 3635 Idem des Erdgeschosses. |
| " | 3636 Gesamtansicht. |
| " | 3637 Plan des Tierstallgebäudes. |
| " | 3638 Abbildung eines Macerationsapparat. |
| " | 3639 Abbildung eines Filtrierapparat. |

III.—MUSEUMSVERWALTUNG.

- | | |
|---|---|
| Fraulein Dr. Maude E.
Abbott, Herrn Dr. J.
Kaufmann und Herrn
E. L. Judah, Montreal. | 3640 Methode für den Empfang, die Eintragung, die Etikettierung und Benennung der Museumspräparate. |
| " | 3641 Abbild einer Seite des "Aufnahme" Buches. |
| " | 3642 Etiketten (a) Katalognummer, (b) Referenz, (c) Aufspeicherung |
| " | 3643 Methode die Präparate in dem Lager-
raum sachgemäss zu etikettieren |

IV.—KATALOG-EINTRAGUNGS METHODEN.

- | | |
|--|--|
| Herrn Dr. J. A.
Braxton-Hicks,
London. | 3644 Vollständiger Museumskatalog in Abteilungen (Lose Seiten System). |
|--|--|

Ausgestellt von:

- | | | |
|---|------|--|
| Herrn Dr. J. A. | 3645 | Deckel für die Fassung der losen Seiten. |
| Braxton-Hicks, | 3646 | Seite aus dünnem Pappdeckel. |
| London. | 3647 | Muster von gedrucktem Material und Karten, zur Illustration der Methode des Unwandelns des gewöhnlichen Katalogs in einem "lose Seiten" Katalog. |
| „ | 3648 | Fertiges Buch, mit Staubfestem Pappdeckel. |
| Herrn Dr. J. Lorrain-Smith. | 3649 | Katalog des Pathologischen Museums, Manchester Universität, 1906 veröffentlicht. |
| Fraülein Dr. Maude E. Abbott, Montreal. | 3650 | Teil des Kataloges (lose Seiten) der Medical Museums des McGill Universität. |

V.—MUSEUM ALS LEHRSTÄTTE.

- | | | |
|---|-------|--|
| Fraülein Dr. Maude E. Abbott, Montreal. | 3651 | Serie von Präparaten von angeborenem Herzfehler, zur Illustration der verschiedener Typen der Anomalien, und Schema mit Synopsis für Demonstrationszwecken. |
| „ | 3651A | Verschiedene Herzanomalien; (siehe bis Seiten 176-178). |
| „ | 3669 | |
| „ | 3670 | Lehrschema zur Benutzung bei der oben erwähnten Demonstration. |
| Herrn Dr. E. C. Rosenow, Chicago. | 3671 | Serie von Präparaten zur Illustration bis der künstlichen Infektion bei Kanninchen mit Streptokokken <i>viridans</i> und Streptokokken <i>rheumaticus</i> , die verschiedenen Läsionen des Herzens zeigend (siehe Seiten 179-180.) |
| | 3712 | |

Mikrophotographien:

- | | | |
|-------------------------------|------|--|
| Herrn Richard Muir, Edinburg. | 3713 | Leukocytosis bei Appendicitis; Blutstrich. |
| „ | 3714 | Rattenblut; <i>trypanosoma rhodesiense</i> . |
| „ | 3715 | Pestbazillien aus einem Bubo. n. |
| „ | 3716 | Aktive Phagocytose; peritoneales Exudat. |
| „ | 3717 | <i>Fasciola hepatica</i> . |
| „ | 3718 | <i>Clonorchis sinensis</i> . |

Ausgestellt von:

- Herrn Richard Muir, 3719 Tuberkulose der Lunge, bei einem Kinde
Edinburg.
- „ 3720 Tuberkulöse Knochen, bei einem Kinde.
- „ 3721 Broncho-pneumonie.
- „ 3722 Sandkonkretionen, aus der Lunge.

Diapositive:

- „ 3723 Blut; normales.
- „ 3724 Verschiedene Anaemien.
bis
3738
- „ 3739 Serie von Diapositiven zur Illustration
bis der asexuellen Entwicklung des
3760 Malaria Parasite (*plasmodium vivax*)
(siehe Seiten 181, 182).
- 3760 Verschiedene Trypanasomen und deren
bis Zwischenwirte.
3766
- 3767 Kala-azar; Leishman Donovan
bis Körperchen (siehe Seite 182).
3769
- „ 3770 Entamoeba histolica.
- Herrn Dr. C. U. Ariens 3771 Museumsgefäß für konserviert Gehirn-
Kappers, Amsterdam. präparate in Formaline die seitliche
und Mittlere Flächen zur Unterrichts-
zwecken zur Schau zu bringen.
- „ 3772 Idem.
- „ 3773 Mikroskopisches Präparat die Nerven-
zellen und Axenzylinder mit dem
Farbstoff des Sambucus zeigend.
- „ 3774 Idem.
- „ 3775 Sagittaler Gehirnschnitt; eine Methode
der Zubereitung in Gelatin zu mikros-
kopischen und makroskopischen
Zwecken, zeigend.
- „ 3776 Idem.
- Herrn Hofrat Prof. Emil 3777 Drei Bände Illustrationen der Kgl
von Grósz, Budapest. Ungarischen Universitäten, so wie der
Kliniken und Instituten der
medizinischen Fakultät.
- Herrn Dr. James T. 3779 Serie von stereoskopischen Lichtbildern,
Chase, Michigan. zur Illustration der verschiedenen
pathologischen Veränderungen bei
Erkrankungen des Verdauungstraktus.

Ausgestellt von:
Herrn Prof. Dr. S.
Delépine, Manchester.

*Serie von Photographien zur Illustration
gewisser Typen von in Menschen, Vieh,
Schweinen Pferden und Vögels beobach-
teten tuberkulösen Veränderungen.*

- „ 3780 Zunge einer Kuh: generalisierte Tuberkulose.
- „ 3781 Leber einer alten Kuh: retro-hepatische Lymphganglien.
- „ 3782 Leber eines Schweines: chronische Tuberkulose.
- „ 3783 Leber und Milz eines Huhnes (a) linke Hälfte; (b) rechte Hälfte; (c) Milz, in zwei Hälften.
- „ 3784 Milz einer Kuh; tuberkulöse Knötchen
- „ 3785 Milz einer Kuh: chronische Tuberkulose.
- „ 3786 Milz eines Schweines: chronische Tuberkulose.
- „ 3787 Milz eines Pferdes: chronische Tuberkulose.
- „ 3788 Dünndarm und Mesenterialdrüsen einer Kuh:
(a) von dem Lumen aus.
- „ 3789 (b) durch die Serosa und Muskulatur gesehen.
- „ 3790 Dünndarm einer Kuh: tuberkulöse Geschwüre: beginnende Nekrose;
- „ 3791 (b) Grosses Geschwür.
- „ 3792 Dünndarm einer Kuh, Geschwür.
- „ 3793 Dünndarm und Mesenterialdrüse eines Kindes.
- „ 3794 Idem.
- „ 3795 Perikard, Herz, Aorta, Pulmonaris, Trachea, und einige der kardialen Lymphganglien einer Kuh.
- „ 3796 Kehlkopf einer Kuh: lokale hyperplastische Form.
- „ 3797 Lunge eines Säuglings: akute Miliartuberkulose.
- „ 3798 Lunge eines Mannes; chronische lokalisierte Tuberkulose; geschwüriger Typus.
- „ 3799 Lunge eines Kindes: tuberkulöse Pneumonie.

Ausgestellt von :
Herrn Prof. Dr. S.
Delépine, Manchester.

3800 Lunge eines Kindes: fast vollständige
Konsolidation, Emphysem.

„ 3801 Lunge eines Kindes: akute tuberkulöse
Pneumonie.

„ 3802 Lunge einer Kuh: lokalisierte Broncho-
Pneumonie.

„ 3803 Lunge einer Kuh: chronische Tuber-
kulose.

„ 3804 Lunge einer Kuh: chronische Tuber-
kulose.

„ 3805 Lunge eines Schweines: chronische
Tuberkulose.

„ 3806 Kostalpleura einer Kuh: Tuberkulose.

„ 3807 Parietales Blatt der Sternalpleura;
chronische Tuberkulose.

„ 3808 Parietales Blatt der Pleura: chronische
Tuberkulose.

„ 3809 Popliteale Lymphganglien: chronische
Tuberkulose.

„ 3810 Submaxillarlymphganglien und Kopf
einer Kuh: chronische Tuberkulose.

„ 3811 Zervikale Lymphganglien einer Frau;
tuberkulöse Lymphadenitis.

„ 3812 Brustwirbel und *Dura mater* eines
Schweines: chronische Tuberkulose
(Karies).

„ 3813 Rippen eines Schweines: chronische
Tuberkulose.

3814 Metacarpo-phalangeales Gelenk einer
Kuh: chronische Tuberkulose.

„ 3815 Humero-cubitales Gelenk einer Kuh:
chronische Tuberkulose.

Tuberkulose.

„ 3816 Niere einer Kuh; chronische Tuberku-
lose.

„ 3817 Idem.

„ 3818 Niere einer Kuh: akute Tuberkulose.

„ 3819 Niere eines Schweines: akute Tuberku-
lose.

„ 3820 Hoden eines Mannes; tuberkulöse Or-
chitis und Epididymitis.

„ 3821 Uterus und Ovarien einer Kuh, chro-
nische Tuberkulose.

Ausgestellt von :

- Herrn Prof. Dr. S. 3822 Euter einer Kuh : normal.
 Délepine, Manchester, 3823 Idem : chronische Tuberkulose.
 „ 3824 Idem.
 „ 3825 Idem : Brustlymphganglien.
 „ 3826 Brustdrüse einer Kuh : chronische Tuberkulose.
 „ 3827 Auge einer Kuh ; chronische Tuberkulose.
 „ 3828 Meerschweinchen. Experimentelle Vogeltuberkulose.
 „ 3829 Idem.
Serie von 24 tuberkulösen Meerschweinchen, zur Illustration von einigen Versuchen betreffend die Aetiologie der Tuberkulose.

SERIE I.

Verulenz der ausgewählten Tuberkelbazillen der Menschen, der Perlsuchtbazillen und der Bazillen der Vogel-Tuberkulose, sämtliche Bazillen direkt ohne Passage von tuberkulösen Herden gewonnen.

- „ 3830 Versuchsmeerschweinchen.
 bis
 3832

SERIE II.

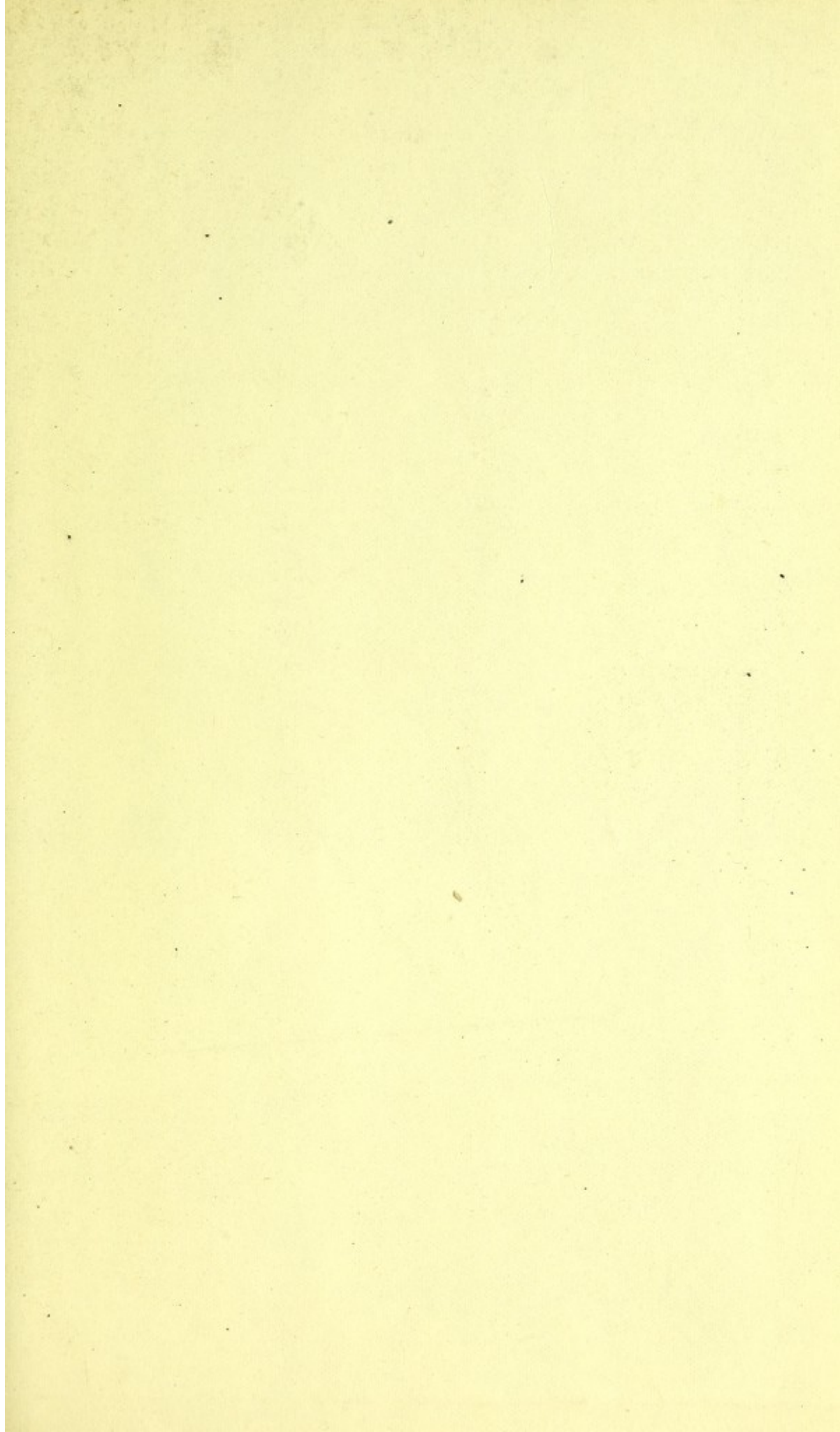
Einfluss der Passage durch Wirbeltiere von ausgewählten tuberkulösen Produkten oder Kulturen der Bazillen der Vogel-Tuberkulose.

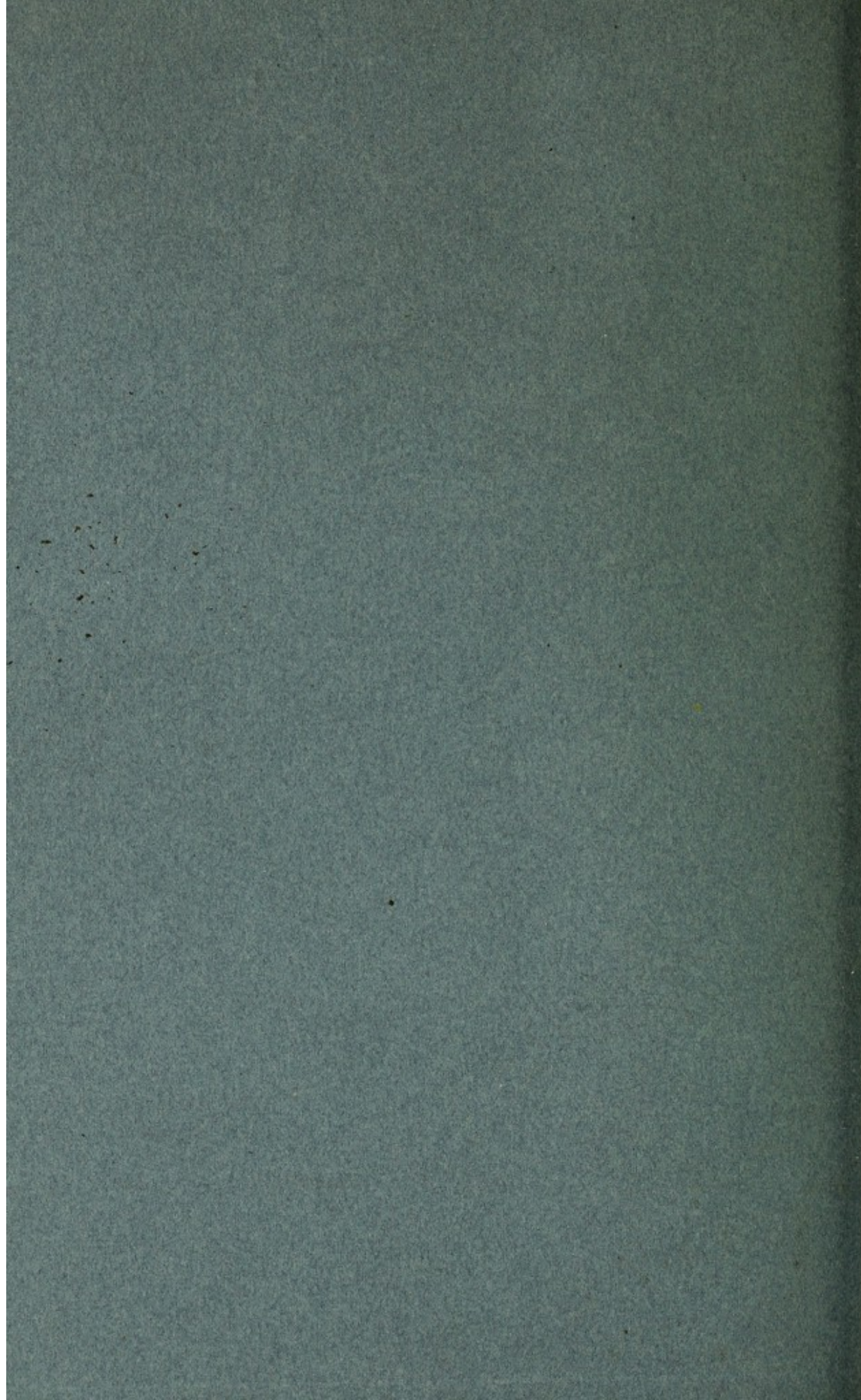
A.—Quelle der Bazillen ; Huhn ; 450 starben im Jahre 1903 an vorgeschrittene, Tuberkulose, infolge natürlicher Infektion.

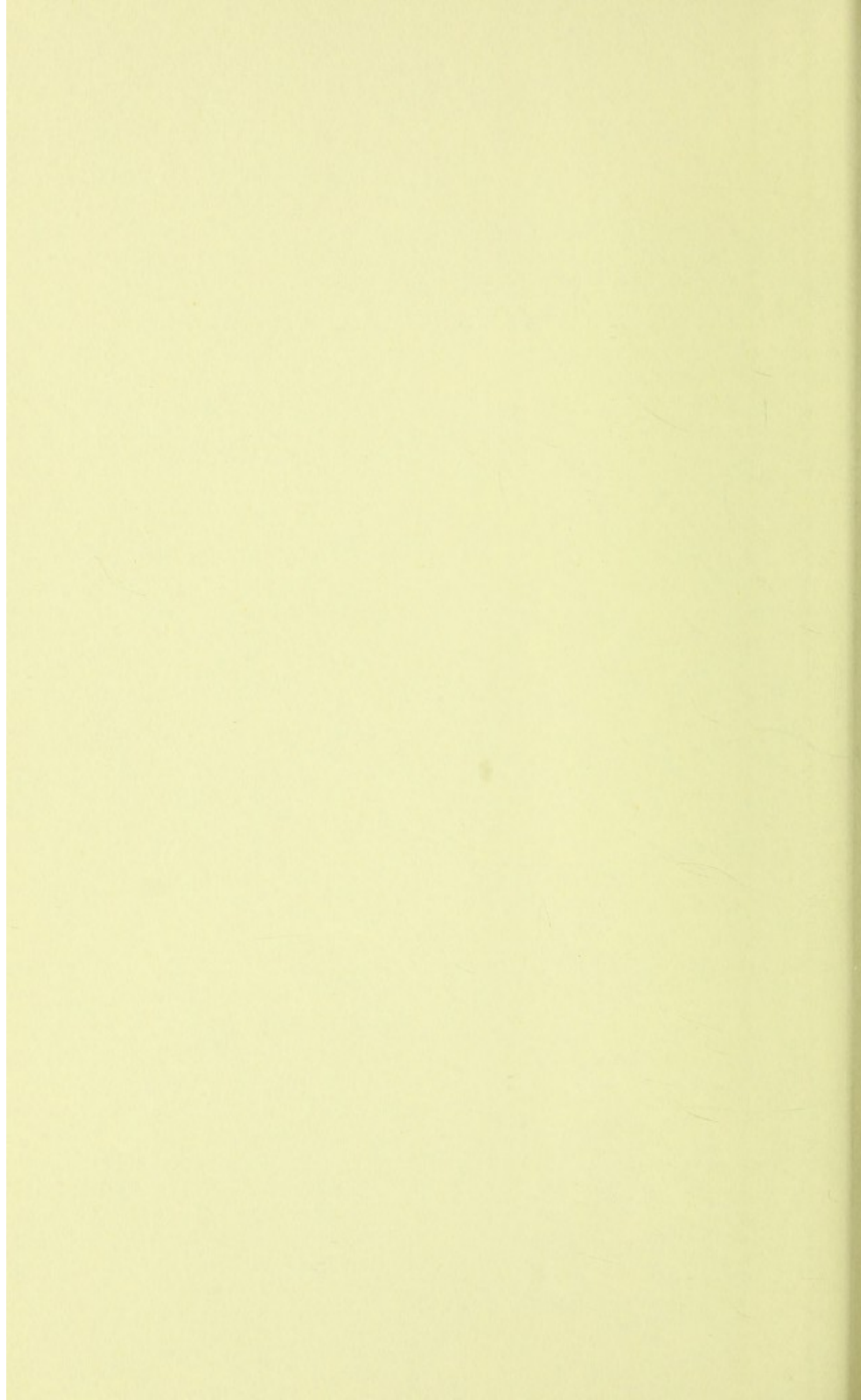
- Herrn Prof. Dr. S. 3833 Versuchsmeerschweinchen.
 Délepine, Manchester. bis
 3836

B.—Quelle der Bazillen ; Hahn ; 2,548 starben im Jahre 1908 an vorgeschrittene Tuberkulose infolge natürlicher Infektion.

- Herrn Prof. Dr. S. 3837 Versuchsmeerschweinchen.
 Délepine, Manchester. bis
 3843







✓

